

第72回講演会

講 演 予 稿 集

昭和57年10月2日(土)～4日(月)

於 秋 田 大 学

日本地球電氣磁氣学会

日本地球電気磁気学会

第72回総会・講演会プログラム

日 時 昭和57年10月2日(土)～4日(月)

場 所 秋田大学教育学部6号館

秋田市手形学園町1-1

TEL 0188-33-5261(代)

		9	10	11	12	13	14	15	16	17	18			
10 月 2 日	I	太陽電波・木星電波				磁気圏波動(VLF・AKR)					評議員会			
	II	大気力学・波動				電離圏 プラズマバブル	オーロラ・サブストーム							
	III	永年変化・磁気異常				電気伝導度・テクトノマグネティズム								
10 月 3 日	I	VLF・ELF・ULF				ポスターセッション 古地磁気・電離圏		総会		懇親会				
	II	磁気圏・太陽風												
	III	岩石磁気・同位体												
10 月 4 日	I	地磁気脈動												
	II	太陽風・宇宙線												
	III	測器・中層大気・大気光												

* 指定時間を厳守して下さい(講演9分、討論3分)。

* 各会場とも、スライドプロジェクター、オーバーヘッドプロジェクター各1台が用意されています。

* ポスターセッションについては、16ページを御覧下さい。

* 今回は、特別講演はありません。

第1日 10月2日(土)

午前

第Ⅰ会場

太陽電波・木星 (09:30-10:30)

- I-1 大家 寛, 三宅 亘(東北大理)
I-2 南部充宏(九大教養)
I-3 恩藤忠典(電波研)
I-4 大家 寛, 森岡 昭, 徳丸宗利, 近藤 実
(東北大理)
I-5 前田耕一郎(兵庫医大)
Thomas D. Carr(フロリダ大)
- 座長 渡辺 堯(名大空電研)
Type III Radio Burst の到来方向について
タイプIIIバーストに伴う電磁波発生機構
ISEE-3号によって観測されたLF帯太陽電波 III
型バースト
テレメータ方式による75km基線木星デカメータ波
観測用干渉計システムの開発
Beam Structure of Jupiter's Decametric
Radiation

木 星 (10:40-11:40)

- I-6 青山隆司(宮城職訓短大), 大家 寛,
森岡 昭(東北大理)
I-7 近藤哲朗(電波研鹿島), 磐崎 進(電波
研犬吠), 大内栄治(電波研平磯)
I-8 大家 寛, 永井智広, 森岡 昭(東北大理)
I-9 今井一雄(高知高専), 富沢一郎(電通大)
I-10 渡辺 堯(名大空電研), 近藤哲朗, 国森
裕生(電波研鹿島)
- 座長 前田 耕一郎(兵医大)
Observation of Jovian and Solar Decametric
Radio Waves in Tsukidate
リオメータデータ中に見られる木星デカメータ波放
射
木星デカメータ波 S - バーストの観測
長基線による木星デカメートル波シンチレーション
の多地点観測
4.08 GHzにおける木星電波観測 I

第1日 10月2日(土)

午前

第Ⅱ会場

大気力学 (09:30-10:42)

- Ⅰ-1 深尾昌一郎, 佐藤 亨, 山崎徳和(京大工)
加藤 進(京大超高層)
- Ⅰ-2 前川泰之, 深尾昌一郎, 佐藤 亨(京大工)
加藤 進(京大超高層), R.F. Woodman
(アレシボ観測所)
- Ⅰ-3 伊藤 礼, 津田敏隆, 麻生武彦, 加藤 進
(京大超高層)
- Ⅰ-4 麻生武彦, 加藤 進(京大超高層)
- Ⅰ-5 福山 薫, 廣田 勇(京大理), 深尾昌一郎,
前川泰之(京大工), 加藤 進(京大
超高層)
- Ⅰ-6 加藤 進, 津田敏隆(京大超高層)

座長 小川 忠彦(電波研平磯)

Winds measured by a UHF Doppler radar
and rawinsondes: Comparisons made on
twenty-six days (August-September 1977)
at Arecibo, Puerto Rico

アレシボレーダーによる成層圏大気波動の観測

Long Period Wind Oscillation in the
Meteor Region

中層・超高層大気に於ける潮汐波・プラネタリー波
の数値モデリング(3)

アレシボレーダーによるD領域物理量の観測(Ⅲ)
太陽フレアに伴う変化

中層大気中の重力音波とKHI

大気波動 (10:50-12:02)

- Ⅰ-7 中山泰雄(京大理), 前田佐和子(京産大)
- Ⅰ-8 前田佐和子(京産大), 中山泰雄(京大理)
- Ⅰ-9 津田敏隆, 田原弘志, 加藤 進(京大超高層)
- Ⅰ-10 柴田 翁, 奥沢隆志(電通大)
- Ⅰ-11 HFD観測網グループ, 一ノ瀬琢美(同大
工), 奥沢隆志(電通大)
- Ⅰ-12 長沢親生, 阿保 真, 稲谷 繁(東京都立
大工)

座長 麻生 武彦(京大起高層)

Coupling coefficients between gravity
waves and dissipative waves(2)

Numerical Calculation of Gravity-Wave
Equation With A Full Wave Method (1)

オーロラ電流で励起される重力音波の伝搬

大気重力波のF層応答におけるプラズマ拡散の効果

浦河沖地震に伴う電離層じょう乱のHFD観測

浦河沖地震によるHFドップラー変動

第1日 10月2日(土)

午前

第Ⅲ会場

永年変化・磁気異常 (09:30-10:18)

座長 伊勢崎 修 弘(神戸大理)

Ⅲ-1 水野浩雄(国土地理院)

地磁気年変化量分布を表現する
core 面上 dipole の分布とその変動

Ⅲ-2 田中 穂(国土地理院)

水沢, 鹿野山-柿岡の地磁気全磁力地域差の経年変化

Ⅲ-3 歌代慎吉(東京理大理)

日本近海に於ける地磁気の Secular Variation について

Ⅲ-4 伊勢崎修弘(神戸大理), 松原由和(神戸
大自然科学研究所)

南海トラフにおける地磁気3成分測定

永年変化・磁気異常 (10:30-11:18)

座長 笹井 洋一(東大震研)

Ⅲ-5 井口博夫, 伊勢崎修弘, 安川克己(神戸
大理)

仏領ポリネシア・マニヒ島・マタイバ島の地磁気測
量(2)

Ⅲ-6 中川一郎, 行武 賀(東大震研)

MAGSAT衛星による日本周辺の3成分地磁気異常

Ⅲ-7 中塚 正, 小野吉彦(地質調)

MAGSATデータによる日本周辺磁気異常図の作成

Ⅲ-8 柳澤正久(宇宙研), 河野 長(東工大理)
MAGSAT研究班

MAGSAT磁気異常図に現れる電離層の影響

第1日 10月2日(土)

午後

第Ⅰ会場

AKR・VLF (13:00-15:00)

I-11 大家 寛, 森岡 昭(東北大理)

I-12 森岡 昭, 大家 寛(東北大理)

I-13 宮岡 宏, 小野高幸(極地研)

I-14 福西 浩(極地研), 鈴木光義, 芳野赳夫
(電通大)

I-15 高橋邦明, 佐々木進, 河島信樹(宇宙研)

I-16 赤井和憲, 河島信樹, 村里幸男(宇宙研)

I-17 早川 基, 鶴田浩一郎, 西田篤弘(宇宙研)

I-18 中村正人, 町田 忍, 鶴田浩一郎(宇宙研)

I-19 町田 忍, 鶴田浩一郎(宇宙研)

I-20 渡辺成昭, 恩藤忠典(電波研)

座長 田中義人(名大空電研)

Multi-Banded Kilometric Radiations
Generated at the Plasmapause
— The results of JIKIEN (EXOS-B)

Multiple Sources of AKR
— EXOS-B観測

ISIS衛星により観測された極域高周波プラズマ
波動

ISIS-1,2衛星で観測された静電イオンサイク
ロトロン波の特性

電子ビームによる Beam Plasma Discharge
の研究

じきけん (EXOS-B)電子ビーム実験における波
動励起

人工衛星の帶電による広帯域静電ノイズの発生の
可能性

VLF放射実験による降下電子の見積り

ワイヤー型センサーによるKベクトルの測定

HISS状信号にうもれている信号を取り出す試み、
及びその解析

VLF (15:10-17:22)

I-21 吉門 信(電波研)

I-22 谷口治幸(東大理)

I-23 谷口治幸(東大理)

I-24 中村義勝, 恩藤忠典, 渡辺成昭, 村上利光
(電波研)

I-25 岡田敏美(名大空電研), M. Tixier (Po
itiers Univ)

I-26 木村磐根, 山内一詩, 松尾敏郎(京大工学
部)

I-27 田中義人, 西野正徳(名大空電研)

I-28 早川正士, 田中義人, 大津仁助, 岩井 章
(名大空電研)

I-29 田中克昌, 大津仁助, 早川正士, 田中義人
(名大空電研)

I-30 松尾敏郎, 木村磐根(京大工), 山岸久雄
(極地研)

I-31 岡田敏美, 早川正士, 田中義人(名大空電
研)
Y. Craff (Poitiers Univ)

座長 渡辺成昭(電波研)

Parametric Decay Instability of a Bernstein
Wave — Computation of the Coupling Factor
and the Threshold Level

Cyclotron 分数調波共鳴と Resonance Overlap 説
への批判

定磁場中の3次元伝搬の縦波の
Nonlinear Landau Damping

低緯度ホイスラー到来方位の観測—VI

ISIS-1号, 2号と地上同時観測のホイスラ解析
その1: 電離層反射ホイスラ

磁気圏中のVLF電波の3次元 ray tracing

極域電離層内のVLF電波の伝搬及び透過

磁気圏波動・粒子相互作用能動実験計画(母子里・
バーズビル共役実験)

LF(100kHz)の磁気圏, 電離層内伝搬

ISIS衛星で観測されたOmega ASE 及び信号伝
搬特性

ホイスラ・トリガード放射の伝搬路について

第1日 10月2日(土)

午後

第Ⅱ会場

電離圏・プラズマバブル (13:00-15:00)

- Ⅱ-13 前田 基, 亀井豊永, 家森俊彦, 荒木徹 (京大理)
Ⅱ-14 宮崎 茂, 小川忠彦(電波研平磯), 巖本巖, 森 弘隆, 佐川永一, 水津 武(電波研)
Ⅱ-15 丸山 隆, 相京和弘(電波研)
Ⅱ-16 佐川永一, 森 弘隆, 丸山 隆(電波研)
Ⅱ-17 森 弘隆, 佐川永一, 巖本 巖(電波研)
宮崎 茂(電波研平磯)
Ⅱ-18 巖本 巖, 水津 武, 森 弘隆, 佐川永一,
丸山 隆(電波研)
Ⅱ-19 渡部重十, 大家 寛, 高橋忠利(東北大理)
Ⅱ-20 高橋忠利, 渡部重十, 大家 寛(東北大理)
Ⅱ-21 小原隆博, 大家 寛(東北大理), 小野高幸(極地研)
Ⅱ-22 大家 寛, 浦塚清峰, 森岡 昭(東北大理)

座長 宮崎 茂(電波研)

MAGSAT データによる日変化磁場の解析(IV)

ISS-b による He^+ 密度の磁場偏角効果

高度 1,100 km におけるプラズマ・バブルのトップ・サイド・サウンダー観測

高度 1,100 km でのプラズマバブル内の電子温度と密度ゆらぎの観測

ISS-b 搭載 RPA により観測された
プラズマ密度不規則構造の世界分布

高度 1,100 km で観測されたプラズマバブルのイオン組成 (ISS-b 観測)

赤道域における Plasma Bubbles と Plasma Blobs の観測

極域擾乱に伴う赤道域電離層の変動とプラズマ・バブルの消長

じきけん (EXOS-B) SPW により検出されたプラズマ巻ダクト

プラズマ圏での Pressure Gradient
- JIKIEN (EXOS-B) 波動観測データに基づく電子温度解析結果から -

オーロラ・サブストーム(15:10-17:22)

- Ⅱ-23 山本達人(東大理)
Ⅱ-24 鮎川 勝, 平沢威男(極地研)
Ⅱ-25 小川俊雄, 牧野雅彦(京大理)
山岸久雄, 福西 浩, 小野高幸(極地研)
Ⅱ-26 小口 高, 林 幹治, J. H. MEEK(東大理)
Ⅱ-27 金田榮祐(東大理), 向井利典, 平尾邦雄
(宇宙研)
Ⅱ-28 菊池 崇(電波研)

Ⅱ-29 須田友重(気象研), 和田雅美, 河野 純
(理研)
Ⅱ-30 江尻全機, 内田邦夫(極地研), J. K.
Olesen(TUD), F. Primdahl(DSRI),
B. Moehlum(NDRE)
Ⅱ-31 鮎川 勝, 平沢威男(極地研)
Ⅱ-32 鶴見治一(名大空電研), 片沼伊佐夫(筑
波大物理), 佐藤哲也(広大核融合)
Ⅱ-33 井上雄二(京産大計研)

座長 福西 浩(極地研)

真夜中付近の negative bay と暁方側の pulsating aurora

SSC に伴う Auroral substorm

オーロラ電場の大気球観測

オーロラ脈動に伴なう電離層電流の安定性

入射電子“逆V型構造”とオーロラとの対応

Local time-latitude distribution of total energy input due to auroral protons and electrons on November 18th, 1979

地磁気SCに伴う静止衛星に於ける粒子線増加

Particle precipitations, field-aligned currents, and electron density and temperature increases observed in the high-latitude cusp region.

多点観測からみた Substorm の南北共役性

高速プラズマ流による磁気巻極域における大ポテンシャル生成

Wave Theory of the Expansion Phase of Magnetospheric Substorms
(Transmission-Line Model) II

第1日 10月2日(土)

午後

第Ⅲ会場

電気伝導度・テクトノマグネティズム
(13:00-14:12)

- III-9 田中良和(京大理), 吉野登志男(東大震研)
III-10 江村富男, 中埜岩男(海洋センター), 堀田隆俊(島津製作所), 友田好文(東大海洋研), 永野 弘(東大物性研)
III-11 力武常次(日大文理), 田中秀文, 附田克晃(東工大理)
III-12 下泉政志, 坂 翁介, 北村泰一(九大理)
III-13 歌田久司, 小山 茂(東大震研)
III-14 小川康雄, 行武 純, 歌田久司(東大震研)

電気伝導度・テクトノマグネティズム
(14:20-15:32)

- III-15 森 俊雄(気象研)
III-16 西谷忠師, 乘富一雄, 山崎 明(秋田大)
III-17 宮腰潤一郎(鳥取大教養)
III-18 歌田久司, 行武 純(東大震研)
地殻比抵抗研究グループ
III-19 行武 純(東大震研), J.H. Filloux(カリフォルニア大), 濑川爾朗(東大洋研), 浜野洋三(東大理), 歌田久司(東大震研)
小林和男(東大洋研)
III-20 德本哲男(地磁気観), 地殻比抵抗研究グループ

電気伝導度・テクトノマグネティズム
(15:40-16:52)

- III-21 半田 駿, P. A. Camfield
(E. M. R. Canada)
III-22 本蔵義守, 大志万直人(東工大理), 松田時彦(東大震研), A. M. Isikara(イスタンブル大理)
III-23 三品正明, 浜口博之, 村上栄寿(東北大理)
田中和夫(弘前大理), N. Zana (I.R.S., Zaire)
III-24 大志万直人, 本蔵義守, 田中秀文(東工大理)
III-25 本蔵義守, 平 進太郎(東工大理)
III-26 笹井洋一(東大震研)

座長 行武 純(東大震研)

オフセット打消し地電流計測アンプの開発

海底超伝導磁力計の開発について

電磁シールド効果

Pc 3, 4 带地磁気脈動の source 効果と電磁誘導
Schumann 共振周波数におけるインピーダンス推定
の信頼性について
Horizontal Spatial Gradient 法による電気伝導度構造解析

座長 本蔵義守(東工大理)

東海沖海底地電位のスペクトル解析

男鹿半島における地電流観測

山崎断層ごく近傍における地磁気脈動変化の特性

Magneto-telluric 法にもとづく東北日本の地殻の
電気比抵抗構造
日本海溝周辺での海底地磁気地電位差観測

東北日本における地殻の電気比抵抗観測
— CA 解析 —

座長 宮腰潤一郎(鳥取大教養)

Magnetic Variation Study in North Central
Saskatchewan, Canada

北アナトリア断層帯西部域における電磁気異常

ニイラゴンゴ, ニアムラギラ火山地域の磁気異常と
比抵抗分布

伊豆半島西部地域における全磁力変化

伊豆半島における地殻隆起および地震に関連する比
抵抗変化について
茂木モデルの隆起地形が作る磁気異常

第2日 10月3日(日)

午前

第Ⅰ会場

E L F • V L F (09:00-10:24)

I-32 早川正士, 田中義人(名大空電研)

I-33 早川正士, 田中義人, 岡田敏美(名大空電研)

I-34 西野正徳, 田中義人, 岩井 章, 鎌田哲夫(名大空電研)

I-35 佐藤夏雄(極地研), 林 幹治(東大理)

I-36 山中幸雄, 早川正士(名大空電研)

I-37 山岸久雄, 小野高幸, 福西 浩(極地研)
小玉正弘(山梨医大), 山上隆正, 西村 純(宇宙研), 平島 洋, 村上浩之(立教大
理), Jan Holtet(オスロ大学)

I-38 山岸久雄, 福西 浩, 小野高幸(極地研)
長野 勇(金沢大工)

座長 木村磐根(京大工)

電子スロット領域でのPLHRコーラスとVLF放射

磁気嵐時のプラズマポーズ近傍のVLF/ELF放射の特性(欧州観測結果)

S-310 JA-6号機によって観測されたオーロラ
ヒスの伝搬方向とポインティング電力

Auroral Roar Emission

GEOS 2衛星で観測されたコーラスの伝搬方向の決定

北極域気球高度におけるX線マイクロバーストと地上VLF放射, 地磁気脈動との相関

気球によるオメガ波伝播の観測

U L F (10:35-11:59)

I-39 佐藤夏雄(極地研), 渋谷仙吉(山形大理)

I-40 林 幹治(東大理), AUV観測グループ
(東大理, 九大理, 宇宙研, UBC, U.Vic.)

I-41 河村 譲, 桑島正幸(地磁気観), 福西 浩
(極地研)

I-42 石田十郎, 國分 征(東大理)

I-43 湯元清文, 斎藤尚生(東北大理)

I-44 國分 征(東大理)

I-45 永野 宏(岐阜歯大), 荒木 徹(京大理)

座長 桑島正幸(地磁気観)

CNA PulsationとQ P Emission, Magnetic Pulsationとの関係

サブクレフト帯のpc1, pi 1 脈動の特性(3)
—pc1トット群とサブストームとの関連

Periodic emissionの発生, 伝播特性

長周期地磁気脈動(Pc 4~5)を伴なうPc 1現象

低緯度Pc 3の偏波特性とその解釈

静止衛星高度におけるPc 4~5脈動出現の緯度特性

静止衛星で長時間観測されたPc 5地磁気脈動について

第2日 10月3日(日)

午前

第Ⅱ会場

磁気圏 (9:00-10:24)

- II-34 飯島 健(東大理), 福島 直(東大理)
藤井良一(極地研)
- II-35 玉尾 孜(東大理)
- II-36 鈴木 亮(佐賀大教養), 亀井豊永, 熊本毅(京大理)
- II-37 柳澤正久(宇宙研), MAGSAT研究班
- II-38 A. Nishida, Y. K. Tulunay (ISAS),
F. S. Mozer (UC, Berkeley)
- II-39 三浦 彰(東大理)
- II-40 八木康之, 河島信樹(宇宙研)

座長 褒田和幸(中部工大)

- 沿磁力線電流とそれに随伴する電離層電流の構造
- 双極磁場内での磁気圏-電離圏相互作用: 斜め磁力線に沿う電流の地上磁場効果
- MAGSAT衛星データによる磁気圏電流の算出(4)
- MAGSATの観測からみた Ring Current の構造
- OBSERVATION OF ELECTRIC AND MAGNETIC FIELDS IN THE EARTH'S MAGNETIC TAIL
- Anomalous Transport by the MHD Kelvin-Helmholtz Instability in the Solar wind-Magnetosphere Interaction
- 二つの平行プラズマ電流による field line reconnection

磁気圏・太陽風 (10:35-11:59)

- II-41 西田篤弘, 星野真弘(宇宙研)
- II-42 荻野竜樹, 鶴見治一, 鎌田哲夫(名大空電研)
- II-43 荻野竜樹, 鶴見治一, 鎌田哲夫(名大空電研)
- II-44 芳沢克明, 前沢 利, 村山 喬(名大理)
- II-45 前沢 利(名大理), 褒田和幸(中部工大)
- II-46 褒田和幸, 宗像義教(中部工大)
- II-47 佐野幸三, 斎藤龍雄(地磁気観)

座長 飯島 健(東大理)

- 昼間側の磁気圏境界面における磁力線再結合の計算機実験
- 二次元MHDモデルによる太陽風と地球磁気圏相互作用のシミュレーション(Ⅲ)
- 三次元MHDモデルによる太陽風と地球磁気圏相互作用のシミュレーション(I)
- IMF-By成分による地磁気活動度の南北半球非対称性
— Local Time 依存性 — (Ⅲ)
- 太陽風 Corotating Structure の大規模構造
- 太陽風速度の時間変動の原因
- 磁気嵐諸特性の太陽周期依存性 (I)

第2日 10月3日(日)

午前

第Ⅲ会場

岩石磁気・同位体Ⅰ (09:00-09:48)

座長 河野 長(東工大理)

- Ⅲ-27 小柳政彦, 河野 長(東工大理), 国分 征
(東大理)

岩石磁気用リングコア磁力計の特性測定

- Ⅲ-28 桂 郁雄, 笹嶋貞雄(京大理)

post-DRM の磁化成分分離の可能性
— partial post-DRM の獲得時期による安定性
の違い —

- Ⅲ-29 浜野洋三(東大理)

普通コンドライトの残留磁化の性質

- Ⅲ-30 百瀬寛一, 永井寛之(信州大理)

Ym 74646隕石の熱史の推定

岩石磁気・同位体Ⅱ (10:00-10:48)

座長 浜野洋三(東大理)

- Ⅲ-31 永田 武(極地研)

Magnetic Classification Scheme of Meteorites

- Ⅲ-32 小嶋 稔, 座主繁男(東大理)

ダイヤモンド中に見出された始源的 He

- Ⅲ-33 山越和雄(東大宇宙線研)

宇宙物質中の Os, Ir の同位体比異常

- Ⅲ-34 山越和雄(東大宇宙線研), 井上照夫(東
大核研)

深海底堆積物コア試料中のイリジウム濃度

第2日 10月3日(日)

午後

PS会場

ポスターセッションA (13:00-14:30)

- | | |
|---|--|
| PA-1 平尾邦雄(宇宙研), <u>瀬戸正弘</u> (東北工大)
斎藤尚生(東大理), 小島正美, 北村保
夫(東北工大) | 弱残留磁気測定装置(RICRESTOMETER)の製作
(続) |
| PA-2 船木 實, 永田 武(極地研) | 南極 マクマードサウンドの古地磁気(総括) |
| PA-3 河野 長(東工大理), 上野直子(東洋大
理), 大貫良夫(東大教養) | ペルーの先インカ文明時代の土器片による古地球磁
場強度 |
| PA-4 日置幸介, 浜野洋三(東大理), 河野 長
(東工大理) | 中部アンデスの古地磁気Ⅱ
ペルー海岸地域白亜系火山岩及び北部チリ・ジュラ系
堆積岩 |
| PA-5 <u>当倉利行</u> , 浜野洋三(東大理) | 北上地方, 宮古層群の古地磁気—白亜紀・中期 |
| PA-6 <u>綱川秀夫</u> , 浜野洋三(東大理) | 愛鷹山岩脈群の古地磁気 |
| PA-7 <u>馬場清英</u> (中部工大) | VLF標準電波の赤道越え伝搬異常について(II) |
| PA-8 <u>島倉 信</u> (千葉大工) | VLFによる下部電離層電子密度分布の推定 |
| PA-9 角村 悟(地磁気観), 荒木 徹(京大理) | 電場による極電離層と赤道電離層の結びつき(III) |
| PA-10 荒木 徹(京大理) | 非等方一様電導媒質中の分極電荷 |
| PA-11 <u>米沢利之</u> (中部工大) | 本邦における $f_0 F_2$ の半年変化とそれの大気圧
半年変化成分との比較 |
| PA-12 <u>渡辺勇三</u> (宇宙研) | K-9M-72号機NELの速報 |
| PA-13 相京和弘, 井出俊行, 西崎 良, 丸山 隆
篠馬 尚, 新野賢爾(電波研), 佐藤克久
(緯度観) | 航行衛星(NNSS)による日本上空の全電子数の測
定(I) ISIS-2, ISS-bとの同時観測 |
| PA-14 <u>皆越尚紀</u> , 新野賢爾(電波研) | 静止衛星VHF電波受信による沿磁力線伝搬実験(II)
準周期的シンチレーションの発生特性 |
| PA-15 <u>熊谷 博</u> , 小川忠彦, 堀 利浩(電波研平
磯) | 電離層シンチレーションの3点観測 |
| PA-16 <u>堀 利浩</u> , 熊谷 博, 小川忠彦(電波研平
磯) | 電離層によるQPシンチレーション |
| PA-17 <u>小川忠彦</u> , 熊谷 博, 大部弘次(電波研平
磯) | SITECの統計的性質 |

第2日 10月3日(日)

午後

PS会場

ポスターセッションB (14:30-16:00)

- PB-1 小山真人, 新妻信明(静大理)
PB-2 新妻信明(静大理), 中尾誠司(建築技研)
太田英将(明治コンサルタント)
PB-3 新妻信明(静大理)
Leg 87乗船研究者一同
PB-4 上嶋正人(地質調)
PB-5 兵頭政幸, 安川克己(神戸大理)
PB-6 酒井英男, 広岡公夫(富山大理), 古山勝彦
(大阪市大理)
PB-7 満保正喜, 長野 勇(金沢大工), 中村清実
(富山医科薬科大)
PB-8 竹生政資, 北村泰一(九大理)
PB-9 北村泰一, 竹生政資, 古野慎治(九大理)
福西 浩(極地研)
PB-10 一之瀬 優, 小川忠彦(電波研平磯), 大瀬正美(電波研)
PB-11 田中高史(電波研)
PB-12 西崎 良, 竹之下裕五郎(電波研究所)
PB-13 竹田雅彦, 前田 坦(京大理)
PB-14 小山孝一郎, 平尾邦雄(宇宙研)
PB-15 長野 勇, 満保正喜, 深見哲男(金沢大工)
PB-16 賀谷信幸, 松本治弥(神戸大工), 向井利典,
平尾邦雄(宇宙研)
PB-17 向井利典, 平尾邦雄(宇宙研), 賀谷信幸
(神戸大工)
- 伊豆半島西部, 松崎地域の古地磁気(予報)
房総・円沢地域の古地磁気とテクトニクス
南海トラフ・日本海溝深海掘削試料の古地磁気
高知沖のグラビティコアの残留磁気について
堆積物の磁化方向のバラツキと磁化強度の相関
扇の山火山岩類の古地磁気
VLF反射波による下部電離層電子密度推定のシミュレーション
— 相対位相による場合
HFドップラー・シフトに及ぼすイオンドリフトの効果
HFドップラーにおける冬季波動
— フジによる移動観測 —
南極観測船「ふじ」によるチャーブサンダ実験
Evening Enhancementと磁気圈擾乱の関連
太陽黒点数と国分寺におけるfoF2について
MAGSATで観測された赤道域△D異常の解釈
K-9M-72号機による熱的電子エネルギー領域の電子エネルギー分布の測定
K-9M-72号機による地上局VLF波強度測定値から下部電離層の衝突回数の解析
K-9M-72号機による高エネルギー電子の観測
K-9M-72号機による低エネルギー電子の観測

総 会 (16:30-18:00)

懇親会 (18:00-20:00)

第3日 10月4日(月)

午前

第Ⅰ会場

地磁気脈動 (09:00-10:48)

- I-46 利根川 豊(極地研・東海大工), 福西 浩, 平沢威男(極地研), 桜井 亨, 加藤愛雄(東海大工)
I-47 加藤愛雄(東北大, 東海大), 高橋隆男(東海大), 友村 清(東海大工)
I-48 坂 翁介(九大理), J. S. Kim(ニューヨーク州立大), M. Sugiura(GSFC, NASA)
I-49 坂 翁介(九大理), J. S. Kim(ニューヨーク州立大), M. Sugiura(CGSFC, NASA)
I-50 坂 翁介(九大理), J. S. Kim(ニューヨーク州立大), M. Sugiura(GSFC, NASA)
I-51 國武 学(東大理)
I-52 北村泰一, 糸長雅弘(九大理)
I-53 友村 清, 加藤愛雄, 桜井 亨(東海大工)
I-54 永野 宏(岐阜歯大), 荒木 徹(京大理)
福西 浩, 佐藤夏雄(極地研)

地磁気脈動 (11:00-12:48)

- I-55 桑島正幸, 河村 譲, 角村 哲(地磁気観)
I-56 桜井 亨(東海大工)
I-57 荒木 徹, 家森俊彦, 亀井豊永(京大理), 角村 哲(地磁気観)
I-58 糸長雅弘, 北村泰一(九大理)
I-59 藤田 茂(地磁気観), 玉尾 孜(東大理)
I-60 小野高幸, 平沢威男(極地研)
I-61 山本 隆, 玉尾 孜(東大理)
I-62 玉尾 孜, 山本 隆(東大理)
I-63 玉尾 孜(東大理)

座長 平沢 威男(極地研)

高緯度多点観測に基づくPc 3-5脈動の伝播, 共鳴特性

磁気圏境界層のULF波動に伴うCusp領域下のCambridge Bayで観測されたULF波動。

北米IMSデータを使った朝側Pc 5脈動のクロススペクトル解析

Pc 5脈動の空間的な位相・振幅構造のDawn-Dusk Asymmetry

昼側Pi 3と夜側Pi 3でなぜX-Z平面内の偏波が逆転するのか?

多点観測によって得られたPiburst脈動の特性(Ⅰ)
Pi 3の2~3の性質について

Magnetic fluctuations in the magnetosheath and the magnetosphere observed with the ISEE-1 and 2 satellites

静止衛星で観測されたSSCに伴う長周期地磁気脈動の特性について

座長 坂 翁介(九大理)

Psc型磁気脈動の出現特性

A drastic change of oscillation character of magnetic pulsations associated with SSC
300-500km高度でのSC

非一様電離層の地磁気脈動に及ぼす効果

地磁気脈動の低緯度伝播(Ⅱ)

磁気圏内におけるULF帯プラズマ不安定

長周期(Pc 4~5)脈動における共鳴結合振動(Ⅱ)

電磁流体振動に対する磁気圏内共鳴結合と電離層による結合

磁気圏内MHD不安定のエネルギー則

第3日 10月4日(月)

午前

第Ⅱ会場

太陽風 (09:00-10:36)

- II-48 渡辺成昭, 丸橋克英(電波研)
II-49 柿沼隆清, 小島正宜(名大空電研)
II-50 村上広史, 斎藤尚生(東北大理)
II-51 斎藤尚生, 村上広史(東北大理)
II-52 堀 幸久(名大工), 鷲見治一, 萩野竜樹(名大空電研)
II-53 鷲見治一, 萩野竜樹, 小島正宜, 柿沼隆清(名大空電研)
II-54 朱 邦耀, 和田雅美(理研)
II-55 藤本和彦, 小島浩司, 村上一昭, 長島一男(名大理)

座長 前沢 別(名大理)

- 太陽の磁場構造と地球近傍の太陽風
太陽近傍および高緯度帯の太陽風
SOLAR SOURCE SURFACEにおける太陽風速度および緯度分布
極大期に重点を置いた太陽磁気圏の11年周期変化
太陽圈境界における定在衝撃波について
太陽風プラズマの計算機シミュレーション(Ⅱ)
太陽高エネルギー粒子と Comprehensive Solar Flare Index
宇宙線強度と太陽風

宇宙線 (10:50-12:32)

- II-56 西田篤弘(宇宙研)
II-57 奥谷晶子, 和田雅美(理研), 須田友重(気象研)
II-58 野坂 徹(名大理), 森 覚, 鷲坂修二(信大理)
II-59 宗像義教, 筱田和幸(中部工大), 森 覚(信大理), 長島一男(名大理)
II-60 長島一男(名大理), 森 覚(信大理), 奥谷晶子(理研), 高橋八郎(岩手大教育), 矢作直弘(岩手大人文)
II-61 上野裕幸, 藤本和彦(名大理), 森 覚(信大理), 長島一男(名大理)
II-62 高橋八郎(岩手大教育), 矢作直弘(岩手大教育), 長島一男(名大理)
II-63 長島一男(名大理), 森下伊三男(岐歯大), 森 覚(信大理), 石田喜雄(福島大教育)
II-64 村上一昭, 藤井善次郎, 山田良実, 柳原志津子, 藤本和彦, 霜永楨章, 長島一男(名大理), 近藤一郎(東大宇宙研), A. G. Fenton, R. M. Jacklyn 他(タスマニア大)

座長 上野 裕幸(名大理)

- 「フォーブッシュ減少」の数値モデル(2)
宇宙線フォーブッシュ減少時の南北異方性-Ⅱ
太陽赤道面に垂直な方向の宇宙線強度分布
宇宙線の南北非対称性と太陽電流面
宇宙線太陽時半日変化
NAMS Sidereal Anisotropy 1978-80
宇宙線 Zonal Harmonic Components (1st 及び 2nd) の Best-fit Rigidity Spectra
宇宙線中性子強度の恒星時日変化 Ⅱ
タスマニアにおける空気シャワーの連続観測

第3日 10月4日(月)

午前

第Ⅲ会場

測器・観測方法・成層圏(09:00-10:36)

- Ⅲ-35 山田弘善(宇宙開発事業団), 和田雅美(理研), SEM研究グループ
Ⅲ-36 町田忍, 鶴田浩一郎(宇宙研)
Ⅲ-37 遠山文雄, 青山巖(東海大工)
Ⅲ-38 小川徹, 藤崎努, 北野正雄(京大超高層)
Ⅲ-39 若杉耕一郎, 松尾優(京工大工芸), 深尾昌一郎(京大工), 加藤進(京大超高層)
Ⅲ-40 佐藤亨, 深尾昌一郎(京大工), 加藤進(京大超高層)
Ⅲ-41 富田二三彦, 岡野章一, 大沼利弘, 上山弘(東北大理)
Ⅲ-42 柴崎和夫(極地研), 岩上直幹, 小川利紘(東大理), 福西浩, 平沢威男(極地研)

成層圏・中間圏・大気光(10:50-12:16)

- Ⅲ-43 上山弘(東北大理), 市川敏朗(岐阜歯大), 岡野章一(東北大理)
Ⅲ-44 高木増美, 近藤豊, 岩田晃(名大空電研)
Ⅲ-45 松崎章好, 中村良治, 伊藤富造(宇宙研)
Ⅲ-46 関谷隆司, 藤崎努, 北野正雄, 小川徹(京大超高層)
Ⅲ-47 岩坂泰信(名大水圈研/極地研), 平沢威男, 福西浩(極地研), 藤原玄夫(九大), 藤井良一, 宮岡宏(極地研)
Ⅲ-48 三沢清敏(防大), 加藤愛雄(東海大), 竹内郁夫(託間高専), 青山巖(東海大)
Ⅲ-49 三沢清敏(防大), 加藤愛雄(東海大), 竹内郁夫(託間高専), 青山巖(東海大)
Ⅲ-50 中村純二(東大教養), 大地登(岐阜大教養)

座長 岩坂泰信(名大水圈研)

衛星環境モニタの試作

プローブ表面材から放出される光電子の研究
—S-520-5号機による実験—

地磁気姿勢計によるロケットの再突入時の姿勢

単一スペクトル線光ポンピング磁力計の確度|

大型レーダーにおける散乱スペクトルとその周波数分解能

MUレーダーを用いた新しい中層大気観測法(II)

Sodium layer の成層機構について

南極昭和基地における中性大気微量成分(O₃, NO₂, NO₃)観測計画
—大気球観測, 地上観測—

座長 藤崎努(京大超高層)

レーザーヘテロダイン分光方式による成層圏オゾン高度分布測定について。(II)

気球及び航空機搭載用NO_x測定器の開発

成層圏エアロゾルの観測(Sanriku, May 31, 1979)

光化学反応による有機気体からのエアロゾル生成

南極中層大気探査用レーザレーダー[—]基本仕様と試験結果—

酸素緑線と赤線の強度共変化の発生原因についての一考察

酸素赤線の強度変化の孤立波型伝播の発生の原因についての一考察

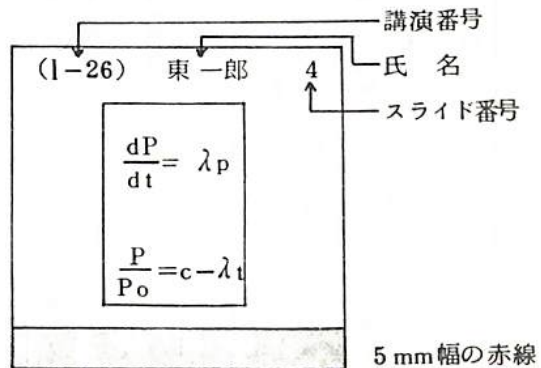
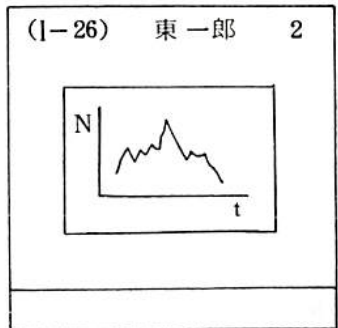
S-210-13号機によるTMA発光雲の観測

ポスターセッションについて

- ・ポスターセッションは、第2日午後に集中して行ないます。
- ・普通セッションでのポスターセッション用講演は、行ないません。
- ・ポスターセッションは、前半（ポスターセッションA；13時～14時30分）と後半（ポスターセッションB；14時30分～16時）に分けて行ないます。
- ・講演者は、割当てられた時間（前半、または後半）中は、自分のポスターの説明を行なって下さい。
- ・講演者（後半の割当の人も）は、第2日前中にすべての展示を終えて下さい。（第1日も展示作業に使えます）。
- ・ポスターは、説明者なしでも理解できるよう、わかりやすく書いて下さい。

スライドの様式について

学会講演の際のスライドの誤操作を防止し、講演が円滑に進行するように、下図のようにスライドを作成して下さい。

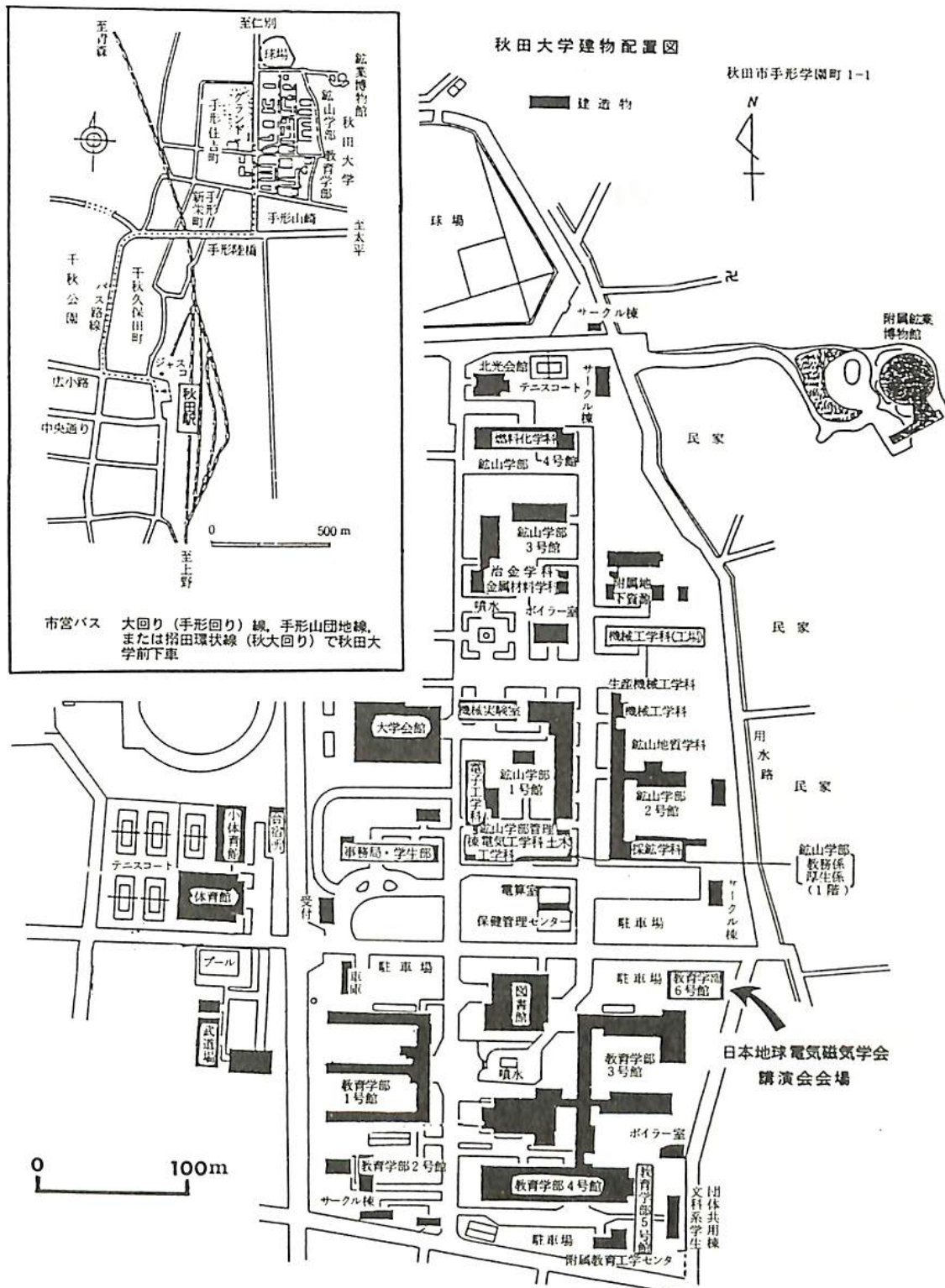


- 画面（正立位置）上に講演番号（カッコ内に）、著者氏名（著者が複数の場合は筆頭著者）、スライド番号（1, 2, 3……の順に）を鉛筆・サインペン等ではっきり記入。
- スライド下端に幅5mmの赤鉛筆で記入。

宿 舎 案 内

ホテル、旅館名	住 所	T E L	料 金 (税込)	58.7月現在
秋田キャッスルホテル	秋田市中通三丁目	秋田(0188) 34-1141	シンダル (インバス) 6,760~7,840	ツイン (アウトバス) 13,400~16,400 一泊(2食付)
ホテルハワイ(駅前)	" 千秋久保田町2-2	33-1111	4,900	8,000(インバス) 3,700
ホテルハイ新本館	" 中通五丁目	33-1110	4,900	5,500(アウトバス) 3,700
ホテルサンルート秋田	" 大町三丁目4-18	65-2111	5,920	7,000(インバス)
アキタニューグランドホテル	" 中通五丁目2-1	34-5211	5,800~8,200	11,600(インバス)
シティーホテル	" 大町二丁目6-25	63-2525	4,400, 4,850	10,400~20,000 7,480, 8,580 (インバス)
アキタキャピタルホテル	" 檜山荘町1-31	35-9111	4,400	3,900
ホテルリッチ秋田	" 大町二丁目2-2	62-001	5,800~7,000	7,600(インバス) 11,000, 14,000 (インバス)
山王パレスホテル	" 山王二丁目10-42	64-4421	4,180~5,080	7,700(インバス)
アキタパークホテル	" 山王町7-1	62-1515	4,850, 6,000	7,800~8,800 (インバス)
栄太樓旅館	" 千秋矢留町6-15	33-4151		7,000~8,000
旅館美松	" 千秋矢留町6-9	32-8541		7,000~10,000
(共済関係)				
泰山莊	" 保野通町	62-1055	6,160 (2食付)	1人5,920 (インバス, 2食付) 同左(和室)
千秋会館	" 南通りみその三丁目	32-7766		5,320(2食付) 3,190(泊のみ)
みずほ苑	" 山王四丁目	62-2433	3,040, 4,400	5,800~6,400 レスタンは 日, 祭日は休み
消防会館	" 中通四丁目	32-4111	2,900	2人で5,600 (インバス)
労働福祉センター	" 中通六丁目7-4	33-6029		4,750
日本交通公社(秋田)	" 大町三丁目2-5	62-6193 62-6976		

日本地球電気磁気学会講演会会場案内



第 I 会 場

(I - 1 ~ I - 63)

Type III Radio Burst の到来方向について

大家 寛, 三宅 亘
(東北大・理)

き
序

衛星で観測されるKm波帯のType IIIバーストは、太陽のactive regionから放出される高エネルギー電子ビームにより励起された静電 plasma 波かその場の2倍の plasma 周波数($2f_p$)の電磁波に非線型変換されたものとされているが、我々は plasma 周波数(f_p)で線型変換されたものと考え、3次元 Ray Tracing の結果から従来のモデルでは軽視されていた惑星間空間の高密度シート状構造とそこでの伝搬の重要性を指摘した⁽¹⁾。

電波の到来方向

図1にはIMP6により観測されたType IIIバーストの到来方向の統計結果を示す⁽²⁾。Kaiserは f_p としたときの最大到来角(A)と $2f_p$ とした場合(B)を比較し、Type IIIバーストは $2f_p$ で生じていると結論したが、このデータはそこで用いられた球対称密度モデル。直線的伝搬では説明されない2つの特徴をもつている。

[A] 50kHz以上の中波域ではKaiserによるモデル計算から予想される通り低周波ほど到来角は大きくなるが、彼等の見積で説明できないう点としては50kHz以下で再び到来角は小さくなる。

[B] 50kHz以上の中波域では必ずかだか西側から大きな角度で到来するのに対して、50kHz以下では逆に東側から大きな角度で到来するといつた非対称性が明瞭である。

モデル計算

2次元モデルに基づき、 $f = f_p$ の点で放射が起ると考え、Ray Tracingを行った。結果は図1に示すが、50kHz以上の中波域において高密度シート状構造を考えることにより到来角が大きくなり、東西の非対称性が表れてくることが説明される。

Reference

- (1) 大家他、日本地球電気磁気学会 第90回講演会予稿集 P.34
- (2) Kaiser, M.L., Solar Phys., 45, 181, 1975

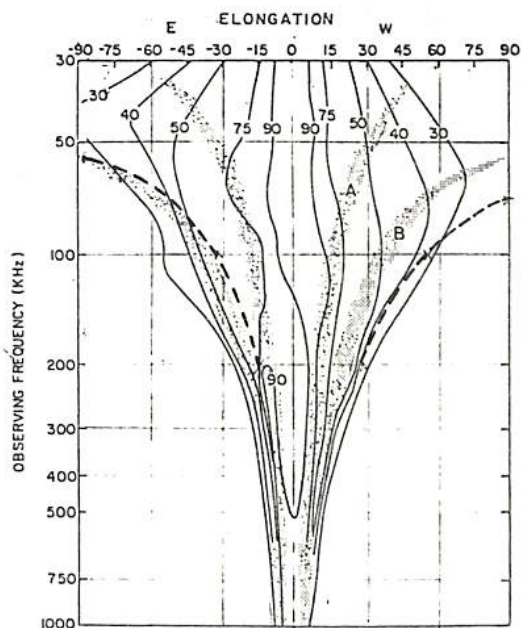


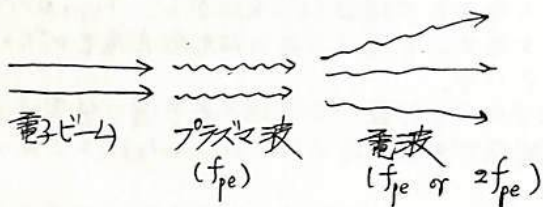
図1. The result of accumulation of 500 days of IMP-6 data in solar elongation coordinates. (Kaiser, 1975)

図中の数字は各周波数における最大値を100としたときの到来確率

タイプIIIバーストに伴う電磁波発生機構

東部 天文
九大・教養

最近 タイプIIIバーストに伴う電波発生に関する観測がでて、従来の常識とは異なる興味ある問題を提起していいる[1]。右図はその結果の一例を示す。 $f_{pe} \approx 31$ kHzである。従来の解釈では電子ビームが プラズマ振動を励起し、次に プラズマ振動のモード変換や非線形 process で f_{pe} や $2f_{pe}$ の電波が発生すると考えられていた。



[従来の理論]

しかし観測によると上記の process が起こるには プラズマ波の振巾が広すぎると判り、更に種々の面からタイプIII電波は プラズマ振動とは無関係の process から発生していると結論された[1]。これをうけて最近いくつか試みがなされていいる[2,3]が、それも難点がある。

我々は Turbulent Bremsstrahlung の見地からの解釈を試みる[4]。詳細は講演にゆずるが、下記の様な process で新しい良い電波発生が期待できる。

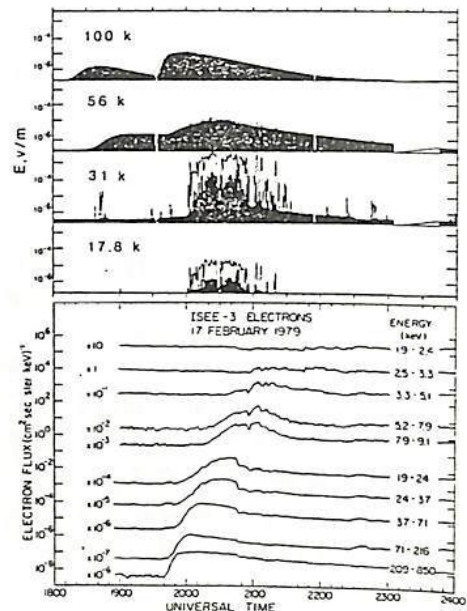
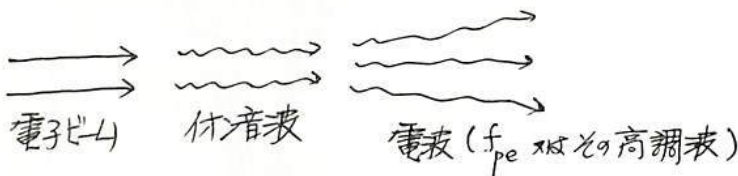


FIG. 3.—The top panel shows the electric field intensity measured from ISEE 3 on 1979 February 17 in four broad frequency bands for the event of interest. The black areas show the intensity averaged over 64 s. The solid lines give the peak intensity measured every 0.5 s. The smoothly varying profiles in the 100 and 56.2 kHz channels show two type III radio bursts. The second one is of interest here. The intense highly impulsive emissions observed in the 31.1 and 17.8 kHz channels are the plasma waves. The lower panel shows the omnidirectional electrons from 2 keV to > 200 keV. The velocity dispersion is clearly evident. No significant flux increase is observed below ~2.5 keV.

- 文献 [1] R.P. Lin, D.W. Potter, D.A. Gurnett and F.L. Scarf, *Astrophys. J.* 251 364(81)
 [2] M.V. Goldman and D.F. Dubois, preprint ('81)
 [3] D.B. Melrose, *Anst. J. Phys.* 35, 67 ('82)
 [4] M. Nambu, *Phys. Fluids* ('82) in press.

SOLAR TYPE III RADIO BURSTS IN LF BAND OBSERVED BY THE ISEE-3

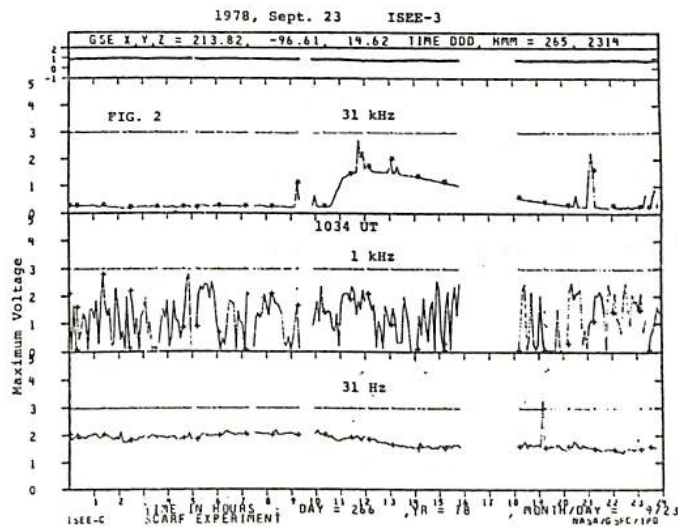
電波研究所 恩藤忠典

T. ONDOH Radio Research Labs.

Solar Type III radio bursts were observed in the 31 kHz band by the ISEE-3 at 1034 UT on Sept. 23, 1978. Corresponding solar flare was observed by ground microwave receivers at 0941 UT on Sept. 23, 1978 in the solar active region at N 35° and W 50° on the solar disc. A geomagnetic storm sudden commencement started at 0718 UT on Sept. 25, 1978 on the ground.

The ISEE-3 is located in the halo orbit at geocentric distance of about 230 earth's radii ahead of the earth. An energy flux increase of solar electrons with energy greater than 15 kev was also observed by ISEE-3 at 1008 UT on Sept. 23, 1978. The solar Type III radio bursts in LF band are believed to be generated by radio emissions from electrostatic electron plasma oscillations excited by solar low-energy electrons in the solar corona.

We examine occurrence time relations between the solar flare on the sun and solar Type III radio bursts observed by the ISEE-3, considering corrections of radio propagation time between solar radio bursts region and the ISEE-3. Then we discuss on energy of solar electrons which caused the solar type III radio bursts. The result shows that electrons of about 4 kev ejected from the solar flare at 0933 UT on Sept. 23, 1978 caused solar Type III radio bursts along the Archimedean spiral or heliospheric field line in the solar corona.



テレメータ方式による75km基線木星デカメータ
波観測用干渉計システムの開発

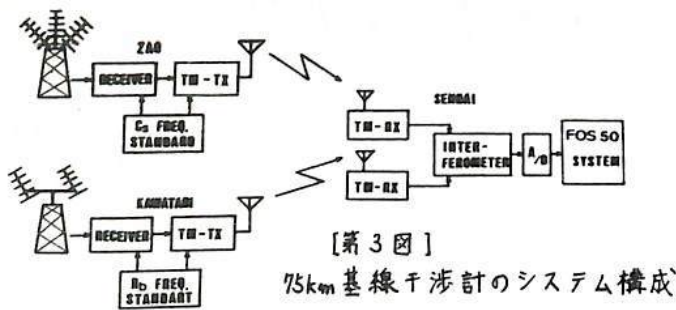
大家 寛, 森岡 昭, 徳丸宗利, 近藤 実
(東北大・理)

§. 序 木星デカメータ波は、巨大な木星磁気圏中に励起される様々なエネルギー源に伴う擾乱に関連して発生する電波であり、特に周波数の低い領域では地球極域で発生するオーロラキロメトリック放射と同じカテゴリーに入る。デカメータ波帯では、その発生源は木星オーロラ帯上空に存在する加速域に対応した木星電離層にある。こうした発生源の位置を探ることができれば、木星オーロラ粒子の加速域の空間的、時間的な変動を知ることができ、木星デカメータ電波の発生の原因を発明することが可能となる。従来から東北大学蔵王観測所に於いては、1km基線干渉計を用いた木星デカメータ波の観測が行なわれてきたが、その性能の限界に達する精度向上が追求されてきた。その間、より高い分解能で電波源の位置を決定することを目的とした75km基線干渉計システムの開発の準備を行なったが、今回は、75km基線干渉計システムの概要について報告する。

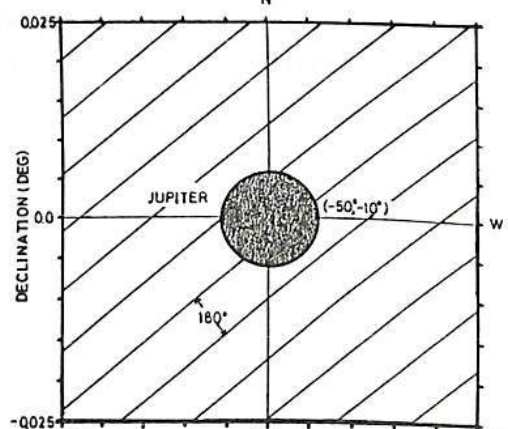
§. 分解能 第1図は、75km基線干渉計によって測定される二つのアンテナ間の位相差を、木星を中心とした天空上に投影したものである。これからも明瞭なように、位相差が 180° の精度で決定された場合、木星半径程度の分解能を持つことが判明する。短時間の相対位相差計測は 4° の精度の実績を持つので、2000km(0.03木星半径)前後の分解能に近づける見込みがある。

§. システム構成 干渉計システムの配置を、第2図に、システム構成を第3図に示す。75km離れた川渡及び蔵王の二地点で受信された信号は、それぞれの受信機に於いてヘテロダイイン方式により増幅されると、このヘテロダイインでの周波数変換は、短期 10^{-10} 、長期 10^{-12} に達する周波数標準を用いることにより相互位相差を正確に保持する。本システムの特徴は、二地点の位相情報をテレメータ電波で一箇所(仙台)に集合され、そこで位相差検出を実時間で行なうことである。

§. 開発の現状 テレメータの伝播路の位相安定性の実験を終了し、その結果、短期 1° 、長期 2° 、混信時 7° の安定性を持つことが確認された。現在、受信機部の制作に入っているが、位相検出器及びPLLシンセサイザー局部発振器が完成し、Cs及びRb周波数標準を用いた試験で、高い精度の安定性が確認されている。この冬からの観測に備えている。



[第3図] 75km基線干渉計のシステム構成



[第1図]



[第2図]
75km基線干渉計
の配置

KOITIRO MAEDA

THOMAS D. CARR

(Hyogo College of Medicine) (University of Florida)

The well defined zones of central meridian longitude within which the probability of Jovian radio emission at frequencies near 22 MHz is relatively high are known as sources A, B, and C. Each consists of a component which is Io-related and another which is Io-unrelated¹. This emission anisotropy and other observed effects have been interpreted in terms of quasi-continuous beams which corotates with Jovian magnetosphere, but the evidence for beaming has been indirect. We present convincing direct evidence, based on results of simultaneous observations from the two Voyagers and a terrestrial observatory, that the Io-unrelated source A radiation is emitted in characteristic beams.

Our observations were made in early 1979 at 21.811 MHz (bandwidth=200 kHz) from Voyager 1 and 2, and at 21.860 MHz (bandwidth=13 kHz) from the Mizuho-cho Radio Observatory. Although both Io-related source B (Io-B) and Io-unrelated source A (non-Io-A) noise storms were observed, only the latter, which exhibited a much higher degree of correlation at the three stations than did the Io-B storms, were used in the present analysis. Eight non-Io-A storms were identified at both Earth and Voyager 1, and 3 of these were also identified at Voyager 2. Each event was either the start or the end of a storm, the most easily recognizable features. The times of a given event at the 2 or 3 stations were corrected to a standard distance in order to eliminate differences due to unequal propagation delays. On the assumption that the manifestation of the event at each station resulted from the passage of the leading or trailing edge of a corotating beam, the times were also corrected for the differences in Jovicentric right ascension of the stations. Corrected times are those at which the event would have been observed if all three stations were at the same distance from Jupiter and were at the same Jovicentric right ascension, without their declination having been altered. Any remaining significant differences in the corrected times could thus be attributed to the combined effect of the shape of the beam cross section and differences in station declinations (which were essentially constant throughout the observation period). The 2 or 3 corrected station times were converted into station longitudes. The beam structures are shown as a function of Jovicentric declination and System III (1965) longitude in Fig. 1 (leading edge: solid line, trailing edge: dashed line). Our results are consistent with the long-term terrestrial observations^{1,2} (the starting, centroid, and ending longitudes are indicated in Fig. 1).

1. Carr, T. D., and M. D. Desch, in Jupiter, ed. by T. Gehrels, Univ. of Arizona Press, Tucson, p. 693 (1976).

2. Bozyan, F. A., and J. N. Douglas, J. Geophys. Res., 81, 3387 (1976).

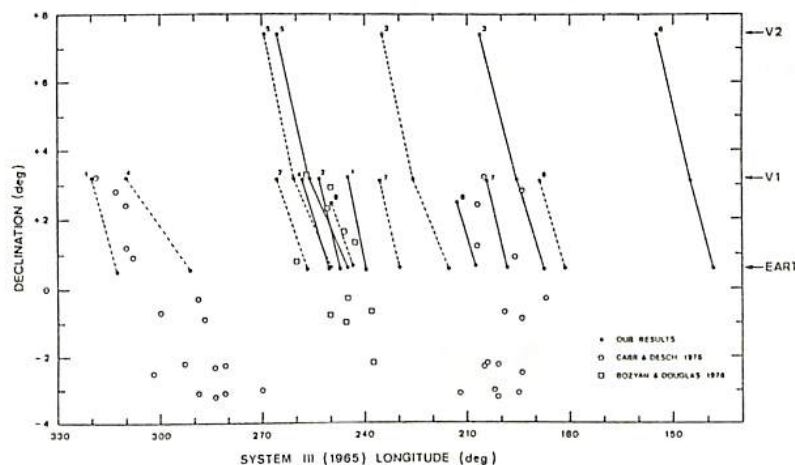


Fig. 1.

青山 隆司 大家 寛 森岡 昭
(宮城職訓短大) (東北大學 理學部)

1. 序 1982年5月、宮城県北部の築館町(宮城職訓短大内)に、木星および太陽電波受信システムが、東北大學大家研究室木星グループの協力を得て完成し6月より観測を開始した。今回の講演では、本システムの紹介をするとともに現在までに得られたDataについてその観測結果を報告する。

2. 観測システム 木星および太陽電波観測システムのblock diagramを1図に示す。可動式の9素子ログペリヤンアンテナを用い20MHz～40MHz帯の電波バーストのwide band信号を受ける。アンテナから供給された信号をhigh-pass filter および pre-Ampを通し Spectrum analyzer で掃引受信し、最終的に dynamic spectrum の形で Data を得ている。

3. 観測結果 木星電波は、現在観測条件の悪い時期に当たっており、7月8日0時0分～0時37分の一例だけ得られている。一方太陽電波は、6月6日の大フレーヤーにみられるように非常にactiveで、その回帰性バーストと思われるDataが多数得られている。現在までに得られたDataを発生頻度順に分類する。

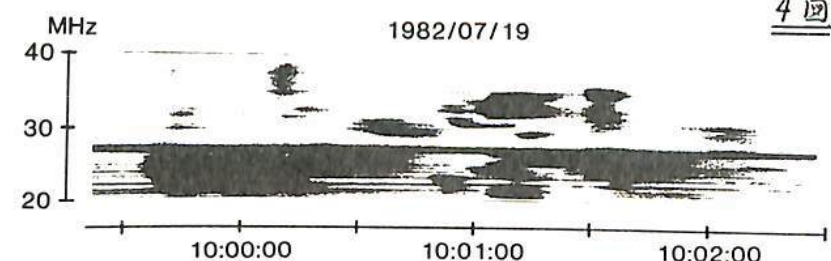
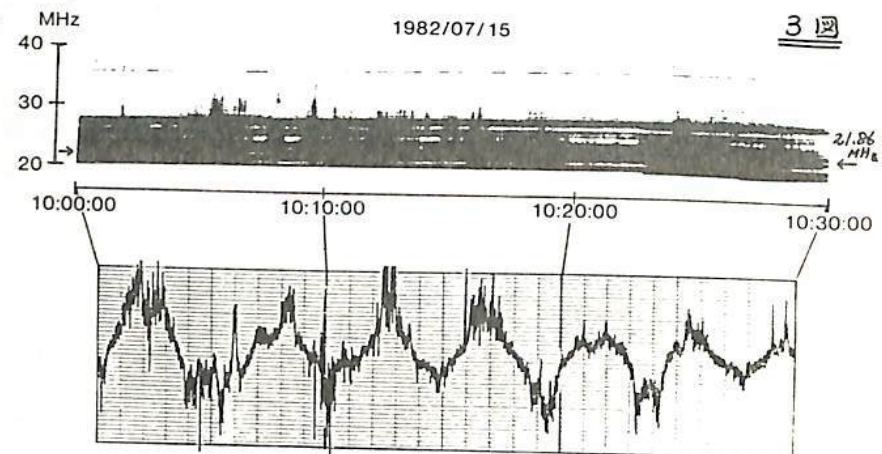
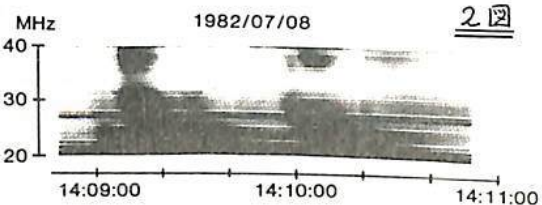
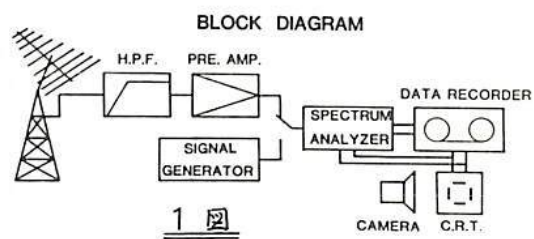
(i) Type III; 単発性のものおよび集団をなすもの、(ii) Type II; ゆっくりしたdriftをするflare shockにともなうもの、(iii) Type I; 2時間以上続いたImpulsive burstの嵐。2図、3図および4図に太陽電波の観測例を示す。

[2図] 典型的なType III。

[3図] Impulsive タイプのバーストが群発した例。

下のパネルは惑星の干渉パターン($\approx 1.86\text{MHz}$)。

[4図] Sprit 構造が明確にみられる例。



リオメータデータ中に 見られる木星デカメータ波放射

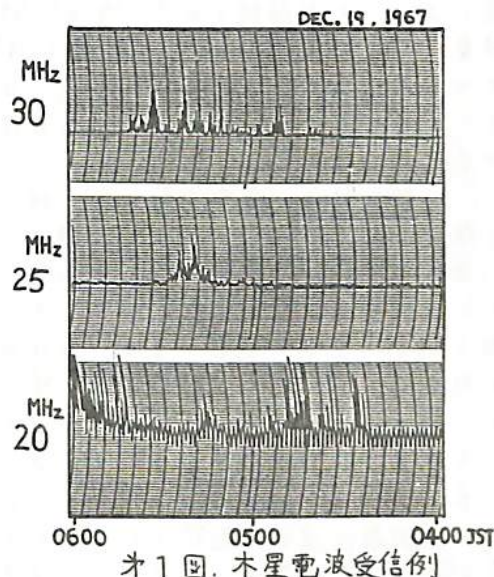
近藤哲朗, 磯崎進, 大内栄治
(電波研鹿島) (電波研犬吠) (電波研平磯)

はじめに 木星デカメータ波放射の長年月に亘る出現特性が太陽活動(約11年周期)に関係があるのか木星の公転周期(約12年)に関係があるのかは興味深い問題である。長周期の出現特性を明らかにする為には長期間のデータが必要となる。ところで電波研究所平磯支所では、リオメータを用いた銀河電波の電離層による吸収測定を20, 25, 30, 40および50MHz帯において、1965年より行なっている。このリオメータデータを木星デカメータ波放射という観点より解析した結果、数多くの木星デカメータ波放射の受信が確認できた。このリオメータデータ中に見られた木星デカメータ波放射の出現特性について報告する。

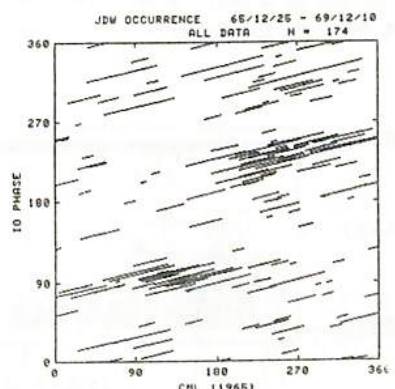
木星電波判定方法 リオメータデータから木星デカメータ波放射であるかどうかの判定には次の方法を用いた。データは木星が地平線上に出現しかつ夜間のデータに限定した。これは、太陽電波および混信をさける為である。そして、リオメータ中、20, 25および30MHz帯の少くとも2周波数帯で受信され、40および50MHz帯では現象がないもので、継続時間が10分以上の現象を木星デカメータ波放射とした。これは木星デカメータ波放射の高域カットオフ周波数が約38MHzであり、30MHz以下の周波数では5MHz以上の広帯域に出現することによっている。オ1図にリオメータデータ中に見られた木星デカメータ波放射例を示す。

出現特性 上述した方法により、リオメータデータ中から得られた木星デカメータ波放射の出現を、イオ衛星の位相角対木星中央子午線経度(CML)図上にプロットした結果をオ2図に示す。1969年までのデータの解析結果であるが、イオ衛星の位置および木星中央子午線経度に同期した現象が出現しており、木星デカメータ波放射が受信されている事が確認できた。そのほとんどがイオ依存性電波源からの放射となっているが、これはリオメータの受信アンテナが天頂方向を向いており、強度の弱い非イオ依存性電波源からの放射は受信が困難であったためと思われる。

まとめ 今回の解析はリオメータデータを利用した木星デカメータ波放射の長周期の出現特性を目的としている。1969年からのデータは、木星デカメータ波放射周波数帯では30MHzのみとなり、さらに木星電波の同定が困難となっている。したがって長年月に亘る出現特性を議論する為には、受信周波数の違い、さらにアンテナが天頂方向に固定であるという事を考慮に入れる必要があり、現在、検討中である。



オ1図. 木星電波受信例



オ2図. 出現特性

木星デカメータ-波

S-バーストの観測

大家 寛, 永井 智広, 森岡 昭
(東北大・理)

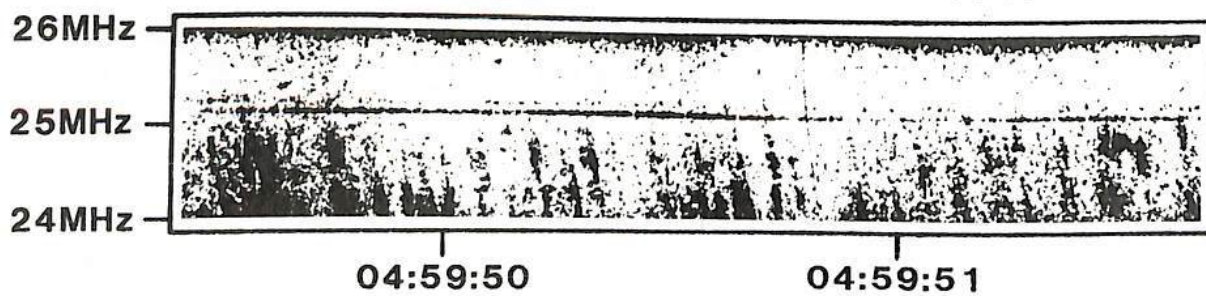
緒序 木星デカメータ-波には、数ms~数10ms程度の時間スケールで激しく変動する、S-バーストと呼ばれる現象がある。この現象は、比較的長い継続時間を持つL-バーストと共に、木星デカメータ-波の発生機構を考える上で欠くべからざる存在である。当グループではこの現象を捕えるため、V.T.R.を利用した広帯域記録装置及び高分解能の周波数解析装置を開発し、1982年3月13日より観測を開始し、良信に成功したので報告する。

S-観測 記録装置及び解析装置のブロック図を、第1図、第2図に示す。観測帯域幅は2MHz、時間、周波数の分解能は各々 1ms, 30kHz である。観測された結果の一例を第3図に示す。この結果は同時に観測された他のシステム(干渉計、ダイナミックスペクトラム)の結果と比較し、木星起源であることが確認された。また、従来報告されてゐる現象(Ellis, G.R.A., Riihimaa, J.J., Leblanc, Y., 等)と同じ性質のものであることが示されたが、今回、自ら直接データを得ることができる、S-バーストの発生原因の謎の解明の手がかりがつかめるようになれた。

S-解析結果 観測を行った、24~26MHzの典型的な例を解析した結果、(i)バーストの継続時間は、数ms~100ms(单一周波数)、(ii)繰り返し周期は、40~70ms、(iii)周波数ドリフトは、-25MHz/s前後、という結果が得られた。このうち周波数ドリフトはほぼ一定の値をとり、また繰り返し周期も割合一定した値をとるが、継続時間はたゞへんがらつきが大きい。以上、バースト群の特徴は、バーストの継続時間、繰り返し周期、周波数ドリフト等に顕著に表われる。また、個々のバーストは全く独立して出現するばかりではなく、前後のバーストと相互に作用しあうような形状に見えることもある。

S-バーストにかかる放射が、Io Flux Tube (IFT) 内で生じ、電波源ではサイクロotron周波数で波動が励起されると仮定すると、 $V_{\parallel} \approx 0.1c$ でIFTを上昇する電波源を考慮すると説明し得る。これはその速度を考慮すると、上昇する電子ビームによる、と考えるのが妥当である。また、繰り返し周期は、これらの電波源がIFTに沿って上昇する領域の発生頻度を反映すると考えられる。

1982 4/5



第3図 S-バーストのダイナミックスペクトラム

長基線による木星デカメートル波 シンチレーションの多地点観測

今井一雅・富沢一郎
高知高専電気工学科 電気通信大学

筆者らは、木星デカメートル波を地上で観測した場合、 0.1Hz から 1Hz の強度変動成分は、木星から地球に伝搬する際太陽風によりシンチレーションを受けたものであることを観測的に明らかにしてきた。観測は、今まで 150Km から 220Km 離れた多地点で同時に木星電波を受信する形で行われてあり、多地点の強度変動に対して相関解析を行い相間の高い部分の時間差から惑星間空間シンチレーション(IPS)による成分を分離している。今回図1のように、基線長を約 600Km に伸ばして同様の多地点観測を行った結果、 I_{0-A} に属する2例を観測し解析することに成功した。2地点の解析結果については、前回の学会で報告したが、その後3地点のデータ解析も行い次のようになことがわかった。(1) 200Km 程度の基線においては、今までの観測と同様に高い相間値(~ 0.5)と太陽風の投影速度に対応する時間差($\sim 300\text{m sec}$)が認められる。(2) 600Km 程度の基線では様相が異なり、それぞれの地点のオーダーの強度変動(図2)は良く対応しているが、 $0.1\sim 1\text{Hz}$ の成分は思った程相間が良くなく、しかも時間的に大きく変動している。これは、2例について共通に言えることである(図3,4)。以上の結果は、Elongation Angle オ 110° 前後のデータについて言えたことであり、今後この範囲を広げてElongation Angleとの依存性を調べていく必要がある。



図1 観測点の位置

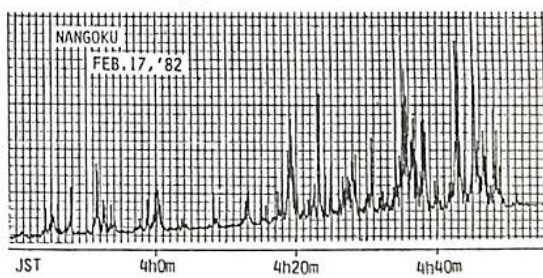


図2 南国で受信した強度変動

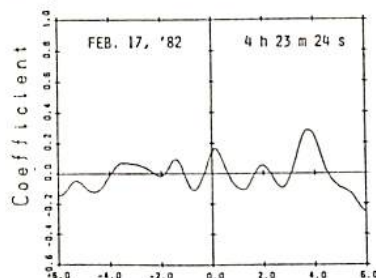
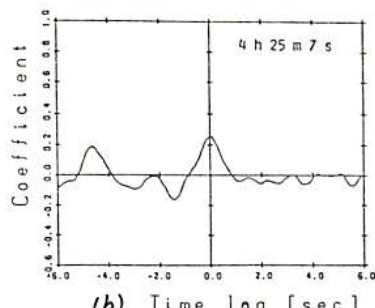


図3 (a) Time lag [sec]



(b) Time lag [sec]

図3
(a) 82年2月17日の
データ(I_{0-A})の相
互相關(南国-菅原基準)
(b) 同日の違う時間
の相互相關

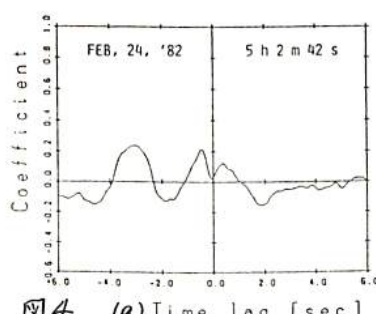
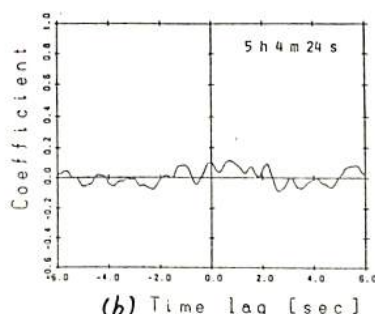


図4 (a) Time lag [sec]



(b) Time lag [sec]

図4
(a) 82年2月24日の
データ(I_{0-A})の相
互相關(南国-菅原基準)
(b) 同日の違う時間の
相互相關

4.08 GHz における木星電波観測 I

渡辺 勉、近藤哲朗※ 国森裕生※
名大空電研、※電波研鹿島支所

木星放射線帯の中の高エネルギー電子 (~ 20 MeV) によるシンクロトロン放射は主にデシメータ波帯やマイクロ波帯における電波放射として観測されており、地上より木星の内部磁気圏を観測する有力な手段となっている。電波の強度や偏波成分は木星経度 (λ_{J}) におけるダブルサイン的な変動に始まり、数日程度の短いタイムスケールの変動や 10 数年のオーダーの長期変動があることが知られているが、木星の電波観測を定常的に行って太陽・惑星間空間の諸現象と比較することにより、高エネルギー電子の木星磁気圏内での振舞いを調べることが可能であろう。

以上のような観点のもとに、電波研鹿島支所 26 メートル電波望遠鏡を用いて、4.08 GHz における木星電波観測を開始した。R.F. 増幅器は雑音温度約 45 度の常温パラメトリックアンプで、右回り円偏波にて観測を行った。これは木星電波の円偏波率が約 1% と低いため、電波強度を簡便に測定出来ることによる。帯域幅は 25 MHz、時定数は 1.0 秒とした。観測は木星とその前後、赤経 $\pm 1/2$ 分のオフセットを与えた場所とのスイッチングに加えて、ドリフトスキャンも併用して行った。受信方式は total power mode であった。flux density の較正は $\sim 3C273$ (3.6 ± 2 Jy), $3C286$ (8.3 ± 0.4 Jy), $3C348$ (14.6 ± 0.7 Jy) 等の電波源を用いて行った。これらの電波源の 4.08 GHz における flux density は他の周波数におけるカタログ値より推定するのであるが、カタログ値にも 5% 内外の誤差がある。上記の電波源のうち $3C273$ は時間変化があるので、カタログ値よりも 5% の誤差がある。上記の電波源のうち $3C273$ は時間変化するので、他の 2 つの電波源によつて較正した。観測は 1982 年 7 月 23 日と 8 月 5~6 日に行つた。この観測によって得られた、木星電波の 4.08 GHz における flux density を第 1 表に示す。各々の値は 20~30 分間ににおける観測値の平均である。較正の精度は約 10% である。較正には大気による吸収を考慮した。この時期における木星-地球間の距離は $5.3 \sim 5.5$ AU であったため、観測した flux density (S_0) は木星-地球の標準距離 4.04 AU での値に直した ($S_{4.08}$)。今回の観測により得られた flux density をすべて平均すると 7.5 ± 0.8 Jy となる。このあたりの周波数では木星経度による電波強度の変動は少ないので、この値を 4.08 GHz における木星の flux density と考えても大した差はない。そこで第 1 図に示すような木星の電波スペクトルの上に重ねて見ると、ここで得られた値は平均的な木星電波スペクトルに良く対応している。この図から分るよう、我々の周波数は木星電波の非熱的成分と熱的成分とが等強度になる周波数に近い。從つて観測された flux density の約半分が木星放射線帯から来ることになる。

Y/M/D/UT	λ_{J}	S_{obs}	$S_{4.08}$	Calib.	Obs.
				Source	Mode
82/7/23/5	300°	4.4 ± 1	7.6 ± 1	3C273	ON-OFF
82/8/6/4	215°	3.7 ± 0.4	6.9 ± 0.4	3C286	ON-OFF
		3.9 ± 0.4	7.2 ± 0.4	3C348	ON-OFF
82/8/6/5	250°	4.1 ± 0.6	7.6 ± 0.6	3C286	DRIFT
		4.3 ± 0.6	8.0 ± 0.6	3C348	DRIFT

S_{obs} : Observed Flux Density, Jy.
 $S_{4.08}$: Corrected Flux Density at 4.08 GHz, Jy.
 $1 \text{ Jy} = 10^{-26} \text{ W m}^{-2} \text{ Hz}^{-1}$

Table 1

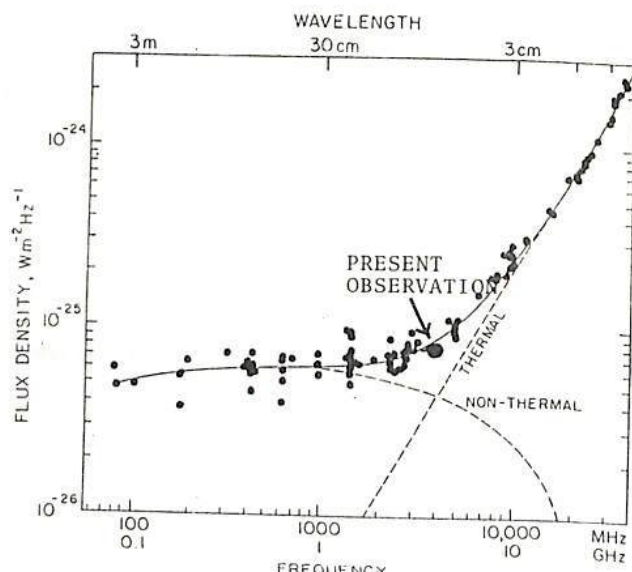


Figure 1



鹿島 26m 中電波望遠鏡

MULTI-BANDED KILOMETRIC RADIATIONSGENERATED AT THE PLASMAPAUSE - The results of JIKIKEN(EXOS-B)

Hiroshi OYA and Akira MORIOKA

(Geophysical Institute, Tohoku University, Sendai 980, Japan)

By natural plasma wave detector (NPW) onboard Jikiken (EXOS-B) that has the frequency resolution of 1 kHz, a new type of the radiation with continuous dynamic spectra with constant frequency in a range from 100 kHz and 200 kHz associated with multi-banded fine structure has been discovered. The frequency gaps of the multi-banded radiation are in a range from 4 kHz to 9 kHz suggesting the coincidence with the local ion cyclotron frequency; an example of this radiations are given in Figure 1.

This new type of the radiation is called here "Multi-Banded Kilometric Radiation" (MBKR). The generation mechanism of MBKR is basically same with the continuum radiation (Jones, 1976) and $(n+1/2)f_c$ emissions (Kurth, et. al. 1979) that are interpreted by the mode conversion mechanism based on the original linear conversion theory (Oya, 1971) for the hybrid mode and the Bernstein mode waves. The multi-banded kilometric radiation is, however, generated including nonlinear effects. Due to the effects of the intense ion cyclotron waves, the $(n+1/2)f_c$ emissions are modulated by the ion cyclotron waves generating multiple ω -splitting spectra as the results of three waves interaction processes, as

$$f = (n+1/2)f_c + mf_{ic}, \quad (1)$$

where f_{ic} is the ion cyclotron frequency; m and n are arbitrary integers. These waves can be converted in to the electromagnetic waves when the conditions

$$f_{UHR} = (n+1/2)f_c + mf_{ic} \quad (2)$$

is satisfied. where f_{UHR} is the upper hybrid resonance frequency.

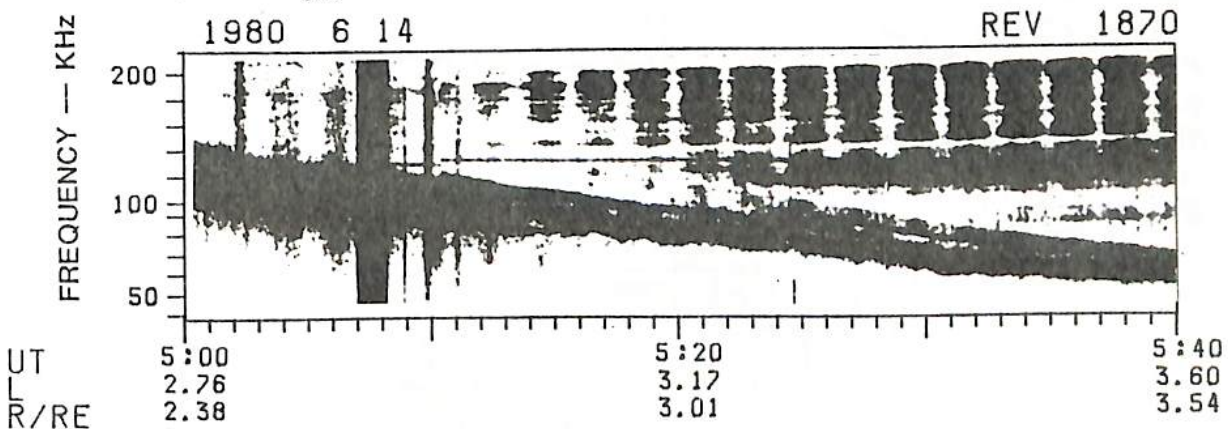


Figure 1. An example of the multi-banded kilometric radiations

Jones, D., Source of Terrestrial nonthermal radiation, *Nature*, 260, 686-689, 1976

Kurth, W.S., J.D. Craven, L.A. Frank and D.A. Gurnett, Intense electrostatic waves near the upper hybrid resonance frequency, *J. Geophys. Res.*, 84, 4145-4164, 1979

Oya, H., Conversion of electrostatic plasma waves into the electromagnetic waves : Numerical calculation of the dispersion relation for all wavelengths, *Radio Sci.*, 6, 1131, 1971

Multiple Sources of AKR

— EXOS-B 観測

森岡 昭, 大家 寛 (東北大・理)

EXOS-B衛星によって観測されるAKRのダイナミックスペクトラムから、AKRの発生域の高度・構造および運動を知ることができます。筆者等はこれまでAKRの発生域は比較的一様にひろがる広い発生域と、この領域の中に緻細な構造をもつ発生域(discrete AKR)とがあることを示してきた。今回は更に多くの観測例の解説からAKRの発生域の多層構造および運動特性について報告する。解析結果の概要は以下の通りである。

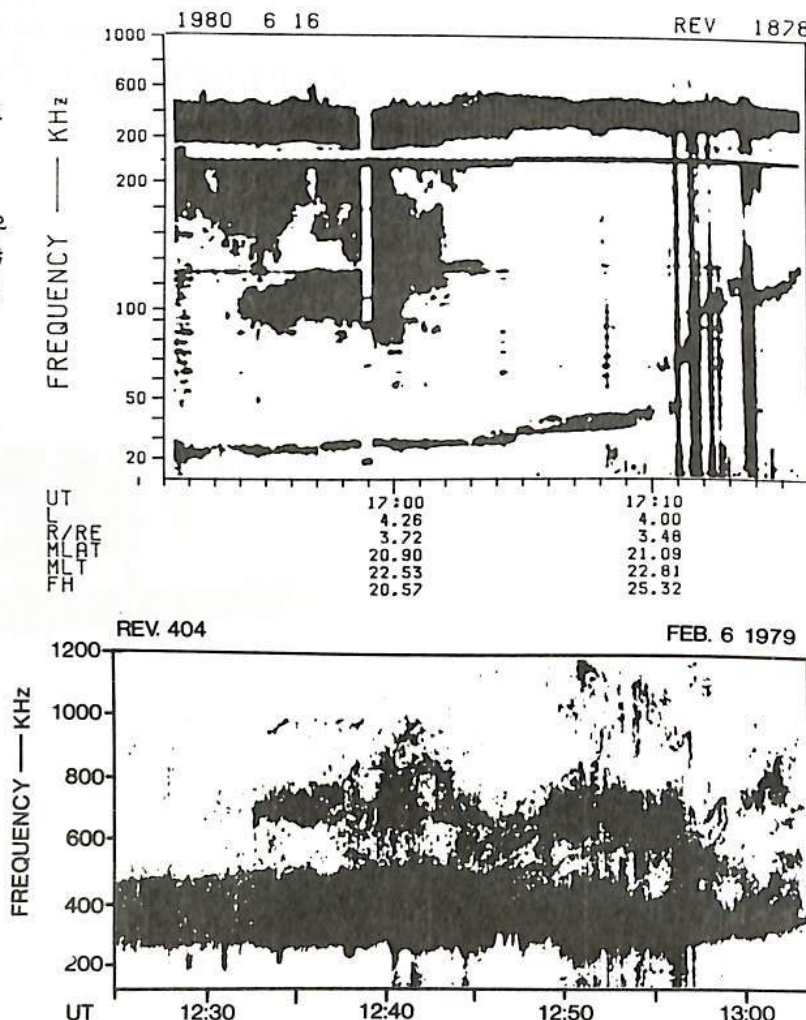
(1) AKRの発生域は時に多層構造をもち、それらの発生域は独立に高度変化、強度変動を示す。このことはオーロラの多層アーチに対応してAKR発生域が存在していることを示唆している。

(2) AKRの活動が活発になり、それまで出現していないAKRの強度の増大と source broadening がおこるとき、これは別に新たなAKR sourceが出現することがある。このsourceは前触れなく出現する様相を示し、AKRの発生域が派生する場合、短かい時間の間に大きく成長することを示唆している。(第1回参照)

(3) 大きなサブストーム中

FはAKRの Main の発生域
Fに加えて低高度域に fine
structureで構成された 3 source
群が発生する。このときの
source drift 速度は 15~20
km/sec であり平均的で discrete
AKR の source より 2~3 倍
の速い運動を示す。(第2回)

(4) 磁気圏内で観測される
discreteなスペクトルをもつ電波(UHRエミッション
が L-O モードに変換され
て電磁波)は AKR と同じ
周波数帯域で出現するが、
AKRとは異なり、F領域で
発生している。

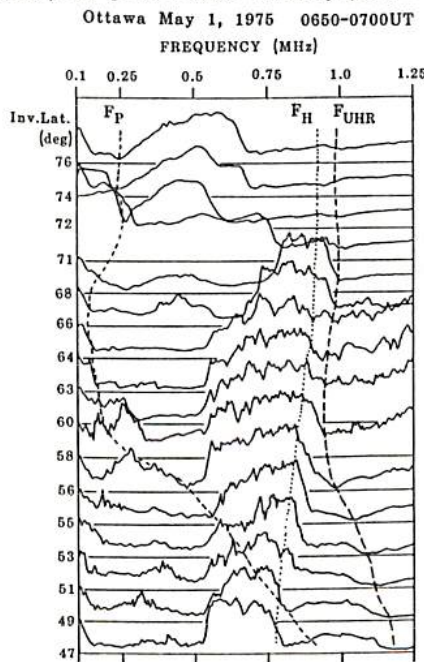


ISIS衛星により観測された極域高周波フーラズマ波動

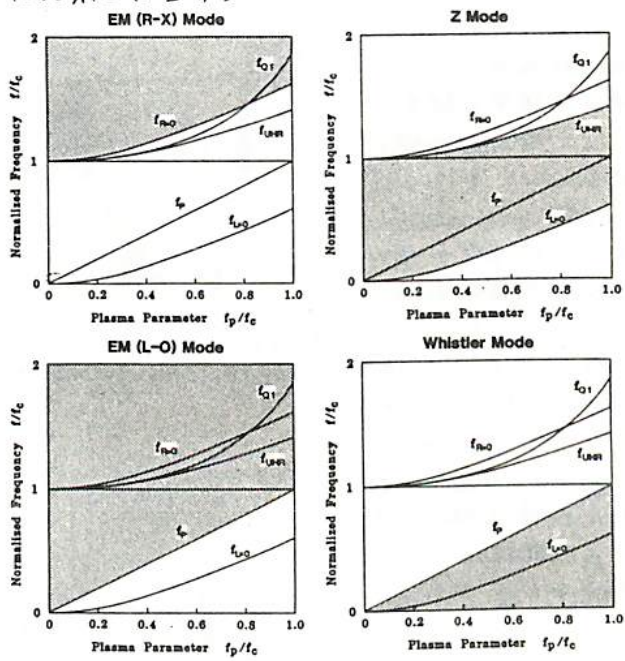
宮岡 宏, 小野高幸
(国立極地研究所)

極域上部電離圏(1000~3000 km高度)におけるフーラズマ波動現象のうち、コラス、ヒス並びにゾーサーなどのVLF波動に関してはすでに多くの詳細な研究が行なわれてゐるが、LF帯以上の高周波フーラズマ波動については、LF帯ヒス(James, 1973; Kisabeth and Rostoker, 1979)やAKR(Benson and Calvert, 1979他)を除いてこれまでほとんど解析がなされていない。しかしながら、この領域では、以上2つの他にも前回報告した2モード波を始めとして、オーロラ降下粒子によるactiveな高周波フーラズマ波動の励起が行なわれてゐる。ここでは、北極(Resolute Bay, College, Ottawa)並びに南極(Syowa)において受信したISIS-1, 2衛星によるサウンダーデータから明らかとなつた極域電離圏領域における高周波フーラズマ波動の基本的な発生・伝播特性について報告する。

今回、解析に用いたISIS衛星サウンダーデータは、前回報告したOttawa局受信のものに加え、Resolute BayおよびCollege局受信の計329pass(1975年)、並びに南極昭和基地において受信した約600pass分(1976~1979年)のデータである。第1図に観測された高周波フーラズマ波動スペクトルの典型例を示す。これらはTransmitter OFF時のサウンダーアクションレベルであるが、同時にサウンダーモードによる観測から衛星高度のフーラズマ特性周波数を知ることができます。高周波フーラズマ波動の各モードは、第2図に示す周波数範囲にのみ存在するので遮断周波数の情報から観測されたフーラズマ波動のモードを規定することが可能となる。第1図では、オーロラ粒子降下域とみられるInv. Lat. 70°近傍で強いZモード波($f_L \approx f_{UHR}, f_H$)の励起があり、その高緯度側で $f_L \approx f_p$ のWhistlerモード波並びに f_p のOモード電磁波が観測され、逆に低緯度側ではZモード波が顕著である。本講演では、こうした高周波フーラズマ波動スペクトルの基本的様相を明確にした上で、これらの発生・伝播プロセスに関する理論的検討を行なった結果を報告する。



第1図 高周波フーラズマ波動スペクトルの一例(ISIS-2衛星)



第2図 各フーラズマ波動モードの存在領域
(縦軸: 規格化周波数 f/f_c , 横軸: フーラズマパラメータ f_p/f_c)

I S I S - 1, 2 衛星で観測された

静電イオンサイクロトロン波の特性

福西 浩 (極地研)

鈴木光義・芳野赳夫 (電通大)

S 3 - 3 衛星により静電イオンサイクロトロン波 (Electrostatic Ion Cyclotron Harmonic Wave) が観測され、Double LayerやAnomalous Resistivityの生成機構と関連して注目されている。S 3 - 3 衛星の観測結果 (Kintner et al., 1978, 1979)によれば、E I C 波は強いDC電場領域 (Electrostatic Shock) 又は、弱いTurbulent Electric Field の領域で、0.074 - 5.4 kevの電子フラックスの増加とよい相関をもつて観測された。更に、E I C 波が観測される時は大部分の場合上向きのイオン流が観測された。これらの相関関係からE I C 波の生成機構として、

1) 電子ビームとの Landau Resonance

2) イオンビームとの Cyclotron Resonance

の二つの機構が考えられているが、まだ結論は得られていない。

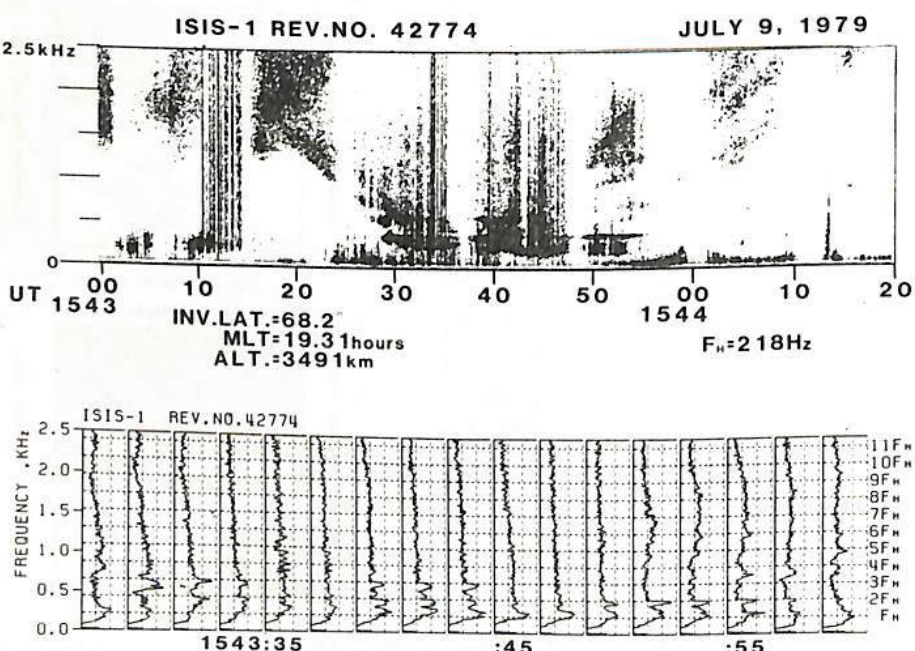
更に注目すべき点は、S 3 - 3 衛星では、E I C 波は高度 4500 km 以上の領域でしか観測されていない。この理由として、高度が低くなるにつれ波の位相速度が遅くなり衛星の移動速度に近づくので、ドップラー効果が大きくなり、たとえ E I C 波が起っていても観測できないと考えられていた。しかし、昭和基地で受信している I S I S - 1, 2 号衛星のVLF データの中にプロトンのジャイロ周波数の Harmonics 構造とともに波が観測された。図 1 はその例であり、V 型ヒスの底の部分に E I C 波と思われる波が観測されている。この図から、オーロラヒスを起す電子ビームが存在する領域内で E I C 波も励起されていることがわかる。また、オーロラヒスが電子ビーム領域の外側に Whistler Mode を伝搬できることに対し、E I C 波は領域内に閉じ込められていることがわかる。

E I C 波と思われる波は高度 1400 km の I S I S - 2 でも観測された。また VLF ソナーの底の部分にも

プロトンのジャイロ、

周波数の Harmonics:

構造が頻繁に観測された。これらの観測結果から、E I C 波が、数 kev のエネルギーを持つ電子ビームの存在する Upward Current Region と数 ev の Drifting Thermal Electron の存在する Downward Current Region の両方の領域で励起される可能性について検討する。



電子ビームによる Beam Plasma Discharge の研究

高橋那明 佐々木道 河島信樹
(宇宙科学研究所)

衛星体を用いた宇宙空間での電子ビーム放出実験がおこなわれるようになり以来、衛星体の帶電中和、ビームの安定とこれら2点から、Beam Plasma Dischargeの研究が重要視されるようになります。

W. Bernstein は大型スペースチャーネルにおける一連の実験により、Beam Plasma Discharge 発生のためのビーム電流のしきい値 I_c が、加速電圧、磁場等、他のパラメータにどのように依存するかを示す経験式を得た。

$$I_c \propto \frac{V_b^{3/2}}{PB^{1/2} L} \quad (1)$$

$\begin{cases} V_b: ビームの加速電圧 & B: 磁場 \\ P: 壓力 & L: ビームとアラズマの相交作用距離の長さ \end{cases}$

一方、H.L. Rowland, K. Papadopoulos (1981) は簡単なモデルを使って、アラズマ密度の時間変化を示す式

$$\frac{dN_e}{dt} = Q - DN_e \quad (2)$$

$\begin{cases} Q: アラズマの生成項 \\ DN_e: アラズマの損失項 \end{cases}$

から、(1)式と類似の式を得ていい。

$$I_c \propto \frac{V^{3/2}}{PBL} \quad (3)$$

Beam Plasma Discharge 発生のメカニズムとしては、

1. ビームと中性ガスの衝突により、薄いアラズマが発生する。
2. ビーム・アラズマ不安定性により、波が生じ、この電場でアラズマ電子が中性ガスの ionization energy まで高められる。
3. ionization energy まで高められた電子が、周囲の中性ガスを離脱する。
(Beam Plasma Discharge の発生)

という3段階が考えられており、アラズマ密度の変化は、Beam Plasma Discharge と密接な関係がある。実際、Beam Plasma Discharge 発生の条件は、 $W_p \approx W_{ce}$ と考えられており、これがアラズマ密度があるしきい値 N_c を越えたときに Beam Plasma Discharge が発生することを示している。

アラズマ密度にしきい値 N_c が存在するとすれば、(2)式より得られる

$$t_D = -\frac{1}{D} \log \left(1 - \frac{D}{Q} N_c \right) \quad (4)$$

より、ビーム・スタートから Beam Plasma Discharge 発生までの time delay t_D を測定することになり、アラズマ密度のしきい値 N_c と他のパラメータの関係が導かれるはずである。

今回の実験では、この time delay t_D のパラメータ依存を調べることに加え、アラズマ密度と、Beam Plasma Discharge 発生の関連について調べることを目的とした。

じきけん (EXOS-B) 電子ビーム実験に
おける波動励起

赤井和憲 河島信樹 村里幸男
宇宙研

科学衛星「じきけん」(EXOS-B)における電子ビーム放射実験(CBE)は、電子ビームにより励起される plasma wave との interaction の解明及び衛星電位の制御等を目的としたものである。電子ビーム放出に伴い f_{UHR} や n_{fce} をはじめとする wave が強く励起されることが前回までに報告された。今回は、特に低高度($\leq 3,000$ km) に於てしばしばみられる HF 帯の特徴的な dynamic spectrum(図1)について報告する。

図1は、低高度における電子ビーム放射時のHF帯 dynamic spectrum の一例である。時刻とともに衛星が遠ざかっているので f_{UHR} が次第に低くなっているが、特徴的なことは、 f_{UHR} の上下の side band に 100~400 kHz の時間的に変動する周波数差をもつ subsidiary なピークが現われていることである。さらに詳しい解析によると、この周波数差に新しい波も観測された。また、このときの粒子エネルギー分布(ESP)のデータを図2に示す。

この side band が、 f_{UHR} と他の波との非線型的 couple によるものか、あるいは instrumental な影響か、また、ビーム放射に伴う衛星電位の上昇とも合わせて考察していくこととする。

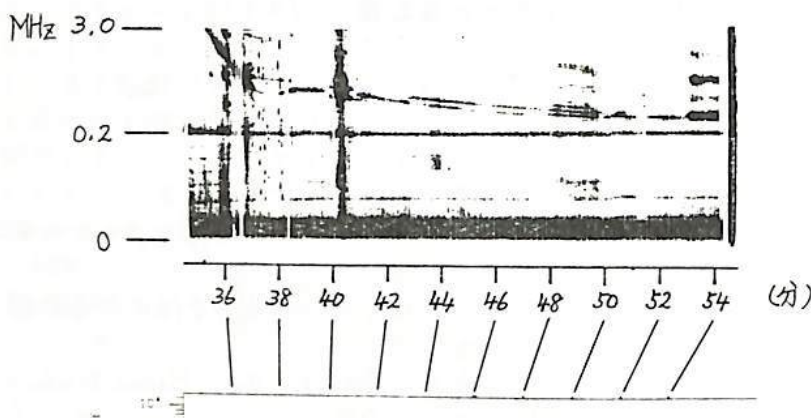


図1

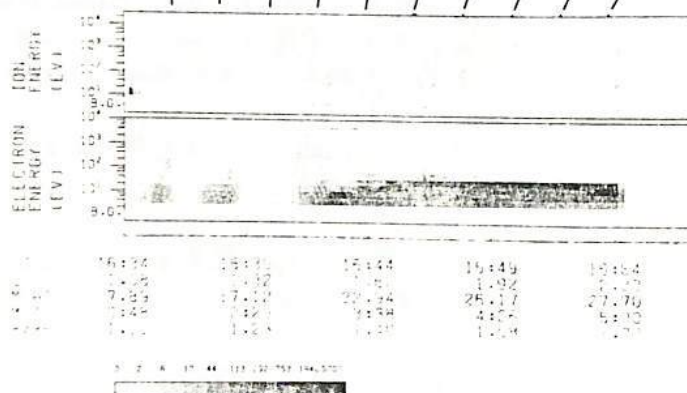


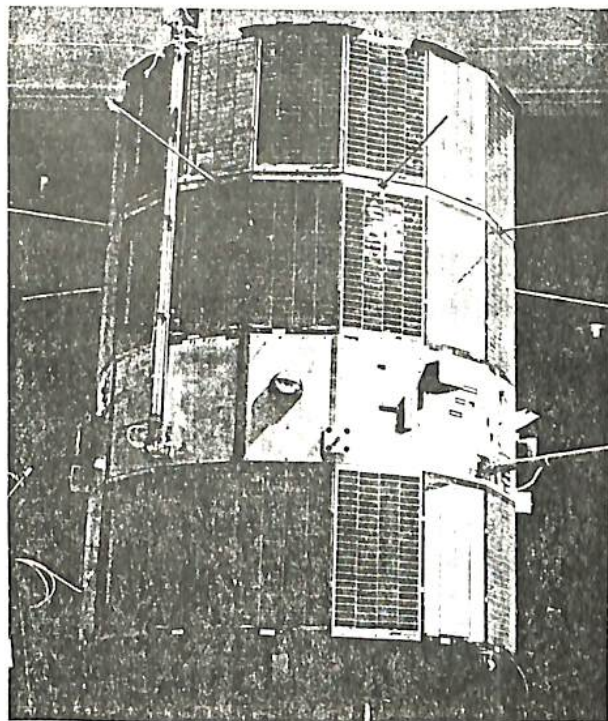
図2

人工衛星の帶電による広帯域静電ノイズの発生の可能性
早川 基・鶴田浩一郎・西田篤弘(宇宙科学研)

宇宙空間に浮かんでる人工衛星は、周辺プラズマの変化や太陽紫外線の照射の変化等により、その帶電の様子が変化する。この衛星の帶電の様子を調べる事は電場等の観測データを解析する上で重要な事である。

最近、Imp 6、ISEE 等の衛星により数十Hz から数十kHz におよぶバースト状の静電ノイズが磁気圏尾部で観測される事が報告されている。この広帯域の静電ノイズはその周波数の上限がローカルなプラズマ周波数よりも高い周波数にまで発生しており、分散関係を持た無い事から、自然発生した波を観測しているのではなくて、人工衛星と周辺プラズマとの相互作用による人工的なノイズではないかと言われている。その発生機構の一つとしても衛星の帶電が考えられる。

ここでは衛星周辺の電位を計算するプログラムを用いて、Imp 6 状の形態の衛星の帶電が磁気圏尾部で考えられる様々な条件下どのように変化するかを調べ、広帯域の静電ノイズの発生源として考えうるかを考察する予定である。



左図は実際の Imp 6 の写真
黒く見える所は太陽電池で不良導体であり、白く見える所は金属の良導体。今回の計算にはこれに近い形を用いる。

中村正人、町田忍、鶴田浩一郎
宇宙科学研究所

1. 序

地上からの VLF 放射実験にともなう電子降下は衛星による観測が若干あるものの地上での観測には成功していない。これは地上局からの放射電波強度が弱い為ではないかと考えられ、この欠点を補う為に、スペースシャトルを使った宇宙空間からの放射実験が検討されている。スペースシャトル高度では VLF の波長が地上に比べ数十分の一となり、1/4 波長のアンテナの建設が容易となる。この為、電波強度も磁場にして数 pT ~ 数十 pT とすることができます。我々は、これらの実験の結果どれだけの電子降下が起こるか、計算機を使って数値計算を行なった。

2. 方程式

$$\dot{V}_\perp = -\frac{Wb}{2} \left[\frac{W}{K} (P+1) - V_{ll} (\cos \theta + 1) \right] \sin(\int \delta_{-1} dt - \Phi_0) + \frac{1}{2B_0} V_\perp V_{ll} \frac{\partial B_0}{\partial Z} \quad \dots (1)$$

$$\dot{V}_{\perp \Phi_0} = \frac{Wb}{2} \left[\frac{W}{K} (P+1) - V_{ll} (\cos \theta + 1) - \epsilon V_\perp \sin \theta \right] \cos(\int \delta_{-1} dt - \Phi_0) \quad \dots (2)$$

$$\dot{V}_{ll} = -\frac{Wb}{2} \left[(1 + \cos \theta) + \epsilon \frac{\omega}{K} Q \right] \sin(\int \delta_{-1} dt - \Phi_0) - \frac{1}{2B_0} V_\perp^2 \frac{\partial B_0}{\partial Z} \quad \dots (3)$$

$$\text{where } P = \frac{\Omega - \omega \cos \theta}{\Omega \cos \theta - \omega}, \quad Q = \frac{\omega \sin \theta}{\Omega \cos \theta - \omega}, \quad Wb = \frac{e B_W}{m}, \quad \delta_{-1} = \omega - k V_{ll} \cos \theta - \Omega \\ \epsilon = V_{ll} k \sin \theta / \Omega$$

以上が電子の運動方程式である。 V_{ll} は地球磁場と垂直な速度成分、 V_{ll} は平行な速度成分、 Φ_0 は V_\perp と X 軸標軸のなす角を表す。 B_0 はその場における地球磁場、 B_W は波の磁場成分、 θ は波の進行方向と地球磁場のなす角とする。 Ψ は V_\perp と B_W のなす角の補角を表す。(図 1) 我々は、この方程式を電子と VLF 波がサイクロトロン共鳴を起こしている間、つまり $\omega - k V_{ll} \cos \theta + \Omega \sim 0$ を満たし、 V_{ll} が計算開始時の V_{ll} から 5% の差を生ずるまで数値積分した。計算のステップは電子の 1 gyration、計算開始地点は赤道で、ここで $\omega - k V_{ll} \cos \theta + \Omega = 0$ となるように ω と V_{ll} の関係を決めた。

3. 結果

我々はまず 100 km の高度まで電子が落ちてくると、その電子は地上に降下すると仮定し、その loss cone 上の電子に対して計算を行なった。さらに Ψ の初期値を $-180^\circ \sim 180^\circ$ まで変化させてピッチ角変化を計算し、その内で元のピッチ角からもっともピッチ角が小さくなった時の差を $\Delta \alpha_{\max}$ として、これが降下する電子の数に比例すると仮定した。その上で電子のエネルギーを決め $\Delta \alpha_{\max}$ を計算した。これより次の 2 つの事がわかった。

- i) 降下電子の数は波と電子の相互作用の起こる場所の L 値により、L 値が小さいほど多く電子の降下がある。
- ii) 降下電子の数は B_W に比例しない。さらに、そのピークを示す B_W の値は、相互作用する電子のエネルギーにより異なる。(図 2)

我々は、これをさらに進め、対象を loss cone 上の電子に限らず、また降下電子の数の見積もりを定量的にする方法をもつて、計算を行なっている。この結果について講演で述べる予定である。

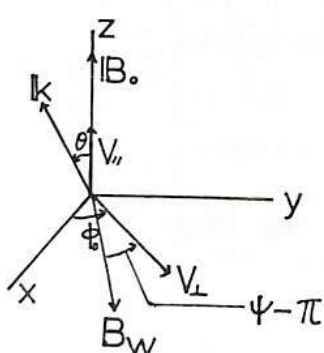
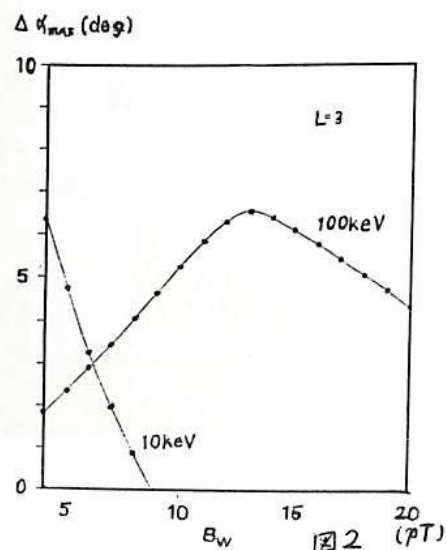


図 1



ワイヤー型 センサーによる \mathbf{k} ベクトルの測定

1-19

町田忍・鶴田洋一郎
宇宙科学研

極域電離層中にありて、イオンモードの波動の \mathbf{k} ベクトルを求める観測を実験した。ロケットの胴体から、等間隔にセンサー（プローブ）を取り付けたワイヤーを、4本直交させ出し、センサー間の電位差を測定することにより、2. 波動の強度分布を求めて \mathbf{k} ベクトルを計算することを考える。この様に測定を行な、た場合には、原理的に4本のワイヤーを含むロケット本体と直交する平面上に射影した \mathbf{k} ベクトルを求めることが可能となる。

従、2図の様に座標系をとると（ただし、 \mathbf{R} はロケット胴体方向の単位ベクトル； \mathbf{v}_R はロケットの速度ベクトル； \mathbf{k}_{\parallel} , \mathbf{k}_{\perp} はロケットの胴体に対して、平行、垂直な \mathbf{k} ベクトルの成分である。）

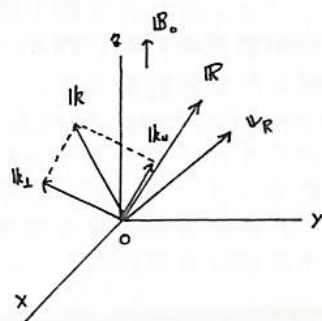
$\mathbf{k}_{\text{obs}} = \mathbf{k}_{\perp} = \mathbf{k} - \mathbf{k}_{\parallel} = \mathbf{k} - (\mathbf{I} \cdot \mathbf{R}) \mathbf{R} = (\mathbf{I} - \mathbf{R}\mathbf{R}) \cdot \mathbf{k}$
 \mathbf{k}_{obs} , \mathbf{R} は既知であるが、 $\mathbf{I} - \mathbf{R}\mathbf{R}$ は正則行列であるために簡単に上式を解いて \mathbf{k} を求めるよりにはつかない。

次に2. 極域電離層中に存在すると考えられる2つのモード： $\mathbf{k} = (0, 0, k_z)$ のイオン音波と $\mathbf{k} = (k_x, k_y, 0)$ の静電イオンサイクロトロン波に対応した場合を分けて考える。

④ $\mathbf{k} = (0, 0, k_z)$ … イオン音波の場合。

①式を成分表示すると $(k_{\text{obs}x}, k_{\text{obs}y}, k_{\text{obs}z}) = (-R_x R_z k_z, -R_y R_z k_z, (1 - R_z^2) k_z)$ となるが、この式から求まる k_z が予想なく同一の値をとることを確認してから（第14エッセイ ポイント） \mathbf{k} の値を $\omega_{\text{obs}} = \omega - \mathbf{k} \cdot \mathbf{v}_R$ という式に代入して、ロケットの器用に付随したドップラーシフトを除いた、真の波動の固有振動数 ω を求め、これが分散式 $F(\omega, \mathbf{k}) = 0$ を満たすか否かにより、2. さらに第2のチェックを行なうことができる。これにて、イオン音波であるか否かを判定することができる。

$\mathbf{k} = (k_x, k_y, 0)$ の静電イオンサイクロトロン波の場合と同様なことを行なう。電離層中にだけイオン波のモードを固定することができましたが、分散式を用ひたに際して、特に周辺の電子及びイオンの温度を正確に押さえなくてはならぬ。以上、講演に於ては、丁寧に詳しく述べた \mathbf{k} ベクトルの決定の可能性、モード固定の可能性を説いて述べた。



Hiss 状信号にうもれている信号を取り出す試み、及びその解析

渡辺 成昭、恩藤 忠典
電波研究所

VLF 電波の解析方法にダイナミックスペクトルがある。全周波数の入っているスペクトルを扱う事は基本であるが、フィルターを用いて、注目している現象を取り出す事は広く行われている。しかしフィルターは周波数の上下を消し去る事であり、同じ周波数内で選別した VLF の処理は行わなければならない。イオニサイクロトロニ波等は ELF ヒスにもうけて、きれいに見えない場合も多い。この様にヒス（ランダム信号に近い）のカーテンにかくれた、もしくは見えにくいイオニホイスラ等を、ダイナミックスペクトル上で線状のパターンのものを取り出す事は、解析上重要である。

電波研究所音声研究室で開発された（鈴木 1975）（吉谷、鈴木 1978）自己相関関数を利用した音声処理方式（SPAC : Speech Processing System by Use of Autocorrelation Function）を用いてランダム状の ELF ヒス（2 KHz ~ 300 Hz カリオニホイスラを取り出す事を試みた。下右図は SPAC の処理過程のプロセス図である。ランダム状の信号は自己相関をとると、タイムラグ 0 の附近に強い値を持つので、この付近を除去する事が SPAC の重要な原理となる。尚 SPAC は実時間で作動する。下左図はその処理状況である。その特性と解析を進める。



ELF ヒスにイオニホイスラが混在している例



謝辞

電波研究所音声研究室の皆様の御協力に感謝致します。

◀ 使用前

参考文献

- 1) 鈴木誠史：“自己相関関数を利用した音声処理方式 - SPAC - ”，信学論(A), J59-A, 5, P426(昭51-05)
- 2) 吉谷清澄，鈴木誠史：“自己相関関数を利用した音声処理方 (SPAC) の SN 比改善特性”，信学論, J61-A, 3, P217 (昭53-98)

◀ 使用後

電子通信学会論文誌 '79/3 Vol. J62-A No. 3

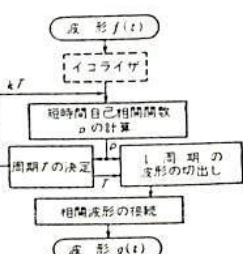


図1 SPACの処理過程
Fig.1 - Process of SPAC.

PARAMETRIC DECAY INSTABILITY OF A BERNSTEIN WAVE — COMPUTATION
OF THE COUPLING FACTOR AND THE THRESHOLD LEVEL

Shin YOSHIKADO

Radio Research Laboratories, Ministry of Posts and Telecommunications

Ion acoustic waves of a continuous spectrum and Bernstein waves of a symmetrically similar spectrum are excited by the parametric instability of a large-amplitude Bernstein wave. In order to explain the experimental results which were previously reported I have computed the coupling factor of the nonlinear three-wave interaction and the threshold level of the externally-excited large-amplitude Bernstein wave to cause such instability.

According to the theory on the wave-wave coupling in Vlasov plasma models, the slow time evolution of the amplitude of the electrostatic potential oscillation, $\hat{\phi}_k(\tau_1)$, on the τ_1 time scale can be expressed as

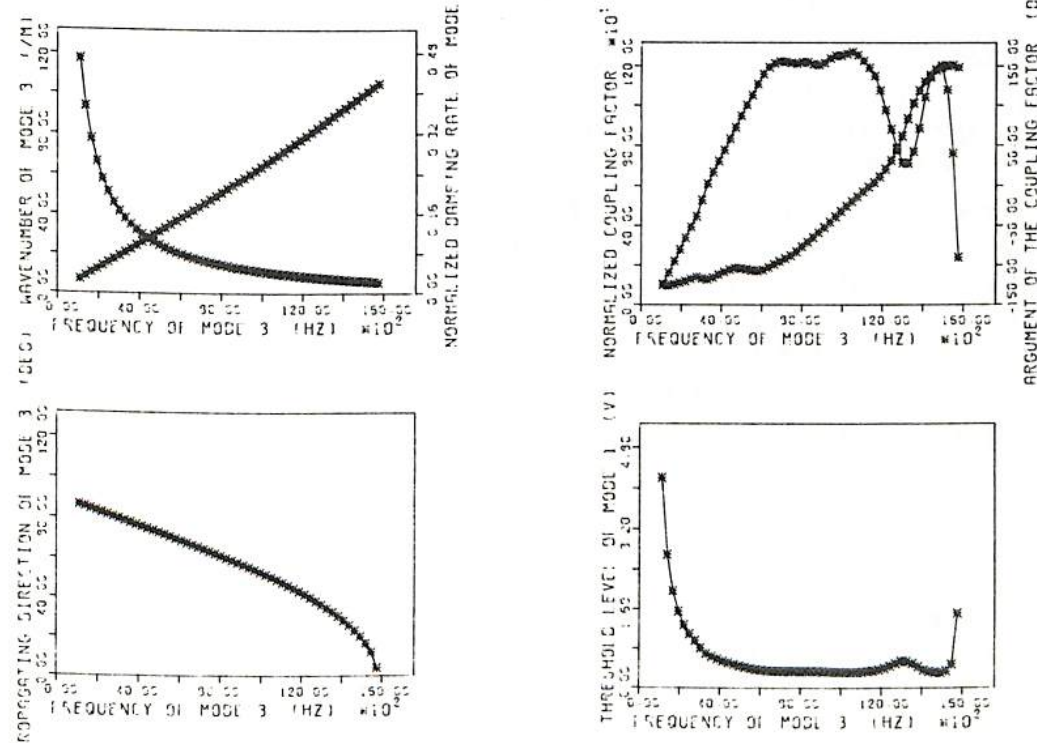
$$\frac{\partial}{\partial \tau_1} \hat{\phi}_k(\tau_1) = \sum_{\substack{k', k'' \\ \Delta k=0, \Delta \omega=0}} \frac{M(k', \omega_k; k'', \omega_k; k', \omega_k') \hat{\phi}_{k'}(\tau_1) \hat{\phi}_{k''}(\tau_1)}{2k'^2 \frac{\partial \epsilon(k', s)}{\partial s} \Big|_{s=-i\omega_k+\delta}} \quad \delta \rightarrow 0 ; \begin{cases} \Delta \omega \equiv \omega_{k''} + \omega_{k'} - \omega_k' \\ \Delta k \equiv k'' + k' - k' \end{cases}$$

where

$$\frac{\partial \epsilon(k', s)}{\partial s} = -i \sum_j \frac{e_j^2}{j \epsilon_0 m_j k'^2} \int dv \frac{\sum_j k'_j v_\perp^2}{n_j n' \frac{\Omega_j}{\Omega_j'}} \frac{[(n\Omega_j/v_\perp)(\partial/\partial v_\perp) + k''_j (\partial/\partial v_{||})] f_{j0}}{(\omega_{k'} - k'_j v - n\Omega_j + i\delta)^2} \quad \delta \rightarrow 0$$

and M is the coupling factor.

Some results of the computation are graphically shown below. These are fully consistent with the experimental results.



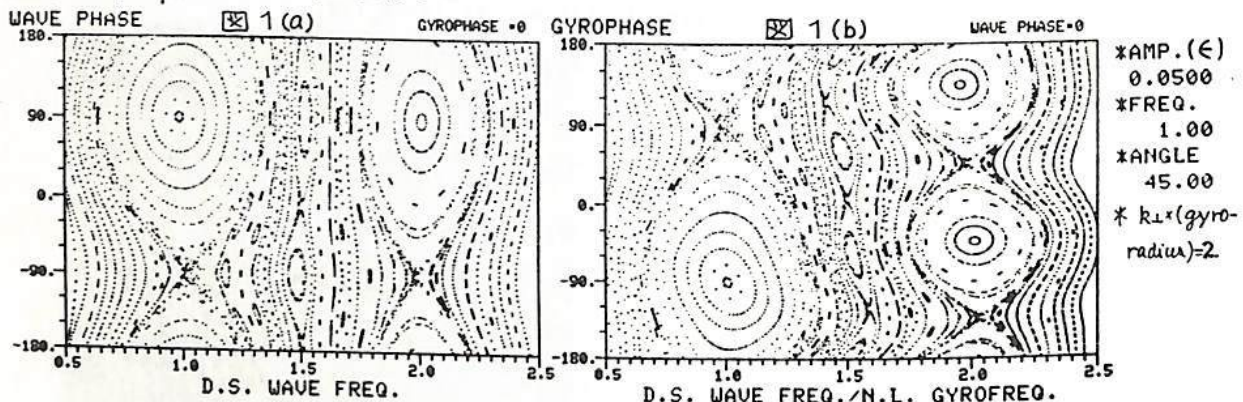
Cyclotron 分数調波共鳴と

Resonance Overlap 説への批判

谷口治幸 (東大・理・地物研)

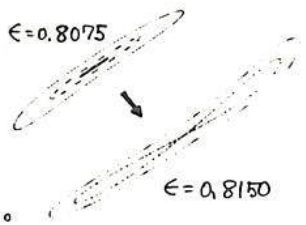
磁化プラズマ中の静電波による試験粒子の、摂動非線型軌道と大振幅波の場合のchaosの様相を示す軌道について調べててきた。今回は、分数調波共鳴の存在と、軌道がchaos化していく理由について、Poincaré 横断面の方法で調べた結果を報告する。

摂動論的枠組の中では最も重要な結果は、半奇数cyclotron高調波共鳴の軌道であった。しかし、一般的の分数共鳴 m/n (既約)も、 $0(\epsilon^n)$ の摂動計算で求められるはずである (ϵ は現実化振幅)。図1には、2つの横断面図を示している。図1(a)は、粒子の位相 $t + \phi \pmod{2\pi} = 0$ での $(\omega - k_{\parallel}V_{\parallel}, \omega t - k_{\parallel}z)$ 面、図1(b)は、波の位相 $\omega t - k_{\parallel}z \pmod{2\pi} = 0$ での $((\omega - k_{\parallel}V_{\parallel})/(1+\phi), t + \phi)$ 面、を示している。所与の分数共鳴条件は、粒子の位相が $2\pi n$ 回転する間に、波の位相が $2\pi m$ 進むことを示す。従って、図1(a)では、n次の(積円型不動点のまわりに共鳴捕捉される) islands、図1(b)では、m次のislandsが位相空間を分割する様子が見られる。図には $m/n = 1, 2, 3/2, 4/3, 5/3, 7/3, 5/4, 7/4, 4/5, 6/5$ の分数共鳴が認められる。 $k_{\parallel} = 0$ の場合も、工夫された表現法で、同様のことと確認できる。つまり、位相空間は、通常の線型cyclotron高調波共鳴のみならず、無限の分数共鳴で満ちている。共鳴捕捉の巾は、 $0(\epsilon^n)$ である。



$\epsilon = 0(1)$ では、冷たい粒子からchaoticな軌道が顕著になり、chaos生ずる構造および1つの共鳴 island が完全にchaos化してしまう臨界値 ϵ_* を求めることが重要となる。この点では、Smith & Kaufman (1975, Phys. Rev. Lett. 34, 1613) 以来、Chirikov's resonance overlapの考えが広く通用しているようである。しかし、cyclotron(整数)共鳴のislandsが $\epsilon = 0(1)$ になると重なり合い、粒子の位相軌道が1つの共鳴から他の共鳴へと行き交うようになると、想像は、正しくない。つまり、分数共鳴は知られておらず全く考慮されていないし、又、 $k_{\parallel}=0$ の場合は ϵ を大きくしても islands は成長せず resonance overlap 説の適用もできなかつた。すでに知られている様に、1つのlarge scale islandの中にはsubisland chainが生まれ、そのsubislandの中に又sub-subisland --- といった無限の階層構造が生じる。それらの任意のislandは他とoverlapすることなく、それ自身で崩壊していく。islandの中心の不動点は、周期倍化分岐を無限に繰り返し、その極限としてそのislandのonset of chaosを定義できるだろう。chaos化は、このような積円点の分歧と、双曲点に出入りする separatrix or 分離に本質的に起因する。この点では、 $k_{\parallel}=0 \cdot k_{\perp} \neq 0$ の本質的差異はない。

図2. 周期倍化分岐



定磁場中の三次元伝搬の緩波の Nonlinear Landau Damping

谷口治幸(東大理・地物研)

弱い乱れの理論は、非線型3体相互作用 (nonlinear Landau damping, mode-mode coupling) を記述する。理論は、wave kinetic equationと平均分布関数の時間発展の式に現われる行列要素を求める、その性質を調べることを、中心的構成部分とする。磁化 plasma中の緩波への波過程については、すでに解決されている (Aamodt 1965, Gratzl 1971) とともに、2波-粒子相互作用については、最も良の場合 (Porkolab & Chang 1972) でも $|k| = (0, k_{\perp}, k_{\parallel})$ ($k_{\perp} \ll k_{\parallel}$) のような波までしか扱えてない。これは勿論、計算が極めて複雑になるためである。しかし、いかなる制限も無く完全三次元伝搬の場合に、行列要素を求めるその対称性などの性質を知ることは、次の意味で重要である。真空中の Compton 散乱の場合、我々はその微分散乱の面積の角分布を知っている。しかし、磁化 plasma 中の緩波の場合、磁場垂直面内の角分布は計算されていない。更に、試験粒子問題で明らかにしてきた半奇数 cyclotron 高調波共鳴は、弱い乱れの理論で扱われるべきであるが、この共鳴条件は前記の角分布も考慮せざるのような位置を占めている。

解析は、Davidson の教科書 (1972) と同じく、Vlasov Cumulants の階層方程式を multiple scales 法により解くことにより行なわれた。その結果；

1. 行列要素は、以前の結果を特殊の場合として含む簡単な表式として得られる。ここで簡単のため、Compton 散乱行列 $U_{kk_1, -kk_2}^{\alpha \beta}$ と非線型散乱行列 $V_{kk_1, -kk_2}^{\alpha \beta}$ の共鳴散乱部分を書くと、

$$(1) U_{kk_1, -kk_2}^{\alpha \beta} |_{res.} = \frac{4\pi w_p^4}{n_0 m_e |e|^{\alpha}_{kk_1} |e|^{\beta}_{-kk_2} |k_1^2 k_2^2|} \sum_n \int d^3 v \delta(w_{kk_1}^{\alpha} - w_{kk_2}^{\beta} - (k_{1\parallel} - k_{2\parallel}) v_{\parallel} - n \Omega_e) \\ \times \left\{ \sum_m J_m \left(\frac{k_{1\perp} v_{\perp}}{\Omega_e} \right) J_{-m-n} \left(\frac{k_{2\perp} v_{\perp}}{\Omega_e} \right) \begin{pmatrix} \cos \varphi & -\sin \varphi \\ \sin \varphi & \cos \varphi \end{pmatrix}^m \left(\frac{X_{kk_1, -kk_2}(m)}{Y_{kk_1, -kk_2}(m)} \right)^2 \left[(k_{1\parallel} - k_{2\parallel}) \frac{\partial}{\partial v_{\parallel}} - \frac{n \Omega_e}{v_{\perp}} \frac{\partial}{\partial v_{\perp}} \right] F_0(v_{\perp}^2, v_{\parallel}, t) \right\}$$

$$(2) V_{kk_1, -kk_2}^{\alpha \beta} |_{res.} = \frac{4\pi^2 w_p^6}{n_0 m_e |e|^{\alpha}_{kk_1} |e|^{\beta}_{-kk_2} |k_1^2 k_2^2| |k_1 - k_2|^2} \sum_m \frac{1}{e_{kk_1, -kk_2}(-i w_{kk_1}^{\alpha} + i w_{kk_2}^{\beta})} \left| \sum_{m,n} e^{i m \psi_{kk_1} - i(m+n) \psi_{kk_2}} \right. \\ \times e^{i n \psi_{kk_1 - kk_2}} \int d^3 v \delta(w_{kk_1}^{\alpha} - w_{kk_2}^{\beta} - (k_{1\parallel} - k_{2\parallel}) v_{\parallel} - n \Omega_e) J_m \left(\frac{k_{1\perp} v_{\perp}}{\Omega_e} \right) J_{-m-n} \left(\frac{k_{2\perp} v_{\perp}}{\Omega_e} \right) J_{-n} \left(\frac{|k_{1\perp} - k_{2\perp}| v_{\perp}}{\Omega_e} \right) \\ \left. \times \left(X_{kk_1, kk_2}(m) + i Y_{kk_1, kk_2}(m) \right) \left[(k_{1\parallel} - k_{2\parallel}) \frac{\partial}{\partial v_{\parallel}} - \frac{n \Omega_e}{v_{\perp}} \frac{\partial}{\partial v_{\perp}} \right] F_0(v_{\perp}^2, v_{\parallel}, t) \right|^2$$

但しここでは、 $e_{kk}^{\alpha} \equiv \partial \Omega_e / \partial \omega_{kk}^{\alpha}$, $\psi \equiv \psi_{kk_1} - \psi_{kk_2}$ (ψ_{kk} は kk の偏角), X と Y は試験粒子同體に現れる非線型軌道を特徴づける因子。これらの方程式は $\psi_{kk_1} = \psi_{kk_2} = 0$ とすると直ちに、Porkolab & Chang (1972) の式に一致する。

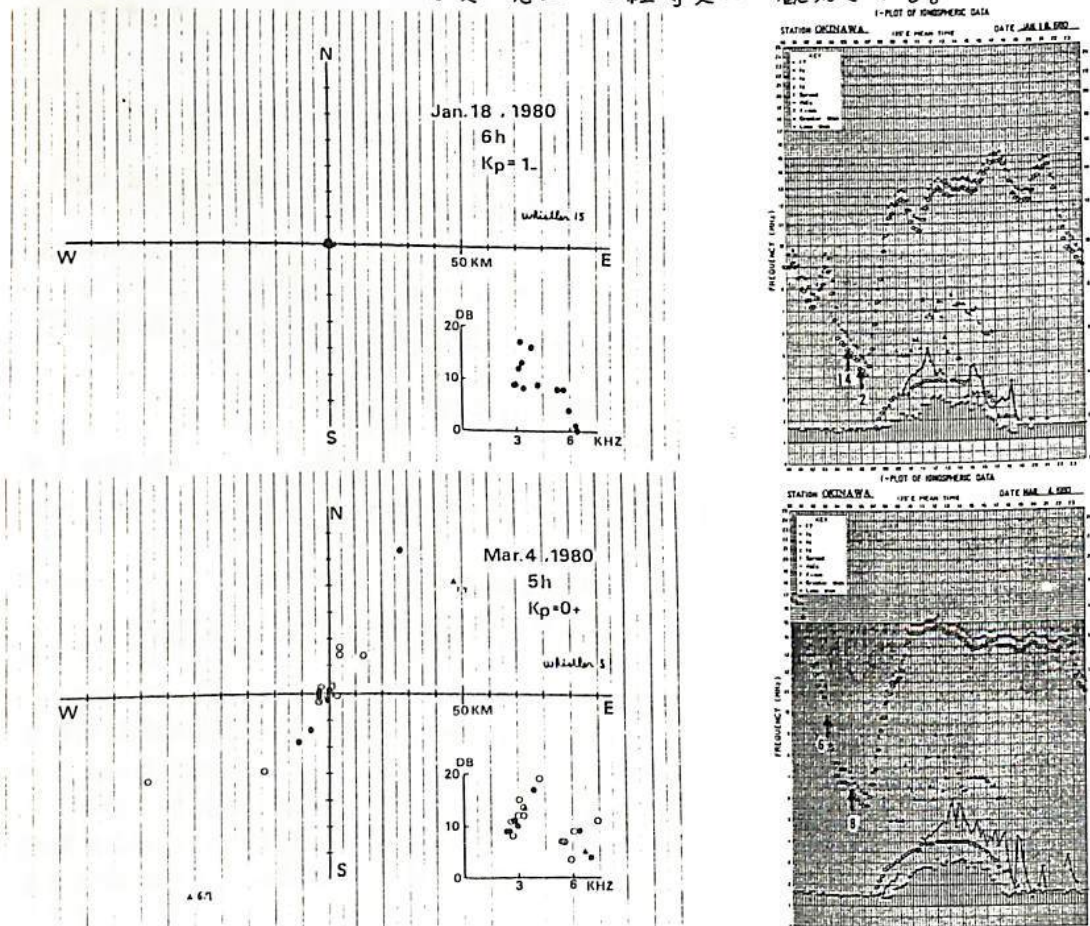
2. 一般化されるとこれらの式は次の有用な対称性をもつことが証明される。

$$(3) U_{kk_1, -kk_2}^{\alpha \beta} |_{res.} = U_{-kk_2, kk_1}^{\beta \alpha} |_{res.} = - U_{kk_2, -kk_1}^{\beta \alpha} |_{res.}, V_{kk_1, -kk_2}^{\alpha \beta} (\text{非共鳴部も含めて}) \text{も同様}.$$

3. cyclotron 半奇数高調波共鳴の条件は、Rosenbluth et al. (1969) がすでに扱った Alfvén-interaction, つまり $(\omega_{kk_1}^{\alpha}, kk_1) = (\omega_{-kk_2}^{\beta}, -kk_2)$ の場合であり、試験粒子問題の解析結果はここに居場所を見出す。これは又、前方散乱の場合と言えることもできる。もし、真空中の Compton 散乱との類似 (例えば (1) 式は $kk_1 \perp kk_2$ のとき 0 となる) があるならば、この前方散乱の行列要素は (分布 F_0 に依らず) (kk_1, kk_2) 空間の中で最大 (0) となる可能性がある。そうなれば、磁気圈 ($n + \frac{1}{2}$) Ω_e 駆動波の非線型不安定化機構の一つか材料である。

中村義勝 恵藤忠典 渡辺成昭 村上利光
電波研究所

1980年1月から3月にかけて電波研究所沖縄観測所で行ったホイスラーバーストが観測されている。そのうち、二つのバースト(3月9日, 15日)についての解析結果は前回の講演会で発表した。今回は残りの二つのバースト(1月18日, 3月4日)について解析した結果とともに今迄の方探観測で得られた結果についてまとめて述べる。結果の一部及び対応する電離層fプロットを下図に示す。電離層fプロット中の矢印は各時間帯の5分間観測で観測されたホイスラーの数を示す。到来方位は高度100kmの平面に投影したものであり。印は右廻り偏波、○印は左廻り偏波、▲印は直線偏波を示す。今迄の沖縄におけるホイスラー到来方位の観測において次のような結果が観測された。(1) ホイスラーは主に天頂附近から到来するが、到来方位を高度100kmの平面に投影した時、直径5km以下の天頂のごく狭い領域から到来する場合と天頂を中心にして100kmほどの範囲にまで拡がる場合がある。(2) 到来方位が拡がる場合は北東から南西に細長く拡がる。南北に拡がる場合もある。(3) 到来方位の拡がりに経時変化が観測される。(4) ホイスラーの周波数成分に左廻り偏波が多く観測される。これは通常の伝搬では考えにくい今までの検討ではシステム上の誤りとは考えにくい。(5) 左廻り偏波の発生にも経時変化が観測される。



ISIS-1号,-2号衛星と地上同時観測の
ホイスラ解析 その1：電離層反射ホイスラ

岡田 敏美
名大空電研

M.Tixier

Laboratoire de Physique de la Haute Atmosphère
Poitier University, France

要約 ISIS-1号, 2号衛星と欧洲地上多点同時観測の VLF データを解析したところ
地上と衛星でうまく対応する ホイスラ群が見つかった。ニ山ツのト・イスラ群の
発生緯度帯, 分散の緯度依存性, 衛星と地上でのホイスラ受信時間差, 更に電
離層 F₂ との相関を調べた。その結果, 観測されたホイスラ群が下図
の様なモデルで説明し得ることになった。

すなわち, 図1中の付番3 のホイスラ・トレースは 図2中に示される如く,
電離層下端で反射し上昇伝播するホイスラであることが判明した。

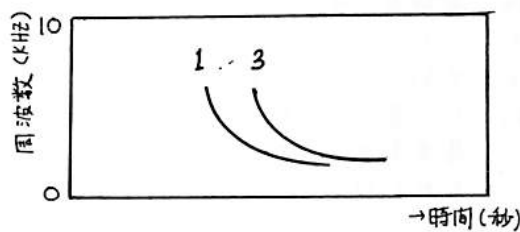
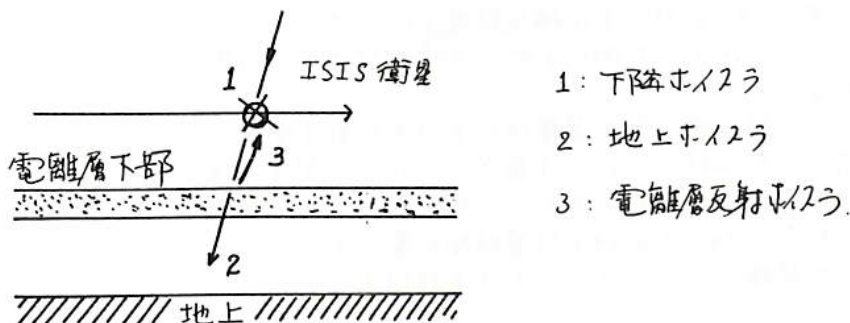


図1. ダイナミック・スペクトラル



磁気圏中のVLF電波の3次元ray tracing

木村磐根, 山内一詩, 松尾敏郎
(京大工学部)

磁気圏プラズマ中のVLF電波の3次元ray tracingは特に新しい問題ではないが、最近Jikiken衛星で観測された現象を理解するため、(1) 電離層上側での初期のwave normalが磁気子午面からずれている効果、(2) 電離層電子密度が東西方向に傾斜をもつ効果、(3) 地球磁場のダイポールからずれている効果について調べたので報告する。

上記の(1)はダクト伝搬した信号が電離層上部で散乱された結果、経度的に広範囲に広がり、同じ現象が衛星で長時間観測される場合を想定している。又(2)はVLF地上局信号が電離層を突き抜けて衛星で受信される際、伝搬ベクトルが磁気子午面からかなりずれていると思われる場合が日出時に観測されたので、この現象を説明する目的である。又(3)は地磁気が一般にダイポールモデルからずれているが、そのずれは経度により異なるのでその経度効果を調べるのが目的で、Jikikenによるサイプロル実験や、南極昭和基地におけるVLF現象の観測結果の解釈の上で重要である。

方法及び結果

(1)ダクト伝搬した電波が反対半球の電離層上側で散乱されたとするときwave normal 方向がある範囲に広がると考えられるので、散乱波は磁気子午面からずれることになる。従ってこれを模擬するために単純に電離層上側での出発点のwave normalの子午面からのずれ角 ϵ を種々変化させ、ダイポールモデルでray tracingを行った。この結果初期 ϵ があつてもray pathは最終的には磁気子午面に沿った伝搬となるが、通路の初期子午面からのずれの最大は $\epsilon = 10 \sim 20^\circ$ 付近で起こる。(第1図参照)

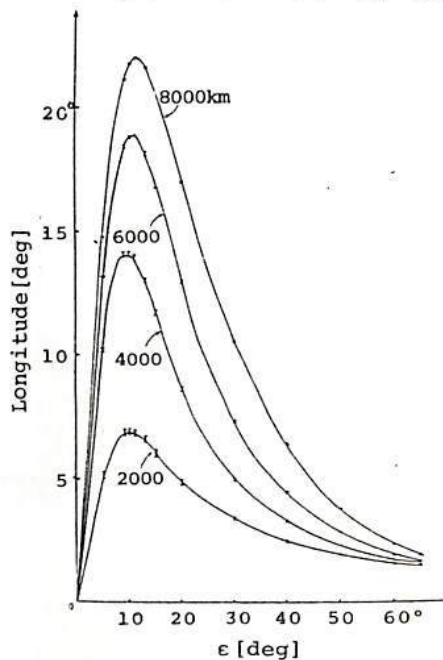
(2)電離層の東西傾斜として、基準高度の電子密度に経度関数をかけることにより実現した。wave normalが子午面からずれる様に傾斜を強く入れてもray pathはかえって磁気子午面に近い伝搬となる。

(3)地磁気のモデルとしてIGRFモデルを用いた。この結果まず、磁力線ものが磁気経度によりダイポールとのずれが異なり、 0° 方向ではダイポールとの差が最も小さく、 90° 方向ではずれが大きい。

次にray pathでは磁気経度 180° 付近ではダイポールモデルより外側にずれ、 90° の付近では内側にずれる。

尚上記の場合電子密度はいずれも拡散平衡モデルを用いたが、特に(3)では基準レベルでの密度は緯度方向に変化しないとしている。何故ならば、緯度変化を入れるとray tracingの計算時間が莫大となるからで、この問題については良い方法を検討中である。

謝辞 上記(3)では極地研藤井氏の磁力線 tracing のプログラムを利用して頂いた。ここに感謝の意を表す。



第1図 ϵ に対するray pathの経度方向変化

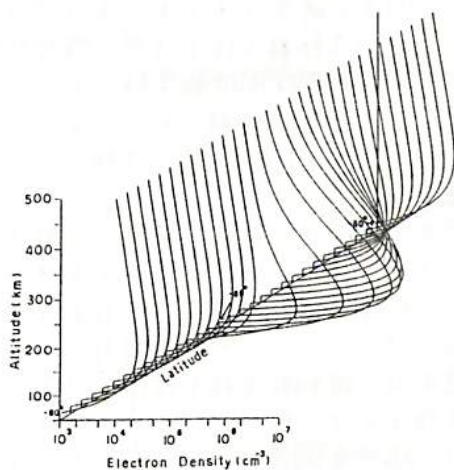
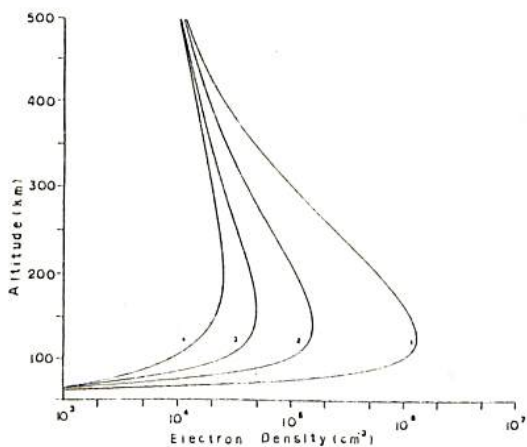
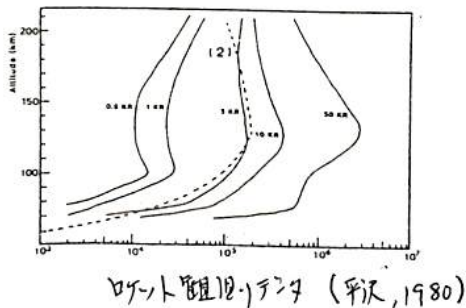
極域電離層内での VLF 下電波の伝搬及び透過

田中義人, 西野正徳
名大空電研究会

我々は昭和基地において、オーロラルVLFヒート同時観測、強度観測、及び昭和、サザン、アリス強度同時観測を行って来た。
地上での電信風速、特に同時観測の風速データと比較する場合には、オーロラル電離層中の波の減衰、空間的（南北）ともってオーロラル電離層（電離子増大領域の広がり）を考慮に入れた、波の伝搬及び減衰を議論（すべきではない）。

今回は以下の項目について報告する。

- 1) オーロラル電離層のモデル化
- 2) 電子密度データと少し 70~80 km 以下の高度でのモデル化——オメータ電離層の考察
- 3) 錯誤方向性放電を enhanced conization で抑制のモデル化、及び減衰
- 4) Full wave method, homogeneous plane wave, inhomogeneous plane wave での減衰の比較（水平放電層電離層）
- 5) 強度分布モデルでの減衰



磁気圏波動・粒子相互作用能動実験計画

(母子里一バースビル共役実験)

早川 正士 田中義人 大津仁助 岩井 章
(名大 空間研究所)

磁気圏内波動・粒子相互作用の研究は、長い歴史を持つ受動的観測により行われてきた。受動的観測も、地上の山ならず、飛翔体により、貴重な情報が得られる。一方で受動的観測は今後は、その観測の高精度化、例えは方位測定とか、多点観測、他項目実験との有機的比較検討とい、下方向へ進むであろう。他方、近年、能動実験が世界的に始まりつつある。この能動実験は受動実験とは相補的な関係にあり、これから有力な研究手段となる。VLF放電発生に関する波動・粒子相互作用を解明するためのサイブル実験(L~4)は、近年極めて興味ある成果をあげている。又、Dowden等も、同じし値はあるが、電波位相反転といつて新らしい着想の実験を、非定常ではあるが行ない、成果を得ている。

そこで、我々は低L値での波動粒子相互作用実験の可能性や将来性について検討した。母子里の如き低緯度(L~1.6)では、 $f = f_{\text{H}\alpha}/2$ の最適周波数だとすると、打ち上げ周波数は100 kHz前後のLFに上がり、電波発射の実現も可能性は出て来る。又、母子里の共役実験もバースビルという町で、定常実験も不可能ではない。母子里の実験は、従来のサイブルの結果を充分に考慮し、ニーアク実験テーマと考えねばならない。以下に記す意義・目的から考え、母子里の能動実験はかなりの問題点もあるが、充分やるべき価値があると信ずる。最近、Bell, Inan(1981)は、低Lの実験の重要性を示唆している。

- (1) サイブル実験では、波動励起に関する多くの結果が示されているが、それと伴なう粒子降下に関する研究は不十分である。波動励起とともに、それに同期した粒子降下にも注目して、波動粒子相互作用の総合的理解を得たい。
- (2) サイブルの固定周波数実験により、媒質の不均質性の相互作用における重要性が役割を果たしている事が理解されている。L~1.6では媒質の不均質性はL~4ほど比強く、上記の本質的問題の理解には、低Lの実験は重要である。(サイブルの追試的実験)
- (3) サイブルでは、可変周波数の実験を行なっているが、その物理的意義は、はっきりしていない。我々は、打ち上げ電波の強度や、若鳴率(≈10 kV)フラックス等の問題から、可変周波数により、波動粒子相互作用を著しくエンハンスする様な実験を実現的に行ないたい。可変周波数(unperturbed resonance field, second-order resonance field)の使用は、波動粒子相互作用の本質を知る上で不可欠のものである。又、これにより粒子降下をエンハンスする事が出来、粒子降下制御も可能となる。更には、電波位相変化、振幅変調波とい、新らしい実験を行ないたい。

最後に、本計画の準備状況及び今後について簡単に述べよう。

- (1) LF電波木イストラ・粒子相互作用(可変周波数による)の基礎研究
 - (2) LF電波の電離層・磁気圏伝播特性の研究
 - (3) 高出力LF電波送信器、高効率アンテナ系の研究
 - (4) 共役実験の観測実験の設定及び交渉(進行中)
 - (5) 共役実験の電波環境の調査(Loran(受信), 共役性の調査(近日実施予定))
 - (6) 粒子降下(母子里)の検査法の開発
- 電波の必要強度の
評価、アンテナ、送信系
電波監理局の交渉
(進行中)

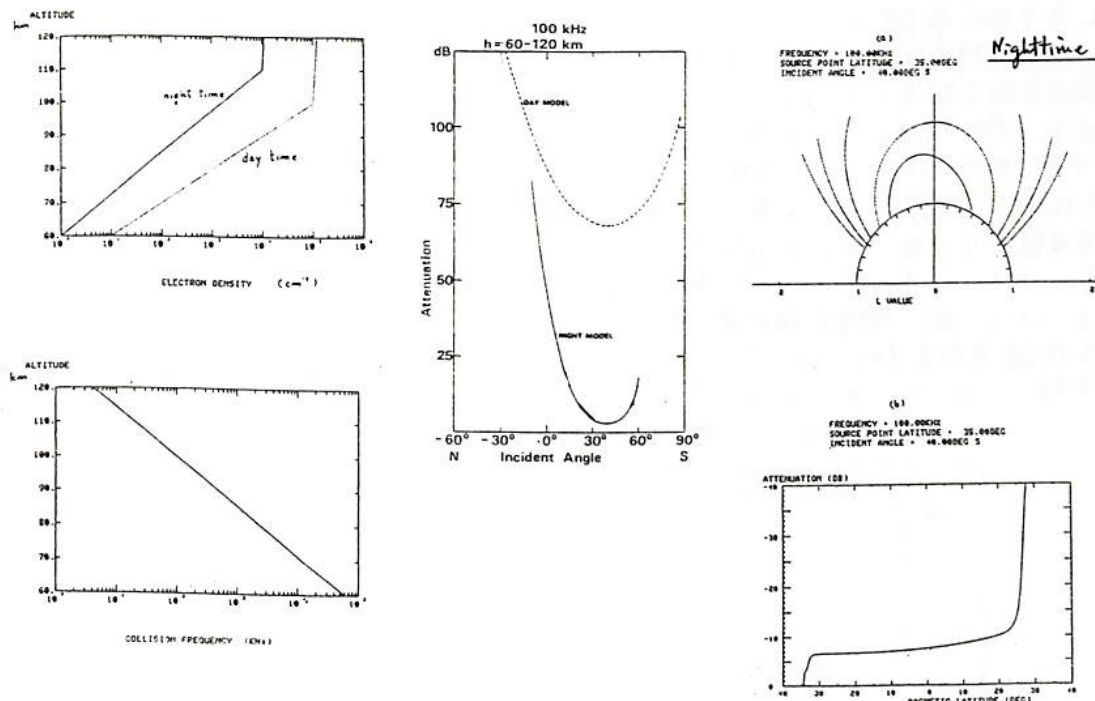
LF(100 kHz)の磁気圏、電離層内伝搬

田中亮昌、大津仁助、早川正士、田中義人
名古屋大学電気研究所

母子星(北緯道 $L=1.6$) - オーストラリア・ベースビル(アデレード北方、約 1000 km)間の磁気圏内伝搬について、波動-粒子相互作用能動実験(ASE)では、母子星を通じて磁力線の Apex 付近の LF(～253 kHz) を考慮して、 L 下帯(～100 kHz) 磁波を発射する計画である。ASE における方で、まず LF 帯電波の電離層通過、磁気圏内伝搬特性を、理論的(数値計算) 及び実験的(ナガサキから発射エミッターローラン(100 kHz)の反射半球実験での観察)で検証することを要である。

此處では、100 kHz 波の電離層通過特性、磁気圏内伝搬特性に関する数値計算の結果について、報告する。

- 1). A-H 式を用いて Homogeneous plane wave の電離層通過特性を計算した。
他方、電離層は、磁力線に沿って入射した場合、減衰が極めて少しだ。
- 2). Full wave method による減衰、Inhomogeneous plane wave の減衰を計算する。
一方、①の結果、発生性を確認した。



ISIS衛星で観測された Omega ASE

及び信号伝搬特性

松尾敏郎*, 木村磐根*, 山岸久雄**

* 京大工学部, ** 国立極地研究所

1976年に17次隊により人工衛星テレメータ-受信装置が昭和基地に設置されて以来、極域に於けるVLF波動データも多數蓄積された。今回は1976年5月～1980年2月までにISIS-I, IIで観測された642 pass分のVLFデータの中からノルウェーのAldra ($66^{\circ}25'N$, $13^{\circ}09'E$)からのオメガ信号が観測された42 pass分のデータを集めた。この42 pass分のデータのうち10 passについてはAldraからのオメガ信号によってトリガーされたASE (Artificially Stimulated Emission) と呼ばれるエミッションが観測された。

ノルウェー局のオメガ信号は常時きまつてFormatで電波を発射しているVLF局としては最も高緯度に位置し、又、その送信周波数もサイクル信号等と比べて高い(10.2～13.6 kHz)ので反対半球の電離層まで伝搬しにくく Aldraからのオメガ信号によるASEは過去に一例だけ報告⁽¹⁾されておりすぎなり。今度今回は、これらOmega-ASE及びASEをともなむOmega信号の伝搬特性を明りかにする。すなはちOmega-ASEについては① OmegaとOmega-ASEはともに南半球の夏に多く、且つK_p indexが小さくほど観測されやすかった。② 衛星のロカルタイムの日中側に多くASEに限っては夜側にだけ観測された。③ Aldraのconjugate pointの北側で観測されやすく、Aldraの磁気子午面の±15°以内で観測された。④ 送信局が高緯度に位置するゆえにはdelay timeが短いなどの特性が得られた⁽²⁾。代表的なスペクトラムを下図に示した。

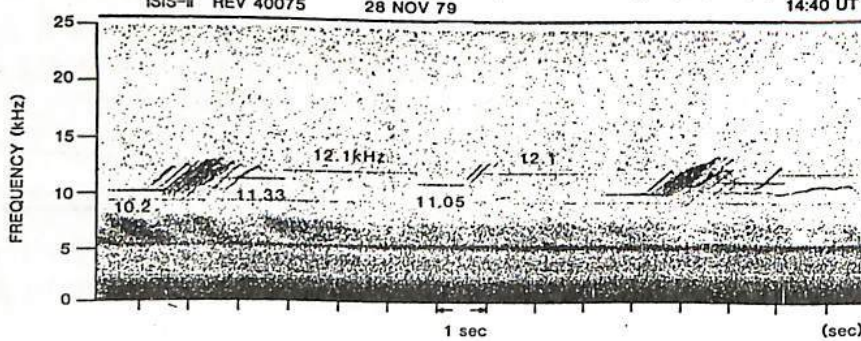
この他の特徴的な現象として下記のことがある。ISISで観測されたOmega信号の周波数軸を拡大してみると送信周波数よりも数10 Hz低い方にもう一つのスペクトルがある例がある。これはホイスラー モードで磁気圈内を伝搬したオメガ信号がノンダクト伝搬で反対半球へ伝搬し、その伝搬ベクトルの向きが磁力線と大きな角をなす折れ曲がり伝搬と比べて非常によくなる事からOmega信号がドップラーシフトしたと考えられる。

送信周波数よりも低い方にdoppler shiftするのは衛星がpolewardに動くときで、反対に向かい方にではのはequator wardに動くときである⁽³⁾。ドップラーシフト周波数は折れ曲がり伝搬方向を知る上が可能である。

- 参考文献
 (1) J.G.R. VOL 86, NO. 46, P 4649-4670, 1981. T.F. Bell, U.S. INAN and R.A. Helliwell
 (2) 第5回、極域における電離圏・磁気圏総合観測シンポジウム p. 14. 松尾、木村、山岸
 (3) J.G.R. VOL 74, NO. 26 DEC. 1, 1969 F. Walter and J.J. Angerami

ISIS-II REV 40075 28 NOV 79

14:40 UT



ホイスラ・トリガード放射の伝搬路について

岡田敏美, 早川正士, 田中義人, Y. CORCUFF

名大空電研究所

Laboratoire de Physique de la Haute
Atmosphère, Poitier University

要旨 ホイスラ・トリガード VLF 放射はフーラズマホース近傍の波動-粒子相互作用の研究において、特に off-equatorial での波動-粒子相互作用という点において重要な現象である。トリガー開始周波数、その後の周波数変化、及び強度の時間変化等は詳しく調べなくてはならない問題である。今後調べていく予定である。今回の発表ではホイスラ・トリガード放射の磁気圏内伝搬路の推定に関する問題を扱う。

伝搬路推定の方法：ホイスラ空電の周波数-時間トレースを多卓サンプルリニア化し、ホイスラの「ホース」周波数、群遅延時間を探る。またフーラズマホース内外の磁気圏電場密度プロファイルは multi-component whistlers to knee whistlers を解析して得る。磁気圏モデルとしては Diffusive equilibrium model および Hybrid model を用いる。

今までに解析した中緯度帯で地上受信されたいくつもの現象例では、ホイスラ空電によってトリガード中の VLF 放射はフーラズマホースの内側のみならず、フーラズマホースのちょうど外側でも発生することが分っている。

電子スロット領域と PLHR-コラスと

VLF 放射

早川 正士, 田中義人
(名大, 空間研)

PLHR-stimulated chorus and VLF emissions in the Electron Slot region

The formation mechanism of the electron slot region between the outer and outer radiation belts is not thoroughly understood. However, recently it seems generally accepted that the plasmaspheric ELF hiss emissions generated just inside the plasmapause propagate towards lower L shells by taking complicated non-ducted propagation, and then they scatter energetic electrons ($E > 100\text{keV}$) into the loss cone by the Cyclotron resonance. Other possible candidates for precipitating electrons have been proposed, such as power line harmonic radiations (PLHR), VLF tansmi-
ssions and natural VLF emissions. However, the relative contribution between the plasmaspheric ELF hiss and other candidates are to be studies in details.

In this paper we present some examples of PLHR-stimulated chorus emissions in the electron slot region, as observed from the Moshiri station and other natural VLF emissions as deduced from the DF measurement of our European campaign. As a conclusion, we feel that PLHR has an influence and such a triggering by PLHR may indeed occur, but its overall effect on trapped particles should consequently be insignificant. Rather than PLHR, natural VLF emissions seem to be complementary to the plasmaspheric ELF hiss in the pitch angle scattering in the sense that VLF emissions are effective in resonantly scattering electrons at larger pitch angles.

磁気嵐時のプラズマポーズ近傍のVLF/ELF放射の
特性(改めて観測結果)

早川 正士 田中 義人 岡田 敏美
名古屋大学 空電研究所

1976/77, 1977/78, 1978/79 の三冬期にわたり、欧洲の二観測点(デンマーク・
Brorfelde, $L = 3$; フランス・Chamber-la-Foret, $L \sim 2$) 及び日本・母子里の
同時方位測定観測を行なった。同時方位測定には、近くの電離層を透過する VLF 波に
対して有効な「電磁界解析法」と、遠くの電離層を透過するものに対して有効な「コ-
オリメータ法」と用いられた。両者の併用により、広い L 値にわたる方位測定が可能とな
り、方位測定結果から、受信された VLF/ELF 放射は数個のカテゴリーに分類される
ことがわかった。^(1,2) (1) プラズマポーズ近傍に生起する VLF 放射、(2) 電子スペクトル領域の VLF 放射、(3) プラズマ圏内の周期的 VLF/ELF 放射、(4) ヒス
により励起された周期的放射、(5) ホイスラ・トリガード・放射等である。本論文
では、(1) のプラズマポーズ近傍 VLF 放射について、少し解析が進んだので、その結果
について報告する。この特性を列記すると、

- (1) すべての VLF/ELF 放射は、磁気擾乱と強い相関をもつて発生する。
- (2) しかも、発生時間としては、dawn-side 少ない。
- (3) スペクトルの詳細な解析から、二つの周波数バンドがあり、 $\sim 2\text{kHz}$ の ELF と VLF バンドとある。
- (4) ELF バンドのものは、周波数は L.T. によりほとんど変化しない。又、スペクトルヒークは、孤立型、ラザー・コーラスが主である。PLHR によりトリガーされたとおぼしきコーラスもある。
- (5) VLF バンドのものは、L.T. とともに周波数が変化するという特徴を持つ、
である。大部分の場合、0~6 K と L.T. の増加に伴ない、周波数が上昇する。

References:

- (1) Hayakawa, Tanaka et al. : Simultaneous spaced direction finding measurements of medium-latitude VLF/ELF emissions, Planet. Space Sci., 29, p.505. 1981.
- (2) Hayakawa, Tanaka, et al. : Medium-latitude VLF/ELF emissions as deduced from the multi-stationed direction finding measurements, Mem. Nat'l Inst. Polar Res., Special Issue No.18, p.23, 1981.

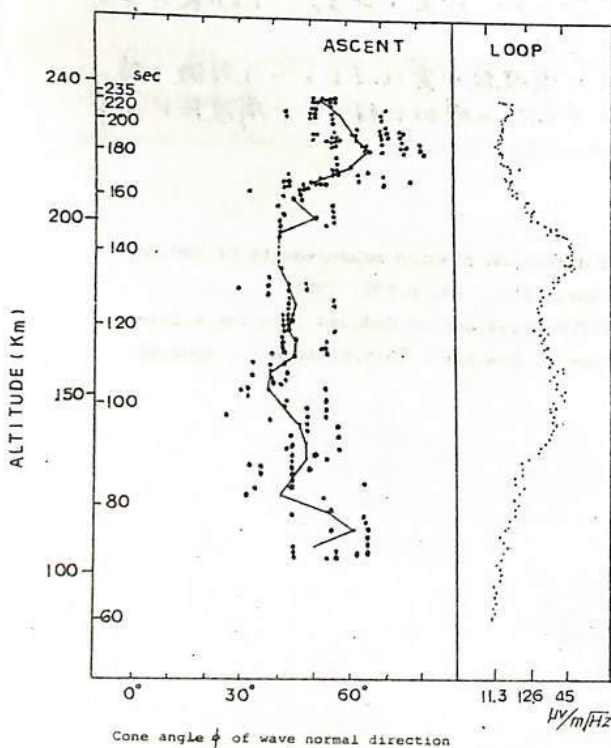
S-310 JA - 6号機によって観測された
オーロラビスの伝搬方向とポインティング電力
西野正徳、田中義人、岩井章、鎌田哲夫
名古屋大学、空電研究所

1978年8月28日、00時56分00秒(LT)、S-310 JA - 6号機は、南極昭和基地で磁場線の方向に発射され、オーロラアークに入とした。搭載計器 PWL-PFX によって観測された電離層中の VLF 波動の特性は既に報告された(Kamada T. et al 1981)。本論文では、この PWL-PFX によって観測されたオーロラビスの伝搬方向およびポインティング電力について報告する。

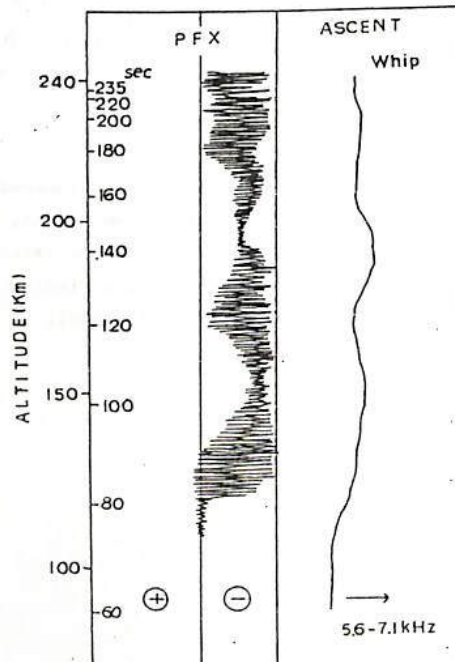
電離層中のオーロラビスの wave normal 方向の測定法として、波の偏波測定法(Tanaka Y. et al 1978)を試みたが、十分な整信強度が得られなかつた。したがつて、ロケット軸に直角方向の磁界強度変化 spin modulation の $E_{min}/E_{max} = \cos \phi$ (Cartwright, 1964) の式を用いて、wave normal 方向のスピinn 軸に対する cone angle を求めた(第1図)。上昇時、ビス強度が強い高度 100 ~ 130 km では、φは 40 度前後を示す。同時に搭載計器 GA の姿勢データ(東海大、青山)を参照すると、wave normal の方向は垂直方向よりかなり大きな角度を成す。

オーロラビスのポインティング電力は、ロケット軸成分に関して $P_z = E_x B_y - E_y B_x$ で求められる。観測周波数 7 kHz における P_z はカットオフ 100 Hz の LPF を通して伝達される。上昇時、オーロラビスのポインティング電力は、ほとんど下向きを示す(第2図)。5.6 ~ 7.1 kHz 成分が強い高度 130 ~ 160 km では、その特性が明白に現山れる。

文献: Kamada T. et al; Mem. Natl. Inst. Polar Res. Special Issue No.18. Cartwright (1964); Tanaka Y. et al; Mem. Natl. Inst. Polar Res. Special Issue No.9. PSS Vol.12



第1図



第2図

Auroral Roar Emission

佐藤 夏雄 林 幹治
(極地研) (東大理)

夜間オーロラ活動の増加とともに、野獣の吠え声に似た emission が時々地上で観測される。我々はこの emission を 'auroral roar' と名付けた。この emission の特性について報告する。

f-オスペクトルの特徴

- 中心周波数 150~400 Hz
- Power $10^{-15} \sim 10^{-13}$ watt/m² Hz
- スペクトル構造 主に falling tone
- バンド幅 20~150 Hz
- 継続時間 数秒~数百秒
- 発生時刻 20~23 MLT

発生条件

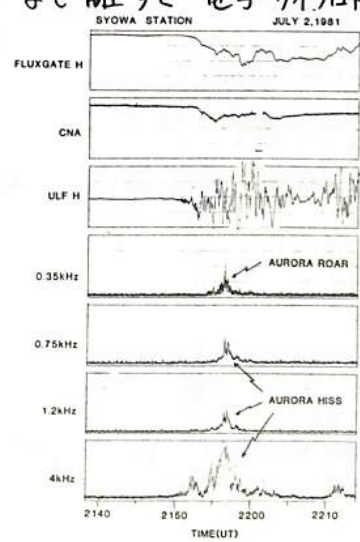
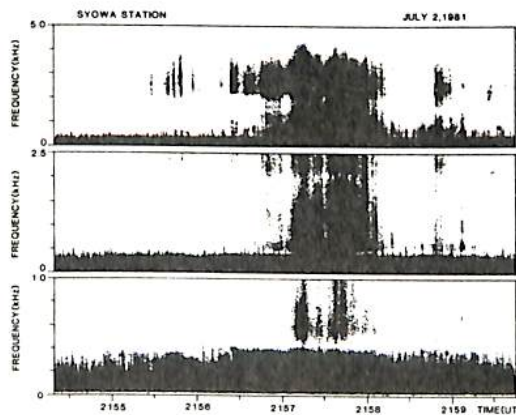
図1の典型例のように、主に auroral breakup の開始時に発生する。そして、数百ガンマ-の negative bay が続き、CNA も増加する。しかし、数十ガンマ-程度の磁場変動にともなって発生することもある。ただし、emission が発生する時には必ず irregularな magnetic pulsation も発生している。

Auroral hiss との関係

図1のチャート紙上では impulsive なオーロラヒスが 0.35~4 kHz まで連続的に発生しているように見える。しかし、図2の f-オスペクトルから明らかのように、 $f > 500$ Hz のオーロラヒスバンドと、200 Hz < $f < 400$ Hz の auroral roar バンドとは区別される。パワーも 10 dB 以上大きく、新たな emission が excite されたものと見なせる。

発生メカニズム

発生領域を電離層上部であるとすると、周波数的にはイオンサイクロトロン波、LHR 波等が考えられる。また、遠くプラズマシートまで離すと電子サイクロトロン波も考えられる。今後詳しく解析する。



GEOS 2 行星観測から: コーラスの
伝搬方向の決定
山中 幸太雄 早川 正士
(名大 空電研究所)

Abstract --- Chorus emissions tend to take place mainly outside the plasma-pause, while hiss-type emissions inside the plasmapause. Chorus emissions often show a two-banded structure; that is, the upper band above the $f_H/2$, and the lower band below that frequency. A few generation mechanisms for the upper and also lower frequency bands have been proposed(Curtis, Hashimoto and Kimura), but no experimental supports have been given to those theories, because there have been no reports on the measurements of wave normal directions for those chorus emissions.

In this paper we will present some results on the propagation directions of those chorus emissions whose center frequencies are located above the $f_H/2$ and also below the $f_H/2$. The emissions are observed on board the GEOS 2 satellite at L=6.6. The method of direction findings is the maximum likelihood estimation for the measured spectral matrix. Firstly we distinguish the model of propagation; or one- or two-direction models by means of the relative values of the eigenvalues of the spectral matrix.

北極域気球高度におけるX線マイクロバーストと

地上VLF放射、地磁気脈動との相関

山岸久雄、小野高幸、福西浩（極地研）、小玉正弘（山梨医大）、
山上隆正、西村純（宇宙研）、村上浩え、平島洋（立教大・理）、Jon Holtet（オスロ大学）

国立極地研究所は、一昨年のエスレンジにおける気球実験に引き続き、57年3月、ノルウェー國スタムスンド（北緯68度9分、東経13度46分）において、国際共同気球実験を行った。その内のB₁₅-3N気球に搭載された、X線観測器により、顕著なマイクロバースト現象及び、周期20～30秒のcount値の脈動が観測された。

一方、地上、Andøya（北緯69度19分、東経16度8分、 $L = 6.3$ ）においては地磁気脈動とVLF放射の同時観測が実施され、前者については、周期20～25秒のPC3脈動が、後者については、ポーラーコーラスを含む、周期、約20秒の準周期的VLF放射（QPエミッション）が観測された。これら、X線バースト、地磁気脈動、VLF放射は、別図に示すように、相互に密接な相関をもつことが明らかとなった。

その特徴的な点を挙げると、X線マイクロバーストに関連しては、

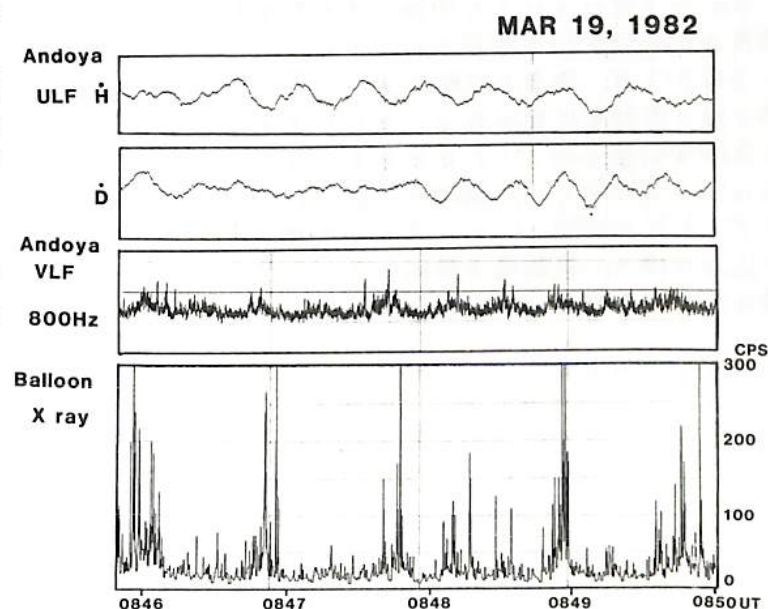
- (1) マイクロバーストの周期は0.1秒～1秒である。
- (2) マイクロバーストと同時に地上でポーラーコーラスが観測され、コーラスの個々のライガーとX線マイクロバーストは概ね良い一致を示す。しかし、両者の厳密な一対一対応の同定は困難である。
- (3) コーラスとマイクロバーストの相互相関を求めるとき、前者は後者に対し、1～2秒遅れる。

一方、周期20～25秒のX線count値の脈動に関連しては、

- (4) VLF放射の周期的強度変動と極めて良い相関を示す。
- (5) 上記の相関が見られる空間的拡がりは、 $L = 6 \sim 5.3$ と広範囲にわたる。
- (6) 地磁気脈動と概ね良い相関を示すが、位相差は変化する。

(1)～(3)より、X線マイクロバーストは、ポーラーコーラスによりピック角散乱され、電離層へ降り込む高エネルギー粒子を観測したものであり、コーラスとマイクロバーストの時間差は、磁気赤道付近の散乱域より、極域上空までの粒子と波動の到達時間差と考えられる。

(4)～(6)は、磁気圏内に発生した磁気流体波が、VLF放射の成長率を変調し、VLF放射は更にそれと共に高エネルギー電子のピック角散乱の度合を変化させ、電離層へ降り込む電子の周期変動をもたらす、という一連のプロセスを示すものと考えられる。



気球によるオメガ波伝播の観測

山岸久雄、小野高幸、福西浩（極地研）、長野勇（金沢大、工）

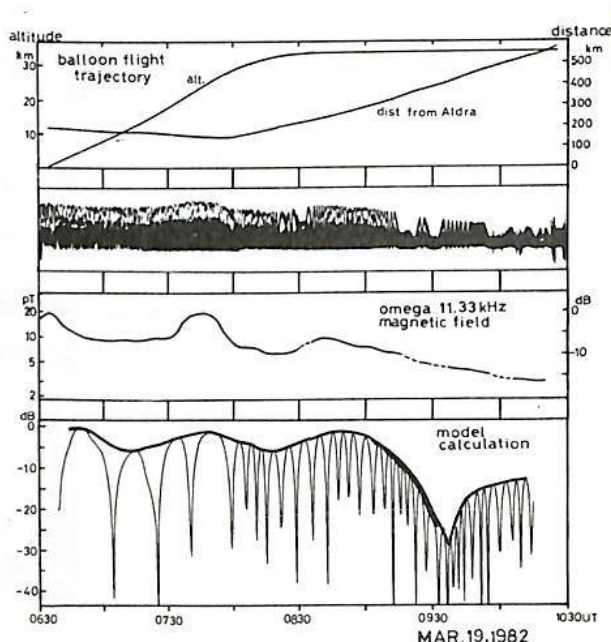
国立極地研究所は、ノルウェーとの国際共同実験として、57年3月、ノルウェー國スタムスンより、オーロラ粒子降り込みとそれに伴う関連現象を観測する目的で、二基の観測気球（B₁₅-3N, B₁₅-1N）を、それぞれ3月19日0632UT, 3月20日1909UT、放球した。

観測項目の一つに、オメガA局信号の電磁界の空間的変化の観測があり、これは、送信角近傍でのVLF波の電離層、大地多重反射の干渉効果を実測し、VLF波に対する電離層反射点高度、反射率を推定し、またそれらの日変化、オーロラ出現時の変化の様相について調べることを目的とする。

B₁₅-3Nでは、11.33kHzの磁界強度を、A局からの距離150～580km、高度0～33kmの範囲について観測し、B₁₅-1Nでは10.2, 11.33, 13.6kHzの電磁界三成分（E_x, B_x, B_y）の強度と位相をA局からの距離190～600km、高度0～31kmの範囲について観測を行った。また、スタムスン（A局からの距離190km）にて、11.3kHzの磁界強度を同時に観測した。

気球の飛跡と、それに沿って観測されたオメガ信号強度の観測結果を下図に示す。図中第2パネルの観測結果に見られる周期1分～10分の強度変化は、気球吊下げ線の揺れによる。IL-Aアンテナの回転周期と、オメガ信号繰返し周期（10秒）とのビートによるものである。上記変化の包絡線から求めた磁界強度変化を第3パネルに示す。この強度変動を、多重波干渉効果による空間的強度変化であると見なし、その様な変化特性をもたらす電離層反射点高度、反射率を求めるべく、モデル計算を行った。図中第4パネルはその一例であり、直達波、電離層1回反射波、電離層大地2回反射波の三波を重ねさせ、電離層反射点高度を75km、電離層反射率を0.6とした場合の結果であり、包絡線が磁界強度変化を示す。

B₁₅-1Nについても同様にオメガ信号強度の空間的変動が観測されており、B₁₅-3N, 1N、両者を比較することにより、昼と夜の電離層状態の差が、VLF波伝播に及ぼす影響を知ることができ。また、B₁₅-1Nについては飛翔中2回にわたりサブストームが起きた。オーロラ粒子降り込みに伴う、電離層の擾乱がVLF波伝播に及ぼす影響についても考察する。



CNA Pulsation と QP Emission, Magnetic
Pulsation との関係

佐藤 夏雄
(極地研)

渋谷 仙吉
(山形大理)

序

CNAが周期的に変動するCNA pulsationに注目し、QP emission, magnetic pulsation, (pulsating aurora)との位相、相関関係を明らかにする。この解析により、磁気圏内での波動一粒子相互作用の結果がどのような形で地上に現れるかというイメージが明らかになると期待される。

データ

1981年、昭和基地に新たに設置した超高层現象モニタリングシステムで収録した、デジタルデータ、アナログデータを用いた。

解析結果

(i) CNA pulsation の発生時刻

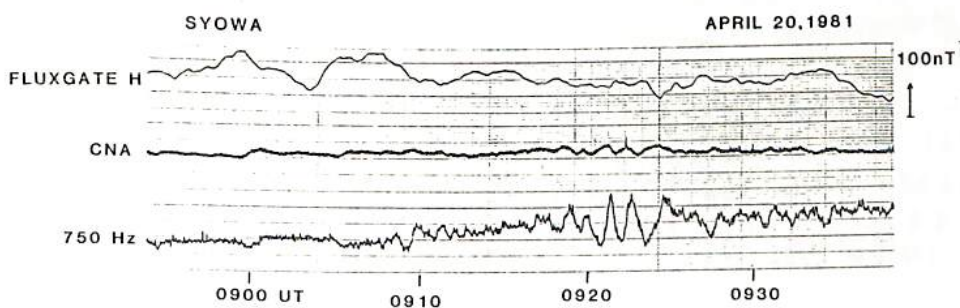
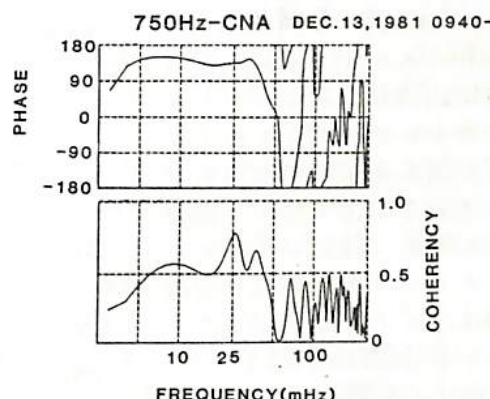
pulsation の周期に関係なく発生頻度を単純に統計すると、朝の 5~6 MLT, と 8~9 MLT に大きな 2つのピ-クがある。また、21~02 MLT にブロードなピ-クも存在する。最も発生頻度の少ない時刻は 13~19 MLT である。

(ii) CNA pulsation と QP emission

QP emission の頻度が大きい昼間は CNA pulsation の頻度が小さいため、同時に発生した例は 1 年間で 数十例程度であった。図 2 に位相・相関解析結果の例を示めた。統計的には CNA の位相が 90~150° 進んでいる。この例では位相差に周波数依存性が認められず、両者の伝搬時間差、電離の Time constant は小さいと考えられる。

(iii) CNA pulsation と magnetic pulsation

CNA pulsation のすべてが $Pc3 \sim Pc5$, $Pi2$ 等の magnetic pulsation と相關があると言っても過言ではない。



サブクレット帯の PC1, pi1 の特性(3) — PC1 ドット群とサブストームの関連

林 幹治 AUV 観測グループ
(東大・理 九大・理, 宇宙研, UBC, UVic)

オーロラ帯とクレット帯に挟まれた緯度 $\sim 10^\circ \sim 25^\circ$ サブクレット帯の PC1, pi1 に関する前回、前回の講演によって次のようないくつかの特性が明らかになった。

① PiB	Enhancement Band との偏波	発生の極大	考えられる発生域
・夜側発生源に近いもの	0.2 Hz(夏)~0.4 Hz(冬)	左	23~24 MLT
・夜側発生源に近いもの	顕著でない	直線に近い	19~21, 0~1
・昼側の PiB	顕著でない	直線に近い	7~12

② Multi-dot PC1	発生	時間帯	f-太空間での dot	dot 群
	2 日に 1 回程度	7 MLT ±3 時間	$\Delta T_d \sim 1\text{~}5\text{ min}$ $\Delta f \sim 0.05\text{~}0.1\text{ Hz}$	$\Delta T_g \sim \Delta T_d \sim 3\text{ 時間}$ freq. 0.1 ~ 0.5 Hz
			数: 1 ~ 数 10 個	全体としてゆるやかに同波数が上昇する(あり)

PC5 との関係	Substorm との関連	Kp
PC1 が観測される中心域でドット構造とほぼ対応する周期 10 分程度の PC5 を伴う	夜側 $\sim 20^\circ$ 付近に Jet の中心ある場合, Recovery phase の終り近く	1~3

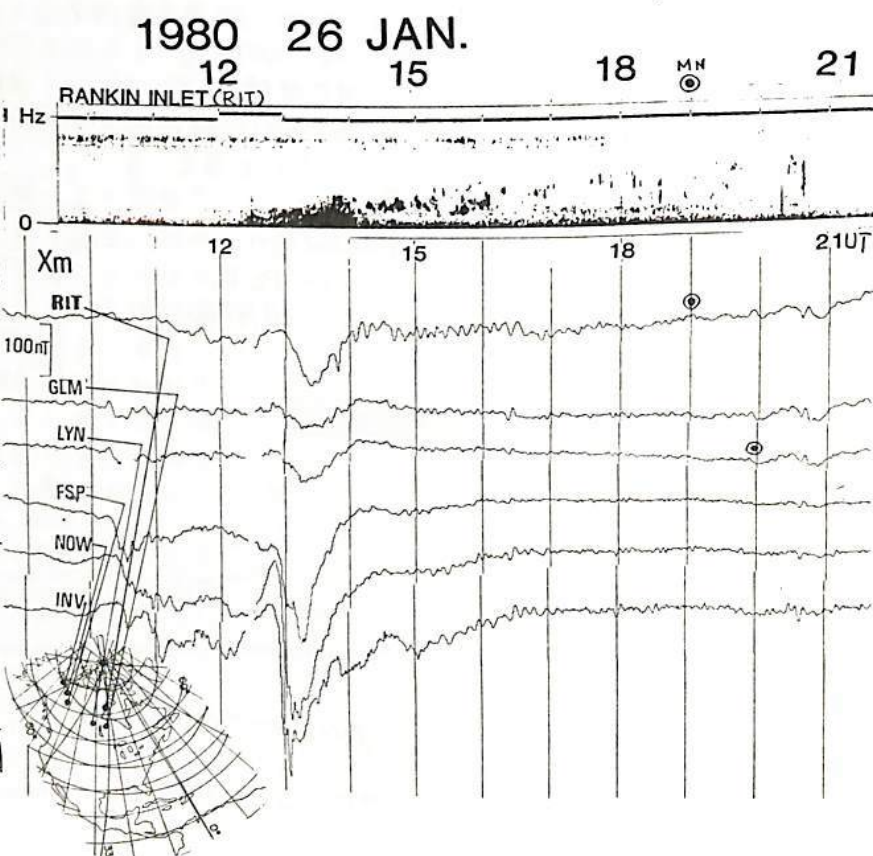
- ③ IPRP: 9~15 MLT に急激な同波降下 ($0.3\text{ Hz}/5\text{ min}$) の孤立または群をなすエミッショングループ。multi-dot PC1 の後に出現するとも多い。出現頻度は multi-dot PC1 の約 1/5。
 ④ PC1-2 band, HM chorus: 9~18 MLT に夏季特に強く出現する。出現時の Kp は 3 程度。

以上のうち右図に示される PC1 dot 群は高緯度型サブストームの発達過程の中の特徴的様相を示すものとみなし可能ができるもので、以下の諸点が更に興味のある点であるが①を除いて観測点の密度、統計母集団の大ささという点で確定的交結論を導く上で困難が大きいことが予想される。

② PC1 dot 群のスペクトル構造に関して
③ Jet current の中心緯度との関連。

④ local time による dot 群の発達の様相の違い。

⑤ PC1 dot 群と密接に関連して発生する PC5 現象の広がりと PC1 強度の空間分布。



河村謙、桑島正幸（地磁気観測所）
福西浩（極地研究所）

Periodic emission は、plasmapause に源をもつ。それが電離層 F2 層をタクト伝播することによる、て、低緯度側 および 高緯度側に伝っていくと考えられる。

Periodic emission (PE) の出現特性の一つとして、中低緯度においては、出現が、真夜中から朝方にかけて多くなることが知られている。又、出現が夏に多く冬に少ないという季節変化を示すことも知られている。これは、夜側あるいは冬においては、日射の効果が少ないので、F2 層の電子密度が低いために、Pc1 wave の吸収がされにくく、従って減衰が小さいことによるとされている。事実、Pc1 の出現頻度と ϕ_{F2} の間には、顕著な相関関係があることが明らかになった。

一方、伝播機構と同時に重要なことは、Pc1 の発生機構の解明の問題である。この発生機構に因連するものとして、我々がこれまで強調してきたことの一つに、PE の発生と storm-time ring current の消長との関連がある。PE は、大きな storm の recovery phase に多く出現し、しかも main phase との時間的なズレについては、中低緯度と高緯度との間に系統的な差でてくることも明らかになった。この差は、ring current を形成するプロトンが、storm に伴って圧縮された plasmapause が徐々に回復していくのに伴って、plasmasphere を形成する thermal plasma と wave-particle interaction を起し、粒状エネルギーを Pc1 wave に交換していく物理過程によくて説明できる。

PE の出現特性のうち、もう一つの特筆すべきものとしては、「long term variation」と呼ばれるものがある。すなはち、PE の出現特性として、日変化、季節変化、に加えて、さらに長周期の変動が存在することが明らかになった。この「long term variation」は、太陽活動と関連するらしい。すなはち、最近の傾向をみると PE の出現は、1975~1977 にかけて最大を示し、以後減少を続けている。太陽活動の極小期には、PE の出現が多く、太陽活動が活発になると、PE の出現が少くなる。前回の学会においては、この傾向を、伝播状態が太陽活動に依存するここで説明することを試みた。太陽活動が活発になれば、電離層 F2 層の電子密度も増加して、従って F2 層における Pc1 wave の減衰が大きくなり、このことによつて太陽活動の活発な時には、PE の出現が少くなるという model である。しかし、「long term variation」は、PEばかりではなく、HM chorus や Pc1-2 などされる現象についても存在するこれが明らかになった。はたして「long term variation」は、伝播機構の太陽活動依存性のみで説明できるものなのか、あるいはさらに他の原因を考えなければならぬのかは、Pc1 の特性を明らかにする上で、大きな問題である。

長周期地磁気脈動($P_c 4 \sim 5$)を伴なう
 $P_c 1$ 現象

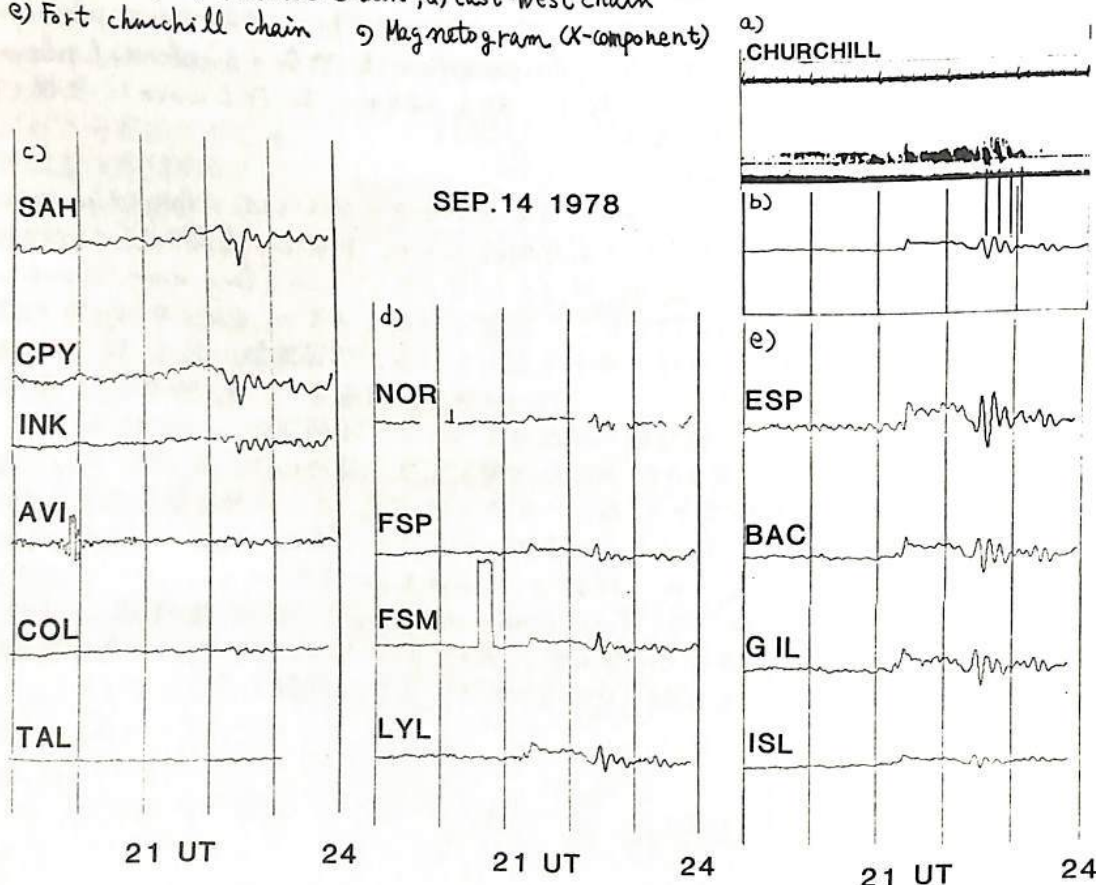
石田 十郎、國分 徹
(東大・理)

$P_c 1$ 地磁気脈動現象は、Local time、地磁気活動度などによって様々な形態を示す。特に午後側においては、HM-chorus と呼ばれるモード、irregular な構造を持つ現象が多く観測される。この午後側の現象の中に、下図に示すようなく、 $P_c 5$ 程度の周期を持つ地磁気脈動によって、 $P_c 1$ の強度が変調をうけていると思われる例が、1978年9月、カナダにおいて行なわれた観測で得られた。このような $P_c 1$ 現象の $P_c 4 \sim 5$ による変調については、静止衛星の観測では、いくつかの例が示されていますが、地上での観測例は、ほとんど知られていない。

図に示したように、この $P_c 5$ 現象は広範囲にわたって観測されており、この $P_c 5$ と $P_c 1$ の特徴をさらに詳しく解析し報告する。

併せて、静止衛星によって得られたデータについても解析を行ない、 $P_c 1$ 現象と長周期地磁気脈動($P_c 4 \sim 5$)との関連について検討を行なう。

図 a) Churchill で観測された $P_c 1$ の Spectrum
b) CHURCHILL c) Alaska chain, d) east-west chain
e) Fort Churchill chain f) Magnetogram (X-component)



*1 Barfield and McPherron, J. Geophys. Res. 77, 4707-4719, 1972

低緯度 Pc3 の偏波特性とその解釈

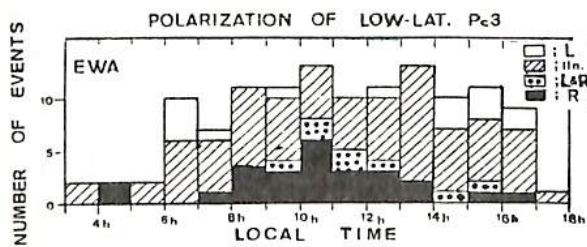
湯元清文・斎藤尚生

(東北大・理)

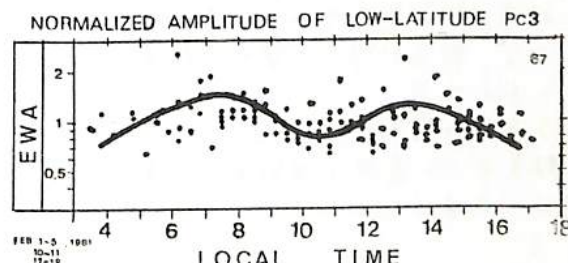
地球磁気圏で観測される Pc3 帯 (10 - 45 秒) の ULF 磁波については、今まで数多くの研究者によって解析され、現在ではその発生が太陽風パラメータの中で、特に、太陽風速度 (v_{sw}) と惑星間空間磁場のコーン角度 [$\theta_{XB} \equiv \cos^{-1}(B_{XM}/B_{IMR})$] に支配されていることが明らかにされてある。前回の学会において、太陽風パラメータの変化と同期して発生する Pc3 が、地球磁気圏深部の低緯度 (EWA; $L \approx 1.2$, 女川; $L \approx 1.3$) においても観測されることから、太陽風から磁気圏内部への大規模エネルギー移入の重要な問題に Pc3 も係わり合っていることを報告した。従って、Pc3 の磁気圏内部における、外部磁気圏から低緯度までの伝播機構の解明は、太陽風からの磁気圏内部へのエネルギー移入の過程の一端の究明に繋がる。今回は、Pc3 の伝播機構と深く関係する偏波特性に注眼を置いた、低緯度 2 観測点 (EWA, ONW) での地磁気のデータ解析を行い、新しい事実を見出したので、その解析結果を報告する。

先づ、地上で観測される ULF 磁波に及ぼす地下の電気伝導度異常の影響を明らかにした後、Pc3 の波動特性について論議する必要性があることから、2 観測点における Pc3 帯の磁場変化ベクトル特性について解析を行った。その結果、(1) ONW における Pc3 帯の磁場変化ベクトルは $\Delta Z = 1.15\Delta H + 0.45\Delta D$ の Parkinson 面に拘束されて変化する。(2) EWA における Pc3 帯の磁場変化ベクトルに規則性は見られず、周期 ~50 秒以上の長周期磁場変化に現われる様な離島効果も見出されない。概して、変化ベクトルの水平成分と鉛直成分間の相関性はそれ程良くなく、 $\theta = \tan^{-1}(\sqrt{\Delta H^2 + \Delta D^2}/\Delta Z) \sim 60^\circ$ 付近に大きく離散して分布している。これらの Pc3 帯の磁場変化ベクトルの解析の結果、Pc3 に及ぼす電気的地下構造の影響は、ONW 観測点に比べて EWA 観測点の方が少なく、比較的電離層上空の Pc3 に伴う磁場変化をそのまま EWA で観測しているものと思われる。

次に、変化ベクトルの解析結果を考慮し、2 観測点における Pc3 の偏波及び発生特性の解析を行った結果以下のことが明らかにされた。(1) 低緯度 Pc3 は ~60% のものが直線偏波を示すが、残りの ~40% のものは明け方で左旋、午前中右旋、そして午後 14 時頃から左旋になる規則的な偏波特性を示す。(2) 上記の偏波逆転の起る地方時 (~8 時と、~14 時) に対応してその時間帯に観測される低緯度 Pc3 の振幅が最大になる。以上の解析結果から、低緯度において観測される Pc3 は、低緯度における磁力線の定在振動やアズマポーズでの表面波などの局在化モードの他に、太陽風領域から磁気圏の中の磁気赤道面を経て低緯度まで達する様な伝播モードも存在しているものと結論づけられる。



第 1 図



第 2 図

静止衛星高度におけるPc 4~5脈動出現の 緯度特性

國分 征
(東大理)

NOAA の SMS / GOES シリーズ衛星のデータを用いて、静止衛星高度 ($L \approx 6.6$) における、Pc 4~5 脈動の出現特性を調べた結果を報告する。このシリーズの衛星は、1974年から始められ、常時少なくとも2つの衛星のデータが取得されてきた。観測点の緯度は、 $135^\circ W$, $\sim 105^\circ W$ と $75^\circ W$ であり、それこれらの地磁気緯度は、 4.7° , $\sim 9.3^\circ$ と 11.4° である。このデータから $L \approx 6.6$ 高度の緯度 11.5° 以下の領域でPc 4~5 脈動がどのように変化していくかを調べるのがこの解析の目的である。

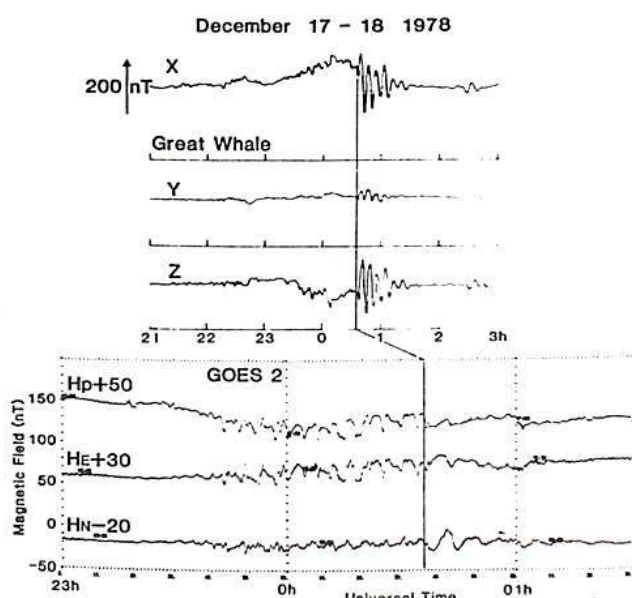
Baker, et al (1980) は、これらと同じ高度におかれている衛星のデータを用いて、電子フラックス ($30 \text{ keV} \leq E \leq 300 \text{ keV}$) の周期変動 ($T = 1 \sim 10 \text{ min}$) の特性を調べ、出現の日変化や季節変化が、大きく観測実験の緯度に依るところを見えていた。彼らは、1~10分の周期をもつ変動を全て同じようにして統計しており、周期によるちがいはわからず。しかしながら、周期が1分程度のPc 4 脈動と、5分程度のStorm Time Pc 5 では活動の性質は全く異なっており、もし電子フラックス変動が、このような脈動と関係があるならば、周期とちがいをもとり入れた解析が必要である。この解析では、Pc 4~5 带の脈動のうち、緯度方向に偏波しているもの (A-class) と圧縮性のStorm Time Pc 5 に着目し、これらの出現特性が観測実験の緯度にどのように依存するかを調べた。

結果

- 1). A-class のPc 4~5 は、 $\phi_m \sim 11.4^\circ$ では、地上と良く対応して観測されるが、 $\phi_m \sim 4.7^\circ$ では、殆んど検出できない ($6\beta_L < 5 \text{ nT}$)。出現のピークは、 $6 \sim 7 \text{ h LT}$ と $15 \sim 16 \text{ h}$ に小さなピークをもつ。
- 2). 圧縮性のPc 5 は、 $\phi_m \sim 4.7^\circ$ の方が、他の2つの緯度にくらべて2倍以上の頻度で出現する。

- 3). この圧縮性Pc 5 は、地上では殆んど検出できない (normal-run magnetogram の分析範囲)。右の図は、圧縮性のものと、A-class の違う地上における大きさを示すもので、前者は殆ど認められないことがわかる。

これらの結果は、A-class Pc 4~5 は基本として磁力線変形振動とか從属の要素と一致するところを示している。また、圧縮性Pc 5 は、赤道附近に向在するモードの振動と考えられる。

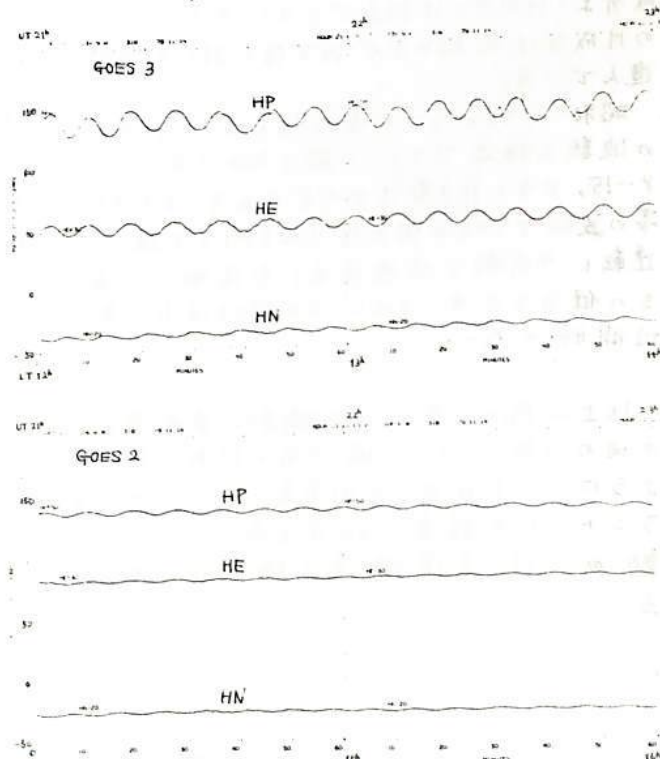


静止衛星が長時間観測されたPc5地磁気脈動について

永野 宏、荒木 徹
(岐阜歯大) (京大理)

1979年11月14日UT15時から15日UT3時にかけ静止衛星GOES3(経度 134.9° W)により、非常にclearなPc5 pulsationが観測された。これはLTでは6時~18時に相当し、12時間も長時間にわたってPc5が続いた例である。このdataの一部(UT21時~23時の2時間分)が下図の上の部分に示してあるが、HP成分(地球の回転軸方向)が大きく(peak-to-peak約18Y)、次にHE成分(地球方向)が大きく(約11Y)、HN成分(azimuthal & westward方向)は小さい(約4Y)。これは云われてcompressional型振動である。一般に磁気圏内でのPc5脈動は午前側ではtransverse型、午後側ではcompressional型である場合が多いのである。この場合には午前から午後にかけてcompressional型脈動が起こる。脈動の周期のLT依存性を調べると、日中は7~9分であるのにに対し、朝方側、夕方側では9~15分程度と周期が長くなる。これは、静止衛星の位置 $L = 6.6\text{RE}$ での磁力線の長さがLTにより違つていい。即ち、朝方、夕方側の方が日中よりも長いためであると思われる。

静止衛星GOES2(経度 106.6°W)では11月14日UT14時よりUT23時頃まで、即ち、LT7時~16時で同様なPc5 pulsationが見られる。この場合にはGOES3の場合に較べて振幅が小さい。(下図の下の部分より、peak-to-peakでHP成分約4Y、HE成分2~3Y、HN成分約2Y) この振幅の違いはGOES3、2の位置の地磁気緯度がそれなりに 10°N であるのにに対し、GOES2の位置の地磁気緯度がそれなりに 5°S であるためである。この違いにより、それが衛星を観測したPc5の振幅の違いが生じる。静止衛星高度が観測された。このPc5 eventについては、既に最近Higbie et al. (1982, JGR)により報告され、彼等は主に粒子についてのPc5 modulationを調べており、GOES2、3でのPc5脈動の違いには言及していない。そのため、このようないきがかりから、この長時間にわたって起こるPc5脈動の特性について調べることは価値があると思われる。我々はFFTによる周波数解析や、wave vectorのrotational sense等を調べ、この長時間起こるPc5脈動の特性を報告する。



高緯度多点観測に基づく P_c3-5

脈動の伝播、共鳴特性

利根川豊^{1,2)}・福西浩¹⁾・平沢威男¹⁾・桜井亨²⁾・加藤愛雄²⁾

1) 国立極地研究所 2) 東海大学工学部

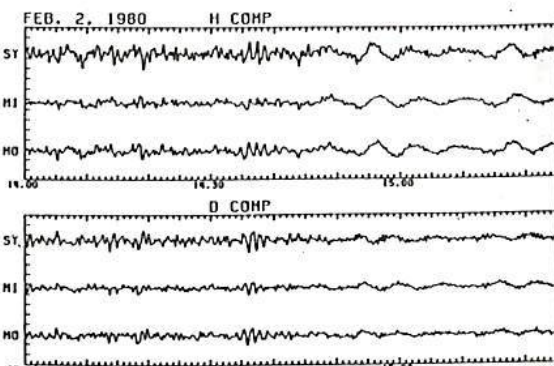
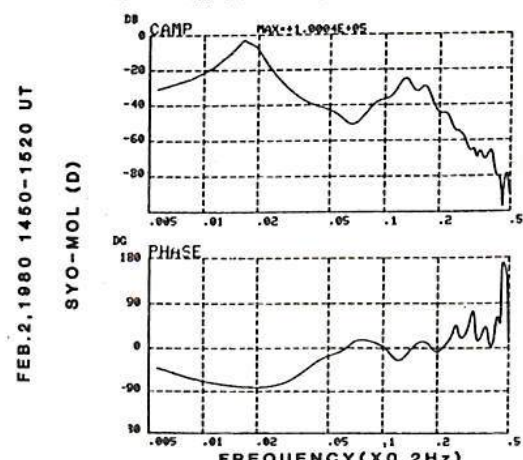
ULF 波動の伝播、共鳴機構を調べる為に 1980 年 1 月 29 日から 3 月 8 日の期間に南極の昭和、みずほ、マラジヨージナヤ基地で同時観測された磁気脈動記録の解析を行った。各基地でアナログテープに記録されたデータは 0.5 秒少サンプリングで A/D 変換し、時刻、感度調整後デジタルテープに収集され、各基地各成分 (H, D) のクロススペクトルを赤池法を用いて全期間 (40 日間) 計算した。さらに波動の位相、偏波情報を処理し、カラーグラフィック上にダイナミック表示するシステムを開発した。その結果以下の事が明らかになった。

1. ダイナミックスペクトル上には P_c3 帯と P_c4-5 帯の 2 つのパワーバンドが存在する。 P_c4-5 帯は主に 05-18 h MLT に表われ、パワーは午前側が強い。 P_c3 帯は一般に 06-15 h MLT に表われたが 03-06 h MLT の早朝に出現する場合もある。
2. P_c4-5 帯の偏波は午前側で左回り (磁場方向に向かう), 午後側では右回りの傾向が強い。一方 P_c3 帯は周波数、時刻に対し偏波特性が複雑に変化する。
3. 南北方向の位相差は P_c3 帯、 P_c4-5 帯共に D 成分より H 成分の位相差が大きく、特に P_c4-5 帯の H 成分は昭和の方がみずほに対し $45^{\circ} \sim 90^{\circ}$ 進んでいる。
4. 昭和-マラジヨージナヤ間の位相差から経度方向の波数を推定すると、一般に P_c4-5 帯は $m=8-15$ 、日本の P_c3 帯は $m < 8$ である。また P_c4-5 帯の波数ベクトルの向きは $\sim 12 h$ MLT を境に逆転し、午前側では西向き、午後側では東向きの傾向を示す。しかしこの傾向は P_c3 帯では明瞭でない。

以上の様に、 $P_c3 \sim P_c5$ 脈動の東西、南北両方向の波数ベクトル、偏波等の情報が得られるようになったので、前回発表した昭和-アイスランド共役点観測の結果と合せて、ULF 波動の伝播、共鳴機構を総合的に検討する。

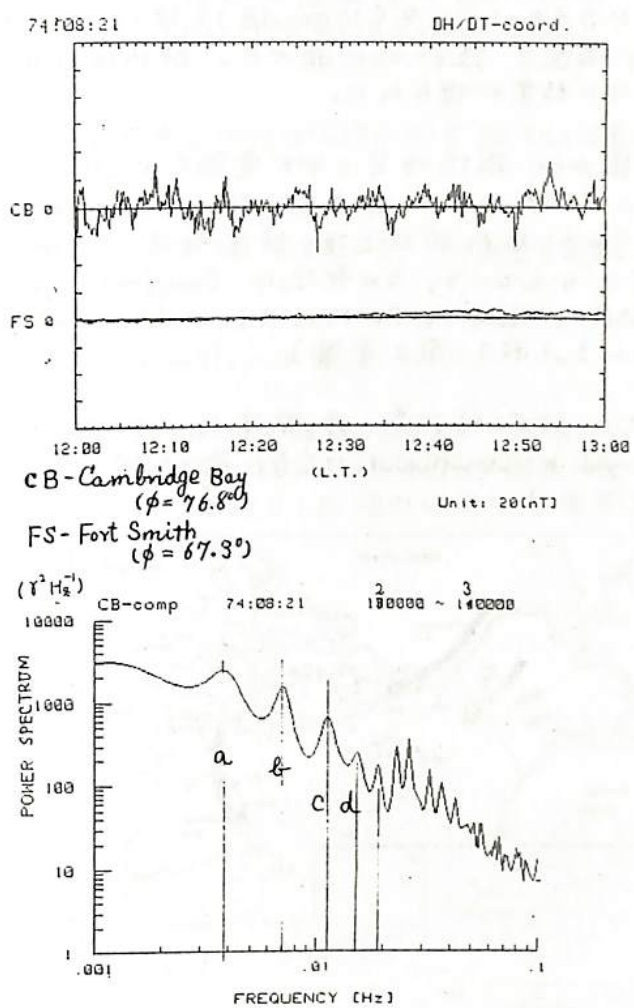
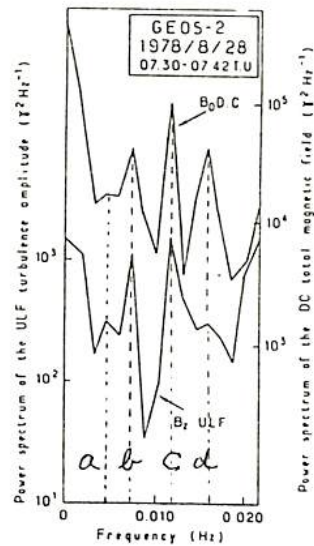
Station Name	Invariant Latitude	L	Magnetic Longitude	Magnetic Local Time
MIZUHO	68.0°	7.13	70.6°	00:13
SYOWA	66.2°	6.12	70.5°	00:12
MOLODEZHNAIA	66.6°	6.35	76.7°	00:37

表 1 地磁気多点観測網の位置

図 1 P_c3 , P_c4-5 脈動の同時観測例図 2 昭和-マラジヨージナヤ間の位相解析例
負の位相差は昭和の位相進みを意味する。

磁気圏境界戸のULF波動に伴うCusp領域

下のCambridge Bayで観測されたULF波動

加藤愛雄 高橋隆男 反村清
(東北大) (東海大計算室) (東海大工)

さきに著者等が1974年にカナダの北極圏のCambridge Bay ($\phi = 76.8^\circ$) およびFort Smith (67.3°)において、誘導磁力計による地磁気脈動の同時観測を行った結果について、特に短周期変動(周期8秒以下)の活動が晝間Cusp領域にあるCambridge Bayにおいて、若ろしく盛んになることを認め、Cusp領域を通じてEntry layerから粒子侵入があることを論じた。

一方最近GEOS-2等の観測により磁気圏境界戸でpc5~pc4のULF波動の卓越する事が明らかになり、また多くの著者によりその発生機構の理論的解明も行なわれた。

著者等は上記のCambridge Bayにおける観測結果について、今回特に長周期の波動に着目して解析した結果、磁気圏境界戸でのULF波動のPower Spectrumの特性と、殆んど一致したULF波動(pc5~pc4)が、晝間時Cusp領域下にある時のみ卓越していることが明らかになった。

北米 IMS チェーンデータを使った朝側 $P_c 5$ 脈動
のクロススペクトル解析

坂 翁介 (九大理), J.S. Kim (ニューヨーク州立大), M. Sugiyama
(GSFC, NASA)

北米 IMS チェーンデータ (10 sec 値) を使って $P_c 5$ 脈動の時間・空間的及位相
振幅の構造を統計的に調べた。解析は午前側の 59 例の現象を対象として
いる。次の結果が得られた。

(1) 磁気圏からの磁場信号はほぼ“電離層”でしゃへい、され、地上の脈動は南北に
180°の位相差を持ち且、東西に流れるホーリ電流により作り出される。
しかししながら、局所的な大地の誘導電流が、地上での位相・振幅分布に大きな
影響を与えていく。その電流は Beaufort Sea (北極海), Fort Yukon の
オホーツク, Gulf of Boothia から Hudson Bay に沿っての各領域で顕著に
現われる。(図 1, 図 2 参照)

(2) 南北に 180°の位相差を持つ電流は必ず Field Aligned Currents を作り出す。
Upward と Downward は交互に南北に現われ北へ消えていく。その様子を
図 3 に示す。

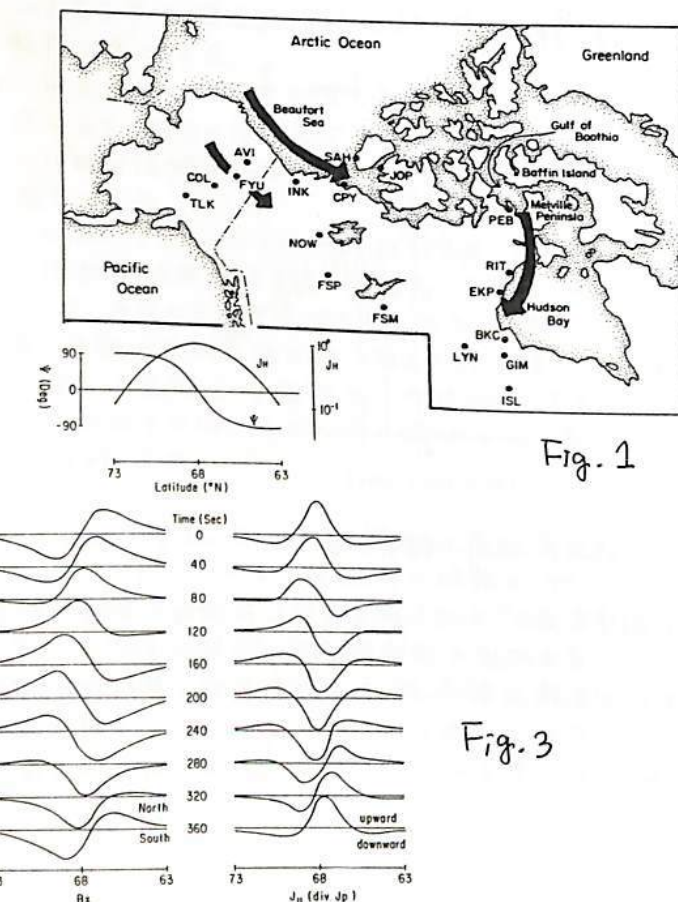


Fig. 1

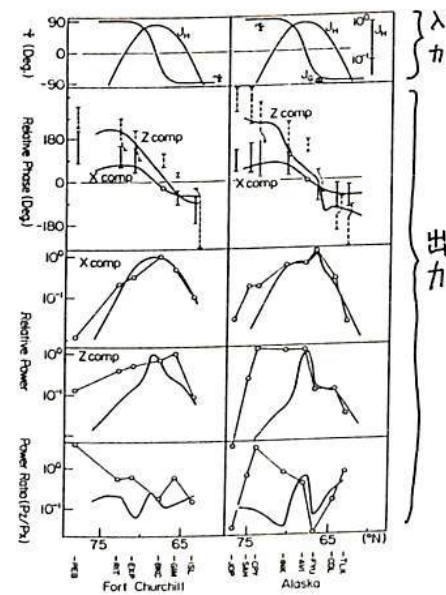


Fig. 2

Fig. 3

○—○—○観測値
~~~~~モデル

## Pc5 脈動の空間的な位相・振幅構造の Dawn-Dusk Asymmetry

坂 金介(九大), J.S. Kim(=ユ-ヨ-ク#立大), M. Sugiura (GSFC, NASA)

北米 IMS データを用い, Pc5 脈動の位相・振幅構造の Dawn-Dusk Asymmetry を調べた。現象は午前側は 59 例, 午後側は 37 例である。以下の事がわかった。

- (1) 空間的な位相構造は午前と午後で東西の伝播方向が逆転している事を除きその差はない(図 1)。
- (2) X と Y の位相差から得られる水平面内の R から L 又は L から R の強度変化は特に午後側ではしばしば起きない(図 2)。
- (3) 振幅の強度変化の Dawn-Dusk Asymmetry は顕著である。

午前側の現象は従来の Field Resonance Theory で良く理解出来るが、午後側に関してはそのまま適用出来ないだろう。その原因はおそらく磁気圏の構造の差(磁場・フローラス・マ密度分布)によるものであろうが、はっきりした理由は不明である。

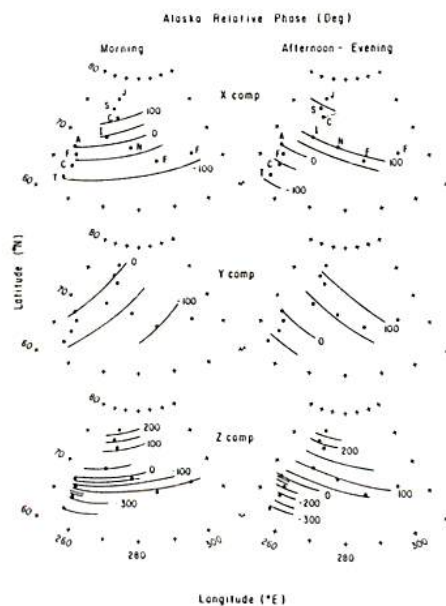


図 1

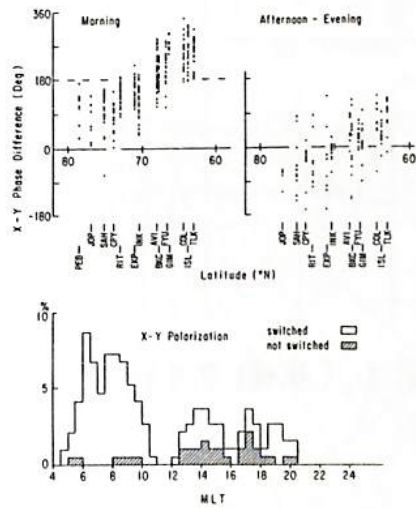


図 2

昼側  $P_c 3$  と夜側  $P_c 3$  がなぜ X-Z 面内の偏波が逆転するのか？

坂 翁介(九大理), J.S. Kim(ニューヨーク州立大), M. Sugiura (GSFC, NASA)

高緯度  $P_c 3$  脈動の偏波特性は Suzuki et al (1981), Nagano et al (1981) に於て IMS データを使い詳しく調べられていて、その結果昼側  $P_c 3$  は  $P_c 5$  と同類であることがわかったが夜側  $P_c 3$  に廻してはそれが電離層電流のゆらぎであるとし、そのもとの原因については不明のままであった。昼側  $P_c 3$  と夜側  $P_c 3$  のちがいは X-Z 面内の偏波特性が L から R へと明りよう逆転することである (Suzuki et al; 1981)。

昼側  $P_c 3$  (もしくは  $P_c 5$ ) 及び夜側  $P_c 3$  が電離層ホール電流のゆらぎであるが、我々はその電流の空間的な位相構造の差が上記の X-Z 面内の偏波特性の差を作り出したのだろうと考えた。図 1 及び図 2 にその根拠を示す。昼側  $P_c 3$  のかわりに  $P_c 5$  を使った。 $P_c 5$  の位相は南より北へ伝ばんするが夜側  $P_c 3$  は位相が北より南へ逆に伝ばんしていい。これはホール電流の南北の位相が逆転していることを意味する。この位相の伝ばんの差が X-Z 面内の偏波を L から R へと逆転させる (図 3)。

夜側  $P_c 3$  は磁気圏内が地球方向へ伝ばんする電場によつて引起されるのであろう。

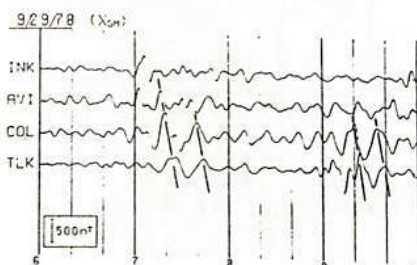
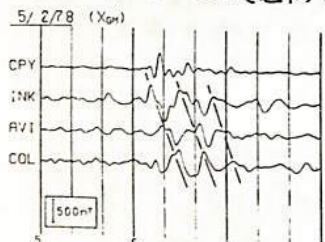


図 1. (夜側  $P_c 3$ )

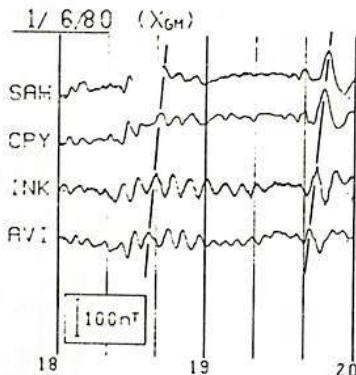
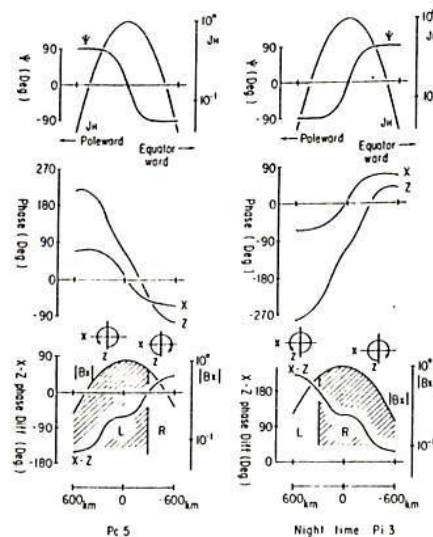


図 2. ( $P_c 5$ )

図 3.



## 多点観測によって得られたPi burst脈動の特性(IV)

國武 学

(東大・理)

Pi burst (PiB) は, irregularな短周期成分を持つ, durationが数分の脈動現象で sub-storm の onset 付近に極域で起こる。すでに PiB と aurora の関係については以前の学会で報告してきた。すなわち, PiB の発生領域の位置及び推移と local auroral expansion との良い対応 ('80 春の学会) 及び PiB と auroral oval の関係 ('81 秋の学会) 等である。

今回は, PiB と auroral electro jet との関係について報告する。解析には図 2 に示した station の magnetogram を使用した。具体的には, magnetic perturbationの latitude profile から jet の幅, 及び位置を推定し, PiB の発生領域との関係を調べる。特に, 断続して起こる PiB に関しては, その発生領域の推移と, electrojet の変化について調べる。また, 図 2 に示したように, 北米に広く分布している station の data を用いて, ある程度広い領域での等価電流のパターンを求め, それと PiB との関係についても報告する。

ところで PiB の特徴の一つとして, 波形が irregular でありその周波数成分が wide band であることがあげられる。PiB のパワースペクトルは, 周波数とともにパワーが下がっていく形を示し, その中に卓越周波数が見える場合もあるが, 卓越周波数がはっきりしない場合も多い。そこでスペクトルのトレンドを  $P(f) = A \cdot f^{-r}$  で近似し (最小二乗法で fitting), その "r" を, PiB (のスペクトル) の一つの特徴的なパラメータとする。この "r" と他のパラメータ (M.L.T., K<sub>p</sub> など) との関連について, 多数の例を用いて解析した結果を報告する。

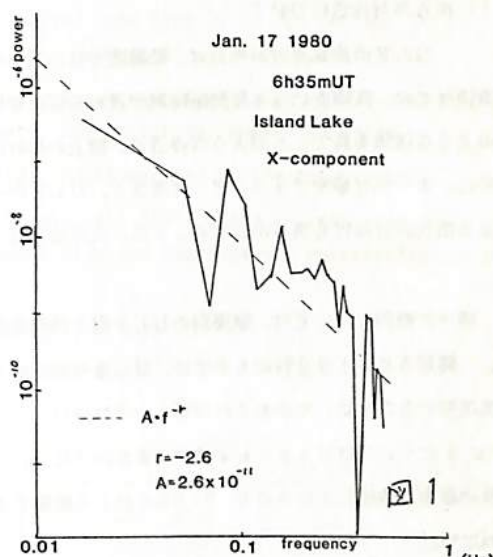


図 1

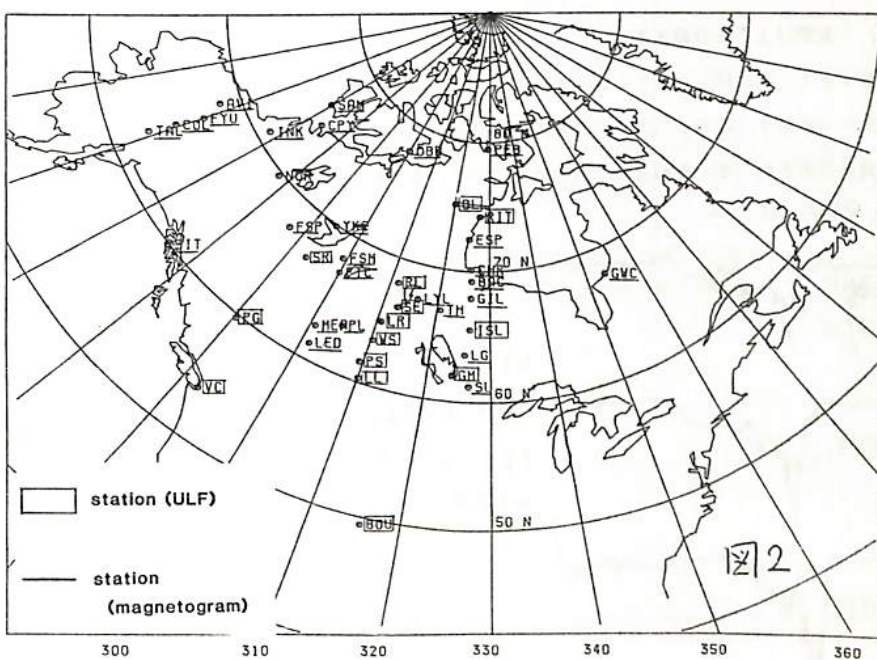


図 2

## Pi 3の2～3の性質について

九州大学 理学部 北村泰一、糸長雅弘

最近、IMS地上チェーンのデータがアヴェイラブルになってきて、長周期のULFの性質を知る上に大変有用な役割を果している。ここでは1979年9月より、約半年のデータを用い、いくつかの例について解説を行った。現象の種類も数も多いので、今回はPs 6について、次の諸点について報告する。

## (1) 南北非対称性について

ULFの南北非対称性とは、低緯度ではULFの開始時刻が殆ど同時であるのに、高緯度では、高緯度になる程開始時刻が遅れる現象をいう。ULFが地球磁気圏からどのような経路を経て、どのような姿態で、地上のわれわれの目にふれるのかを理解するために、オーロラ帯やプラズマポーズ帯など、ULFの一次発生領域帯を中心としてみられる南北非対称性を明らかにすることは、大変重要なことと思われる。

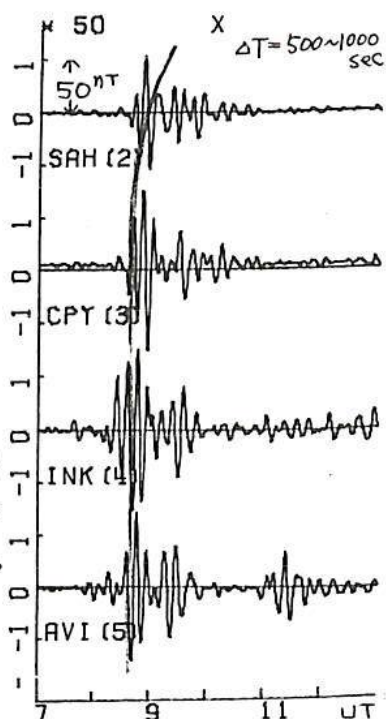
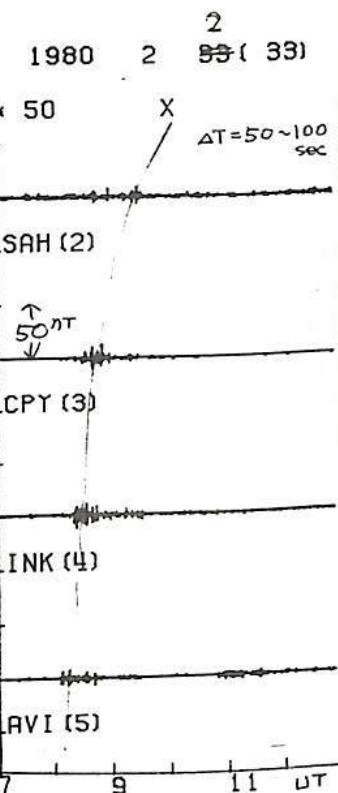
調べた数例については、短周期のULF程この南北非対称性が強い。右図でこれを示す。周期50～100秒のものでは、はっきり高緯度での開始時間のおくれがあるのに、長周期のものでは、そのおくれは明らかではない。しかし、同じような長周期である、Psc 6についてはNagano等が、またPc 5についてはSaka等がすでに南北非対称性の存在を確認しているので、Ps 6もくわしく診断すると南北非対称性がでてくるかも知れない。

## (2) “見掛け上”の分散がある。

サブストームに伴うULFには、ダイナミック・スペクトラムでみて下降トーンのパターンを示すものが多い。これは低緯度のPi 2の中にも見られるものだが、これが“見かけのもの”か、それとも“真の分散”かは、もうすこし吟味する必要がある。

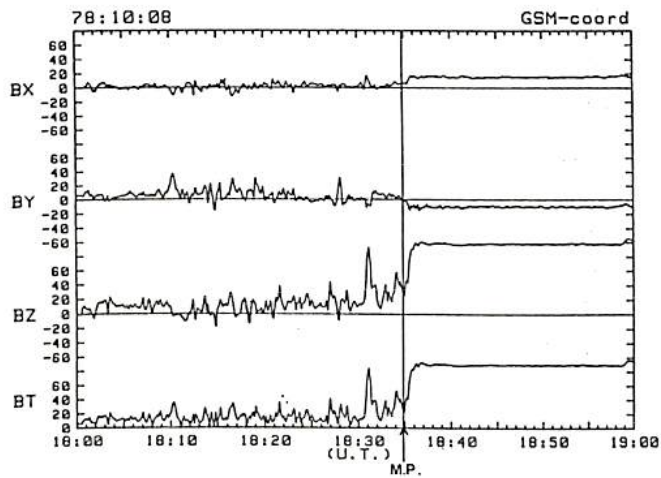


1980年2月2日の例  
南北非対称性は短周期(右図)  
ほどいちいちらしい。周期2000秒  
のULFでは必ずしも明らかなない。

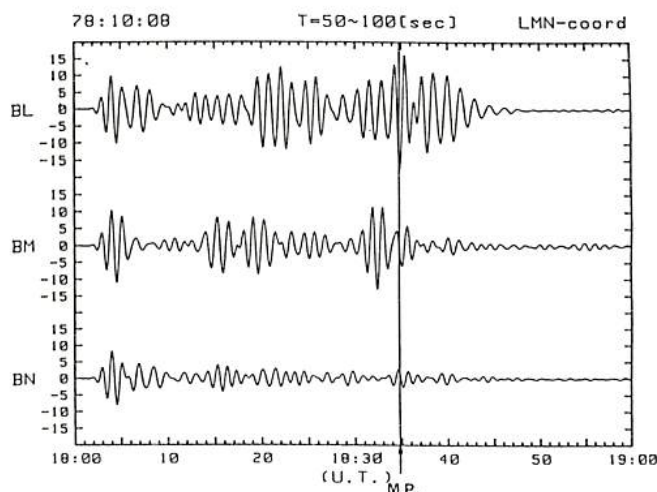
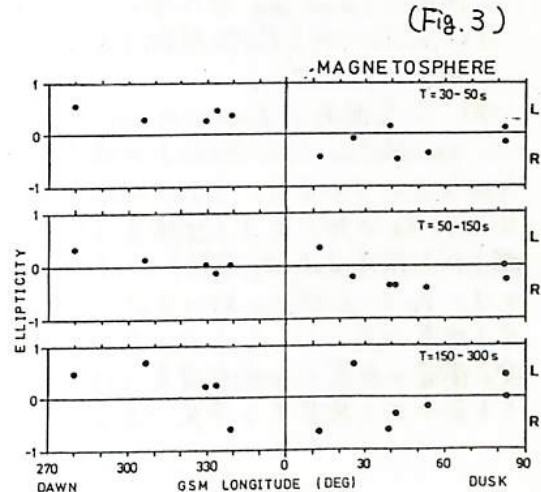


友村 清、加藤愛雄、桜井 亨  
 (東海大工)

Magnetic fluctuations observed in the magnetosheath and the outer magnetosphere with the ISEE-1 and 2 satellites during 5 months from July to December, 1978 are analyzed in order to clarify a relation on an intrusion of magnetic energy from the magnetosheath to the magnetosphere. Observed results on the wave characteristics of the fluctuations including spectrum, integrated power, ellipticity and their longitudinal dependences in the period range from 30 to 300 seconds in the satellite frame are obtained. Figures 1 and 2 show a typical example of magnetic fluctuations observed with the satellite during the inbound pass and a filtered out wave form using a band-pass filter of the period range from 50 to 100 seconds, respectively. The integrated power indicates one order larger in the magnetosheath covering over the dayside longitude than in the magnetosphere. The ellipticity of the waves in the plane perpendicular to the magnetic field gives a clear longitudinal dependence; i.e. lefthanded polarization in the forenoon side and right-handed polarization in the afternoon side, respectively.



(Fig. 1)



(Fig. 2)

# 静止衛星で観測されたSSCに伴う長周期地磁気脈動の特性について

永野 実、荒木 徹、福西 浩、佐藤 夏雄  
(波阜歯大) (京大理) (極地研) (極地研)

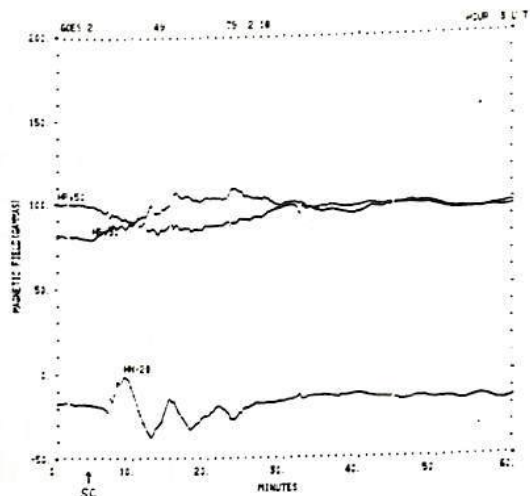
SSCに伴う地磁気脈動は、そのenergy sourceが broad bandな spectrumを持つことにもかかわらず、どのようにして、ある特徴的な周期をもつ、いくつかのものに選択されて出現するのか、磁気圏内の脈動と地上のものとのどうな関係にあるのか、また、その緯度、経度に対する依存性、並びに、惑星間空間の物理状態に対する依存性はどうあるのか等、我々に多くの興味をもたらす問題である。最近、利用できる静止衛星のデータが豊富になり、できており、これらの統計的な研究も徐々に行なわれようになつてきている。

我々は、1974年から1979年までの、ATS-6、SMS/GOESシリーズの静止衛星により観測された磁場変動の one-hour frame film data を調べて、SSCに伴う地磁気脈動の特性について統計的な研究を行った。磁場 data が利用できる期間の中には約140個のSSCが存在しており、同時にいくつかの衛星で観測している場合もあるので、合計として衛星で観測されたSSCの数は約220個である。調べた脈動の周期については、film data からはおよそ1分以上について明確には判断できないのが、Psc4, Psc5 rangeの脈動について調べたところになる。1例を下図に示すが、これはGOES 2の磁場 data で、1979年2月18日UT0304に起こったSCの後に、約6分のPsc5脈動が、HN成分(azimuthal & westward方向)に見られ3例がある。

今迄に Local time 依存性について調べ分かった点について

(1). SSCに伴うPsc型脈動は全てのLTで起こってはいるが、夜側では起こりづらい場合が割合多い。

(2). Psc型脈動は transverse oscillation ( $B_{\parallel} < B_{\perp}$ ) の場合が非常に多いが、compressional oscillation ( $B_{\parallel} \gtrsim B_{\perp}$ ) の場合も、日中からdusk sideにかけて割合多い。ということである。また、地球から太陽の方向に200 REの所にいる人工衛星 ISEE 3 により観測された磁場 data より IMFとの関係を調べた結果では、 $B_z$ が北向きの時の方がPsc型脈動の出現する確率が高いこともわかつた。講演の時には、静止衛星の位置の地磁気緯度に対する依存性などを含め報告予定である。



## Psc 型 磁気脈動 の 出現特性

桑島 正幸、河村 譲、角村 悟（地磁気観測所）  
福西 浩（極地研究所）

Psc 型 磁気脈動は、SC に伴って出現する 磁気流体波動であり、磁気圏および地上の広い領域にわたって出現するので、その出現特性を知ることは 磁気圏の diagnostics に 関連して重要である。特に Psc が shock が到来する 夜側ばかりではなく、夜側にも見られることは、他の脈動では見られない 特性といえる。これまでの、我々の解析では、SC に伴って 周期 5~10 秒の Psc から 周期 600 秒近くの Psc 5 の 広い 周期帯の 現象が 同時に地上で出現していることが 確認された。これは、Psc の source が 単一ではなく、いくつかの 磁気流体活動を引き起す 構造か SC に伴って 同時に trigger されることを意味する。1977 March 22 0826 の SC に伴う Psc は、低緯度の Hermanus ( $L \sim 1.9$ ) では 周期 40 秒の Psc 3 が 分が 卓越して みられるが、子午線が ほぼ 等しい IGS の station network ( $L = 4 \sim 5$ ) では 卓越周期が 160 秒にあり、さらに 子午線を 同じくして 高緯度側に位置する 昭和基地 ( $L \sim 6.1$ ) では Psc の 周期は 320 秒となり Psc 5 が 分の 出現を 示している。Psc と 同じように Impulsive disturbance に伴って 出現する Psc 2 が 同じ子午線に 沿って 高緯度から 中低緯度まで ほぼ 同じ 卓越周期をも、て 出現するのとは、きわめて 対照的で 特性である。又 統計的に見れば、中低緯度では Psc 2~3 が 卓越し、又 高緯度では Psc 5 が 卓越する 倾向が 明らかになつたが、中低緯度においても 教は 少しつれども Psc 5 の 出現が 確認されて いるし、高緯度において Psc 2~3 が 解剖されることも 確認されている。このおに Psc は 他の 現象に 比較して、多くの 情報を 含んで いるものの、複数の 出現特性 やえに 十分に 解明されて いるとは いえない。

この期間に ふりては、地土における 觀測網が 整備され、一方 人工衛星の 觀測データ を 入手できるようになつた。これらの 資料による 解析の 途中結果を 報告する。解析期間は 1976 年 1 月 から 1980 年 12 月までの 5 年間で、この期間に 出現した 165 event の SC に 伴う 現象を 対象とする。主な データは 中低緯度の 2 点、女満別 ( $L \sim 1.5$ ) と Hermanus および Hermanus と ほぼ 子午線を 等しくして 高緯度に 位置する 昭和基地 である。今度は 地上 データに 加えて、静止軌道衛星 GOES 1~3, SMS 1~2 の データも 解析した。解析は まだ 初段階であるが、多くの オンスラップ で Psc の 出現特性について 報告する。

桙井亨  
(東海大工)

It has been well known that the period of oscillation of Pc's observed on the ground changes to shorter period in association with SSC. However, another important phenomenon of a drastic change of oscillation character associated with SSC has not ever been reported in the observations of magnetic pulsations in space. Figure 1 shows a typical example for illustrating such characteristics of Psc; i.e. shortening in the period and changing in the oscillation character in association with SSC. A very clear quasi-sinusoidal oscillation of Pc 4 range magnetic pulsations is well recognized in the radial (V) component of the magnetic field during the interval before the occurrence of SSC. While, the Psc changes in the character of oscillation to the pure azimuthal oscillation. The power spectra clearly reveal the characteristics mentioned above. The azimuthal oscillations of Psc contain always some spectral components including the period range of Psc 3, Psc 4 and Psc 5. These spectral components show each different oscillation mode, an odd or even mode. The examination of polarization also gives a clear indication about such an oscillation mode.

In conclusion, Psc oscillations occurring with a pure azimuthal oscillation in space may be due to a shear Alfvén wave, which seems to be most easily excited with SSC and propagates along the magnetic field-lines in the magnetosphere.

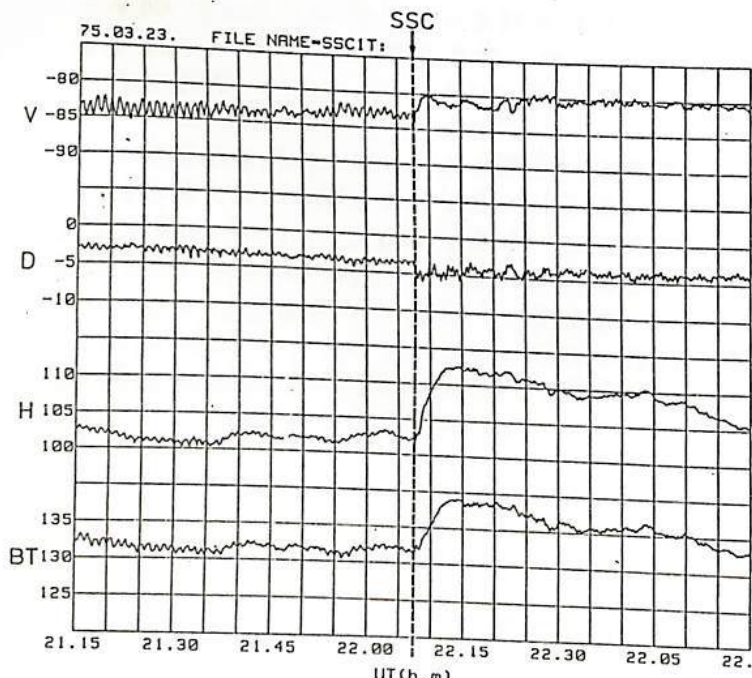


Fig. 1

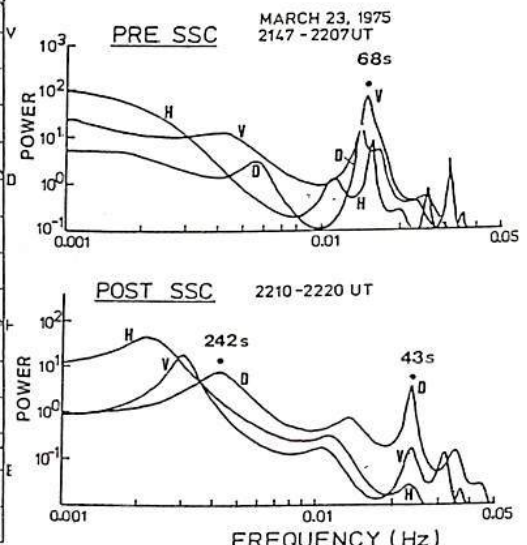


Fig. 2

## 300 - 500 km 高度 の SC

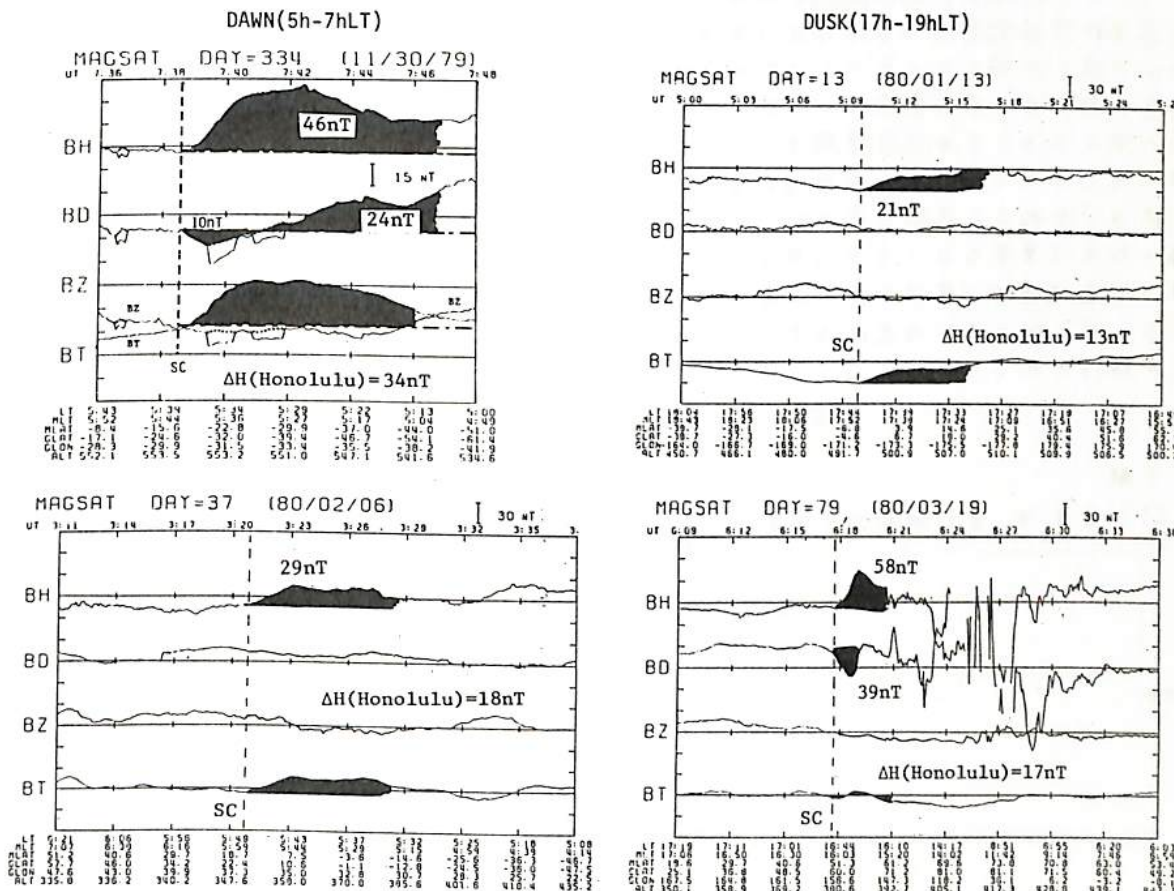
荒木 徹, 家森俊彦, 風井豊永 (京大理), 角村悟 (地磁気観測)

SC (急始磁場変化)は、惑星間空間衝撃波に起因するところから、磁気圏の卓越圧縮と膨張がちであるが、今までの地上磁場観測の解析から電離層電流が大きく電子を3倍以上が示唆される。電離層電流の作用磁場は高度と共に急速に減少するので、SCへの電離層電流の電子と見做すには電離層のすぐ上でのSCを抜き地上データと比較する方が必要となるが、SC時の変化(数10nT)が静磁場(数万nT)にくらべて小さいので、今までの衛星観測ではこれは不可能である。

1979年11月～1980年5月の間、MAGSAT衛星は、地上300-500kmのdawn-dusk meridian線上の日軌線上で、磁場ベクトル成分を数nTの精度で連続観測した。

ここで、この期間に観測されたSC (Solar Geophysical Data = 27以上9個) がSCと報告されたeventは24ある) について、地上、MAGSAT、静止衛星(GOES)のデータを比較解説して報告する。  
MAGSATによる

下に、dawn, duskの方針を取った観測によるSCを2例示す。MAGSATの精度が異り、また時間的に変化(46nT)の2卓越を比較するにはハズ; 地上との変化(Honoluluで代表)より大きさを変化を示してあるのが特徴的である。これは電離層電流による座標結果によると考えられる。



糸長 雅弘, 北村 泰一 (九大理)

電離層を非等方的な導体薄層とみなし、その非一様性が地磁気脈動に及ぼす効果を調べた。非一様性のモデルとして簡単のため

$$\Sigma_P(y) = \Sigma_H(y) = \Sigma_0 (1 + \varepsilon \cos \frac{2\pi y}{L})$$

を仮定し、slow (Alfvén) mode の波が入射する場合(図1)と fast (isotropic) mode の波が入射する場合(図2)を調べた。図1,2には磁気圏からの入射波によって誘導される電離層電流  $J(y)$  と地上で観測される磁場  $B(y)$  (二水準の量は入射磁場によって規格化されている)の振幅と位相が示されている。詳しい議論は講演の際に行なうが、次の点は注目に値する。一般に、slow wave 入射の方が非一様性の効果は大きい ( $B_y$  を比較せよ)。この磁場成分は、今考えている入射波の場合、電離層が一様ならば現われない成分である)。また fast wave 入射の場合、 $y=L/4$  (△の変化が最も激しい場所)のあたりに  $J_x$  が集中し、この電流が地上の磁場  $B_y$  を作る。

さらに、非一様性の効果の種々のパラメータ(入射波の周期  $T$ 、波長  $\lambda$ 、電気伝導度のコントラスト  $\varepsilon$ )に対する依存性が調べられた。結果を列記すると次の通りである。

- 1) slow wave 入射の場合、 $T > 10s$  に対して効果は特に大きい ( $B_y$  は  $B_x$  に匹敵)。  
fast wave 入射の場合、効果が有効なのは  $T < 10s$  に限られる。
- 2) 入射の場合一に効果は重要になる。
- 3) 一般に  $\varepsilon$  が大きいほど効果は重要になる。特に slow wave 入射の場合、比較的小さな  $\varepsilon$  (例えば 2:1 のコントラスト)に対しても効果は有効である。

これらのことから、電離層の非一様性は高緯度脈動 (slow mode で磁気圏から入射すると考えられている)に重要な影響を与えることは明らかである。低緯度脈動 (例えれば  $Pc 3-4$ ) の場合、それらが fast mode で磁気圏からやって来るを考えるならば、一見非一様の効果は重要でないよう見える(図2及び上の結果1))。しかしながら、電気伝導度の不連続領域に電流の集中が起き、それによって新たな磁場成分が作られるこを考えると、日出時のような急速な変化を考えれば、fast wave 入射であっても十分に大きな効果が期待される[1]。

## 文献

[1] 糸長他. 第71回講演予稿集

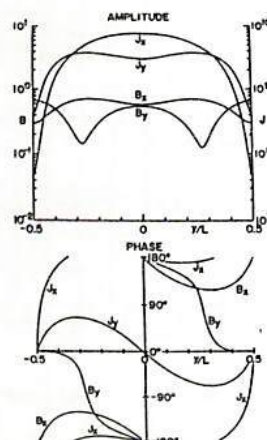


図1

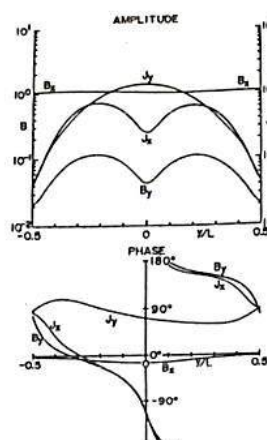


図2

## 地磁気脈動の位相度伝播(II)

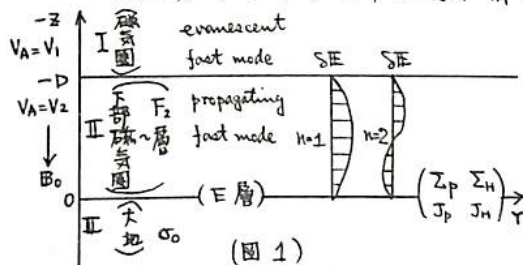
藤田 茂、玉尾 政

(地磁気観測所), (東大・理)

前回に引き続き、我々は地磁気脈動の位相度伝播について考えているが、今回は主に電離層ダクト中を進行する波動の伝播特性について報告する。

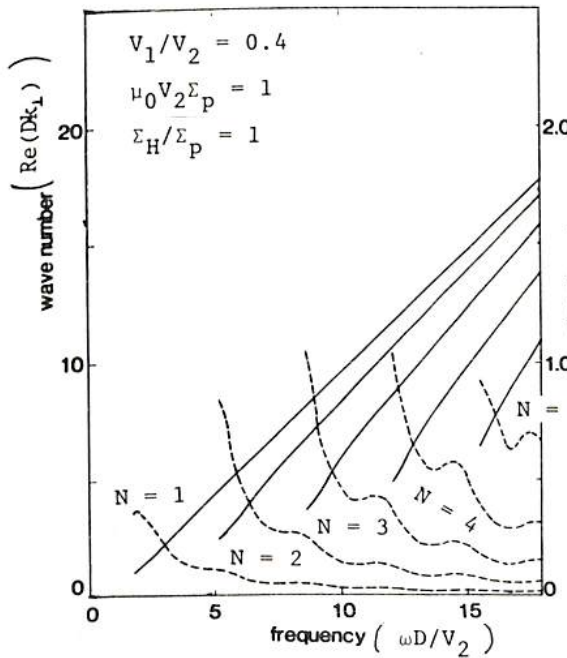
現在考えているモデルは、前回と同様に領域を3つに区分し(図1)、振幅が空間的に有限な広かりを持つ局所化アルベニ波が磁気圏から電離層へ入射し、誘起された磁気音波が領域Ⅱ中を位相度へダクト伝播するというものである。

ダクト波の位相度伝播の際に波動の減衰を引き起すものとして、①電離層中のオーム損失、②二次的に誘起されたアルベニ波の磁気圏への逃散、③地面による吸収、の3つ存在する。図2に地面によ



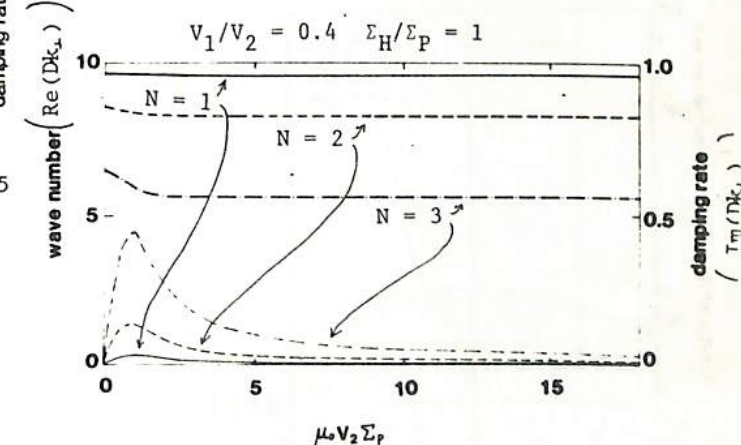
る波動の吸収を無視した時のダクト波の分散関係を示す。Nはharmonic numberを示し、図1に電離層と、領域ⅠとⅡの境界で電場が節になる時の電場分布をN=1と2の場合について示した。図2より、減衰率は波数の約10分の1以下であり、Nが小さくなる、減衰率も小さく遠方へ伝播する事がわかる。さらに図3には、波数と減衰率が電離層電気伝導度によるどう変化するかを示す。この場合も地面による波動の吸収は無視してある。図3で用いた固有数は $\omega = 10 \cdot (V_2/D)$ の場合であり、3つの高調波が存在する。図3から、波数は電離層電気伝導度の変化に対し、ほとんど一定であるのにに対し、減衰率は電気伝導度が増加するにつれて最大値を持ち、さらに伝導度が増加すると次第に小さくなる事がわかる。電気伝導度が大きくなる時に減衰率が小さくなる事は、電離層による2次反射が完全反射されるようになり、電離層によるオーム損失や、二次的に誘起されるアルベニ波が小さくなるためであると差えらる。

講演時には、脈動の電磁場や電離層電流の緯度変化等も加えて発表する予定である。



← (図2)

(図3)



## 磁気圏内におけるULF帯プラズマ不安定

小野高幸, 平沢威男  
(国立極地研究所)

I. 序

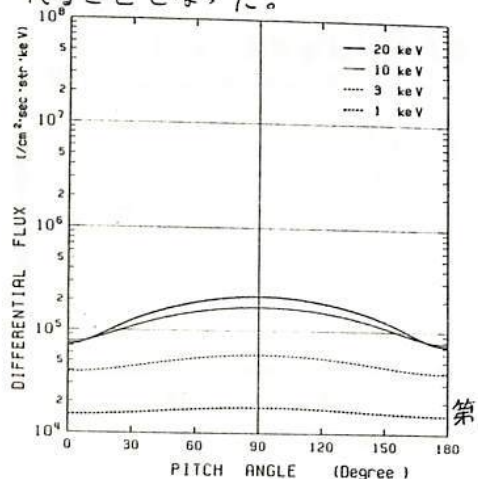
地上で観測されるPc1波動は、磁気圏プラズマ中においてイオンサイクロトロン波として励起されたものと考えられており、理論ならびに観測の両面からの研究が進められている。イオンサイクロトロン波不安定の研究はこれまで温度異方性をもつ高エネルギーイオンプラズマとして扱ったものが多い。しかしながら、近年イオンの組成、エネルギーならびにピッチ角分布について人工衛星を用いた精密な観測が行なわれてあり、地上あるいは人工衛星上で観測されるULF波動を詳しく解明するためには、これらの精密な観測データを基にしたイオンサイクロトロン不安定のより詳細な検討が必要とされている。特に観測される高エネルギーイオンの性質は、従来の数値計算のモデルで扱かれてきたものとの次の3点において大きく異なっている。すなわち、(1)イオンサイクロトロン波と直接相互作用する数10keVのイオンの他に数keVのイオンが多量に存在する。(2)プロトン以外にもヘリウム、酸素等の重いイオンが多量に存在する。及び(3)高エネルギーイオンのピッチ角分布は、Bi-Maxwell型ではなくLoss Cone型をしている。ここではこれらの性質に関し、イオンサイクロトロン波不安定への寄与を検討したい。

II. 速度分布函数の評価

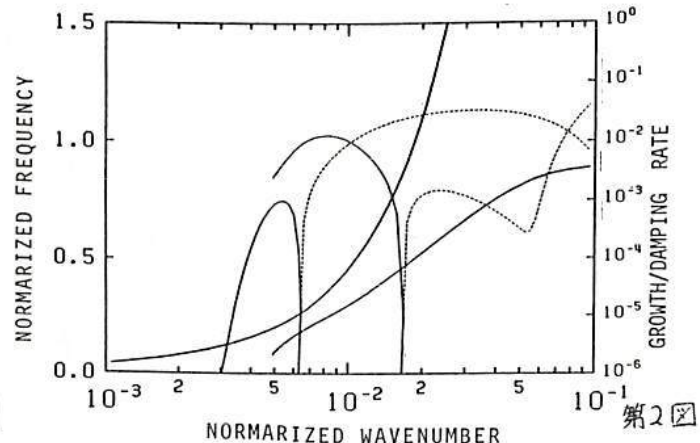
数値計算に使用するプラズマの速度分布函数のモデルは、衛星による高エネルギーイオンの観測量と直接比較できる様、フラックス量へと変換される。プラズマ波動の分散は、Stixの方法により求めるため、実際の分布函数はいくつかのBi-Maxwell型分布を持つコンポーネントに分解される。各コンポーネントに対して密度並びに磁力線に垂直及び平行方向の温度をうまく定めることにより、観測データと一致するプラズマパラメータについてイオンサイクロトロン波の分散が得られることとなる。この様にして得られたイオンのエネルギー・フラックスの例を第1図に示す。

III. ロスコーン型プラズマ分散の性質

第1図のプラズマパラメータに対応する、磁気圏プラズマ中ULF帯イオンサイクロトロン波の分散を第2図に示す。極く弱いLoss Cone型分布を呈するプラズマ中において、イオンサイクロトロン波の励起が示される。この様なLoss Cone型プラズマはBi-Maxwell型プラズマに対し、成長率の増大、不安定を起す中心周波数の上昇といった特性を持つことが明らかにされつつあり、磁気圏プラズマ中波動粒子相互作用の実体がより詳しく調べられることとなった。



第1図



第2図

長周期( $P_0 \sim 5$ )脈動における共鳴結合振動(II)

山本 隆, 玉尾 政 (東大理)

前回の講演のつづきとして、長周期( $P_0 \sim 5$ )共鳴結合振動(fundamental mode)の固有値問題の数値解法について報告する。問題1. アルファウェン波のMHD 波動方程式

$$\frac{\partial}{\partial s} \left( (r^2 B_0) \frac{\partial}{\partial s} \left( \frac{E_n}{r B_0} \right) \right) + r \left( \frac{\omega}{V_A} \right)^2 E_n \equiv L_n E_n = R_n(E_n, E_\phi)$$

$$\frac{\partial}{\partial s} \left( (r^2 B_0) \frac{\partial}{\partial s} (r E_\phi) \right) + (r^2 B_0)^2 \left( \frac{\omega}{V_A} \right)^2 r E_\phi \equiv L_\phi E_\phi = R_\phi(E_n, E_\phi)$$

を電離層での境界条件

$$\Sigma_0 E_n = \mu_0^{-1} B_\phi$$

$$\Sigma_0 E_\phi = -\mu_0^{-1} B_n$$

の下に解くことである。

ここで、 $(S, L, \psi)$  は  $L$  shell coordinate,  $n, \phi$  は磁力線と垂直方向, 方位角方向のベクトル成分,  $V_A$  はアルファウェン波の速度,  $B_0$  は地磁場,  $\omega, jE$  は波動の角周波数, 電場である。  $L_n, L_\phi$  はそれぞれ式の左辺で定義された Operator,  $R_n, R_\phi$  はつづいて前回予稿集 P.33 を参照されたい。 $\Sigma_p$  は height-integrated Pedersen conductivity。

数値解法の要点は磁力線方向に積分して固有周波数  $\omega(L)$  を求めること(0th, 2nd, 4th procedure),  $\omega(L)$  で表わされた Operator  $L$  を使って  $L$  方向に積分し、物理量の  $L$  方向分布を決めるうこと(1st, 3rd, 5th procedure), この二つの procedure で交互にくりかえし行なうことである。勾回りくりかえしの後,  $R_n \omega$ ,  $\gamma$  (減衰率) が共に,  $L$  によらない値に近づき, 二つ連続する積分-procedure によって得られる物理量が近似的に等しくなることが期待される。計算結果は, 0th, 2nd, 4th procedure における  $L$  方向分布を図1に, 1st, 3rd, 5th における電場成分  $E_\phi, E_\psi$  の振幅, 相位の  $L$  方向分布を図2に示した。収束性に関しては,  $E_\phi$  の固有値としての  $\omega$  が,  $L$ -dependence をわざわざがらもつこと(奇数番 procedure と偶数番で  $E_\phi$  の比が 1 からずれる)を除けば十分であろう。(Re  $\omega$  については,  $L$  によらない極限値を得た。) この問題についてでは, さらに考察を必要とするようである。

なお, 脈波では磁場, ポインティングフラックスの分布等についても報告する予定である。

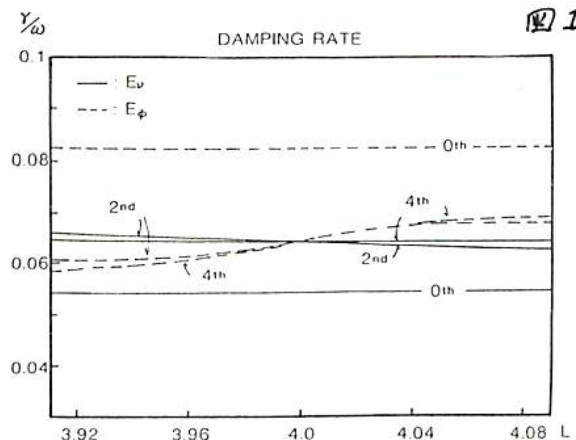


図1.

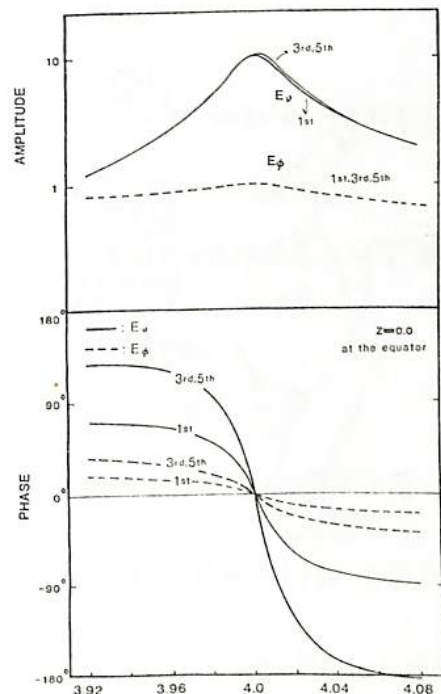


図2.

電磁流体振動に対する磁気圏内共鳴結合と電離層による結合  
玉尾 政，山本 隆（東大 理）

冷々非一様磁化プラズマとしての磁気圏内の局所化 Aefven 波と磁気音波との共鳴結合振動は地磁気脈動の起源を論ずる際の重要な考え方の一つである多くの研究者によつてその特性が論ぜられて来た。(例へば Tamao (1965) は此の結合振動による磁場変動の空間分布を示し、結合磁力線上の振幅極大を示す。位相が内外で  $180^\circ$  変化を示した)。一方、電離層ホール電流による結合共鳴圏内の共鳴結合の化に重要な因子とも良く知られる。特に地上磁場擾乱を解説する際に重要なことを述べた。此の報告では、双極型磁場の下での局所化結合振動を上記二つの効果と同時に導入した場合を考察する。此の目的の為には、結合振動の方程式と電場の二成分 ( $E_n, E_s$ ) を書くよりは、次のスカラー関数を導入する方が便利である。

$$\delta E_\perp = -\nabla_\perp \Phi + i\omega \nabla_\perp B \times \hat{e}$$

$$\delta B = (i\omega)^2 \nabla_\perp \Phi / \delta s \times \hat{e} + \text{not } (\nabla_\perp B \times \hat{e})$$

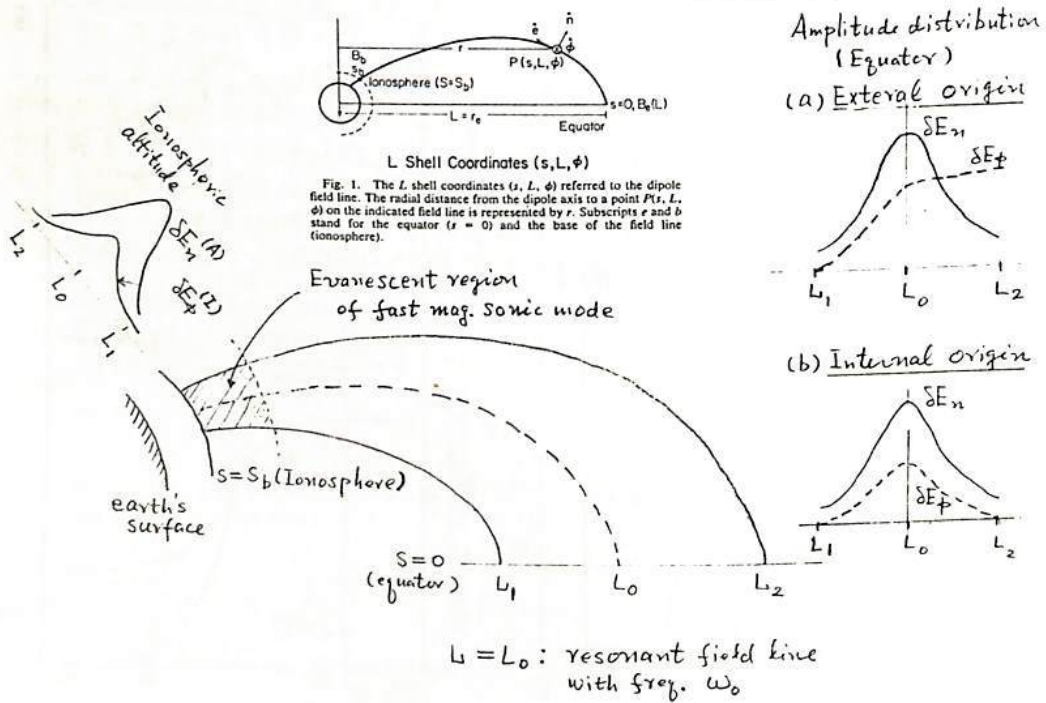
左側: Aefven  
右側: 磁気音波  
 $\hat{e}$ : 磁力線方向の単位ベクトル

(a) magnetospheric coupling:

結合共鳴領域は Aefven 振動の電場ボテンシャル中の結合共鳴型微分方程式を示す。その結果、電場成分の L 分布は (i) 外部起源、と (ii) 内部起源が著しく異なる。(左図参照)

(b) Ionospheric Coupling

局所化 Aefven 波による電場 ( $E_\perp$ ) は電離層中のホール電流を通して磁気音波を励起する。結合振動では、高さに沿って減衰型であり、電離層上部に存在する E<sub>s</sub> による電離層附近的電場の E<sub>n</sub> 成分と直接連絡し、磁気圏の励起が外部型である。内部型の励起電離層附近的電場の南北方向の分布は同じ傾向を示す。(下図参照)



## 磁気圏内MHD不安定のエネルギー一則

## 王 俊 敏 (東大 理)

地球磁気圏内のULF周波数帯の波動駆起構造を調べるには、個々の波動モードの分散関係と固有値問題として解りて、その周波数特性、成長率等を決定する事が重要となる。しかし、一般には、ULF波の如き長波長の振動の固有値問題は、必然的にその境界条件として、磁気圏—太陽風相互作用、磁気圏—電離層相互作用等に対するエネルギーの流れの問題と結びついて来る。更に、磁場内に捕捉される高エネルギー粒子の反応性による局所的双極磁場からの差異も重要な要素となる。

今回は、巨視的平均電場が存在する場合、非一様、有限プラスマで地球磁気圏内のULF波とMHD-不安定としてエネルギー一則から一般的論議を展開する。その際、流体近似で記述される局所的関係の他に、粒子フドリフト、ペウニス運動の和を、他の領域を通過する際、粒子が通過する際の影響の効果を考慮しておこう。個々の粒子の磁気能率の保存に対する変動に対しては、素巨視的運動エネルギーと内部エネルギーの和、 $D_j = m_j (U_{\parallel j}^2 + V_E^2)/2 + P_{\perp j} + P_{\parallel j}/2$  の保存関係は次式で表される。

$$\frac{dD_j}{dt} = \eta_j n_j \vec{E} \cdot \vec{U}_j - \text{div}(P_{\parallel j} \vec{U}_{\parallel j} \hat{\vec{e}} + P_{\perp j} \vec{V}_E) \\ - \text{div}[(U_{\parallel j} \hat{\vec{e}} + V_E) D_j] - \text{div}[\hat{\vec{e}} (S_{\perp j} + S_{\parallel j})/2]$$

右辺の最後の項は磁力線沿いの鉛直導管によるエネルギー収支である。上式を出发点として、波のエネルギーの時間変化に対する保存式を導くことを目표とする。その結果、MHD-不安定の要因として以下の項目に分類されることが出来る。

(1)  $\vec{j}_{\parallel}^0$  : 沿磁力線電流、 ピンチ、 キック不安定

(2)  $\vec{E}_0 \neq 0$  : (a)  $\text{div} \vec{V}_E \neq 0$ ; 壓縮性対流; (波のエネルギーの局所化集中)

(b)  $\text{rot} \vec{V}_E \neq 0$ ; 座度ミラー。KH-不安定

(c) 電離層中の負のオーム損失: 磁気圏内の局所化モードの電離層との結合不安定

(3)  $P_{\parallel j} - P_{\perp j} \neq 0$ : (a)  $P_{\parallel j} > P_{\perp j}$ : firehose 不安定

(b)  $P_{\perp j} > P_{\parallel j}$ : mirror 不安定

(4)  $\nabla_{\perp} P^0 \neq 0$ : プラスマ電力の非一様分布: 特に磁力線が曲率を有する場合の局所化ドリフト波不安定。

一例として、高エネルギー捕獲イオンの反磁性イオンドリフト波の伝播について、その分散関係、成長率等を求める。

$$\gamma \approx \frac{k_n}{\beta} \cdot \frac{\hat{n} \cdot (\hat{\vec{e}} \cdot \nabla \hat{\vec{e}})}{(k_{\parallel}^2 + k_{\perp}^2) V_A^2} w_{di}, \quad w_{di} \text{ はイオンの平均ドリフト周波数。}$$

## 第 II 会 場

( II - 1 ~ II - 64 )

Winds measured by a UHF Doppler radar and rawinsondes:  
Comparisons made on twenty-six days (August-September 1977)  
at Arecibo, Puerto Rico<sup>1</sup>

Shoichiro FUKAO, Toru SATO, Norikazu YAMASAKI<sup>2</sup>

Department of Electrical Engineering, Kyoto University, Kyoto 606  
and  
Susumu KATO  
Radio Atmospheric Science Center, Kyoto University, Uji 611

The upper tropospheric and the lower stratospheric winds measured by the UHF Doppler radar at Arecibo, Puerto Rico, on 26 days in August and September 1977 are compared with those deduced by the routine rawinsondes at San Juan, some 80 km east of Arecibo.

A fairly good agreement is obtained between the two overall wind profiles. The standard deviation between the two measurements is  $4.9 \text{ m s}^{-1}$  in the upper troposphere, and  $3.3 \text{ m s}^{-1}$  in the lower stratosphere. It is shown that most of the difference in the lower stratosphere can be explained by experimental errors, especially those of the rawinsonde. The spatial and/or temporal variations in the wind field seem to dominate the difference in the upper troposphere. These comparisons augment the growing evidence that UHF and VHF Doppler radar measurements of winds provide greater frequency and accuracy than the use of conventional rawinsondes.

---

<sup>1</sup> To appear in *Journal of Applied Meteorology*

<sup>2</sup> Now at Ibaraki Satellite Communication Center, Kokusai Denshin Denwa Co. Ltd., Takahagi, Ibaraki 318.

アレシボレーダーによる  
成層圏大気波動の観測

前川 純之<sup>(1)</sup>・深尾 昌一郎<sup>(1)</sup>・佐藤 実<sup>(2)</sup>・加藤 道<sup>(2)</sup>・R. F. Woodman<sup>(3)</sup>  
(1)京大工・(2)京大超高層・(3)アレシボ観測所

1977年と1979年に、京都大学とアレシボ観測所のグループにより、アレシボレーダー( $18.3^{\circ}\text{N}$ ,  $66.75^{\circ}\text{W}$ ; 送信周波数  $430\text{ MHz}$ ; 天頂送信電力  $\sim 2\text{ MW}$ )を用いた下部成層圏及び上部対流圏(高度  $5 \sim 25\text{ km}$ )の大気波動の観測が数回行われた。特に、周期が1日及び半日の大気潮汐波については、1～2日間の連続観測から得た東西風及び南北風のデータを最小二乗近似法により解析し、次の様な結果を得ている。

即ち、1日及び半日周期成分と、位相が下向きに伝搬し、平均の鉛直波長は  $5\text{ km}$  以下と大変短く、振幅は  $1 \sim 5\text{ ms}^{-1}$  程度と大きい。これらの値は、古典大気潮汐理論から導かれるモードとは著しく異なっている。従って、観測された潮汐波には、基本モードよりも励起源が不均一(地面の陸海の分布などが原因)な点に生じる高次のモードが卓越するものと考えられた。

ところが、今回、1981年3月に行なわれた約40時間にわたる連続観測のデータを、風速の鉛直構造に着目して解析した結果、潮汐波の他に、鉛直波長の非常に短い波動が存在することが明らかになった。図1は、約2時間毎に得られた東西風の推定値から、各高度の時間平均値を引き去り、さらに高度方向にフィルターをかけ、鉛直波長が  $5\text{ km}$  以下の成分を抽出した結果である。ただし、陰影を施した部分の風向は東向きで、等速度線間隔は  $1\text{ ms}^{-1}$  である。同図から、高度  $15 \sim 20\text{ km}$  の対流圏界面附近に、周期36～48時間、鉛直波長  $2\text{ km}$  程度の波動がはつきり認められる。この波動は、潮汐波よりも周期が長いことから、慣性重力波或いは混合ロスビー重力波などの赤道アラネタリー波の一種と予想される。

講演では、これら赤道アラネタリー波の特性について、詳しく論じる。また、過去の観測例との比較を行ない、従来報告されている鉛直波長の非常に短い潮汐波についても、改めて検討を加える予定である。

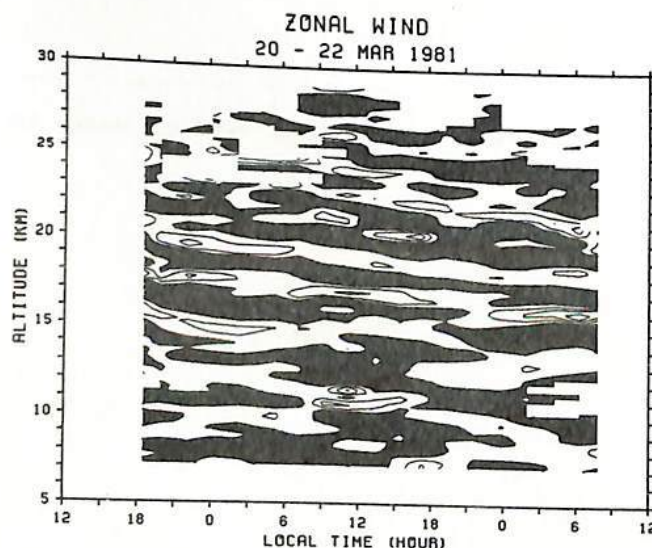


図1. 1981年3月に観測された東西風に見られる、鉛直波長が  $5\text{ km}$  以下の大気波動。陰影を施した部分の風向は東向きで、等速度線間隔は  $1\text{ ms}^{-1}$ 。

## Long Period Wind Oscillation in the Meteor Region

II - 3

Rei Ito, Toshitaka Tsuda, Takehiko Aso, and Susumu Kato

Radio Atmospheric Science Center, Kyoto University

Long period wind oscillations in the upper atmosphere have attracted our attentions for these years. One of the most remarkable phenomena is a two-day wave, on which we have reported more than once at the meeting. There also exist other long period waves in the meteor zone which play important roles in the upper atmosphere dynamics. Some of them are identified to be planetary waves with periods of several days, and others are due to annual or semi-annual general circulation.

To analyze these long period oscillations, a long-term observation is required whose period is longer than those of the waves we consider. At Kyoto Meteor Radar, routines (2 - 4 days of observations) and long runs (10 days - 2 weeks) including CTOP campaigns have been carried out. Table 1 lists the dates of these observations which enable the analyses of the waves with period of ~10 days. Groves' algorithm which is useful for tidal analyses can as well be applied to investigate these oscillations.

Also we can see annual scale oscillations in the monthly mean wind field as illustrated in Fig.1 (Aso and Vincent, 1980). In the figure a semi-annual and annual oscillations can be recognized in the meridional and zonal wind, respectively.

### REFERENCE

Aso T. and R. A. Vincent 1980 J.atmos.terr.Phys.44,267

| Year | Date            | Note |
|------|-----------------|------|
| 1978 | Jul 20 - Aug 7  | CTOP |
| 1979 | Mar 13 - Mar 29 | CTOP |
|      | Jul 30 - Aug 15 |      |
| 1980 | Jan 9 - Jan 19  | CTOP |
|      | Mar 13 - Mar 26 | CTOP |
|      | Jun 5 - Jun 17  | CTOP |
|      | Jul 21 - Jul 28 |      |
|      | Sep 3 - Sep 11  | CTOP |
| 1981 | Mar 14 - Mar 29 |      |
|      | Jul 29 - Aug 5  |      |
|      | Aug 24 - Sep 4  |      |
|      | Nov 18 - Nov 23 |      |
| 1982 | Mar 3 - Mar 18  |      |
|      | May 3 - May 9   |      |

Table 1 Dates of long-term observations.

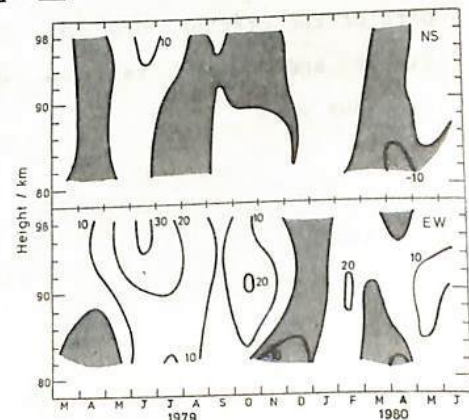


Fig.1 Time-height cross sections of the monthly averaged wind at Kyoto. The shaded areas indicate regions of westward and southward winds (Aso and Vincent, 1980).

中層・超高層大気に於ける潮汐波・プラネタリー波  
の数値モデリング（3）

麻生武彦・加藤進  
(京大超高層電波研究センター)

In our previous paper (Aso et al., J. Geophys. Res., 86(A-13), 11388-11400, 1981), linear modeling of semidiurnal atmospheric tide has been carried out based on the algorithm given by Lindzen and Hong (1974) and Lindzen and Kuo (1969). The results show the sensitivity of tidal structure at meteor heights to some changes in thermal forcing and background zonal wind associated with latitudinal temperature gradient. In this, the latter quantities are relatively small, namely,  $\epsilon \sim V/\omega a \sin\theta$  and also  $T''/A_0(z)$  are of the order of  $10^{-1}$  ( $T''$ : the latitudinally varying part of the temperature relative to equatorial profile  $A_0(z)$ ,  $V$ : background wind,  $\theta$ : colatitude,  $\omega$ : earth rotation rate,  $a$ : earth radius), and terms of the order of  $\epsilon^2$  or higher have been neglected. These are certainly valid and efficient assumptions for tidal regime in manipulating primitive equations.

In the present work, further complication is to be taken into account by retaining all the terms relevant to  $V$  and  $T''$  in deriving a single second order partial differential equation for the geopotential perturbation  $\Phi/\rho_0$  from a set of primitive equations. This inevitably introduces by far more terms. Again, the new REDUCE-2 compiler version software developed by Dr. Y. Kanada has been used to treat the equation system, followed by subsequent revision of part of the original program. This work is expected to contribute to model linear and steady response of atmospheric waves of wider scope in a more rigorous way.

## アレシボレーダーによるD領域物理量の観測 (Ⅲ) 太陽フレアに伴う変化

福山 薫<sup>1)</sup>, 廣田 勇<sup>1)</sup>, 深尾 昌一郎<sup>2)</sup>, 前川 泰之<sup>2)</sup>, 加藤 進<sup>3)</sup>

1) 京大理

2) 京大工

3) 京大超高層電波

アレシボISレーダーによる下部電離圏(60-100 km)観測データを用いて、中層大気上部領域の物理構造・力学現象、それらの変動と相互関連の観察から解析を進めてきた。今回は、1980年8月の観測期間中に発生した太陽フレア前後のD領域諸物理量の変化について報告する。

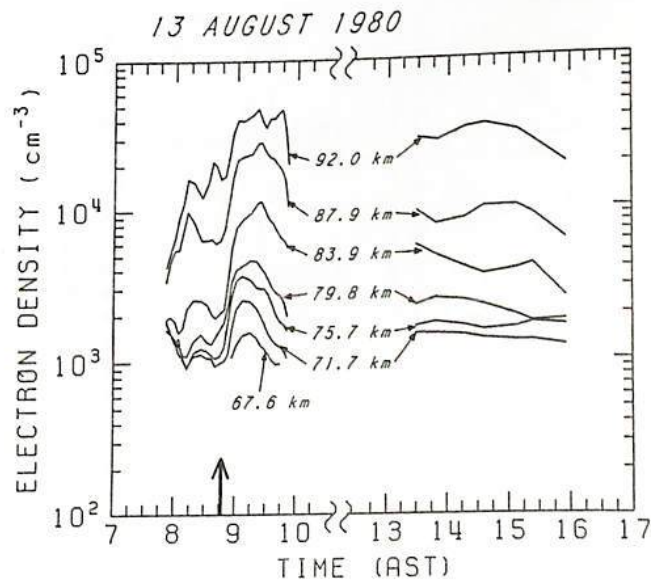
この太陽フレア時の Solar-geophysical data の一部を表1に示す。このフレアは、Hα・X線強度に肉しこは中程度のものである。しかし太陽電波バーストは最大級であり、その継続時間も長かった。また、このフレアに伴うSIDも顕著である。

表1図は、この日のアレシボISレーダー観測で得られたD領域電子密度の時間変化である。フレア発生後10~30分以内に、各高度における電子密度は5~10倍程度増加した。残念ながら、フレア発生後1~4時間の観測データはないが、この日の午後には電子密度はほぼ静態な状態に戻ったようである。しかし、ISスペクトルから同時推定した中性大気密度の解析結果によれば、フレア発生後から翌14日まで平均値より50%以上の密度増加が継続して認められた。また、風系についても13・14日の両日に、80km以上で風速が極端に小さくなるなどの異常が見い出された。このような変化は恐らくグローバルに生じていると考えられるので、エネルギー収支・運動量輸送などと関連させて解析を進めれば、中間圏・下部熱圏の大気構造に関する興味深い結果が得られるであろう。

表 1 表

|                                    |                   |         |
|------------------------------------|-------------------|---------|
| Date                               | 13 August 1980    |         |
| # Optical Importance               | 2B                |         |
| # X-ray Classification             | M3.9              |         |
| # Time of Start                    | 1246 UT (846 AST) |         |
| # Time of Peak                     | 1307 UT (907 AST) |         |
| # Duration                         | 70 min            |         |
| # 2800 MHz Flux Events             |                   |         |
| type                               | 47GB              | 30PBI   |
| time of start                      | 1248 UT           | 1311 UT |
| time of peak                       | 1256 UT           | 1311 UT |
| duration                           | 24 min            | 360 min |
| peak flux                          | 1100.0            | 32.0    |
| mean flux                          | 303.0             | 8.1     |
| # Sudden Ionospheric Disturbance   |                   |         |
| importance                         | 3                 |         |
| time of start                      | 1250 UT           |         |
| time of peak                       | 1312 UT           |         |
| duration                           | 90 min            |         |
| # Daily Indices for 13 August 1980 |                   |         |
| adjusted 2800 MHz flux             | 193.3             |         |
| sunspot number ( $R_z$ )           | 172               |         |
| sum $K_p$                          | 12                |         |
| $A_p$                              | 6                 |         |

表 1 図



Atmosphere

S. Kato and T. Tsuda

Radio Atmospheric Science Center, Kyoto University

Gravity waves (G.W.) are now considered to play an important role in the general circulation of the middle atmosphere. MST radars are powerful in the observation of G.W.'s, elucidating their various interesting behaviors. It has been found that the wind profile with height has sometimes such a small Richardson number as to initiate KHI, the critical situation which may result from a critical level interaction of G.W.'s with the local wind; at critical levels the wind is accelerated, steepening the vertical gradient, decreasing Richardson number beyond 1/4. The process would be essential for producing turbulence in the middle atmosphere. The present approach, however, is linear, attempting to find possible initiation of the process, estimating the linear growth rate and frequency. We follow fairly closely Klostermeyer's approach in 1980 (J.G.R., 85, 2829).

*Coupling coefficients between gravity waves  
and dissipative waves (2)*

中山泰雄・前田佐和子

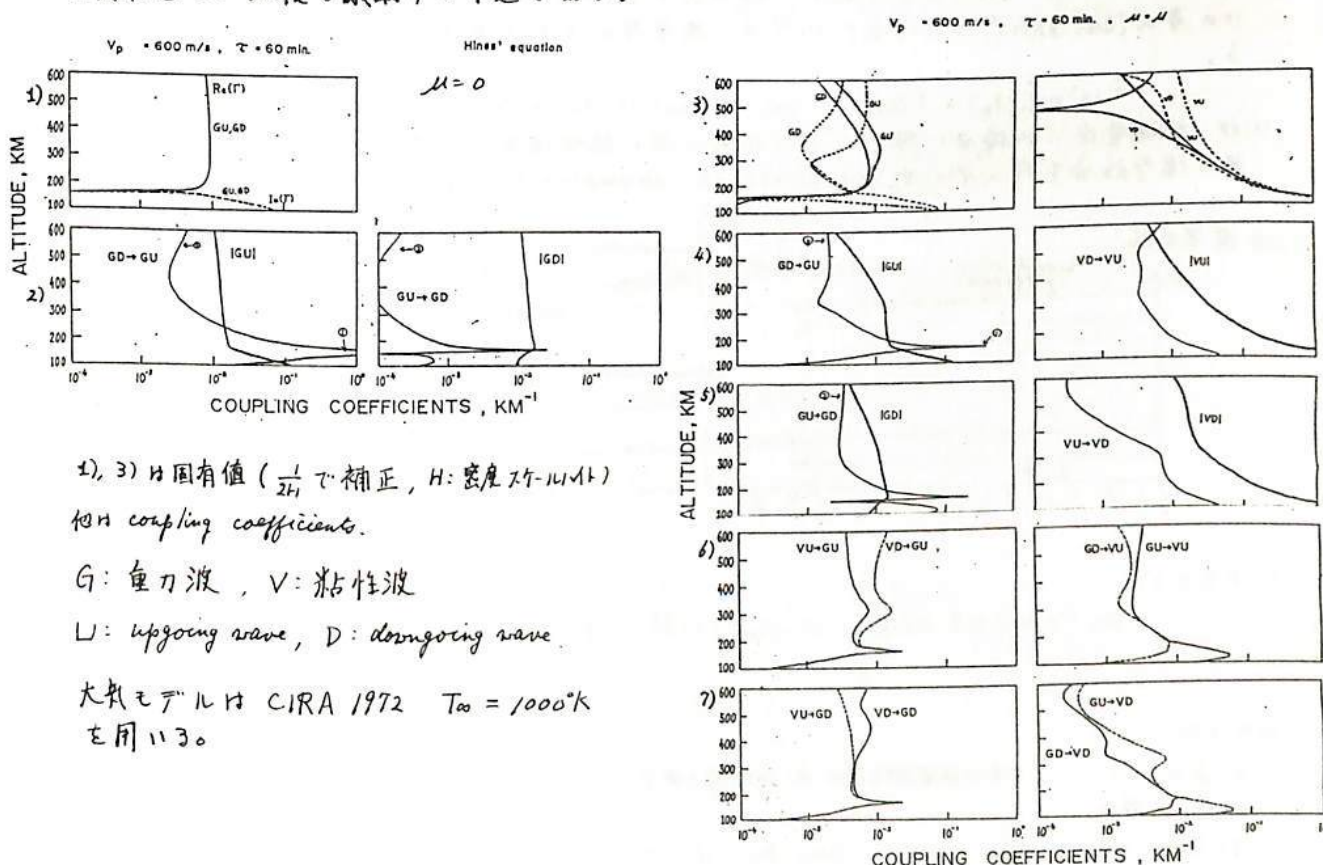
京大理 京産大・計算機科学研究所

熱圏高度の非一様大気中を伝播する大規模大気重力波を取り扱う際には、dissipative waves(粘性波)を考慮した場合、各 mode 間の mode-coupling が無視できなくなつた。前回の学会講演で dissipative wave として粘性波をとりあげ、重力波(upgoing, downgoing)と粘性波(upgoing, downgoing)の mode-coupling の大きさを、固有値との比較で定量的評価した。下図に示すように、結果は次の様になつた。

① critical coupling — 热圏下部の急激な温度増加により、下向きに伝播する重力波を上方へ反射する (downgoing gravity wave & upgoing gravity wave non coupling)。

② 粘性による部分反射 — WKB 近似の適用限界を越えた。 $\mu = 0$  (非粘性) から  $\mu = \mu_0$  に増加するにつれて、重力波 mode 間 (upgoing gravity wave  $\leftrightarrow$  downgoing gravity wave) の mode-coupling が増大し、热圏上部では coupling の効果が固有値に比較して無視できなくなる。

热圏上部では、粘性と同時に熱伝導もエネルギー散逸効果として重要な要素を占める。そこで今回、dissipative wave として粘性波と熱伝導波を同時に考慮した場合の、重力波(up-, down-), 粘性波(up-, down-), 热伝導波(up-, down-) の 6 個の mode-coupling を固有値との比較で議論する予定である。



## Numerical Calculation of Gravity-Wave Equation

With A Full Wave Method (1)

前田佐和子

・中山泰雄

京産大、計算機科学研究所 京大理

前回の学会講演<sup>(1),(2)</sup>に於て、大規模な大気重力波の伝播に際しては熱圈上層部（高度数百km以高）で、重力波の上向きと下向き伝播波の間の coupling が無視できない程度のもので、従って ray theory や WKB 法の適用が必ずしも正当化されない事、熱圈の 250 ～ 600 km 領域が大規模重力波に対して導波管構造を示すことを報告した。

上記の結果の妥当性について定量的に評価するため、今回は Full Wave 法による数値解を求めた。散逸機構として粘性のみを考慮し、4 次の変数係数型微分方程式の数値解を求めた。方程式系は (2) で示してある。使用した Full Wave 法は、電離層の電磁波伝播の計算に対して開発された Inoue and Honowitz (1966)<sup>(3)</sup> による方法と同じである。計算方法の主な特徴を以下に挙げる。

(1) 連立 1 階微分方程式

$$\frac{d\vec{\xi}}{dz} = i\tilde{T}(z)\cdot\vec{\xi}, \quad \vec{\xi} = \begin{pmatrix} u \\ w \\ \psi \end{pmatrix}$$

$$\psi = dy/dz$$

$$\phi = dw/dz$$

u: horizontal velocity

w: vertical velocity

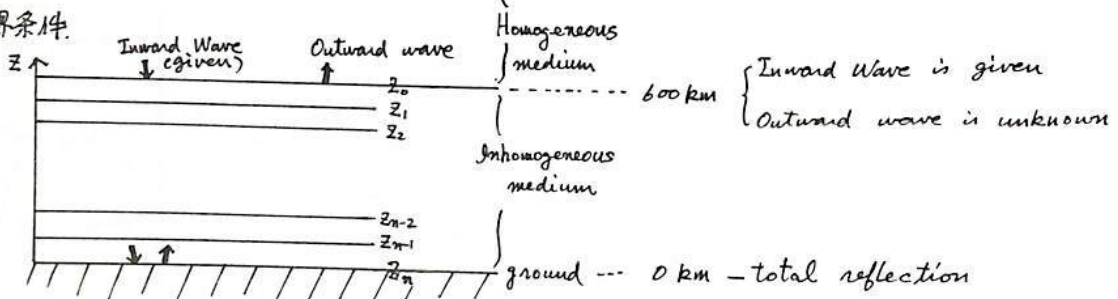
4 次元伝播行列  $\tilde{T}$  の行列要素中に T (温度), H (スタイルハイト),  $\zeta$  (動粘性係数),  $\theta$  (密度) の高度微分を含む。

(2) 高度変化する非一様大気を多數の一様な水平層 ( $z_0, z_1, \dots, z_n$ ) に分割する。さらに、1 つの層内 ( $z_k, z_{k+1}$ ) における行列  $\tilde{T}$  は、高度変化すると考え、3 の 3 次関数で近似する。

$$\tilde{T}(z) = \tilde{T}_0(z_k) + \tilde{T}_1(z_k) \cdot (z - z_k) + \tilde{T}_2(z_k) \cdot (z - z_k)^2 + \tilde{T}_3(z_k) \cdot (z - z_k)^3 \quad \text{at } (z_k < z \leq z_{k+1})$$

(3) 非一様媒質中の積分に際して 4 つの解の間の線型独立性を保持するため、各層毎に解の線型結合を行っていわゆる numerical swamping を行う。<sup>(3)</sup>

(4) 境界条件



(5) 大気モデル

0 ~ 90 km (US standard atmosphere 1976), 90 ~ 600 km (CIRA 1972,  $T_0 = 1000^{\circ}\text{K}$ )

## 参考文献

- (1) 前田・中山 日本地球電磁気学会 71 回講演予稿集
- (2) 中山・前田
- (3) Inoue and Honowitz 1966 Radio Sci. 1 957.

## PROPAGATION OF GRAVITY WAVES LAUNCHED BY AURORAL CURRENTS

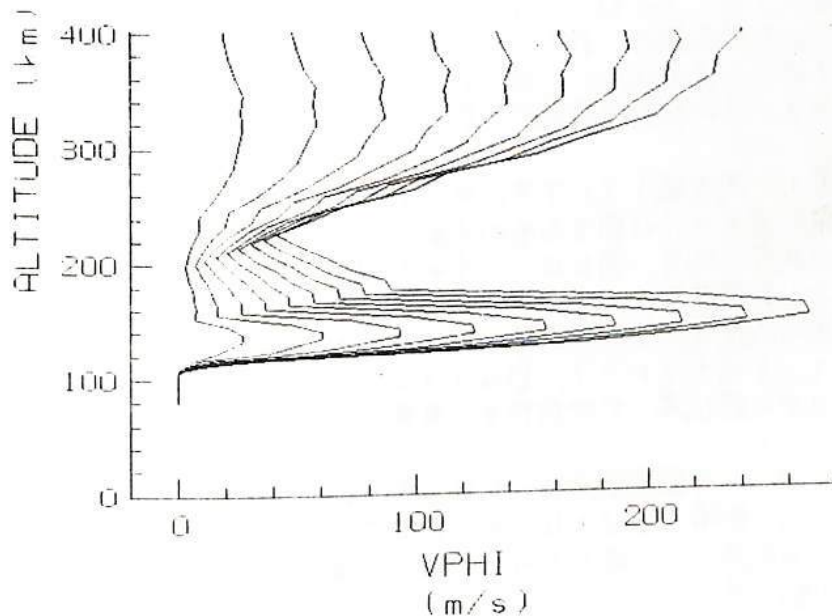
T. Tsuda, H. Tahara and S. Kato

Radio Atmospheric Science Center, Kyoto University

Many authors have been examined various sources of the internal gravity waves in the middle atmosphere. Some of them below the meteor region are mean-wind shear instabilities and meteorological disturbances in the troposphere (typhoon or thunderstorm). Others above are the Joule heating and the Lorentz force in the auroral region. Meteor radar observations at Kyoto have detected the gravity waves with relatively long periods (>2 hrs) whose amplitude was enhanced in November. It seems that gravity waves observed by the Kyoto meteor radar propagated from the auroral region, according to the comparison study of their properties with those for the LS-TID observed in the ionospheric F-region. Richmond and Matsushita (1975) calculated the generation mechanism and propagation properties of gravity waves in the auroral region. It is interesting that time variation of their wind profile is analogous to our observational results, although they considered the waves in the ionospheric F-region. Because they assumed the lower boundary such that all waves vanish at 80km in altitude, so their results are not well applicable to our observations at meteor heights (80-105 km). We tried to follow the simulation done by Richmond and Matsushita, and modified it suitable to our observations. Comparison of the simulation with observations will be done by use of meteor radar data. Figure 1 shows a height profiles of the perturbed eastward wind velocity at 70 N in latitude.

Richmond, A. D. and S. Matsushita, Thermospheric Response to a Magnetic Substorm, J. Geophys. Res., 80, 2839, 1975.

Fig.1 Variation of height profiles of the eastward wind velocity at 70 N in latitude. Each line is plotted every 2.5 minutes after the enhancement of the auroral current.



# 大気重力波のF層応答における プラズマ拡散の効果

柴田 喬, 奥沢隆志  
(電通大)

大気重力波のF層応答を評価する場合、プラズマ拡散の効果を無視できないことは、Testud and Francois<sup>(1)</sup>, Clark et al.<sup>(2)</sup>およびDavis<sup>(3)</sup>等によってすでに指摘されている。しかし彼らの計算では、いずれも、大気重力波の波動パラメータを独立既知の解として与えて入力とし、拡散項を含んだ電離大気の連続式を解いて電子密度変動を評価するものであり、中性大気と電離大気間にフィードバックの効く統一系として処理されているわけではない。

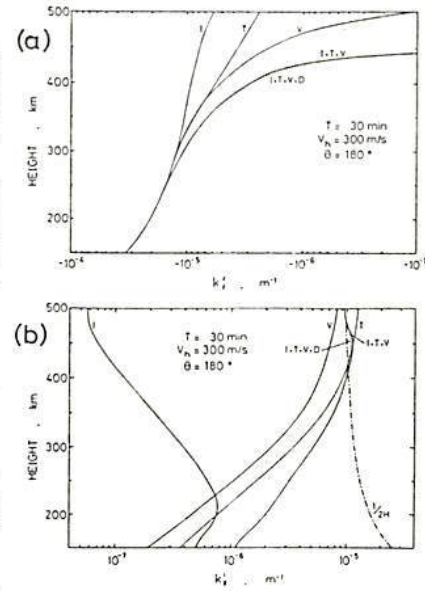
筆者らは、大気波動を記述する式とイオンの連続式に、共にプラズマ拡散(両極性拡散)項を付加し、それらの連立解を求めるこことによって、自己無撞着的に、大気重力波のF層応答におけるプラズマ拡散の効果を検討した。

紙面の都合上、基礎方程式および解析手法の詳細は省略する。基礎方程式は、線形化操作を経た後、20個の擾動パラメータ(大気密度、温度、速度、等々)に関する連立微分方程式に変形される。各擾動パラメータが水平方向に調和型であると仮定すれば、高さ方向の微分のみが残り、平面成層の熱圏を想定すれば、固有値問題に帰着でき、10組の固有値と固有ベクトルがその特解として求められる。10組の特解は、5種類の波動モード(音波-重力波、熱伝導波、正常および異常粘性波、そして、プラズマ拡散効果によるいわば拡散波)の、それぞれ上方、下方伝搬波に対応している。得られた固有値は、各モードの高さ方向の複素波数に密接しており、固有ベクトルは、各モードに対する20個の擾動パラメータの相対複素振幅を表すベクトルである。

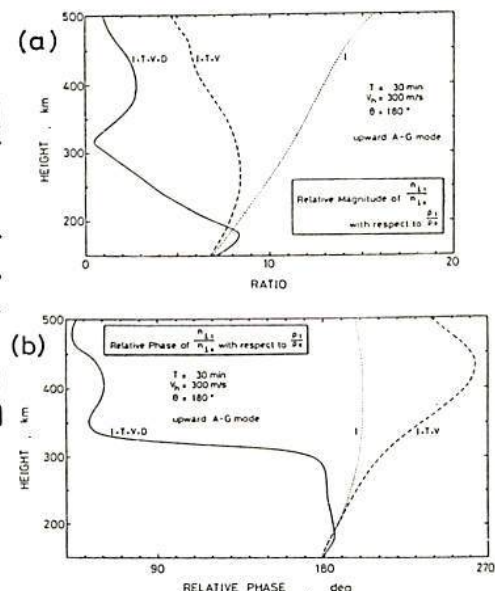
数値解析結果の一例を図1,2に示す。共に上方に伝搬する音波-重力波モードに関するものであり、図1は複素波数 $k_z$ の高度変化を、図2は、いずれも相対擾動量としてイオン数密度 $n_{i+}/n_{i0}$ および大気密度 $\rho/\rho_0$ の振幅比と相対位相の高度変化を、それを比較している。図中、効果として、Iはエアドラグ、Dはプラズマ拡散、T、▽はそれぞれ熱伝導、大気粘性を考慮に入れた場合を示している。

結論として、プラズマ拡散効果は、中性大気波動の波数 $k_z$ にはほとんど影響を及ぼさないが、大気波動に対する電離大気の応答といふ観点からは、特にF層上部で、大きな役割を果していると言える。

- (1) Testud and Francois ; J. Atmosph. Terr. Phys. 33, 765, (1971)
- (2) Clark et al. ; J. Atmosph. Terr. Phys. 33, 1567, (1971)
- (3) Davis ; J. Atmosph. Terr. Phys. 35, 929, (1973)



<図1>



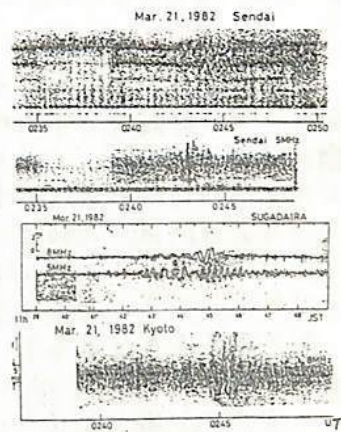
<図2>

# 浦河沖地震に伴う電離層による乱のHFD観測

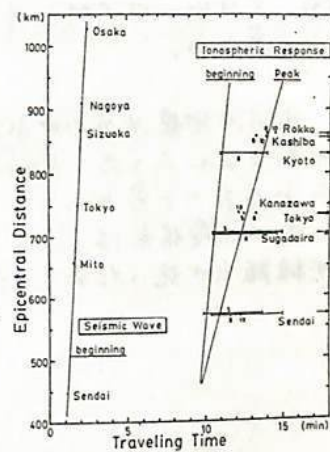
HFD観測網グループ  
—文責：一、類珠美（同大工）、奥沢隆志（電通大）

浦河沖地震（'82年3月21日 11時32分 JST:  $42^{\circ}04'N$ ,  $142^{\circ}36'E$ , 深度約40 km; M=7.1）に起因すると考えられる電離層による乱が、我が国のHFD観測網で検出された。震央距離が数千 kmに及ぶ場合のHFD観測の例は、これまで米国から報告されており、数百 kmのオーダー（いわば近傍界）で、しかも同時多点観測を出したのは、今回が初めてである。

図1に代表的な3点ごとの記録例、表1に他の局も含めた実測データをまとめて示す。図1に見られるように、変動の卓越周期は数十秒であることから、Acoustic modeの大気波動が考えられる。図2には、地震（上下振動成分）の各地での初発時刻、電離層による乱の初発時刻並びに最大振幅時刻に関する、最小二乗法による走時曲線（それらの勾配は、 $7.7 \text{ km/s}$ を描いてある）。これらからのデータから、地震による Rayleigh wave の地表面伝播の過程で大気 Acoustic wave が励起され、これが大気の Filtering 効果を伴って電離層へ伝わるというシナリオを考えるのが筋道であろう。また、近距離現象であるため、震央近くの大気 Acoustic wave の直接励起も考えられる。電波の反射点下付近の Seismograms と HFD 記録とを詳しく対応させ、大気 Acoustic wave の励振と伝播に関する機構について調べていきたい。



&lt;図1&gt;



&lt;表1&gt;

&lt;図2&gt;

| (a)<br>Station | (b)<br>Coordinates<br>of (a)          | (c)<br>Distance (km)<br>from Nazaki | (d)<br>Coordinates of<br>Reflection Pt.<br>of JJY-Signals | (e)<br>Epicentral<br>Distance (km)<br>of (d) | Beginning           | Time (min) of<br>Maximum<br>Amplitude | Ending               | (f)<br>Remarks   |
|----------------|---------------------------------------|-------------------------------------|-----------------------------------------------------------|----------------------------------------------|---------------------|---------------------------------------|----------------------|------------------|
| Sendai         | $38.27^{\circ}N$<br>$140.87^{\circ}E$ | 248.5                               | $37.22^{\circ}N$<br>$140.36^{\circ}E$                     | 571.6                                        | 9.9<br>10.4<br>10.4 | 11.0<br>11.6<br>11.2                  | 13.8<br>15.1<br>15.1 | 5 MHz<br>8<br>10 |
| Kanazawa       | $36.55^{\circ}N$<br>$136.68^{\circ}E$ | 286.7                               | $36.35^{\circ}N$<br>$138.27^{\circ}E$                     | 736.6                                        |                     | 12.4                                  |                      | 10               |
| Sugadaira      | $36.52^{\circ}N$<br>$138.32^{\circ}E$ | 142.2                               | $36.35^{\circ}N$<br>$139.09^{\circ}E$                     | 704.3                                        | 10.5<br>10.5        | 11.8<br>13.0                          | 15.0<br>14.7         | 5<br>8           |
| Tokyo          | $35.51^{\circ}N$<br>$139.52^{\circ}E$ | 80.6                                | $35.85^{\circ}N$<br>$139.69^{\circ}E$                     | 736.0                                        |                     | 12.5<br>13.3                          |                      | 5<br>8           |
| Kyoto          | $35.03^{\circ}N$<br>$135.76^{\circ}E$ | 390.8                               | $35.51^{\circ}N$<br>$137.81^{\circ}E$                     | 830.8                                        | 11.0                | 13.2                                  | 14.0                 | 8                |
| Rokko          | $34.67^{\circ}N$<br>$135.17^{\circ}E$ | 456.2                               | $35.41^{\circ}N$<br>$137.51^{\circ}E$                     | 861.9                                        |                     | 14.0<br>14.5                          |                      | 8<br>10          |
| Kashiba        | $34.51^{\circ}N$<br>$135.67^{\circ}E$ | 422.2                               | $35.33^{\circ}N$<br>$137.76^{\circ}E$                     | 858.5                                        |                     | 13.3<br>13.9                          |                      | 8<br>10          |

Note: Time in (f) means the time elapsed from earthquake generation.

## 浦河沖地震によるHFドップラー変動

長沢親生, 阿保真, 糸谷積

(都立大学・工学部)

今年の2月にHFドップラーの観測を始めて以来、定常的な観測を行っており、最近磁気テープに記録する方法に加えて、リアルタイムアナライザーの自作を行い、平行して観測に使用している。このリアルタイムアナライザーは地震によるHFドップラーの影響などのような短周期の現象を高い精度でリアルタイムに測定することを狙ったものでありサンプリング時間10秒で、約 $0.01\text{ Hz}$  ( $5\text{ MHz}$ において) の測定精度を得るものである。

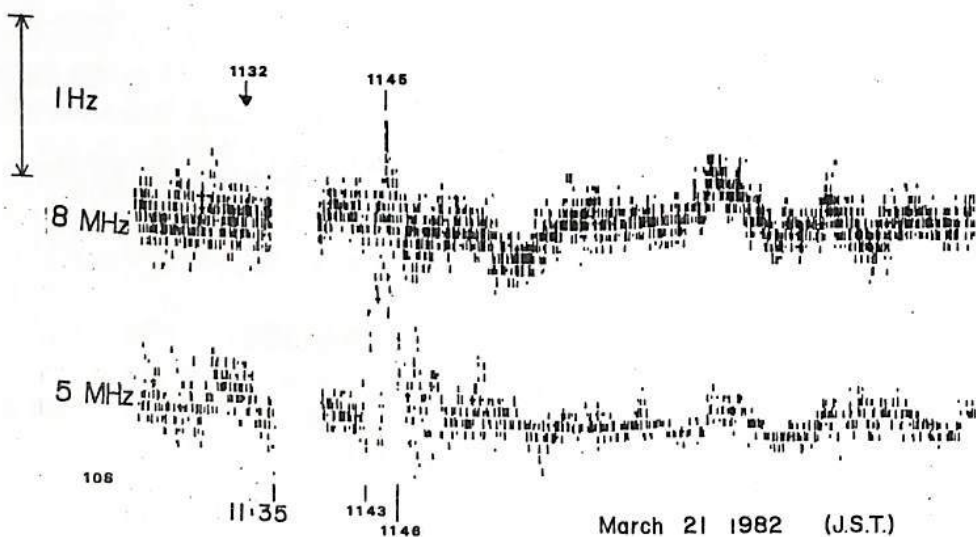
去る3月21日AM 11時32分に発生した浦河沖地震は、M7.3と発表されたが、我々のHFドップラーリアルタイムアナライザーには、下図のように記録された。

測定結果をまとめる

- (1)  $5\text{ MHz}$ と $8\text{ MHz}$ は $\Delta f$ の正の方に変動が現われるが、 $5\text{ MHz}$ は早く現われ、振幅も $8\text{ MHz}$ に比べて大きい。
- (2)  $5\text{ MHz}$ ではAM 11時43分ごろから大さく振幅で周期約30秒でAM 11時46分まで続く、その後振幅は振動減衰する。
- (3)  $8\text{ MHz}$ ではAM 11時44分ごろに $0.8\text{ Hz}$  (P-P) くらいの高周波振動が突然現れて消える。

浦河沖地震以外の中小地震についても現在データを整理中である。これらを詳細に調べることによって、Rayleigh波とAcoustic waveの伝播機構についての解明の手口が得られるものと思われる。

我々の受信点は、丁子丫の送信点との直線距離が65kmという近さにあり、 $\Delta f$ の横行経路が短いために $\Delta f$ は局所的な電離層現象を反映するものと期待される。



前田 坦, 亀井豊永, 家森俊彦, 荒木 徹  
京都大学・理学部

赤道近くで見出した $\Delta D$ 異常(図1)についての初期の結果は Geophy. Res. Lett. Vol. 9, No. 4, pp. 337-340 (1982)に示されている。その後に得られた主なことは次のようにある:

- ①  $\Delta D$  Range ( $\Delta D_n + \Delta D_s$ ) は高度500kmで約3nT, 350kmで約30nTのように、高度減少とともに急速に増大する。
- ②  $\Delta D_n$ ピークと $\Delta D_s$ ピークの緯度幅 ( $\Delta L$ ) は $\Delta D$  Rangeとともに増大する。しかし、その高度変化はそれほど大きくはない。
- ③ 経度270-340°の子午面内での $\Delta D$ 構造(主磁場からの変動)は図2に示すように、この等 $\Delta D$ 線を等電流線とみると、電流は磁力線にほぼ直角に流れているようである。
- ④  $\Delta D$  Range の経度変化は、図3にみられるように、主磁場強度の逆数の経度変化によく似ており、電離層の電気伝導度の変化の反映とみられる。
- ⑤ 高度450km以上および以下の平均的な $\Delta D$ 構造の水平分布は図4に示すように、特徴的な $\Delta D$ 構造は450km以下にみられ、それ以上では $\Delta D_o$ が主とみられる。
- ⑥ 原因は別の講演でのべる。

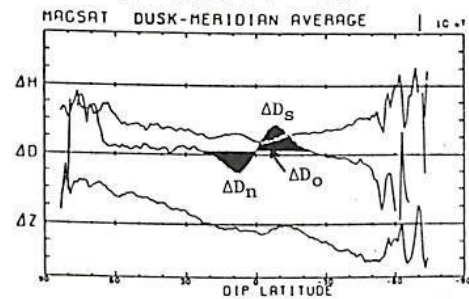


図1 赤道地帯での偏角異常  
 $\Delta D_n$ は負,  $\Delta D_s$ は正

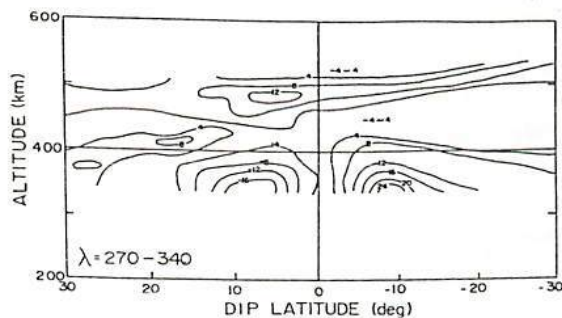


図2  $\Delta D$  の子午面内での構造 (nT)

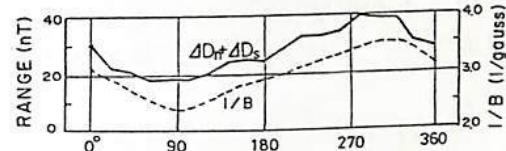


図3  $\Delta D$  と  $1/B$  の経度変化。

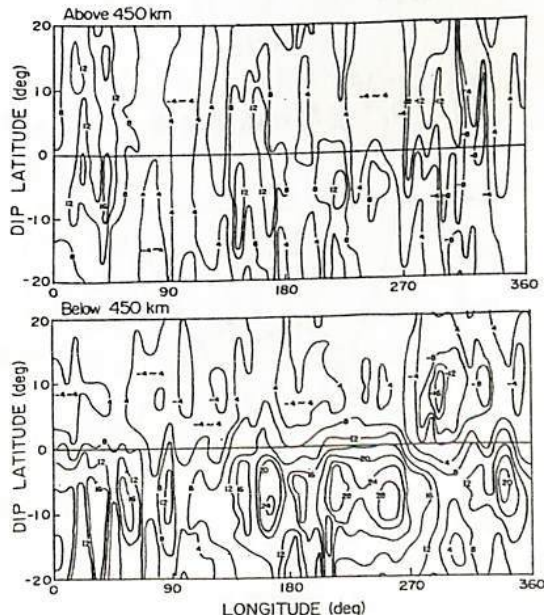


図4  $\Delta D$  の水平面内での構造 (nT)

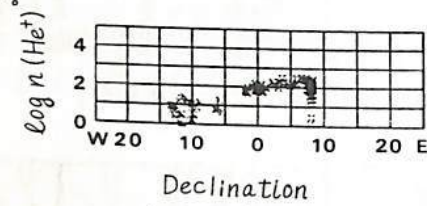
宮崎 茂, 小川忠彦 (電波研 平磯)

巖本 巍, 森 弘隆, 佐川永一, 水津 武 (電波研)

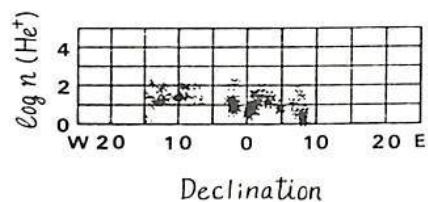
1963年EyfrigはF2層の臨界周波数の日変化の形が地磁気偏角の値によって変わることを発見した。その後、F2層のみならず、上部電離層の密度、電子温度さらにIrregularityの発生等についても地磁気偏角効果があることが調べられている。ここではISS-bの質量分析器によって得られた高度約1100kmにおける $\text{He}^+$ 密度の世界分布において磁気赤道付近で著しい $\text{He}^+$ 密度の磁場偏角による依存性があることが見い出されたので、その季節変化、時刻変化特性を中心にして述べる。

図1(a), (b)はdip latitude  $\pm 5^\circ$ 以内の $\text{He}^+$ 密度観測データを6月期および12月期についてプロットしたものである。縦軸は $\log n(\text{He}^+)$ を示し、横軸は地磁気偏角を示す。季節によって $\text{He}^+$ 密度の偏角による依存性が逆になることが判る。この関係を直線で近似すればその勾配が逆転する。図2(a), (b)は上述の直線の勾配(密度の偏角依存性)の時刻変化および月変化を示したものである。図(a)において6月期と12月期とでは位相が逆であり、夜間と昼間の勾配が逆になつていることも判る。但し昼間の勾配の大きさの絶対値は小さい。また図(b)では地方時12時と00時では位相が逆になつていることが判る。

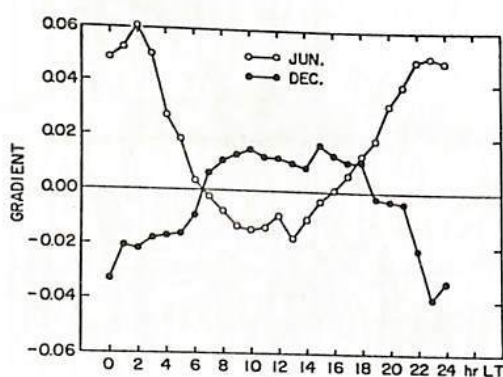
さて偏角効果を惹き起す原因の一つとして熱圏大気温度の日変化によって生ずる中性大気風によるプラズマ流の寄与が考えられる。このプラズマ流の大きさと方向は中性大気風と磁力線との相対関係によつて著しく変化する。これを適用すると、夜間にかけ偏角効果は説明でき、その季節変化も説明できる。しかし日変化に関してはこれだけでは説明できない。



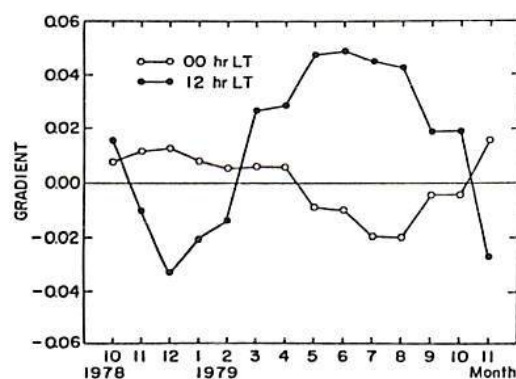
(a) 6月期



(b) 12月期

図1.  $\text{He}^+$ 密度の磁場偏角に対する関係 ( $-5^\circ \leq \text{dip lat.} \leq +5^\circ, 0 \pm 1 \text{ hr LT}$ )。

(a) 時刻変化



(b) 月変化

図2.  $\text{He}^+$ 密度の磁場偏角特性。

高度 1,100 Kmにおける フラズマ・バブル  
のトップサイド・カウンター観測

丸山 隆、相京和弘  
(電波研)

電離層観測衛星(ISS-b)は、高度、約1,100 km、軌道傾斜角、約70度の円形に近い軌道を飛行している。ISS-bの各観測機器は、64秒を1周期として時分割運用され、このうち、トップサイド・カウンター(TOP)、正イオン質量分析器(PIC)及びフラズマ測定器(RPT)の各観測データから、衛星高度、1,100 kmまで上昇してきた赤道フラズマ・バブルの様子を知ることができ。ここでは、TOPで観測されたフラズマ・バブルについて、その特性を報告する。

in-situ スプロレッド F 第1図は、夜間の赤道近傍でのイオノグラムの推移を示している。正常なトレースaから始まり、衛星が磁気赤道に近づくにつれて、スプロレッド・エコーを呈し、f<sub>1</sub>f<sub>2</sub>及びnのイオノグラムで最も強くなつた後、再び正常トレースへ戻っている。このとき、f<sub>1</sub>f<sub>2</sub>及びnのイオノグラムでは、広い周波数範囲(~4 MHz)で、パルス送信直後(ゼロレンジ)から散乱エコーが見られる(in-situ スプロレッド F)。これは、衛星が著しい電子密度の不規則構造域へ突入した事を示している。

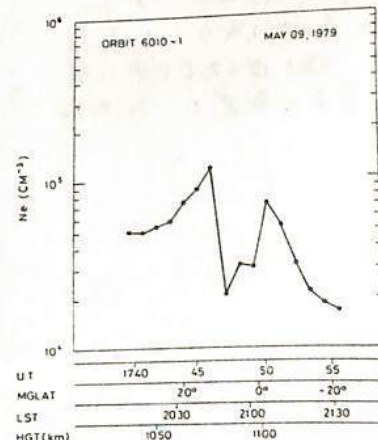
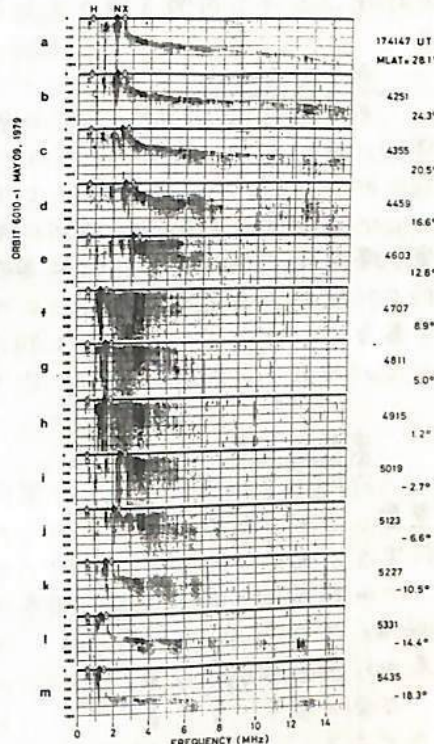
第2図は、同じイオノグラムから求めた衛星位置での電子密度変化で、磁気赤道付近で急激な密度の減少が見られる。その位置は、第1図に見えた in-situ スプロレッド F と対応する。即ち、f<sub>1</sub>f<sub>2</sub>及びnで、衛星がフラズマバブルを通過した事を示している。

バブルの出現特性 観測されたバブルの中から、電子密度の減少比が50%以上の比較的大規模の大きなものについて統計をとった。このようなバブルは、約1,700周回の観測から、110までに32例確認されている。そのうち、約80%は磁気緯度10度以内で観測されている。地方時でみると、真夜中前に約80%，特に、20~22時LTの日没直後に約60%のバブルが観測されている。これらバブルの季節-経度特性は、赤道スプロレッド F (ESF)の発生特性と略一致し、北半球の冬季に大西洋地域で最も多く観測される。しかし、太平洋地域で、夏にESFの発生が多いにもかかわらず、バブルの観測数は少ない。

ISS-bの軌道高度、1,100 kmにおけるバブルの出現特性は、F層下部でのバブル発生特性と同時に、バブルの浮上の背景となる上部電離圏の電子密度の影響を強く受けていると考えられる。従って、この点を考慮して、得られた特性を解釈すべきであろう。

第1図(右上) 衛星がバブルを通過した際のイオノグラムの推移。

第2図(右下) バブル内外の電子密度。



## 高度 1,100 km のプラズマバブル内の 電子密度と密度ゆらぎの観測

佐川 永一, 森 弘隆, 丸山 隆  
(電波研究所)

電離層観測衛星(ISS-b)のTopside Sounder(TOP)は低緯度でプラズマバブルに寄因する電子密度の局所的な低下を観測した。この講演ではTOPによってバブルが存在すると判断された周回を中心的にRetarding Potential Trap(RPT)の観測結果について報告する。バブル内でのRPTの観測データはそこでのプラズマが、①周辺より低い電子密度, ②密度ゆらぎの存在, という特徴を持つことを示している。

### 電子密度の低下

右の図はRev.10067のRPTの観測結果を横軸に時刻をとて示したもので矢印はTOPがプラズマバブルを観測した時刻を表す。そして電子密度も矢印の時刻に低下している。電子密度はやはり25.46 UTに周辺に比べて約500度低くなっている。このように電子密度がバブル内で低下する例はTOPでバブルが検出された周回の約6割であった。

### 密度ゆらぎ

RPTは1秒周でイオンの電流-電圧特性を取得しているが、バブル内ではI-V特性に重複して早い周期の電流のゆらぎが検出される例が多い。これは電子密度のゆらぎに対応すると考えられる。RPTのサンプリング周期は1/28秒なので、衛星速度が7km/sでは100m程度より長い波長の密度ゆらぎを検出できる。又、検出感度はゆらぎの相対振幅 $\Delta n_e/n_e$ を数パーセントである。そしてTOPでバブルが確認された周回の約6割でRPTに密度ゆらぎが観測された。下の図はRev.5261で得られたバブルに伴う密度ゆらぎの例で、左側が生データを表し、その内の実線で示した部分をスペクトル解析した結果が右側の図である。この例では平均的な密度ゆらぎの振幅( $\Delta n_e/n_e$ )は約10%であり、Power-lawでスペクトルを表すと、傾きは-2.0に近い値で、従来の観測と一致する。

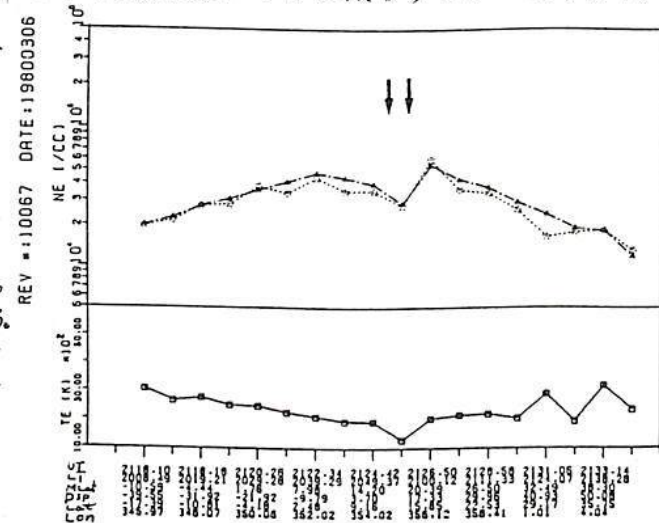


図1. 電子密度(上)と電子温度(下)

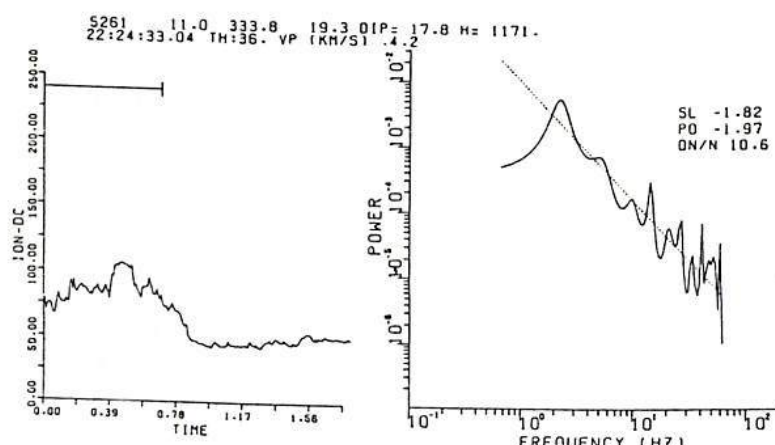


図6. 密度ゆらぎの観測データ(左図)とそのパワースペクトル(右図)

## ISS-b搭載RPAsより観測された

## プラズマ密度不規則構造の世界分布

森弘登\*, 佐川永一\*, 稲本義\*, 宮崎友\*\*

\*電波研究所, \*\*電波研平磯支所

電離層オウンダや衛星電波のシンチレーションの観測、あるいは人工衛星による直接観測等により、電離層の特定の領域に数mから数kmに及ぶ空間的スケールのプラズマ密度不規則構造が生ずることが知られているが、それらの発生原因に関しては未だ十分な解明がなされていない。

電離層観測衛星(ISS-b)は高度約900~1,200kmのほぼ円軌道を軌道傾斜角70°で周回し、地球のほぼ全域をカバーする観測を行へ、1978年4月の定期観測開始以来3年間余りの間に、約2,000パス分の観測データが蓄積された。

搭載ミッションの一つであるプラズマ測定器(RPA)は、ラングミュアプローブ法により衛星周辺のプラズマの密度、温度の直接観測を行うものである。衛星に日が当たっている期間のRPAの測定波形には常に衛星表面電位変動に伴うゆらぎが存在しているが、衛星日陰時間のデータにも時折ゆらぎを伴い、波形が見られる。これらは、プラズマ密度不規則構造に起因するものと思われる。これらのデータとともに、夜間の不規則構造の発生領域をしあげた。下図は地磁気緯度-経度座標上に不規則構造の観測された位置をプロットしたものである。不規則構造の発生領域は次の3つの領域に大別できる。

## (1) 磁気赤道を中心とする低緯度領域。

特に、地磁気偏角の大きい東経0°~50°の間に多発する。多くはプラズマバブルの中に発見されるので、バブルの発生機構と関連が深いと推定される。

## (2) 軽イオントラフの赤道側境界。

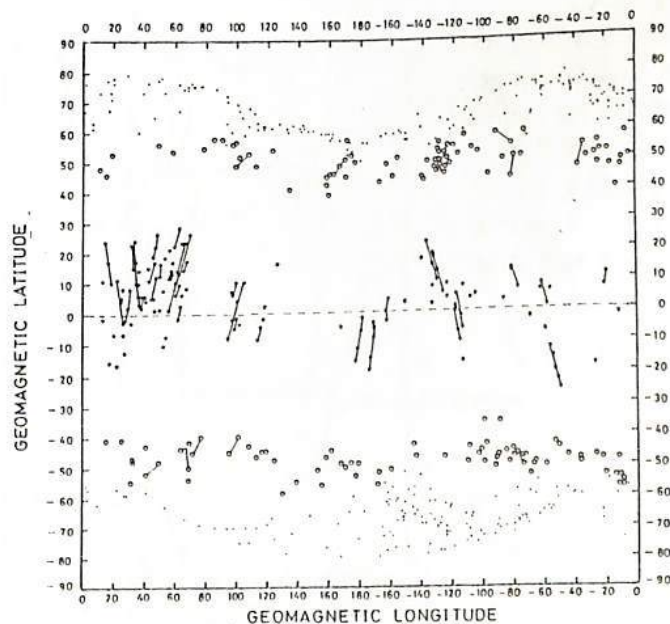
地磁気緯度±50°付近から高緯度側に向かってH<sup>+</sup>, H<sub>α</sub><sup>+</sup>等の軽いイオンの密度が急激に減少する境界領域に発生する。

## (3) 商緯度域下粒子領域。

他の領域に比べて発生頻度が非常に高く、電波波形のゆらぎの振幅も大きい。

## -図の説明-

プラズマ密度不規則構造の観測位置の分布。図中、●印は低緯度密度不規則、○印はトライアングル密度不規則、・印は商緯度密度不規則を表す。夜間の全観測データにもとづいている。



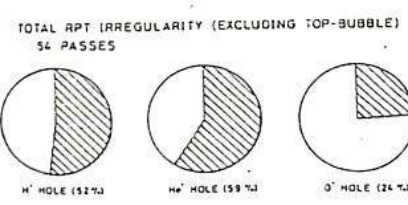
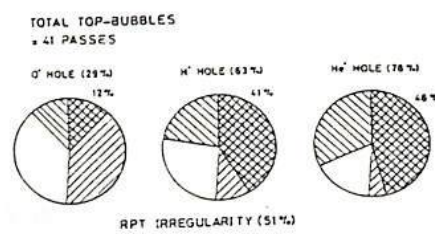
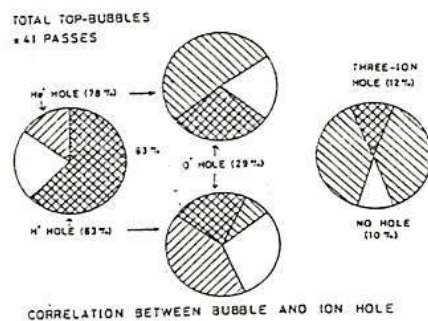
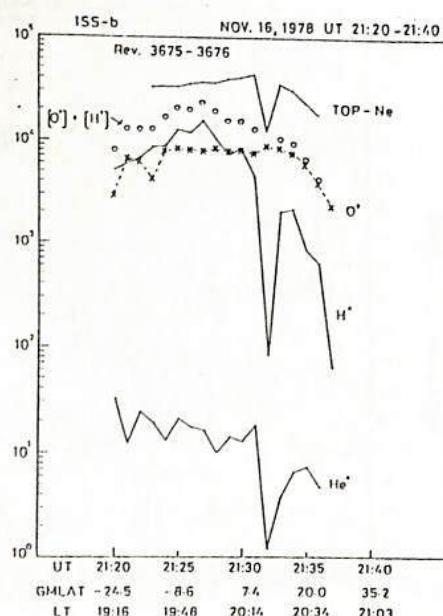
高度 1100 Km で観測されたプラズマバブル  
のイオン組成 (ISS-b 観測)

巖本巖、水津武、森弘隆、佐川永一、丸山隆  
郵政省電波研究所

電離気候衛星 (ISS-b) 搭載のトップサイドアランダ (TOP) にあります。1100 Km の高度でもプラズマバブル現象が見えました。バブル発生時にはスフレード F が伴い、又同衛星搭載のプラズマ測定器 (RPT) によれば、この時ラングミア曲線は特徴的な Irregularity が多くの場合に見られました。本報告では同衛星搭載のイオン質量分析器 (PIC) によるイオン組成がバブル発生時にどんな様子を示すかと調べた結果を述べます。PIC によるイオン組成観測は 1 ~ 20 AMU の範囲で、 $H^+$ ,  $He^+$  及び  $O^+$  を測定でき、サンプリング間隔は 6.4 秒 (約 500 Km の空間分解能) で、TOP, PIC なども順次に実験を行なわれます。左図は TOP でバブルが見えた場合のイオノン組成分布の典型的な例で、 $H^+$  が  $He^+$  より軽いイオンで 1 ~ 2 ケタ程度非常に深く減少する特徴があります (ION HOLE)。右図は TOP で見えた場合全バブルについて (41 パス) まとめたイオノン組成分布と比較して見た結果を頻度分布の形で示しています。TOP, PIC は同時に観測ではないので必ずしも正確な計測はつきりしませんが、TOP では  $He^+$  は 28%,  $H^+$  は 63%,  $O^+$  では 29% の場合 ION HOLE を形成していました。また、バブル内では全カウントが減少する例は多くなるが、バブル外では  $He^+$  の ION HOLE がほとんど場合対応していませんでした。

又 TOP でバブルが見えた場合の 51% は RPT の Irregularity が起こりました。Irregularity のほとんどの場合は  $He^+$  の ION HOLE が形成されました。

バブルが同定できる場合の不規則構造と  $He^+$  HOLE の頻度は 59% です。不規則構造もバブルに近いものについてることを推定させます。



CORRELATION BETWEEN ION HOLE AND RPT IRREGULARITY WHEN TOP-BUBBLE IS NOT IDENTIFIED

# 赤道域における Plasma Bubbles と Plasma Blobs の観測

渡部重十、大家寛、高橋忠利（東北大 理）

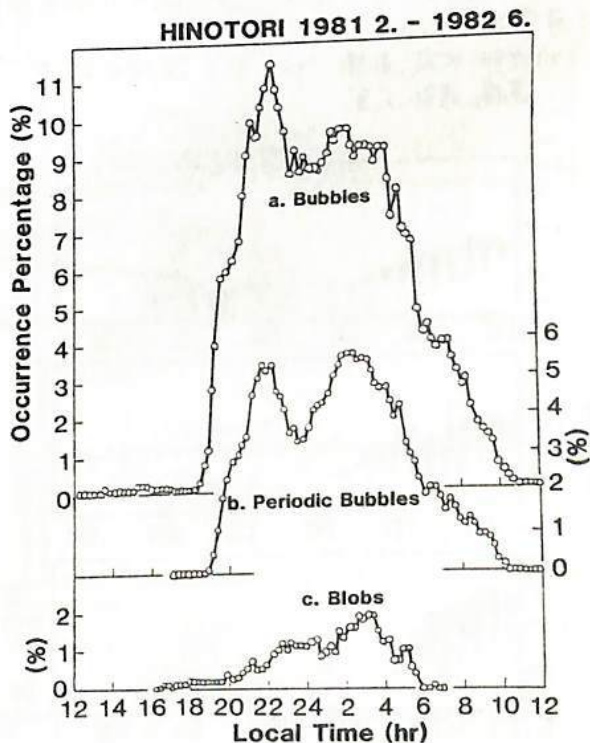
1. はじめに 第7号科学衛星“ひのとり”に搭載された IMP による F層上部の電子密度計測によつて、赤道域に特有の現象である電離層の不規則構造が見出されてゐる。“ひのとり”的観測によると、不規則構造には、大きく分けて二つのタイプ、つまりプラズマの減少として観測される Plasma Bubbles と、プラズマの上昇として観測される Plasma Blobs が存在することが明らかとなつた。（第7回 学会予稿）さらに、これら二つの不規則構造は、電離圏電場の変化と深く関わつてゐることを明らかにする。

2. Plasma Bubbles と Plasma Blobs の観測 Plasma Bubbles と Plasma Blobs は構造の大きさ相違だけではなく、それらの出現特性においても、たいへん異なつてゐる。すなはち、まず第一に Plasma Bubbles は、Magnetic Dip Equator 上で発生頻度が高いのに対し、Plasma Blobs は、高緯度ほど発生頻度が高くなる。第二に、Plasma Bubbles および Plasma Blobs とも夜間を中心に出現する現象であるが、それらの出現の Local Time に対する依存性は、Plasma Bubbles が、22時、3時 および 6時に発生頻度の高い三つの時間帯（図参照）をもつ一方 Plasma Blobs は 3時頃に一つのピークをもつてゐる。

3. 赤道域電離圏電場との関連 Plasma Bubbles の発生から消滅までの過程で、初期段階にみられる周期的な構造をもつ Periodic Bubbles についてみると時、図に示すように、その出現特性に三つのピークが存在する。これらのピークの出現は、E層からF層にかけて存在する電場の影響を考慮する時予想される電場変動との対応が求められる。すなはち、i) 22時のピークは、日没後のF層下部の bite-out と S<sub>8</sub> 電場による downward drift によって、F層下部の密度勾配がシャープになると、ii) 3時のピークは S<sub>8</sub> 電場による upward drift と対応する。このことは、Plasma Bubbles の形成が、電離層 E 層、F 層下部において、Rayleigh-Taylor および  $E \times B$  ドリフト不安定の結合として発生したものと、トリプ・サイドに発達しつつ上昇していくことなどを示してゐると考えられる。

なお、これらの赤道域電離層の不安定に加えて、極域擾乱の侵入が、Plasma Bubbles の種子となる現象も一部現在してゐる可能性がある。

(右図) ひのとりによつて観測された Plasma Bubbles と Plasma Blobs の出現特性  
a. Solitary Bubble と Multiple Bubbles の和  
b. 周期的に表われる Bubbles



# 極域擾乱に伴う赤道域電離層の変動と プラズマ・バブルの消長

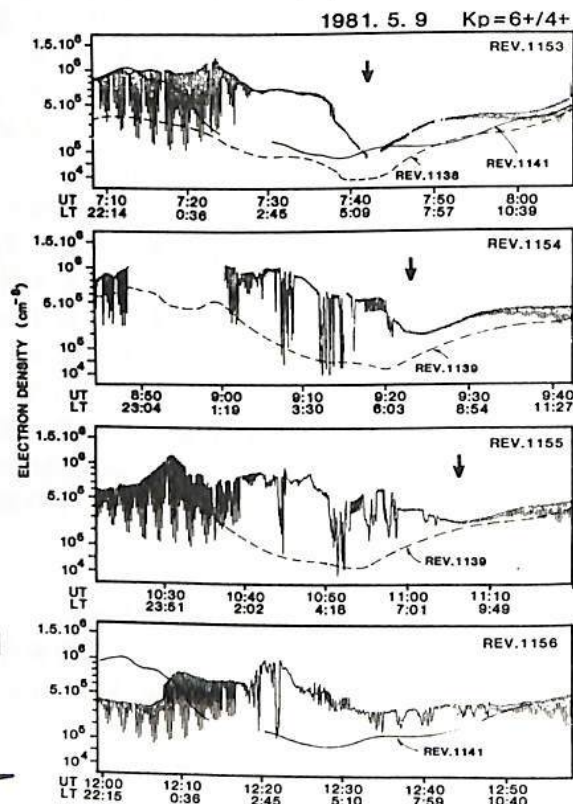
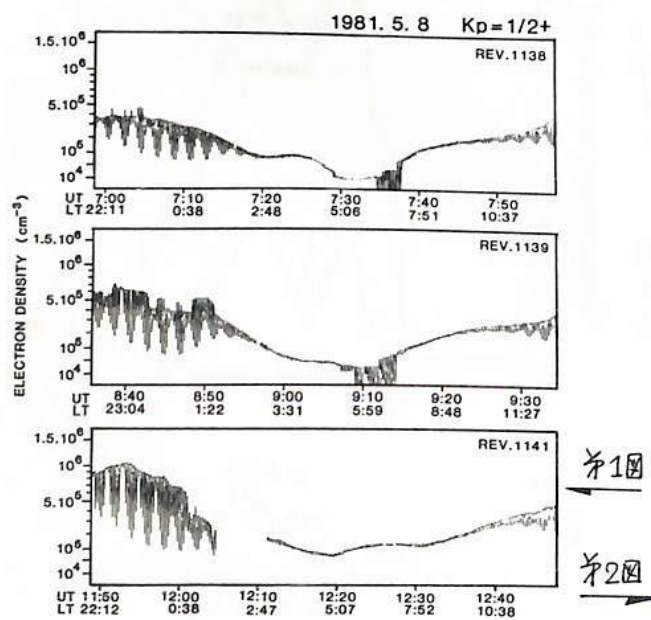
高橋忠利、渡部重十、大家寛  
東北大・理

我々はこれまでの報告<sup>(\*)</sup>で、昨年の2月に打ち上げられた“ひのとり”に搭載されたインピーダンスアロープにより観測された600km高度でのプラズマバブルの出現特性、構造の特徴等を述べてきただが、その中で pre dawnにおけるよく発達したプラズマバブルが  $K_p$ -index と強い相関をもつことを示した。  $K_p$ -index との相関に見られるような極域擾乱と赤道域アラズマバブルの因果関係を律する過程は極域擾乱の全地球的な波及効果の一環として興味深い問題である。

第1図及び第2図に夫々静穏時(5月8日,  $K_p = 1/2+$ ) 及び擾乱時(5月9日,  $K_p = 6+/4+$ ) の電子密度の観測結果を示した。両者は相前後する観測日であり、示されたデータの local time、地理的条件もほぼ同じであるが、その全体的構造は顕著な違いを示している。つまり5月8日の例は normalな状態での電離層のなだらかな local time 依存性を示しているが、5月9日の例では Rev. 1153において evening side から postmidnightへかけて電子密度の著しい増大があり、引き続く Rev. 1154においては postmidnightに顕著なバブル群の形成が見られる。このバブル群はしだいに depletion ratio を小さくしながら Rev. 1156まで観測されている。Rev. 1153での電子密度増大は morning side に急激な勾配をもち増大領域の edge (矢印) が明確に認められる。この edge は Rev. 1154から Rev. 1156へかけてさらに morning side へ移動するとともに構造の谷が埋められるかたちでしだいに不明確になっていく。

上記に5月9日の一連の推移を示したが、この例に見るよう pre dawnでのバブルの消長は衛星高度での電離層の密度レベルの変動と密接にかゝわっている。講演においてはこのような極域擾乱に伴う赤道域電離層の変動とアラズマバブルの消長につき様々な観点より考察を加える。

(\*) 渡部、大家、高橋 '82年春季講演会講演  
高橋、渡部、大家



## じきけん( EXOS-B) SPWにより検出された アラズマ圈ダクト

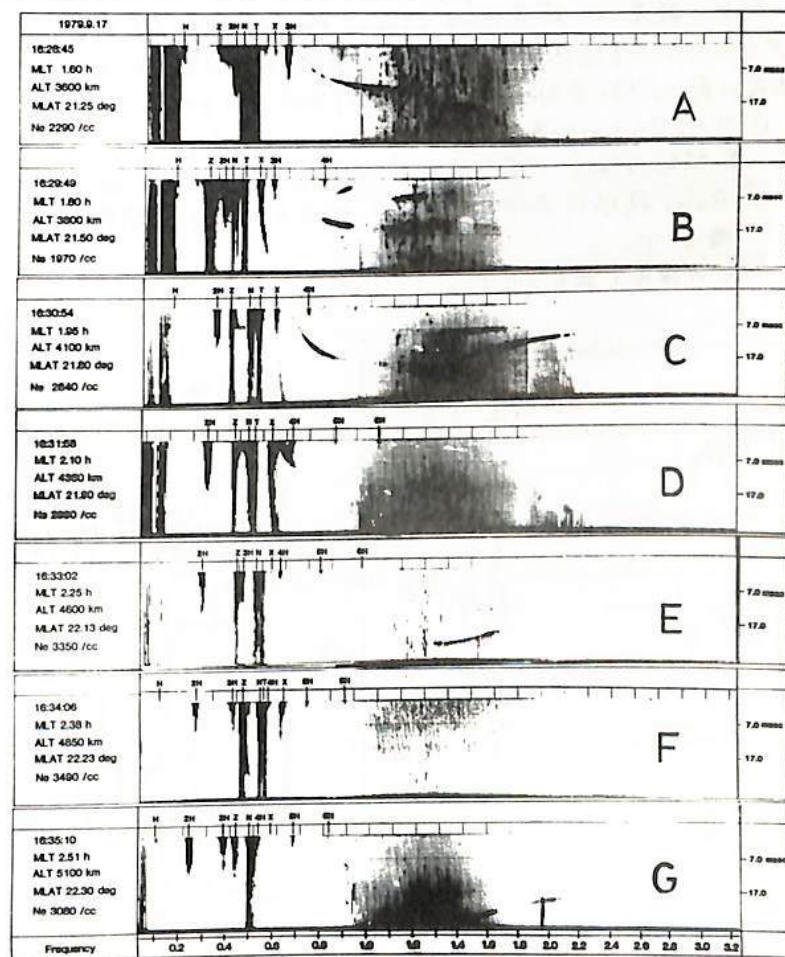
序 科学衛星じきけん搭載のSPWは、10KHzから3MHzまでの広い周波数範囲の電波を、衛星から放射し再び衛星に帰った波動を観測する事により、電離圏の電子密度がサーベイされる事になる。夜側の近地点付近の観測例の中に、軌道に沿って数百Km程度の、特性距離を持った密度の減少が見られたが、これと同時に共役点エコー及びスフレッドFが観測されている。解析の結果、観測が行なわれた高度(~4500km)に於て、磁力線に沿って伸びた構造をもつ、Ductが存在しているという事が明らかになって来たので報告する。

観測結果 下図に内の津観測ステーションで取得された「じきけん」の7枚の連続したイオノグラムを示す。じきけん衛星は、長軸円軌道をとるため、地球近傍ではわずかの時間に大きく高度を変化させる事が特徴となっている。また7枚のイオノグラムのうち最初の(A)には、スフレッドFが明瞭に見られるが、引き続く(B)及(C)では、共役点エコーが観測されている。衛星周辺の密度の増加に伴ない(D), (E)では共役点エコー及びスフレッドFは消え、特に(F)では完全にエコー現象は見られないが再び密度の減少を起す(G)では、共役点エコーが受信されている。以上の結果から共役点エコーは、密度の小さな領域と対応する事が判明し、従来の観測結果と一致する。(Dyson, et. al., 1978)

しかしながら「じきけん」衛星での観測は、従来の衛星観測をしのぐ、4500~5000km高度で実施されて、この結果は、磁力線方向に伸びたDuctが、 $L = 2.1$ にまでも存在している事を、はじめて示したものである。

まとめ 「じきけん」で観測された共役点エコー及びスフレッドFの出現は、周辺の密度の減少に伴なっていて、衛星がDuctに突入した結果として理解される。観測されたDuctは、領域的には、中緯度のField Aligned Irregularityに属するもので、従来の3000km高度以下の衛星観測でとらえられてきたものと同じであるが、 $L \approx 2.1$ までも存在する事が確認されたもので、ダクトの形成に関し、「じきけん」による観測は、新たな情報を提供することになった。

【参考文献】 Dyson, et. al.,  
Geophys. Res. Lett.,  
Vol. 5, No. 9, 795,  
1978



プラズマ圏での Pressure Gradient  
— JIKIKEN(EXOS-B)波動データに基づく電子温度解析結果から —

大家 寛 浦塚 清峰 森岡 昭 (東北大・理)

序

前回、および前々回で述べた手法によって、JIKIKEN(EXOS-B)衛星で得られた波動データから、電子密度および電子温度が求められるが(第70,71回講演予稿集)、それらの積として得られる Kinetic Pressure ( $P=Nk_b T$ ,  $N$ : 電子密度,  $T$ : 電子温度,  $k_b$ : ボルツマン定数) が、 $10^{-10} (\text{J/m}^3)$  程度で、 $L$  value に対してほぼ一定であることはこれまで述べてきた。しかし又、地磁気活動度および密度変化に呼応して、プラズマ圏および「プラズマポーズ」近傍で Kinetic Pressure の変化する成分があることも同時にみてきた。今回は、このプラズマ圏での Kinetic Pressure が「プラズマポーズ」の平衡に対してもつ作用を詳細に検討した。

解析結果

次の図2から図4までの3例は、いずれも  $\text{MLT}=1800$  前後の Bulge と呼ばれる領域での例である。図1に観測したときの  $Dst$  を掲げたが、磁気的に静穏な Rev. 1884(図4)をみると Kinetic Pressure  $P=Nk_b T=\text{const}$  であることがよくわかる。しかるに、Rev. 1859(図2), Rev. 1881(図3)の2例は、弱いながらも Ring Current の影響が残っている時期と考えられるが、これは  $P=Nk_b T$  に対して  $\frac{\partial P}{\partial L} < 0$  となるたり、 $\frac{\partial P}{\partial L} > 0$  となるたり、あるいは密度ゆらぎと相関して大きく変動している。

以上の結果は、対流による Dynamic Pressure の影響を合わせ考慮し、 $\vec{I} \times \vec{B} - \nabla P - \frac{1}{2} N m \vec{V}^2 = 0$  といった「プラズマポーズ」近傍の平衡に関する重要なデータを示している。なお、 $\frac{\partial P}{\partial L} > 0$  のときの平衡条件として、対流効果が弱いとすると東向きの電流が卓越することになるが、この場合、

- (i) プラズマシートからの高エネルギー粒子によつくる Ring Current の空間的な構造に、局所的な東向き電流が存在する。
- (ii) Bulge 領域に、局所的に渦状の電流が生じ、そこを衛星が横切った。
- などの原因も推定される。

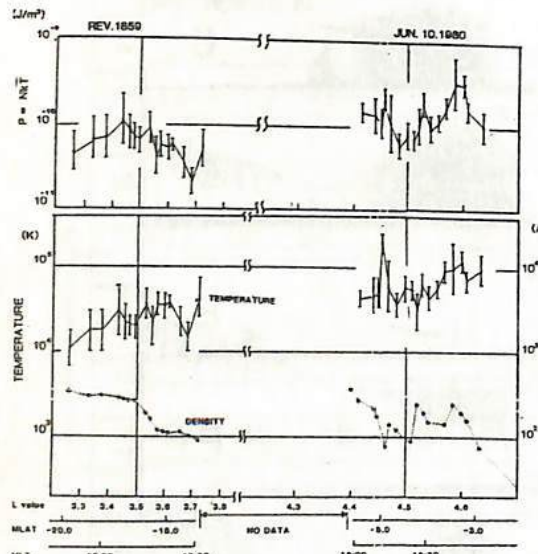


図2

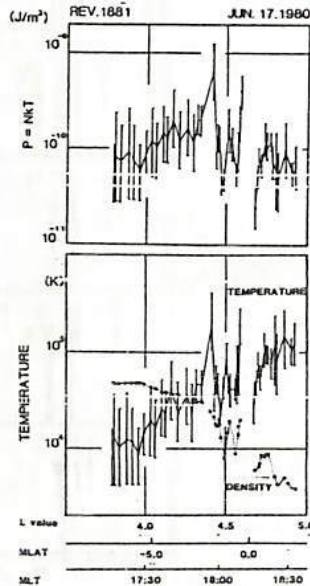


図3

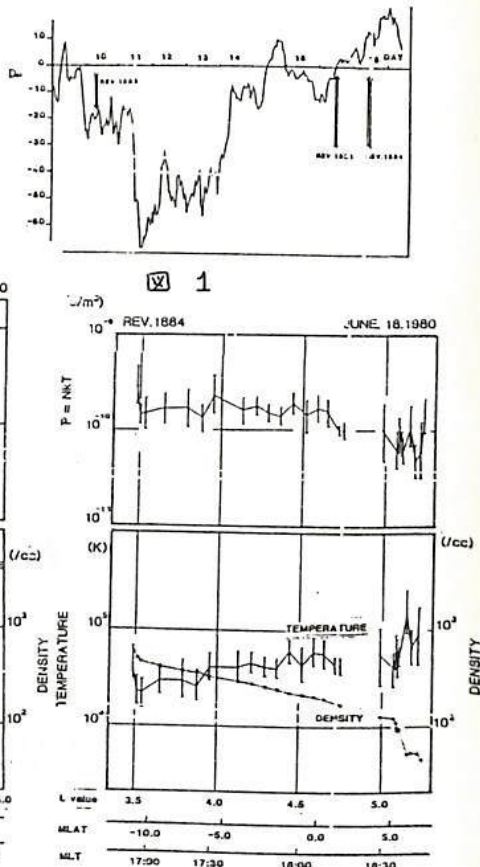
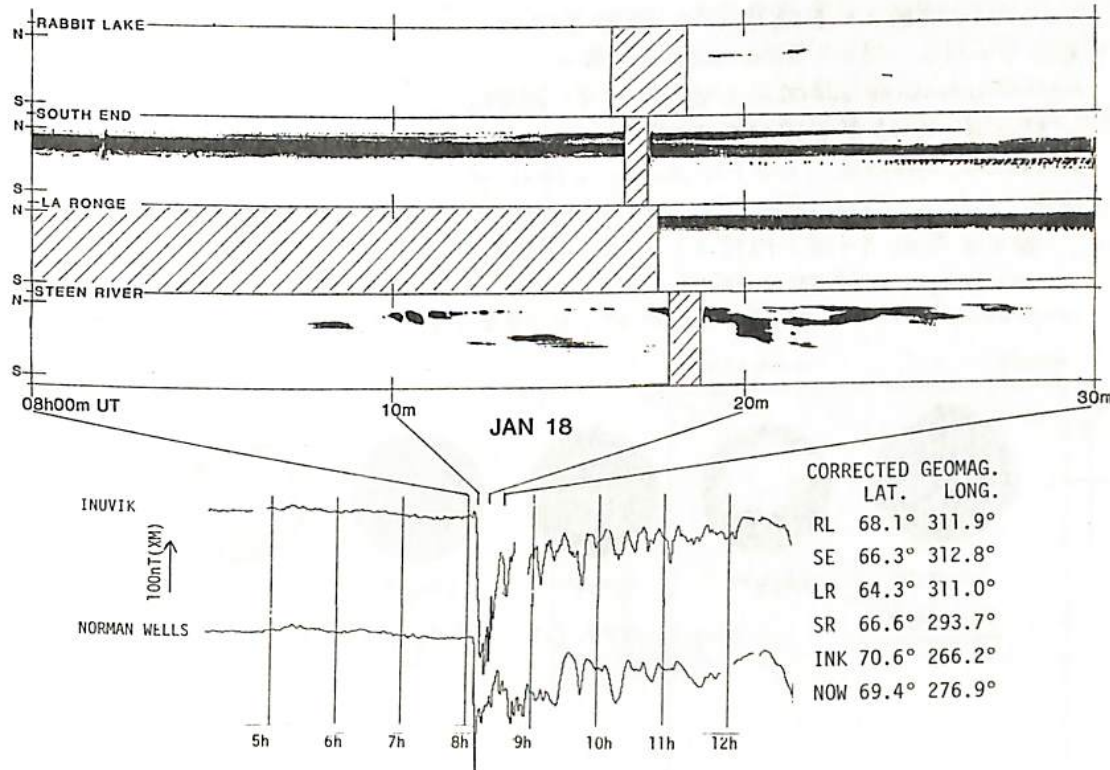


図4

真夜中付近のnegative bayと  
暁方側のpulsating aurora

山本達人（東大理）

先行する substorm activity により形成された暁方側の pulsating aurora が後続する negative bay により modifyされる様子をいくつかの具体例をもとに報告する。データとしては 1980年のものを使い、Canada Saskatchewan meridian の全天TVで auroraを monitorし、主に Alaska chain の magnetogram との比較を行った。定性的には、negative bay の直前に irregularな様相を示すようになり、onset にやや遅れて pulsation が intensify する。周期については、短くなる場合も長くなる場合もあり、亦、全体的構造がかわる(Ω構造…)等、必ずしも一様な変化ではない。下図に一例を示す。Inuvik 付近を中心とした negative bay に対応して、Steen River で expansion arc が見られる。onset にやや遅れて、South End, La Ronge で pulsating aurora の強度が強くなっている。



Aurora meridian display and magnetogram

## SSCに伴うAuroral Substorm

鷹川 勝, 平沢威男  
(国立極地研究所)

Substorm が SSC や SIC 型地磁気変動により trigger され発生されることが (Kuwasaki et al., 1971, Kokubun et al., 1977), また SSC および SIC 現象に伴って発生する ULF 波動についての地方時依存性や諸特性が報告されている。

これは SSC に伴つて発生する Auroral substorm, 特に Auroral oval の変動の様相を South Pole Station の all-sky camera data と DMSP satellite data を support として用いて調べた結果を報告する。

Antarctic region は 2017 3 Auroral oval の平均的な位置は, Bond and Thomas (1971) や Feldstein et al. (1974) 等によつて報告されている。それによれば South Pole Station は、平均的な Auroral oval の下を MLT と共に Fig. 1 のように移動する。

SSC が Magnetosphere の compression であるならば、SSC 発生時に Auroral oval は、その平均的位置より高緯度側へ移動するなどと考えられる。そして SSC の起始は以前の magnetosphere の substorm の発生によって物理的状態にあった場合 (例えば "IMF の southward direction; Kokubun, 1972") は Aurora の Break up 現象 (Poleward expansion) が MLT の midnight 邊りで発生するであろう。

我々は今回その最初と最後の SSC 現象が見られた時の South Pole Station における Aurora image の本影相を調べ、SSC に伴う Aurora が果して magnetosphere の compression として解釈できるかどうかを報告する。Fig. 2 にその例を示す。

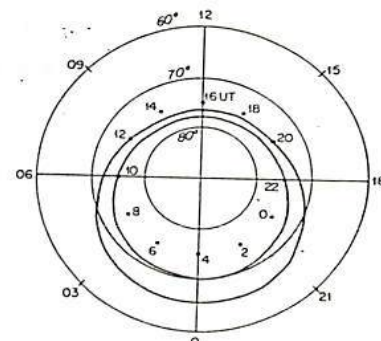
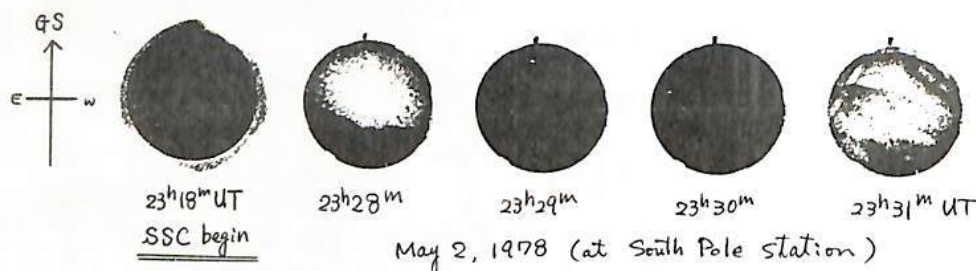


Fig. 1 Approximate locations of the south pole at different UT in invariant latitude-magnetic local time coordinates; the average size oval is also indicated.



## オーロラ電場の大気球観測

小川俊雄 牧野雅彦 山岸久雄 福西 浩 小野高年  
(京大理) (極地研)

オーロラ発生時の上層大気の総合的観測を目的として、1982年3月20日19時09分UTに、ノルウェーのStamsund ( $68^{\circ}08'N$ ,  $13^{\circ}50'E$ ;  $L \approx 6.0$ ) から大気球(B15-1N)を飛揚し、VLF, オメガ電波, 電力線放射, X線とともに磁電場のベクトル成分を観測した。気球はスエーデンを横切って東南東方向に飛翔し、フィンランドのRovaniemi 附近に落下させた。この間高度 32 kmにおいて、MLT 0時を中心として約2時間観測を行った。この間サーストームが2回発生した。

主な観測結果は  
(1) 水平電場の値は  $40 - 20 \text{ mV/m}$  で、そのベクトルの方向は西南西から北に変化した(図1)。

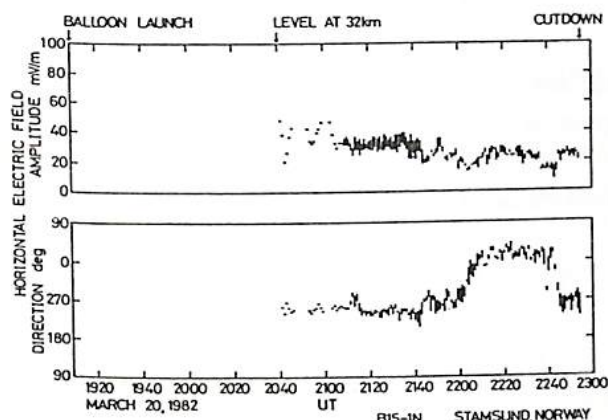


図1. 水平電場

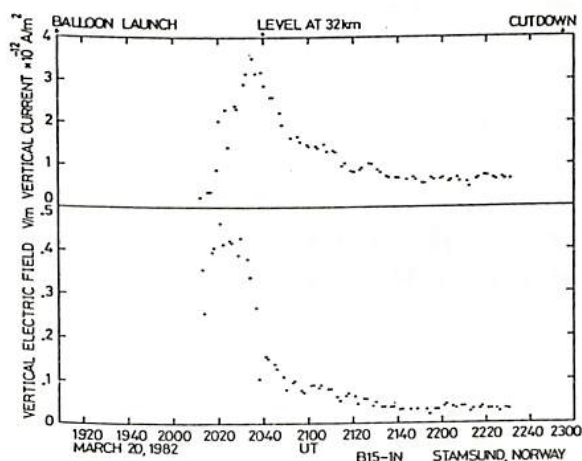


図2. 垂直電場と垂直電流

- (2) 垂直電場は  $150 \text{ mV/m}$  から  $40 \text{ mV/m}$  まで減少した(図2)。
  - (3) 垂直電流は  $3 \times 10^{-12} \text{ A/m}^2$  から  $6 \times 10^{-13} \text{ A/m}^2$  まで減少した(図2)。
  - (4) 大気導電率は  $1.8 \times 10^{-11} \text{ S/m}$  から  $2 \times 10^{-11} \text{ S/m}$  まで約  $10\%$  増加した(図3)。
- 以上の観測結果とサーストームの発達との関係について報告する。

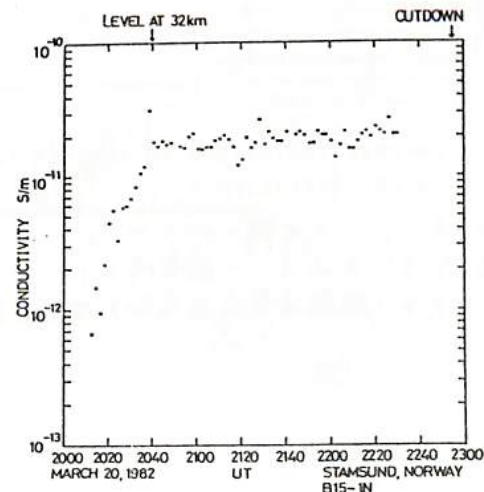


図3. 大気導電率

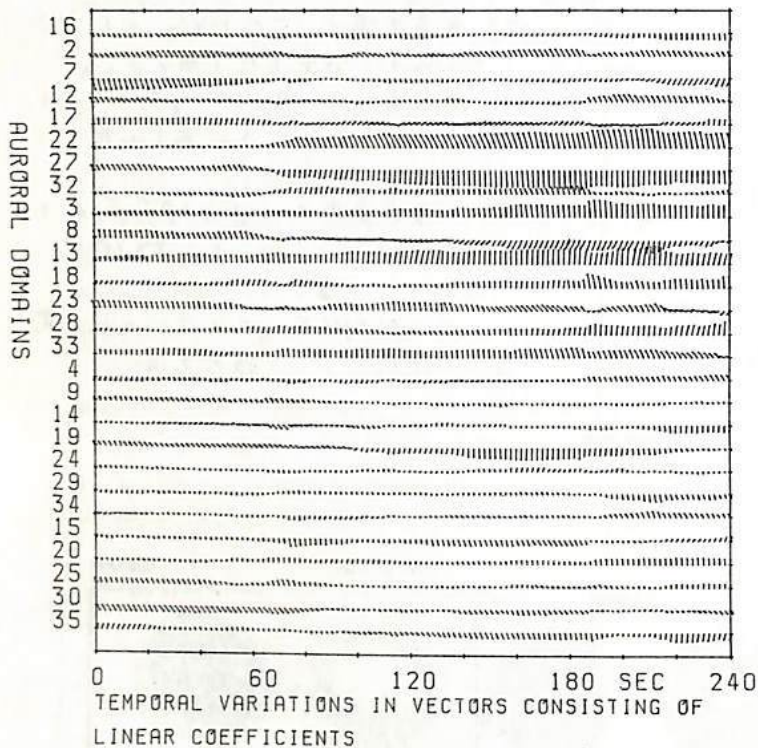
## オーロラ脈動に伴なう電離層電流の安定性

小口高、林駿祐、J. H. MEEK  
東大理

従来の研究によつて、オーロラ脈動に伴なう地磁気脈動は、大部分が電気伝導度変動を介して電離層内に誘起される電流のゆらぎによることが確かめられた。

もし二のことがいつも成立つてゐるならば、東相国の手法に依つて求められる変動ベクトルの期待値は、オーロラパッチのドリフトから期待される一般電場に依存する旨であり、もしも、電場に大きな変動が生ければ、期待される磁場変動ベクトルは長時間保存されることが予期される。図に示すものは1980年2月15日の例で、それが水のドメインにおけるオーロラ脈動から期待される磁場変動ベクトルと時間と並んで描べた結果である。

111700-112100 UT FEB 15 '80 LR



ことによる。これが確かめられた。

これらは、一般電場の下にみけたオーロラ脈動の結果が、主として電気伝導度変動に伴なう電離層電流の変動を介して現われるとした結論を裏付けるものである。

図から判るように各ドメインのオーロラの衰滅に伴つて、全体の領域の中央部、ドメイン18の下で測定される地磁気変動の期待値は、かえりよく保存するところが知られる。この事実は、電場の保存とよく調和している。

しかし、各ドメインのオーロラの衰滅が電流に及ぼす効果は互に独立とは云えないもので、そのためには期待値のゆらぎが生じてるものと考えられる。

長時間に亘って同様の手法で解析を行なへば結果。

- (1) 磁場変動ベクトルの期待値の長時間変動は主として全体の電場変動による。
- (2) 同じく、期待値の短時間のゆらぎは、主としてオーロラ脈動のモードが変化する

## 入射電子“逆V型構造”とオーロラとの対応

金田葉祐(東大理), 向井利典, 平尾修雄(宇宙科学所)

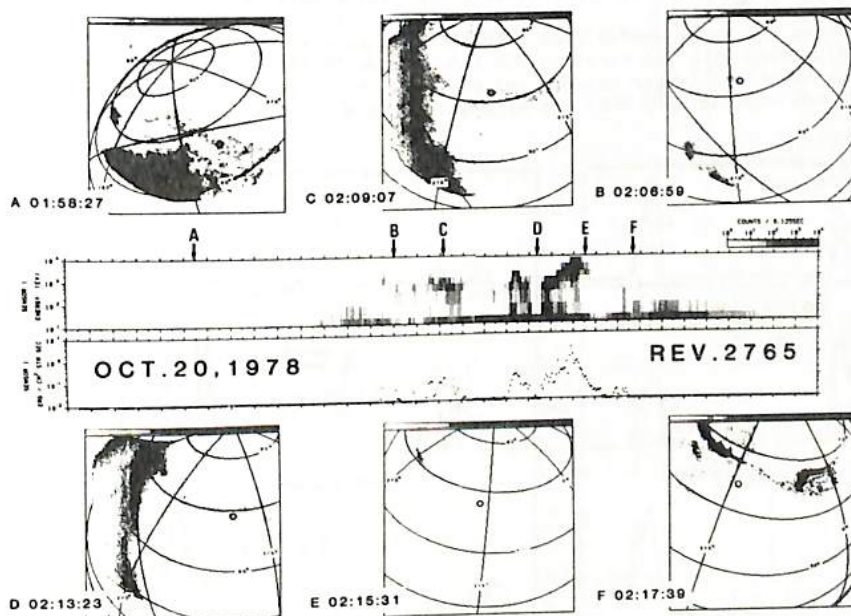
1970年代初頭に従星観測によって、夜側の aurora oval / 領域に所謂 "inverted-V" 現象が発見された後、この入射電子に対するオーロラとの関係が求められてきた。その後半に ISIS-2 の観測グループによって、inverted-V 構造を示すビーム型 加速を受けたと見られる入射電子には "discrete" aurora が対応する事が示された。

準極軌道往復である KYOAKO は、その軌道特性から、aurora oval / と様々な角度で横切る為、inverted-V が見掛け上、逆V型であったり、逆U型或いはテーブル状等の形で観測されるが、全体の統計的傾向は、その発生位置分布、最高エネルギー地方時依存性等と見てても、従来の報告と同様である。従って、見掛け上、逆V字形とは異なる様相を呈して居ても、これは、時/空間での inverted-V の構造的特性を示して居るものと考へられる。

然しうち、inverted-V が常に auroral oval / に沿って安定に存在する訳ではない。下に示した例は、KYOAKO が午後側から oval / 中を近づけて来る travelling surge に向って、その地磁気的直下点を移動させて居る時に観測した入射電子のエネルギー・スペクトルと矢印で示した各時刻に対応するオーロラのイメージである。この例に見られる如く、激しい変化を示して居るオーロラの場合には、inverted-V は、無欠欠形で観測されない事が多い。

この他、明方に観測される diffuse オーロラの中に、或る程度の形を有する部分が認められる所を従星の地磁気的直下点が通過する場合、入射電子のエネルギー・スペクトルはパターンとして E-カーブを見ると、逆V字型と數値をV程度の直線状のものとか共存して居る等の興味ある現象が観測されて居る。

今回は、この様な例を中心にして発表を行う。



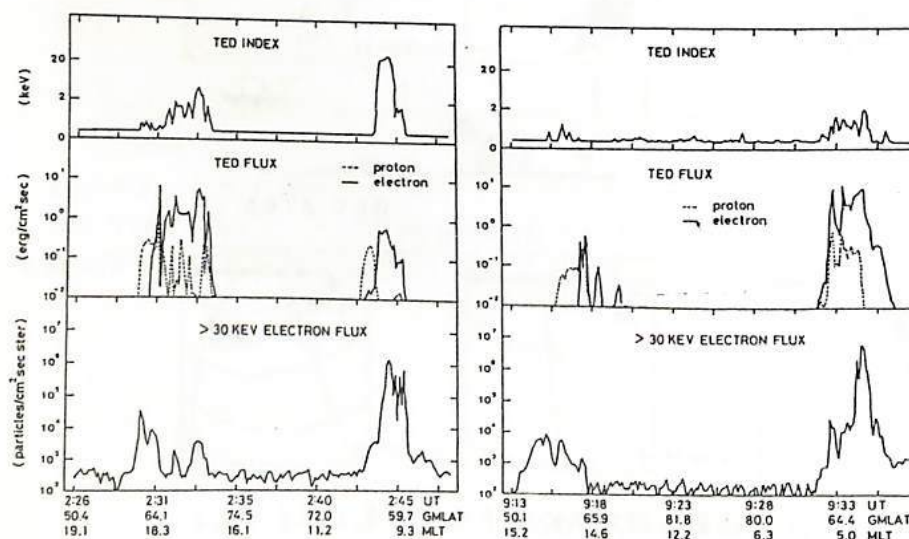
各イメージ内の従星の地磁気的直下点は白丸で示してある。

菊池 肇  
(電波研究所)

Local time and latitudinal characteristics of auroral proton and electron ( $E = 300 - 20,000$  eV) precipitation are studied by making use of total energy input data detected onboard the polar orbiting TIROS-N and NOAA-6 satellites on a moderately disturbed ( $K_p = 4 - 5$ ) day, November 13th, 1979. The energy input due to auroral particles occurs in a circular belt surrounding the geomagnetic pole of latitude between  $55^\circ$  and  $75^\circ$  GML. The energy flux on the nightside is more than one order greater than that on the dayside. Generally, electrons play a major role in the energy deposit in the auroral atmosphere. However, energy input by protons is sometimes comparable to that by electron on the dayside. Moreover, protons are a major component around the noon. Three kinds of latitudinal structures are observed in the auroral zone except for the pure proton precipitation in the noon sector. In the evening and afternoon sectors, the equatorward portion of the auroral precipitation region consists of only protons and both protons and electrons are precipitated in the poleward region. In the midnight and early morning sectors, pure electrons are precipitated equatorward of a region of both proton and electron precipitation. These two distinct features are separated at 19 MLT meridian. It is suggested that protons and electrons are injected from the near earth plasma sheet in overall the nightside and partly the dayside auroral zone, but protons and electrons injected in the evening sector (19 MLT) drift westward and eastward respectively to be precipitated in the equatorward region. Another feature in the nightside auroral zone is that inverted-V type electrons are precipitated in the poleward region of the evening sector with accompanying decreases of proton precipitation. In the late morning sector, pure proton precipitation takes place exclusively poleward of an electron precipitation region. Auroral electrons in this sector is more energetic than the plasma sheet electrons and the region coincides with a precipitation region of energetic electrons with  $E > 30$  keV from the quasi-trapped radiation belt. Observations of proton precipitation at all local times with nearly uniform intensity suggest that trapped protons are drifting around the earth. Moreover, protons could be accelerated by field-aligned electric fields in a narrow isolated region poleward of late morning auroral zone.

The figure shows the total energy flux (TED FLUX) of auroral protons (dashed curve) and electrons (solid curve), along with the electron TED index which indicates the energy of major component of precipitating electrons (upper column) and the flux of energetic electrons with  $E > 30$  keV (lower column). In the evening (18h MLT) and afternoon (15h MLT) sector, pure protons are precipitated

in the equatorward portion of the precipitation region, while pure electrons in the equatorward region of the early morning sector (5h MLT). Inverted V type electron precipitation occurs in the evening sector, which is characterized by an anti-correlation between the electrons and protons. It is remarkable that pure proton precipitation is observed in a narrow isolated region poleward of electron precipitation region in the late morning sector (10h MLT).



地磁気SCに伴う静止衛星に於ける  
粒子線増加

須田 友彦, 和田 雅美, 河野 敏  
気象研 理研 理研

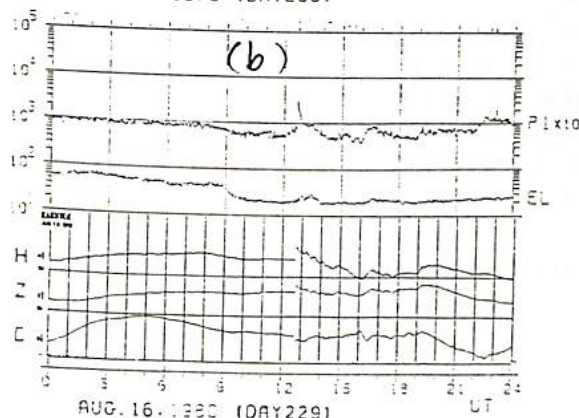
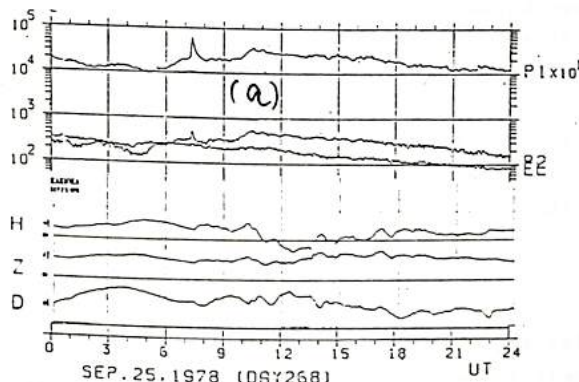
気象衛星「ひまわり」は $6.6\text{ Re}$ の高度にあって、磁気圏内の静止軌道に於ける粒子線強度(カーブ)を観測している。衛星で観測された粒子線増加現象は次のように大別される。

- |                 |                                                                                                                                  |
|-----------------|----------------------------------------------------------------------------------------------------------------------------------|
| I Proton flare  | { 1. Scatter free<br>2. not scatter free                                                                                         |
| II Proton event | { 1. Energetic Storm Particle (ESP)<br>2. Recurrent event<br>3. Corotating long lived stream 4. Low Energy Storm Particle (LESP) |

この中、ESP及びLESPはいずれも地磁気SCを示すようだ、ショック波とともに現れる現象であるが、ESPは( $>10\text{ MeV}$ )数時間のタイムスケール(Bryant et al. 1962)であり、LESP( $\sim 1\text{ MeV}$ )は数10分のタイムスケール(Palmeira et al. 1971)である。

こゝでは、LESPについて「ひまわり-1号」で得られた1978年2月から1981年12月の資料について解析を行う。第一回a, bはP1, ELチャネルにみられた典型的な例で、KakiokaのSCとのよき相関がみられる。この回のSCの数は、173ヶありその中84例にLESPとみられる増加があった。第二回にこれらの時間に対する分布を示す。1等LT附近ではSCが少かつた事を考えると、大きな時間変化と云ふなく、夜側がいくらか多いとみられる。

第一回

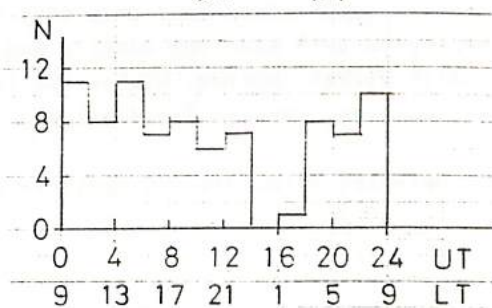


第一表

SEM 観測項目、各チャネルの観測時間は約1秒、繰り返し時間は約16秒。  
Gは幾何学的要素。

| チャネル名 | 粒子種類   | エネルギー(MeV) | G (cm <sup>2</sup> ·sr) |
|-------|--------|------------|-------------------------|
| P 1   | 陽子     | 1.2-4      | 0.0421                  |
| P 2   | "      | 4-8        | 0.0421                  |
| P 3   | "      | 8-16       | 0.0421                  |
| P 4   | "      | 16-34      | 0.389                   |
| P 5   | "      | 34-80      | 0.389                   |
| P 6   | "      | 80-200     | 0.389                   |
| P 7   | "      | 200-500    | 0.389                   |
| A 1   | アルファ粒子 | 9-70       | 0.0421                  |
| A 2   | "      | 30-70      | 0.0421                  |
| A 3   | "      | 65-170     | 0.389                   |
| A 4   | "      | 130-250    | 0.389                   |
| A 5   | "      | 320-370    | 0.389                   |
| E     | 電子     | >2         | 0.389                   |

第二回



Particle precipitations, field-aligned currents, and electron density  
and temperature increases observed in the high-latitude cusp region.

M. Ejiri, K. Uchida, J.K. Olesen, F. Primdahl and B. Moehlum  
NIPR NIPR TUD DSRI NDRE

The cusp structure, revealed by 1976 rocket campaign ( CUSP II ) at Sondre Strømfjord, shows field-aligned downward and upward currents together with electron density increases and extremely high electron temperature, the detailed observational results of which were presented in the previous meeting, characteristic electron density irregularities associated with the phenomena " Slant E Condition " being also identified as caused by the two-stream instability.

Energetic particles play a prime role to study the high-latitude ionosphere coupled with the magnetosphere. Followings are observational summary of experimental results, comparing the previously revealed cusp structure with the simultaneously measured energetic particles. A time " T " indicated is an elapsed time from the rocket take-off, " X " the horizontal distance almost towards north ( 358 to 359 degrees east from the geographic north ), and " Z " the altitude.

(1) Region A

(  $T = 213 \text{ sec to } 255 \text{ sec}$ ,  $X = 203 \text{ km to } 247 \text{ km}$ ,  $Z = 209 \text{ km to } 207 \text{ km}$  through the apex of 210 km )

In this narrow region A with its latitudinal width of about 45 km, the differential low energy ( 200 eV ) electron fluxes varied between  $10^9$  and  $10^{10}$  electrons/cm<sup>3</sup> ster keV sec with the highest flux values near the boundaries, characteristic energy of the distribution function varying in an erratic way between 0.6 and 1 keV, and highly field-aligned pitch angle distribution (flux(0)/flux(90) being about 8). Outside of the region there are no precipitating electrons more than  $10^8$  electrons/cm<sup>3</sup> ster keV sec. Upward field aligned current of 160 mA/m was deduced from observed 200 nT change of By. These precipitating particles enabled an electron density to increase up to  $3.1 \times 10^5$  electrons/cm<sup>3</sup> ( cf. about  $1.7 \times 10^5$  electrons/cm<sup>3</sup> outside of the region ). An extremely high electron temperature more than 4000 K was observed in the exactly same region.

(2) Region B

(  $T = 288 \text{ sec to } 308 \text{ sec}$ ,  $X = 281 \text{ km to } 302 \text{ km}$ ,  $Z = 196 \text{ km to } 184 \text{ km}$  )

A classical inverted V structure with a peak value of 2 keV was observed, with the flux varying between  $10^9$  and  $10^{10}$  electrons/cm<sup>3</sup> ster keV sec. A significant increases in electron density with a peak value of  $4.2 \times 10^5$  electrons/cm<sup>3</sup> and extremely high electron temperature more than 4000 K were also observed in the same region. Within the region both electron density and temperature increase as the precipitating electron flux increases, whereas within the region A no remarkable change in electron density was observed. Upward field-aligned current was about 100 mA/m.

Detailed structure and particle energy distributions will be discussed.

## 多点観測からみた Substorm の南北共役性

船川 勝, 平沢威男  
(国立極地研究所)

IMS期間(1976-1978)に南極昭和基地近辺およびその共役点であるIcelandにおいて多点同時観測を実施した。船川、平沢、巻田等は、当学会において地磁気変動およびオーロラの多点観測結果として次下のこととを報告してきた。

1. 地磁気子午線上に沿う観測点における観測される地磁気変動は~300km範囲内に亘りて、概ね似ている。  
(時間的に)
2. しかし H-Comp. のスパイク状の変動は、各観測点で必ずしも一致しない。  
また同様に Z-comp. の up.-down 反転も必ずしも一致しない。
3. 2項はオーロラ発光域との相関が良く、オーロラ発光域に西向き線電流を仮定すると良く理解できる。このことは~120kmの近距离に亘りて、地上地磁気変動より Aurora の最も強く輝いている部分が推定できると同時に、その空間的変動についてもある程度推定可能であることを示唆する。
4. H-Comp. の最大変化場所、Z-Comp. の zero line 及びオーロラ輝度を南北で対比することにより共役性を調べ、その結果共役点は時間的空間的に固定されず、MLT に依存する特性をもつことを観測事実として示した。

今回は、これらの特性を勘案し、さらには substorm の南北共役性の時間・空間変動について報告する。

# 高速プラズマ流による磁気圏極域における 大ポテンシャル生成

鷲見治一 片沼伊佐夫 佐藤哲也  
名大空電研 筑波大物理 広大核融合

オーロラにおける電子加速の問題を討論する。磁気圏極域において、電気的二重層が磁力線に沿って作られている可能性が強く、観測的にも又理論シミュレーションによても研究が進んでいる。しかし、磁気圏尾部の磁気中性面における現象と結びついた統一的な解析はまだなされていない。我々は、



という筋書きで電子加速が説明出来ないかと考えている。前半については 佐藤・林により  $V \sim V_A$  (アルヴェニ速度) の高速プラズマ流の生成が示されている。従って、本研究では

高速プラズマ流が磁力線に沿って、磁場の強い領域に流入した時  
大ポテンシャルが生成されるか否か

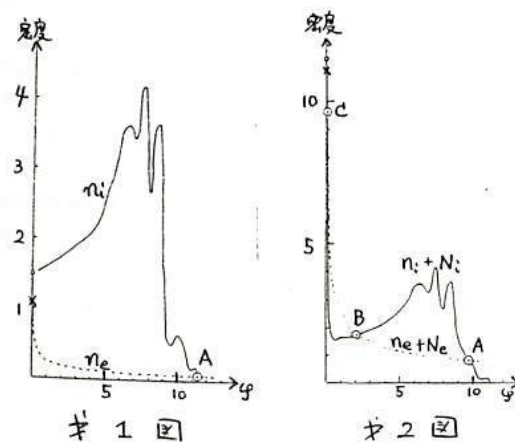
を問題にする。

このため、我々は、高速プラズマ流が磁場の弱い ( $B_I$ ) 領域 (I) から強い ( $B_{II}$ ) 領域 (II) に定常的に流入している場合の密度とポテンシャル、 $\psi$ 、との関係を数値的に解析した。領域 (I) において、 $n_i = n_e = 1$  とした時、高速流 ( $V_{Ti} < V_i = V_e < V_{Te}$ ) によりイオンと電子のボルツマン分布からの shift の程度が異なるため、領域 (II) では  $n_i$  と  $n_e$  の  $\psi$  依存性が異なる。しかし、電荷中性の条件より、 $n_i(\psi) = n_e(\psi)$  でなければならぬため、これを満たすように  $\psi$  が定まる。例として、 $B_{II}/B_I = 1.5$  の場合について以下に述べる。

(1) Background のプラズマがない場合 (ガ1図)。 $\psi = 0$  の時は  $n_i > n_e$ 。 $\psi$  が小の時はイオンは減速、電子は加速を受けるため、 $\psi$  の増加と共に  $n_i$  は大、 $n_e$  は小となる。 $\psi$  が流れのエネルギー程度になると反射イオンが生じて  $n_i$  は急激に減少しはじめて  $n_i = n_e$  となる。従って、 $B_{II}/B_I$  が小さくとも大ポテンシャルが出来る。

(2) Background のプラズマ ( $N$ ) がある場合 (ガ2図)。例として、 $N_i = N_e = 10$  とする。この時、解は3点 (A, B, C) ある。まず Background イオンが反射されて C 点、次に流れイオンが減速されて B 点、更に流れイオンが反射されて A 点が生ずる。安定な点は A 及び C 点である。

以上定常解について解析したが、非定常の場合には C 点 ( $\psi$  小) から A 点 ( $\psi$  大) への飛びにより大ポテンシャルが生成されることが期待される。

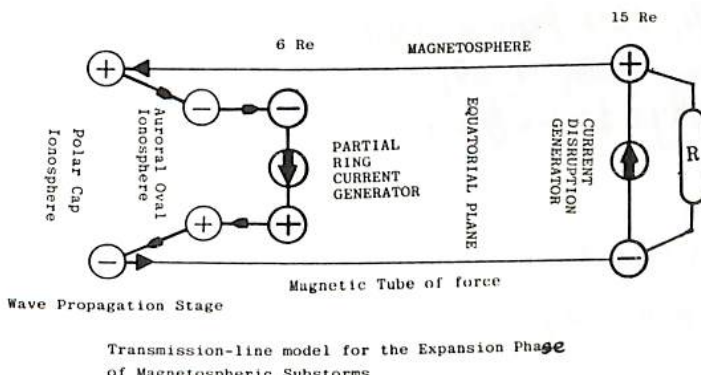


井上雄二  
京都産業大学 計算機科学研究所

前回の学会で、Substorm の非定常過程のモデルとして、二重構造の伝送線上の波動が Substorm の諸現象を忠実に表現できる可能性のあることを提案した。Substorm の発達は四段階に分類された。第一、第二段階は準定常的に進行し、充電過程であり、growth phase に対応する。第三段階は Onset phase に対応し、電離層の Pedersen 放電と磁気圏赤道面付近の Partial Ring Current の急激な発生する。第四段階は Expansion phase に対応し、第三段階で発生した過渡的擾乱が波動の型で二重構造の伝送線系を伝搬する。伝送線のモデルの概略を図示する。伝送線系を構成する四本の磁力管は波動伝搬開始時には図示されているように帶電分極しているが、波動の電流・電圧によって空間的に時間的に大きく修正される。四本の伝送線は FAC を運ぶ主要な磁力管を代表している。

伝送線方程式の  $L$  と  $C$  の計算には磁力管断面積の空間的変化およびプラスマの分極電流を考慮に入れた。波動の電流は FAC であり、電圧は伝送線対向の電圧差である。波動の位相速度は Alfvén 速度と同程度であるが、僅かに大きい。 $C$  の値は地球附近で  $3 \times 10^{-2}$   $\mu\text{F/m}$  から磁気圏近尾部 ( $15 \text{ Re}$ ) で  $3 \times 10^4 \mu\text{F/m}$  と全伝送路に亘って約  $10^6$  程度の変化を示す。一方  $L$  の値は各々  $1500 \text{ mH/m}$  から  $500 \text{ mH/m}$  の小範囲の変化を示す。その結果、長い伝送路に沿って、位相速度は電離層内で  $3000 \text{ km/s}$  から、磁気圏近尾部で  $10 \text{ km/s}$  と広範囲な変化を示す。特性 impedance も地球近傍で  $6 \Omega$  から距離とともに減少し、近尾部で  $4 \text{ m}\Omega$  となる。このように、空間的に不均質性の大きい伝送路上の伝搬の問題となる。

各々の伝送路の両端における不整合による反射が、Aurora Arc の多重構造、Substorm の多重開始等の複雑性の要因になる。媒体の不均質による部分反射、伝送路の始終端における不整合による反射を考慮に入れて、波動方程式の数値解の結果を示す。短い伝送路の波動伝搬時間は約  $140 \text{ sec}$  で、長い伝送路の伝搬時間は約  $1400 \text{ sec}$  で往復で約  $2800 \text{ sec}$  である。この事柄から、单一の Substorm の持続時間が約 1 時間であることが言及される。磁力管の分極帶電、電離層内の Pedersen-Joule 損失、伝送路終端電流源を考慮して、Substorm の非定常現象のエネルギー論を展開し、Substorm 諸現象、さらに、post-substorm の現象を議論する。



沿磁力線電流とそれに随伴する電離層電流の  
構造

飯島 伸 (東大・理)    福島 達 (東大・理)  
藤井 良一 (極地研)

MAGSAT 従行星(NASA)が地球上 250~560 kmで計測したペルトルモードデータから主磁場(MGST 4/81)を差引き、得た変化磁場  $\Delta B$  を地殻発生磁場(又は極子項の  $\Delta B_{\parallel}$ )と重複成分(南北成分  $\Delta B_{\perp}^{NM}$ , 東西成分  $\Delta B_{\perp}^{EW}$ )と主磁場の平行磁場成分  $\Delta B_{\parallel}$ に分解し、沿磁力線電流とそれを随伴して生じる電離層電流の構造を解析した。1979年11月, 12月, 1980年1月, 2月, 3月の間に発生した substorm 時データ ( $AE > 300 \text{ nT}$ , 部分のみ) を用いて統計的分析を行った。  
結果を以下に示す。

① (not  $\Delta B$ )<sub>||</sub> の時間変化 (ペルトルモードニシアルエフェクト) : 沿磁力線電流の密度  $J_{\parallel}$  ( $\text{amp/m}^2$ ) は、  
 $\frac{\partial}{\partial t} \frac{\partial B_{\perp}}{\partial x}$  の 2 倍であり,  $\Theta \frac{\partial B_{\perp}^{NM}}{\partial y}$  の 2 倍である。この 2 倍の  
寄与は Region 2 と Region 1 の沿磁力線電流の境界付近で最も大きくなる。從来、人々が用いた  
主な東西方向無限電流モデルによると似似に比例して、Region 2 の電流密度が Region 1 の電流密度よりも大きくなるはずとあるが、これより結果が不一致  
を示す場合がある。

②  $\text{div } \Delta B_{\perp}$  の時間変化 (スカラーモードニシアルエフェクト) : このは電離層電流の流れ。特に 1979 年 11 月,  
水平電流が人工衛星の高さで約 5 分のスカラーモードニシアルの 2 倍程度のもの。沿磁力線電流は  
直角を部分を含む。これは  $\frac{\partial B_{\perp}^{NM}}{\partial x}$  の 2 倍であり,  $\frac{\partial B_{\perp}^{NM}}{\partial y}$  は無視しえるが判  
定。このとき  $\Delta B_{\perp}^{NM}$  latitude profile は  $\Theta \frac{\partial W}{\partial x}$  (スカラーモードニシアル)  $\sim \Theta \frac{\partial V}{\partial x}$   
(電流密度)  $\sim J_y$  (電離層電流の東西方向電流密度) が成立する。このことは從来、  
示されている。今後、Region 2 + Region 1 の領域はわたる eastward auroral  
current が形成される。また Region 2 + Region 1 の沿磁力線電流の境界付近に集中して  
いる (electrojet)。今前後して Region 2 + Region 1 の領域はから westward  
auroral current はほとんどない。電流密度が Region 2 + Region 1 の境界付近で  
生じるものが 30%, 他の Region 2, Region 1 がその合計の内 11% のもの  
の集中でもある。  $\text{div } \Delta B_{\perp}$  は  $\Delta B_{\parallel}$  と併用する上ではスカラーモードニシアルエフェクト  
を考慮するに重要な役割を果す。

双極磁場内での磁気圏一電離圏相互作用： 斜め磁力線に沿う電流の地上磁場効果

玉尾 政  
(東大 理)

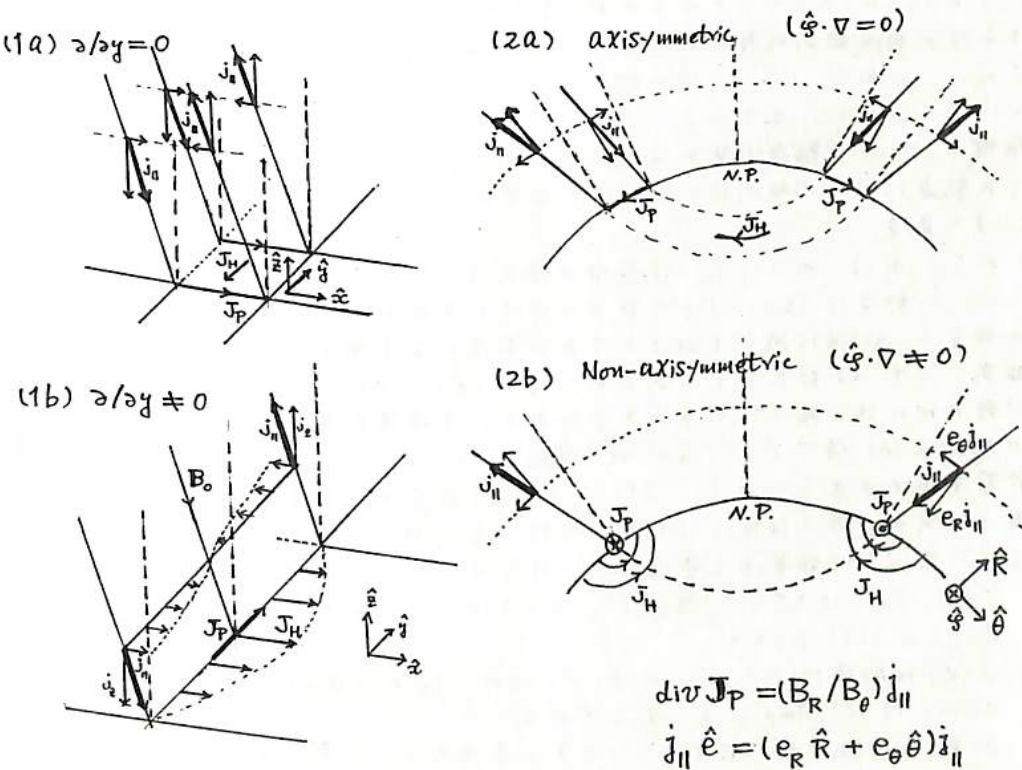
精

沿磁力線電流の地上磁場擾乱に対する考査は1969年以来、Fukushimaにより始められた。磁力線の電離層面に垂直の場合には、沿磁力線電流は電離層ペーパー上電流と結びつけて三次元閉回路を作り、その場所は磁気圏内に限られる。この場合の地上磁場擾乱は電離層中のホール電流によるものである。(Tsunya, 1964; Fukushima, 1969) 斜め磁力線の場合の沿磁力線電流の地上磁場への効果はFukushima(1975)により直流向擾乱として立場から評価された。今回は、沿磁力線電流を局所化アルベニモードに分けて電流(交流、何れの場合も含む)として立場から、その地上磁場擾乱に対する考査を行った。電離層ペーパー上電流と結びつけて三次元電流系を形成するのは、斜め沿磁力線電流の垂直成分のみである。従って水平成分は地上磁場に寄与し得ることになる。結果は、地上磁場の磁場ポテンシャルを丁度、局所化アルベニ擾乱の入射電場ポテンシャルを重ねて計算し、直流向の極限では

$$\Pi = \left[ \frac{4\pi \Sigma_H}{1 + 4\pi \Sigma_P V_A} \Phi_i + 2 \frac{B_\theta}{B} \cdot \frac{4\pi \Sigma_P}{1 + 4\pi \Sigma_P V_A} \cdot \frac{1}{\sqrt{k_x^2 + k_y^2}} \frac{\partial}{\partial y} \Phi_i \right] e^{-\sqrt{k_x^2 + k_y^2} z}$$

(Hall電流効果) (沿磁力線電流の水平成分効果)

ここで  $\Sigma_P, \Sigma_H$  はペーパーセン、ホール電気伝導度、 $V_A$  はAlfvén速度、 $k_x, k_y$  は南北、東西方向のスケールの逆数、 $B_\theta$  は双極磁場の南北成分である。従って、 $k_y/k_x \gg 1$  の効果が大きい。 $\Sigma_H / \Sigma_P \approx 2$ 、磁気緯度  $60^\circ$  では、ホール電流は磁場擾乱に対して沿磁力線電流の水平成分は約半分 ( $1/2 \sim 1/4$ ) 程度である。立場の場合には立場によって予定。



# MAGSAT衛星データによる磁気圏電流の算出(4)

鈴木亮、鬼井豊永、熊本毅  
(佐賀大教養) (京大理)

アンペールの定理  $J = 4\pi \oint H_t ds$  (emu) により、  
MAGSAT衛星データを用いて衛星軌道を横切る電流の  
強さを出す。

MAGSAT衛星の軌道面はほぼ  $06^{\circ}$  -  $18^{\circ}$  子午面に沿う。ごく大雑把には軌道面と、太陽-地球を結ぶ線は直交している。したがって、地球を止めて考えるとき、軌道面は太陽とともに地球を一日一周する(左図 1, 2...)。

一周積分  $\oint H_t ds$  を行うとき、2種類の積分路が考えられる(左下図 a, b)。図(a)は回転する地球上に軌道を描いたもので、軌道は静止している。太陽-地球系に座標系をとると軌道はその中に静止している。この積分路に沿って観測磁場を積分して得た電流を  $J(I)$  とする。観測値には主磁場を含む。同じ積分路に沿って主磁場のみを積分することができる。MGST 4/81を主磁場とするが、それを電流で表示したものを  $J(II)$  とする。

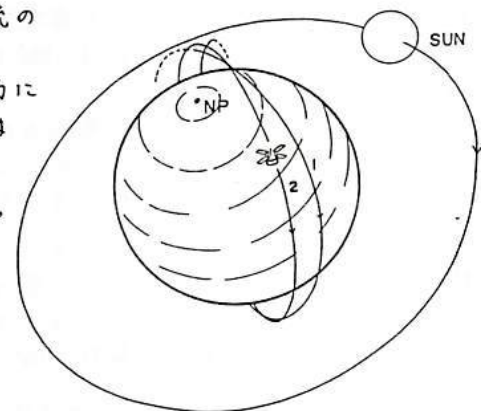
衛星の地球一周には約 94 分を要するので、一周が完了したときその軌跡を地表にプロットすると、(a)のカーブとはずれが生ずる。それは一周の始めの部分で大きく終りで小さく。この軌跡に沿って積分路をとることができ。図(b)はそのように、地球上に座標系をとて軌道を見た場合に相当する。図では2つの軌道(1と2)を描いてある。この軌道に沿って観測値を積分して結果を  $J(III)$ 、MGST 4/81を積分して得た電流を  $J(IV)$  とする。

図(a)のT、図(b)の  $T_1, T_2$  は積分の端点(上限、下限)に当るが、3点は一致しない。 $T_1 \sim T_2$  の部分は(III), (IV)の積分には決して含まれないから、 $T_1$  から一周して  $T_1$ までの積分を(a)図に移してみるとT点の前後にすき間が残る。すき間は  $35.0 \text{ km}$  足らず(時間にして 45 秒以下)であるが、積分(II), (IV)は空間的に閉じていない。

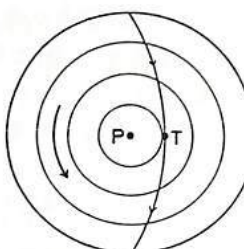
上記4種の他に積分路(5)がありそうに思う。主磁場に関する上記(II), (IV)の折衷で、積分の端点は(a)図Tでありながら、経路は(b)と違うものである。主磁場の影響は(b)で計算するのが正しいので、 $J(I) - J(V)$  を計算すると真に求めようとする電流が出来そうに思うのだが、今の段階では計算を実行していない。

現在までに得られた結果を未整理ながら列挙すると次の如くになる。

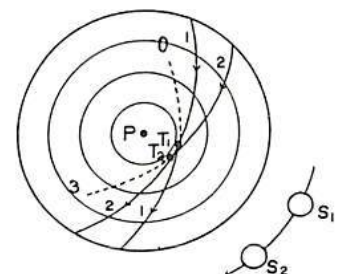
- (i)  $J(I), J(II)$  は半日(UT)変化をし、大きさは  $10^6 \text{ Amp}$  のオーダーである。
- (ii)  $J(II)$  は  $J(I)$  より大きい。
- (iii)  $J(III)$  は静穏時  $10^5 \text{ Amp}$  のオーダーだが、 $K_p$  の大きくなるとき  $10^6 \text{ Amp}$  のオーダーになる。
- (iv)  $J(IV)$  は  $10^5 \text{ Amp}$  のオーダーである。
- (v)  $J(III)$  と  $J(IV)$  は半日変化と1日変化を含むが、後者の方がやや大きい。
- (vi)  $K_p$  が大きいとき  $J$  はマイナス(太陽→夏夜中向)に当る傾向がある。



(a)



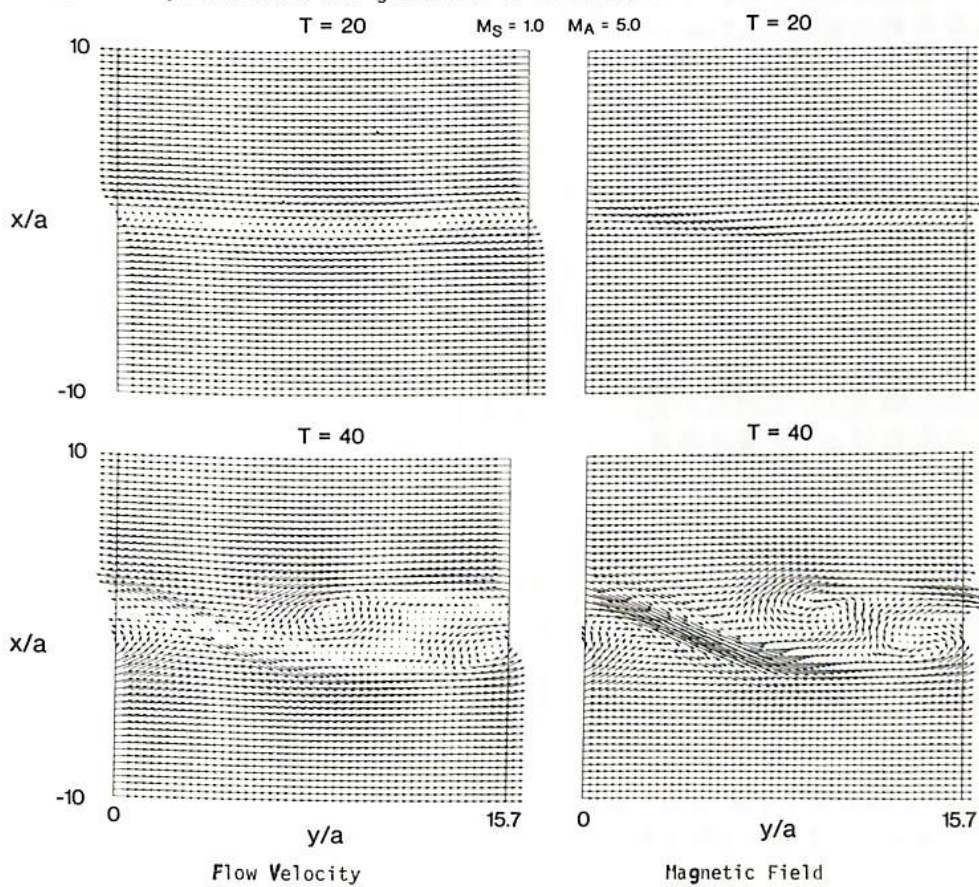
(b)



## 三浦 彰 (東大理)

The Kelvin-Helmholtz instability has long been suggested as one of the important processes to transfer momentum and energy of the solar wind into the magnetosphere. In order to evaluate the transfer process by this instability, an MHD simulation of the instability in a compressible plasma has been performed for parallel ( $V_0 \parallel B_0$ ) and transverse ( $V_0 \perp B_0$ ) configurations, which model the high latitude (or downstream flanks) and dayside low latitude magnetospheric boundaries. In the parallel configuration, a super-Alfvenic shear flow with  $M_A = V_0/v_A > 2$ ,  $M_S = V_0/c_s < 2$  (the plasma  $\beta > 1$ ), where  $V_0$  is the total jump of the velocity across the velocity shear (boundary) layer, develops into small eddies (bottom left panel), which strongly twist, compress, and hence amplify the magnetic field (bottom right panel). The plasma is squeezed out of the flux tube compressed on both sides by the incoming plasma flow to form a slow rarefaction layer. In the transverse configuration, the instability leads to the formation of a fast shock discontinuity from an initially sub-fast shear flow. The anomalous tangential stresses (Reynolds and Maxwell) become  $> 0.005\rho_0V_0^2$  for both configurations, and the energy flux across the boundary reaches as large as 1% of the magnetosheath flow kinetic energy flux  $1/2\rho V_0^3$ . The anomalous (eddy and magnetic) viscosity  $\nu_{ano}$  becomes  $> 10^{-2}\Delta V_0$ , where  $\Delta$  is the initial velocity shear scale length. These results suggest that the large anomalous tangential stress (drag) is imposed on the magnetospheric boundary, in particular, at the region far from the subsolar region, and the instability gives an efficient "viscous-like" interaction at the magnetospheric boundary.

\*Work supported by NASA under STTP grant NAGW-78 at U.C.L.A.



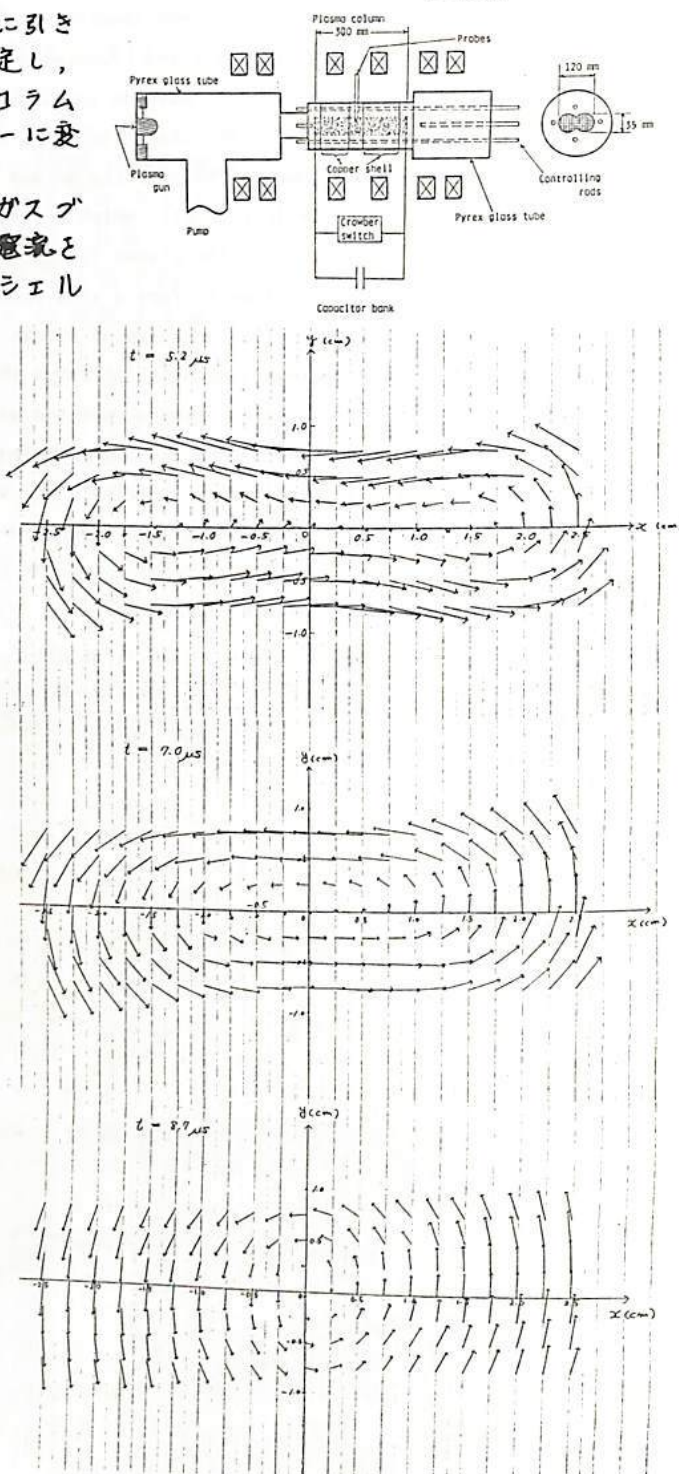
二本の平行プラズマ電流による field line  
reconnection

八木康之 河島信樹  
宇宿研

2本の平行プラズマ電流が互いに引き合ふ過程における磁場分布を詳細に測定し、コラム形成時にX型の中性点ができる、コラムが運動していくにつれO型のトポロジーに変化する様子がとらえられた。

実験は、30 cm 離したメッシュ間のガスブーム放電で行ない、2つの平行プラズマ電流を生成するためにはゆ型の断面を持つ銅シェル中に放電電流を通す。コンデンサーバンクは容量  $10 \mu\text{F}$  以下で以下の測定では充電電圧  $10 \text{kV}$  に固定した。使用ガスは Ar でガス圧は  $65 \text{mTorr}$  で行なった。

前回報告された磁場分布では測定点が粗く、コラム形成時のX型中性点は明確でなかったが、その後、磁気アローブを小型化し、且つ、先をし字型に曲げて完全に銅シェル内で測定できるように改良して測定を行なった。その結果、コラム形成時に  $x = \pm 1.5 \text{ cm}$  に中心を持つ各電流コラムを囲む磁力線 (private cell) と、2つの電流コラムを囲む磁力線 (public cell) とが存在し、従がって、原点で交叉するX型 separatrix ができていることがわかった。その後 private cell の中心は次第に原点に向かって近づき、約  $2 \mu\text{s}$  で原点に中心を持つO型の中性点に変化する。この時磁気フラックス面は横長であるのが、次の約  $2 \mu\text{s}$  で縦長に変化する。以上の変化は、コマ撮り写真撮影で輝度の高い部分が電流密度の高い部分と考えると大体対応している。又、ダブルアローブによる測定から、後半の  $2 \mu\text{s}$  の間に、y軸上で原点から離れる3方向にプラズマが射出される ( $v \sim 1 \times 10^6 \text{ cm/sec}$ ) ことがわたり、現在その機構について調べている。



## MAGSATの観測からみた Ring Current の構造

柳澤 正久, MAGSAT研究班  
(宇宙研)

地球磁気圏の荷電粒子は  $\text{grad } B$  ドリフトにより 地球を中心とした回転運動をしている。この運動による電流は ring current と呼ばれ、地球近傍では 北から南に向かうほぼ一様な磁場をつくる(図1)。しかし、この磁場は 実際には一様でなく、朝側と夕方側で 非対称であることが知られている。その説明として、ring currentが地球中心ではない(Langel and Sweeney 1971), partial ring current(Akasofu)などと考えられていて、MAGSATの観測からは 図2のようなモデル(Fukushima and Kamide 1973)がよいようである。その根拠として次のよろしい解析結果をあげる。

図3(a),(b)は MAGSATの観測から得られた 北から南に一様にかかる磁場  $E_1$  と induction によって生じた 地球中心、北向きの dipole による 赤道上での磁場  $I_1$  の和(赤道上での水平成分の減少に対応する)を Dst を横軸にとってプロットしたのであり、朝側(a)と夕方側(b)で 大きな非対称性がみられる。このような大きな非対称は、ring current の中心に 地球がないことでは説明できない。

図4(a),(b)では、地上のデータを使って 非対称性を補正した  $D$  を横軸にとって 同じようなプロットをしたが、朝夕の非対称はまだ残っている。これは 地上には影響を及ぼさないが、人工衛星の観測には影響を及ぼす 電離層に入り出す電流があるためであると思われる。

以上のようなことから、図2のように、朝夕の非対称をつくりだす電流は、電離層に流れ込んでいると考えられる。

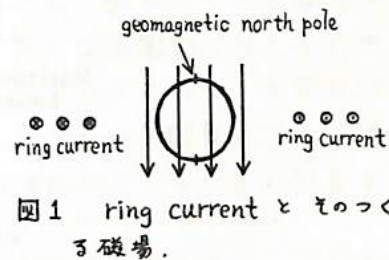


図1 ring current と そのつく  
る磁場.

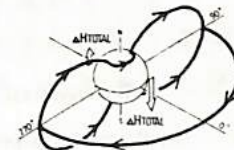


図2 partial ring current  
system.

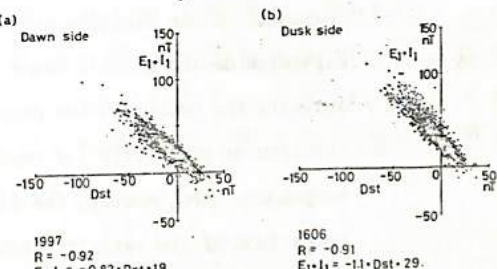


図3 縱軸  $E_1 + I_1$  は、北から南に一様に  
かかる磁場  $E_1$  と induction によって  
生じた 地球中心、北向きの dipole に  
よる 赤道上での磁場  $I_1$  の和であり、  
赤道上での磁場の減少に対応する。

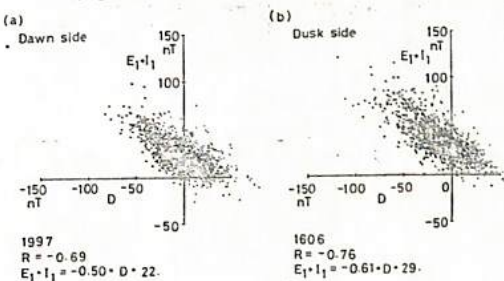


図4 D は 朝夕の非対称を 地上のデータを使って補正したもの。

OBSERVATIONS OF ELECTRIC AND MAGNETIC FIELDS  
IN THE EARTH'S MAGNETIC TAIL

A. Nishida, Y. K. Tulunay\*

Institute of Space and Astronautical Science  
Komaba, Meguro-ku, Tokyo 153, Japan

F. S. Mozer

Space Science Laboratory,  
University of California, Berkeley  
California 94720, U.S.A.

The electric field data from the University of California, Berkeley double probe experiment and the magnetic field data from the UCLA fluxgate magnetometers on the ISEE-1 Satellite have been employed in a qualitative analysis. The comparison of the  $E_y$  component and the  $B_z$  component of the electric and magnetic data respectively in the nightside of the earth's magnetic tail exhibits that during the substorm activity the motion of the plasma is enhanced. This manifests itself in the form of positively (or negatively) correlated  $E_y$ ,  $B_z$  field components when, mostly, the flow was earthward (or tailward). The comparison of the satellite data with the ground magnetograms have also been conducted in order to investigate the effects of the substorm activity on the electric and magnetic field components.

(\* On leave from the Middle East Technical University, Ankara, Turkey)

## 磁気圏側の磁気圏境界面における磁力線再結合の計算機実験

西田篤弘・星野真弘(宇宙科学研)

磁気圏側の磁気圏境界面では、磁気圏の磁場が太陽風プラズマとささえている。このために、磁気圏側の磁気圏の磁力線再結合は、磁気圏尾部での磁力線再結合(Fig 2)のような対称な形狀ではなく、Fig 1のように非対称な形狀を示す。

さらに実際には、磁気圏側の磁気圏境界面付近では、磁気シースの磁場が磁気圏の磁場とある角度をなしており、また磁気シースには太陽風プラズマの流れが存在する。このために、これまでのように2次元モデルではなく、3次元的考察が必要である。そこで、我々は、磁気圏境界面と赤道面に平行な方向に一様性( $\beta_y = 0$ )を仮定して、磁力線再結合の現象の2、5次元シミュレーションをおこなってみる。

Fig 3, Fig 4は、磁力線再結合の進行過程を示す計算結果であり、Fig 3は磁場、Fig 4はプラズマの速度ベクトルを示している。それぞれの図の左側が磁気圏右側が磁気シースに対応する。座標軸は、横軸がX座標、縦軸がY座標で、左図はX-Y成分、右図はX-Y成分を示している。このシミュレーションの初期条件は磁気圏境界面での全磁力が0にならないようにしたのである。

磁気圏境界面の一部分の抵抗が異常に高くなると、そこで磁力線再結合が起こり、プラズマはY軸方向に加速はじめると、同時にY軸方向にも少し加速される。(Time=60) それと共に磁場のY成分は徐々に弱められていく。磁場

Magnetopause Reconnection

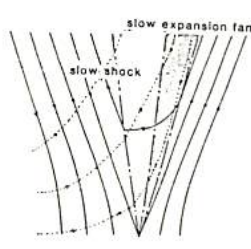


Fig-1

Magnetotail Reconnection

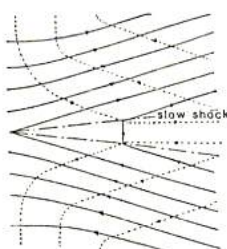


Fig-2

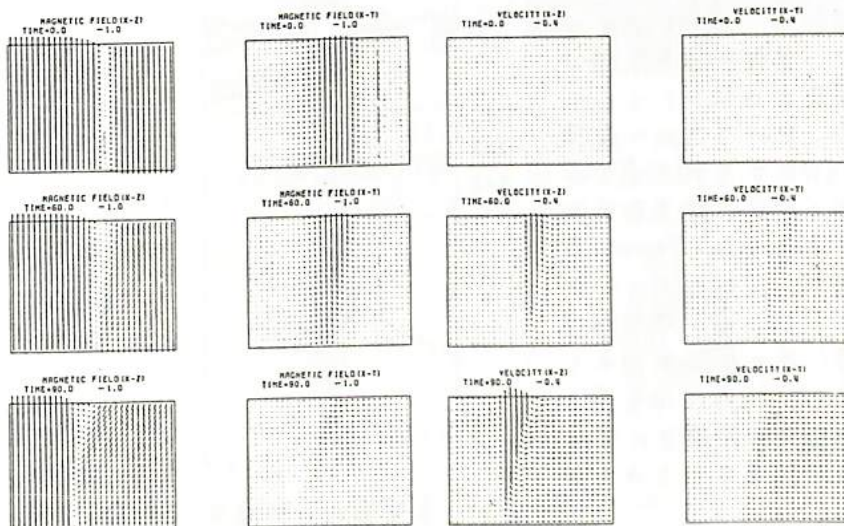


Fig-3

Fig-4

二次元 MHD モデルによる太陽風と地球磁  
気圏相互作用のシミュレーション(Ⅲ)  
荻野龍樹, 豊見治一, 鎌田哲夫 (名大空電研)

二次元 MHD モデルを用いて子午面内における地球磁気圏形成の計算機シミュレーションを進めてきたが、今回は子午面内と赤道面内における二種類の MHD シミュレーションを行なって磁気圏の形成過程を調べた。その結果、惑星間空間磁場の南北の向きに対応して、子午面内と赤道面内における定常に近い地球磁気圏の構造を再現でき、更に観測から知られている磁気圏の三次元電流系と矛盾の無い二つの面内の二次元電流系を示すことができた。

計算にはデカルト座標系 ( $x, y, z$ ) を用い、 $x_1$  平面と  $x_2$  平面をそれぞれ赤道面と子午面に対応させる。地球中心  $x_P$  は二次元 "I" ポール磁場の中心を  $(x_P, 0, 0)$   $x_P = 203$  に位置させ、 $z = 0$  の境界から  $V_{SW} = 0.044$  の速度で太陽風が流入するモデルを考える。ここに距離と時間の単位は地球半径と地球半径を Alfvén 速度で横切る時間  $t_A = R/V_A = 0.94$  s である。

惑星間空間磁場無しの場合、太陽風と地球磁気圏相互作用の結果得られた赤道面内と子午面内の準定常な

地球磁気圏の構造をそれを図 1 と図 2 に示す。磁場強度  $B_I$ 、磁束関数  $\psi$ 、プラズマ圧力  $P$ 、密度  $\rho$  は等高線で、流速  $V$  はベクトル表示で、更に  $y$  方向の電流  $J_y$  は正を○印で負を△印で示す。磁気面前面に Chapman-Ferraro 電流が、尾部のプラズマシートに負、磁気圏境界に正の電流が流れている。後者は磁気圏を循環する所謂 8 の字電流に相当するものである。

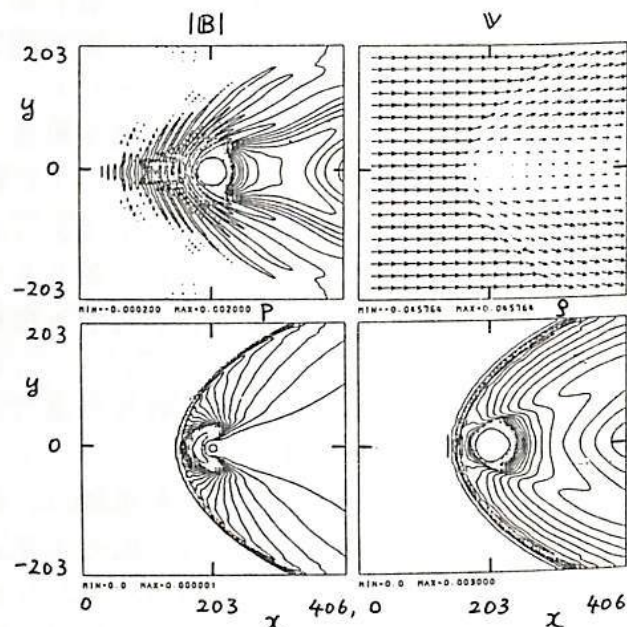


図 1. 赤道面内の太陽風と地球磁気圏の相互作用、惑星間空間磁場無し、 $V_{SW} = 0.044$  (300 km/s) に相当、 $t = 9600$ .

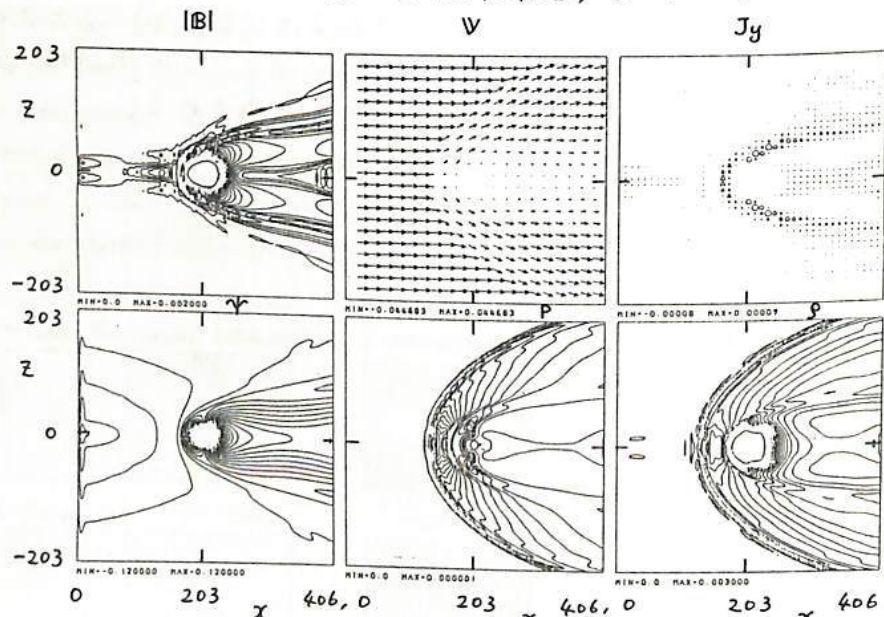


図 2. 子午面内の太陽風と地球磁気圏の相互作用、惑星間空間磁場無し、 $V_{SW} = 0.044$ 、 $t = 9600$ .

三次元MHDモデルによる太陽風と地球磁  
気圏相互作用のシミュレーション（I）  
荻野竜樹，鷲見治一，鎌田哲夫（名大空電研）

三次元MHDモデルを用いて太陽風と地球磁気圏相互作用のグローバルな計算機シミュレーションを行ない、比較的静かな時の地球磁気圏の三次元構造を示すことができた。

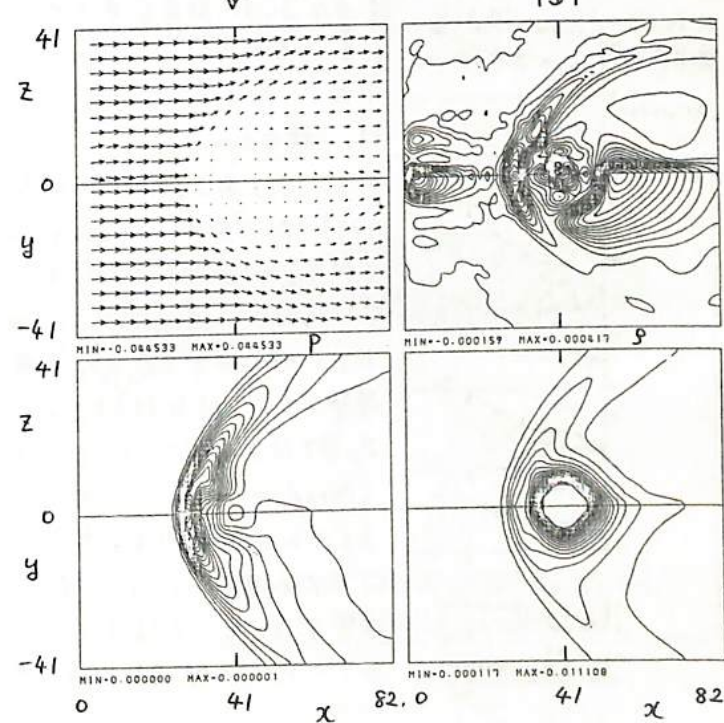
基礎方程式には一流体のMHD方程式を用い、三次元のデカルト座標系( $x, y, z$ )において初期値と境界条件を与える、2 step Lax-Wendroff法で時間発展を解く。初期値としては $(x, y, z) = (x_p, 0, 0)$ ,  $x_p = 41$ に地球中心があるとして、三次元のダイポール磁場 $B_d = \{-3(x-x_p)z/3^5, -3yz/3^5, (z^2-2z^2)/3^5\}$ , 磁場強度に比例した密度 $\rho = 3^{-3}$ 、プラズマ圧力 $P = P_0 3^{-2}$ を与える。ここに、 $\beta = [(x-x_p)^2+y^2]^{1/2}$ ,  $\delta = [(x-x_p)^2+y^2+z^2]^{1/2}$ ,  $P_0 = 2.68 \times 10^{-7}$ である。一方、太陽風は密度 $\rho_{sw} = 5 \times 10^{-4}$  ( $5 \times 10^6 \text{ m}^{-3}$ の数密度に相当), 圧力 $P_{sw} = 1.78 \times 10^{-8}$  及び速度 $V_{sw} = 0.044$  ( $300 \text{ km/s}$ )で $x=0$ の境界から流入し、地球磁気圏に吹き付ける様なモデルを考える。

境界条件は $x=0$ で固定端,  $y=z=0$ でミラー反射条件,  $y=z=41$ で太陽と地球を中心を結ぶ軸に対して $45^\circ$ の角度をなす自由端の条件を課し、更に $3 \leq \beta_a (\approx 5)$ では物理量は変化しないと仮定する。シミュレーションで規格化した量を用い、距離は地球半径 $r_s = a = 6.37 \times 10^6 \text{ m}$ , 磁場は地球半径赤道上の磁場 $B_s = 3.12 \times 10^{-5} \text{ T}$ , 密度は電離圏から外挿された地球半径の密度 $\rho_s = m_i m_s$  ( $m_s = 10^{10} \text{ m}^{-3}$ ), 速度はAlfvén速度 $V_A = B_s / \sqrt{\mu_0 \rho_s} = 6.80 \times 10^6 \text{ m/s}$ , 時間は $t_s = r_s / V_A = 0.94 \text{ s}$ を単位とする。又計算のメッシュ数は境界を含めないで $(N_x, N_y, N_z) = (40, 20, 20)$ であり、又差分の空間と時間の幅はそれを $\Delta x = 2$ と $\Delta t = 3$ である。

惑星間空間磁場が無い場合、太陽風と地球磁気圏の相互作用の結果から得られた比較的静かな時の準定常な地球磁気圏の構造を図1に、プラズマ圧力 $P$ 、プラズマ密度 $\rho$ 及び電流強度 $|J|$ は等高線で、流速 $V$ は矢印のベクトル表示で示す。図で上半面(xz平面)が子午面に、下半面(xy平面)が赤道面に対応した二つの断面図である。対称性を仮定しているので、全体の本の領域を解けば良く、そのため計算している領域は $0 \leq x \leq 82$ ,  $-41 \leq y \leq 0$ ,  $0 \leq z \leq 41$ である。

圧力と密度分布から磁気圏の構造、即ちbow shock, plasma sheetの形成が、流速 $V$ から磁気圏のグローバルな対流がみられる。

図1. 太陽風と地球磁気圏の相互作用の三次元MHDシミュレーション、上半面が子午面、下半面が赤道面に対応する、惑星間空間磁場無し、 $V_{sw} = 0.044$  ( $300 \text{ km/s}$ )に対応、 $t = 1920$ 。

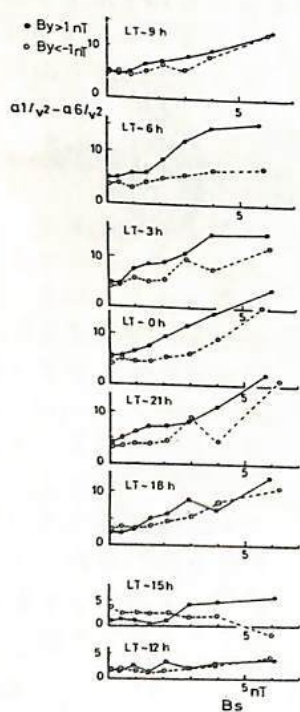


## IMF - By 成分による地磁気活動度の 南北半球非対称性 — Local Time 依存性 — (Ⅳ)

芳沢克明, 前沢利, 村山喬 (名大理)

地球の南北半球で、同時に観測された geomagnetic activity の間には、系統的な差があり、それは IMF の By 成分に依存する。即ち、By 正の時は北半球で、負の時は南半球で、それぞれ相対的に activity が高い。過去 2 回の学会報告では、南北半球の中緯度帯に於ける地磁気活動度を示す an, as index を用いて、南北非対称性を起こす IMF - By 成分の効果が、substorm の発達と強く関連していることを示した。

an, as 示数は、もともと南北の sub auroral 帯(地磁気緯度約  $\pm 50^\circ$ )に分布する station 群(北で 5つ、南で 3つの group)で観測された地磁気活動度(個々の group に於ける平均の K を  $a_i$  に変換したもの(Mayaud(1967)))を、南北別に平均した示数であり、hemispherical な activity を示す。今回の解析は、an, as に寄与する各 station 群に於ける activity  $a_i$  ( $i=1 \sim 8$ )を用いて、南北非対称性の Local Time 依存性を調べた。下図は、ほぼ conjugate な 2 つの group(平均地磁気緯度経度で、1; ( $46^\circ, 219^\circ$ ), 2; ( $-47^\circ, 220^\circ$ ))の  $a$  を用い、北と南の activity の差を各 LT ごとに、Bs (IMF の南向き成分)に対して plot したものであり、黒丸と白丸はそれぞれ By 正負の場合である。その際、activity が太陽風速度  $V$  に依存することを考慮に入れて、その影響は補正してある。図から解る様に、昼間側 (LT ~ 12h) を除く、殆どの Local Time で、南北の差は、By 正の場合が、負の場合より大きく、更にその差は Bs の増大と共に大きくなる。この効果は真夜中付近から朝方にかけて顕著に見えるが、一方、夕方側 (LT ~ 15, 18h) では、Bs の小さい値で、傾向が逆転しており、By 負の場合が、正の場合より大きい。この朝方と夕方の相違は、一種の dawn-dusk asymmetry と考えられ、ある意味では期待されることがある。即ち、高緯度帯での電離帯レベルでは、種々の IMF - By 成分に伴った dawn-dusk asymmetry を起こす現象が知られており、その効果がある程度中緯度帯にまで及ぶことは予想される。しかしながら、図に於て、夕方側の By 効果が逆転しているのは、Bs が小さい時のみであり、Bs の増大と共に他の LT 同様に、By 正の方が優勢となり、結局、殆どの Local Time で常に By 正では北半球で、By 負では南半球で、activity が高くなることを示す。そして、このことが、global な scale (an, as) で見た南北非対称性をに寄与しているものと考えられる。



以上の様に、LT 別に見た南北非対称性は、Bs の大小によって性質が異っている様であり、中緯度帯で見た activity は、Bs の小さい時と大きい時で違う電流系の容子を反映している様である。

## 太陽風 Corotating Structure の大規模構造

前次演習、鷲田和幸  
(名大理) (中部工大)

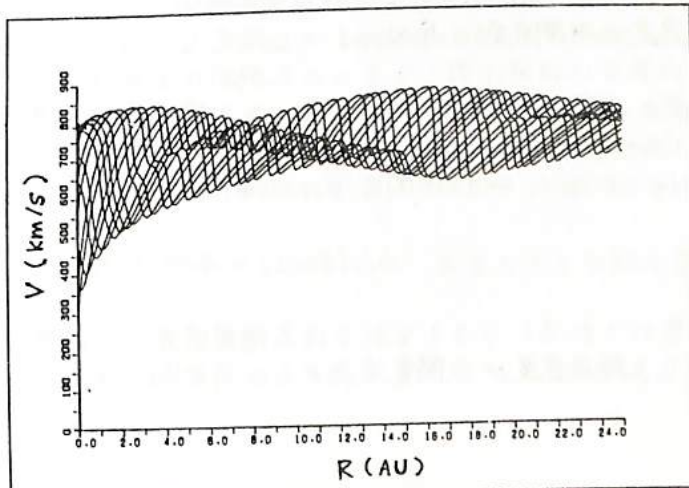
太陽風中の Corotating Structure が、木星の軌道を越えてようやくに広がる時、どのような構造に発展するかを、Simulation の方法を用いて調べた。Fluid in Cell の方法を用いて流体方程式を解き、回転系での空間微分と、静止系での時間微分が等価になることを用いて、2次元の問題を1次元の時間発展の問題に直して解いた。(太陽風の速度ベクトルは、ほとんど radial と仮定する) 境界条件としては、 $r_0 = 0.05 \text{ AU}$  に Inner Boundary をおき、そして時間的に変化する速度を与える。例えば、1 Solar Rotation に 27 の High Speed Stream がまわってくるような Situation を考えよ。境界条件の例は、 $V_{\max} = 775 \text{ km/s}$ ,  $V_{\min} = 300 \text{ km/s}$ ,  $T_0 = 100 \text{ eV}$ ,  $N_0 = 2000 / \text{cm}^3$  Outer Boundary ( $r = 25 \text{ AU}$ ) は Free Boundary とする。

<結果>

よく知られているように、Interaction Region をはさんで Forward Shock と Reverse Shock の Pair が  $r \approx 2 \text{ AU}$  で形成されるのが観測される。面白いのは、ようやく Simulation を進めると、Interaction Region が発達して広がり、ついには、Interaction Region と Interaction Region の Merging が  $r \approx 15 \text{ AU}$  (この数字はもちろんコトナの境界条件に依存する) で起こることである。(これは、Interaction Region が、アラズマをかき集めながら成長するため、 $r \approx 15 \text{ AU}$  に致ると、やがてアラズマの Interaction Region が食いつくされたためである) この附近では、Density Profile が平坦となる、Interaction Region が消滅したように見える。Velocity Profile には大きな山谷が残っていきため、ようやく  $r \approx 20 \text{ AU}$  に致ると、Merge して Interaction Region の中から新たな Shock Pair の形成が始まる。このように、太陽風の Shock Pair は、太陽圏の内部において、数回、消滅(Merging)と生成の過程をくり返して、太陽圏外壁に致ると考えられる。この構造は、銀河宇宙線の太陽圏への侵入経路を考え上でも、重要なポイントにまとめと考えられる。ここで述べられなかつたが、論理では3次元構造にも含まれるつもりである。

<図の説明>

$V$  (太陽風速度) vs.  $R$  (軌道距離) の 70 ファイルを時間をおいて重ねた図 (1年1本の線がある時刻の Snapshot)。しかしながら、このようなに見える領域が、Forward Shock と Reverse Shock の Pair の存在する領域。 $14 \text{ AU} \leq r \leq 19 \text{ AU}$  の領域で Shock Pair が消え、 $r \geq 20 \text{ AU}$  で新たな形成が始まることがわかる。



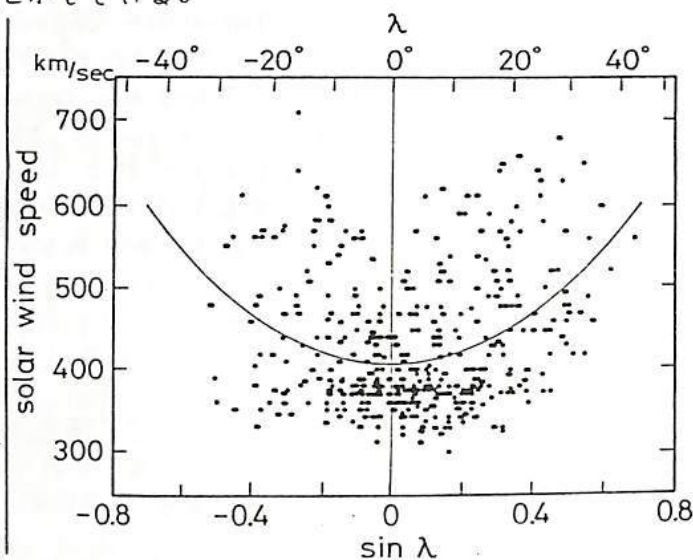
## 太陽風速度の時間変動の原因

猪田和幸，宗像義教  
中部工大

1973年に行われたSkyLabの実験により、コロナ中に太陽の極域から赤道へ伸びた、コロナルホールと呼ばれる暗い領域が発見され、これが高速太陽風の源因となっていることが示された(Zirker, 1977)。また惑星間磁場と太陽磁場との関係を表すために、太陽電流曲面という概念が導入されてきている(Alfvén, 1977)。これら太陽風速度と惑星間磁場極性との関係をさらに追及し、Hakamada and Akasofu(1981)は、太陽電流曲面の振幅の時間変動と太陽風速度の太陽磁気緯度依存性の仮定により、太陽風速度と惑星間磁場極性、両者の時間変動のかなりの部分が説明できることを示した。その後、Zhou and Hundhausen(1981)は顕著な回帰性を示す1974年の太陽風データを用いて、太陽電流面が純粋な正弦曲線で表される構造を持つという仮定のもとに、太陽風速度の時間変化が速度の磁気緯度依存性と、う空間的变化によりかなりよく説明できることを示している。

今回我々は、Hoeksema, Wilcox, and Scherrer(1982)により、ポテンシャル磁場の仮定のもとに太陽光球磁場から計算されたコロナ磁場を用いて推定された、1976年5月から1977年8月までの18 Carrington rotationsの間の太陽電流曲面の構造と、同じ時期に人工衛星により観測された太陽風速度との関係を直接比較した。この期間、太陽電流曲面は、1 Carrington Rot. の間に2つの山と2つの谷を持つ構造をして居り、これに対応して惑星間磁場は4セクター構造をして居た。このとき平均的には、Sawyer(1976)が統計的に示し、

Hakamada and Akasofu(1981)が太陽風速度の時間変動の原因の1つと仮定したように、1つのセクター、従って太陽電流面の1つの山あるいは谷に対して1つの太陽風の山が対応していることがわかった。太陽風速度が一定と仮定して、地球近傍で観測した太陽風速度の値を太陽近傍にまでとし、それに対応する Carrington Longitudeにおける地球の太陽電流面からの角距離( $\lambda$ )との関係を調べた(上図)。上の( $V - \sin\lambda$ )相関図中の曲線で示されるように、太陽風速度、 $V$ 、は  $\lambda$  によく



$$V (\text{km/s}) = 409 + 385 \sin^2 \lambda$$

と表わされる。こうして我々は太陽風速度と太陽電流曲面の構造とを直接比較することにより、太陽風速度が太陽電流面からの角距離と共に増加していることを確かめた。

佐野幸三・斎藤龍雄  
気象庁地磁気観測所

最近、斎藤(東北大)らにより太陽磁気圏の顕著な太陽周期変化が研究され、多くの関連する地磁気・宇宙線現象等が、太陽磁気圏の Two-hemisphere model による統一的に説明されようとしている。一方、丸橋(電波研)らは太陽面現象と磁気嵐の関連について討ての対応づけを行ない、磁気嵐の原因となる太陽面現象の解明と回帰性磁気嵐と太陽磁気圏、IMF構造の関連性等について研究している。

このようすを最近の太陽面現象、太陽磁気圏の研究結果と関連させて、地磁気諸現象の特性の太陽周期依存性を調べ直してみるには興味あることである。この観点から今回は地磁気現象のうちで最も顕著なものである磁気嵐についての解析結果を報告する。

解析に用いた磁気嵐資料は 1924 ~ 1981 年期の柿岡、1958 年以降は女満別・鹿屋も加えたもので、主体は地磁気観測所が報告してくる磁気嵐リストによるものである。解析は各種の磁気嵐 (SSC, Sg, SC\*) の出現および規模 (SC, storm-range 等の大きさ) と太陽活動度 (黒点数) の相関性を確認し、それらの季節変化、日変化の太陽周期依存性に重点を置いていたもので、特に今回はその出現特性を中心にして報告する。

解析結果の概要は次の通りである。

1) SC-嵐の平均的な出現季節変化は夏期に多く、冬期に少ないので年間変化と春・秋期に多い半年周期があるが、この特性は太陽周期により大きな違いがある。(Sg 日あたり太陽周期依存性はなく、春・秋期に多く出現するといふ半年周期変化が卓越している) これは季節変化が比較的顕著な回帰性のものと偶然性の強いフレー型非回帰性のものとが、各期により 1/3 ~ 1/3 の比率で混在するためと考えられる。

2) 磁気嵐発生数と太陽活動度 (黒点数) の経年変化には高リ相関があるが、両者の月平均値間 (短周期変化を意味する) にはそれがほど高リ相関がないことはよく知られており、サイクル 19 以降の極大期には 1 ~ 2 ヶ月の位相差を考慮すると、かなり高リ相関があることがわかった。これはこの期間黒点・フレー・磁気嵐といふ一連の現象が密接に連絡しているからと思われる。

3) 磁気嵐の出現日変化については、1 日周期と半日周期変化があることはよく知られており、これも太陽周期および季節により大きく違っている。各期毎に様々な年間変化と半年変化よりも場合によより 1/4 日変化が卓越している。

4) SC\* の出現季節変化、日変化にも太陽周期依存性が顕著に見られる。また、SC\* の発生率 (SC-嵐の SC\* である比率) は毎年の不規則な変動があるたがて、やゝ年々増加傾向にあるといふ経年変化が見られる。しかし、SC\* 発生率の経年変化には顕著な太陽周期変化は見られない。

5) 巨大磁気嵐の発生には 22 年周期性があることが知られており、最近の大きな磁気嵐はその発生時期に当っている。

## 太陽の磁場構造と地球近傍の太陽風

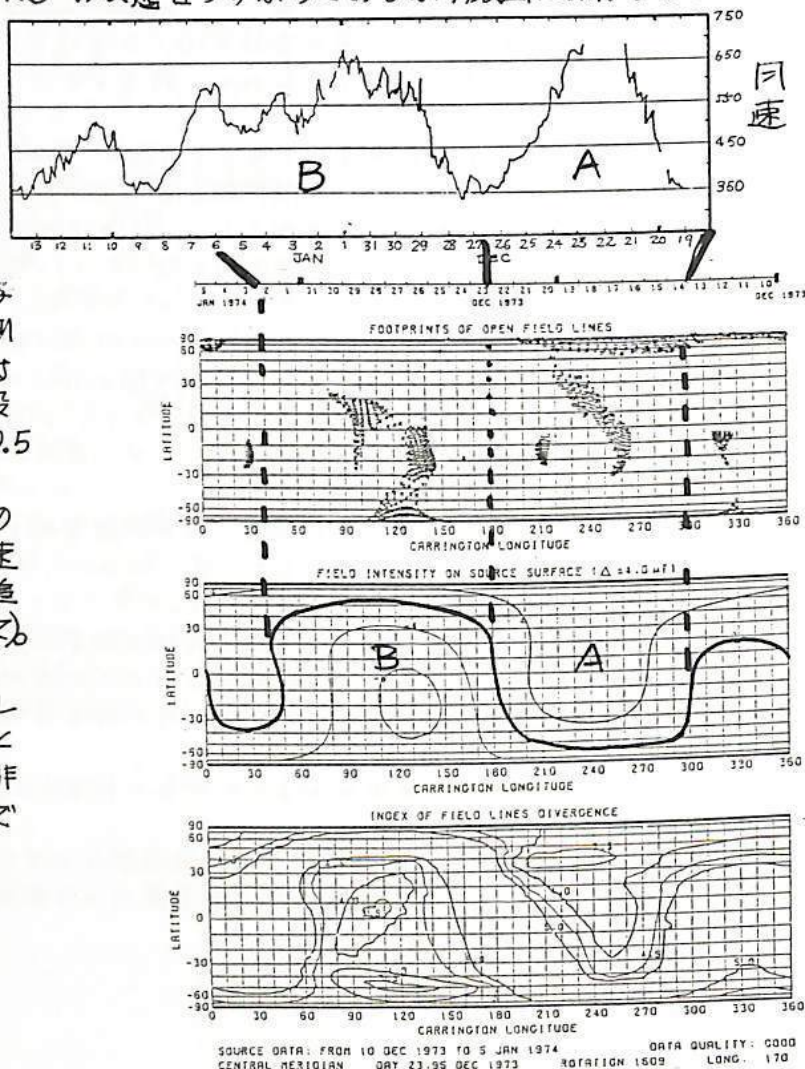
渡辺成昭, 丸橋克英  
電波研究所

Burlaga et al (1978) は太陽磁場と太陽風を比べ、コロナホールよりも、太陽表面で、磁力線が集中する所に太陽風のふき出し口があるのではなくいかと述べた。もちろん、コロナホールが太陽風ふき出し口である事は確かと思われる。我々は同様に実測データによる球面函数展開 ( $m = 9$ ) を用いて、太陽の磁場構造と地球近傍太陽風を比較した。太陽活動の静かな時を大雑把に述べると

- \*  $2.5 R_{\odot}$  の所で磁力線が放射状になるが、そこでセクターを決める Neutral line が、 $r = 1 \text{ AU}$  のセクターに伴う流速分布をほぼ決していると思われる。
- \*  $r = 2.5 R_{\odot}$  の磁場と磁力線の根元の磁場を比較し、 $B(2.5 R_{\odot}) = B(R_{\odot}) \times (R_{\odot} / 2.5 R_{\odot})^m$  と置いた時の  $m$  の値が小さい領域が赤道近くに来た時、太陽風速度は早く、かつ長期にわたる場合が多い。
- \* 磁場は基本的に  $2.5 R_{\odot}$  の状態を守りがちであるが、厳密に保存するわけではないようである。

これ等から、大雑把に次の事が考えられる。

$2.5 R_{\odot}$  でセクター構造が決まる。太陽から離れるにしたがい磁場エネルギーは、流出の粒子の運動エネルギーに比べ圧倒的に小さくなる。その後は粒子の運動(流出)が主役となる。すなはち流速は  $2.5 R_{\odot}$  で一たん決すると、Parker 波の考え方とのままで  $1 \text{ AU}$  に達する(高速太陽風が遅い太陽風に追いつくと云う効果は別として)。反面、磁力線は「引き役」となり、特に、熱エネルギーが、磁場エネルギーと同程度になると、種々の非線型効果により、やがて来る事が考えられる。



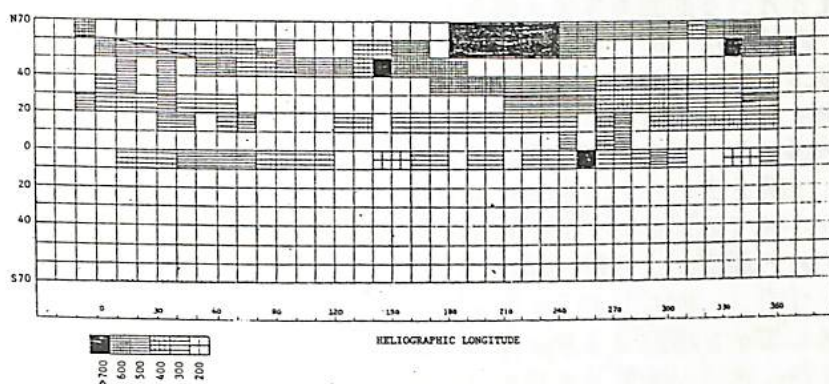
## 太陽近傍および高緯度帯の太陽風

柿沼隆清，小島正宜  
(名大空電研)

UHF帯の電波(327MHz)の惑星間空間シンチレーションを利用する太陽風観測の特徴の一つは、高緯度帯や太陽近傍(0.1AU近く)の太陽風が観測できることである。この特色を生かして今年の4月～6月に行なった観測結果を報告する。

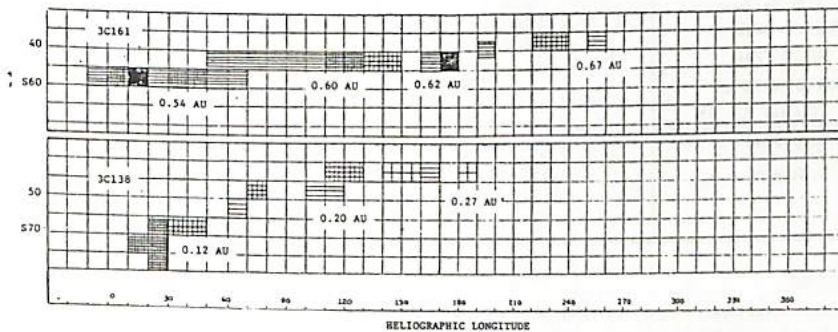
## (1) 高緯度高速太陽風

下図はシンチレーションで観測された太陽風の速度を太陽表面上に表したものである。経度210度、緯度60度以上の高緯度帯には700km/s以上の高速太陽風の源があり、これはコロナホールに対応している。さらに、この高緯度高速太陽風源から斜めに低緯度帯にもかって500km/s以上の高速太陽風の領域がひいている。



## (2) 太陽近傍での太陽風

5月末から6月初めにかけて電波源3C138と3C161のシンチレーションで観測される太陽風は、太陽面上の同一領域から流れ出したものである。しかし3C161は、太陽から0.54～0.6AUの距離での太陽風を観測しているのに対し3C138は太陽に近く0.12～0.3AUの所の太陽風を観測している。両者の観測の比較より0.1～0.6AUの間で太陽風の速さが200～300km/s程度速くなっていることが判る。しかし極域コロナホール(緯度60度以南)からの太陽風は0.1AUの距離にありすでに600km/s以上になっており0.5AUでの速さと大差はない。



# SOLAR SOURCE SURFACEにおける 太陽風速度の経度および緯度分布

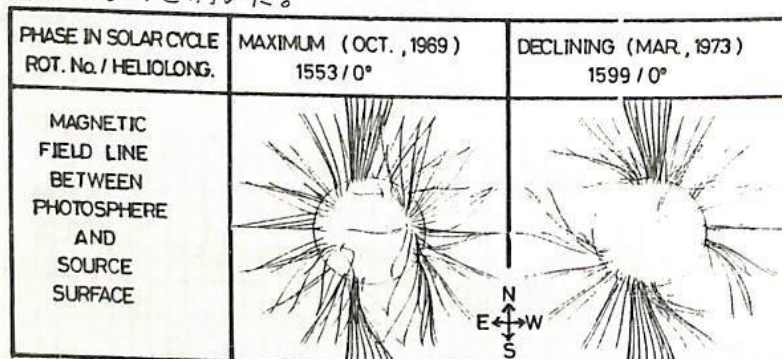
村上広史・斎藤尚生  
(東北大・理)

**序** 高速太陽風の源として、コロナ・ホールや磁力線の開いた領域が議論されてい  
る。太陽風が高速になる領域は、コロナ中の開いた磁力線のうち、開き方が少ない所で  
あることが、Durney and Pneuman (1975), Levine, et al. (1977) 等によって報告され  
ている。この原理に基づき、太陽風パラメータの、特に速度分布について、緯度経度の  
2次元面内の構造変化を数値解析的に求め、IPS(Interplanetary Scintillation)の観測  
及び人工衛星による観測との比較検討を行った。また、IPSの観測資料のない極大期に  
ついても数値解析を行い、極大期には磁気中性面が heliographic equatorial plane に対し  
てほとんど直交するという前回の学会の結果とも比較する。

**数値解析** 数値解析に用いた基本方程式は、Durney and Pneuman (1975) により展  
開された式である。Solar source surface ( $2.5R_{\odot}$ ) の内側では、ポテンシャル理論か  
ら求めた磁場に沿って、MHD方程式を展開し、外側では、無磁場の太陽風の方程式を用い  
た。いずれの領域においても、熱伝導のエネルギーの流れを考慮し、運動量保存とエネ  
ルギー保存を満たす解を求めた。Solar source surface をはさむ、内外の領域の境界で  
は、温度と密度が一致するように、エネルギーと粒子の流束を定める。本講演では、磁  
力線に沿った方向の方程式による数値解析だけが述べられ、磁力線に垂直な成分の平衡条  
件は議論されていない。即ち、ポテンシャル理論による磁場の妥当性を前提としている。  
この妥当性が正当か否かを検証する為に圧力平衡かどの程度成立しているかについて、数  
値解析的な吟味を行った。通常の太陽風の理論では、たとえば、太陽風速度は地球近傍  
での観測値より値が小さく、観測値と計算値を直接比較するには困難があるので、今回の  
数値解析においては、2次元面内の相対的分布にのみ注目して比較研究を行った。

**データ** 数値解析に用いた磁場のデータは、Newkirk et al. (1973) によって求め  
られた、レジヤンブル展開の係数を用い、オ1図のような開いた磁力線に沿って、数値解  
析を行った。一方、コロナ下部での温度と密度のデータが必要となるが、適当な観測デ  
ータがないので、本講演においては平均的な値を用いた。IPSのデータとして、Sime  
and Rickett (1978) のものを用いた。

オ1図



## References

- Durney and Pneuman (1975) Solar Phys., 40, 461.  
Levine et al. (1977) Ap.J., 215, 636.  
Newkirk et al. (1973) NCAR Technical Note.  
Sime and Rickett (1978) J.G.R., 83, 5757.

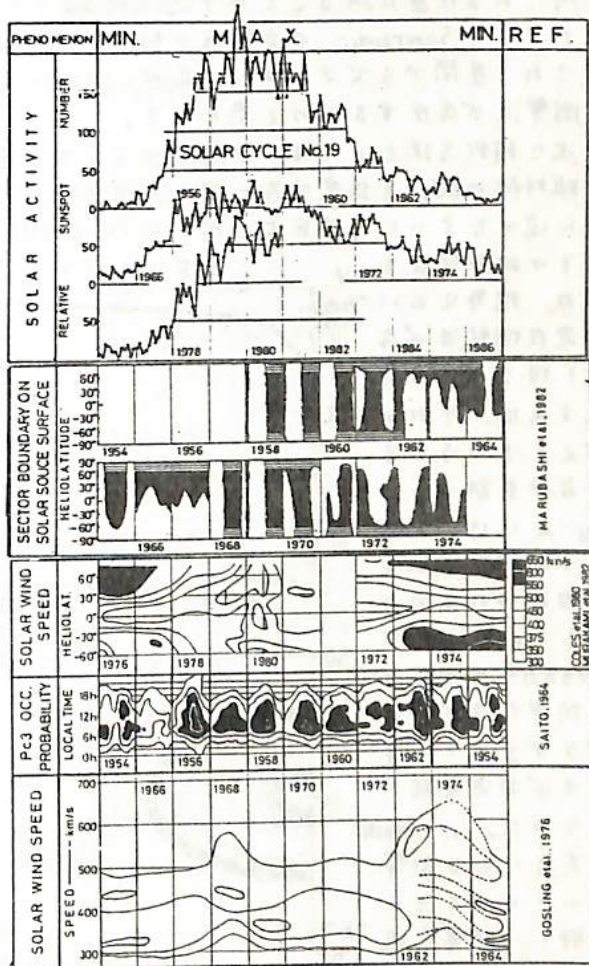
## 極大期に重点を置いた太陽磁気圏の11年周期変化

斎藤尚生・村上広史  
(東北大・理)

太陽磁気圏が一枚の warped neutral sheet によってそれぞれaway, toward の極性を持つふたつの半球に分けられることはほぼ定説化されたとみなしてよい。又、太陽赤道面に対し current sheet が時に數十度傾くことも一部に異論を残したまま広く支持されるようになってきた。然しこのような傾きに関する観測事実は必ずしも普遍的な solar cycle variation のうちの 1 phase としては一般的に捉えられていない。まして solar cycle の maximum phase に太陽極冠磁場極性の反転に伴なつて heliomagnetosphere の磁気中性面がどの様な進化を遂げるかについては、未だに議論が大きく分かれどころである。これら極大期における heliosphere についての考え方を整理すると主に三つの model に大別される。

そのうちオ1の model は、極小期の二半球構造が、極大期には一旦 random に破壊されたり後、次の極小期までに次第に逆転した二半球構造が現われるという model であり、これを支持する研究者は非常に多い。オ2の model は、極大期には 4-sector の boundary が高緯度まで伸びるという説であるが、反転の詳しい process については random であるという表現のみで必ずしも明確な提言はなされていない。オ3の model は maximum phase に時々 中性面が 2 枚になる等 random fluctuation が大きくなるが、基本的には二半球構造を保ったまま「回転反転」をするという考え方である。

本講演では先づいろいろな solar, interplanetary, 及び terrestrial phenomena の時間変化をオ1 図の形式で solar cycle variation として整理した。それぞれの現象間の関係を二半球構造との関連において説明し、特に maximum phase に焦点を置いて、上記のうちのオ3の model が最も妥当であることを明らかにする。



第 1 図

## 太陽圏境界における定在衝撃波について

堀 幸久 鷺見 治一 萩野 勇樹  
(名大工) (名大 空電研)

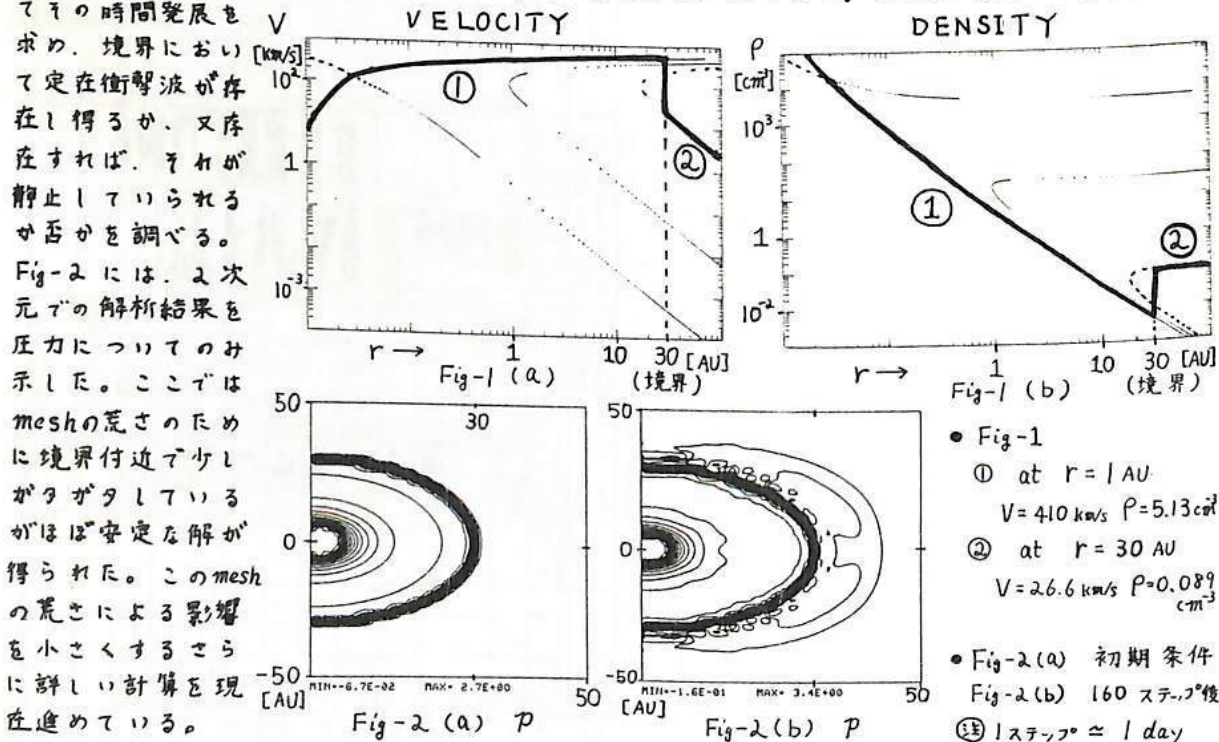
太陽風プラズマと星間ガスとの境界に定在衝撃波が存在する可能性についての解析を行なっている。

最近、Soft X-rayの観測から、太陽系は hot plasma の中に存在しているだろうという事が言われている。そこで我々は、太陽系周辺の Interstellar gas を希薄な完全電離プラズマと考え、それと太陽風との相互作用を取り入れ、太陽圏の境界について考察する。

太陽風の動圧と、今考えている星間プラズマの静圧とがバランスする所があり、そこを先ず、太陽圏の境界と仮定する。そして理論的にみて、距離の遠い所では、速度はほぼ一定で密度が距離の2乗に比例して減少し、無限遠方では逆に、密度がほぼ一定で速度が距離の2乗に比例して減少するような状況が考えられる。従って境界よりも内側では前者の条件を満足する Parker's Supersonic の Sol. (Fig-1の①) が、又外では後者の条件を満足する星間プラズマの解 (Fig-1の②) が存在するはずである。さらにこれらの両媒質の間の jump を満足させる条件が Rankine-Hugoniot の関係であり、この関係によってその境界がただ1ヵ所、ある位置に決ることが予想される。

以上より、Supersonic の太陽風が静止していると思われる境界付近で、Subsonic にまで減速され、星間プラズマの中へと広がって行くことを考えると、その境界付近では、定在性の衝撃波が存在するものと思われる。

次に解析方法としては、太陽風プラズマも星間プラズマも、等方的であると考え、流体の球対称 model を仮定する。但し、簡単のため磁場の影響は無視する。初期条件としては、先に述べたように、境界より内側は Fig-1 の ① の解を、外側は Fig-2 の ② の解を入れる。そしてその時間発展を  $V$



## 太陽風プラスマの計算機シミュレーション(Ⅱ)

鶴見治一 萩野竜樹 小島正宜 柿沼隆清  
名大空電研

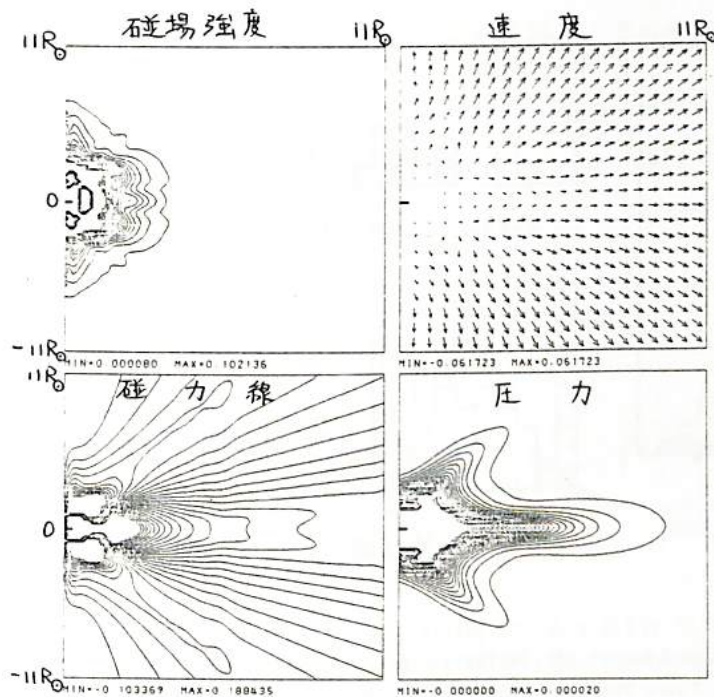
我々は2次元MHDモデルによる太陽風プラスマの計算機シミュレーション解析を進めている。前回(オクノ回)は太陽表面の磁場を双極子配位とした時の定常解を示した。これを出発点として、太陽表面の磁場配位が複雑な場合についての定常解も求め得る可能性が出て来た。一方、計算の途中で、Kelvin-Helmholtz不安定性らしき不安定性が表れ、定常解を得るに至らない場合もある。従って、不安定性の同定及びその発生条件を調べておく必要がある。

又、双極子磁場配位とした時の定常解では、太陽風速度が観測値よりもはるかに小さき。例えば、観測では、極域で $\sim 800 \text{ km/s}$ であるが、我々の計算では、断熱指数を等温に近い値(1.05)としているにもかかわらず、 $\sim 400 \text{ km/s}$ の値しか得られない。従って、何らかの加速機構を計算に組み入れて定常解を求めて行く必要がある。

以上の考察より、当面の目標として、

- (1) 太陽表面の複雑な磁場配位に対応した定常解の解析
  - (2) 波動不安定性のスペクトル解析
  - (3) Alfvén波による加速効果を組み入れた定常解の解析
- を考えている。

例として、(1)で、6重極子磁場配位の場合の計算を下図に示す。これは、中緯度帯にコロナホールがある場合の解に対する。



朱邦耀, 和田雅義  
理研

太陽粒子現象(SPE)として宇宙線中性子計強度突増(GLE)と, PCAを用いた。[Duggal, 1979]。一方CFI [Dodson et al., 1971, 1975, 1981]は ionizing radiation, H<sub>2</sub> flare, ~10 cm. flux, dynamic spectrum, ~200 MHz flux の5要素からつくったものである。SPEに対応するCFIを拾った。GLEは、時刻[Kodama et al., 1977]で合せたが、PCAは時刻不明なので、CFI ≥ 7 のある例のみ用いた。

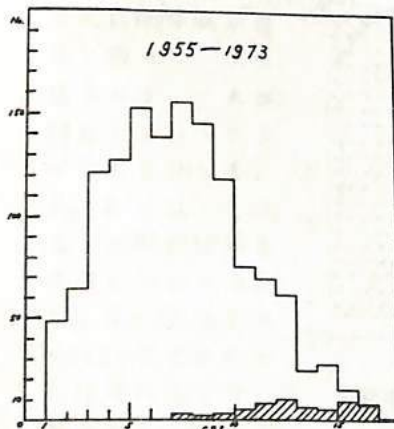
第1図はCFIの頻度を示す。そろじちのSPEはハッチをした。明かにCFIの大きさと方角に対応がよくなる。

第2図はCFIとSPEの経度分布である。SPEの東西効果が明かである。以上のうちCFIが大きいが対応の無いものについては、1)PCAはおこさないが、空間で数へ数10 MeV 粒子で検出されたもの、2)経度効果で検出不能のもの、3)粒子放出の無いもの等にわかれると。さらには3)はCFIの5要素に別けてみたとき、発生機構の物理と合う。

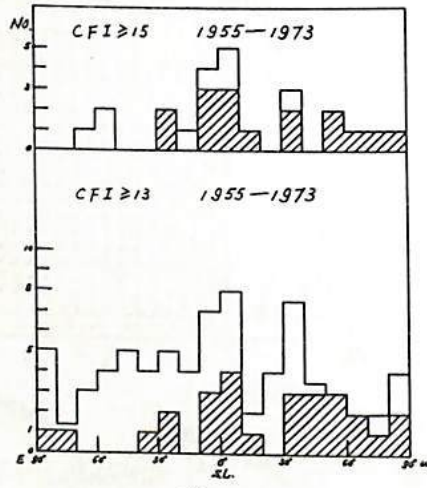
第2図からCFIそらものに経度効果の存在が暗示される。第3図はCFI ≥ n, n = 1, 4, 7, 10, 13 を示す。1955-1973をまとめた。このうちn ≥ 7 について統計した。経度80度以上は縁の効果があるうござき、視線方向に投影した面積が多くの頂と、経度に関係する項とを含めた。10度ごとにまとめてあるので、

$$y = a \{ [\sin(\theta + 10^\circ) - \sin \theta] + c \}$$

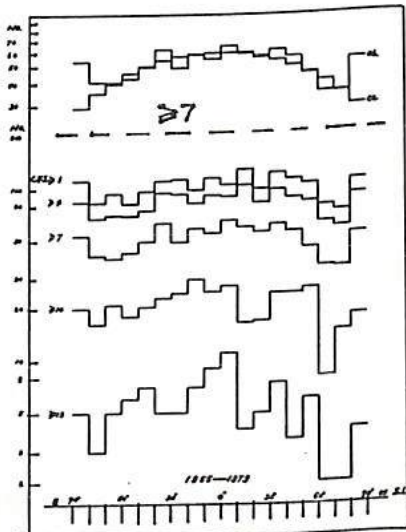
として、最小二乗法でとした。aは標本数(=関係する)が、cは物理的意義がある。c = 0.13 ± 0.03 となった。Ca(推定)とOb(測定)を図に示した。この結論は、1) CFIsには経度効果がある、2)経度に関係しない項を含む、3)東西効果はない、4)縁で頻度が増加する。



第1図



第2図



第3図

H.W.Dodson and E.R.Hedeman:Report UAG-14(1971); -52(1975); -80(1981),WDC-A STP.

S.P.Duggal:Rev.Geophys.Space Phys. 17, 1021 (1979). M.Kodama, K.Murakami, M.Wada & H.Tanaka:15.ICRC

5, 94 (1977).

## 宇宙線強度と太陽風

藤本和彦 \* 小角浩司 村上一郎 長島一男  
名大理 \* 石川慶保 徳大

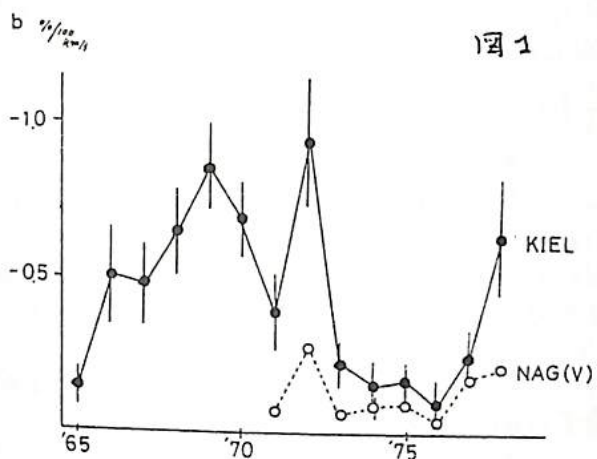


図1

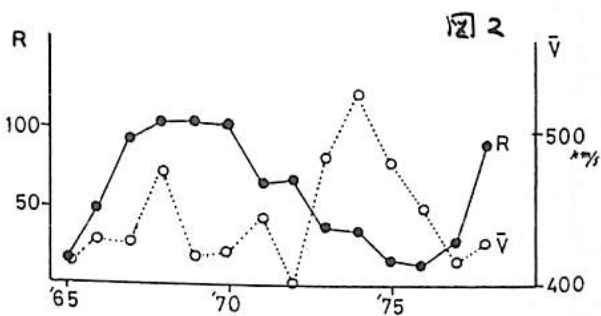


図2

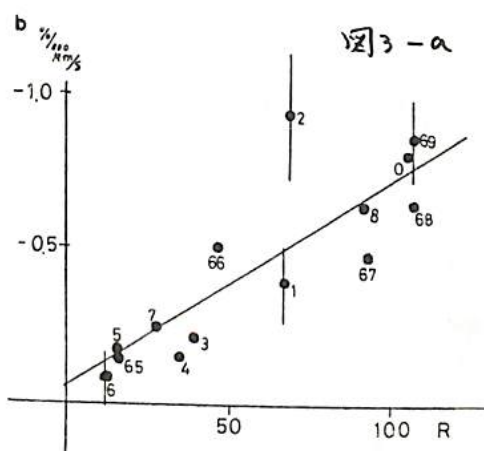


図3-a

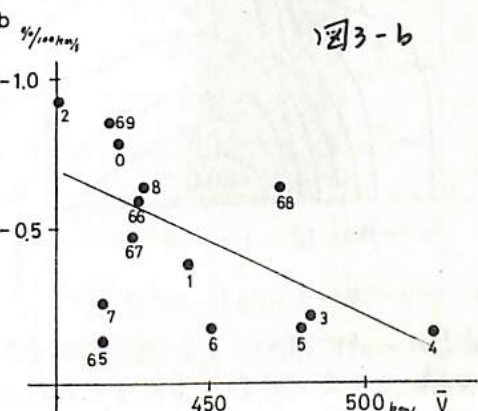


図3-b

Fig Response  
加算直線変化  
を示すのか  
原因を丁寧に  
検討し、毎年の  
Sun-spot num-  
ber (R) 及び  
太陽風速度の  
年平均値 ( $\bar{V}$ )  
を示す (図2)  
図3-a  
の変動 (R)

に対する正相関 ( $\bar{V}$ ) に対する正相関があるよう見えた (図3-a, b)  
これらの事実を基にして 磁場の変動の電磁状態 (主として地磁気変動) を言及する。

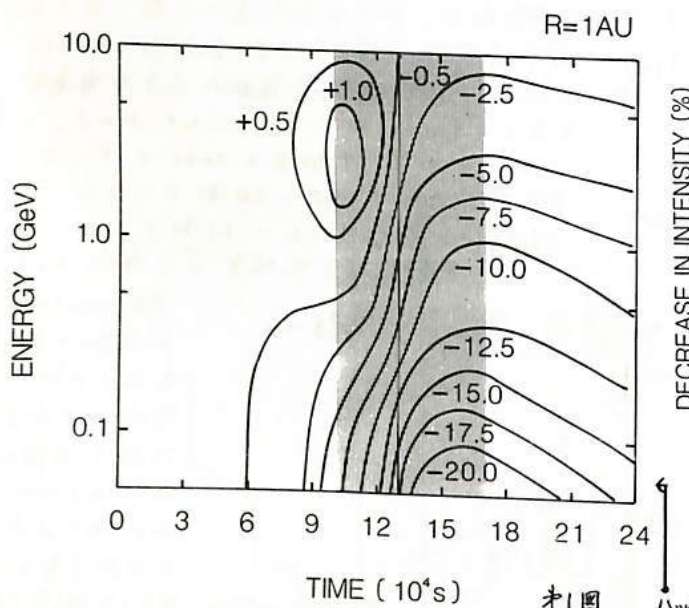
## 「フォーブ・シユ減少の数値モデル(2)

西田嵩弘  
宇宙科学研究所

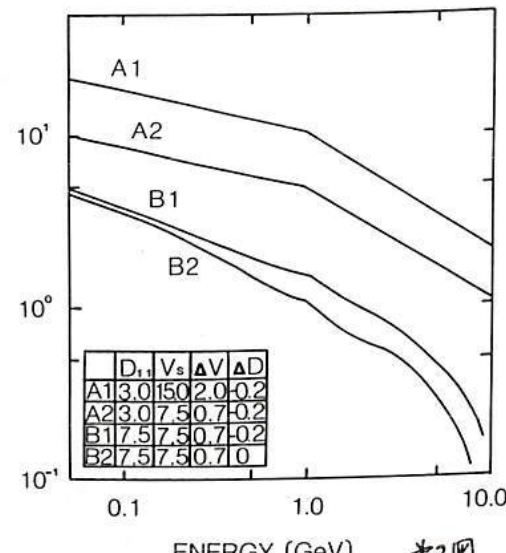
前回(82年春)の学会では、太陽から発生した擾乱によって太陽風速が上昇し拡散係数が減少した時に生ずる宇宙線強度変化を Diffusion-Convection 方程式の数値解によって調べた。今回則断熱的エネルギー変化の項を含む方程式

$$\frac{\partial U}{\partial t} + \frac{1}{r^2} \frac{\partial}{\partial r} (r^2 V U) - \frac{1}{3r^2} \frac{\partial}{\partial r} (r^2 V) \frac{\partial}{\partial T} (\alpha T U) - \frac{1}{r^2} \frac{\partial}{\partial r} (r^2 D \frac{\partial U}{\partial r}) = 0$$

を解いた。U は粒子密度、V は太陽風速、T は粒子エネルギー、D は拡散係数で  $\alpha = (T + 2mc^2) / (T + mc^2)$  である。拡散係数の形は  $D = D_0 (r/r_0)^{\alpha} \beta P_i$  ( $T > 1 \text{ GeV}$ )、 $D_0 (r/r_0)^{0.5} \beta P_i$  ( $T \leq 1 \text{ GeV}$ ) [但し  $r_0 = 1 \text{ AU}$ ,  $P_i$  は  $1 \text{ GeV}$  の rigidity] とした。擾乱は速度  $V_s$  ( $> V$ ) で伝搬し、 $0.7 \text{ AU}$  の幅をもつとした。定常状態の密度分布は  $1 \text{ AU}$  でのスペクトルが  $T(T+mc^2)^{-3.5}$  の形であるとして求めた。オ1図に示すのは  $V_s = 1500 \text{ km/s}$ ,  $V_0 = 400 \text{ km/s}$ ,  $\Delta V = 200\%$ ,  $\Delta D = -20\%$ ,  $D_0 = 2 \times 10^{21} \text{ cm}^2/\text{s}$  の時の  $1 \text{ AU}$  における宇宙線密度変化(%)である。オ2図は密度減少最大の時点におけるエネルギースペクトルである。 $5 > T \geq 1 \text{ GeV}$  ではほぼ  $T^{-0.5}$  型である。それぞれの Run に対するパラメータは図の中に与えられている。 $(D_{ii} : 1 \text{ GeV}, 1 \text{ AU} \text{ での } D, \Delta V \text{ 及び } \Delta D \text{ は変動分の定常状態での値に対するもの})$ 。



オ1図



オ2図

結論 (1) 太陽風速の一時的増加によって生ずる宇宙線のエネルギー変化は加熱である。

(2) 摆乱の到着に先立っておきる密度変化は高エネルギー( $\gtrsim 600 \text{ MeV}$ )では上昇があり、低エネルギーでは減少である。後者は太陽風速の上昇域において加熱のために失われた低エネルギーを補給すべく downstream 域に内向性の流れが生ずるためにあらず。

(3) 宇宙線密度減少のエネルギースペクトルは  $T^{-0.5}$  ないし  $T^{-1.0}$  の型である。

## 宇宙線フォーブ"シユ 減少時の南北異方性 - II

奥谷晶子、和田雅美、須田友重  
理研 理研 気象研

前回のものを改善したものを報告する。IMFと宇宙線勾配から出る異方性  $A$  は

$$A = \frac{-(\omega\tau)^2}{(\omega\tau)^2 + 1} \cdot \rho \nabla U \times B / B$$

である。散乱による項  $\omega\tau \gg 1$  として考える。黄道面に垂直成分異方性  $A_B$  は、FD 時に  $G_x = (dI/dt)/V$  のみ存在するとし

$$A_B = -\rho(G_x \cdot B_y - G_y \cdot B_x)/B$$

て左のようになる。ラーマー半径  $\rho = \langle P \rangle / (45B)$  AU, GV, nT

$$= -\rho G_x \cdot B_y / B \quad \text{for } G_y = 0$$

を求めるには、変化スペクトル  $f = (P/10 \text{ GV})^\gamma$   $P \leq P_u$  を

$$\langle P \rangle = \int_{P_c}^{P_u} P f_0(P) R(P) dP / \int_{P_c}^{P_u} f_0(P) R(P) dP$$

用い、左のようにした。 $P_u = 100 \text{ GV}$ ,  $\gamma = -1$  としたとき分母はその coupling coefficient, 分子は  $\gamma = 0$  のものである。一方、測定された等方成分  $I_0 = [J(\text{Thule}) + J(\text{McMurdo})]/2$  を用い、空間での変化量は  $dI/dt = [(dI_0/dt)/C_0] \times [f_0(\langle P \rangle)/f_0(10 \text{ GV})]$  となる。

黄道面垂直成分異方性を南北非対称性にするには  $A_C = -A_B \cdot \cos\delta \cdot \sin\delta$   $\delta$ : 地軸の傾き

$$\langle \sin\delta \rangle = \int_{P_c}^{P_u} \sin\delta(P) f_1(P) R(P) dP / \int_{P_c}^{P_u} f_1(P) R(P) dP$$

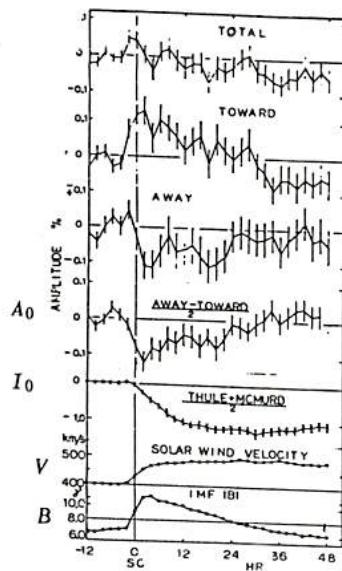
$\Rightarrow$  に  $f_1$  は  $\gamma = 0$  を用いた。なお coupling coeff. はすべて [Yasue et al. 1982] の solar max. & min. の平均を用いた。

測定された南北非対称性は次式で求めた。  
 $A_0 = [A_0(\text{away}) - A_0(\text{toward})]/2$

$$A_0 = [J(\text{Thule}) - J(\text{McMurdo})]/2$$

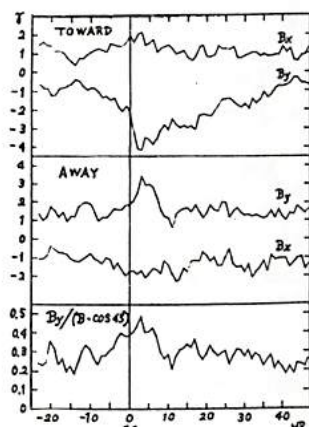
すべての値はラーマー半径から求められる空間の大きさを基準にした時間の平均とした。すなわち  $T = (2\rho/V)(B_y/\sqrt{B_x^2+B_y^2})$  である。第2図はセクターごとに採用した SC でまとめた  $B_x, B_y$  である。統計した期間内でセクターの象限に入っている。第1図 B の SC 後の増加は  $B_y$  によるものであることがわかる。

第3図は計算した南北非対称性  $A_C$  である。丁度図の一一番下に示したが、大体 3 倍である。ただし、ここで示した  $A_C$  は  $A_B$  の式  $B_y/B$  の代りに平均の IMF 角から  $\cos 45^\circ$  を入れたものなので、 $B_y/B$  に変えた場合の減少の程度を示すため、第2図下部に示した。

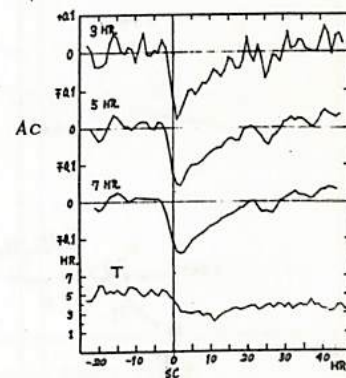


第1図

Yasue, S., S. Mori, S. Sakakibara, and K. Nagashima, Coupling Coefficients of Cosmic Ray Daily Variations for Neutron Monitor Stations, Rep. Cosmic-Ray Res. Lab., Nagoya Univ. No. 7 (1982).



第2図



第3図

## 太陽赤道面に垂直な方向の宇宙線強度分布

野坂 徹 森 寛\* 鷲坂 修二\*  
名大理 信大理\*

宇宙線中性子強度の年周変化および半年周期変化の経年変化と、1955年から1979年までの25年間にわたって調べた結果、次の2つの特徴を持つことがわかった。

1) 年周変化の位相は、Solar magnetic cycleごとに比較的安定している。

Summation dial 上での年周変化ベクトルの経年変化(図1(a))は平均的に、1955-1958年では9月、1959-1968年では3月、1969年-1979年では1月の方向をそれぞれ示している。

2) 半年周期変化ベクトルは、ひとつのSolar magnetic cycle内で周期的に変化する。

1959-1968年での半年周期変化について、その経年変化を summation dial 上で見ると(7 MAR., 7 SEP.)-(7 JUN., 7 DEC.)の方向に沿って1往復していることがわかる。また、1958年以前についてもこれに類似した経年変化が見られる。(図1(b))

これらの特徴がどの程度の再現性を持つかは今後の観測に待たねばならないが、年周変化および半年周期変化が地球近傍での太陽赤道面に垂直な方向の宇宙線強度分布を反映しているとして、上記1), 2)で見られる経年変化の特徴の相違が何を意味するかについて議論したい。

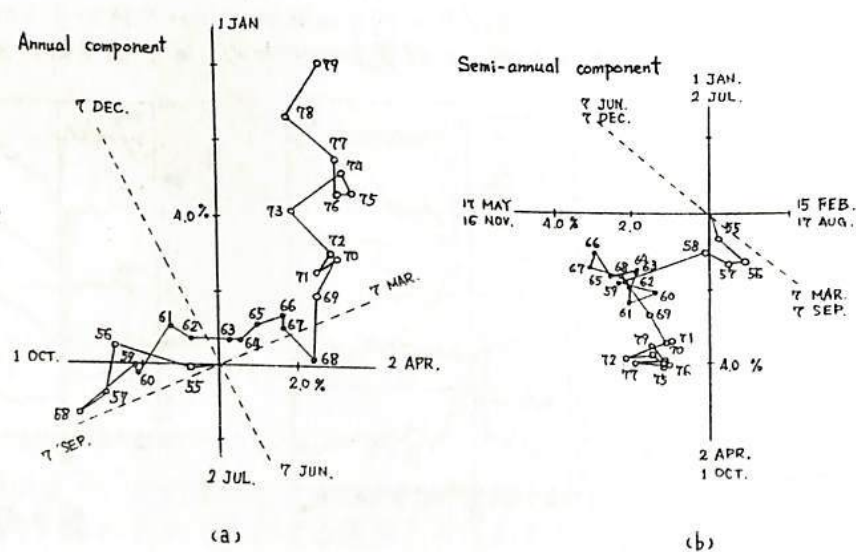


図 1

## 宇宙線の南北非対称性と太陽電流面

宗像義教, 複田和幸, 森 覚, 長島一男  
(中部エズ) (信大・理) (名大・理)

宇宙線の南北非対称性 (N-S Asymmetry) は、惑星間空間磁場 (IMF) の極性によってなることは良く知られて來てゐる。その大きさについては、太陽風の速度に関係してゐることも明らかになつた。しかし、N-S Asymmetry と太陽風の速度との相関係数は 0.3 の程度であり、大きさも日平均値を用いて 0.05% per 100 km/s の程度であり、太陽風だけで、N-S Asymmetry の大きさとすべて説明するにはいかなかつた。

今日はこれを説明する一つの可能性として、いわゆる Current Sheets から地球までの距離  $\sin \lambda$  との関連性について調べるので、報告する。解析の期間は、1976年5月から1977年8月まで、Carrington Rotation では (1641~1658), Bartels Rotation では 1952~1970. IMF のセクター構造では 4 セクタ構造で (時々は 1 のセクターが地球では見えず 2 セクター) である。太陽電流面の動きも Hoeksema, Wilcox and Scherrer (1982) によれば、あまり激しい動きはしてゐない。この期間では Current Sheet の前側に地球がある時が IMF が Toward (ネガティブ) の極性になつてゐる。

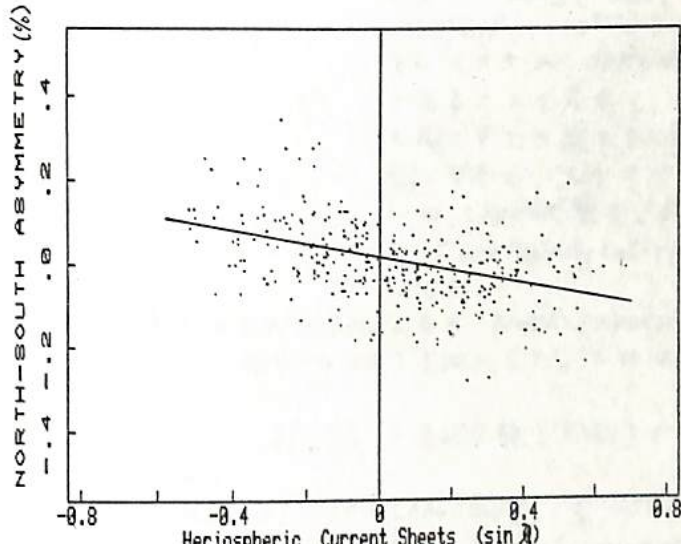
右図は N-S Asymmetry (Nagoya-GG term) × 太陽電流面からの角距離  $\sin \lambda$  との相関性圖である。入は前述の Wilcox 等の論文より直接読み、その時の太陽風の速度で地球にそのまゝ運ばれてとして GG と比較した。

GG と  $\sin \lambda$  の相関係数は 0.42 と十分に大きい。又これは GG と  $\sin \lambda$  の関係は。

$$GG(x) = 0.013 - 0.329 \sin \lambda$$

と思われる。このことは、いわゆる Current Sheet から地球までの距離  $\sin \lambda$  と南北非対称性が大きくなつてゐることを示してゐる。ちなみに ( $\sin \lambda > 0$  は Away  $\oplus$ ;  $\sin \lambda < 0$  は Toward  $\ominus$ ) である。

原因は Current Sheet から離れるにしたが、宇宙線の Radial Density Gradient が増してゐるか、その他の理由なのかも、この解析だけでは判からぬ。これからは満喫時に詳説する予定である。



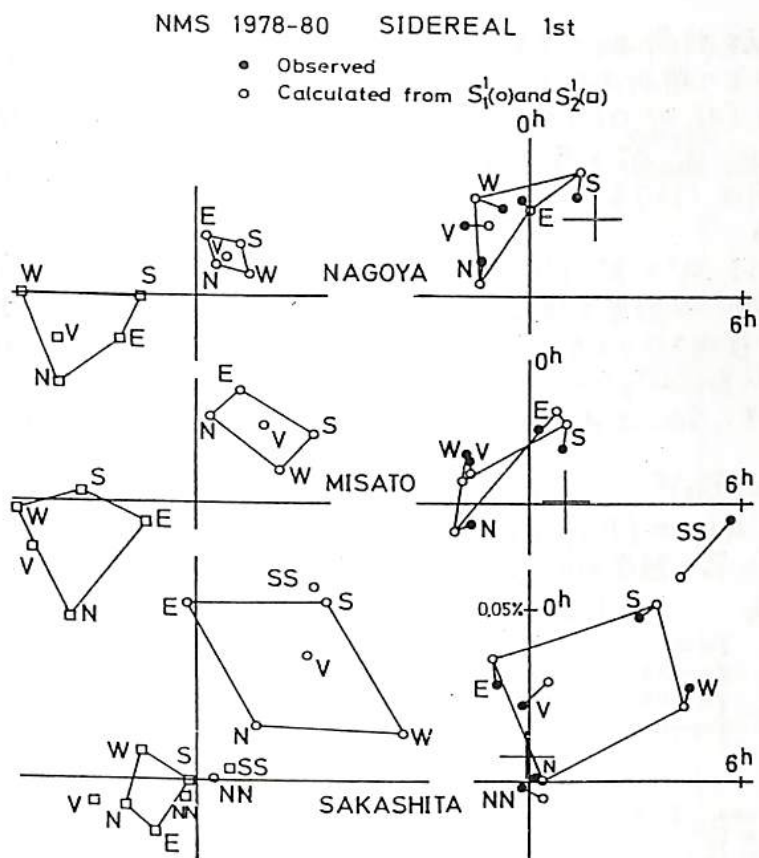
## 宇宙線太陽時半日変化

長島一男 森 覧 奥谷晶子 高橋八郎 矢作直弘  
名大 理 信大 理 研 岩手大 敏育 岩手大 人文

宇宙線半日変化の研究は、宇宙線モジレーション研究の中でも長い歴史を持つており、そのモジレーション構造の解析から、惑星間空間の物理について貴重な情報が得られて居る。特に長島etal.による解析とFujiiのloss-coneモデルは、宇宙線空間分布の「三次元的構造」を示唆するものとして注目を浴びた。一方、宇宙ロケット、人工衛星による惑星間空間の磁場、太陽風等の直接観測データーもかなりの年数にわたって蓄積され整備されてゐる。今回は、これらの背景を踏まえ、理研(DADC-2)で整理まとめられた世界各宇宙線ステーションよりの中性子成分をフーリエ解析、その2ndを取り出し、先づ上述の惑星間空間データーとの関係を調べる。

## NAMS Sidereal Anisotropy 1978-80

上野裕幸 藤本和彦 森覚\* 長島一男 名大理 信大理\*



1978-80年の3年間(太陽活動極大期)、名古屋、三郷及坂下地下中間に亘る観測した。エネルギー領域  $60\text{GV} \sim 600\text{GV}$  の、恒星時日変化について、太陽時半日変化に基づく3モードを分離し、太陽系外起源と考えて、異方性の大きさ、方向、スペクトルを調べ、3つの観測所で、コンシスティントかどうか調べてみた。

太陽系外異方性については、深い地下観測(UAH, POATINA  $\sim 10^{12}\text{V}$ )、空気シャワー観測(東海, BAKSAN  $\sim 10^{13}\text{V}$ )で、その大きさが  $0.05 \sim 0.07\%$  であることを考慮し、これと同じモードのエネルギー倒しを考え、モダスペクトルは、POWER型で、 $\gamma = 0$ ,  $P_L$  (Low Rigidity Cut-off)とした。

太陽系内起源異方性については、太陽時半日変化のスペクトルであるPOWER-EXPONENTIAL型にした。又各観測所毎に、各成分共通の日変化(図中十印)を挿入した。これは、各成分間の差ベクトルを使用したことになる。

*Sidereal 1st*: 上図は、最小自乗法で決定した  $S_1'$ ,  $S_2'$  の各成分値(左側)で、左側は、観測値との比較である。

$$S_1': (0.098 \pm 0.010\%) (P/10\text{GV})^{2.0} \cos \delta \cos [2\pi(t - 3.0\text{hr})/24], P_L = 150\text{GV}$$

$$S_2': (0.142 \pm 0.022\%) (P/10\text{GV})^{2.0} \exp(-P/50\text{GV}) \sqrt{3/4} \sin 2\delta \cos [2\pi(t - 18.2\text{hr})/24]$$

*Anti-Sidereal 1st*

$$S_2': (0.119 \pm 0.020\%) (P/10\text{GV})^{2.0} \exp(-P/50\text{GV}) \sqrt{3/4} \sin 2\delta \cos [2\pi(t - 22.6\text{hr})/24]$$

*Solar 2nd*:

$$S_2^2: (0.226 \pm 0.011\%) (P/10\text{GV})^{2.0} \exp(-P/50\text{GV}) \sqrt{3/4} \cos^2 \delta \cos [2\pi(t - 2.9\text{hr})/12]$$

*Solar 1st*:

$$S_1': (0.386 \pm 0.017\%) (P/10\text{GV})^{2.0} \cos \delta \cos [2\pi(t - 16.0\text{hr})/24], P_L = 150\text{GV}$$

宇宙線 Zonal Harmonic Components (1st & 2nd) の  
Best-fit Rigidity Spectra

高橋 八郎 天作直彌 長島一男  
岩大教育 岩大人社 名大理工

現在世界観測網の宇宙線観測所よりの宇宙線中性子成分データを用いて、長島の方  
法による三次元宇宙線異方性の解析を行い、惑星間空間における宇宙線の Spherical  
Zonal Harmonic Components ( $a_0^0, a_1^0, a_2^0$ ) 並びにこれら Best-fit Rigidity Spectrum  
( $p_0^0, p_1^0, p_2^0$ ) を求め、今まで、特に、 $a_1^0, a_2^0$  と惑星間空間磁場、太陽風等との関係を探  
究してきた。用いたデータの期間は 1967 年 1 年間で、解析は日本均値データを用いて、各  
Solar Rotation 毎に行つた。

前回、これらの解析結果の  $a_1^0$  と  $p_1^0, p_2^0$  の諸特徴を調べた結果を報告した。今回も、  
更に  $a_2^0$  と  $p_2^0, p_1^0$  の諸特徴を調べた結果を併せ、両者の諸特徴を総合的にみて  
結果を報告する。既に何回か説明を行つたが、ここで  $a_1^0, p_1^0$  及び  $a_2^0, p_2^0$  は 3 次元  
宇宙線の南北対称性、この Best-fit Rigidity Spectrum  $p_1^0$  は南北極-赤道対称、この Best-fit  
Rigidity Spectrum をあらわす。なお、上述の解析では、次のよる Differential Rigidity  
Spectrum を用いた。

$$\text{Power type: } G(p) = (P/p_0)^{\gamma} \quad P_L \leq P \leq P_H \quad \dots \dots \dots (1)$$

$$\text{Power-exponential type: } G(p) = (P/\gamma p_0)^{\gamma} \exp(\gamma - P/p_0) \quad \dots \dots \dots (2)$$

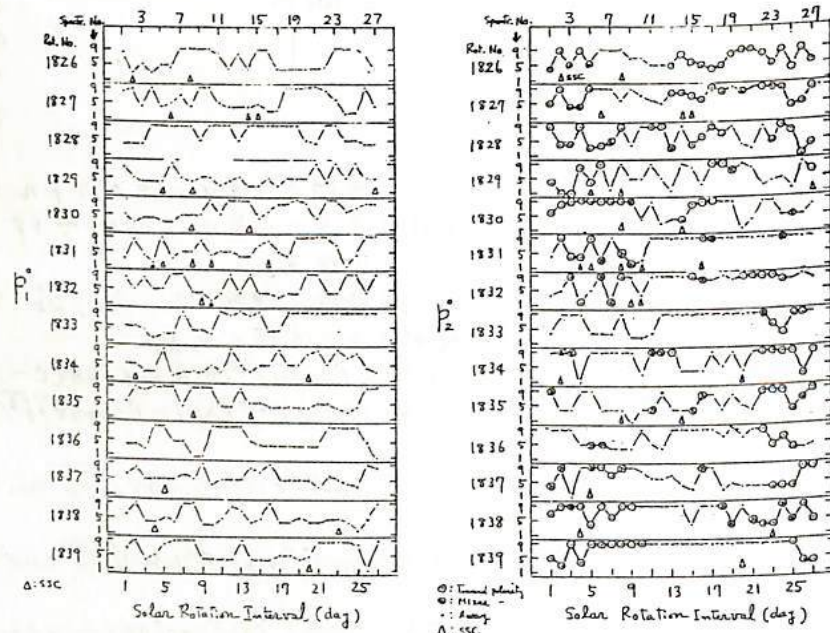
また、(1) や (2) の  $\gamma$  の値、(2) の  $\gamma$  と  $P_0$  の組合せにおいては、次のような Spectrum Number  
をつけて。Power-type Specv. No. Power-exp type Specv. No.

|   |               |
|---|---------------|
| 1 | $\gamma=0$    |
| 2 | $\gamma=-0.2$ |
| 3 | $\gamma=-0.5$ |
| 4 | $\gamma=-1.0$ |

|   |              |                        |
|---|--------------|------------------------|
| 5 | $\gamma=2.0$ | $P_0 = 15 \text{ GV}$  |
| 6 | $\gamma=2.0$ | $P_0 = 20 \text{ GV}$  |
| 7 | $\gamma=2.0$ | $P_0 = 30 \text{ GV}$  |
| 8 | $\gamma=2.0$ | $P_0 = 50 \text{ GV}$  |
| 9 | $\gamma=2.0$ | $P_0 = 100 \text{ GV}$ |

解析結果の  $p_1^0$  及び  $p_2^0$  の  
全体を各 Solar Rotation  
毎に示すと右の図のようにな  
る。図中、 $\Delta EPI$  は JGR  
よりの Music Diagram  
よりの SSC の発生日を示  
す。 $p_1^0$  の図中、 $\odot, \otimes, \circ$  は 3 次  
元 Toward Polarity,  $\ominus$  は Mixed Polarity,  
 $\oplus$  は Away Polarity の日を示す。また  
は Svalgaard の Table  
を引用してある。

図中、11 月の第 2  
Spectrum の再帰性  
が明らかに認められる。  
認められることは 3 つ。



## 宇宙線中性子強度の恒星時日変化(II)

長島一男  
名大理森下伊三男  
岐阜歯科大森 覚  
信大理石田喜雄  
福島大教育

1958～1979年の期間で、620 station·year の中性子  $\pi = 7 - 9$  data を用いて、宇宙線の恒星時日変化の解析を行いました。

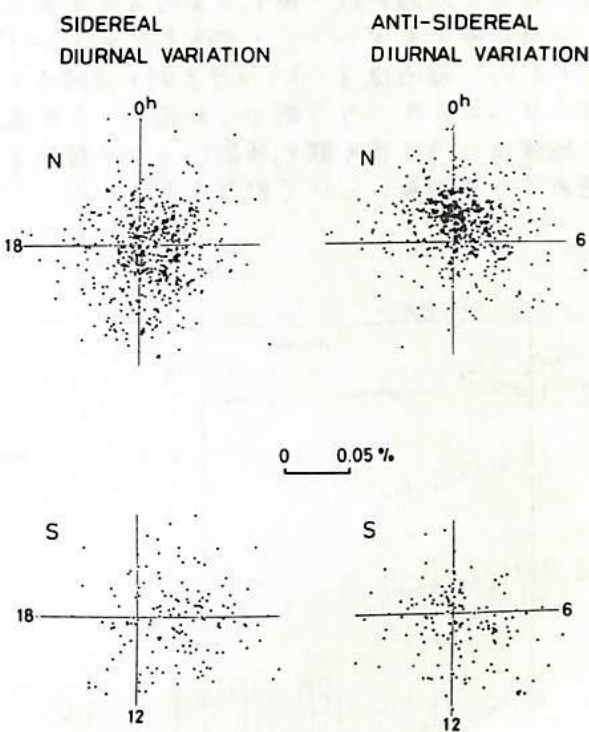
北半球のstation と南半球のstation ではこの期間の恒星時日変化に統計的に有意な差が見られていません。第1図はすべての恒星時、反恒星時日変化の南北別に加算したものを示しました。平均の恒星時日変化を求めて見ると  $\text{amp. m. } 0.021 \pm 0.002\%$ , phase m.  $8.8 \pm 0.8 \text{ hr}$  となり *high rigidity region* のそれにはつきりした差があることが判明されました。

第2図では

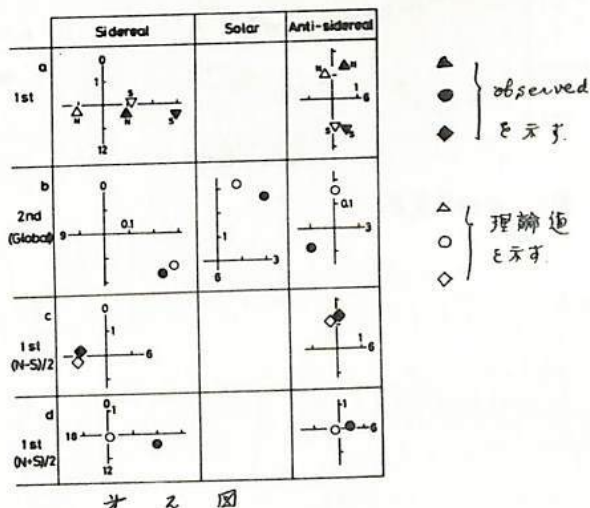
- a: 南北別毎の恒星時、反恒星時(1st)
- b: Global合恒星時、太陽時、反恒星時(2nd)
- c:  $(N-S)/2$  兩半球の差(南北非対称)ベクトル
- d:  $(N+S)/2$  兩半球との共通の変化

などを示しました。

これらの解析結果とともに、太陽系外起源恒星時異方性について、議論する。



第1図



第2図

村上一昭、藤井善次郎、山田良実、神原志津子、藤木和彦、霜永復章、長島一男、<sup>A</sup>近藤一郎。  
<sup>B</sup>A.G. Fenton, R.M. Jacklyn 他。

名大理、<sup>A</sup>東大宇宙線研、<sup>B</sup>タスマニア大。

1981年12月よりスタートしたオーストラリア・タスマニアにおける空気シャワー連続観測のその後の経緯について報告する。昨年の観測開始時点においては、観測機器室内温度コントロール系に問題が残り観測が室内温度変化による影響を受けていた。この温度効果のメインは気圧補正をかいしてうける気圧計( $\sim 0.1 \text{ mb}/\text{C}$ )の温度効果である(図1, 2)。このため、帰国後オーストラリア側と連絡を取りこの点の改善をすすめてきていたが、最終的にはこの6月ニカラガ側から出張し、この温度コントロール系の問題を解決した。これらの経緯及びその後の観測結果について報告する。又、これまでのデータに対しては、現在進めている解析について報告する。

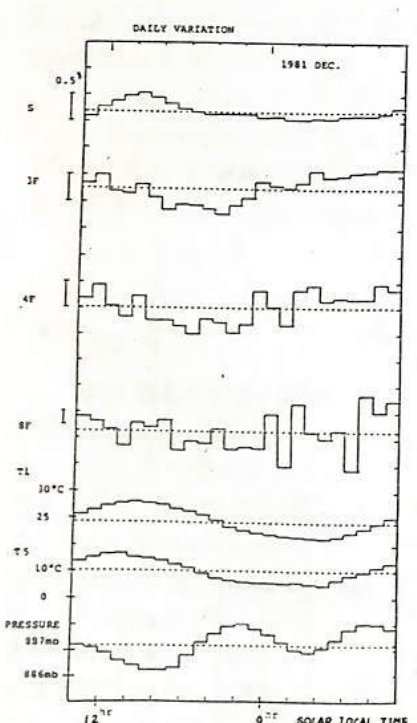


図1. 平均日変化

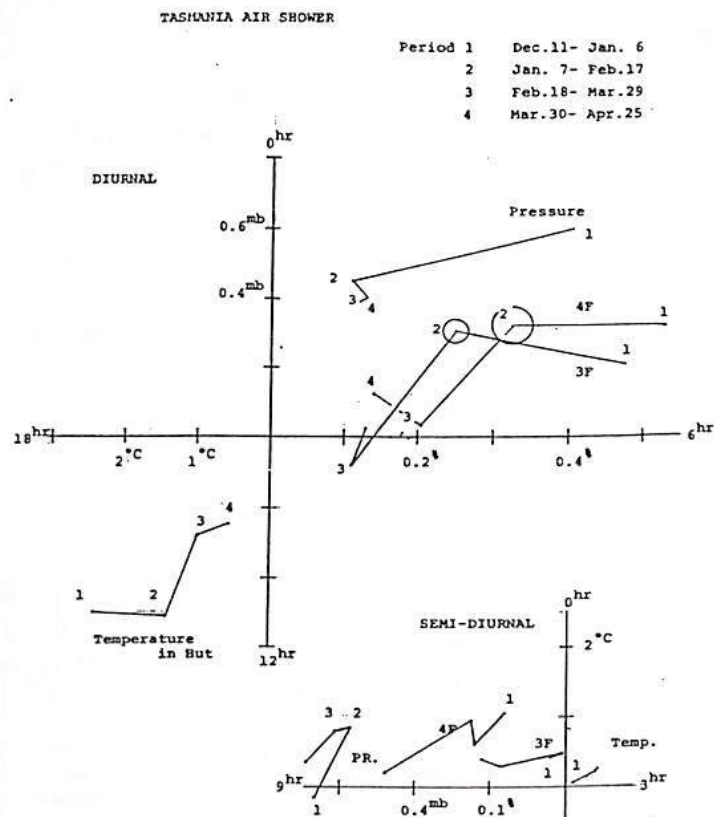


図2. 太陽時一日変化及び半日変化

## 第三会場

(Ⅲ-1 ~ Ⅲ-50)

## 地磁気年変化量分布と表現する core 面上 dipole の 分布とその変動 (II)

水野浩雄

国土地理院

IGRF 1965, IGRF 1975 による secular variation field & core面上の radial dipole により表現する問題については、前回の学会で報告した。今回は dipole の数と増やし、強さと位置を adjust して更に良好な representation を得た。結果は別表に示す。なお、用いた dipole の数及  $M^*$  root mean square difference は下表の通りである。

|           | dipole 数 | X   | Y   | Z   | $M^*$ root mean square difference |
|-----------|----------|-----|-----|-----|-----------------------------------|
| IGRF 1965 | 38 位     | 3.3 | 3.2 | 5.1 | /year                             |
| IGRF 1975 | 34       | 3.3 | 3.3 | 5.0 |                                   |

別表 M は  $\mu\text{T} (\text{Am})^3/\text{year}$  である。

1970 年代に入り、東半球の secular variation field には二つの大きな変動が生じた。日本における観測事実として指摘すると、オーストラリアと境に接する他の観測所（南は Lanzing と含む）の Y 成分の secular variation trend に急激な変化が生じ、Y は algebraic に急減したことである。これは、それ迄存在していたシベリアの東西に長く走る negative focus が急速に減衰し、同時に南方から、中国、朝鮮、沿岸州、日本海へと之の positive region が進出したことである。一等磁気測量により得られた之の水平勾配の急速な変化は、この分布の regional 变動を反映したものとして説明できる。

オーストラリアと境に接する X の secular variation trend の急激な変化である。（J.G. G. 32, 413-420, 1980）。この変化はニューギニア、オーストラリア及び周辺に亘る之の negative focus の急激な強化によりもたらされたものである。この 1965-66 年と境に確立された相対的安定状態は 1972.5, 201" 1974-75 年の変動によりあらためて状態に移行した。この新しい状態を代表する場として観測所の年平均値により画いた 1976 年の年変化量分布を採用する。IGRF 1980 が用いられれば“良い”が“よい”必ずしもこの当時の年変化量分布と良好に表現していなかった用いられない。

1976 年の年変化量分布と表現する dipole model を別表に示す。ただしこの場合、 $j_1^o \times j_2^o$  は IGRF 1975 と IGRF 1980 から推定した値を採用し  $r_{\text{eq}}$  r.m.s.d. を求めることでできること、図の比較により、良好な fitness を実現したことと判断。（32 dipoles）

1950 年代から今日に至る間、東半球の secular variation field の pattern は急速で著しい変動を示すため、それは IGRF 1965 (代表的立場とする state 1), IGRF 1975 (代表的立場とする state 2), 1976 年の年変化量分布を代表的立場とする state 3 の、三つの state に区分され、かどの state から他の state への移行は短い time scale により遷移的に行なわれたと考えられる。これらの変動とともに dipole の生成、消滅は別表の Siberia, Indian Ocean, New Guinea and Australia の地域区分の中で、明瞭にみとめられるところである。

Siberia の negative dipole は state 1 と比べて state 2 では明らかに弱まつた。同時に Indian Ocean の positive が強化した。この結果、中国から東は日本に至る地域で X の negative が変化した（1968-69 年）。State 3 は Indian Ocean の positive の強化とともに東北方向への expansion の明瞭である。Siberia の negative は弱まつた。この結果、日本（及其南方には Lanzing と含む）の観測所の Y の algebraic が急減し、一等磁気測量から得られたその水平勾配の急変ともなった。また New Guinea and Australia の negative の強化は日本及其南方の観測所での Y の急増ともなった。

| IGRF 1965                |     |       | IGRF 1975 |      |       | 1976 |     |       | IGRF 1965 |      |       | IGRF 1975 |      |        | 1976 |      |        |
|--------------------------|-----|-------|-----------|------|-------|------|-----|-------|-----------|------|-------|-----------|------|--------|------|------|--------|
| Lat                      | Lon | M     | Lat       | Lon  | M     | Lat  | Lon | M     | Lat       | Lon  | M     | Lat       | Lon  | M      | Lat  | Lon  | M      |
| Siberia                  |     |       |           |      |       |      |     |       |           |      |       |           |      |        |      |      |        |
| 60                       | 80  | 1.22  | 60        | 170  | -2.44 | 60   | 170 | -1.83 | 20        | -60  | -1.22 | 20        | -60  | -12.19 | 20   | -60  | -12.80 |
| 60                       | 160 | -4.27 | 60        | 120  | -4.27 | 60   | 120 | -3.05 | 0         | -50  | -4.27 | 30        | -40  | -1.83  | 10   | -35  | -9.15  |
|                          |     |       |           |      |       |      |     |       |           |      |       |           |      |        |      |      |        |
| Indian Ocean             |     |       |           |      |       |      |     |       |           |      |       |           |      |        |      |      |        |
| -5                       | 70  | -3.66 |           |      |       |      |     |       |           |      |       |           |      |        |      |      |        |
| 10                       | 80  | -3.66 |           |      |       |      |     |       |           |      |       |           |      |        |      |      |        |
| -65                      | 15  | 1.83  | -65       | 25   | 2.44  | -40  | 20  | 8.54  | -40       | 20   | 7.32  | 0         | 180  | 3.05   | 20   | -20  | -6.10  |
| -40                      | 20  | 8.54  | -40       | 20   | 8.54  |      |     |       |           |      |       |           |      |        |      |      |        |
| -25                      | 40  | 1.83  | -10       | 50   | 7.32  | -10  | 50  | 9.15  | 10        | 70   | 9.76  | 0         | -150 | 5.49   | 0    | -150 | 2.44   |
| 10                       | 50  | 1.83  |           |      |       |      |     |       | 0         | 100  | 3.05  | -10       | -120 | 6.71   | -10  | -120 | 5.49   |
|                          |     |       |           |      |       |      |     |       |           |      |       |           |      |        |      |      |        |
| -10                      | 95  | 5.49  | 10        | 100  | 7.93  | 20   | 100 | 4.88  | 30        | 115  | 2.44  | -15       | -100 | 1.22   | -10  | -90  | 5.49   |
|                          |     |       |           |      |       |      |     |       | 40        | 130  | 1.83  | -45       | -90  | 1.83   | -40  | -110 | 5.49   |
|                          |     |       |           |      |       |      |     |       | 50        | 145  | 2.44  | -20       | -25  | -85    | -70  | -100 | 4.88   |
| New Guinea and Australia |     |       |           |      |       |      |     |       |           |      |       |           |      |        |      |      |        |
| 0                        | 140 | -2.44 | 0         | 145  | -1.83 | 0    | 140 | -4.27 |           |      |       |           |      |        |      |      |        |
| -30                      | 120 | -1.22 | -30       | 120  | -1.22 | -15  | 140 | -1.22 | 30        | 30   | 5.49  | 30        | 30   | 4.27   | 30   | 30   | 4.27   |
| -50                      | 60  | -4.27 | -45       | 65   | -3.66 | -30  | 120 | -4.88 | 50        | -50  | 1.22  | 60        | -40  | 4.88   |      |      |        |
| -70                      | 145 | -5.49 | -60       | 145  | -5.49 | -40  | 80  | -2.44 | 50        | -130 | -3.66 | 60        | -80  | 3.05   |      |      |        |
| -30                      | 90  | -5.49 |           |      |       | -60  | 150 | -4.27 |           |      |       | 50        | -130 | -3.66  | 50   | 40   | 1.22   |
| -40                      | 140 | -2.44 |           |      |       |      |     |       |           |      |       | 30        | -120 | -2.44  | 55   | 20   | 3.05   |
| -50                      | 90  | -7.93 | -75       | -160 | -2.44 |      |     |       |           |      |       | 75        | -120 | -2.44  |      | 85   | -20    |
| Atlantic Ocean           |     |       |           |      |       |      |     |       |           |      |       |           |      |        |      |      |        |
| 20                       | -75 | -7.32 | 35        | -70  | -1.83 | 40   | -80 | -6.71 | 30        | -90  | -4.88 |           |      |        |      |      | 1.22   |

水沢、鹿野山一柿岡の地磁気全磁力地域差の  
経年変化

田 中 穂

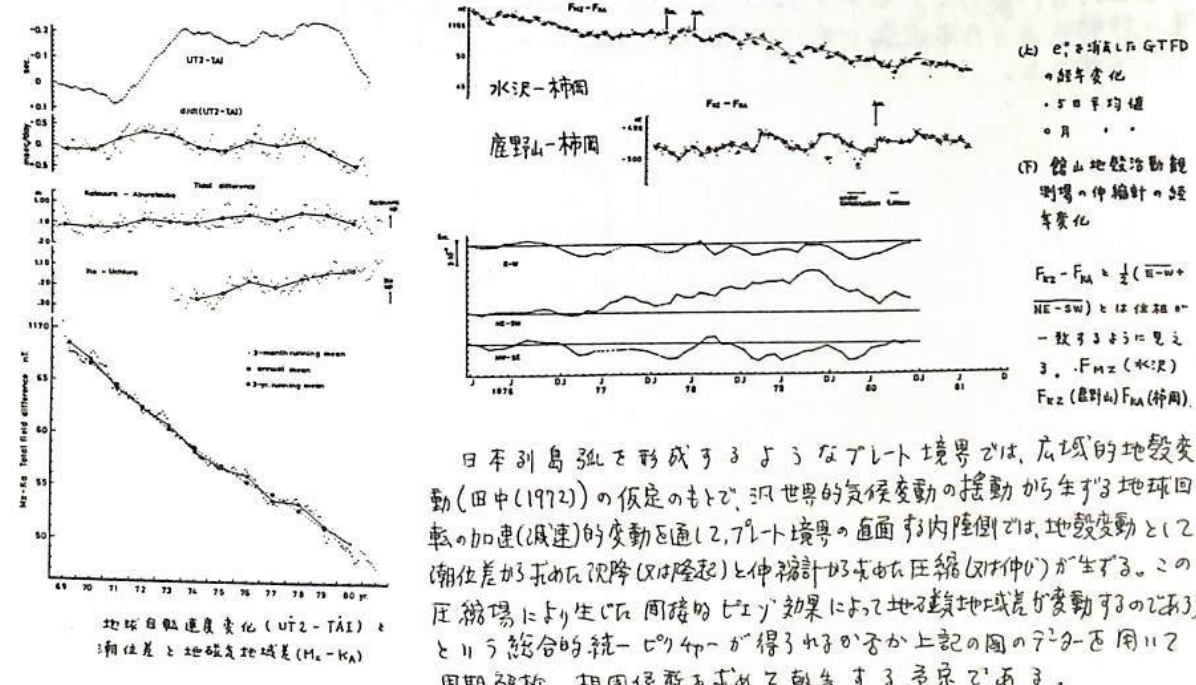
国 土 地 球 院

1969年以来、約13年間にわたる水沢-柿岡の全磁力地域差から第1近似の外部磁場の影響を除去し、地域差の経年変動を検出した(TANAKA, (1980))。この中で大局的に一様に減少する地域差は、地球内部で発生した主磁場の地域差とのものであるが、この主磁場の地域差の上に重なる短周期経年変動は。

- (1) semi- or annual changes (河村・小池(1980), Campbell (1980)) ----春分、秋分或は冬至、夏至の向で磁軸の $\dot{F}_{H-E}$ に上って生じた電流変化によると思われる。
- (2) biennial change (Sugiura (1976)) ----太陽活動による
- (3) these coupling changes
- (4) quasi-3 yr. change ----水沢-柿岡の地域差から検出されてる。
- (5) solar cycle 11 yr. change ---- $\Delta H$ による
- (6) 22 yr. change ---- $\Delta Z$ による
- (7) ~60 yr. change ---- $\Delta D$  (?)によるらしい。

の如く分類される。

これらの変動のうち 水沢-柿岡、鹿野山-柿岡の地域差にみられる(4)の準3年周期変動の原因について他のデータと比較しながら調査したところ下図の如き結果を得た。



日本列島弧を形成するようなプレート境界では、広域的地殻変動(田中(1972))の仮定のもとで、汎世界的気候変動の振動から生ずる地球回転の加速(減速)的変動を通じて、プレート境界の直面する内陸側では、地殻変動と(2)潮位差から生じた沈降(又は隆起)と伸縮計から求めた圧縮(又は伸び)が生ずる。この圧縮場により生じた周囲のビエゾ効果によって地殻地磁場が変動するのである。これら統合的統一比熱容が得られるのか否か上記のデータで用いた周期解析、相関係数を求め報告する予定である。

日本近海における地磁気の Secular Variation  
について。

歌代慎吉  
東京理科大学理学部物理学教室

日本周辺の地磁気観測所 16ヶ所に於ける地磁気の成分の年平均値を用いて、日本近海の地磁気 Secular Variation を調べた。16ヶ所の観測所はシベリア地域のマクーツク、イルクーツク、マガダン、ウラジオストスク、サハリン・ユズノ・サハリンスク。日本の女満別、水沢、柿田、鹿野山、鹿屋、父島。フィリッピンのモンテルバ、南太平洋のグアム、アピア、ホノルル、ポートモレスビーである。又期間は 1960 年から 1981 年迄である。

先づ Declination はシベリア地域のマクーツク、イルクーツク、マガダン、ユズノ・サハリンスクでは 1973 年頃に西偏の値が減少していたものが増加に変り 1974 年以降は急激に増加している。日本の 6 観測所では西偏の値が更に増加している。H-component はシベリア地域では 1976 年～77 年頃に増加から減少に変り柿田、鹿屋等の日本附近では 1965 年と 1981 年に max を有する sine curve を示している。apla 等の南太平洋では一方的に減少している。Total Intensity は日本附近で 1975 年に減少から増加に変じている。

次に我国近海での Secular Variation は各地域ごとに磁気の成分について夫々周期的に変化していることが解った。そこでこれを Secular Variation の性質を調べるために X, Y, Z component について 1960 年より 1981 年迄の 22 年間の Secular Variation ( $\frac{dX}{dt}$ ,  $\frac{dY}{dt}$ ,  $\frac{dZ}{dt}$ ) と Secular Variation の水平成分の大さきと方向 ( $\sqrt{\left(\frac{dX}{dt}\right)^2 + \left(\frac{dY}{dt}\right)^2}$ ,  $\theta = \tan^{-1} \frac{\frac{dY}{dt}}{\frac{dX}{dt}}$ ) 及び Secular Variation の垂直成分 ( $\frac{dZ}{dt}$ ) が各年、Secular Variation の電流系を示すと、そしてこの電流系の移動により日本近海に於ける各地磁気観測所の Secular Variation を説明出来ることが解った。

## 南海トラフにおける地磁気3成分測定

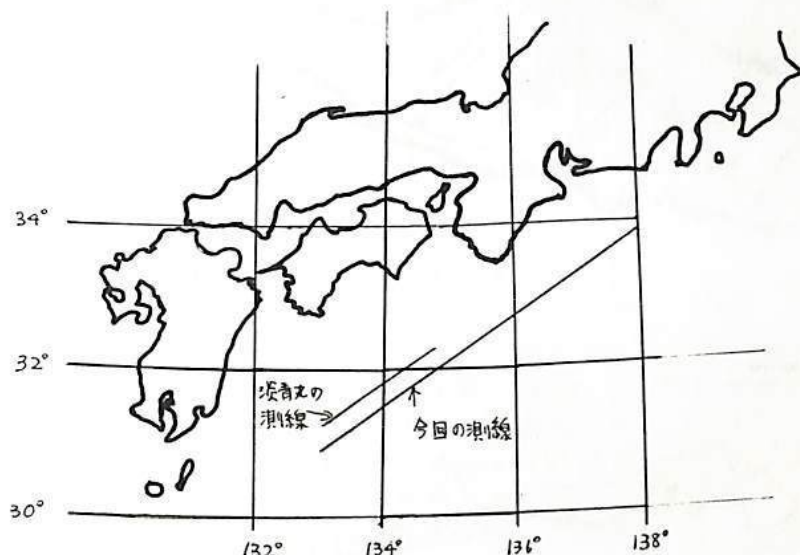
伊勢崎修弘 松原由和

(神大理) (神大自然科学研究所)

白鳳丸 KH-82-4次研究航海(1982年7月23日~8月21日)で、3成分磁力計及びプロトン磁力計により磁気測量を行なった。3成分磁力計は3軸直交のリングコアフラックスゲート磁力計であり、白鳳丸のアンケローリングタンク上に設置した。またアロトン磁力計は船の後方約200mに曳航した。

測定された磁気3成分は、地球磁場により船体に誘導される磁場、あるいは船体の持つ永久磁石による磁場などの影響で実際の地球磁場を示してはいない。しかししながら、船体に誘導される磁場は、地球磁場の強度及び船首方向の関数であると考えられるし、永久磁石による磁場は絶えず一定であるので、これらの関数及び定数を求めるこことにより測定磁場の補正を行なうことができる。

今回は、下図に示したように南海トラフ南方の測線で得られた地磁気3成分のプロファイルを示し、1980年12月に茨賀丸で測定した南海トラフ軸上での地磁気3成分のプロファイルと比較を行なう。

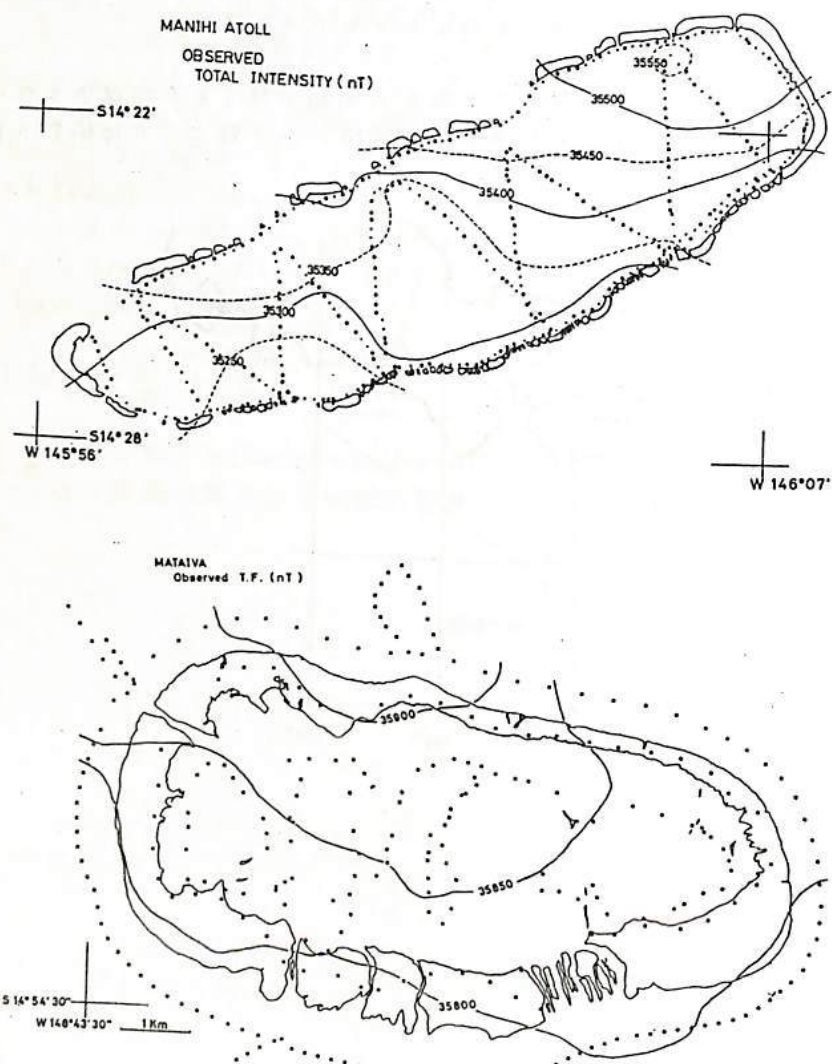


仏領ポリネシア・マニヒ島・マタイバ島  
の地磁気測量(2)

井口博夫・伊勢崎修三・安川克己  
神戸大学理学部

マニヒ島及びマタイバ島は、ツアモツ諸島の西端に位置し、ホットスポット説のライ  
ン・ツアモツ系列の折れ曲がり点付近にある環礁である。島上及び礁湖内ごとプロトン磁力  
計によって地磁気全磁力を測定した結果はすぐ後に表した。

観測した全磁力から求めらる地磁気異常はサンゴ礁下にある火山体に起因すると考  
えられる。地磁気異常をもたらす原因物体を多角錐台の積み重ねと多角柱の積み重ねごと  
似し、最小二乗法で磁化を計算した。多角柱モデルの計算はTaiwan(1965)の方法によらず  
3重積分を完全に行な、211。



MAGSAT衛星による日本周辺の3成分  
地磁気異常

中川一郎・行式毅  
(東京大学地震研究所)

1. 日本周辺の地磁気異常図

日本周辺 ( $38^{\circ}\text{N}$  ~  $58^{\circ}\text{N}$ ,  $110^{\circ}\text{E}$  ~  $170^{\circ}\text{E}$ ) を通過軌道のうち、 $K_p$  Index が 2 以下のもとを選び出し、軌道に沿って 5 次式を近似させて地磁気異常を抽出した。軌道の向きである南北方向には長波長成分は取り除かれているが、東西方向に残る、このので、高度差を無視して、東西南北に Fourier 变換 (FFT) をほどこす。 $18^{\circ}\text{N}$  ~  $58^{\circ}\text{N}$ ,  $120^{\circ}\text{E}$  ~  $160^{\circ}\text{E}$  に対して、 $n=m=20$ , 1 の長波長成分を取り除き、比較的短い波長 (緯度、経度に対し  $< 240^{\circ}$  より短いもの) 成分から、地磁気異常を合成する。 $\Delta Z$  (オフカット)

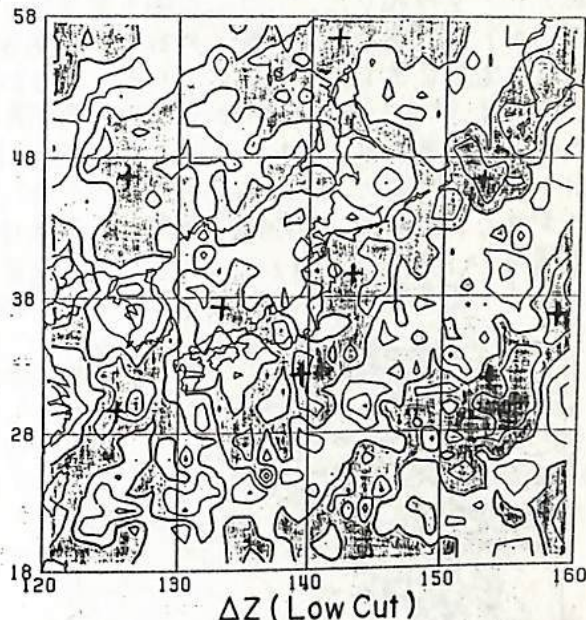
2. 地磁気異常の表現法

(Double Fourier による方法)

Fourier 展開による表現は、短波長の地磁気異常を表現するには項数が非常に多くなり、あまり現実的ではない。局地的な表現としては、Equivalent Source 法がよく使われる。この方法は物理的意味があり、よりしており、有効な手段のひとつであるが、bird-eye 現象と呼ばれる発散が問題になくなる。Double Fourier による方法は、項数も少なくてすむし、さらに局地的な展開と接続が可能である。また、高度差を含め  $\Delta Z$  Inversion を行うことにより任意の高度での地磁気異常図が作成可能であり、地殻の帯磁率を求める上でも便利である。具体的な表現は境界条件を ( $x \rightarrow i\infty, y \rightarrow i\infty, z \rightarrow -\infty, \nabla \rightarrow 0$ ) 考慮に入れて、 $\nabla^2 \Delta = 0$  より、 $x, y$  方向に波动解として、

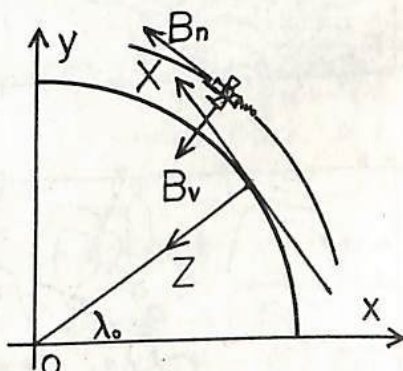
$$\nabla = -X_0 x - Y_0 y - Z_0 z - \sum \sum A_{mn} e^{i2\pi m x} e^{i2\pi n y} e^{i2\pi z} \quad \text{オフカット} \\ \text{となる。この式での各係数 } (X_0, Y_0, A_{mn}) \text{ は、地磁気異常を表現すればよい。}$$

さて、オフカットは、位置については緯度、経度、高度、成分については北向き、東向き、鉛直下方であるのを、位置、成分ともに座標変換を行う必要がある。 $\lambda_0 = 35^{\circ}\text{N}$ ,  $\phi_0 = 140^{\circ}\text{E}$  を原点として棒平面をつくり、北向きを  $X$  軸、東向きを  $Y$  軸、鉛直下方を  $Z$  軸にする。(オフカット)  
 位置  $\mathbf{x} = (Y_{\pi/2+\lambda_0})(Z_{\phi_0}) (\mathbf{r} - \mathbf{r}_0)$   
 成分  $B_x = (Y_{\pi/2+\lambda_0})(Z_{\phi_0}) (Y - \pi/2 - \lambda_0) B$   
 となる。



オフカット 鉛直成分異常図

コントラスト間隔は  $1 \text{mT}$



オフカット 座標変換

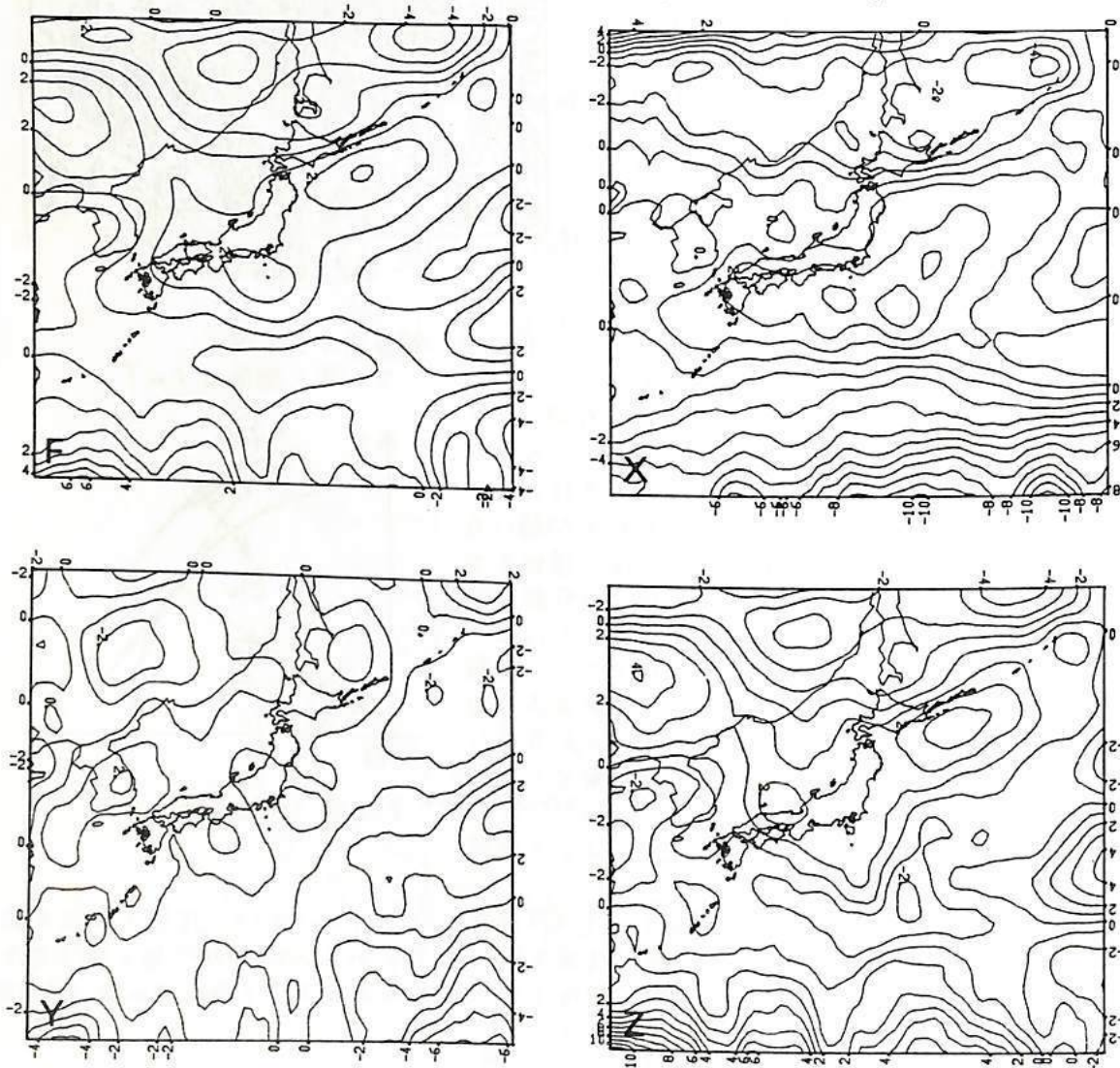
## MAGSATデータによる日本周辺磁気異常図の作成

中塙 正・小野 吉彦（地質調査所）

MAGSATデータ( $K_p \leq 2.0$ )を用いて日本周辺地域の磁気異常図(3成分X, Y, Zおよび全磁力F)を作成した。こうした磁気異常図の作成にあたっては、外部磁場(主にRing Current)の影響をいかに除くかが重要である。これまで、Pathごとに多項式で近似しその残差を磁気異常とする方法がとらわれているが、その物理的意味は明瞭ではない。

ここでは、Dip Latitude( $\phi$ )が $15^{\circ}$ ~ $55^{\circ}$ の範囲内で $\sin\phi, \cos\phi$ の1次式をPathごとにあてはめその残差を磁気異常とした。それ以外のData Reduction法の詳細は、'81年秋のMAGSAT磁力計シンポジウムのProceedingを参照されたい。結果は、下図に示す通りで、シンポジウムにおけるPreliminaryな結果と本質的差異はない。

本講演ではさらに、朝方側のPathのみの結果と夕方側のPathのみの結果との比較、高高度のPathと低高度のPathの比較などを行い、磁気異常の再現性の吟味を行いたい。



## MAGSAT 磁気異常図に現れる電離層の影響

柳澤正久, 河野長, MAGSAT研究班  
(宇宙研) (東工大理)

人工衛星の磁場データから crust/upper mantle 起源の磁気異常を調べる場合, 船舶や航空機の場合と違って, その高度が大きいために観測される異常が小さくなる ( $1 \sim 20 \text{ nT}$ )。そのためには磁気圏と電離層を流れる電流の影響を注意深く補正する必要がある。

これまでに一番大きな影響を及ぼす ring current による磁場を一次の球関数を使って補正し, それより波長の短いものは多項式を使って補正していた (Mayhew 1979, Langel et al. 1982, Yanagisawa et al. 1982)。我々はこれら外部磁場の影響をもつてはっきりとつかみ, 補正することを試みた。

図1のように朝側および夕方側の MAGSAT の磁場データを球関数で展開したときの係数を, 横軸を次数にとってプロットしたのが 図2 (a), (b) である。MAGSATの軌道より外側, 即ち, 磁気圏の影響を表わす係数  $E_n$  は 1次 ( $E_1$ ) を除いて非常に小さく, 1次~4次までの球関数を使えば容易に補正することができますことがわかる。

一方, 電離層や地球内部に原因をもつ  $I_n$  にはかなりのばらつきがあり, 多くのデータを平均しないと正しい結果を得られないことを示している。さらに 3次の係数  $I_3$  は朝側と夕方側で明らかに差があり, 3次以上の球関数まで使った補正をしないと, 朝側のデータで作った磁気異常図と夕方側のデータで作った図に違ひがでることを考えられる。

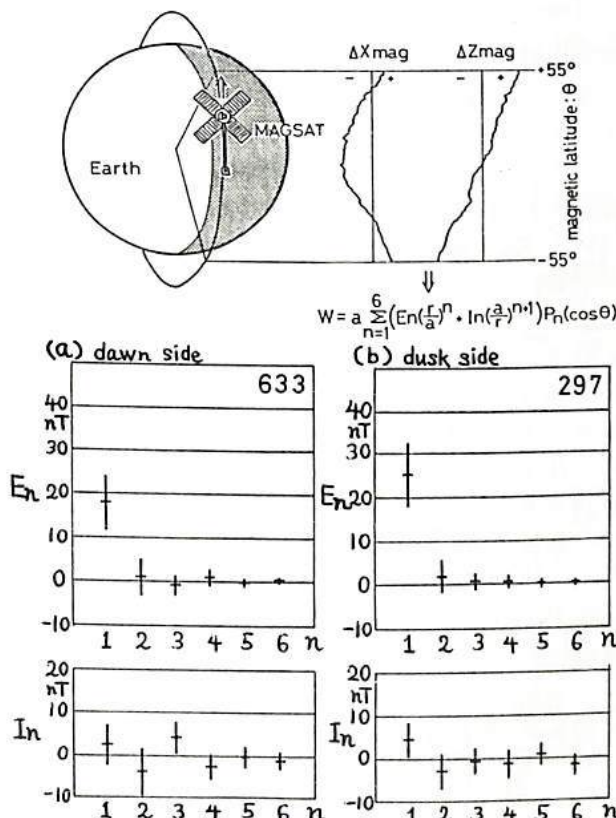


図1 MAGSATが朝側または夕方側の  $-55^\circ \leq \text{magnetic latitude} \leq +55^\circ$  の範囲を通過したときの磁場データ(ベクトル)を球関数を使って表わす。ただし、経度方向には一律であると仮定している。各軌道ごとに得られた係数  $E_n, I_n$  ( $n=1 \sim 6$ )の平均値と標準偏差を計算しプロットすると 図2 になる。

図2 図1の方法により得られた係数の全軌道 ( $-10 \leq Dst \leq 10 \text{ nT}$ )についての平均, 標準偏差のプロット。  
(a) 朝側, (b) 夕方側。磁気圏電流の影響 ( $E_n$ ) は 4次までの関数で表わせた。電離層, 地球内部の影響 ( $I_n$ ) は高い次数まで及んでおり, 6次の係数  $I_6$  も  $1 \sim 2 \text{ nT}$  の擾乱があることを示している。3次の係数  $I_3$  が朝側と夕方側で違うことを注目に値する。このような違いは磁気異常図にも影響を与えたらしい。

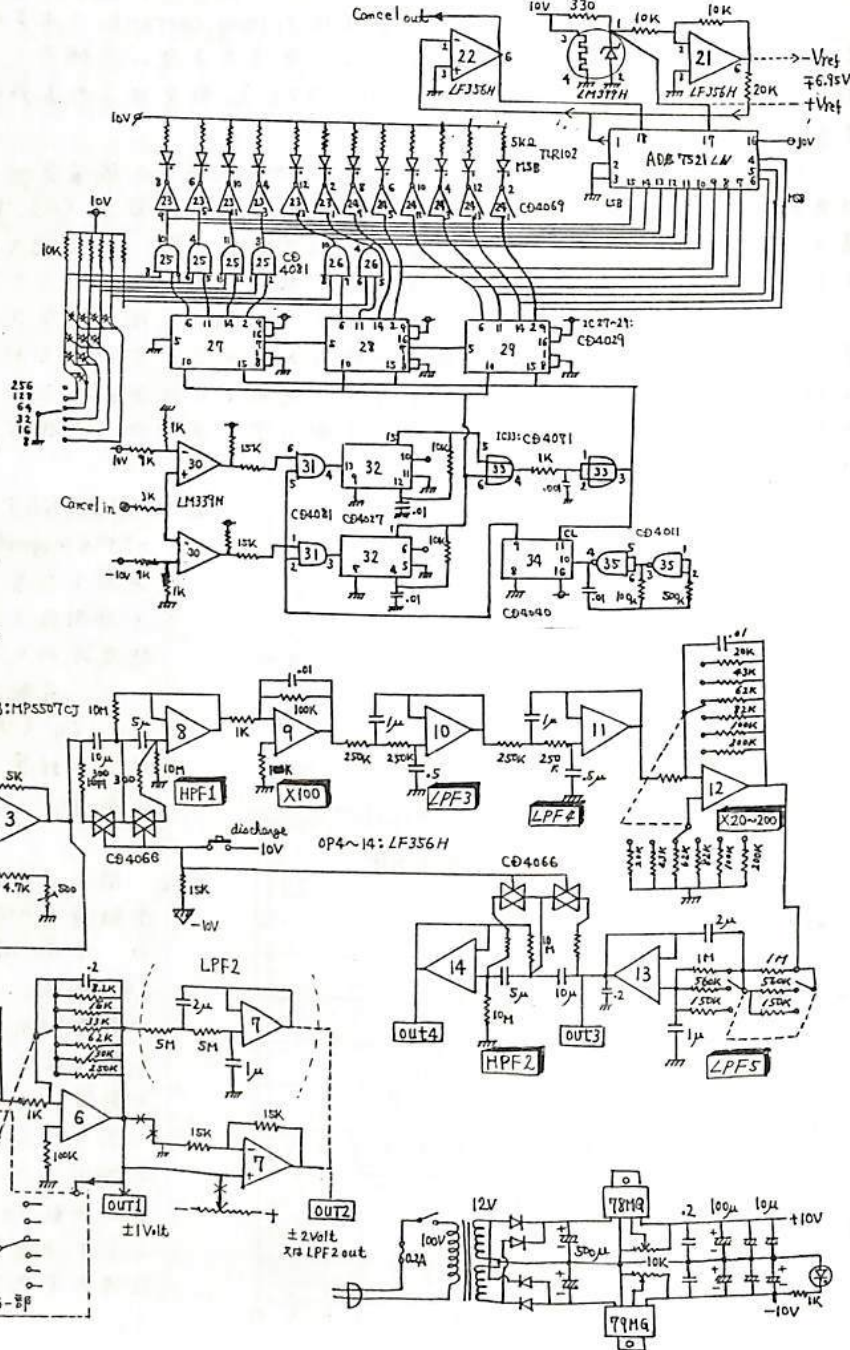
## オフセット打消し地電流計測アンプの開発

田中良知(京大・理) 吉野登志男(東大震研)

長周期の地電流測定では電極近傍の直流接觸電位差を打消す必要がある。通常外部電池により手動で打消すが、降雨や経時変化に追従できたり。この装置は増幅後の信号が土 $\pm 1V$ をこえた場合、 $\pm 1V$ に相当する信号を入力に戻して広いダイナミックレンジを達成した。図はTC82型の回路である。

DC~100秒部と500秒~1HzのAC部よりなり、目的に応じて使いわける。DC部に表題のオフセット打消し回路が含まれる(図上部)。出力OUT1が土 $\pm 1V$ をこえるとD/Aコンバータのdigitを上下してバランスする。これにより土 $\pm 1V$ のレコードが土 $2048V$ 相当のリニアレコード等価となる。分解能も20bit等価となり直接A/D変換による計測法より優れる。類似の方法はすでにいくつかの記録システムに見受けられるが、磁場計測や他の計測の記録用拡大法として利用価値がありと思われる。

われるので公表しておくる。  
本装置は1982年8月の中部地域での電磁気計測に使用する予定で運用結果につけても言及した。



## 海底超伝導磁力計の開発について

江村 富男, 中埜 岩男, 堀田 隆俊, 友田 好文, 永野 弘

(海洋科学技術センター)(島津製作所)(東大海洋研)(東大物性研)

地震予知に役立つ地磁気観測を海底で行う場合には、海底地殻の圧縮に伴う磁気の染出しを測定する地磁気全磁力観測と、海底地殻の構造変化の測定を目的とする地磁気変化3成分観測とに分れる。前者については、既に実用システムが開発されてい。後者については、フラックスゲート磁力計を用いた自己浮上式海底磁力計が東大海洋研究所を中心を開発され、海域試験が盛んに行われようとしている。

ところが、海溝付近の深海底での地磁気変化の観測を行う場合、海水の磁気シールド効果により、信号源である地磁気の短周期成分が著しく減衰されることが予想される。そのため、フラックスゲート磁力計では感度不足が懸念されるので、これを上回る高安定高感度の磁力計の開発が必要である。

本研究では、このような高安定高感度磁力計の1つと考えられる、原理的には  $10^{-4}$  nTという微弱磁場の測定が可能なrf-SQUID磁力計を特に取上げ、地球磁場測定用の磁力計としてどのように纏めればその秀れた特性を充分に發揮できるかを検討するため、rf-SQUID 3軸磁力計を試作し、陸上及び浅海底で総合特性試験を行った。

試作したSQUID磁力計は、円柱状の溶融石英に巻いた3対のコイルより成る直交3軸ピックアップコイル、3軸のSQUID素子ASSAY、3個のRFヘッド、3本の信号ケーブル(各200m)、3組の制御ユニット、液体ヘリウム冷却槽(FRP、25ℓ)と外筐体(Al、耐圧2kg/cm<sup>2</sup>)及び排気ホース(内径9.6φ、200m)とから構成され、外部出力として±10VFS(±10g、±100g、±1000gの3段切換)のアナログ信号が得られる。

このSQUID磁力計の電気的特性試験は京都市内で行い、3軸ともほぼ同程度の電気的特性を有すること、分解能は0.002g程度であることを確認した。

SQUID磁力計の陸上試験は、柿岡にある東大理学部附属地球物理研究施設を借用して実施し、その際、比較用としてフラックスゲート磁力計を併置し同時測定を行った。この結果、SQUID磁力計は、地磁気変化3成分観測ではフラックスゲート磁力計と同様の日変化等を記録し、途中で行った高感度測定ではフラックスゲート磁力計よりも1桁以上高感度であることを確認した。また、SQUID磁力計は、温度変化に対して極めて安定であることをも確認した。

次に行なった浅海試験では、淡路島北東部の海浜から約120m沖の水深約3mの海底に外筐体を埋設し、そこから信号ケーブルと排気ホースを陸上の計測小屋まで引いた。この時は陸上試験の結果の再確認、蒸発ヘリウムの排気状況および海特有の波浪や潮汐の影響を中心に調べた。この結果、海水中でもきれいな日変化を描き、海底磁力計としても充分に機能することを確認できた。また、波浪の影響については高感度計測および周波数分析を行い、周期約3秒以上の長周期変動が卓越していること、これは海浜に打寄せる波の周期変動とほぼ一致することなどを確認した。この測定期間中、一度だけ磁気嵐を観測し、また潮汐等の影響も記録に認められるが、詳しくは現在解析整理中である。

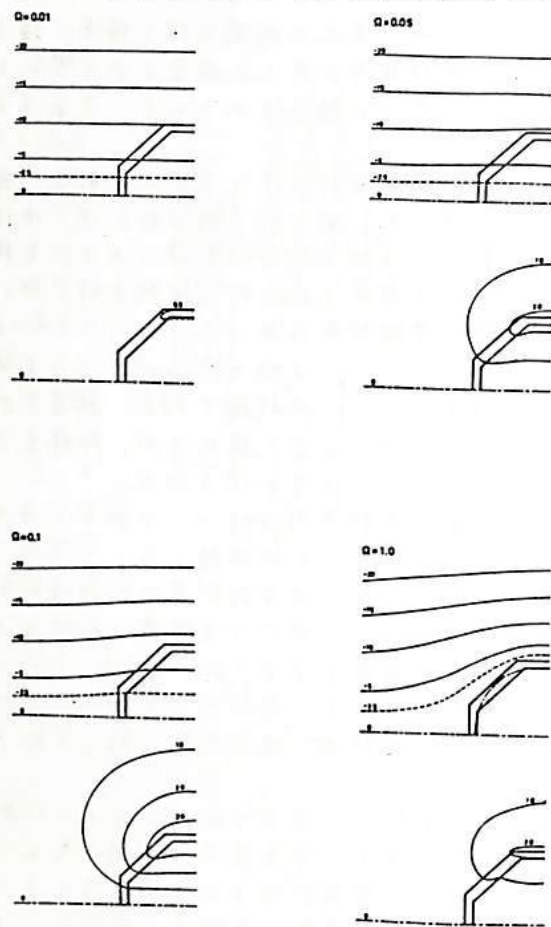
以上のように、rf-SQUID磁力計は海底磁力計として充分に実用に供せることができたので、現在次のステップとして、水深100mの海底で1ヶ月間の連続測定が可能な強制排気方式による海底超伝導磁力計の開発を進めている。

なお、本研究は、科学技術庁の地震予知に関する機器開発の一環として実施しているものである。

## 電磁シールド効果

力武常次(日大文理), 田中方文, 附田克晃(東工大理)

種々の形状をもつニ次元導体角柱(中空のものを含む)を考え, イングクション・パラメーター $\Omega$  ( $= 4\pi\sigma\omega D$ ,  $\sigma$ : 電気伝導度,  $\omega$ : 角周波数,  $D$ : 格子間隔)のいろいろな値について, 交流磁場の角柱内および周辺における様相を調べた。透磁率 $\mu$ が1の場合のほか,  $\mu = 100, 1000$ などの場合についても調べた。1例として, 断面が準八角形の場合( $\mu = 1$ )について異なった $\Omega$ について磁力線分布の変化する様子を図に示す。



断面が四角な場合よりも、八角の場合の方が中空角柱内部の磁力線は一様な分布に近くその様子は中空円筒に近づく。つまり形状が滑らかになると、円筒近似が成立しやすくなる。 $\Omega$ が大きくなると磁力線は導体内に侵入しにくくなり、シールド率は急増し、 $\Omega = 1$ とすれば90%以上となる。また $\Omega$ の中間の値でout-of-phase成分の磁場が最大となることは円筒の場合と同じである。

ルギ"大きくなれば、中央部のシールド率が大きくなることは当然であるが、壁付近の磁力線のふるまいは複雑で、シールド率を一概に議論しがたい。

## Pc 3, 千葉 地磁気脈動の source 効果と電磁誘導

下泉 政志, 坂角介, 北村 康一 (九大理)

誘導型磁力計により得られた地磁気脈動(周期 10sec ~ 100sec)を用い、その source 効果(日出効果)及び大地の電磁誘導による影響を調べた。

## [データ]

女満別(MMB), 鹿屋(KNT), 下関(AFO)の3地点については、同時に観測データを用い、AFOの近傍の久住(KUJ)は異なる期間のものを用いた。

## [データ解析]

サンプリング時間(3.0 sec for MMB, KNT; 2.4 sec for AFO, KUJ)など、1解析区間は、ほぼ1波束を含む~25 min (512.5 sec)で、256個単位で FFT 处理し、各々ずつ overlap させて、移動平均することにより、基本量(Power, Cross-Spectrum)を求めた。

## [結果]

日出に伴う水平面内偏振主軸の変化は、4地点において確認された。

KNT, KUJ は、AFO と殆んど同様に、日出前の N-S から NW へと変化するが、MMB は、変化パターンが異なり、これは、主に東西成分(?)振幅が常に大きいことに依る。

一方、位相差( $\phi_H - \phi_O$ )は、MMB, KNT, AFO 共に、同一(Source field)変化に従らず)と見做せる。

この事から、MMB の水平成分は(その anomalous part は)、resistive を考慮により生じたものと多からず、座標的には、大洋の sheet current の pattern によって説明するに便である。

鉛直成分に関しては、local の電流により強く左右される為、今回のデータからその原因を推定することは困難で、各地点における感度の同時観測が必要となる。

Schumann 赤振周波数におけるインピーダンス  
推定の信頼性について

最田久司 小山茂  
(東京大学地震研究所)

Schumann 赤振現象は、MT(マグネット・テルツ)法に適用した場合、ほとんど常時観測可能であること、地下探査深度の目安となる Skin depth が数100m～数km であることなどの特徴を有する。従って、地震予知・火山噴火予知の目的で地下の地盤抗変を監視する上で、壳素行なわれている。電気探査の手法に替わり得る可能性を持っています。我々は、実際にこの手法をインピーダンスの時間変化観測に適用した場合に、どの程度の信頼性が得られるのか、言い換えれば、どの程度の変化があれば観測にかかり得るのかと調べてみた。

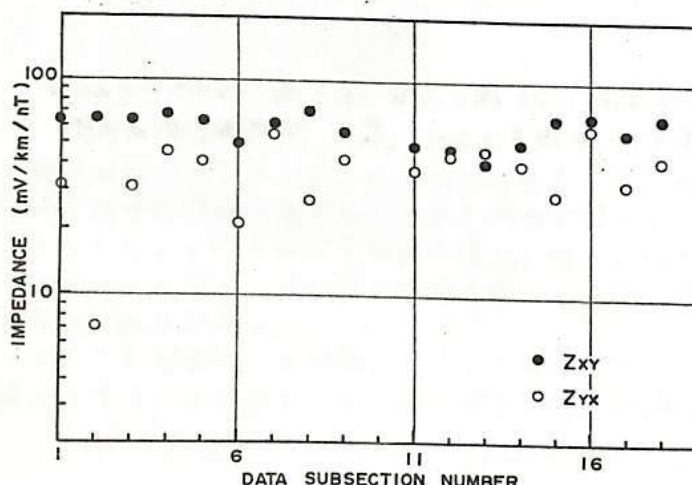
i) Data 用いた Data は、1981年10月17日11時30分から約10分間、同日12時00分火葬10月18日16時00分まで、毎正時から約5分間、八ヶ岳地磁気観測所構内で測定したものである。測定は磁場および電場各2成分を行なった。使用した磁場センサーはインダクションコイル、電場測定の電極間隔は、NS が43.2m、EW が37.7mである。

ii) 解析 FFT 法によるスペクトル解析によると、各測定における全 Data の長さは、11時30分のモードで  $18 \times 25.6$  (sec)，その他では  $10 \times 25.6$  (sec)，Sampling interval は各 5ms である。各 25.6 sec の長さの Data に対して、自由度 40 のインピーダンスを取る、各時刻の推定値としては、各モードの Weight をかけた平均値をとり、時間依存性の有無を調べた。さらに、11時30分の Data に対しては、各 25.6 sec の Data ごとの信頼性についても検討を行なった。

iii) 結果 八ヶ岳観測所では、16時30分ごろから翌朝の7時30分頃まで、地電流の Noise level が 100～1000倍程度増大するので、この間の Data は用いることができない。しかし、それ以外の時間帯では、オ1～オ3 モードのピークを持つスペクトルがほとんど Data から得られ、良好な結果が得られた。図は、11時30分の測定時刻内の推定値のバラつきを示したものであるが、各時刻の推定値としては、1点の推定値の誤差の度数を

標準偏差 とし、平均値とすることにより、10%～10% の信頼度が得られた。

結論としては、地域性の Noise の特性をよく調べ、測定時刻と場所と選ぶところにより、数%程度の信頼度の日平均値を得ることは、充分可能であると言えるところである。



## Horizontal Spatial Gradient 法による電気伝導度構造解析

小川康雄, 行武 敏, 鈴田久司  
(東大地震研究所)

Horizontal Spatial Gradient (HSG)法とは、地磁気水平成分の空間傾度と鉛直成分との比から、一次元的な地下電気伝導度構造を求める方法である。これは Magneto-Telluric (MT) 法と同等な情報を与える。この方法は 1981 年夏の東北日本での地磁気観測データに適用し、MT 法の結果と比較した。

(i) HSG 法のあらまし: 磁場各成分の持つ水平方向の波数を利用する方法である。Gradient (Grad) 及び inductive scale length と呼ばれる応答関数 (C) を次のように定義する。

$$\text{Grad} = \frac{\partial H_x}{\partial x} + \frac{\partial H_y}{\partial y}, \quad C = \frac{H_z}{\text{Grad}}$$

C は MT 法のインピーダンス・テンソルを結びつけられて

$$Z_{xy} = -Z_{yx} = i\omega\mu C$$

となる。これは HSG 法が MT 法と同等であることを示している。

(ii) 東北日本のデータへの適用: 1981 年に地殻比抵抗研究グループにより、東北日本で地磁気地電流共同観測が行われた。このデータのうち、1981 年 7 月 25 日の磁気嵐に対し、仁別 (nbt), 戸沢 (tzw), 鳴子 (nrg) の 3 観測点で得られた地磁気 3 成分の記録を利用した。

Grad 及び地域平均的な z 成分の求め方を以下に示す。地磁気强度に準拠した各観測点の座標 ( $x_i, y_i$ ) 及びその点での ( $H_{x0}, H_{y0}, H_{z0}$ ) がわかっているので、

$$H_x = H_{x0} + \alpha_x x + \beta_x y$$

$$H_y = H_{y0} + \alpha_y x + \beta_y y$$

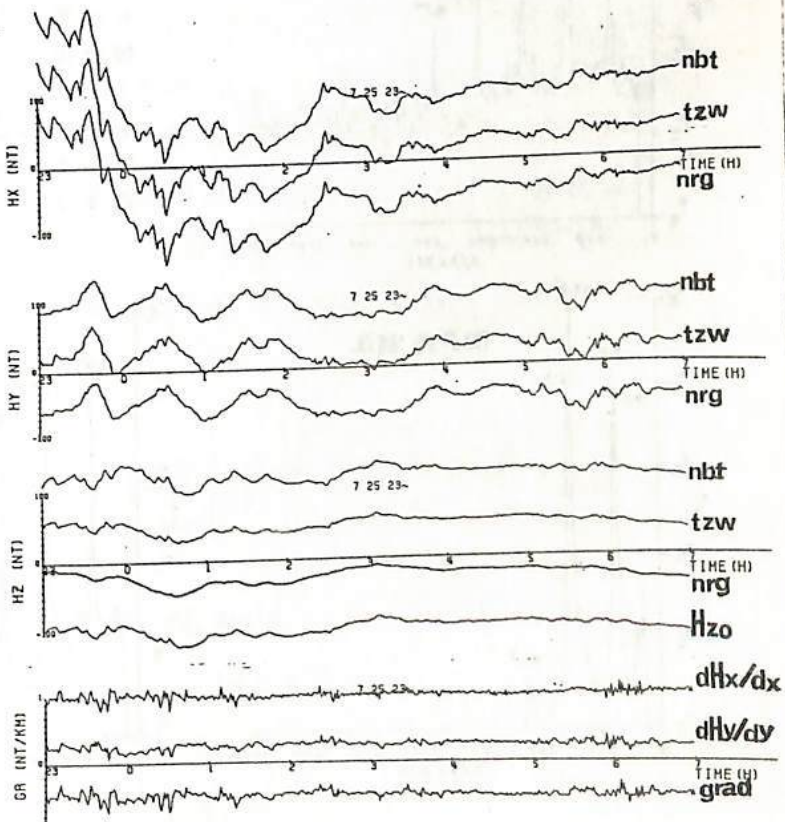
$$H_z = H_{z0} + \alpha_z x + \beta_z y$$

とすれば、 $H_{x0}, \alpha_x, \beta_x, H_{y0}, \alpha_y, \beta_y, H_{z0}, \alpha_z, \beta_z$  が求まる。そして  $\text{Grad} = \alpha_x + \beta_y$  が求まる。 $H_{z0}$  は地域平均的な z 成分と考えられる。Grad 及び  $H_{z0}$  を周波数解析し、C を求める。

(iii) 結果: こうして求めた C から見かけ電気伝導度  $\sigma_{app} = \frac{1}{\omega\mu} \frac{1}{|C|^2}$  を求めた。下にその結果と、戸沢の MT 法の結果を示す。2 つの方法で同じ order の結果が得られた。

| 周期   | HSG 法                | MT 法                 |
|------|----------------------|----------------------|
| 64 分 | $1.3 \times 10^{-2}$ | $1.8 \times 10^{-2}$ |
| 32 分 | $1.9 \times 10^{-2}$ | $1.2 \times 10^{-2}$ |

(単位 S/m)



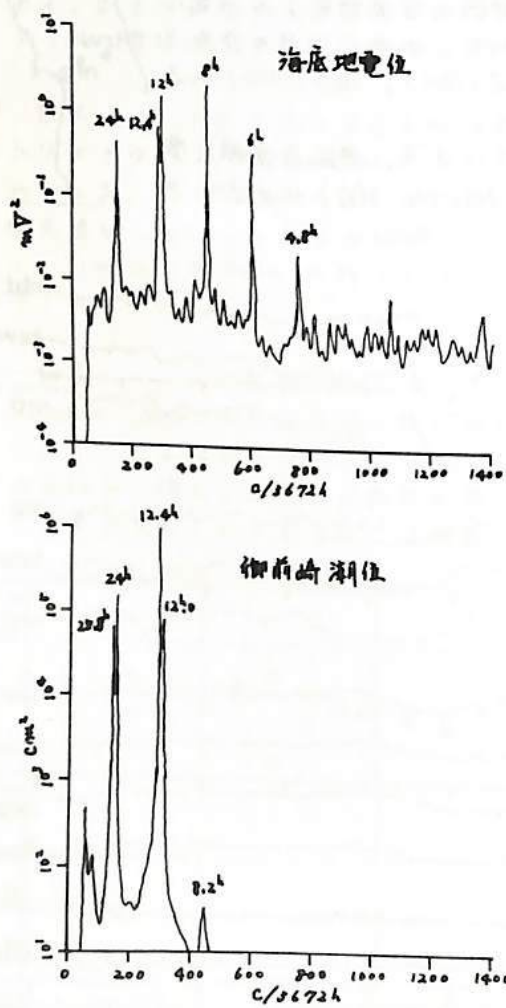
## 東海沖海底地電位のスペクトル解析

森 俊 雄  
気象研究所

東海沖に設置されていはる海底地震計常時観測システムの給電マ圧を利用して、御前崎海岸から沖合110kmまでのスパンの海底地電位観測を行つてゐる。

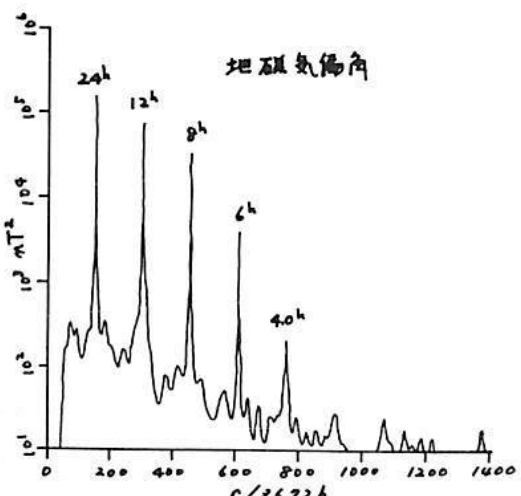
東海沖の海底地電位変化や地磁気変化や陸上の地電流変化、潮位変化等とどのような関係にあるかを調べるために、周期数10秒から数日のパワースペクトルを求めた。

下図は1980年8月から12月までの5ヶ月間の毎時位に60時間のハイパスフィルターをかけた場合のパワースペクトラム(ARモデルに83)である。図に見らるるよろに、海底地電位のスペクトル構造は、半日周期より短い周期については地磁気変化(特に偏角の変化)とよく類似しており、半日周期より長いM<sub>2</sub>項やS<sub>2</sub>項に見ると潮位と良く対応している。



O<sub>1</sub>項(25.8...h)は御前崎の潮位変化や海底地震計先端部の水圧(海面水位)変化に立ち小さく、海底地電位には現れていらない。

磁気嵐や地磁気脈動、あるいはノイズと思われる短周期変化について、柿岡その他の地磁気変化や御前崎白羽小学校の地電流変化等のスペクトルと比較した。現段階ではまだはつきりしないことは言えないが、1分程度の変化では地磁気変化と対応する。ノイズについても数分程度まで白羽小学校の地電流ノイズと対応する。



## 男鹿半島における地電流観測

西谷 忠郎, 乗富 一雄, 山崎 明  
(秋田大学 鉱山学部)

以前、秋田県男鹿半島で地電流観測を行なったが、残念ながら満足できる記録を得ることはできなかった。レコーダーに直接入力して観測したのであるが、オーバースケールが大部分であった。感度を下げればスケールをオーバーすることはないが、微少変化は得られない。感度を上げても自動的にオフセットを調整するレコーダーなら観測は可能であるが、オフセットにも限度がある。入力を増幅した場合にも同様の問題はある。今回の観測では、微少変化を得ることを目的としているのに操作の簡単な地電流観測器を自作して観測に用いた。地磁気変化も同時に観測した。入力は炭素鉛電極によるデジタルボルトメーター(シンキ-SC-53、フルスケール 2.8000V)に導き、下3ケタのBCD出力をD/A変換してアログレコーダーに記録するようにした。下にプロットダイアグラムを示す。こうすることによって 0.0 ~ 99.9mV の変化がレコーダーに記録できる。急激な変化でなければ絶対値を再現することも可能である。上記デジタルは入力抵抗も高く、普通の地電流観測には十分である。男鹿半島での地電流観測は硫酸銅電極による入力を増幅する方式も同時に行なった。両者のうちを比較すると同時に地磁気変化との対応を検討する。また、地電流観測における問題点も考えてみたい。



地電流観測器  
プロットダイアグラム(1山のみ)

山崎断層近く近傍における地磁気脈動変化の  
特性

宮腰潤一郎  
鳥取大学 教養部

兵庫県南西部とほぼ東西に延びる山崎断層は一致して著しい低比抵抗帯が存在する。人工電流・ELF-MT法・地磁気脈動観測等の各種の手段によって明らかにされている。しかしながらこの低比抵抗帯の存在は変化周期数10分のサブストームの領域における観測では認められないことから、このものは狭いチャンネル構造を有しがつその下限の深さはせいぜい10km程度であろうと推定される。だがしかしこれらのことに関する観測データはまだ充分とは言えない。この場合、断層の電気伝導度に関する情報を得るために地磁気脈動周期帶における観測が適当であると考えられるが、この断層の直上もしくはその南縁に位置すると想はれる春(USZ)と、中国自動車が通りかかつ地形面にあらわれている構造線上に位置する安志峠の北側の地底、安志(ANJ)のそれそれの地底において三成分地磁気脈動変化の観測を行い、さらには地底において地磁気脈動水平成分の同時比較観測を実施した。結果は以下の通りである。

1. 地磁気脈動周期帶における地磁気バーキンソンベクトルの方向は、春(USZ)では明らかに北向きでありこの地底の北側に良導体が存在することを示す。一方安志(ANJ)におけるベクトルの大きさは殆んどゼロでありこの地底が良導体の直上にあることを表わしている。
2. 両地底における水平成分の振幅は、南北成分に関しては明らかに安志(ANJ)の方が大きく、かつその比は周期特性を示し周期10secでは約3割ほど安志(ANJ)の方が大きい。このことは1の結果と矛盾しない。

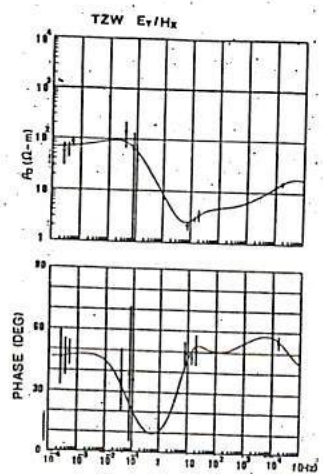
Magneto-Telluric 法による東北日本の地殻の電気  
比抵抗構造

柴田久司, 行武毅, 地殻比抵抗研究グループ  
(東京大学地震研究所)

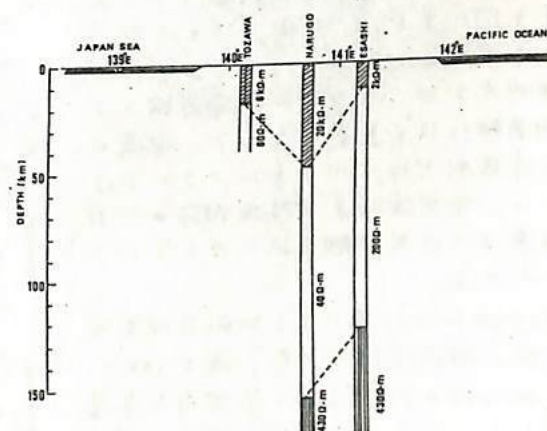
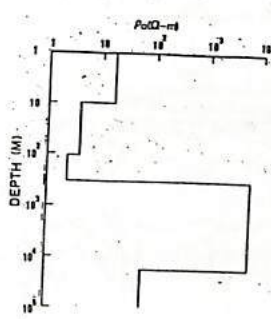
1981年6~8月, 東北日本の太平洋側から日本海岸にかけて, フラッシュスケート型磁力計や誘導型磁力計を用いて, 地磁気・地電位差の連続観測を12研究機関の協力のもとに実施した。観測の対象となる現象は, (1)磁気嵐等の長周期(数分~数100分)変化, (2)地磁気脈動, (3)ELF-Schumann 失張帶(8~20Hz)の電磁場変化, (4)VLF(17.4kHz)による探査である。ここでは, 主として地磁気・地電位差変化観測による Magneto-telluric 法の解析結果について報告する。

ELF-VLF探査については, 上記の連続観測共にみる戸沢と鳴子と通り, 東西に東北日本を横断するよう走査線で, 脈動観測を行なった。この結果は, すでに今春の学会で報告したように, 太平洋側の北上山地で高化粧花, 日本海側で低化粧花という傾向が得られている。

長周期帯と地磁気脈動の観測については, 江刺・鳴子・戸沢の3点で得られた Data を中心に解析した。山形県新庄市近くの戸沢では, 電位差変化の異方性の小ささ, 良好的 Data が得られた。今春報告した後, さらに解析を行なめ, 最終的に図1のような走査結果を得た。下部地殻の約1km 以深に良導層が存在するかが特徴的である。一方, 鳴子では南北向・江刺では東西方向の電位差変化に強い異方性が見られ, 一次元近似モデルにはむずかしいが, 異方性の少ない成分を用いて, オルトガローブ元モデルを求めた。図2は3点の Data から Inversion で求めた構造を合わせて図示したものである。地震波速度構造における Conrad 面に対応すると思われる深さ(鳴子では深めにまでいる)以深に, 良導層が見られるることは注目すべき結果である。



(左図)



(右図)

## 日本海溝周辺での海底地磁気地電位差観測

行武毅（東大震研）・J. H. Filloux（カリフォルニア大）・瀬川爾朗（東大洋研）・  
渕野洋三（東大理）・歌田久司（東大震研）・小林和男（東大洋研）

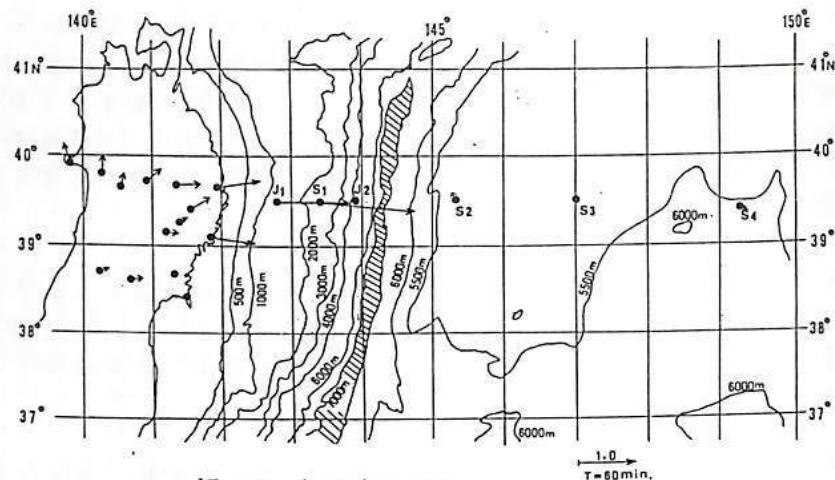
1981年6-8月、日米科学協力事業により第1回に  
てT=J<sub>1</sub>, J<sub>2</sub>, S<sub>1</sub>~S<sub>4</sub>の各  
点で地磁気地電位差変化の  
連続観測を行なう。T=J<sub>1</sub>, J<sub>2</sub>  
はFluxgate型磁力計を、S<sub>1</sub>~  
S<sub>4</sub>には吊り磁石型磁力計と  
salt bridge chopper方式の電位  
差計を設置した。

得られた記録の一例を第  
2回に示す。先ず目につく  
のは、深海底の観測点S<sub>2</sub>,  
S<sub>4</sub>で、地磁気3成分(H<sub>x</sub>, H<sub>y</sub>,  
H<sub>z</sub>)の振幅が小さく( $\approx 2'$ )

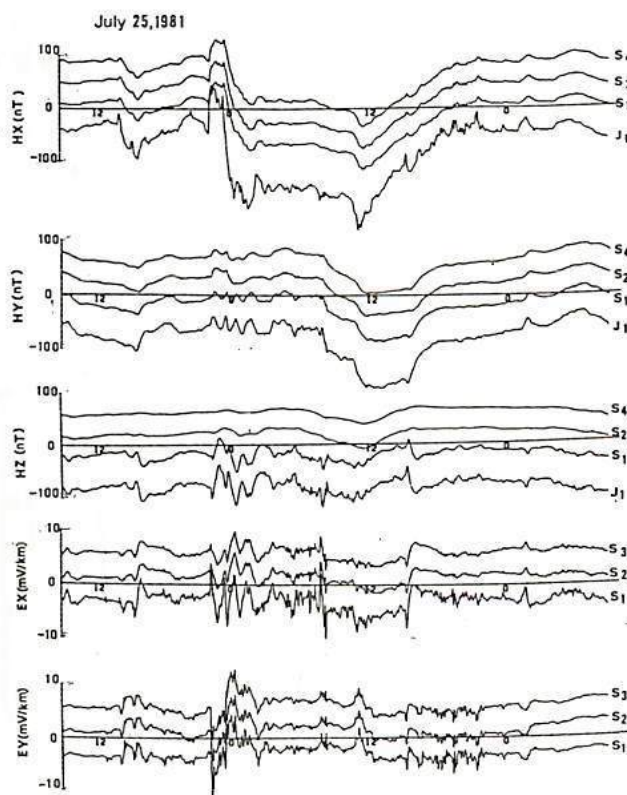
ある。海水によるshielding効果が深海  
ほど顕著であることを示している。次  
に顕著なのは、大陸棚上の観測点特に  
J<sub>1</sub>点において地磁気鉛直成分変化が大  
きいことである。一方電場変化には、  
深海底と大陸棚上で、地磁気変化に  
見られたようでは、さりとした違いは認  
められない。

地磁気変化の変換閾数を求め、周期  
60分の成分について電磁誘導ベクトル  
を第1回に示した。陸上で得られた結果  
をもあわせて記入してある。大陸棚  
の観測点では、ベクトルが海岸線より  
海溝軸にほど直立している。海溝の  
東の深海底では、ベクトルはさわめて  
小さい。海岸線効果が陸地内部から日本  
海溝までの大陸棚全域に及んでいた  
のがわかる。

Magneto telluric法による地磁気地電位  
差変化の解析を行なう。深さ100~  
170 km (=270.1 mho/m)の高電位導層  
が現れる。二本子で海洋底観測で得ら  
れた結果とよく調和する。



第1回 観測点配置と  
周期60分における誘導ベクトル



第2回 海底における地磁気(H<sub>x</sub>, H<sub>y</sub>, H<sub>z</sub>)  
電場(Ex, Ey)観測例。

東北日本における地殻の電気抵抗観測  
— C A 解析 —

徳本哲男  
(地磁気観測所)

地殻抵抗研究会 - 7'

1981年6~8月=五々二、東北日本の太平洋側から日本海にかけて、フラックスゲイト型磁力計や誘導型磁力計を用いて地磁気地電位差連続観測を、12研究機関の協力のもとで実施し、その後CA変換関数の解析を地磁気観測所が行なった。

地磁気嵐等擾乱の大きな期間のT-タミ達び、Everett and Hyndman (1967) の "least square method" を用いてCA変換関数を求めた。Fourier変換は短周期地磁気脈動(誘導型磁力計)については1秒値3分間、地磁気嵐等の長周期擾乱(フラックスゲイト型磁力計)については1分値3時間分を単位として計算した。

解析結果の一例として、各地点でのCA変換関数(Au----図1 Bu----図2)と周期32分程度のPerkinson Vector(図3)を示す。尚 フラックスゲイト型磁力計のT-タミの成分は西向か正である。図からわがよろしくて、男鹿~官古の東西測線では、周期30分程度では Au<0であり、東北日本異常が明瞭である。又Buは東へ行くにつれて大きくなる。

この二つはPerkinson Vectorを見れば、日本海側で北を向いたものが、太平洋側では東を向くことに相当するが、これは津軽海峡の影響が予想される。

地磁気脈動を含め、さらに詳しい解析結果については講演時に譲る。

ref. Everett, J.E. and R.D. Hyndman, 1, 24, 1967, Phys. Earth Planet Interiors

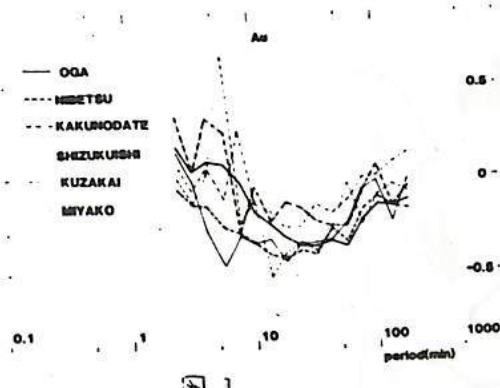


図 1

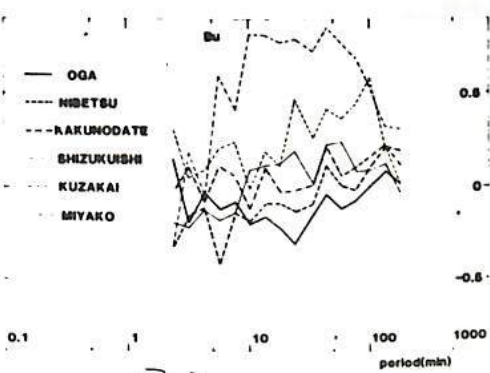


図 2

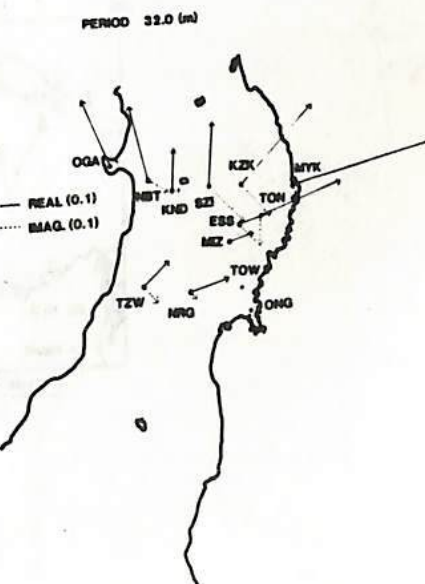


図 3

Magnetic Variation Study in North Central Saskatchewan, Canada

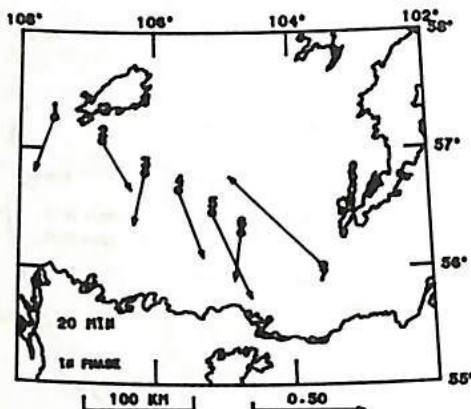
S. HANNA

P.A. CAMFIELD (both at: Earth Physics Branch, Energy, Mines and Resources Canada; Ottawa, Canada, K1A 0Y3)

Seven recording magnetometers monitored time-varying fields at points on a nw-se line 300 km long in north central Saskatchewan during July 1981. We wished to test the hypothesis advanced by Alabi, Camfield and Gough (1975) that the conductivity anomaly in the North American Central Plains links with the Wollaston Domain in the exposed Precambrian of Saskatchewan. We were surprised to discover from clear reversals in the phase of vertical variations that the conductor passes between two stations straddling the Rottenstone-La Ronge Magmatic Belt, to the immediate east of the Wollaston. Enhanced horizontal variations transverse to the Belt at a third, intermediate, station reinforce this interpretation. Vertical-field response arrows in the period range 39-2440 sec from daytime events clearly indicate the existence of a major conductor which extends to considerable depth along the Belt. To the northwest across the Cree Lake zone, reversals in the direction of response arrows at short periods (up to 244 sec) imply complex electrical structures in the shallow part of the crust only.

Lewry (1981) terms the Rottenstone-La Ronge Belt a Hudsonian "Cordillera-type" arc massif, and describes strong geological evidence for collisional suturing and microplate interaction in this part of the Churchill Province. Thus there appears to be a stronger relation between the conductor and a possible Proterozoic plate boundary extending 1500 km from central Saskatchewan to Wyoming.

Alabi et al. 1975, Geophys. J.R. astr. Soc. 43, 815-833  
Lewry, 1981, Nature 294, 69-72.



## 北アナトリア断層帯西部域における電磁気異常

本底義守・大志万直人  
(東工大理)

松田時彦  
(東大震研)  
A.M. Işıkara  
(イスタンブール大理)

昨年に続き、今年も6月に北アナトリア断層帯西部域において、全磁力・自然電位・比抵抗・ELFMTの観測を行った。今回は、昨年選んだ観測地で諸観測を継続したほか、断層がクリープしておらずと見られておりISMETPAŞA(イシメトパシャ)において新たに観測を行った。本講演では、ISMETPAŞAで得た結果の概要を報告する。

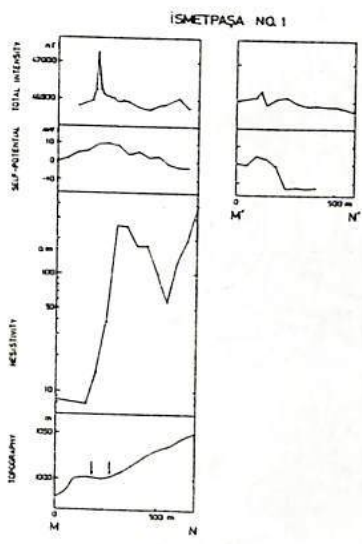
ISMETPAŞA第1測線の結果

この測線は、クリープ運動が地表に現われてから地点から西方約500mの所に選んだ。もちろん、断層線にはほぼ直交する方向に測線をとった。第1図の最下部に示されており、地形条件は限らずしもよくなれば、できるだけクリープ地帯に近いという点を最優先とした。地形断面図の矢印は、左側がクリープの延長線、右が地形からみた断層線を示している。比抵抗(Wenner法:電極間隔30m)は、24本の断層線を境に大きく異なっている。自然電位は断層線付近で10mV程度の正の異常が見られる。全磁力には極めてローカルな異常が、クリープ線上で見られる。

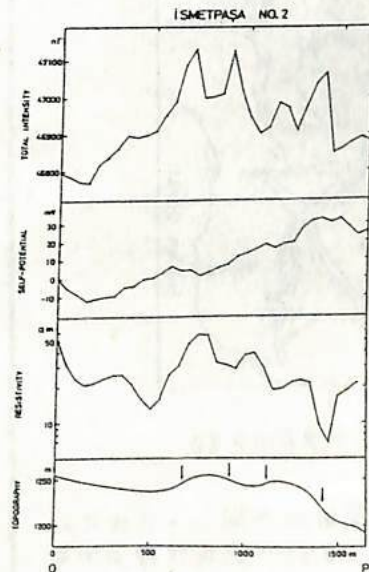
ISMETPAŞA第2測線の結果

この測線は、第1測線から数km西に離れた所であるが、典型的な断層地形が見られるという好条件を備えている。第2図の最下図に示したように、断層地形から4本の断層線が同定できることには、24本の断層線それぞれに対し、全磁力の正のピーグが対応する。さうに併び比抵抗層もよく対応する。24本のうち、一番右のものが主断層であることが、比抵抗のデータおよび自然電位の30mVにも及ぶ正の異常から推定できる。これは地質・地形の面からも支持される。

第1図



第2図



## ニイラゴンゴ・ニアムラギラ火山地域の 磁気異常と比抵抗分布

三品正明, 浜口博之, 村上栄寿 田中和夫 N. Zana  
(東北大・理) (弘前大・理) (I.R.S., Zaire)

東アフリカ地溝帯中部は、ビクトリア湖をかこあのように東部地溝と西部地溝とに分かれている。西部地溝のほぼ中央部に非常に活発な活動を続けている活火山、ニイラゴンゴとニアムラギラがある(オ1図)。我々は文部省科学研究費(海外学術調査)の交付を受け、「ニイラゴンゴ・ニアムラギラ火山の地球物理学的調査研究」を実施してきた。調査は昭和52, 54, 56年度の3回実施された。この調査の一環として行われた磁気測量及び地抵抗調査の結果を報告する。

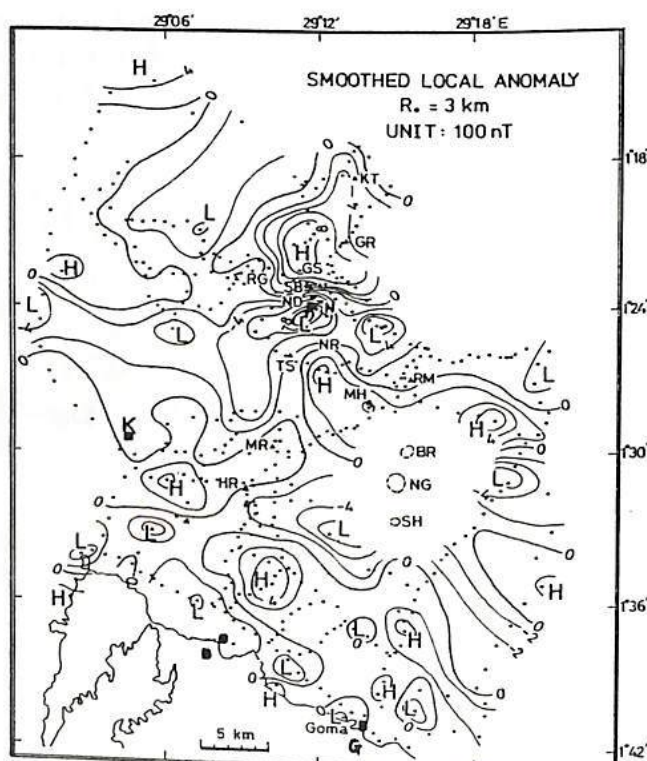
磁気測量にはプロトン磁力計が用いられた。玄武岩質の火山地域であることから、地表付近は非常にノイズが多いので、センサーの高度は地上約5mとした。総測点数は420点である。IGRFを基準として磁気異常をもとめた。地上5mではまだ地表面付近の岩石の影響が強く、短波長の磁気異常が多いので、ハニシング型の荷重をかけた移動平均により平滑化した。比較的浅い部分の影響を反映していると思われる磁気異常をとり出すため、3kmの範囲の移動平均値から、地域要素として15kmの範囲の移動平均値を差引いた。結果をオ2図に示す。こめ図で▲印は1938年以後の噴火による側火口の位置を示している。これらその他にニアムラギラ、ニイラゴンゴ両火山の山頂火口での火山活動も活発であった。磁気異常の分布はこれらの火口の分布と調和的であり、マカマ滲りなどの地下構造を示唆しているものと考えられる。

比抵抗観測は、周期15~30秒の脈動を用いたマグネットテルリック法によって行われた。磁場観測は誘導磁力計によった。地溝西縁(K), 東縁(G), 中央部(N, B)の4点(オ2図■印)で測定が行われた。K点で100~400Ω·m, G点で20~100Ω·m, N, B点で1~3Ω·mの比抵抗値が得られた。この分布は地溝の構造、火山活動などと調和的である。



オ1図: 東アフリカ地溝帯中央部

オ2図: 地磁気異常分布図 ▲は近年の  
噴火地點, ■印は比抵抗観測地點



## 伊豆半島西部地域における全磁力変化

大志方直人・本藏義守・田中秀文  
(東工大・理)

80年のCAミニボジウムにおいてすでに講演を行なったように 海岸に近い測点においては、潮汐によるダーケモ作用の影響をうけている。図1はそれを示している。その効果は3~4nTに及ぶおおよそいる。従って当然ながら、くりかえし磁気測量を行なう場合においてもそのことを考慮する必要があると思われる。測量を行なう場合、行なう地域に中繼点をもうけてその中繼点との連続観測のデータを利用し基準点とすべき観測所との差を取れば、一般的であるが、潮汐の効果を考慮するならば、たゞ単に各測点と距離の近い中繼点を選ぶのみでは不充分となる。海岸から離れたに従って潮汐の効果は小さくなるはずである。従って西部地域の測点を3つの部分(地域)に分け3つの連続観測点のデータを利用することにしている。しかしながら我々が行なっている戸田(HED)のデータは不幸に測量期間中欠測になることが多かったため充分には機能していない。また観測開始は1981年からのためそれ以前のデータは利用できない。(図2) 菅引(SGH)を中心とした地域の決定は図3のT21のIRY(八合)の結果を参考して行なった。

測点における変化の様子を図4に一部、80までの結果として示すが、中繼点の再考慮による改善はさほどいちじろしくはない。

なお、T10を中心とした測点は伊豆大島近海地震の時の最大余震M5.7の震央にあたり近い測点で、その際もとと大きめの変化を示した測点である。

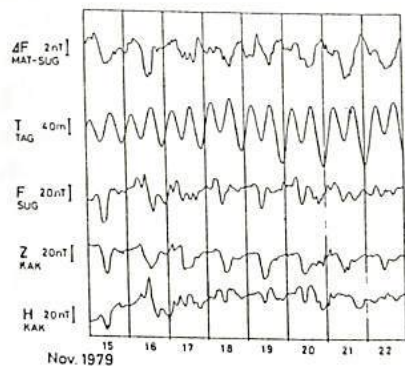


図1

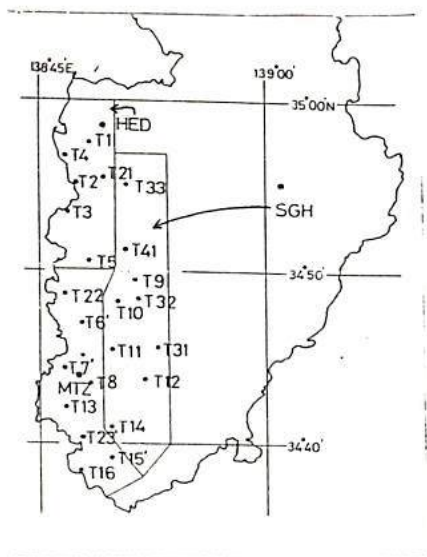


図2

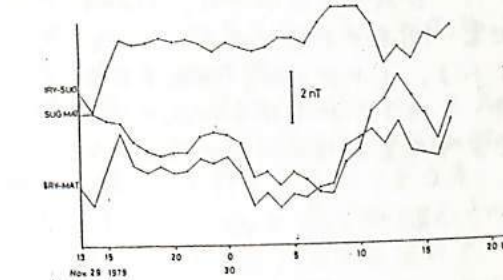


図3

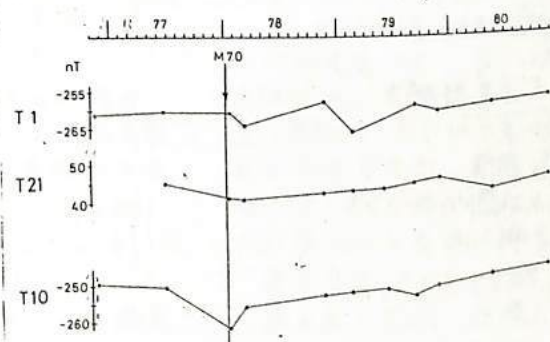


図4

伊豆半島における地殻隆起および地震に  
関連する比抵抗変化について

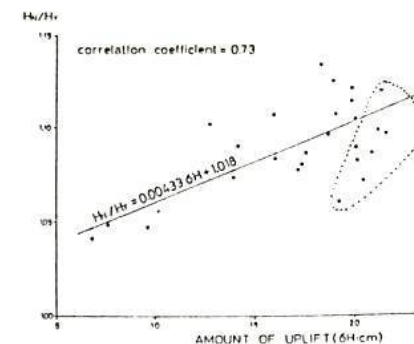
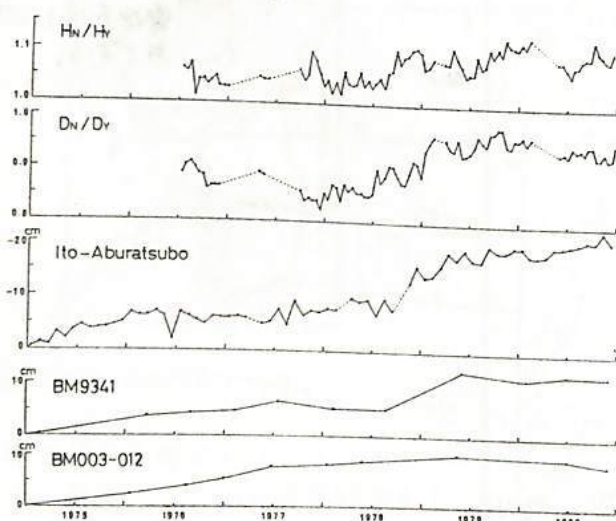
本城義子・平進太郎  
(東工大理)

地磁気短周期変化の水平成分を利用して、地球内部の電気伝導度変化を検出した方法、およびその中伊豆観測点への適用については、すでに数回報告してきた。中伊豆における観測は1976年より始まっているが、観測システム変更のため、1980年末をもって一連のデータ解析を終了することとした。そこで今回はまとめとして、成果を報告する。

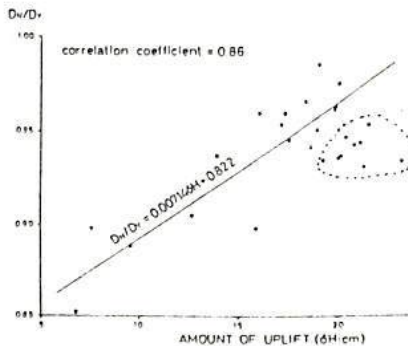
本研究の目的はもともと地震予知の基礎的研究にあるので、地磁気短周期変化の振幅比の経年変化を、地震および地殻変動との関連において調べてみた。第1図にH<sub>v</sub>およびD<sub>v</sub>成分に対する振幅比の経年変化のまとめを示した。また、伊東・油壺間の潮位差およびベンナマーフBM9341, BM003-12における隆起をも示してある。地磁気短周期変化の振幅比の変化は地球内部の比抵抗変化を反映していると考えてよいので、地殻隆起に関連して比抵抗が変化したと考えてよい。

この関連をもう少し定量的に調べるために、顕著な地震の発生していない1978年7月～1979年12月の期間のデータを用い、H<sub>v</sub>およびD<sub>v</sub>とU<sub>v</sub>の振幅比と地殻隆起(潮位差のデータを利用)の関係を示したもののが第2図および第3図である。D<sub>v</sub>に関する場合は、0.86という高い相関係数が得られ、H<sub>v</sub>に関する0.73という結果になつた。また、それらの成分に対して図に示したような関係式が得られた。これらの関係式と地殻隆起のデータから1980年5月以降の振幅比を予測できましたが、実測値は予測値よりH<sub>v</sub>・D<sub>v</sub>成分とも小さく、1980年6月のM6.7の地震に関連する変化があつたのではないかと考えられる。したがって、伊豆半島東部の地殻隆起に伴って地下水が中伊豆付近に流出し、伊豆半島東方沖地震前後に一部が流れ出たと解釈できる。

第1図



第2図  
第3図 点線で囲った部分は1980年5月以降のデータ



# 茂木モデルの隆起地形が作る磁気異常

笠井洋一  
東大震研

火山噴火に伴う地殻変動を理解する上で、茂木モデル（MOGI 1958）は重要な役割を果している。茂木モデルによる重力変化は萩原（1977）によって詳しく調べられた。

重力変化は次の4項の和で表わされる：

G1：地球重力場の鉛直勾配中を隆起又は沈降によって測点が移動することによる、フリー・エア変化。

G2：地表の隆起部分が作る重力。

G3：マグマ溜りの膨張による質量欠損。

G4：地殻全体の密度変化による重力。

これに対応して、茂木モデルに伴う地磁気変化も、次の4項の和で与えられる：

M1：地球主磁場中を測点が移動することによる変化。

M2：地表の隆起地形全体が作る磁気異常。

M3：マグマ溜りの膨張部分（球殻で近似）

は帶磁地殻の消失に相当し、その寄与。

M4：応力による帶磁変化（ピエゾ磁気変化）。

筆者（SASAI 1979）はM4を求め、噴火に先立つ隆起に伴って全磁力が減少することを示した。ところでM1はM4より3桁程小さく、M3もM4より1桁小さいことが分っていたが、M2の評価が難しかった。今回M2を厳密に求めてみた。M3と同様にM4と比べて1桁以上小さいことが分った。即ちM1< M2~M3< M4である。これは重力変化がG1> G2~G3> G4であることを極めて対照的で、地磁気観測はオーナイア的には応力変化を測っていることを示している。

茂木モデルの隆起地形が作る磁場は、RIKITAKE（1951）が円錐台状火山の作る磁気異常をまとめた式と、全く同じ式で表現できる。

$$\Delta X = 2\pi J_0 \{ \cos I_0 (E \cos 2\phi - G \cos \phi) - H \sin I_0 \sin \phi \} \quad (1)$$

$$\Delta Y = 2\pi J_0 \{ \cos I_0 \sin 2\phi (\frac{F}{r} - \frac{G}{2}) - H \sin I_0 \sin \phi \} \quad (2)$$

$$\Delta Z = 2\pi J_0 \{ G \sin I_0 - H \cos I_0 \cos \phi \} \quad (3)$$

ここで、 $J_0$ ：平均帶磁、 $I_0$ ：伏角、 $\phi$ ：磁気的北方向からの方位角で、 $F$ 、 $G$ 、 $H$ は次の式で与えられる。

$$\begin{aligned} \pi F/r &= 2 r^{-\frac{1}{2}} \int_0^{h_0} \alpha^{\frac{1}{2}} \left( \frac{2-k^2}{k} K - \frac{2}{k} E \right) dz_1 \\ 2\pi G &= r^{-\frac{1}{2}} \int_0^{h_0} K \alpha^{\frac{1}{2}} \left\{ K + \frac{K^2 \alpha^2 - (2-k^2)}{2(1-K^2)} E \right\} dz_1 \\ 2\pi H &= r^{-\frac{1}{2}} \int_0^{h_0} K \alpha^{\frac{1}{2}} \left\{ -K + \frac{2-k^2}{2(1-K^2)} E \right\} dz_1 \end{aligned} \quad (2)$$

ここで、 $K$ と $E$ は完全積円積分で

$$k^2 = 4ar/(ca+r)^2 + (z-z_1)^2 \quad (3)$$

RIKITAKEの式は、任意の軸対称な一様帶磁物体の作る磁場を与える一般的な公式である。この場合には $\alpha = \alpha(z_1)$ として、茂木モデルの隆起量を与える式

$$z_1 = h_0 \frac{D^3}{(a^2+D^2)^{\frac{3}{2}}} \quad (4)$$

を用いればよい。 $h_0$ は最大隆起量であり、 $D$ は力源の深さを表す。 $z_1 \rightarrow a$ の变换で $(0, \infty)$ についての積分 $K$ かえ、二重指數関数型数値積分公式（森正武 1974）を適用すると、極めて精度の高い数値積分ができる。

$z$ 軸上 ( $r=0$ ) の値は、(2)式で求められないので、この時は

$$G_0 = \left( \frac{2F}{r} \right)_{r=0} = G_{r=0} = \frac{3h_0}{D} \int_0^\infty \frac{\alpha^3 d\alpha}{(a^2 + (d+h_0 - z))^{\frac{3}{2}} D^{\frac{1}{2}} (1+d^2)^{\frac{1}{2}}} \quad (5)$$

$H=0$ で与えられる。 $d$ はセンサーの地上高。

$G_0$ の値は

$$h_0/D(1+\delta_1)^3 < G_0 < h_0/D(1+\delta_2)^3 \quad (6)$$

$\delta_1 = (d+h_0)/D$ ,  $\delta_2 = (d/D)$ と押さえることは出来、 $\delta_1$ と $\delta_2$ が小さいので、

$$G_0 \approx \frac{h_0}{D} \left( 1 - 3(d + \frac{1}{2}h_0)/D \right) \quad (7)$$

である。これを用いて

$$\Delta X = -\pi J_0 G_0 \cos I_0, \Delta Y = 0, \Delta Z = 2\pi J_0 G_0 \sin I_0 \quad (8)$$

一方、ピエゾ磁気変化M4は

$$C_S = 2\pi J_0 \frac{h_0}{D} \left( \beta \mu \frac{\lambda + \mu}{\lambda + 2\mu} \right) \quad (9)$$

に比例するので、 $\beta = 1.0 \times 10^{-4}$  bar<sup>-1</sup>,  $\lambda = \mu = 3.5 \times 10^5$  bar を採用すると、M4の方がM2よりも1桁以上大きいことになる。しかし火山体がガサガサで、見掛け剛性率が通常の岩石よりも1桁も低い場合K1は、M2, M3, M4が同程度のこともあり得る。

萩原幸男（1977） B.E.R.I., 52, 301-309.

森正武（1974） 曲線と曲面、共立出版。

MOGI, K. (1958) B.E.R.I., 26, 99-134.

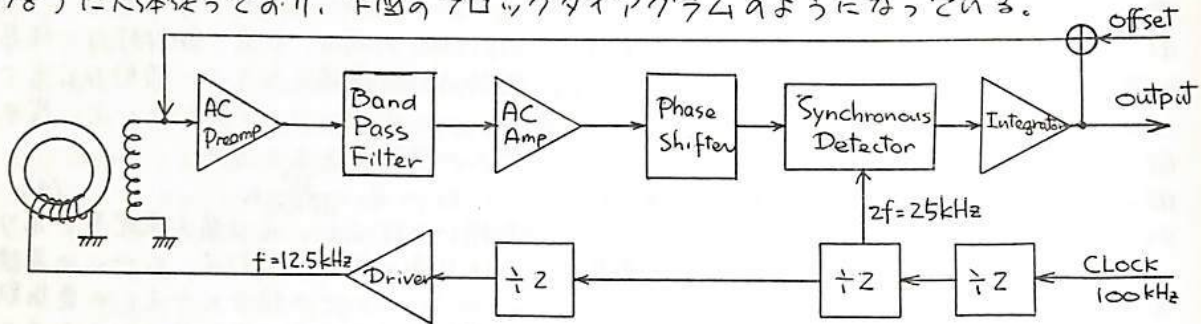
RIKITAKE, T. (1951) B.E.R.I., 24, 161-181.

SASAI, Y. (1979) B.E.R.I., 54, 1-29.

## 岩石磁気用リングコア磁力計の特性測定

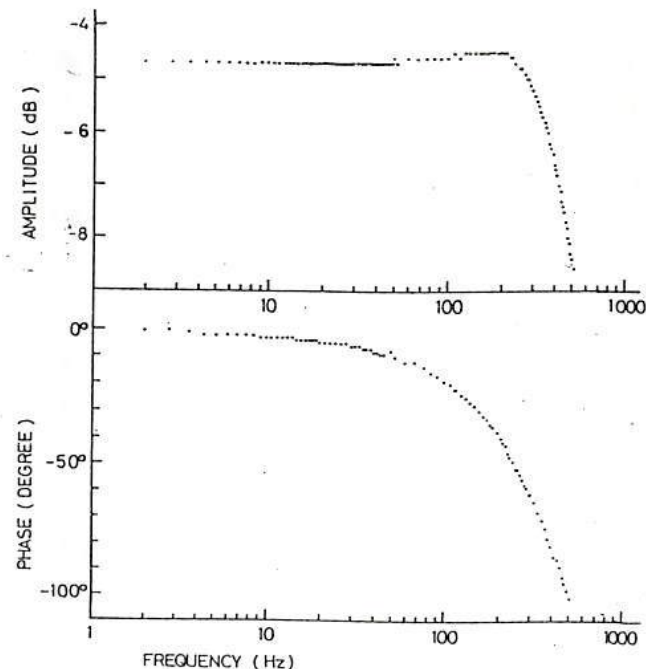
小柳政彦, 河野長, 国分征  
(東工大理) (東大理)

これまで我々が岩石磁気測定装置のセンサとして用いていた Schonstedt 製の Null detector は余り高感度ではなく、また周波数特性が悪く特に 50 Hz のノイズをひろいやずれなどの欠点があった。そこで今回、リングコアを用いた磁力計を作製し、岩石磁気用として十分の特性をもたすことことができた。回路は MAGSAT 用磁力計 (Acuna et al., 1978) に大体従っており、下図のブロックダイアグラムのようになっていた。



磁化測定用の磁力計は磁場測定用にくらべて (1) 絶対精度は多少必要しない、(2) ダイナミックレンジがあり必要がある、(3) ドリフトに余り神経質ではない変りに周波数特性が高域まで十分のべきである必要がある。などの点が異なり、どちらかといふと (1) もりやすい。ここでは、測定器全体のレスポンスが Butterworth 特性に近い形を持つように調整した。全体の特性を主に支配しているのは交流アンプのゲインと積分器の時定数である。下に調整後の振幅および位相特性を示す。カットオフ周波数は約 500 Hz で、特に約 50 Hz までの振幅は完全にフラットになっている。50 Hz のノイズからずみにのっているか特別問題にはならない。全体のゲインは出力 1 V が 100 nT になるように調整した。更に高感度が必要になる場合には、出力を計算機コントロールのプログラムブル・ディジタル・シグナル・プロセッサーで 1 ～ 1024 倍まで変化させることができる。50 Hz 以下のノイズレベルは 0.03 nT 程度であるため、このようなくだりな増幅が可能である。

位相変化は 0 ～ 200 Hz の間で完全に直線的である。このため、データのサンプリングを一定時間あくらめれば、全く波形のゆがみなしのデータが得られる。この特性のために、このセンサーを用いるスピナーモータでは回転数を 0 ～ 50 Hz の範囲で注意に変えることができるはずである。Paleomagnetic Processor では、双極子シグナルのみを考えればよい場合など 0 ～ 12 回転/秒で運転することも可能である。



## — partial post-DRM の獲得時期による安定性の違い —

桂 郁雄・篠嶋貞雄

京大・理

人工堆積物を用いて、残留磁化(post-DRM)に含まれる、圧密程度の異なった段階で獲得された磁化成分(partial post-DRM)の分離の可能性について検討する。

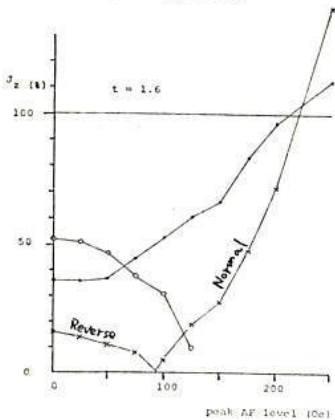
post-DRM は堆積物が圧密されるに従ってしだいに獲得されてゆくが、各圧密段階で獲得される partial post-DRM の磁化量は、圧密が進むに従って急激に減少してゆく(第10回年会、1981)。このようが partial post-DRM の獲得率の圧密に伴なう減少は、堆積物の構造の変化とその内に含まれる磁性粒子の動きやすさの減少により説明できる。堆積物粒子が沈積したとき、最初に粗い粒子による堆積物の骨格形成があり、その後、間隙を埋めるようにより細粒の粒子の沈積があり(この時点では粗粒子の骨格は動かないが細粒のものは動きうる)、次に微細粒子の凝集・結合があり、さらに骨格組織に組込まれてゆき、磁性粒子もしだいに動きがなくなる。堆積物の乾燥程度差による、交流磁場を作用させたときの磁性粒子の反応を見れば、磁場により動き得る粒子の量は乾燥が進むにつれ減少することがわかつてあり(Otofuji et al. 1982)，同様の反応は圧密作用の途中でもみられるだろ。partial post-DRM の獲得率は、動きうる磁性粒子の量に大きく依存する。

この圧密の進み方を考えるならば、圧密の段階によって partial post-DRM の粗い手の磁性粒子の大きさや堆積構造への組込まれ方、固着の程度に当然強弱がつくと考えられる。partial post-DRM を担う磁性粒子には、それが獲得された圧密段階によりエネルギー的に安定性に差があると予想される(例は Tucker, 1980)。

そこで、圧密過程の一部で磁場を作用させ、他の時間は無磁場として partial post-DRM を獲得させた堆積物をつくり、その磁化の交流磁場消磁に対する反応をみることにした。出発物質として至  $74\mu\text{m}$  以下の深海底 reddish brown clay を密度 1.14 g/cm<sup>3</sup> の状態で用意し、これを遠心機で圧密させ 約 1.4 g/cm<sup>3</sup> の密度の堆積物試料をつくる。圧密の間、次のように磁場を作用させた  
① 0 → 七分まで 0.30 Ae (Normal: 下向); その後無磁場 (得られた post-DRM を  $J_{N/R}$  とする);  
② 0 → 七分まで無磁場; その後 0.30 Ae (Reverse) ( $J_{R/R}$ );  
③ 0 → 七分: Normal, その後 Reverse:  $\pm 0.30 \text{ Ae}$  ( $J_{N/R}$ );  
④ 始めから最後まで Normal 0.30 Ae ( $J_N$ )。さらに①～③をいろんなセにつけ繰返す。でき上った試料をそれぞれ段階交流磁場消磁してみる。

• :  $J_{N/R}$   
○ :  $J_{R/R}$   
× :  $J_{N/R}$   
(H = 0.30 Oe, 600 rpm, 120 min)

図 1.



その結果、圧密の初期のころの partial post-DRM ( $J_{N/R}$ ) は、より後の段階で獲得される partial post-DRM ( $J_{R/R}$ ) より交流磁場消磁に対して安定であった。これは  $J_{N/R}$  と  $J_{R/R}$  の消磁結果からだけではなく、 $J_{N/R}$  を消磁してみると始め Reverse だった磁化がしだいに反転し Normal になった例からも示される。post-DRM は partial post-DRM の加算で表わされるが(Otofuji & Sugiura, 1981), 今回の実験でも加法則( $J_{N/R} + J_{R/R} = J_N$ ; たとえ  $J_{N/R} = -J_{R/R}$ ) が誤差 2~13% で成立した。そこで加法則を急頭に置いて post-DRM ( $J_N$ ) に占める partial post-DRM の各成分 ( $J_{N/R}$  と  $J_{R/R}$ ) の割合を各交流消磁段階について示したのが図 1. である。明らかに  $J_{R/R}$  の方が  $J_{N/R}$  より先に選択的に消磁されていくのがわかる。従って、二の partial post-DRM の安定性の差を利用して、post-DRM に含まれる成分の分離、とくに正逆反転期での両極成分の分離の可能性が見出された。さらに partial post-DRM の獲得率の推移がわかれれば、反転のパターンを詳しく知ることができるようになる。

## 普通コンドライトの残留磁化の性質

浜野 洋三

(東大理)

隕石の持つ自然残留磁化は、太陽系初期の磁場を調べる手段として重要であり、今までに数多くの研究が行なわれてきている。地球上の岩石を使った古地磁気学と比べて、隕石古地磁気学の困難さは、隕石が方向づけられていないことにある。このことは、磁場強度に関する議論しか行なえないという以外にも、残留磁化の起源を調べる上でも大きな問題となる。前回の学会では、隕石の持つ磁気異方性から隕石母天体内での隕石の方向を推定する試みを述べた。今回はこの異方性座標系に対するNRM強度及び方向の性質、ARM、IRM、VRM等の残留磁化の性質を調べた結果について報告する。使用した隕石は、オーラー表に示すように、H及びLグループに属する普通コンドライトの試料である。オーラー表にはNRMに関する測定結果をまとめたものである。ミニでは、NRM強度( $J_n$ )、MDF、20 oeで交流消磁した時の磁化強度( $J_{20}$ )、伏角( $I_{20}$ )、偏角( $D_{20}$ )、及び平均初期帶磁率( $K$ )を示す。この表からわからることは、(1)初期帶磁率がHとLグループで比較的まとまつた値を各々示すのに対して、NRM強度が $10^{-1} \sim 10^{-3}$  emu/cc の広い範囲を持つ。(2) MDFは炭素質コンドライトに比べると小さく、50 oeをこえるものは22個の試料中4個にすぎない。(3)磁気的にsoftな成分を取り除いた20 oeの消磁後の偏角は、 $0^\circ \sim 30^\circ$ 、 $30^\circ \sim 60^\circ$ 、 $60^\circ \sim 90^\circ$ の範囲にあるものが、それぞれ8個、7個、7個と一様分布を示す。これに対して伏角は、上記の範囲にあるものが、それぞれ13個、7個、2個と、著しく低伏角の試料が多い。以上のような結果は、隕石の残留磁化の起源を論ずる上で、新らしい情報をたらす可能性を示す。

TABLE 1

| SAMPLE      | TYPE | $J_n$ | MDF | $J_{20}$ | $I_{20}$ | $D_{20}$ | $K$   |
|-------------|------|-------|-----|----------|----------|----------|-------|
| Y74156      | H4   | 12.54 | 4   | 1.61     | 12.43    | 60.53    | 46.09 |
| MONROE      | H4   | 3.61  | 16  | 1.33     | 27.52    | 39.67    | 59.85 |
| Y74647      | H4S  | 37.34 | 8   | 7.31     | 6.66     | 85.85    | 69.23 |
| ALH77294    | H5   | 1.63  | 19  | 0.807    | 53.70    | 23.50    | 44.18 |
| WELLMAN     | H5   | 36.8  | 21  | 19.12    | 31.33    | 15.63    | 53.84 |
| GILGOIN ST. | H5   | 27.14 | 9   | 4.91     | 58.45    | 65.88    | 62.59 |
| ALH77288    | H6   | 2.45  | 56  | 1.77     | 66.54    | 25.05    | 46.02 |
| GLADSTONE   | H6   | 10.15 | 30  | 6.11     | 23.43    | 87.01    | 33.56 |
| Y74191      | L3   | 1.65  | 22  | 0.879    | 61.18    | 19.53    | 14.12 |
| Y75097      | L4   | 0.965 | 21  | 0.495    | 37.97    | 63.95    | 19.22 |
| FARMINGTON  | L5   | 32.42 | 55  | 29.25    | 16.77    | 23.90    | 17.83 |
| ARAPAHOE    | L5   | 10.21 | 14  | 3.60     | 0.29     | 28.60    | 27.40 |
| MET78003    | L6   | 2.04  | 18  | 0.959    | 4.96     | 38.83    | 18.95 |
| ALH78251    | L6   | 2.34  | 19  | 1.14     | 31.88    | 60.27    | 14.12 |
| ALH78103    | L6   | 2.76  | 17  | 1.15     | 9.78     | 68.90    | 14.30 |
| ALH769      | L6   | 6.25  | 25  | 3.29     | 25.79    | 45.53    | 12.78 |
| ALH77231    | L6   | 3.06  | 24  | 1.71     | 54.66    | 48.48    | 17.34 |
| KUNASHAK    | L6   | 3.56  | 14  | 1.20     | 7.94     | 22.55    | 21.76 |
| BRUDERHEIM  | L6   | 6.08  | 7   | 0.791    | 19.19    | 57.99    | 24.07 |
| NEW CONCORD | L6   | 1.53  | 12  | 0.426    | 43.51    | 30.62    | 22.15 |
| LEEDEY,1    | L6   | 88.5  | 108 | 85.1     | 15.92    | 13.25    | 24.98 |
| LEEDEY,2    | L6   | 99.7  | 88  | 93.8     | 14.09    | 36.35    | 20.32 |

( $10^{-3}$  emu/cc) ( $\text{oe}$ ) ( $10^{-3}$  emu/cc) ( $^\circ$ ) ( $^\circ$ ) ( $10^{-3}$  G/oe)

百瀬寛一 永井寛之  
信州大. 理学部

Ym 74646 領石の Thermomagnetic curve を Fig.1~2 に示す (Fig.1 の実線と Fig.2 は船木氏による)。Fig.2 は同一領石の 2nd 及び 3rd run の Curve を示してある。3rd run は 2nd run のあと約 2 年後に再測定したものである。これらの curve は Fig.1 の実線で示す Cooling curve の上に重なる。このように一度高温まで加熱された試料は本の状態には、この程度の時間では戻らない。Fig.1 の実線で示す Curve は同一の領石について測定した結果であるが、実線の Curve と完全には重ならない。理由は試料が heterogeneity であること、粒子ごとに Ni content が異なること及び加熱速度によるものと考えられる。Fig.3 には 29 at% Ni-Fe Alloy の Original と  $\alpha$  (800°C 3 hr) で熱処理したものの Mössbauer の測定及び Thermomagnetic curve を示してある。この Alloy は約 56% の FCC 相を含んでおり (JS の測定値と計算値の比較による)。Fig.3 など Alloy の Thermomagnetic Curve の示す性質から Ym 74646 領石の Ni content, 中央値は 26~29% のものであることを推定した。実際に Fig.1 の実線で示すに試料を EPMA によって同定した結果、A 粒子の 8 Point の中央値は 28.504% で 27.272~31.104 の範囲、B 粒子 9 Point の中央値は 27.676% で 18.811~31.976 の heterogeneity があつた。上述の実験結果から、Ym 74646 領石の熱史を推定すると、母天体として、1. 500°C 以上の熱を受けている。2. もともと加熱されていたら Melting point 以上に上昇していた。3. もともと 500°C~1400°C まで上昇したことがあつたなら母天体の環境はかなりの低温であつた。

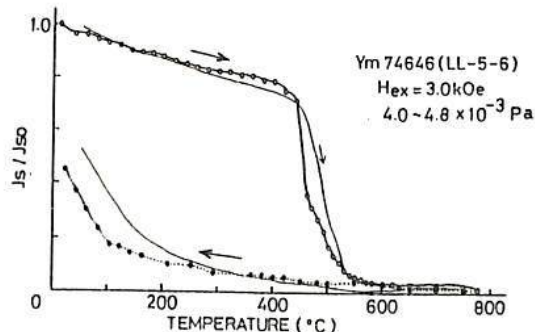


Fig. 1

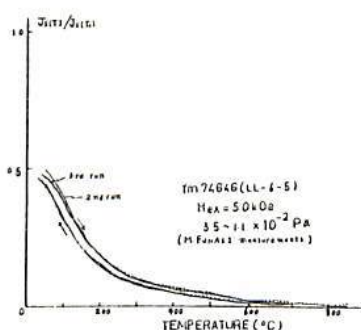


Fig. 2

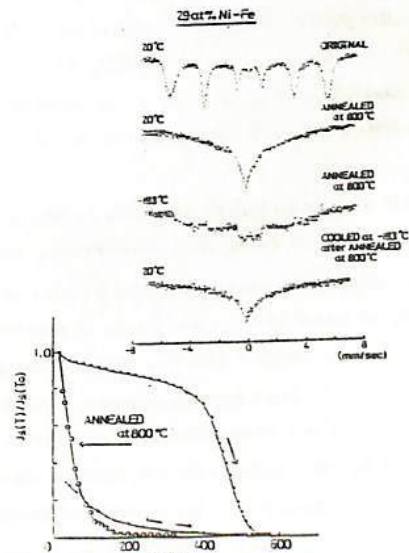


Fig. 3

## References

- J. Crangle and G.C. Hallam (1963) Proc. Roy. Soc. A: 272, 119~132.  
——— and G.H. Goodman (1971) " " 321, 477~491.

## (隕石の磁気的分類方式)

Takeshi NAGATA

National Institute of Polar Research

(I) A magnetic classification scheme of chondrites proposed by the author (Nagata 1978) has been reasonably widely accepted at present. The classification scheme is based on two parameters, i.e. (a) content of ferromagnetic metals represented by saturation magnetization ( $I_s$ ) of bulk specimen of a chondrite and (b) poorness of relative content of nickel in metallic components represented by ratio of saturation magnetization of kamacite phase ( $I_s(\alpha)$ ) to total saturation magnetization ( $I_s$ ). Fig. 1 shows the  $I_s(\alpha)/I_s$  versus  $I_s$  diagram where all data obtained to date of 5 chemical groups of chondrites E-, H-, L-, LL- and C-chondrites, and ureilite group of achondrites and a group of achondrites except ureilites are identified to well separated respective domains.

(II) The same diagram having the two parameters,  $I_s$  and  $I_s(\alpha)/I_s$ , can be applied on a magnetic classification of 3 major groups of achondrites too, as shown in Fig. 2. It is because the ureilite group contains exceptionally large amount of Fe-Ni metals compared with any other group of achondrite, while metallic components in the eucrite and howardite group contain much less Ni in comparison with those of the diogenite group so that the metallic component in eucrites and howardites is mostly kamacite whereas that in diogenites comprises mostly plessite and less amount of kamacite. In the  $I_s(\alpha)/I_s$  versus  $I_s$  diagram for achondrites (Fig. 2), the 3 chemical groups of achondrites are well designated to separated domains.

(III) It may be hardly possible to apply the same diagram on classifying iron meteorites. Iron meteorites can be chemically classified into 3 major groups, namely, a group of hexahedrites and Ni-poor ataxite, both of which contain about 5 wt% Ni, octahedrite group of 7~12 wt% Ni and Ni-rich ataxite of more than 15 wt% Ni. Hence, the  $\gamma \rightarrow \alpha$  transition temperature of kamacite phase ( $\Theta^*_{\gamma \rightarrow \alpha}$ ) in the cooling thermomagnetic curve is adopted to separate octahedrites from a group of hexahedrites plus Ni-poor ataxite, while  $I_s(\alpha)/I_s$  is still useful to separate a group of Ni-rich ataxites from the other two groups.

Fig. 3 shows the  $I_s(\alpha)/I_s$  versus  $\Theta^*_{\gamma \rightarrow \alpha}$  diagram for a magnetic classification scheme for iron meteorites. In the  $I_s(\alpha)/I_s$  versus  $\Theta^*_{\gamma \rightarrow \alpha}$  diagram, the 3 major groups of iron meteorites can be well designated to respective separated domains.

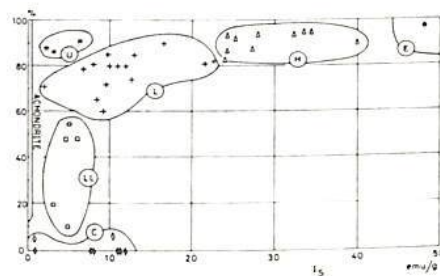


Fig. 1

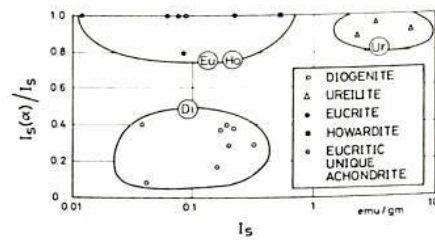


Fig. 2

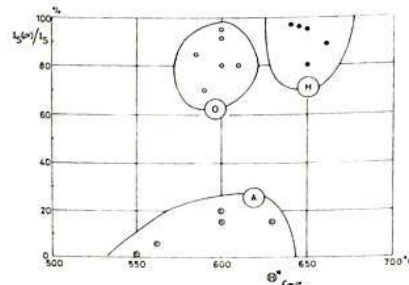


Fig. 3

## ダイヤモンド中に見出されたきわめて始源的He

小嶋 棟・座主繁男  
(東京大学理学部)

南ア連邦内のいろいろな鉱山から採集された13ヶのダイヤモンド(各々約1カラット)を用い、これらに含まれるHe-同位体比( $^3\text{He}/^4\text{He}$ )およびHe存在度を測定した。この結果、2ヶのダイヤモンドにつき、 $^3\text{He}/^4\text{He}$ 比が $(2.35 \pm 0.53) \times 10^{-4}$ ,  $(3.16 \pm 0.25) \times 10^{-4}$ という異常に高い同位体比が見出された。この値は、大気中のHe同位体比の100倍以上、又、太陽系内で最も始源的と考えられている隕石中のHe-A ( $^3\text{He}/^4\text{He} = 1.4 \times 10^{-4}$ )に比べても2倍以上大きい。

こうした異常に高い $^3\text{He}/^4\text{He}$ 同位体比の起源として、(a)このダイヤモンドが地球誕生時とほぼ同時に形成し、太陽系形成直後のきわめて始源的なHe同位体比を獲得した。又このダイヤモンドは、ほとんどU, Thを含んでいない。(b)地球のどこかに、U, Thをほとんど含まない領域があり、このダイヤモンドは、こうした未知の領域で形成された、の二つの解釈が可能であろう。

更にダイヤモンドに、 $^3\text{He}/^4\text{He}$ 比が、He-A(隕石中の値: Planetary He)より更に始源的な値を示すという事実は、地球・隕石の母天体の形成過程および時期が異っていたことを示すものであろう。因みにHe-Aより大きい $^3\text{He}/^4\text{He}$ を獲得するためには、地球形成粒子は太陽がD-burningを終了した時点で太陽風の照射を受け、その後で地球を形成した、と考えざるを得ない。

以上の実験結果にあわせ、De-Beer社から提供を受けた4個のプレミア鉱山産ダイヤモンドについてのK-Ar年代測定結果について報告する。

# 宇宙物質中の Os, Ir の同位体比異常

山越和雄（東京大学宇宙線研究所一次線部）

宇宙物質中の各種元素の同位体比異常を調べ、pre-solar か、extra-solar event の解釈に役立てる手法は広く行なわれ、著しい成果を挙げている。この研究では、宇宙塵が extra-solar origin のものを含む可能性と、高成度の少々コンドロイト中の金属相に由来を察して、Os の三つの放射性アイソトープ、Ir の二つの放射性アイソトープ（いずれも中性子放射化したもの）を、非破壊の形で分析を行っている。しかし、放射化アイソトープから質量数が 1 もり少ない安定アイソトープの原子数を換算するとき

## osmium

|      |        |              |                                             |
|------|--------|--------------|---------------------------------------------|
| 184  | 0.018% | $\downarrow$ | $\text{O}_{\text{c}} < 200 \text{ b}$       |
| ★185 | 93.6 d | $\downarrow$ | <u>646 keV (81%)</u>                        |
| 186  | 1.59 % |              |                                             |
| 187  | 1.64 % |              |                                             |
| 188  | 13.3 % |              |                                             |
| 189  | 16.1 % |              |                                             |
| 190  | 26.4 % | $\downarrow$ | $\text{O}_{\text{c}} = 12.5, 4.1 \text{ b}$ |
| ★191 | 15.4 d | $\downarrow$ | <u>129 keV (26.2%)</u>                      |
| 192  | 41.0 % |              |                                             |
| ★193 | 30.0 h | $\downarrow$ | $\text{O}_{\text{c}} = 1.6, 2.02 \text{ b}$ |
|      |        |              | <u>460 keV (3.95%)</u>                      |

## iridium

|      |         |              |                                                       |
|------|---------|--------------|-------------------------------------------------------|
| 191  | 37.4%   | $\downarrow$ |                                                       |
| ★192 | 74.02 d | $\downarrow$ | $\text{O}_{\text{c}} = 100, 3, 540, 8, 750 \text{ b}$ |
|      |         |              | <u>316.5 keV (82.8%)</u>                              |
| 193  | 62.6%   |              |                                                       |
| ★194 | 19.15 h | $\downarrow$ | $\text{O}_{\text{c}} = 110 \text{ b}$                 |
|      |         |              | <u>328 keV (13.0%)</u>                                |

中性子捕獲断面積が未だ確立しておらず、厚手鉱中での遷移性子殻 ( $n, 2n$ ) の寄与の評価など、実験上の課題も少くない。宇宙塵として、NASA が発表している Brownlee's particle は、量が少しきれて、洋海底堆積物より採取して、銀鏡スカルルを用いた。熱衰成の結果が、Os, Ir の濃縮度が著しく高い。

$^{184}\text{Os}$  は S-process only,  $^{182}\text{Os}$  は、  
r-process only,  $^{190}\text{Os}$  は、r-process  
の寄与が S-process の寄与の約 7 倍  
に近い。 $^{191}\text{Ir}$ ,  $^{193}\text{Ir}$  は共に、r-process  
が圧倒的に大きい。超新星での元素合成  
の有様が反映され、様子がアイソトープ  
によって色々と異なるので、細かい解析が待た  
れる。

同位体比異常をもたらす過程は、(1) radio-  
genic ( $\text{ex}^{187}\text{Re} \rightarrow ^{187}\text{Os}$ ) やその他の  
cosmogenic もの（破碎反応その他）(2) 元素合成を反映してくるもの (3) 热衰成などの  
化学分別過程の四つが考えられる。宇宙塵については、大気中の热衰成による化学分別の効  
果の評価が当面最大の課題となるだろう。室内実験によるシミュレーションも今後大  
きな課題となっていく。

# 深海底堆積物コア試料中のイリジウム濃度

山越和雄(東大宇宙探査), 井上照夫(東大核研)

カリブ＝ア大のアルバレスらが、日亞紀と第三紀の境界層に、異常に高い工<sup>+</sup>の濃縮を発表して以来、世界中の各地の試料を用いて、同じ境界層が調べられ、ほぼ同じ工<sup>+</sup>の高い含有率が報告されていよいよ、これらの工<sup>+</sup>は、宇宙物質の地球への衝突と、その細片が全世界的規模で拡散したことなどを物語っています。Kyte, Wassonらは、230万年前の南極海の地層に、同じ様な工<sup>+</sup>の濃縮層をみつけています。しかし、この地層の他の海域では、発見されていませんから、現象は local サイズのものであつたと考えられます<sup>(1)</sup>我々は、海洋研白鳳丸の

Table 1 Specific activities of <sup>10</sup>Be, <sup>10</sup>Be ages, magnetic ages, differential sedimentation rates and concentration of chemical elements in core KH68-4-18

| Depth interval (cm) | Dry weight of sample (g) | In situ density* (g cm <sup>-3</sup> ) | Specific activity of <sup>10</sup> Be (10 <sup>-3</sup> d.p.m. cm <sup>-3</sup> ) | <sup>10</sup> Be age (Myr) | Magnetic age† (Myr) | Differential sedimentation rate (mm kyr <sup>-1</sup> ) | Chemical elements Be (p.p.m.) | Mn (%) |
|---------------------|--------------------------|----------------------------------------|-----------------------------------------------------------------------------------|----------------------------|---------------------|---------------------------------------------------------|-------------------------------|--------|
| 0-35                | 9.7                      | 0.24                                   | 1.77±0.23                                                                         | 0.11                       |                     | 3.2                                                     | 1.85                          | 0.55   |
| 35-75               | 14.2                     | 0.24                                   | 1.57±0.20                                                                         | 0.22                       |                     | 3.6                                                     | 1.78                          | 0.53   |
| 75-110              | 12.4                     | 0.25                                   | 1.20±0.17                                                                         | 0.30                       |                     | 4.4                                                     | 1.65                          | 0.32   |
| 110-155             | 13.7                     | 0.24                                   | 1.25±0.15                                                                         | 0.41                       |                     | 4.1                                                     | 1.66                          | 0.55   |
| 155-190             | 12.1                     | 0.25                                   | 1.25±0.18                                                                         | 0.50                       |                     | 3.9                                                     | 2.24                          | 0.56   |
| 190-230             | 13.8                     | 0.24                                   | 0.97±0.13                                                                         | 0.59                       |                     | 4.4                                                     | 1.49                          | 0.54   |
| 230-265             | 11.6                     | 0.24                                   | 1.37±0.20                                                                         | 0.69                       | 0.69                | 3.5                                                     | 1.88                          | 0.56   |
| 265-300             | 10.0                     | 0.24                                   | 1.09±0.15                                                                         | 0.78                       |                     | 3.9                                                     | 1.75                          | 0.60   |
| 300-335             | 11.7                     | 0.23                                   | 1.05±0.15                                                                         | 0.87                       | 0.89                | 3.9                                                     | 2.15                          | 0.46   |
| 335-365             | 9.8                      | 0.23                                   | 1.19±0.20                                                                         | 0.97                       | 0.95                | 3.0                                                     | 1.52                          | 0.44   |
| 365-415             | 18.8                     | 0.25                                   | 1.21±0.17                                                                         | 1.13                       |                     | 3.1                                                     | 1.72                          | 0.56   |
| 415-465             | 18.9                     | 0.26                                   | 0.62±0.09                                                                         | 1.23                       |                     | 5.0                                                     | 1.70                          | 0.66   |
| 465-515             | 17.9                     | 0.24                                   | 1.34±0.18                                                                         | 1.43                       |                     | 2.5                                                     | 1.82                          | 0.64   |
| 515-570             | 18.3                     | 0.24                                   | 1.01±0.13                                                                         | 1.61                       | 1.65                | 3.1                                                     | 1.76                          | 0.61   |
| 570-625             | 12.0                     | 0.23                                   | 1.14±0.16                                                                         | 1.85                       | 1.85                | 2.3                                                     | 1.64                          | 0.51   |
| 625-675             | 16.7                     | 0.22                                   | 0.76±0.10                                                                         | 2.00                       |                     | 3.3                                                     | 1.79                          | 0.52   |
| 675-730             | 17.2                     | 0.22                                   | 0.75±0.12                                                                         | 2.19                       |                     | 2.9                                                     | 1.87                          | 0.50   |
| 730-790             | 22.5                     | 0.24                                   | 0.69±0.13                                                                         | 2.39                       |                     | 3.0                                                     | 1.70                          | 0.44   |
| 790-850             | 20.1                     | 0.23                                   | 0.14±0.08                                                                         | 2.43                       | 2.43                | 15.0                                                    | 1.56                          | 0.37   |
| 850-905             | 18.6                     | 0.23                                   | 0.34±0.06                                                                         | 2.53                       |                     | 5.5                                                     | 1.59                          | 0.53   |
| 905-968             | 18.5                     | 0.23                                   | 0.86±0.16                                                                         | 2.84                       |                     | 2.0                                                     | 1.53                          | 0.46   |

\* In situ density is defined as the ratio of the dry weight of sediment to the in situ volume occupied by the sediment.

† The depth is measured from the top of clay sediment filled in core pipe, whereas the depth presented in ref. 5 where the magnetic age has been determined is measured from the top of core pipe; the difference is 15 cm. The magnetic age tabulated here is normalised to the present depth.

KH-68-4(南  
千島海)

ぞ採取してコア  
試料の内、  
paleomagnetic  
法で年代決定  
され、しかも、<sup>10</sup>Be  
ぞ詳しく調べ  
られたものと用い  
て、洋を別々に  
Ir, Co, Feを  
非破壊分析  
(半導体放射化)  
(2).

ぞめた。今回用いたコア試料は、KH-68-4, st. 18 ( $01^{\circ}59'N, 170^{\circ}05'W$ ) のもので、今後  
170°W 緯線に沿って採取を以て、一連のコア試料を次々と分析する予定である。

230万年前の異常地層からは、「Kyte particle」と呼ばれる工<sup>+</sup>を異常に高く含有する  
粒子がみつかりてあり、突入した隕石の破片と考えられる。今後、工<sup>+</sup>の多い地層が発見され  
場合には、工<sup>+</sup>を担う成分を同定し、宇宙物質とのものの研究を行ひたいと考えている。

## 文献

- (1) 山越和雄, Isotope News (4), 1982 「地層中に残された宇宙物質層下の痕跡」
- (2) T. Inoue & S. Tanaka; Nature 277 (1979) 209.

## 衛星環境モニタの試作

山田弘善 和田雅美  
宇宙開発事業団 理化学研究所

SEM研究グループ

目的 人工衛星の軌道上の動作は電離層・プラズマとの相互作用及び宇宙線等の高エネルギー粒子の影響に左右され不可解な現象を示すことがある。不具合解析等においては宇宙観測の蓄積がこれまでにならなくてはいるので宇宙環境の把握は概略行なえる程度になる。ところがLocalに発生する現象の因果関係を突明するためには直接人工衛星上のモニタ出力を利用する方が有利であることから衛星環境モニタの研究を行う。

現状 宇宙開発事業団においてはこの目的のために衛星環境モニタの研究を進めている。昭和55年より理化学研究所、SEM研究会の支援を得て調査、設計、試作を、昭和57年度は性能評価試験を行っている。手がけるモニタは当面次の4点に絞ることにした。

(1)高エネルギー粒子モニタ(主:立教大、道家、菊池:早大、永田:玉川大)  
Si半導体検知器( $100\mu \times 10\text{mm}^2$ ,  $500\mu \times 20\text{mm}^2$ , LSDリフト型)によるテレスコープ型で電子、陽子、 $\alpha$ 粒子のエネルギースペクトル及び粒子密度を測定する。また検知器の空気層で生じた電離電荷を測定しエネルギー損失量を積算する簡易な吸收線量計も試作している。

(2)低エネルギー粒子モニタ(主:電波研)

2段のベネット型質量分析計ヒアラディケイシジで構成しプラズマの密度、組成、電位、エネルギー分析等を行う。質量掃引は周波数切換で $H^+$ ,  $He^+$ ,  $O^+$ の測定を行う。エネルギーは0~100eVの範囲である。

(3)X線モニタ(今井、竹内、河野、和田:理研)

マイカ基板( $600\mu\text{g/cm}^2$ )の比例計数管2個と遮断し比例計数管1個、主検出系とこれに荷電粒子の影響を除去するためグラスチャッシュシンチレータ及び光電子増倍管による副検出系から構成され、飛来した高速電子、X線、 $\gamma$ 線及び人工衛星内部の2次的に発生したX線の強度を測定する。

(4)磁界モニタ(恩藤:電波研、国分:東大、河村:地磁気観測所)

リングコア型フック、スリット磁力計により地表から静止衛星高度まで約10kmの範囲を連続して測定する。 $(\pm 500\text{nT} \sim \pm 64000\text{nT})$

計画 現在は地上用の試作品による試験を行っており機会をとらえ飛翔体への搭載を考えている。この衛星環境モニタは衛星工学上の必要性から研究開発を行っておりが宇宙空間での実測データが得られるようになれば多方面への有効利用も可能である。

## 参考資料

- (1)衛星環境モニタに関する調査検討報告書(理研、昭和55年)
- (2)SEM研究会報告3号(1981)
- (3)衛星環境モニタに関する設計検討報告書(理研、昭和55年)
- (4)衛星環境モニタの試作結果報告書(理研、昭和56年)
- (5)Space Systems & Their Interactions with Earth's Space Environment.  
(ed. H. B. Carrett, Progress in A&A VOL 71, 1980)

## 70ロード表面材から放出された光電子の研究

— S-520-5号機による実験 —

町田忍・鶴田洁一郎  
宇宙科学研

## \* 実験目的 \*

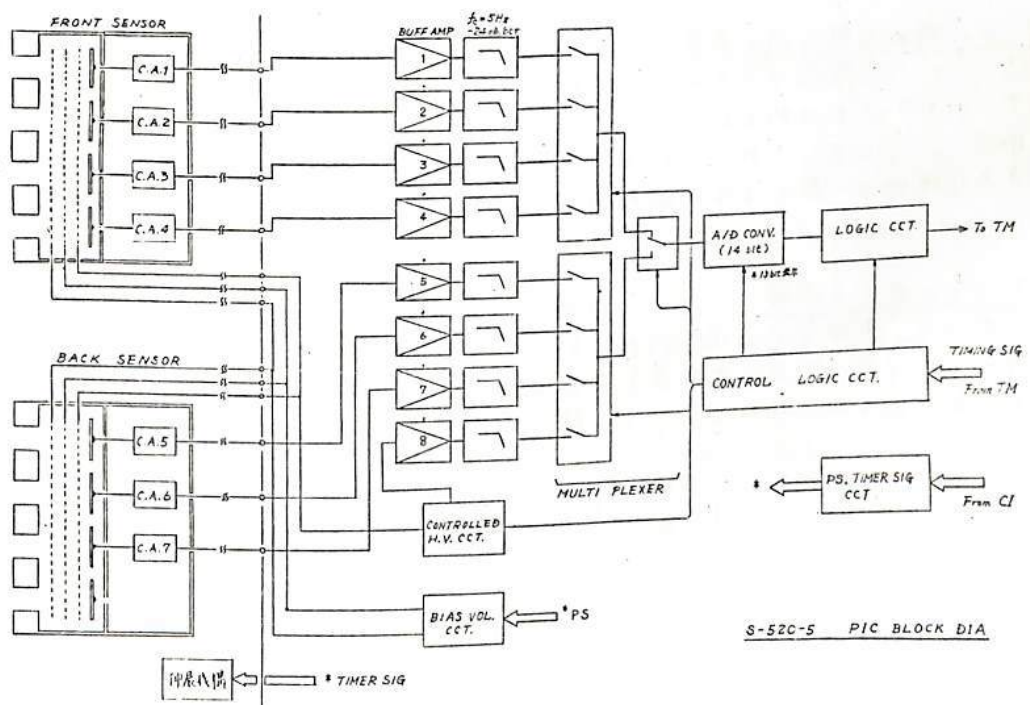
太陽から輻射される紫外線やX線の働きによつて、飛翔体に搭載された70ロード表面から周囲のアラズマ中に光電子が飛び出しが、負の電位をかけたグリッドによつて、70ロード全体を包み、70ロード表面から放出された光電子を抑えることによつて、電場の測定を精度良く行なう方法が考案された [Tsuruda et al., 1981 秋の学芸会]。本実験は、70ロードの表面材として考慮得る、数種類の試料から放出された光電子が、上述、グリッドによつて、いかに抑制されるかをみるために行なわれた。

## \* 機器概要 \*

70ロード表面材試料としては、金・モリブデン及びモリブデンの表面に炭素を付着したものと搭載した。これら2つの試料、1組(図中のCA. 1~4)は太陽を直視する方向に、また、他の1組(図中のCA. 5~7)は反対太陽方向に向けて、光電子抑制の様相を調べることを行なつた。

センサーに最も近い所に光電子抑制用のグリッドを置き、さらに、他の2つもグリッドによつて、電離層中のアラズマが試料上に流入してくことを防止して、光電子放出が伴う、電流値を測定した。

S-520-5号機は、精度±1%以内、2太陽視角  $\lesssim 10^{-1}$ (度)の高精度で実現された。本実験には最適である。



## 地磁気姿勢計によるロケットの再突入時の姿勢

遠山文雄・青山巖

(東海大・工)

これまでのロケット観測は、打上げから下降時の電離層を通過して大気に再突入し始める高度約70kmまでが観測実験範囲であるものがほとんどだったが、1980年から新らしい観測ロケット、S-520型が使用され始め、ロケット回収実験も試みられて、今後回収ロケットによる科学観測や高度70km以下の低高度における観測も増えると予想される。そこでこれまで注目されなかった大気への再突入から低高度でのロケットの姿勢変化について、地磁気姿勢計のデータによる解析を行った結果について述べる。そして1981年9月に初めて回収に成功したS-520-4号機の再突入における姿勢解析結果と最近の観測ロケットの飛翔姿勢についてあわせて報告する。

再突入時の姿勢 ロケットの定常的運動が大気への再突入によってくずれ方のは高度約70kmからで、ロケットのタイプ(形状等)や突入前の運動状態によって異なるが、ほとんどはスピンやロケット軸方向に大きくな変化がみられる。大別すれば(A)スピンがあって尾翼のあるもの。(B)スピンがあって尾翼なし。(C)非スピンで尾翼あり。(D)非スピンで尾翼なし。の4つのタイプによって姿勢変化が異なる。A型(K-9Mなど)は20~30kmまでスピン上昇し以後スピンドウンする。ロケット軸方向は大きくなコーニングからほど速度ベクトル方向に収束する。B型(S-520-4など)はスピン増加ではなく減少する。C型(S-210-12など)は高度20~30kmでスピンがなくなる。D型(K-10-14など)はスピンもかららず大きくなコーニングからフラットスピントなる傾向がある。これらの傾向から空力加熱や破壊によるトラブルを避けるには、翼のないロケットの場合には横軸まわりのスピンがあつた方が良いと思われる。

S-520-4号機の再突入時の姿勢 初の回収実験が行なわれ、基本計器部の回収部の回収に成功した。高度約75kmで大気層に突入し、それまで約3°位の小さなコーニングをしていったロケットは約60°の大きなコーニングで落下し12km位からフラットスピンに平行し、7.5kmでのパイロットシートが開くまで1~1.5Hzの回転をしていた。その回転軸は一定ではなく最大25°の振れをもち、横軸まわりの回転もゆずりにある。

観測ロケットの最近の姿勢 最近の観測ロケットの姿勢はかなり安定しており、S-210型を除いて、姿勢変化のバラつきは少なくなった。主な観測ロケットの平均的なスピン周波数、コーニング角(半頂角)およびコーニング同期を下表に示す。尚、ロケットの姿勢制御のあるものなどについては除いてある。

| ロケット 号機        | 打上年     | 機数 | スピン平均(Hz) | 半頂角平均(度) | *南極ロケット<br>周期平均(秒) |
|----------------|---------|----|-----------|----------|--------------------|
| K-9M-65~74     | 1979~82 | 8  | 2.3       | 8        | 63                 |
| S-520-1~4      | 1980~82 | 3  | 0.9       | 10       | 82                 |
| S-310-1~11     | 1975~81 | 11 | 1.3       | 12       | 178                |
| S-310JA-1~7*   | 1976~78 | 7  | 0.9       | 13       | 192                |
| S-210JA-20~29* | 1976~77 | 10 | 2.0       | 34       | 76                 |

# 単一スペクトル線光ポンピング磁力計の精度 I

小川 徹, 萩崎 努, 北野 正雄  
(京都大学超高周波研究センター)

## 1. はじめに 現在地磁気の観測の標準はプロトン

磁力計によっており、その構造が簡単でしかも高精度の特長をもっている。しかしその原因は必ずしも明らかでないが、精度の限界は0.1nT程度であると推定されている。一方、複合スペクトルの光ポンピング磁力計はスペクトル構造の複雑さにもかかららず、0.1nT程度の安定性をもっていることが報告されている。<sup>1)</sup> 従って次段階の標準磁力計として単一スペクトル線の光ポンピング磁力計特にアルカリ金属磁力計(SLAM)が有望と考え検討を進めている。

单一スペクトル磁力計は既に2,3の報告があるが<sup>2),3)</sup> 安定性の報告のみで、精度については言及されていない。今回は特に重要なアルカリ金属中の原子の選択、隣接ゼーマンスペクトルによる誤差、单一スペクトルの非対称性につき検討したので報告する。

2. 原子の選択 アルカリ金属原子の磁力計としての特性は種々あるが、複合スペクトルの場合には光源輝度、セル温度の変化に対し最も誤差の小さいのはゼーマン副準位数が多い<sup>133</sup>Csである。<sup>3)</sup> しかし単一スペクトルではこれらの誤差は極めて小さいと推定されシステム全体の信号対雑音比の変化が重要となる。

従って単一スペクトル磁力計としては核スピンが小さく副準位数が少い<sup>87</sup>Rb, Kが適していると思われる。表1はprotonも含めた特性の比較表である。RbとKではゼーマンスペクトル間隔の広い点ではKが、半値幅が狭く、D<sub>1</sub>線・D<sub>2</sub>線間隔が広い点ではRbが勝っている。

3. 隣接スペクトルの誤差 光ポンピング磁力計はスペクトルの中心周波数を測定して磁場の絶対値を知る原理であるから、図1のようにn個のスペクトルが隣接している場合は中心周波数に誤差を生じる。いま図2のような磁力計を考え、シンセサイザの周波数wがA FCにおける図1の最高ビーグI<sub>01</sub>附近に固定されたとすれば、

$$\frac{dI(\omega)}{d\omega} = 0 \quad (1) \quad I = I_0 \cdot \frac{\sum_i I_{0i}}{(\omega - \omega_{0i})^2 + \Delta\omega_i^2} \quad (2)$$

従って  $\sum_i I_{0i} \frac{\omega - \omega_{0i}}{((\omega - \omega_{0i})^2 + \Delta\omega_i^2)^2} = 0$  (3) 誤差  $\delta w = w - w_{01}$  であり、第

Zのスペクトル以外による誤差は小さいので  $\Delta w_1 = \Delta w_2 = \Delta w$ ,  $\Delta w \ll w_1 - w_2$  の場合は  $\frac{\delta w}{\Delta w} \approx \frac{I_{02}}{I_{01}} \left( \frac{\Delta w}{w_1 - w_2} \right)^2$  (4)  $\Delta w = 2\pi \cdot 10^{-10} \text{ rad/sec}$  の場合は誤差は  $2\pi \cdot 10^{-10} \text{ nT}$ , <sup>87</sup>Rb, <sup>39</sup>Kに対するそれは  $10^{-10} \text{ nT}$ ,  $6 \times 10^{-10} \text{ nT}$  となる。

4. 単一スペクトルの非対称性 単一スペクトルではスペクトル幅を生じる原因が主として原子衝突であるから、衝突幅の非対称性を考慮する必要がある。従ってスペクトルの強度は  $I = I_0 \Delta w \left[ \frac{1}{(\omega - \omega_0)^2 + \Delta\omega^2} + \frac{1}{(\omega + \omega_0)^2 + \Delta\omega^2} \right]$  (5)  $dI/d\omega = 0$  より磁力計の誤差  $(w - w_0)/\Delta w$  は  $2 \times 10^{-10} \text{ nT}$  となり問題にならないことが分った。5. まとめ 以上

の検討結果により、単一スペクトルアルカリ金属磁力計は諸元を選べばプロトン磁力計と同等またはやや勝れた精度をもつ可能性があることが分った。今後の問題点は光回路、電子回路を含めた定量的な検討特に光強度、信号対雑音比、利得ループの構成などを考慮する必要がある。

文献 1) 河村ら：磁場精査測定、総合(A) 合同研究会(1981年11月)

2) 例えば J. H. Allen and P. L. Bender: JGG 24, 105 (1972). 3) T. Yabuzaki and T. Ogawa: JAP 45 1342 (1974).

表1

|                                        | <sup>39</sup> K | <sup>87</sup> Rb | <sup>133</sup> Cs | Proton |
|----------------------------------------|-----------------|------------------|-------------------|--------|
| natural abundance (%)                  | 93.1            | 27.2             | 100               |        |
| No. of lines                           | 4               | 4                | 8                 | 1      |
| $W_{ZP}(H_z/nT)$                       | 7.0             | 7.0              | 3.5               | 0.045  |
| $\Delta F(nT)$                         | 0.9             | 0.5              |                   | 1.3    |
| $D_1(\text{nrm})$                      | 769.9           | 774.8            | 894.4             |        |
| $D_2(\text{nrm})$                      | 766.5           | 780.0            | 852.1             |        |
| T (°C)                                 | 60              | 40               | 20                |        |
| $F = 0.5 \times 10^{-4} \text{ T}$     |                 |                  |                   |        |
| $(I_{01} - I_{02})/I_{01} (\text{Hz})$ | 531             | 36               | 6.7               |        |
| $F_{\text{err}} - F_{\text{i}}(nT)$    | 76              | 5.2              | 1.9               |        |

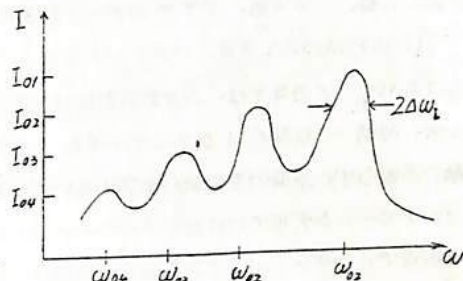


図1

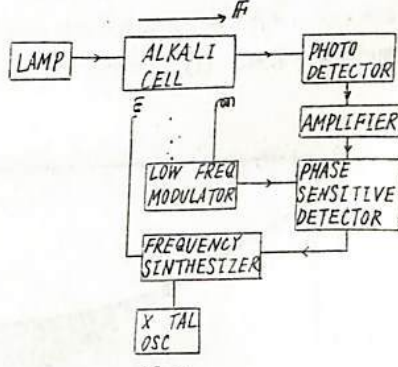


図2

若杉耕一郎・松尾優・深尾昌一郎・加藤進

(京工大・工芸)

(京大・工)

(京大・超高層センター)

中層大気(高度 10 — 100 Km)の観測手段として大型ドップラーレーダーは大気の構造を連続的に観測できるという特長がある。大気の各種パラメータを推定するためには、各高度からのエコーを時系列データと見なし FFT により散乱スペクトルを推定する方式が普通用いられている。このスペクトルの推定値はレーダーシステムや信号処理の影響を受け、真のスペクトルと一般には一致しない。したがって適切な散乱モデルを仮定し、これらの影響を十分検討しておく必要がある。このモデルとして Booker — Gordon の乱流散乱モデルと乱流層からの Fresnel 反射モデルがある。散乱電力が天頂角に依存するという観測結果に基づき、大気屈折率のゆらぎの非等方性を考慮し Booker — Gordon の理論を拡張したモデルを仮定する。この場合観測で得られる散乱スペクトル  $S(\omega)$  は次式のようになる。

$$S(\omega) = \iint |\phi(K, \omega)| |H(K, \omega)|^2 dK d\omega \quad (1)$$

ここに、 $\phi$  は大気屈折率のゆらぎの 4 次元スペクトル、 $H$  はレーダーシステム及び信号処理の影響を表す関数でアンテナビーム幅、パルス幅、FFT のデータ長等に依存する。

(1) 式に基づいて散乱スペクトルが推定されるが、この精度を決める上で重要な周波数分解能を考える。FFT による時系列データ処理では、周波数分解能は一般にデータ長の逆数に比例するとされている。しかし、レーダー観測では、本来、時間 — 空間の 4 次元のデータを一次元時系列データと見なして処理している。このため大気のゆらぎの時間変動のみならず、空間的な変動の性質の違いが、散乱スペクトルの推定に影響しうる。図. 1 は水平風速が 30 m/s、アンテナビームを天頂に向けた場合のデータ長と周波数分解能の関係を示したものである。実線は大気のゆらぎが水平方向の各点で完全にランダムである場合、点線は、逆に各点の変動がコヒーレントである場合である。後者では周波数分解能がデータ長に比例し、通常の一次元の場合と一致する。しかし、前者では、水平風により散乱体がアンテナビーム内を通してデータ長のみで周波数分解能が決定されないことがわかる。実際にはゆらぎの非等方性の程度により、これらの中間の値をとるが、(1) 式に基づいてこれらの関係についての議論を行う。

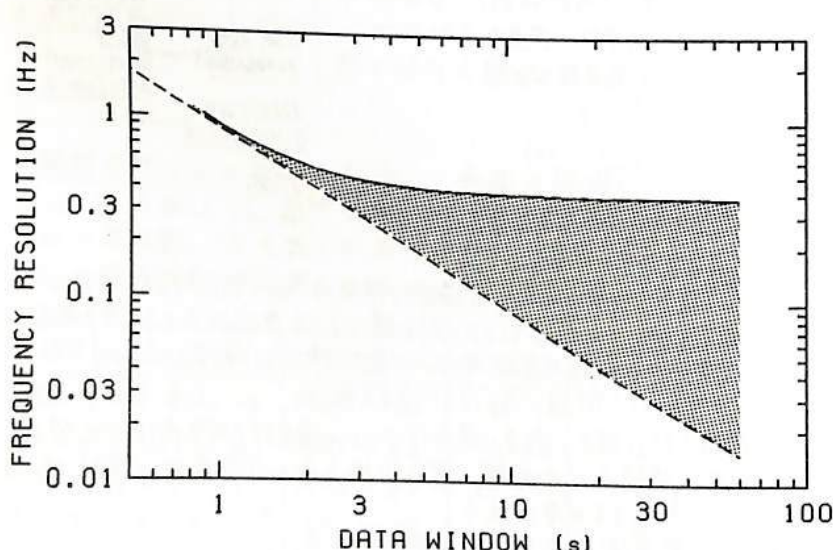


図. 1 散乱スペクトルの周波数分解能とデータ長の関係。実線及び点線は散乱体のゆらぎの水平構造が各々インコヒーレント、コヒーレントな場合を示す。ただし、アンテナビームは天頂方向、水平風速 30 m/s、レーダー水平風速 50 MHz、高度 20 Km を仮定している。

## MULレーダーを用いた新しい中層大気観測法(II)

佐藤 亨・深尾昌一郎・加藤 進  
(京大工)・(京大超高层)

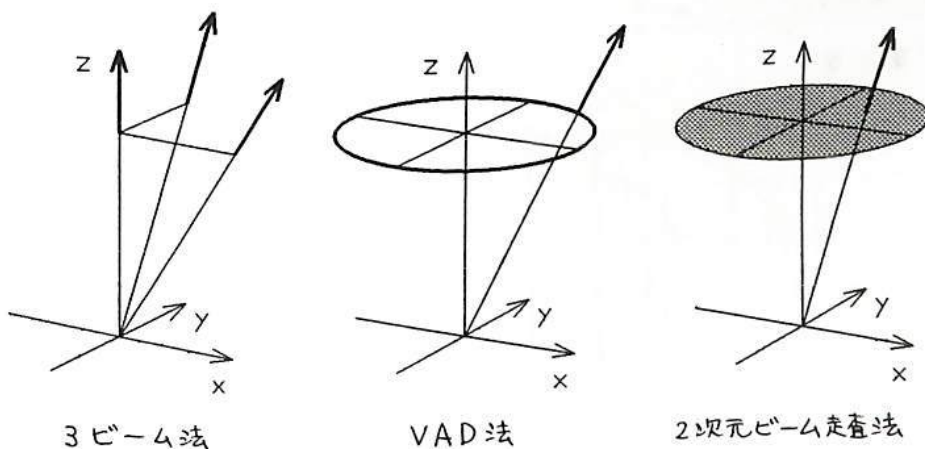
前回の報告<sup>1)</sup>では、近年大型レーダーを用いた中層大気観測において試みられているVAD(Velocity-Azimuth Display)法やSAD(Spaced Antenna Drift)法をMULレーダー観測に適用する場合のビーム走査法やアンテナ分割法について検討し、これらの方針における風速の測定誤差を計算機シミュレーションにより評価した。その結果、VAD法ではビーム走査半径の数倍程度の水平波長を持つ重力波が存在する場合に推定誤差が大きくなり、またSAD法では水平風速が増大すると共に推定誤差が急速に増加する事が示された。

MULレーダー観測においてはビーム走査方向が自由に選べるため、アンテナビーム天頂角を一定に保って観測を行なうVAD法をさらに進めた2次元ビーム走査(下図)が可能である。この場合は観測方向をビーム走査可能範囲内に一様に配置する事により短波長重力波の影響を低減できるが、VAD法の場合に用いられる、視線速度を方位角に対しこ描きこねに正弦波をあてはめる事によって風速ベクトルを推定する方法は利用できない。本報告では、まず従来からの3ビーム法、VAD法、及び2次元ビーム走査法のいずれにも適用できる一般化されたDBS(Doppler Beam Swing)法に対する風速ベクトル推定アルゴリズムについて述べる。次にこのアルゴリズムと計算機シミュレーションを用いてこれらの各観測方法の推定精度を比較、評価する。

モデルとしては空間的に一様な風速場に推定誤差の原因となる短波長重力波を加えたものを用い、これを各観測方法に対応した点でサンプルし、推定される背景風の各成分の誤差、及び誤差の推定値の妥当性を検討する。推定誤差は与える重力波の水平波長及び位相によって変化するので、位相に関して平均し、波長依存特性を調べる。さらに、重力波が非干渉性で一様な波長分布を持つ場合について、観測方向数の制約のもとでの最も誤差の影響を受けにくいアンテナビーム走査方法を議論する。

## 参考文献

- 1) 佐藤・深尾・加藤、日本地球電気磁気学会第71回講演会予稿集、1982年5月。

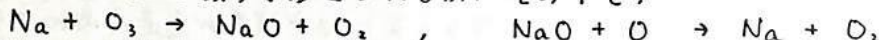


## Sodium layer の成層機構について

富田二三彦, 岡野章一, 大沼利弘, 上山 弘  
東北大学理学部 超高層物理学研究施設

蔵王観測所においては、1980年夏以来、超高層 sodium layer の lidar観測を続けており、sodium atom density の height profile の微細構造の日変化、季節変化などについて、貴重な data が集積しつつある。(第1図に、column density の季節変化を示す。) 今回は、特に、これらの data を基に、sodium Layer の成層機構についての考察を試みる。

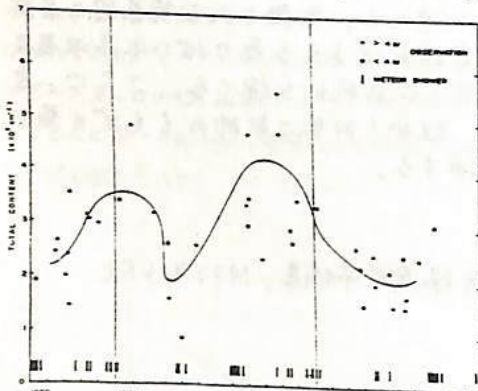
Naに関する化学反応は数多く考えられるが、その中で、



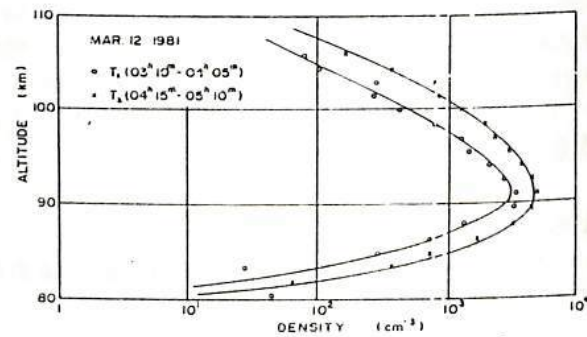
は極めて速く、Na密度とNaO密度は速やかに(10分程度で)化学平衡に達する。従って、観測で得たNa密度の変化だけでなく、NaOも含めた  $m = (\text{Na}) + (\text{NaO})$  についての増減を考慮する必要がある。(第2図参照)  $m$  に関する連続の式から、Na又はNaOの生成率 $\alpha$ は、

$$Q = dm/dt + \text{div}(n \cdot v) + L \quad (1)$$

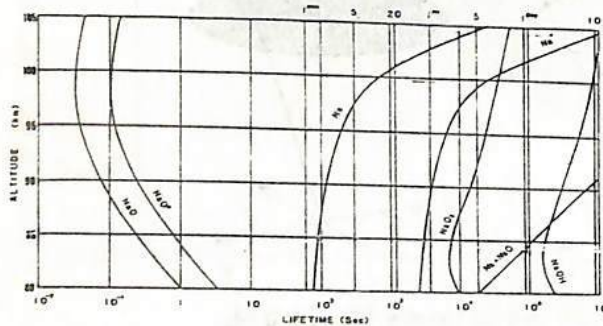
で与えられる。(Lは系mの化学的損失率) 水平方向の勾配を無視し、観測に基いて、(1)式右辺の各項を計算し、Qを求めることができる。一例として、第3図に、1981年3月12日の明け方、T<sub>1</sub>とT<sub>2</sub>の各々の時間帯の平均のNa密度 profile を示す。T<sub>1</sub>からT<sub>2</sub>までの65分間の変化が、各高度とも時間的に linear と仮定して、Qを求めた結果が第4図である。(eddy diffusion coefficient を parameter として描いてある。) これにより、約90kmの高度に peak をもつ Na 又は NaO の input があることが明白である。厚さで積分すると、8.7 × 10<sup>5</sup> atoms cm<sup>-2</sup> sec<sup>-1</sup> の deposit が約1時間競ったことになる。



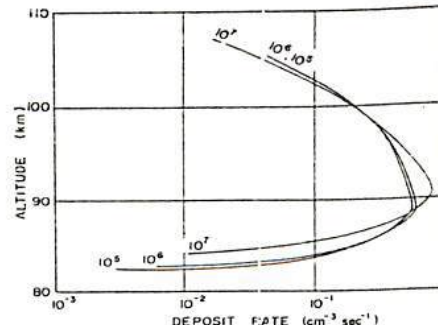
第1図



第3図



第2図



第4図

南極昭和基地における中性大気微量成分 ( $O_3$ ,  $NO_2$ ,  $NO_3$ ) 観測計画 — 大気球観測, 地上観測  
 紫崎和夫<sup>1)</sup>, 岩上直幹<sup>2)</sup>, 小川利弘<sup>2)</sup>, 福西 浩<sup>2)</sup>, 平沢威男<sup>2)</sup>  
 1) 極地研 2) 東大理

1. はじめに MAP の一環として昭和基地においても各種中性大気微量成分の観測が実施される。昨秋(1981年11月)出発した23次隊においては大気球による  $O_3$ ,  $NO_2$  の観測, オゾン・ゾンデ, ドブリン分光計等による集中的なオゾン観測が計画され, 現在順調に観測が進められている。

今秋(1982年11月)出発する24次隊では大気球観測の他に, 赤外・可視分光器を用いた地上からの微量成分観測を計画している。今回は大気球による  $O_3$ ,  $NO_2$  観測および  $NO_2$ ,  $NO_3$  の地上観測計画について観測方法, 装置等について報告する。

### 2. 大気球観測

$O_3$ : オゾン・ゾンデ用装置を大気球用(長時間観測)に改造して使用する。

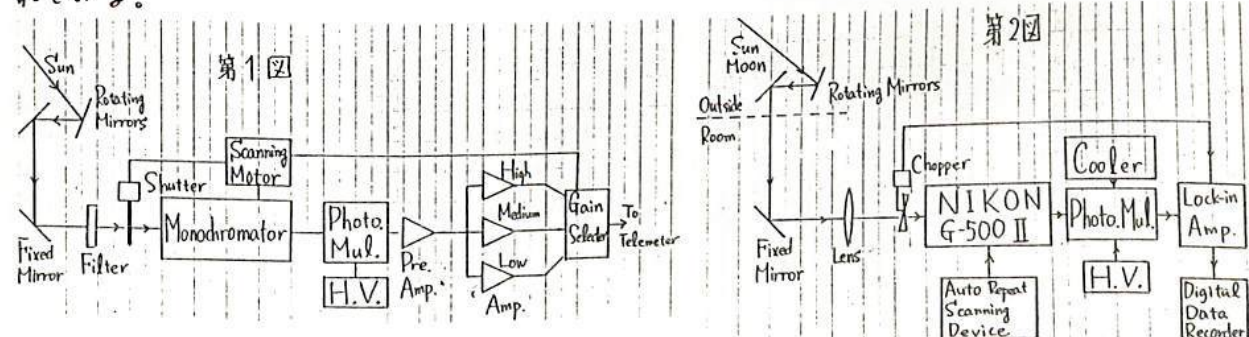
$NO_2$ : 波長 430~450 nm 領域の吸収帯を利用した吸光スペクトル統計分析法<sup>1)</sup>を用いる。太陽を光源とし, 日没時に観測を行って成層圏  $NO_2$  の高度分布を求める。観測器は太陽追尾装置をつけた分光器である。23次隊では J-Y 社の H-20 型分光器を改造して使用しており, 小型化が進んだ。24次隊で使用する装置はさらに小型化した分光器・太陽追尾装置を開発したもので, 種々の工夫をこらしている(第1図にアロック図)。大気球観測ではゴンドラ全体を方向規正する。また南極では割合を正確に行うことができないので精度の高い絶対圧気圧計を搭載して高度を求める。なお大気球には  $O_3$ ,  $NO_2$  測定器の他に大気電離度を測定する電離計も搭載される。

### 3. 地上観測

$NO_2$ : 昼間は太陽, 夜間は月を光源として 430~450 nm 領域のスペクトルを取得して大気  $N$   $O_2$  全量を求める。太陽・月の自動追尾装置を屋上に設置し光を室内に導入する。分光器は NIKON G-500 II に自動波長走査機構を取り付けて使用する。信号は A/D 変換をしてデジタル・カセットレコーダーに記録する。

$NO_3$ : 波長 650~670 nm 領域の吸収帯を用い, 夜間月を光源として観測を行う。使用分光器は  $NO_2$  観測と同じであるが, 集光レンズ, 光電子増倍管の冷却器を用い S/N 比を向上させる。

第2図にアロック図を示す。太陽・月追尾装置, 自動反復波長走査機構等の工夫がなされている。



### 参考文献 Ogawa, T., K. Shibusaki and K. Suzuki

- 1) Balloon observation of the stratospheric  $NO_2$  profile by visible absorption spectroscopy, J. Met. Soc. Japan, 59, 410, 1981.

レーザー ヘテロダイン 分光方式による  
成層圏オゾン高度分布測定について。II

上山 弘， 市川敏朗， 岡野章一  
(東北大理) (岐阜大) (東北大理)

レーザー ヘテロダイン 分光方式によて測定されるオゾン回転線の吸収線型からオゾンの高度分布を求めるには、inversion法を用いた次式によて計算する。

$$\begin{aligned} n(z_i)_{k+1} &= n(z_i)_k \cdot \frac{(\ln \tau_{v_i})_{obs}}{(\ln \tau_{v_i})_k} \\ (\ln \tau_{v_i})_k &= - \int_0^{\infty} W(z_i, v_i) \cdot n(z_i)_k dz_i \\ W(z_i, v_i) &= S(T) \cdot b(P, T, v_i) \end{aligned}$$

ここで  $n$ : オゾン密度,  $\tau_{v_i}$ : 波数  $v_i$  における透過率,  $k$ : 試行回数,  $z_i$ : 高度,  
 $W$ : Weighting function,  $S$ : 線強度,  $b$ : ラインプロファイルを与える関数,  $P$ : 圧力,  $T$ : 温度  
 $v_i$  は探測しようとする高度  $z_i$  において  $W(z_i, v_i)$  が極大となるように選ぶ。

この方法で算出されるオゾン密度の不確かさには、観測される量  $\tau_{v_i}$  に含まれる偶然誤差に加えて各種の系統誤差が寄与する。これらは温度、圧力の高度分布およびローレンツ半値幅に含まれる誤差である。ここでは、これらの量が真の値から外れていた場合に、算出されるオゾン高度分布がどのような誤差をもつかについて検討を加える。また  $\tau_{v_i}$  に偶然誤差であるノイズが加った場合の観測値の補正のとりあつかいについても検討した結果を報告する。

inversion法でオゾン高度分布を求める際に、weighting functionの型が重要なところ。前回の学会では、上記の式で与えられた通常のweighting function,  $W$  の波数に関する微分値  $\dot{W}$  をweighting functionとして用い、通常の方法よりも良好な結果を得たことを示したが、今回さらに別な方法によるweighting functionを用いてsimulationを行った結果を報告する。新しいweighting functionは、ある高度において4対の波数における  $W$  から2組の差をつくり、さらにそれらの差をとるものであり、極大高度より下方での減少が  $W$ ,  $\dot{W}$  に比べて急激であるという特徴をもつ。

# 気球及び航空機搭載用 NO<sub>x</sub>測定器の開発

高木増美、近藤 豊 岩田 昇  
名古屋大学空電研究所

我々はMAP計画に基づき、気球及び航空機搭載用のケミルミネッセンス方式のNO<sub>x</sub>測定器の開発を行なってきた。測定器の基本的な構成は既に報告済みである（オーフンMAPシンポジウム報告参照）。アロトモデルを今年初めに製作し、その諸特性を実験的に調べてきた。実際の測定の信頼性を確かめるために以下の事柄を重視的に調べた。

## 1. ケミルミネッセンス光に対する光電子増倍管の出力信号への電気的なノイズ

アロトモデルではバルブの切換器及びオゾン発生器からの電気的なノイズが光子計測用パルスアンプに大きく影響することが分った。特に後者のノイズは重大である。これらのノイズは最終的にはアンプ及びオゾン発生器のシールド、電気回路のノイズ対策など総合的な処置により、解決することができた。

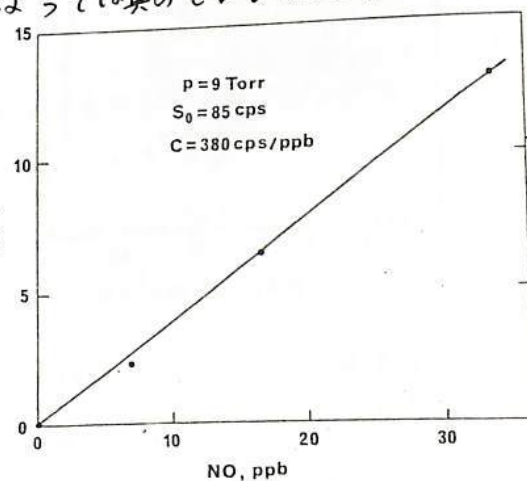
## 2. NO<sub>x</sub>濃度と出力信号の比例関係及び感度

一定圧力（約9 Torr）及び全体積流量約200L/分の条件でNO濃度対光子計測数の関係を調べた。NO濃度は約3 ppmのNO/N<sub>2</sub>をサンプル大気は4-20 cc/分の流量で約50秒間流すことによりえた。低濃度（つまり小流量の）場合、光子計測数がやや小さくなる傾向がある。NO/N<sub>2</sub>流量は1%の精度で実験室で検定してある。従って、この原因は小流量の場合NOが50秒間ではまだ平衡濃度に達していないことを示唆している。この点を除けばlinearityは良い。この時の感度は380 count / ppb / sec. ということである。気球測定器の場合実際の体積流量はこの実験の2倍程度であるので約2倍の感度が得られる。この感度は成層圏NOの測定には充分であるが、対流圏上部のNO<sub>x</sub>の測定用には更に感度を上げることを望ましい。現在新しい反応器を製作中であり、これにより感度を3-4倍上げることが期待される。

## 3. ゼロ信号

NOが全く存在しない時でも、オゾン反応器自体との反応に伴なう発光による光信号の出力がある。今の実験条件で信号レベルはNO濃度に換算すると約0.2 ppb程度であり、無視できないことが分った。（圧力、流量によって変化する。）従ってこのゼロレベルの信頼ある測定が、低濃度NO<sub>x</sub>の測定に決定的に重要である。通常オゾンを反応器の上流に流しNO<sub>x</sub>が反応器に達する前にNO<sub>2</sub>に変換してしまうことによりゼロレベルを決めている。しかしこの方法によるゼロレベルは実験条件下では真のゼロレベルと異なることがあるので注意が必要であることが分った。

同時にゼロレベルの時間変動についても調べた。これらの諸特性の実験結果については会場で報告する。以上の特性を考慮した上でアロトモデルに改良を加え数pptのNO<sub>x</sub>を検出できるアライドモデルの製作に入り、57年度中に航空機測定、58年度以降に気球観測を行なう予定である。



## 成層圏工アロウ"IVの観測 (Sanriku, May 31, 1979)

松崎章好 中村良治 伊藤富道  
(宇宙科学研究所)

1. 本研究の観測は、May 31, 1979 に三陸の大気球観測断行時に実行された。この時刻は、約1ヶ月半遅い時期で、Alaska 2-科音衛星を用いた SAM II 調定に関する ground-truth exercise が行なわれた。本研究は、二つ目の結果について比較する目的である。

2. 本観測の時期は、Soufrière 火山に寄因して、3月から4月エアロソルが拡散し、Fukukawa で観測された事と Hiroshima の LIDAR の観測結果は報告されており、Alaska に於ける共同観測では、この時期の成層圏工アロウ"IV の場合 background level である。これは日本上空にて Soufrière 火山の影響がどの様にあつたのかという観点から報告する。

3. 本研究は、大気擾乱法を利用してスペクトル測定結果に基づき、以下の方法論の正当性を Mie の散乱理論に基づく計算を行なう事によって確認された。

4. 結論として、本観測結果は本質的に background level のものである。Lidar, Alaska に於ける観測結果や Pinnick らのモデルよりも若干多く出ており、LIDAR で観測された Soufrière 火山の影響が多少みられるところである。Elterman のモデルは、St. Helene 火山噴火後の結果に近く、本研究の観測結果は、これらとのよく一致しない事がある。

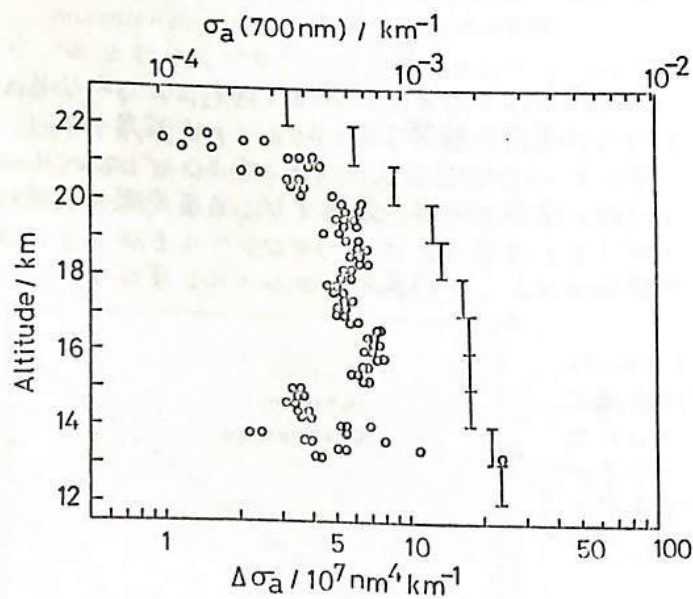


Fig. 1 成層圏工アロウ"IV" F 3 extinction  
高度 12 ~ 22 km。  
○: Present result  
I: Elterman's model

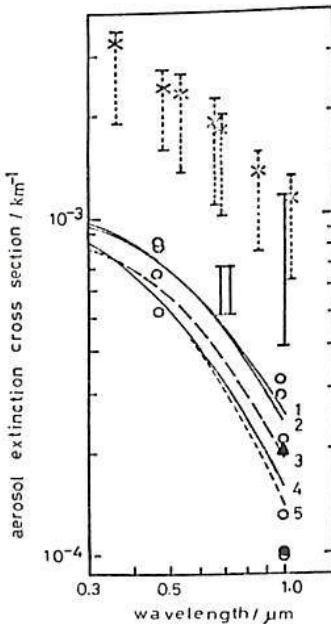


Fig. 2 II: Present result  
○, ▲: background condition  
I: St. Helene volcanic enhanced condition  
curves 1-5: Pinnick's model

## 光化学反応による有機気体からのエアロゾル生成

関谷 隆司, 藤崎 努, 北野 正雄, 小川 敏  
京都大学超高層電波研究センター

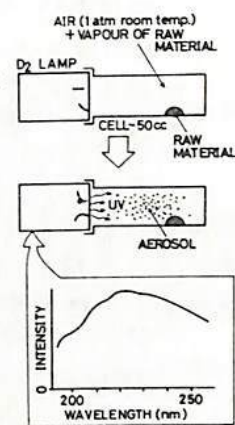
エアロゾルとは、気体の雰囲気(分散媒)の中に固体または液体の微粒子(分散質)が分散しているものを指す。エアロゾルの範疇に属するものは、天然・人工に豊富に存在する。なかでも光化学反応によりエアロゾルの生成する現象の研究は、古くは Tyndall (1869年「太陽光による窒化ブチル粒子の生成」)にまでさかのぼる。近年では、環境問題と結びつき光化学スモッグの研究が盛んであり、成層圏エアロゾルや地球外天体の大気圏エアロゾルも注目されている。またレーザ光化学反応による人工エアロゾル生成<sup>1,2)</sup>は、条件の調整を工夫に行えることから粒子化過程一般の有力な研究手段として期待されている。

先に我々は、有機気体からのエアロゾル生成について報告した。<sup>3)</sup>この現象は、ある種の有機物質のガスと空気の混合気体に、重水素ランプの発する紫外光を照射するとエアロゾルの生成する現象で(図参照)、以下のような特徴を持つ。(1)原料となる有機物質は、今までのところ芳香族(ベンゼン・ジクロルベンゼン・スチレン---)テルペニ族(ピネン・リモネン・イソブレン---)など、20種以上におよび、さらに増える傾向にある。中でもテルペニは植物の分泌する揮発油で、年間  $10^8 \text{ ton}$  もが大気中に放出されていると考えられている<sup>4)</sup>。テルペニは、古くから森林にかかるもやの原因物質と考えられているが<sup>4)</sup>、未だ詳しい生成メカニズムは解明されていない。(2)エアロゾルの生成に有効な紫外光の波長は  $180 \sim 300 \text{ nm}$  である。太陽光の中でもこの波長域の光は大気の吸收が強く、地表付近の光化学反応では有効と考えられない。しかしながら対流圏上部以上の大気では、原料さえ存在すればこの種の光化学反応が進行し得るであろう。(3)生成した粒子は大きなものでは  $0.1 \sim 1 \mu\text{m}$  にも達し、熱的にも極めて安定で長期間大気中に滞留する。(4) (1)であげた原料物質は、2種に大別できる。すなわち a) 紫外光がなくても  $\text{O}_3$  との反応でエアロゾルを生じるもの(主にテルペニ) b)  $\text{O}_3$ のみではエアロゾルを生じないもの(主に芳香族)。テルペニが  $\text{O}_3$ との反応でエアロゾルを生じることは古くから知られており<sup>4)</sup>、我々の実験はこれを確認した。(5)一部原料物質についてその生成物を赤外分光分析したところ、酸化の痕跡が認められた。光励起下における酸化が重要であると思われる。

その他、現象面でいろいろな性質が明らかとなりつつあるので詳細を報告したい。特に(5)と関連して、真空系と赤外分光を組み合せ、酸素の有無がエアロゾルの生成にどのように影響するか調べたので、報告する予定である。

### 参考文献

- 1) A.C. Tam, G. Moe and W. Happer, Phys. Rev. Lett., 35, 1630 (1975)
- 2) N. Nakashima, H. Inoue, M. Sumitani and K. Yoshihara, J. Chem. Phys., 73, 4693 (1980)  
(ベンゼンに関して、レーザ光化学反応 ( $\lambda=248 \text{ nm}$  pulse) による粒子生成が報告されている)
- 3) 藤崎他 日本地球電磁気学会 昭和57年春 III-22
- 4) F.W. Went, Nature, 187, 641 (1960)



## 南極中層大気探査用レーザーレーダ

## - 基本仕様と試験結果 -

\* 岩坂泰信, \*\* 幸沢威男, \*\*\* 福西浩, \*\*\* 藤原玄夫, \*\* 藤井良一, \* 喜田宏

\* 名古屋大・水圏研 / 国立極地研

\*\* 国立極地研

\*\*\* 九州大・理

前回の序会でも述べたように、南極中層大気の統合観測/MAPのひとつとしてレーダ探査計画がある<sup>1)</sup>。システムは本年の6月より種々の試験を受けて、7月現在名古屋大学にて解体・組立て作業を行って後試験観測に供されていく。ここでは、最近の運転状況と今後の見通しについて報告する。

Table 1

## Main Characteristics of Lidar

|                           |                                                                                       |
|---------------------------|---------------------------------------------------------------------------------------|
| Laser                     | 1.0 J/pulse ( 6943 Å )<br>0.3 J/pulse ( 3472 Å )<br>( Simultaneous oscillation mode ) |
|                           | 40 nsec duration                                                                      |
| Receiver<br>Telescope     | 50 cm Ø                                                                               |
| Bandwidth of<br>Filter    | 10 - 25 Å                                                                             |
| Data Display<br>and Store | 100 channels photoncounter<br>( 2 series )<br>8 bit A/D converter<br>( 1 series )     |
|                           | A 32K-word storage computer<br>is used to control the<br>data acquisition system.     |
|                           | Data are stored in magnetic<br>tape, 45 IPS, 800 CPI,<br>9 track.                     |

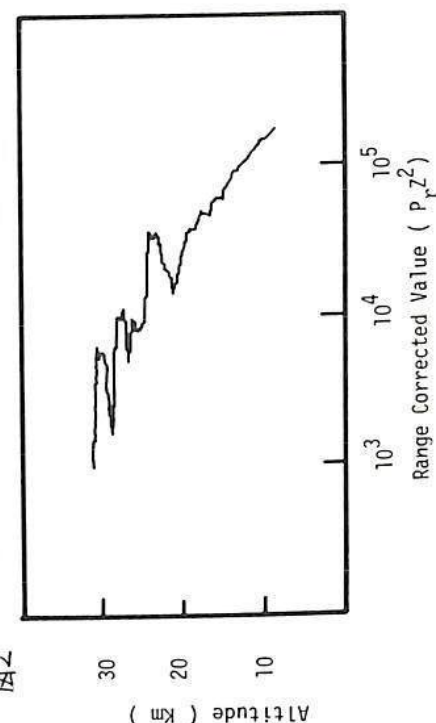


図2

Altitude ( km )

図1

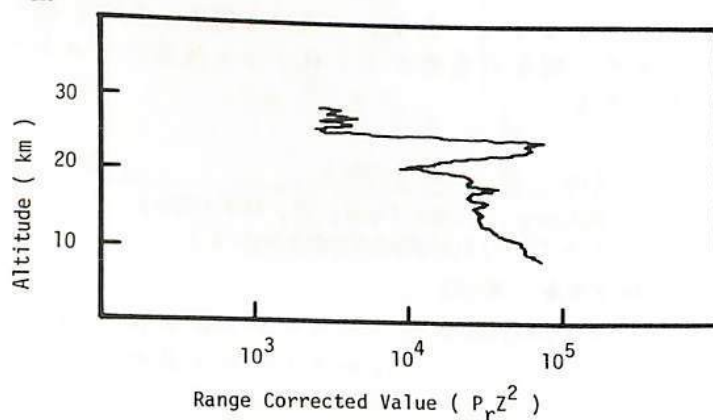
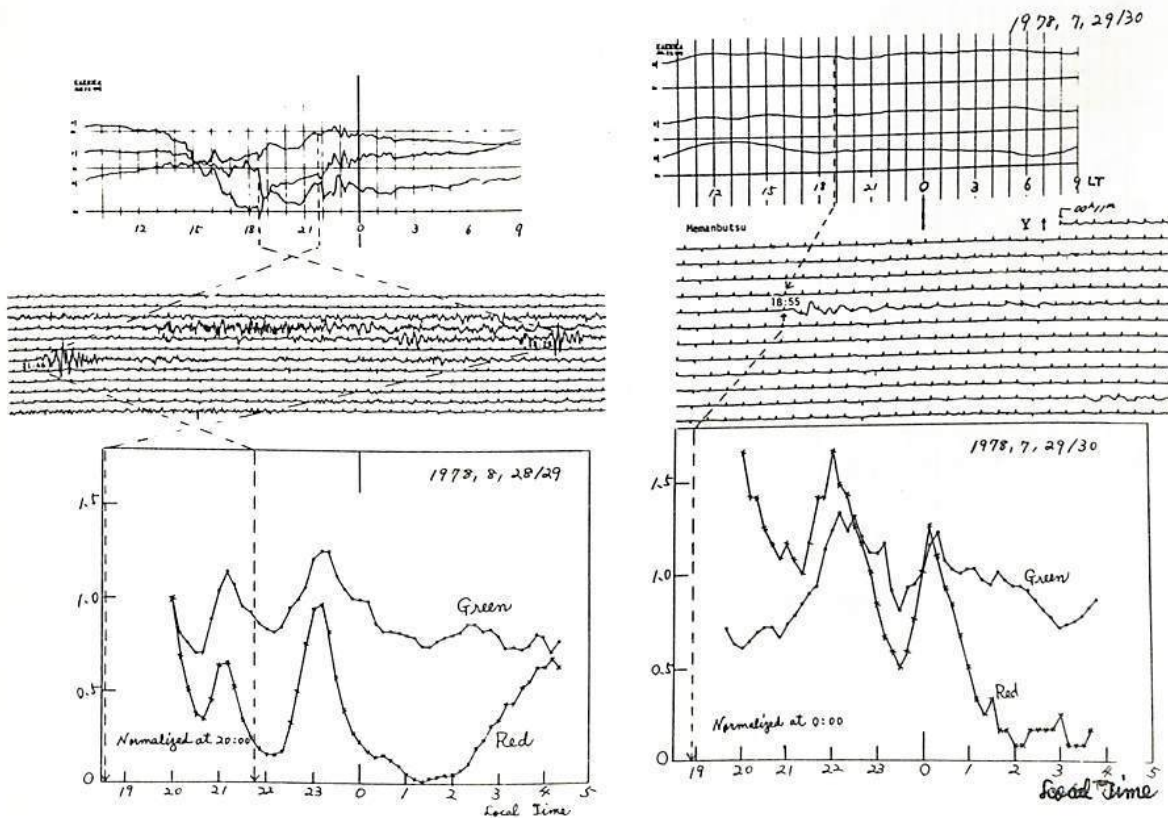


図1, 図2は 1982年7月5日の結果で、その他の波長入 = 0.6943 μm, B0.3472 μmで測定された。

# 酸素緑線と赤線の強度共変化の発生原因について その一考察

三沢清敏，加藤俊雄，竹内郁夫，青山巖  
(防大) (東海大) (訳商高事) (東海大)

green line と red line の強度が時折共変化するこことがあることは昨年の学会で報告した。これは年間に数回のことと思われる。今回は共変化の発生の原因について考察した。下図に示したように magnetogram と地磁気脈動の data を対比してみた。そうすると、green line 及び red line の共変化や複数の山が現れるよりも数時間前に Pi2 の発生があるのがわかる。又、Pi2 の発生に対応する時間には magnetogram ではある特徴的な変化を 1~3 の山がある。magnetogram は紙面で記録されたものであり、Pi2 はセミオーバー記録されたものである。Pi2 は、良く知らぬところよく、Alfvén wave particles と同時に polar region に到着したとき、始まると言われる。一方、TID は density force と強いから auroral electrojet による joule heating によって発生すると云われている。以上のことがら、ある特別な場合に、極光活動によって生じた伝導性の大規模な大気振動が～200 Km の高度の所を進む時に正層と反層とを同時に上下動させたとき、intensity variations が生ずるものと推定される。尚、これまで intensity variation が見つかったのは 9 例であるが、それに対応して、はつきりして Pi2 の発生と magnetogram の disturbance が見つかっているのは 7 例である。



## 酸素赤線の強度変化の孤立波型伝播の発生の原、因についての一考察

三沢清敏、加藤義雄、竹内郁夫、青山義  
 (南大) (東海大) (記研高通) (東海大)

昨年の秋の学会では、red line の強度の孤立波型を 1 例もの (red line hump と呼ぶ) が、極地方から赤道地方へ伝はんす 3 例といふことを発表した。今日は red line hump の発生の原因についての考察である。加えて red line hump と AE index と magnetogram (Fig. 1) とを対比した。すると、red line hump の peak が観測される数時間前に AE index の peak が現れる、AE index の peak に対する時間に magnetogram には特徴的な変化が現れることがわかつた。次に、red line hump と磁気脈動の data と magnetogram を対比した。red line hump の peak が現れる数時間前に Pi2 の発生が見られ、Pi2 の発生時間に対応する時間に magnetogram 上には特徴的な変化が現れることがわかつた。このことから red line hump は auroral electropause と particle precipitation によるものがあることがわかる。太陽風によっててよく急に磁気圏が圧縮されて励起される高いスペクトル帯の磁気脈動の中の Pi2 に関係し、又、太陽風に磁気圏が急に圧縮されたとき、大気光に於ては、red line hump の発生とその赤道方向への伝播といふ現象が現れるようである。そして intensity covariations は red line hump の中のある特別な場合のように思われる。

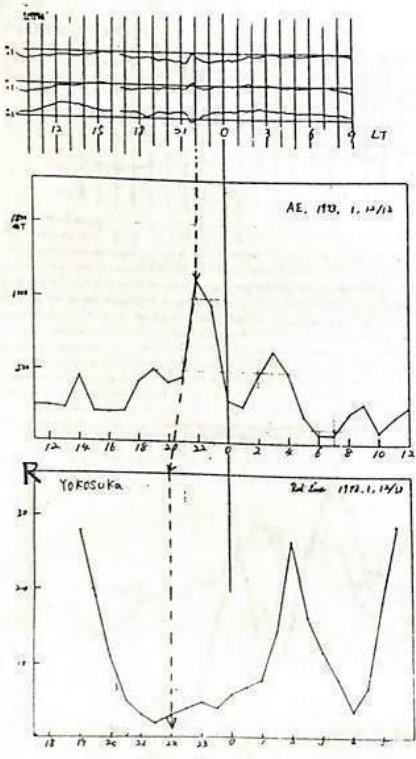


Fig. 1  
AEとの対比

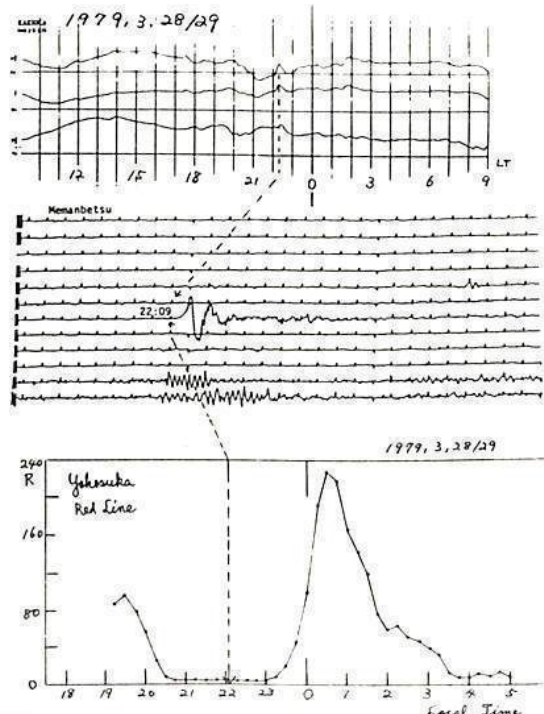


Fig. 2  
Pi2との対比

## S-210-13号機によるTMA発光雲の観測

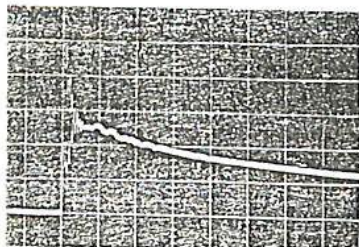
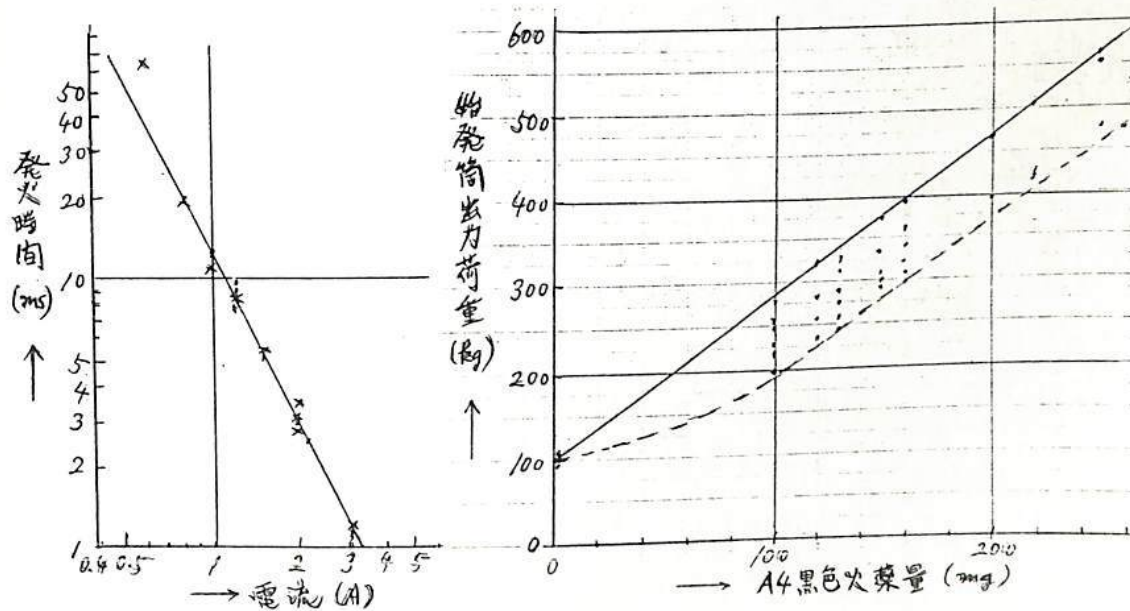
中村純二  
東大教養大地登  
岐阜大教養

MAP期間の第2回発光雲実験として、9月10日～15日の21:00にS-210-13号機による夜間TMA発光雲の実験が行われる。

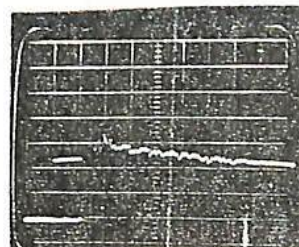
今回はロケットの上昇時並びに下降時の2回に亘りTMAを噴射し、水平距離にして数十秒離れた2地点に二つの発光雲を作り、大気の運動性を調べるのが第一の目的である。これまで高度85km～150kmの間の風速だけが求められたが、中層大気の運動に大きく寄与する高度80～85kmのもう少し低い高度における風速なり、乱流の様子なりを調べるのが第二の目的である。

第三の目的は流星レーダーと同時観測を行うことにより、流星レーダー観測の精度を直接チェックすることである。前回は打上時刻が薄明時、すなわち入射流星数の少ない時間帯であったため、流星レーダーでは十分な観測結果が得られず、直接の比較ができないかった。今回は流星数の多い夜間を選択し、初期の目的を達成する計画である。

今回の実験に当っては事前にTMAの急開バルブや急止バルブに廻し、数々の地上実験を実施し、特にバルブを起動する始発筒については略満足すべき完成品が得られた。その開発状況についても報告の予定である。



A4 100 mg  
横軸 5 ms/div  
縦軸 100 kg/div  
出力 250 kg



A4 130 mg  
横軸 5 ms/div  
縦軸 100 kg/div  
出力 330 kg

ポスターセッション

(PA-1 ~ PA-17)  
(PB-1 ~ PB-17)

## 弱残留磁気測定装置(RICRESTOMETER)

## の製作(続)

平尾 邦雄・瀬戸 正弘・斎藤 尚生・小島 正美・北村 保夫\*

( 宇宙研・東北工大\*・東北大 )

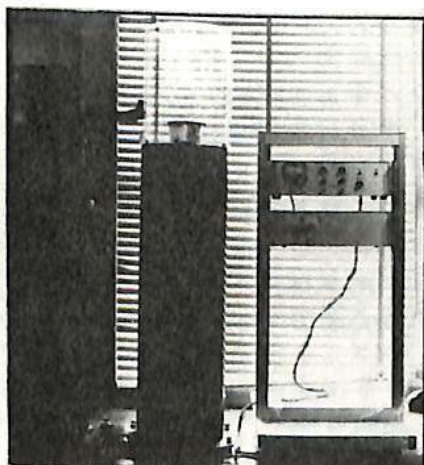
これまで継続的に行なわれてきた基礎開発の成果にもとづき、弱残留磁気測定装置(Ricrestometer)を、東北金属KK(Tokin)に本製作させ、表示部を除いて1号機(第1図)が完成したので報告する。

既に学会やシンポジウムなどで報告してきたように、リングコアセンサーを用いること直交二成分磁場(H, Z)が同時に速い応答でしかも高感度で測定できる。そこでこれらの長所を組合せて、人工擾乱の激しい実験室においても、任意の大きさ・形状を持つ資料を、1軸まわりに数秒間回転させるだけで、資料の残留磁気モーメントの大きさと三次元的な方向が短時間で測定できるリクレストメーターが開発されてきた。今回本製作したリクレストメーターの特徴は次の通りである。

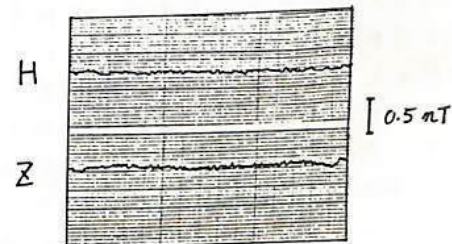
- (1) 回転装置を縦型にして機構が簡単になり、特に床面積が小さくなつた。
- (2) 打消し回路を付することによつて更に感度を高めることができるようになつた。
- (3) リングコア2個を用いた差動回路のほか、資料の高速回転で更にスタッキングを加えることによつて、日中、市街雑音の大きい場所でも高感度で測定できるようにした。

第2図に出力のノイズレベルの一例を示すが、0.1 nT以下であり、調整やスタッキングをおこなえば、これは更に小さくなるはずである。第3図は実際の測定例であるが、良好な結果が得られており、13 nTで、 $10^{-6} \text{ emu/cm}^3$ 以下の弱残留磁気を持つ資料も測定できる予定である。

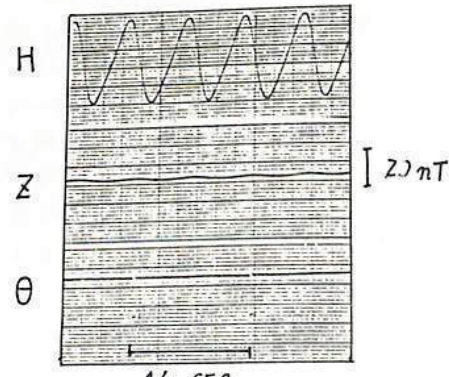
本機製作の主目的は飛しよう体構成部品の残留磁気測定を通じて飛しよう体の磁気クリーニングを方になうことにあるが、古地磁気学、岩石磁気学、考古学などにもまだちに応用できるので実際の測定例を示し、かつ今後の課題について報告する。



第1図



第2図



第3図

船木 實 永田 武  
国文極地研究所

南極マクマードサウンドの古地磁気について、今まで各時代毎に報告してきたもので、今回総括して報告する。

マクマードサウンドは、ロス海の東端に位置し、広く露岩が分布している。この地域の地質は、Pre-cambrian の meta-sesiment 及び  $480 \sim 500$  m. y. の granite と dyke を買入している。これらの地層は、Devonian ~ Jurassic の Beacon sandstone はより厚く覆出し ( $4,000$  m 以上) である。この Beacon sandstone の層理は、ほとんどの水平で、堆積後褶曲運動などはなかったと考えられる。Jurassic には、Ferrar dolerite の sill の大規模な買入があり、この sill は基盤岩と Beacon sandstone を水平に貫っている。最後に Tertiary 末～現在に至るまで、この地域に火山活動があり、ロス島などが形成された。次に各岩体毎の古地磁気学的特徴を記載する。

1. Wright 谷に分布する基盤岩の granitic と Vanda lamprophyre dyke の NRM は normal に磁化し、方向は採集地によって異なるが、 $220 \sim 240^\circ$  の経線上にすべて分布する。Thesuns granodiorite の NRM の方向は Ferrar dolerite と平行である。Vanda porphyry の NRM は水平で、 $220 \sim 240^\circ$  の方向に磁化している。これらの資料を熱消磁するにあり、Blocking 温度が  $500^\circ\text{C}$  より低い資料は Ferrar dolerite の向に、高い資料は水平方向に磁化している。水平成分から計算される VGP の値は、現在のアフリカ赤道付近にあり、これは東南極大陸で得られた値とほぼ一致している。しかし Declination のみでみると、同年代の昭和基地の値と約  $20^\circ$  の差があり、ランバート氷河に断層がある可能性がある。以上のように二つの地域は Ferrar dolerite の買入により  $500^\circ\text{C}$  に加熱され、その結果 Blocking 温度が違つたにより、水平のみでは Ferrar dolerite、場合によつては両者の成分を同時に持つように磁化したと考えられる。

2. Mt. Circe, Mt. Fleming, Allan Hills それに Carapace Nunatak から採集しに Beacon sandstone の NRM は、すべて normal に磁化し、Ferrar dolerite と平行である。この二つから、この地域の Beacon sandstone は Ferrar dolerite はより Curie point 以上に焼かれないと推定される。

3. Wright 谷、Allan Hills、Carapace Nunatak、それに Mt. Fleming から採集しに Ferrar dolerite は normal に磁化し、VGP は南太平洋の中緯度に分布した。これらは、南極横断山脈から採集された他の Jurassic の資料の VGP と一致した。

4. Ross 島と Taylor Valley に分布する 14 種の溶岩から計算される VGP の値は、南極域の半径  $30^\circ$  の範囲内に大多数が分布し、その中心は地軸付近にくる。nondipole 成分を考えに入れた場合、このような VGP の分布は、現在の地球磁場とよく似ている。またこれらの VGP の中心が南極点付近にくることから、南極大陸は 3 m. y. 前にはすでに現在の南極の位置にあったと考えられる。

ペルーの先インカ文明時代の土器片による  
古地球磁場強度

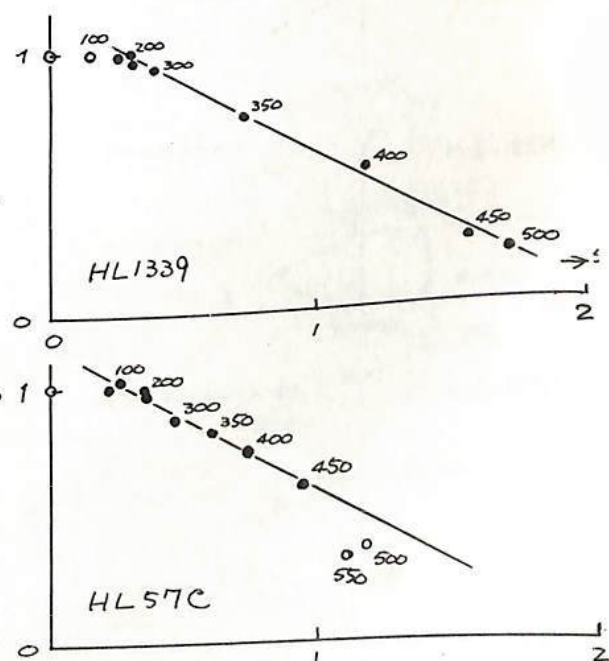
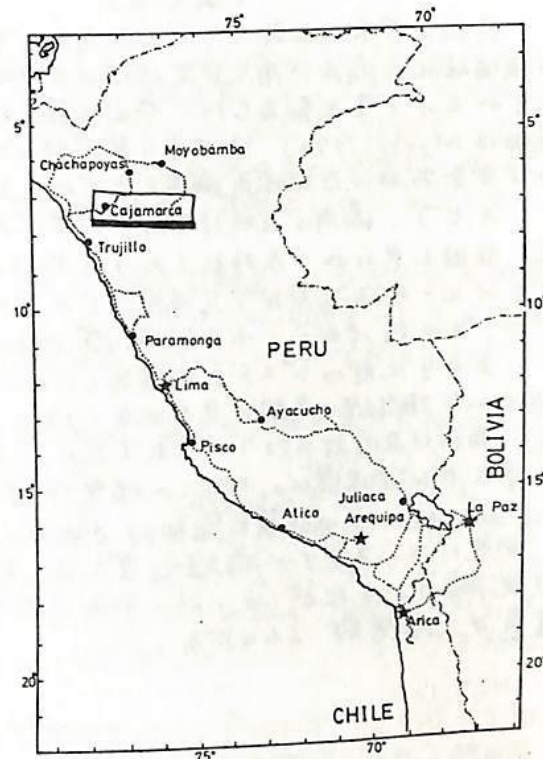
河野 長、上野直子、  
東工大理 東洋大文

大曾良夫  
東大教養

ペルー北部、カハマルカ市付近には、プレインカ時代の遺跡が多数あり、東京大学文化人類学教室による「核アカリカ調査」によって、各文化の時代や内容が明らかにされつつある。我々は1980-1981年の「中部アンデスの地球物理学的調査」実施時に、東大調査団の御好意によって、カハマルカの遺跡から発掘された土器片を入手することができた。これらの資料を用いて磁場強度変化を求めることにした。発掘された遺物は、AC法や土器の様式などによつてかなりくわしい( $\pm 100$ 年)年代がつけられており、全体では1500 B.C. ~ 500 A.D.にわたつてゐる。

強度実験に先立つて熱磁化測定を行つて  $J_s-T$  カーブを求めた。得られたキュリ一点はいづれも  $550^{\circ}\text{C}$  近で一相であり、ほぼ reversible なものと  $J_s$  値が少し変化するものがある。磁気鉱物はマグネタイトに近いものと考えられるが、玄武岩のように  $470^{\circ}\text{マグネタイト} >$  高温酸化した相かどうかはわからぬ。また、交流消磁の結果は残留磁化が十分安定であることを示す。

強度を求める実験は Thellier 法と Shaw 法を用いて行った。今回は Thellier 法の結果について述べる。右に Arari ダイヤグラムによつて成功例を 2 例示す。常温~ $150^{\circ}\text{C}$  の範囲の NRM 成分は直線より下へくるものが多く、逆プロッキング温度成分が失なわれてゐることを示す。キュリ一点の近くではやはり化学変化のために直線からはずれることもあるが、その温度は  $500^{\circ}\text{C}$  ではなく  $550^{\circ}\text{C}$  であり、その変化の程度もあまり極端ではない。従つて、これらの土器は十分高温( $\gtrsim 600^{\circ}\text{C}$ )で焼かれたものと考えることができ。結果は古地球磁場強度変化を表わすと結論することができる。これまで、同じ地域(ペルー)から Nagata, Kobayashi & Schwanz (1965), Kitazawa & Kobayashi (1968), Gunnlaugsson & Murray (1980) の結果が報告されてゐるが、これらとの比較を行う。



中部アンデスの古地磁気 II  
ペルー海岸地域白亜系火山岩及び北部ナリ  
ジユラ系堆積岩へ

日置 韶介・浜野 洋三  
(東大理)

河野 長  
(東工大理)

前回の学会で北部ペルー石灰岩及び中部ペルー海岸地域の火山岩(いづれも白亜系)の残留磁化の偏角が南米安定地塊の古地磁気より期待される方向から有意な反時計まわりのずれを示す事を報告した。今回は最近測定した Huarmey 地域の白亜系火山岩(地層の詳細は Myers, 1974) 及びナリ最北部のジユラ系石灰岩等の結果を報告する。ペルー地域の白亜系岩の古地磁気偏角をまとめた結果を図2に示すが(1 - マルはリバースに変換してある)、偏角の反時計まわりのずれがペルー全域にわたっていきる事がわかる。偏角異常の原因と思われる反時計まわりの Tectonic rotation は局地的なものではなく少くともペルー全体をがむう大規模なものであつたようである。これは南米西縁が元来まっすぐで、その後ペルー・ナリ国境付近で折れ曲ったといふ仮説を強く支持する。

一方ナリ北部のジユラ系堆積岩(Arica Group)は、アンデスの折れ曲りの支点と直観される海岸線の走向の急変地帯( $18^{\circ}S$  近辺)より約百 km 南に位置するにちかくからず、その偏角は反時計まわりにずれており。Tectonic rotation がこの地域にまで及んでいた事を示し興味深い。ひがみの結果は同じ Arica Group の古地磁気を報告した Palmer et al (1980) の結果と調和的である。

測定には、スピナー磁力計(東大)、超伝導磁力計(極地研)を用いた。消磁は段階交流消磁を行つたが、その時の挙動は図1の Zijderveld diagram に示すように概して直進かつ理想的なものである。

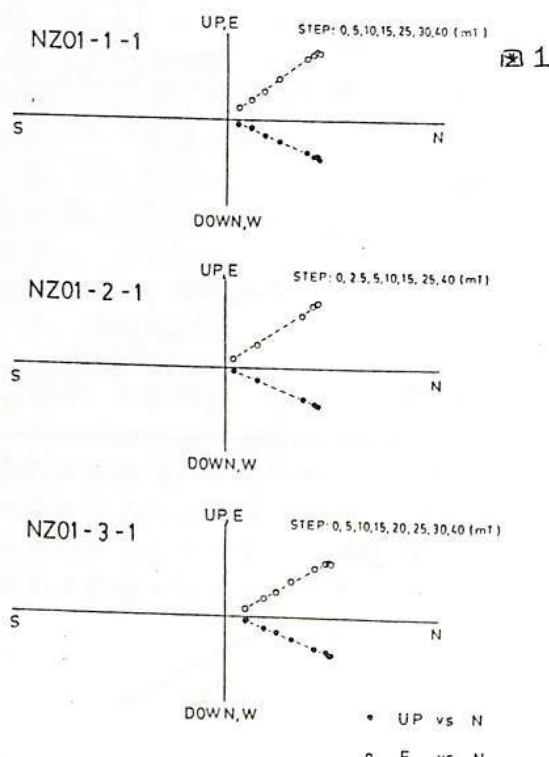
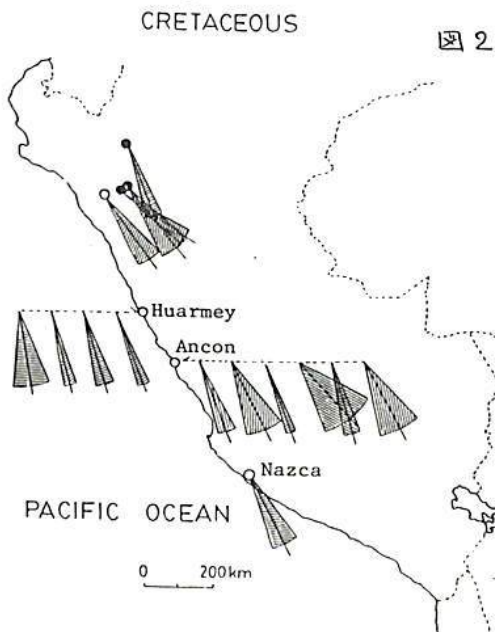


図1



Ref. Myers, J. S., Am. Assoc. Petroleum Geologists Bull., 58, 474-487, 1974.  
Palmer, H. C., A. Hayatsu and W. D. MacDonald, Geophys. J. R. astr. Soc. 62, 155-172, 1980.

## 北上地方・宮古層群の古地磁気

～白亜紀・中期～

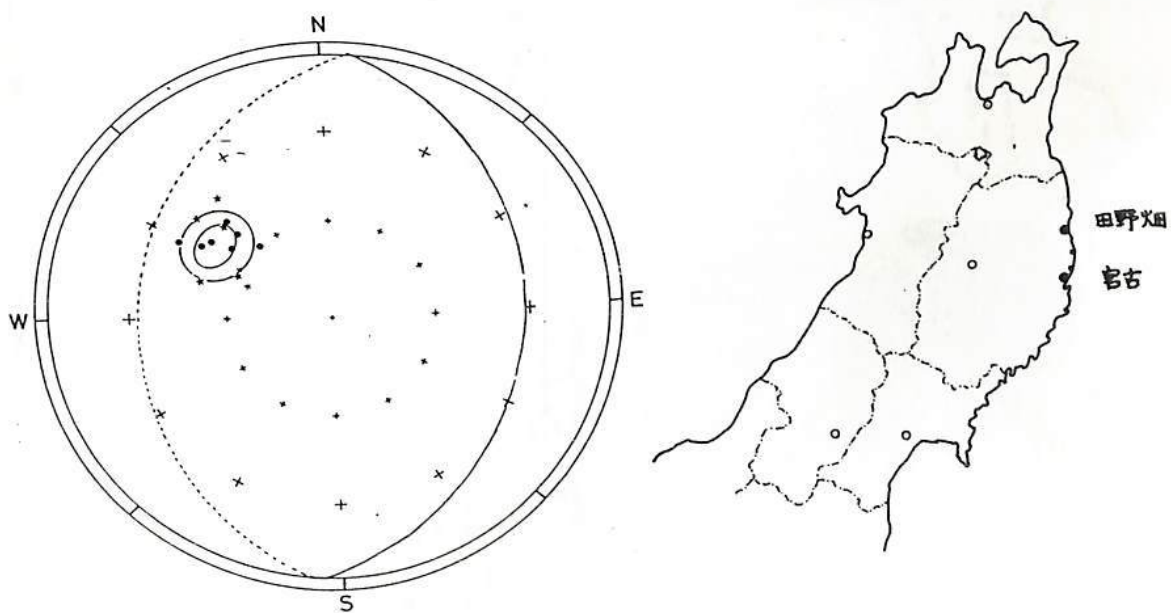
当舎 利行・亥野 洋三  
(東大理)

東北日本・北上地方の白亜紀の古地磁気学は、すでに Ito et al. (1980) によって詳細な研究がなされている。しかし、そのデータは深成岩類によって求められたものであり、解釈を行なう上で水平面などの仮定が必要となる。またその方向も北へ西に広く分布をしているようにみうけられる。前回、下部石灰紀系の堆積岩を用いて古地磁気極を求めた報告をしたが、この時代の岩石も白亜紀の花崗岩と同じ方向を向いていた。

中生代、古生代の古地磁気を調べる上で、白亜紀の深成岩類をつくり出した大島造山運動の影響を考えに入れなければならぬ。しかし白亜紀の古地磁気データは花崗岩体を用いたものしかなく、花崗岩の貫入時期に古地磁気極がどちらの方向をむいているかを調べておく必要があると思われる。

東北地方・三陸沿岸には宮古層群と呼ばれる地層があり、南は宮古港南西の丘陵地から北は岩手県下閉伊郡田野畑村まで海岸沿いに点々と範囲を広げている。この地層は主に砂泥互層より成り、現在ではゆるやかに東に傾斜している。花崗岩体を不整合におびつてこぼれたりするところもあり、地質的には大きな変動は受けていないとされている。この宮古層群は下部から蘿賀層、田野畑層、早井賀層、明戸層などに区分されている。多くの種類の化石を豊富に含んでおり、この化石を用いて年代は白亜紀中期の Aptian-Albian と求められている。今回は、主に早井賀層内の泥質の層を中心にサンプリングを行なった。

早井賀層内の2地点から得られた古地磁気方位は下図のようになつた。データはどちらも北西方向を向いており、比較的良好まとまりを示す。前回得られた下部石灰紀系の結果は、ほぼこの方向と一致する。



# 愛鷹山岩脈群の古地磁気

綱川 秀夫 渡野 洋三  
(東大・理)

岩脈群をもちいた古地磁気は、溶岩などの噴出岩を使った場合にくらべて、数多くの独立したサンプルにもとづくデータを得やすい。一般に、岩脈群の活動期間は、成層火山の活動期間(～ $10^5$ yr.)と同じと考えられる。一方、岩脈の貫入枚数は、溶岩の噴出回数とは桁ちがいに多く100枚をこえるものが多い。したがって、地球磁場の永年変化や、磁場逆転期などについて、細かく記録を残していると思われる。

愛鷹山は、富士山の南東、箱根火山の西方にあり、数十万年前に活動したといわれている。Ishida(1981)によると、岩脈の露頭は200ヶ所をこえ、放射状に分布している(図1)。岩質は、olivine-basaltを主とする玄武岩や、pyroxene-andesiteなどの安山岩である。溶岩の噴出順序からすると、玄武岩質の岩脈が先に貫入し、その後に、安山岩質岩脈が貫入したと推察できる。これらの露頭から、約50site、250ヶ以上エのサンプルを採取してきた。採取時には、岩脈の走向、位置を考慮して、独立な岩脈からサンプル採取をおこなうようにした。

パイロット・サンプルとして、約20ヶのサンプルを測定した。NRMは、 $10^{-3} \sim 10^{-2}$  emu/ccと比較的強い。Polarityは全てNormalであり、愛鷹山岩脈群は、Brunhes epochに活動したと思われる。下に、安山岩質岩脈より採取したAT05-5の交流消磁結果を示す。ややVRMをかぶつているようだが、安定した残留磁化をもつ、MDFは約30mT(300oe)である。残りのサンプルについても測定をし、それらをあわせて永年変化などの議論をしたいと思う。



図1. 愛鷹山の位置、及び岩脈の分布図。

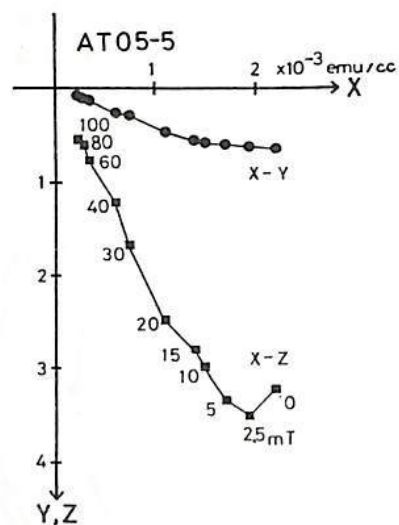


図2. 安山岩質岩脈AT05-5の交流消磁結果。

$\begin{cases} X & \text{北方向成分}, \\ Y & \text{東 "}, \\ Z & \text{鉛直下 "} \end{cases}$

## VLF標準電波の赤道越え伝搬異常について(II)

## — 地磁気の VLF 電波伝搬への影響 —

馬場 清英

(中部工大)

VLF標準電波の赤道越え伝搬異常について以前報告した。NWC(22.3kHz)-Kasugai と NLK(18.6kHz)-Australia, New Zealand の伝搬路について、夜間の地球-（異方性）電離層導波管内での伝搬定数、特に位相速度に磁気赤道中心に絶度  $\pm 20^\circ$  以内で著しい変化がみられ、東→西方向に磁気赤道を横断する伝搬の場合、赤道越え異常を定量的に説明しうることを示した。今回は 18.6kHz の VLF 電波の伝搬特性の、伝搬路の地磁気に対する方位角、地磁気伏角への依存性について報告する。

(夜間の電離層及び地球のモデル)

$$\text{電離層電子密度分布 } N = 19.6 \cdot e^{0.35(h-h_0)} \text{ cm}^{-3} \quad h: \text{高さ(km)}, \quad h_0: \text{電離層基準高(km)}$$

$$\text{電離層電子衝突周波数分布 } v = 5 \times 10^6 \cdot e^{-0.15(h-h_0)} \text{ sec}^{-1}$$

電離層のジャイロ周波数

$$f_H = 1000 \text{ kHz} \quad (\text{一定})$$

地球は完全導体であると仮定する。

(結果)

上述モデルについてモード方程式を解いて伝搬定数(位相速度、減衰係数等)を求め。伝搬定数は 2 次元モデルでは、赤道に対して対称となる。

ここでは赤道越え異常を問題にしてから求め、夜間の 2 次と 3 次モードの干渉距離を求めた(Fig.1 と Fig.2)。方位角が  $0^\circ \sim 90^\circ$ (又は  $180^\circ \sim 90^\circ$ ) は西→東伝搬、 $180^\circ \sim 270^\circ$ (又は  $360^\circ \sim 270^\circ$ ) は東→西伝搬に対応している。

(1) 干渉距離は東→西伝搬の方が西→東伝搬よりも磁気赤道附近で特に大きくなる(赤道越え伝搬異常)。

(2) 干渉距離の理論値は、実験値より 2 倍以上大きい。

(3) 方位角が  $180^\circ \sim 195^\circ$ (又は  $360^\circ \sim 345^\circ$ ) の間(東→西伝搬)では、干渉距離の理論値は赤道越え異常として実験的に求められるという磁気絶度依存性を示さない。

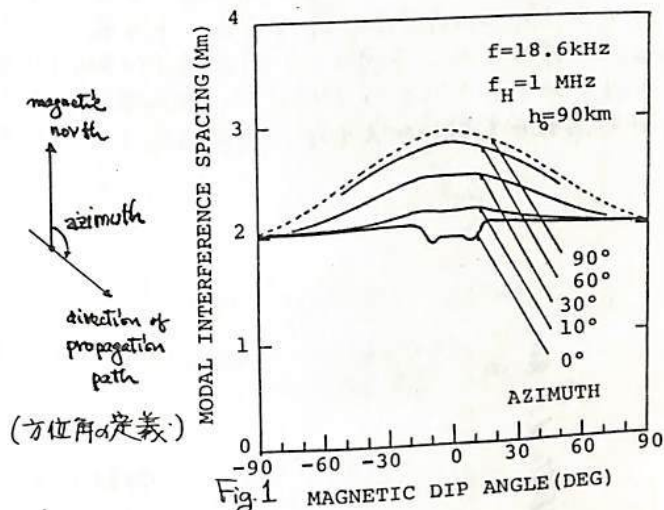


Fig.1 MAGNETIC DIP ANGLE (DEG)

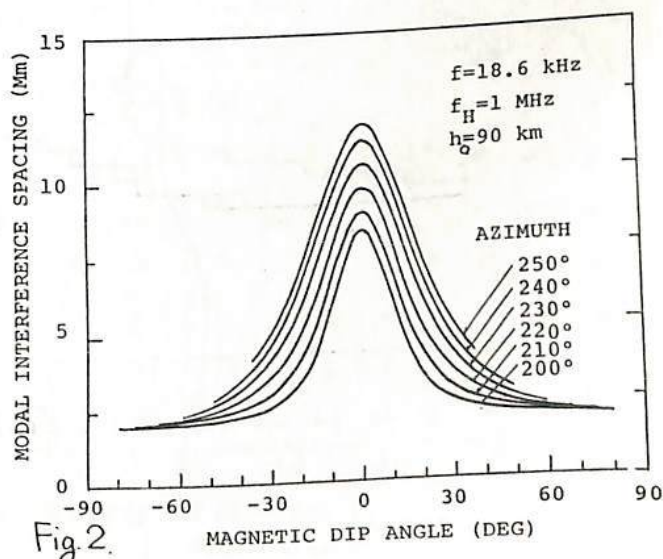


Fig.2 MAGNETIC DIP ANGLE (DEG)

## VLF による下部電離層電子密度分布の推定

島倉 信  
(千葉大工)

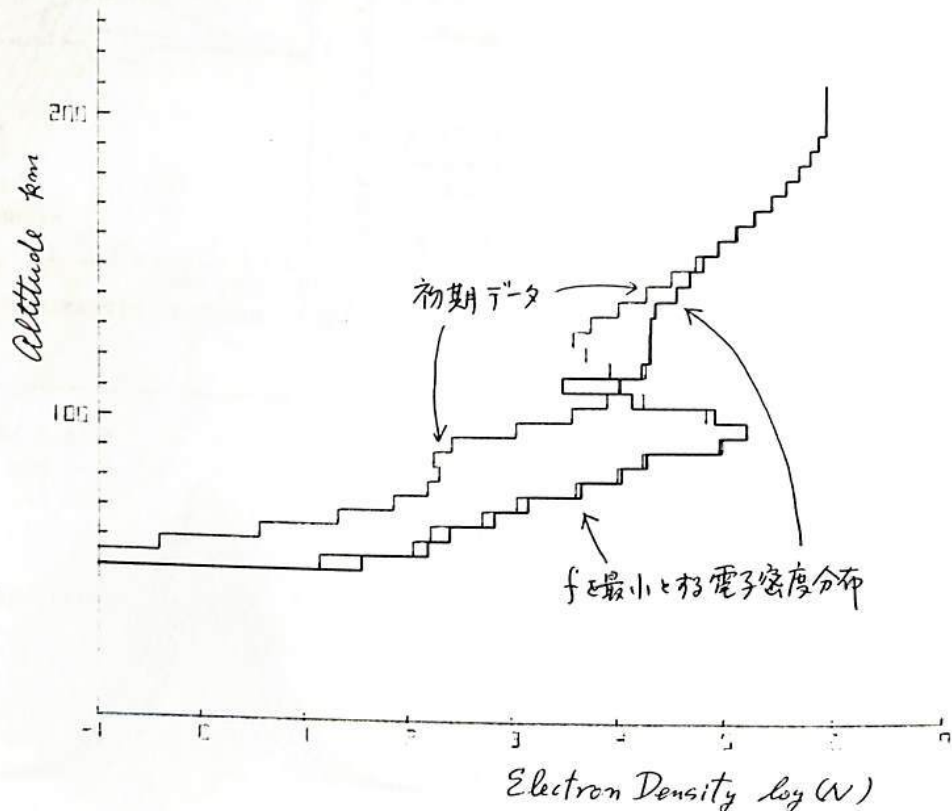
VLF 帯以下の電磁波の反射には 100 km 以下の電離域が重要な役割をもつことが知られる。そこで、VLF 帯の電磁波の反射特性から下部電離域の電子密度分布を推定することを試みた。

今、周波数  $\omega_i$ 、入射角  $\theta_i$  の波の電離層反射係数  $R_{oi}(\omega_i, \theta_i)$  を既知とし、電子密度及び平均衝突回数が均一多層 ( $m$  層) に近似された電離層モデルに対する反射係数を

$$R_i(\omega_i, \theta_i, N_1, N_2, \dots, N_m) \text{ とし、評価関数 } f(N_1, N_2, \dots, N_m) = \sum_{i=1}^p |R_i - R_{oi}|^2 \text{ を最小}$$

とする最適電子密度分布を推定する。ただし、 $N_1, N_2, \dots, N_m$  は各層の電子密度。

任意の電離層モデルに対する電離層・大地間等温管の 1 次モード伝ばん特性から、各  $\omega_i$  に対する  $R_{oi}(\omega_i, \theta_i)$  及び  $\theta_i$  を求め、それを最小とする電子密度分布が与えられた分布に近づくか否かを検証した。下図は、1 回波数 (10 波) で推定した計算例を示している。2 回波数での推定結果とこれとほぼ同じで、概ね良好な結果を得ることができた。また、各層の平均衝突回数を変数に加えれば、電子密度及び平均衝突回数を同時に推定することができる。



## 電場による極電離層と赤道電離層の結びつき(Ⅲ)

角村 悟 荒木 徹  
地磁気観測所 京大理

SSC の Preliminary Impulse,  
Main Impulse 及び DP 2 型地磁気変化  
など、顕著な赤道異常を示す地磁気変化  
は、高緯度電離層に印加された電場によって  
流される電離層電流によるものだと考えるのが  
妥当である。

以前の講演(荒木; 77年春、秋)では、  
高緯度電離層に Source Current を流入し  
大陸の電離層の世界的な電場電流分布を  
模型的な電気伝導度分布を仮定して数値的  
に求めた。その結果、赤道での Cowling  
電気伝導度  $\Sigma_{\phi\phi}$  が充分に大きい時、その  
shielding effect のため、赤道帶で  
東西電場  $E_\phi$  が減少するものの、電流  $J_\phi$   
は enhance されることが示された。ただし、  
mesh の粗さのため、真赤道では  $J_\phi$  は  
充分大きな値を得られなかつた。

今回は、計算の mesh を細かくし(日方向  
に  $1^\circ$  きざみ、 $\phi$  方向に  $7.5^\circ$  きざみ) 図 1 に  
示されるような、より現実的な電気伝導度分布  
について数値実験を行なうことにする。

Source current は  
 $\theta$  (余緯度) =  $10^\circ \sim 20^\circ$   
に正確的に渡入する。

図 2 は、こうやって  
得られた電離層電流  
の分布図である。

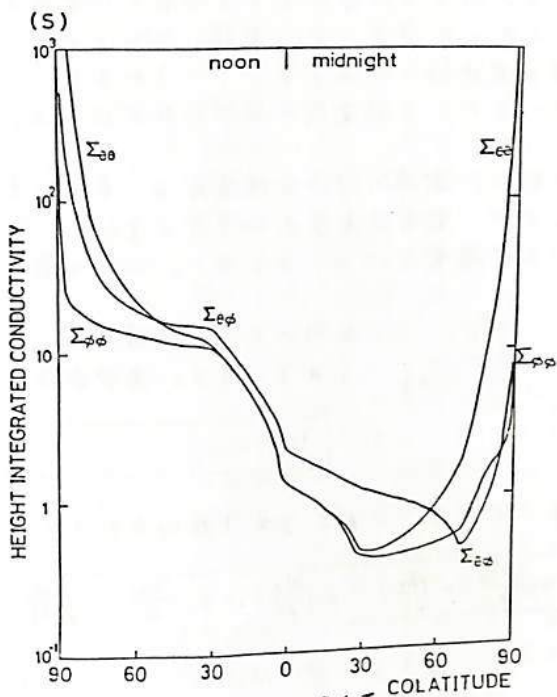


図 1. noon-midnight 子午面  
内の 2 次元電気伝導度の分布

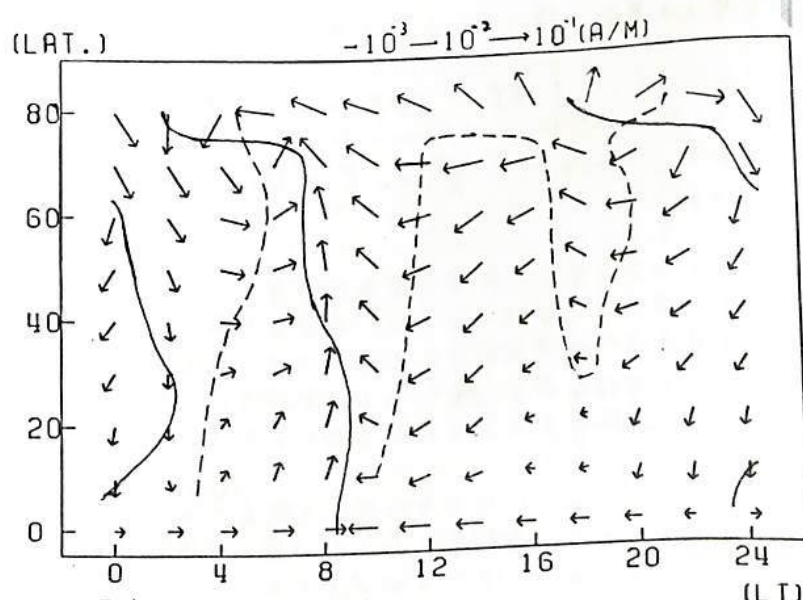
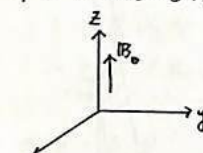


図 2. 電離層電流分布 実線...  $J_{EW}$  ) の demarkation line  
破線...  $J_{NS}$

荒木 徹 (京大理)

等方的電気伝導度をもつ媒質中に電場が存在する時、電流はオームの法則  $\mathbf{J} = \sigma \mathbf{E}$  にしたがって流れ、常に電場に平行である。媒質が非一様ならば、電流は高電気伝導度領域を選択的に流れようとして方向を変え、それにしたがって、電場の方向を変かなければならぬので、分極電荷の空間分布が生じる。

一般に、電流に伴う分極電荷は、電気伝導度が非一様の場合のそれと考えらるからであるが、電気伝導度が非等方でテソルが異なれば角要素をもつ場合には、一様媒質中でも分極電荷は0にまらない。以下簡単な考察からこれを示そう。



左図のように座標系をとり、電気伝導度は、 $\Sigma = \begin{pmatrix} \alpha_1 & -\alpha_2 & 0 \\ \alpha_2 & \alpha_1 & 0 \\ 0 & 0 & \alpha_0 \end{pmatrix}$  とする  
されるとする。定常電流は、方程式系

$$\nabla \cdot \mathbf{J} = 0, \quad \mathbf{J} = \Sigma \cdot \mathbf{E}, \quad \mathbf{E} = -\nabla \phi \quad (1)$$

によつて次式を得る、(2)式と組み合せて次式を得る。

$$\alpha_1 \left( \frac{\partial E_x}{\partial x} + \frac{\partial E_y}{\partial y} \right) + \alpha_0 \left( \frac{\partial E_z}{\partial z} \right) + E_x \frac{\partial \alpha_1}{\partial x} + E_y \frac{\partial \alpha_1}{\partial y} + E_z \frac{\partial \alpha_0}{\partial z} + E_y \frac{\partial \alpha_2}{\partial y} + E_z \frac{\partial \alpha_2}{\partial z} = 0. \quad (2)$$

$= z^*$ 、媒質が一様と仮定し、ポテンシャル中を用ひると、(2)式は、下のようになる。

$$\alpha_1 \left( \frac{\partial^2 \phi}{\partial x^2} + \frac{\partial^2 \phi}{\partial y^2} \right) + \alpha_0 \frac{\partial^2 \phi}{\partial z^2} = 0 \quad (3)$$

説明: 等方一様とすると (3)式は  $4\pi\rho = \nabla \cdot \mathbf{D}$ ,  $\mathbf{D} = \Sigma \mathbf{E}$  となる

$$4\pi\rho = \Sigma \nabla \cdot \mathbf{E} = -\Sigma \nabla^2 \phi = (\frac{\alpha_0}{\alpha_1} - 1) \frac{\partial^2 \phi}{\partial z^2}. \quad (4)$$

したがつて、 $\alpha_0 \neq \alpha_1$ ,  $\frac{\partial^2 \phi}{\partial z^2} \neq 0$  (ie  $\frac{\partial E_z}{\partial z} \neq 0$  and  $\frac{\partial E_x}{\partial x} + \frac{\partial E_y}{\partial y} \neq 0$ ) の時は  $\rho \neq 0$  にならざる。

(3)式からわかるように、等方電気伝導度 ( $\alpha_1 = \alpha_0$ ) の場合は、電位分布は電気伝導度に依存せず、同じ境界条件の下では、真空中の場と同じであるが、非等方にすると電位分布が電気伝導度比  $\alpha_0/\alpha_1$  に依存するようになり、真空中の場からずれてくれるのに、そのずれの場を作り出す分極電荷が必要となるのである。この際、電気伝導度テソルの非対角要素  $\alpha_2$  (Hall conductivity) が何の役割を演じるか ( $\alpha_2 = 0$  であるともよい) のは興味深い。

以上の考察は、直ちに起居層物理学の現象に大きな影響を与える段階ではないが、非等方性が本質的特徴を果す電離層における「電気伝導度が一様だから電荷が止まらず」、非一様だから「止まる」という言葉は正しくないことに留意すべきである。

本邦における  $f_0F_2$  の年年変化とそれの大気圧  
年年変化成分との比較

米沢利之  
(中部工大)

$F_2$  層の年年変化についてはすでに 30 年を前からその存在は知られていて、それが起つた機構はいままだに解明されていない。従来は平均の変化が最もよく研究されてきたようであるが、以下では個々の年にによる年年変化のパターンがどのように異なるかを明らかにするために重視をおいてデータの解析を行つた。調べたのは正午と夜年の  $f_0F_2$  であるが、筆者は最近に地上で測定された大気圧にも年年変化成分が含まれていることに気付いたので、それらのパターンの異同を比較しながら議論を進めたい。

第1表 正午の  $f_0F_2$  ( $f_{12}$ ) と大気圧の各年の年年変化諸要素  
1959-70 年にわたり平均した値

|                    | 山川    | 鹿児島  | 名古屋   | 国分寺   | 東京    | 秋田    | 稚内 | ワシントン |
|--------------------|-------|------|-------|-------|-------|-------|----|-------|
| $f_{12}$ 年平均 (MHz) | 9.88  | —    | 9.24  | 8.74  | 8.26  | 8.03  | —  | —     |
| $f_{12}$ 振幅 (MHz)  | 1.38  | —    | 1.34  | 1.28  | 1.13  | 0.55  | —  | —     |
| 年変化 位相             | 3.82  | —    | 3.79  | 3.75  | 3.71  | 3.86  | —  | —     |
| 振幅/年平均             | 0.144 | —    | 0.147 | 0.147 | 0.134 | 0.065 | —  | —     |
| 大気圧 振幅 (cm)        | 1.12  | 1.87 | 2.55  | 2.77  | 2.42  | —     | —  | —     |
| 位相                 | 4.73  | 4.28 | 4.17  | 4.13  | 3.93  | —     | —  | —     |

(位相は 12 月半ばから 3 月を半期として測定したが、天候起晴率を考慮して取捨した。)

第2表 正午の  $f_0F_2$  の各年の年年変化振幅と位相の観測所間の相関係数

|       | 位相   |      |      |      |       |
|-------|------|------|------|------|-------|
|       | 山川   | 国分寺  | 秋田   | 稚内   | ワシントン |
| 山川    | 0.90 | 0.88 | 0.77 | 0.54 | —     |
| 国分寺   | 0.81 | —    | 0.89 | 0.77 | 0.33  |
| 秋田    | 0.69 | 0.96 | —    | 0.84 | 0.46  |
| 稚内    | 0.61 | 0.89 | 0.97 | —    | 0.70  |
| ワシントン | 0.64 | 0.72 | 0.79 | 0.87 | —     |

第3表 大気圧の各年の年年変化振幅と位相の観測所間の相関

|     | 位相   |      |      |      |      |
|-----|------|------|------|------|------|
|     | 鹿児島  | 名古屋  | 東京   | 秋田   | 稚内   |
| 鹿児島 | 0.47 | 0.19 | 0.12 | 0.11 | —    |
| 名古屋 | 0.64 | —    | 0.90 | 0.79 | 0.43 |
| 東京  | 0.45 | 0.96 | —    | 0.97 | 0.63 |
| 秋田  | 0.44 | 0.93 | 0.98 | —    | 0.71 |
| 稚内  | 0.43 | 0.64 | 0.67 | 0.72 | —    |

第4表 正午の  $f_0F_2$  と大気圧の各年の年年変化位相の観測所間の相関係数

|             | 大気圧   |      |      |      |      |
|-------------|-------|------|------|------|------|
|             | 鹿児島   | 名古屋  | 東京   | 秋田   | 稚内   |
| $f_{12}$ 離内 | -0.25 | 0.49 | 0.60 | 0.64 | 0.41 |
| 秋田          | -0.14 | 0.40 | 0.40 | 0.43 | 0.34 |
| 国分寺         | -0.42 | 0.07 | 0.14 | 0.19 | 0.27 |
| 山川          | -0.28 | 0.29 | 0.34 | 0.37 | 0.29 |

以下で年年変化と稱す 3 の各々、考察していきる物理量の各月の中央値または平均値を、各月の長さは等しいものとして調和解析した結果得られた年周期の調和成分のことである。 $f_0F_2$  は太陽活動度などによらず (1 年の尺度では) 非周期的な長期変化成分を含むが、調和解析にかけたためにはそれを差し引く必要がある。それで各年ごとに長期変化は時間の 1 次関数であると仮定して最小二乗法により式を決定し、この線形変化をもとのデータから差し引いた残りについて解析をした。

解析した期間は 1959-70 年の約 1 太陽サイクルで、大気圧に関する外因データがないので、電離層についても主として本邦の 4 観測所のデータに限ることとした。そこで大気圧のデータも電離層観測所の所在地までの点に近い 4ヶ所 (ほか名古屋を加えて 5 カ所) を選んで解析した。なお  $f_0F_2$  方も参考のためにワシントンのデータも調べた。

得られた結果の一部は第 1-4 表に示すが、余白がないので説明は省略する。なお夜年の場合の解析結果も当日報告する。

渡辺勇三  
宇宙科学研究所

従来、複数個の電子密度測定装置が搭載された総合実験では装置が故障しない限りは reasonable な解釈の許す範囲内で概ねの測定結果の一一致を見ることが多かったのであるが、今回のNELでは単体でかなり不明な動作があり、他の機器とも一致しないという前例にない結果となってるので現在多角的に鋭意解析中である。

( 1 ) プローブ展張は 49.18 秒に正確に行なわれシース容量値 ( CS ) は 1.8 pF から 21.5 pF へ変化し、かつ、13 MHz でのプローブ容量値 ( C13 ) も 1.8 pF から 12.9 pF ( = C<sub>p0</sub>= 真空中プローブ容量値 ) に変化した。

( 2 ) 53.08 秒 ( MGF のセンサー伸張時 ) に CS = 21.5 pF → 9.1 pF と減少、C13 = 16.2 pF → 12.9 pF と減少した。 MGF 伸展でウェイク領域が増加した場合 CS は減少し、C13 は増加するのが正常な動作であるのでウェイク効果と考えると矛盾点を持つことになる。一方、S-520-4 号機のようにプリアンプの容量ブリッジの事故と考えると CS と C13 に関しては矛盾が無いが、UHR の Q 値の減少、fSHR の増加、fUHR の増加の点で疑問点が生じてくる。すなわち、f<sub>oE</sub> との一致を見るためには fUHR, fSHR の増加は支持されるが Q 値に関しては以前のデータが無いために check できない状態となっている。

( 3 ) 73.06 秒 ( ESE 密明け時 ) C13 = 10.0 pF → 7.4 pF に減少、fUHR = 6.5 → 7.4 MHz に増加、CS はこの秒時でピーク構造を形成した。 ESE に関連した (?) 電子密度の増加現象と考えられる。ロケット降下時の peak 状增加は E 層である。この場合には UHR と SHR の peak 位置が合っている。

( 4 ) 75 秒 ~ 150 秒、420 秒 ~ 500 秒の期間で fUHR の単調増加、および、C13 の単調減少にもかかわらず、CS のみが大きく減少して谷状時間変化を示した。これはプローブのバイアス状態あるいは電子温度の変化の現われであると思われる。

( 5 ) 200 pF 以上の容量値較正は厳密ではなかったが CS はほぼ一様な時間変化を示した。又、CS のバタツキから spin と precession ( 約 60 秒 ) の情報が得られた。一方、MPR から機軸と磁場の角度が約 51 度と求められた。

( 6 ) ロケット降下時に UHR と SHR の観測の終了後、CS と C13 が不明瞭な変化を示した。すなわち、529 秒に CS = 13.4 pF → 9.2 pF に減少、C13 = 9.5 pF → 8.0 pF に減少、また、534 秒に CS = 8.6 pF → 16.1 pF に増加、C13 = 8.0 pF → 12.5 pF に増加するという現象が現われた。

NEL 単体に起因するものか、データ伝送系にも関連するものか検討中である。

( 7 ) 549.0 秒にプローブの切断が確認された。 C13 = 12.1 pF → 0.3 pF、及び、CS = 16.2 pF → 0.3 pF の変化は正常なプローブの切断情況を示すものである。切断後の容量値が 0.3 pF であるのはプローブが根元から折れてプリアンプ系がバランス状態になったことを物語るものであって、そうすると、( 2 ) の後段の解釈とは矛盾することになる。S-520-4 号機の時には例外的に飛しょうの途中でプリッジ系がアンバランスになったので、プローブ切断時には反転動作を示したが、今までの NEL ではほとんどの場合、プローブの展張と切断はほぼ正確であったので、今回の場合も正しいと考えて良いと思われる。

( 8 ) 内の浦、山川、沖縄の IONOGRAM によると当日の実験時間帯の電離層は非常に安定しており、かつ、高い f<sub>oF2</sub> を示していた。インピーダンスプローブの場合、前出の ( 2 ) の後段の解釈を探って f<sub>oE</sub> への一致を試みると、f<sub>oF2</sub> に比べて小さい電子密度となってしまうので ( 5 ) の前半にあるように、CAL の不備を check する必要が生じる。

( 9 ) 同機に搭載されたラングミュアープローブ ( LP ) による観測結果でも、全般に電子密度が高く出たため f<sub>oE</sub> で normalize したことが前回の学会で報告されていたが、その高度分布と NEL の結果を比べて見ると電子密度の高度勾配は良く一致したが、全高度領域で NEL による方が高くなかった。

( 10 ) 同時搭載の固定バイアス電流プローブ ( CP ) の観測によると E 層領域では良く似たピーク状分布を示したが電子温度を一定と仮定したために電子密度値は若干ずれた。しかも、LP、CP とも f<sub>oF2</sub> まで一致させることに無理があるようと思われ再検討が必要となっている。

( 以上 )

# 航行衛星(NNSS)による日本上空の全電子数の測定(I) ISIS-2, ISS-bとの同時観測

相京和弘<sup>†</sup>, 井出俊行<sup>\*</sup>, 佐藤克久<sup>\*\*</sup>, 西崎 良<sup>†</sup>, 丸山 隆<sup>†</sup>, 鶴鳥 周<sup>†</sup>, 新野賢爾<sup>†</sup>  
\*郵政省電波研究所, \*\*緯度観測所

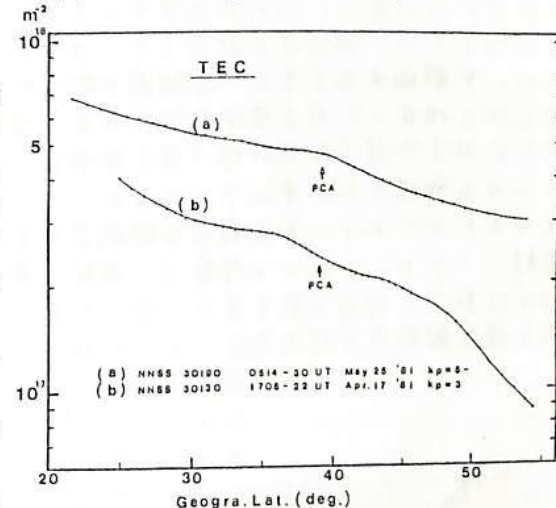
航行衛星(NNSS)が送信するE波(399.968MHz, 149.988MHz)のビーコン電波のドップラ周波数差から衛星軌道についての全電子数を測定する試みが米国、西独等で行われている。また、緯度観測所では NSS受信機(Magnavox MX1502)を利用して定期的にドップラデータを取得し解析が行われている。今回は Hara and Sato<sup>†</sup>(1982) が開発した手法を利用して、1981年4月から5月の約2ヶ月間のデータ(~860パス)のうち、ISIS-II, ISS-bとの同時観測データをスパース選び、全電子数及び等価的厚み(Equivalent Slab Thickness)の緯度分布等を調べたので、その結果を報告する。

測定原理: MX1502受信機は NSS受信波から衛星の軌道情報を抽出するとともに、2分毎の時刻信号の間を25の4.6秒区間と1つの4.9秒区間を分割し、各区間のドップラカウント値をS波につき求め磁気テープに格納する。これらのデータを基に衛星軌道とドップラ周波数差,  $\Delta f_{150} - (3/8)\Delta f_{400}$  の時間変化を出し、衛星-地球周回軌道を結ぶ直線が便航高度(350kmを仮定)を切る点(SIP)を含む鉛直方向に全電子数に関する微分方程式を数値的に解く。境界条件の決定は衛星の最接近時(PCA)の全電子数の時間変化がパスにつき一定との仮定で最小二乗法で行なう。

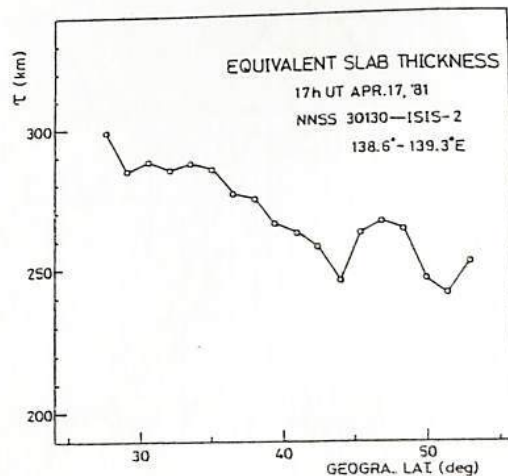
全電子数緯度分布: 第1図(a)と(b)の曲線は昼間(~14<sup>h</sup>JST)及び夜間(~02<sup>h</sup>JST)の経度、136°~139°EにおけるSIPに沿った全電子数の変化を示す。(a)は水沢西方でISS-bと交差し、(b)はほぼ(3)経度上でISIS-2と反対方向からすれ違、たパスを得られた。同時刻のETD-II Faraday回転による測定結果と比較した結果、(a)では~15%, (b)では~10%の誤差で一致する。1978年10月~1979年10月までの観測結果では昼夜を問わず25°N付近に垂直異常や頸帶など一帯が認められたが、この結果では明確ではない。また、~50°N以南の急激な低下も昼間では認められない。

等価的厚み: 第2図は ISIS-2との同時観測で得られた28秒間隔のイオノグラムからf0F2を読み取り第1図(a)のTECデータとから求めた夜間のESTの緯度分布である。高緯度ほど一般的にESTは低下し、中緯度域で250~270kmでATSによる北半球緯度のモデルとほぼ一致する。

\* Hara, T. and K. Sato, Electron content distribution and variation around Mizusawa, Japan, paper presented at 3rd International Geodetic Symposium on Satellite Doppler Positioning, 8-12 Feb. 1982 Las Cruces, New Mexico.



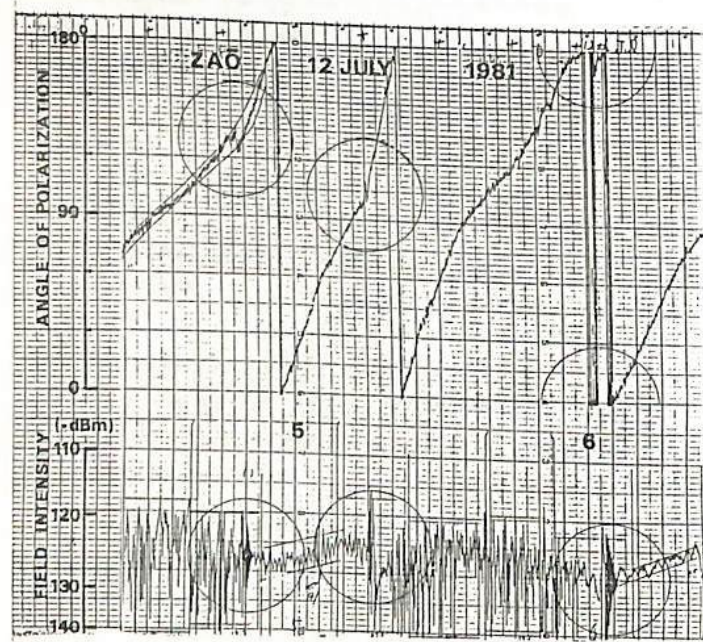
第1図: NSSで測定された全電子数(TEC)の緯度変化 (a) 昼間 (b) 夜間



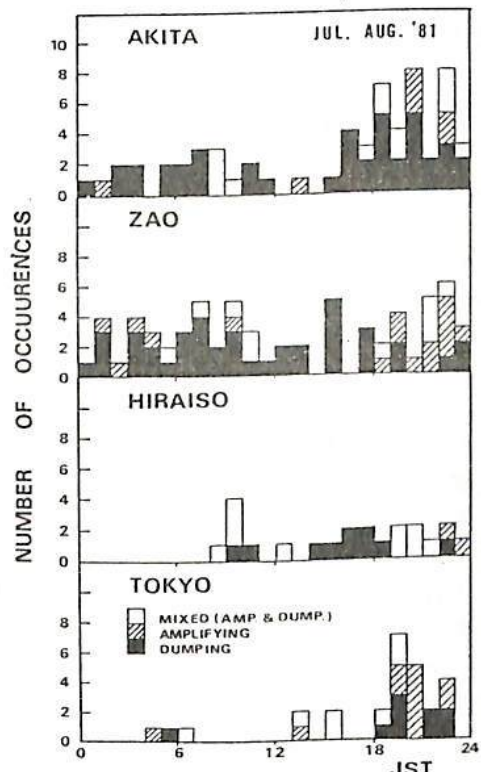
静止衛星VHF電波受信による沿磁力線伝搬実験(II)  
 準周期的シンチレーションの発生特性  
 皆越尚紀 新野賢爾  
 (電波研究所)

衛星電波に対する沿磁力線電離構造の影響を調べるために、1981年7~8月、ETS-IIの静止位置を144°Eに変更して、電波通路と地磁気磁力線の交差角が異なる秋田、蔵王、平磯、東京及び山川の各観測点で、VHF衛星電波の受信実験を実施した。シンチレーション全体の発生特性については前回報告したが、今回はこの実験期間中、しばしば観測された準周期的シンチレーション(QPS)の発生特性について報告する。

観測されたQPSは振幅の時間変化の特徴から、減衰型、増幅型、増減型に分類でき、平均レベルからの最大振幅は6dB程度、経続時間が2~3分以下であった。第1図に蔵王で観測されたQPS(下部)と、同時に測定されたファラデー回転(上部)の記録例を示す。この例でも明らかのように、QPSと対応して、ほとんどの同時にファラデー回転にも急峻な変動が見られた。変動幅はおよそ $10^{\circ}$ (電離圏全電子数(TEC)を換算しては $5.3 \times 10^{15} \text{ el./m}^2$ )で平均値の約1%K相当し、減衰型QPSには負、増幅型QPSには正の向きに急変する傾向が見られた。QPSはその周期性と最大振幅値から、直接波と電離圏内の電子密度の不連続領域からの反射波との干渉によると考えられるが、QPSとTEC変動の対応はこの考え方を裏付けるものである。第2図に各観測点でのQPSの発生回数を示す。日変化には通常の不規則シンチレーションと同様に、夜間と昼間にピークがあり、多くは減衰型である。地理的には蔵王で67回と最も多く、秋田61回、東京27回、平磯22回の順に減少し、QPSも沿磁力線電離構造と関連あることを示唆している。



第1図



第2図

## 電離圏シンケレーションの3点観測

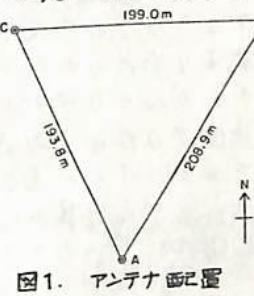
熊谷 博、小川 忠彦、堀 利浩  
電波研・平磯支所

電離圏シンケレーションを3点で観測し、互いの受信波形の時間差から、電離圏のドリフトを知ることができる。受信電波は、ETS-IIの136MHz波であり、観測場所は、電波研平磯支所である。この観測は、前回までに報告した2点観測を拡張したものである。地上での受信アンテナの配置を図1に示す。A, B点はハムアンテナ、C点はヘリカルアンテナを用いている。B-C方向は、東西方向に一致している。3点の受信データは1箇所に集め、データレコーダに記録した。電波の散乱体である電離圏不規則構造の運動が、電波のパスに対し、垂直方向の成分をもつと、各点で受信されるシンケレーション波形には、時間差が生じる。これまでの観測から200m程度のアンテナ間隔では、受信される波形の相関は十分良いことがわかっている。

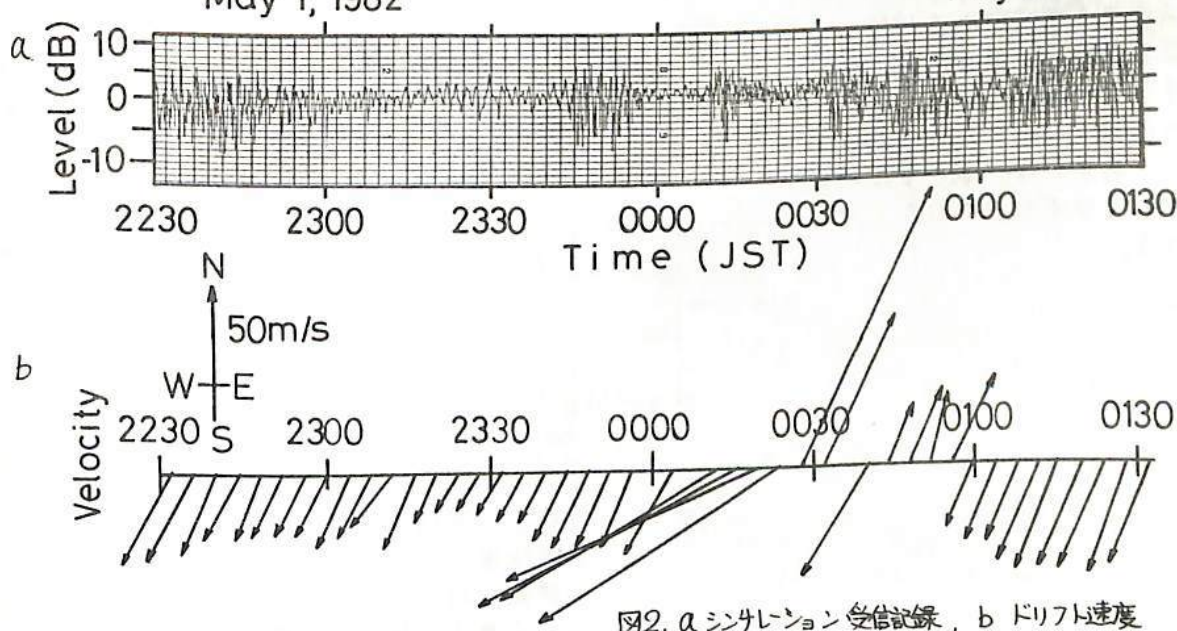
観測結果の一例を図2a, bに示す。夜間のシンケレーションの例であり、C点での受信波形を図aに、ドリフト速度の時間変化を図bにベクトル表示する。速度ベクトルは、3点の受信記録の相互相關関数のピーク位置から、平面波を仮定し決定した。この速度は、電波のパス（仰角46°、方位角（北から東方向に）198°）に垂直な面内での値である。シンケレーションの期間中、速度の大きさ、方向は、それぞれ30m/s～100m/sおよび南西方向を示しているが、0時～1時（LT）の間は、速度、方向が大きく変化している。この変化と対応し、図a上にもシンケレーションの強弱が現れている。とくにドリフト方向の変化は、シンケレーションが一時的に弱くなったり時に起っている。

電離圏シンケレーションは夏の夜間は頻発し、長時間継続する。静止衛星電波を使い、定常的なドリフト観測ができるわけである。今後、観測データの処理を進め、不規則構造の形状等も明らかにしたい。

May 1, 1982



May 2



# 電離圏によるQPシンチレーション

堀 利浩, 熊谷 博, 小川 忠彦

電波研・平磯支所

電離圏に起因する衛星電波のシンチレーションのうち、受信強度が速い準周期的変化をするものはQP(Quasi-Periodic)シンチレーションと呼ばれている。この様なシンチレーションは独立したイレギュラリティにより発生すると思われる。QPシンチレーションの観測例を図.1に示す。1982年7月6日13時40分頃に起ったものである。

図.2にその時の電波のファラデー回転より求めたTEC(全電子数)と受信強度(リニア・スケール)の時間変化を示す。この時、同時に行われた3点観測より求めたイレギュラリティの速度をTECの観測結果とつき合わせることにより、イレギュラリティの構造が推定できる。3点観測の結果については本講演会で熊谷他によつて報告される。

図.2で受信強度波形は“うなり”を伴つに強い振動を起している。振動波形が左右対称ではないのはTECの変動からかくようにイレギュラリティが運動方向に対し前後対称でないためと考えられる。TECの変動は最大部分で $1.15 \times 10^{16} / m^2$ である。3点観測より求めたイレギュラリティの速度は $37 m/s$ であった。これを用いて図中下部に時間スケールを距離スケールに換算して示した。これよりTECの最大点から右側の部分のイレギュラリティの大きさは約700mと推定される。

観測より求められた位相変化量とイレギュラリティのスケール(片側700m)の値を使い、イレギュラリティの高さを仮定すると、モデル計算から受信波形を数値的に求めることができると。

TEC変動最大部分から対称に減少する密度分布を仮定して計算を行なうと図中右側の受信強度をよく説明できる。

このため、強度に現れた振動のうち、右半分は、電子密度の急勾配によりもたらされたと考えられる。

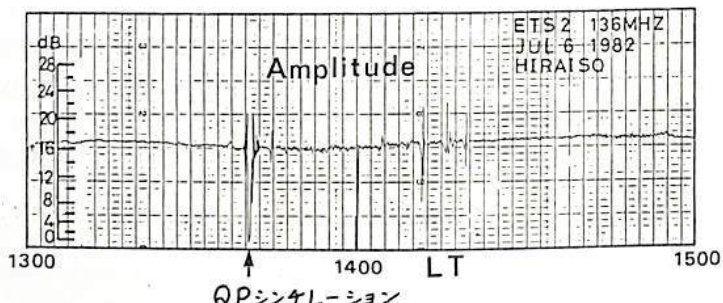


図.1 QPシンチレーションの観測例。

13時40分頃に20dB P-Pのシンチレーションが起っている。

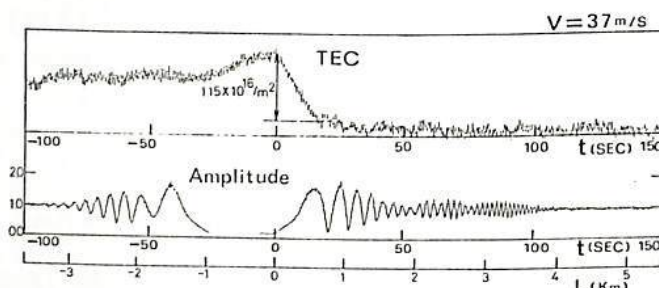


図.2 TEC, 受信強度の時間変化

受信強度は、図.1を拡大したものできれいに振動が起っている。下に書いたスケールは、速度より換算した距離である。

## SITECの統計的性質

小川 忠彦, 熊谷 博, 大部 弘次  
電波研 平磯支所

過去2回の講演会において、太陽フレアに伴う SITEC（全電子数突然增加）現象について種々の観点から述べた。今回は1979.3-1982.6の期間に発生した昼間のフレアのうち、9.5 GHz 電波ベースト最大強度  $\geq 80 \text{ FU}$ 、且つ  $1-8 \text{ \AA}$  X線最大強度  $\geq 2 \times 10^{-5} \text{ W/m}^2 (\text{M2})$  の両者を満たす約170個のフレアを抽出し、これらによる SITEC の統計的性質を述べる。

SITEC の時間プロファイルや大きさはフレア時の EUV 放射特性に強く依存してくる。フレアの impulsive phase において、 $90-1000 \text{ \AA}$  の EUV が放射されると電離圏全体が一度に強く電離されるために SITEC は急激に増加する。この phase が無いフレアでは SITEC はゆっくりと増加する。前者の例を図 1 に示す。フレア開始後数分間でマイクロ波と硬 X 線 (< 1 \AA) が同時に放射され、SITEC はこの間に急増しピークに達する。これは、HF ドップラーデータからも、この期間に EUV が急激に放射されたことを表す。EUV の強度とスペクトル形が判れば SITEC の最大増加量 ( $\Delta N_{TS}$ ) は計算できるが、この種の観測は難しい。そこで、地上(μ波)や衛星(軟 X 線)で連続観測可能なデータを使って  $\Delta N_{TS}$  が予測できないかと考え、impulsive phase を持つフレアを抽出し 9.5 GHz 電波と軟 X 線の最大強度 vs.  $\Delta N_{TS}$  の関係を示したのが図 2 a, b である。太陽天頂角 ( $\chi$ ) が大きく、フレア位置 (CMD) が太陽縁にあると大気の EUV 吸収が効くので、そうでない場合のデータが示してある。これから、 $\Delta N_{TS}$  vs. μ波あるいは軟 X 線との関係を示す経験式が得られる。EUV 放射が μ 波や軟 X 線とある種の関係にあることを示唆しており、入手容易なデータから  $\Delta N_{TS}$  を知ることができる。

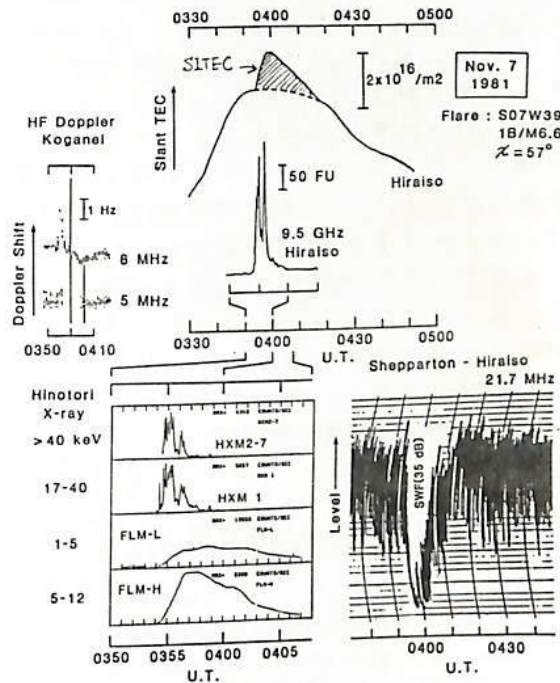


図 1

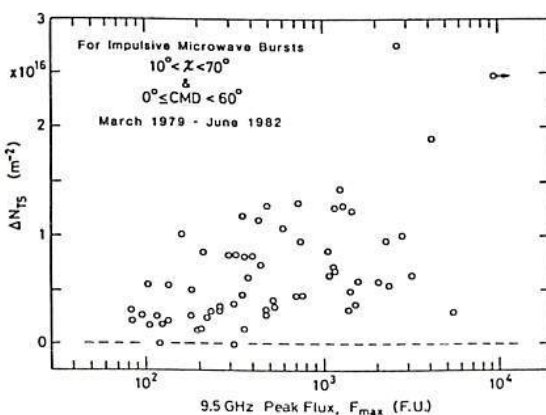


図 2 (a)

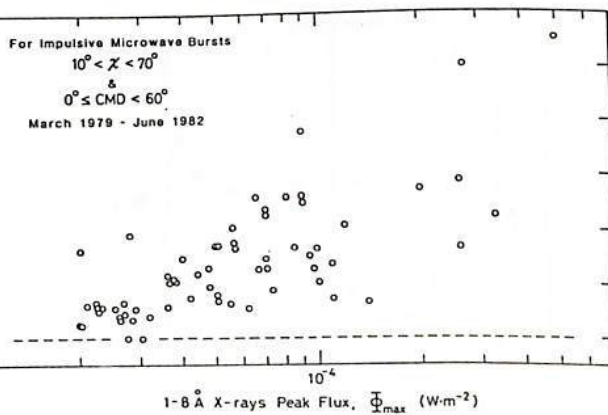


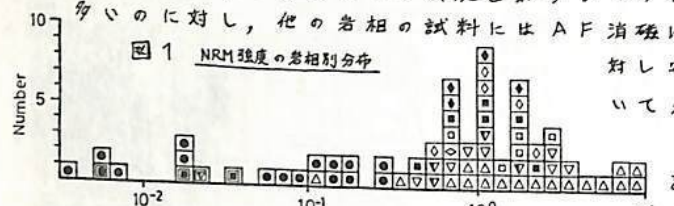
図 2 (b)

## 伊豆半島西部、松崎地域の古地磁気（予報）

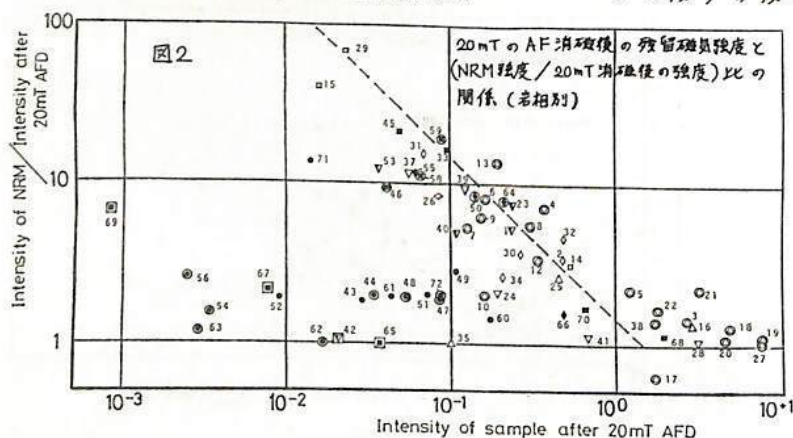


筆者らは、伊豆半島西部の松崎町付近に分布する新生代以降に噴出・堆積した火山岩・火山碎屑岩類の層序学的調査と古地磁気学的検討を続行中である。これまでに69地点の試料の検討を行なった。測定にはリングコア回転磁力計（新妻・小山、1983年）静大地球科学研報8）を用い、AF消磁は三軸AF消磁装置（同上）にて25mT（2500e）まで行なった。2次的な不安定成分は、15～25mTのAF消磁で除去できることがわかつた。

[1] 試料の残留磁気強度およびAF消磁に対する残留磁気の安定性には、試料の岩相との相間が認められた。すなわち火山岩、凝灰岩および凝灰質ニルト岩、および変質した火山岩では、試料のNRM強度分布並びにAF消磁による強度の減少の度合が異なる（図1, 2）。さらに玄武岩の溶岩および岩脈の試料にはAF消磁に対し大きく強度を減ずるものが多いために対し、他の岩相の試料にはAF消磁に



(岩相)  
△: andesite lava    ▽: andesite dike    ▲: basalt lava    □: altered andesite dike  
○: basalt dike    ◆: dacite dike    ■: tuff & tuffaceous silt  
■: altered basalt lava    ○○○○○○: samples for discussing directions  
of paleomagnetic vectors    open symbols: "Shirahama Group"  
solid symbols: Nishina Group    ▼: horizon unknown



|                            |        | Stratigraphy & Lithology                                                                                         |  | Lithology & Number of Paleomagnetic Samples                                                                  |
|----------------------------|--------|------------------------------------------------------------------------------------------------------------------|--|--------------------------------------------------------------------------------------------------------------|
| "Shirahama Group" ("白浜層群") | upper  | Andesitic lavas (150m)<br>Dacitic volcanic breccia (100m)                                                        |  | andesite (lava) - 6 ●                                                                                        |
|                            | middle | Andesitic volcanics (400m)<br>volcanic breccia<br>tuff breccia<br>andesitic lavas<br>andesitic tuff              |  | andesite (lava) - 11 ●○<br>andesite (dike) - 5 ○                                                             |
|                            | lower  | Basaltic & acidic andesitic volcanics (400m)<br>volcanic breccia<br>tuff breccia<br>basaltic lava<br>pumice tuff |  | basalt (lava) - 5<br>basalt (dike) - 5 ○○<br>andesite (lava) - 1<br>andesite (dike) - 2<br>dacite (dike) - 1 |
| "Nishina Group" ("仁科層群")   | upper  | Pyroclastics (2000m)<br>fine tuff<br>pumice tuff<br>andesitic tuff breccia<br>tuffaceous silt                    |  | fine tuff - 4<br>coarse tuff - 1 ○○<br>tuffaceous silt - 1                                                   |
|                            | middle | Basaltic volcanics (500m)<br>volcanic breccia<br>basaltic lavas<br>fine tuff<br>tuffaceous silt                  |  | basalt (lava) - 2<br>basalt (dike) - 1<br>fine tuff - 6<br>tuffaceous silt - 2                               |
|                            | lower  | Basaltic volcanics (1500m+)<br>pillow basalt<br>massive basaltic lavas<br>volcanic breccia<br>basaltic tuff      |  | pillow basalt - 2<br>massive basalt (lava) - 5<br>basalt (dike) - 3 ●<br>fine tuff - 1                       |

対し安定なものが多い（図2）。この理由について岩石薄片・研磨片の観察、熱磁天秤による磁化温度曲線の測定を行ない、検討を試みた。

[2] AF消磁によって安定成分の求められた試料のうち、変質した火山岩試料、bedding補正値の不明な試料、bedding補正前の磁気方向が現在の北を向く試料を除いた残りの残留磁気方向について検討した。その結果、上位の“白浜層群”的試料（18地点）の偏角・伏角の平均（D = 351.6 ± 29.5, I = 50.3 ± 8.2）および仁科層群の試料（14地点）の偏角の平均（D = 357.9 ± 45.5）はほぼ現在と同じ値が得られたが、仁科層群の試料の伏角の平均として、誤差範囲内であるが現在と比して小さい値（I = 34.1 ± 22.8）が得られた。

## 房総・丹沢地域の古地磁気とテクトニクス

新妻信明・中尾誠司・太田英樹

(静大理) (建築技研) (明治コンサルタント)

房総半島南部の安房右川地域と丹沢山地東部の中津川・早戸川流域の層位学的調査とそれにもとづく古地磁気学的測定を行なつたのでその結果を報告する。

両地域の地層は著しいテクトニクスの結果、急斜あるいは褶曲による上下の反転しているものが多い。今回、火山灰隕層の野外における追跡と微化石層位学的検討により層序の確立ができたので、それにもとづき古地磁気調査を行なつた。

地層急斜あるいは反転してあるため、褶曲前に磁化したものば、褶曲後に磁化したものばは容易に判定することができます。古地磁気学的検討には褶曲前に磁化したもののみを使用した。この古地磁気資料により古地磁気層序を確立することができたが、地層の堆積が急激であり、しかも直角的であるので古地磁気層序のみから標準層序への対比は困難である。微化石層位学の資料とともに用ひ房総半島中北部の標準層序への対比を行なつた。堆積物の急激な堆積時期は両地域において四国海盆の沈み込み開始時期である6~7Maと一致してあり、その地層の著しい褶曲は沈み込みとともに、一起に伊豆弧の本州弧への衝突によるものと考えられる。

偏角は断層周辺や褶曲軸の屈曲にともない局地的な数10度にもおよぶ回転を見い出すことができるが、丹沢山地や房総半島全体というような地域全体の回転を見い出すことはできなかつた。今回の測定結果とともに、これまでに測定・報告を行なつてゐる房総半島中北部・伊豆半島・静岡地域における古地磁気についても合せて検討し、テクトニクスについて述べる予定である。

# 南海トラフ・日本海溝深海掘削試料の古地磁気

新妻信明(静大理)・Leg 87乗組研究者一同

国際海洋底掘削計画 I P O D のオ87次航海では 1982年 6月 25日から 8月 18日まで南海トラフで 2地点 (site 582, 583) 11井、日本海溝で 1地点 (site 584) 3井の掘削を行なった。深海底堆積物を採取した。

古地磁気用試料は 1~2m の間隔で採取し、船上の Digico balanced flux-gate 型回転磁力計で測定を行なった。

AF 消磁は 2000e (20nT) まで Schonstedt の消磁機で 3軸に分けて行ない、安定性の吟味を行なった。

南海トラフの堆積物は  $10^{-5}$  emu/cc ( $10^{-2} A/m$ ) の残存磁気強度を有し、AF 消磁に対してまづめて安定である。日本海溩の堆積物は強度が弱く、層準により  $10^{-6} \sim 10^{-8}$  emu/cc と大きな幅を有している。その中で前期鮮新世の珪藻質泥岩試料中には測定可能強度 ( $2 \times 10^{-7}$  emu/cc) より弱いものが多かった。

古地磁気の伏角資料から古地磁気層位学的検討を行なった。南海トラフでは Brunhes, Matuyama 磁極期、日本海溩では Gilbert からオ10磁極期までの磁極期区分と対比することができた。

古地磁気の偏角資料と採取コア中に見られる地層面や断層面の傾斜方向との関係から地層や断層の現地における傾斜方向を決定することができた。南海トラフでは掘削に先立つて行なわれた反射波による地下構造解析結果と良く対応し、付加テクトニクス解説への重要な資料を提供することができた。日本海溩では反射波による地下構造の推定は余り詳細されていないが、だが、地層は下部で  $40 \sim 70^\circ$  を東に傾斜していることが判明し、しかも多数の断層により西側が落下していることが明らかになつた。

西地域に発達する断層面の方位決定による应力方向の決定も行なわれ、フィリピン海プレートおよび太平洋プレートの沈み込みと密接な関係を有していることがわかつた。

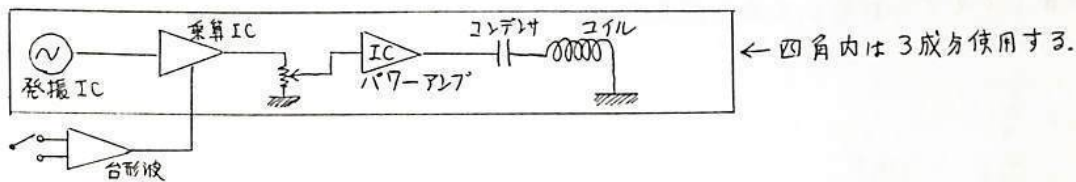
本航海については今後、各研究者により研究が進められ報告される予定である。船上における成果は Geotime および Nature に近く印刷される予定である。

高知沖で得た水たグラビティコアの残留磁気について

上嶋 正人  
地質調査所

(1) 残留磁気測定のための消磁装置の改良。

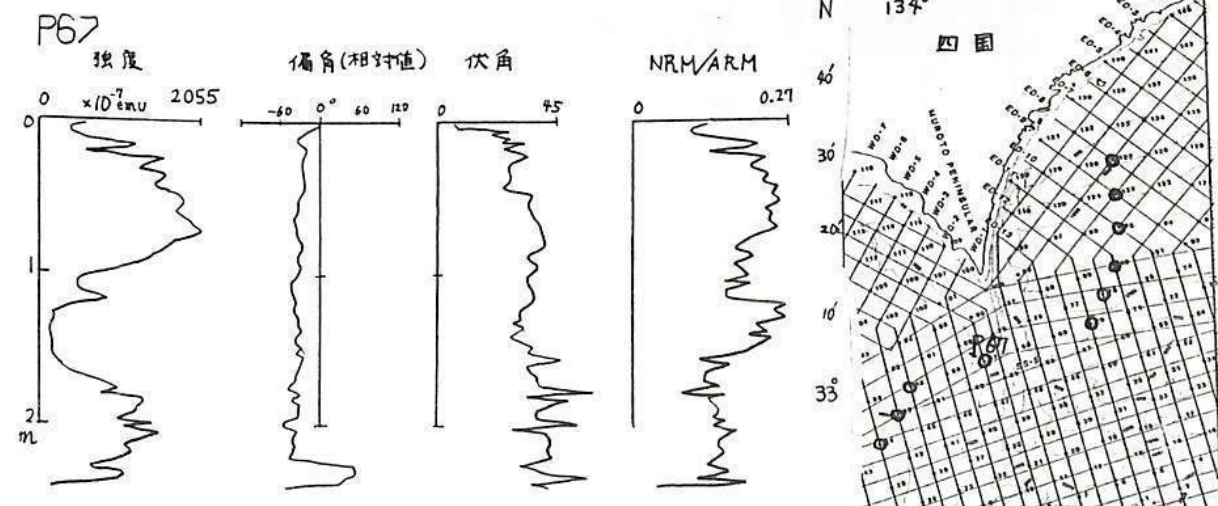
残留磁気を測定する際に、VRM等の軟かい磁化成分をとりのぞくための消磁水不可欠であるが、従来使用して来た3軸回転式消磁装置では1分近くと以外に時間と手間を要される。この時間と手間の主要な部分は試料のセントテイレグと取りはずしにあり、これを改善するために試料を回転させずに3軸的に消磁ができる方式を採用した。無磁場中で試料に3軸が直交する様に磁場(交番)をかけてやる。これを電気的に車めらかに増減させてやるものである。この方式は、昭和55年春の本学会第67回講演会のII-27。新規の三軸交番磁場消磁装置と同じである。周波数に110, 120, 130 Hz、コイル半径は6 cm, 8 cm, 10 cm、銅線の太さは0.5 mm, 0.6 mm, 1 mm、巻数は600, 850, 1200、共振用コンデンサとして20 μF, 16 μF, 7 μFを使用した。大出力パワー・アンプの入手が困難なため、出力段には市販の50 W ICI パワー・アンプを使用した。各軸う向には50~60 Oe程度であるが、 $\sqrt{3}$ 倍のピーク値となるためか、通常の回転式交流消磁装置での磁化の減衰曲線と比較すると80~90 Oe程度に相当する。この方式ではサンプルのセントテイレグから取り出しまで含めて約30秒です。



(2) 高知沖のグラビティコアの残留磁気。

地質調査所の自船丸航海、GH 82-1において高知沖の土佐海盆、および室戸舟状海盆から1~2 m長で口径16 cmのグラビティコアが十数本得た水、その中から5本程度を選んでサンプリングして残留磁気を測定した。測定にはSCT社の冷凍機付超伝導型岩石磁力計モデルC-113を使用した。右図に採泥点の位置を示す。

測定結果の一例を下図に示す。左から磁化強度、相対的偏角、伏角。  
およびNRM/ARM値である。コア相互の関連について論ずる。



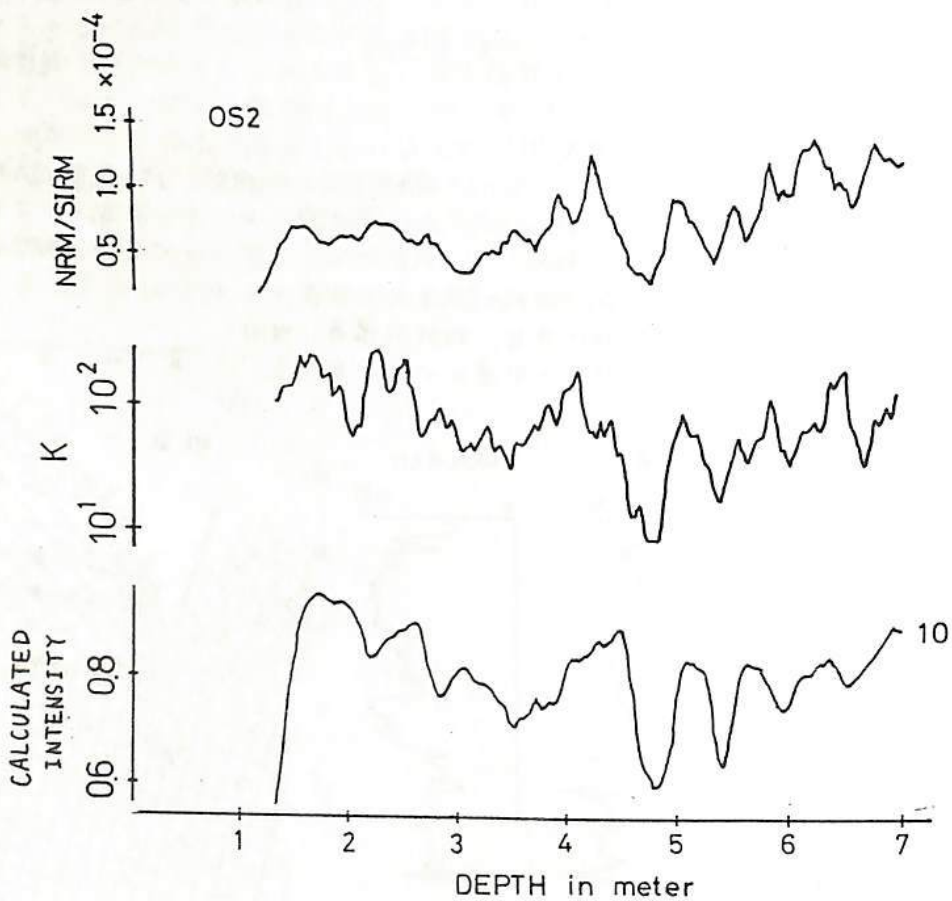
## 堆積物の磁化方向のバラツキと磁化強度の相関

兵頭政幸・安川克己

神戸大・理

浅海性堆積物(大阪湾・水島湾・播磨灘)には、磁化強度 NRM/SIRM と 磁化方向のバラツキに強い相関がある事がわかった。我々の試料は、直徑 20cm の大径コアで、一層準より数個の specimen を採取でき、層毎に磁化ベクトルの統計処理を行なった。その結果出てきた、精密度パラメータ K は、リニアではないが NRM/SIRM と強い正の相関がある事がわかった。これは、堆積物の磁化は、地磁気変化に、フィルターがかかったものであるというモデル(兵頭、第7回当学会)では、十分説明のつく事である。堆積物の磁化強度には、地磁気強度と、磁場方向変化を積分するために起る成分の 2 成分を考えられるが、実際の NRM/SIRM 測定結果と、磁化方向データを使つて計算した磁化強度を比較した結果、後者の成分が、かなりの割合を占める事がわかった。つまり磁化強度は、かなり磁場方向変化に依存している事がわかる。K の値の変動が、磁化強度変化と相関があるというのは、当然 K 値も磁場方向変化に依存しているからであろう。もっとも磁化のバラツキには、試料作成、測定時の誤差や、堆積環境変化によるものなどいくつか考えられる。これらも含めて議論していく。

下図は、大阪湾堆積物コア OS2 の、NRM/SIRM、精密度パラメータ K、磁化方向データを使つてモデル計算した磁化強度変化を示す。



## 扇の山火山岩類の古地磁気

酒井英男\*、広岡公夫\*、古山勝彦\*\*

\* 富山大学理学部 \*\* 大阪市立大学理学部

鳥取・兵庫県境付近に位置する扇の山は、標高1310mをもつ玄武岩質の大山である。扇の山火山岩類は主として溶岩流から構成され、介在する降下火山灰と共に单成火山群を形成しており、第四紀更新世に活動したとされている。本火山の層序は、古山(1981)により岩石学的見地から詳細に調べられている。

今回、溶岩流をして扇の山火山岩類および降下火山灰の古地磁気学的研究を行なったので報告する。火山岩は古山(1981)によると19のflow unitに分類される。それ等を中心として22層準から火山岩試料を採取し、又、溶岩の間に介在する降下火山灰層13層準から火山灰試料を採取した。火山岩は各層準から約10個のブロック試料を採集し、それぞれから数個のコアを切り出した。1個のコアは自然残留磁化測定用に用い、残りは熱消磁・テリエ法等の試料とした。

各層準の磁化方位は、パイロットサンプルについて交流消磁法により安定性を吟味したのち最低2段階の磁場(100~400Oe)でその層準の全試料を消磁して、まとまりのよい方を採用した。 $\alpha_{95}$ は最大の層準で8.87°、平均(22層準)では3.90°であった。尚、現在、熱消磁による磁化の安定性の吟味およびテリエ法による実験を行ないつつある。

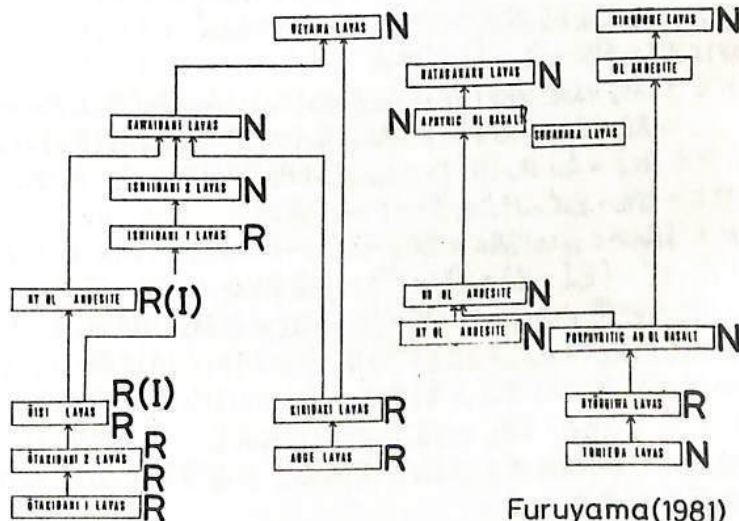
採取した火山岩類のうち下位のものは、山頂南部に露出している富枝溶岩を除くと全て逆帯磁となり、上位のものは正帯磁を示した。山頂北西部の露頭には、逆帯磁層、正帯磁層の間の層に伏角の浅い(6.5°と0.7°)逆帯磁(中間帯磁)を示す層が2層認められた。溶岩流の間に介在する軽石層に大山の最下部火山灰層が含まれること等から正帯磁の溶岩類は、アリュンヌ正磁極期に、逆帯磁のものは松山逆磁極期に噴出したと考えられる。先述の富枝溶岩の正帯磁は、ハラミヨ・イベニトのものの可能性がある。以上、求められた扇の山火山岩類の極性は下図にまとめてある。又、図には示していないが、基盤の西輝石安山岩は正帯磁であった。

正帯磁を示す上位のもの10層準、逆帯磁の下位のもの8層準について各極性における平均のD、I、 $\alpha_{95}$ を求めた所、

|     | D            | I     | $\alpha_{95}$ | K     |
|-----|--------------|-------|---------------|-------|
| 正帯磁 | -0.98        | 48.67 | 6.08          | 64.10 |
| 逆帯磁 | 187.77-49.80 | 8.61  | 42.34         |       |

と求められた。

R: Reverse  
N: Normal  
I: Intermediate



Furuyama(1981)

The successions of the Oginosen Volcanic Rocks.  
The arrows indicate the age relationships between the lavas determined in the field.

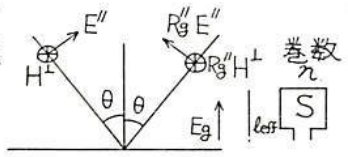
# VLF反射波による下部電離層電子密度推定の シミュレーション—相対位相による場合

満保正喜 長野勇 中村清美  
金沢大学工学部 富山医薬大

1. はじめに 前回迄 VLF 波の電離層の反射係数の絶対位相を用いて下部電離層の電子密度を推定するシミュレーションを行った。今回は受信機の発振器は相対位相を有し、受信アンテナを垂直 1 本、ループ 2 本でシミュレーションを試みたので報告する。

2. 基本式 [1] E<sup>''</sup> 波受信アンテナ出力、垂直アンテナ出力 V<sub>v</sub>、ループアンテナ出力 V<sub>ll</sub> (図参照)。電磁界等の下付添字の前や後の数字はそれぞれ反射回数、偏波を示す。

$$\begin{aligned} V_v &= \text{less}[E_g + E_{11}''\{1+R_g''(\theta_{11})\}\sin\theta_{11} + \sum_{i=1}^2 E_{2i}''\{1+R_g''(\theta_{2i})\}\sin\theta_{2i} + \dots] \quad (1) \\ V_{ll} &= -j\omega\mu_0 n S [H_g + H_{11}^\perp\{1+R_g''(\theta_{11})\} + \sum_{i=1}^2 H_{2i}^\perp\{1+R_g''(\theta_{2i})\} + \dots] \\ &= -j\omega\mu_0 n S \left[ \frac{E_g}{H_g} + \frac{E_{11}''}{H_{11}^\perp} \{1+R_g''(\theta_{11})\} + \sum_{i=1}^2 \frac{E_{2i}''}{H_{2i}^\perp} \{1+R_g''(\theta_{2i})\} + \dots \right] \quad (2) \end{aligned}$$



(1), (2)より地上波成分を除去し、 $E_v \equiv \frac{V_v}{\text{less}}$ ,  $E_{ll} \equiv j\eta_g V_{ll}/(\omega\mu_0 n S)$  とおくと

$$V_v = E_{ll} - E_v = \left\{1+R_g''(\theta_{11})\right\} \left( \frac{\eta_g}{\zeta(\theta_{11})} - \sin\theta_{11} \right) E_{11}'' + \sum_{i=1}^2 \left\{1+R_g''(\theta_{2i})\right\} \left( \frac{\eta_g}{\zeta(\theta_{2i})} - \sin\theta_{2i} \right) E_{2i}'' + \dots \quad (4)$$

$E_{ll}$ ,  $E_v$  は送信側の位相に比 $e^{j\varphi_L}$ ,  $e^{j(\varphi_L+\varphi_B)}$  ずれて測定しているとする。 $\varphi_L$ : 未知,  $\varphi_B$ : 既知。従って  $E_{ll} e^{-j\varphi_L}$ ,  $E_v e^{-j(\varphi_L+\varphi_B)}$  が送信側の位相で測った事になる。振幅ずれ分があれば、 $\varphi$  の虚部になるわけで、(4) の  $E_{ll}$ ,  $E_v$  を測定値にとると

$$(E_{ll} - E_v e^{-j\varphi_B}) e^{-j\varphi_L} = \left\{1+R_g''(\theta_{11})\right\} \left[ \frac{\eta_g}{\zeta(\theta_{11})} - \sin\theta_{11} \right] E_{11}'' + \sum_{i=1}^2 \left[ \left\{1+R_g''(\theta_{2i})\right\} \frac{\eta_g}{\zeta(\theta_{2i})} - \sin\theta_{2i} \right] E_{2i}'' + \dots \quad (5)$$

[2] E<sup>⊥</sup> 波受信の場合  $E''$  と同様に

$$V_l = j \frac{\zeta(\theta_{12}) V_{ll}}{\omega\mu_0 n S} = E_{ll} = \left\{1+R_g^\perp(\theta_{12})\right\} \cos\theta_{12} E_{12}^\perp + \sum_{i=3}^4 \left\{1+R_g^\perp(\theta_{2i})\right\} \frac{\zeta(\theta_{2i})}{\zeta(\theta_{2i})} \cos\theta_{2i} E_{2i}^\perp + \dots \quad (6)$$

[3]  $V_{ll}$  等。 $V_{ll} = A_{11} // R_{ll}(\theta_{11}) + A_{21} // R_{ll}(\theta_{21}) // R_{ll}(\theta_{21}) + A_{22} // R_{ll}(\theta_{22}) // R_{ll}(\theta_{22})$  (7)

ここで  $A_{11}$ ,  $A_{21}$  等は  $A_{11} = \left\{1+R_g''(\theta_{11})\right\} \left[ \frac{\eta_g}{\zeta(\theta_{11})} - \sin\theta_{11} \right] e^{-j\varphi_{R_{11}}}$  ( $r_{11}$  は層中を除く通路長) (8)

$$V_l = B_{21} // R_{ll}(\theta_{12}) + B_{23} // R_{ll}(\theta_{23}) // R_{ll}(\theta_{23}) + B_{24} // R_{ll}(\theta_{24}) // R_{ll}(\theta_{24}) \quad (B_{12} \text{ 等略}) \quad (9)$$

[4]  $V_{ll}$ ,  $V_l$  の変分。 $\delta V_{ll}$ ,  $\delta V_l$  (5) の測定値  $E_{ll}$ ,  $E_v$  上付添字 $t$ をつけ、仮定電子密度分布に対するものとして  $S$  をつける。 $\delta V_{ll} = (E_{ll}^t - E_v^t) - \{E_{ll}^t - E_v^t e^{-j\varphi_B}\} e^{-j\varphi_L}$  (10)

(7)(8)より  $\delta V_{ll} - \delta B_{ll} = \int K_{ll} \delta N dz$  (11)

ただし  $\delta V_{ll} = \delta A_{11} // R_{ll}(\theta_{11}) + \delta A_{11} // R_{ll}(\theta_{11}) + \delta A_{21} // R_{ll}(\theta_{21}) // R_{ll}(\theta_{21}) + \dots$  (12)

$$\delta B_{ll} = \delta A_{11} // R_{ll}(\theta_{11}) + \delta A_{21} \{ // R_{ll}(\theta_{21}) \}^2 + \delta A_{22} // R_{ll}(\theta_{22}) // R_{ll}(\theta_{22}) \quad (13)$$

$$K_{ll} = A_{11} // K_{ll}(\theta_{11}) + 2A_{21} // R_{ll}(\theta_{21}) // K_{ll}(\theta_{21}) + A_{22} // R_{ll}(\theta_{22}) // K_{ll}(\theta_{22}) \quad (14)$$

同様に  $\delta V_l = E_{ll}^t - E_v^t e^{-j\varphi_L}$  (14)  $\delta V_l - \delta B_l = \int K_l \delta N dz$  (15)

始め、 $\delta B_{ll} = 0$ , i.e.  $\delta A_{11} = \delta A_{21} = \delta A_{22} = 0$ ,  $\delta e^{-j\varphi_{R_{11}}} = 0$  等とおき、(10)を(11)に代入し

$$E_{ll}^t - E_v^t - \{E_{ll}^t - E_v^t e^{-j\varphi_B}\} e^{-j\varphi_L} = \int K_{ll} \delta N dz \quad (16)$$

(16)(17)より  $e^{-j\varphi_L}$  を消去し  $\delta E = \int K_{ll} \delta N dz$  (18)  $\delta E = (E_{ll}^t - E_v^t) E_{ll}^t - E_{ll}^t (E_{ll}^t - E_v^t e^{-j\varphi_B})$

$$K = E_{ll}^t K_{ll} - (E_{ll}^t - E_v^t e^{-j\varphi_B}) K_{ll} \quad (19)$$

(18)を解いて  $\delta N$  を求めると  $N(z) = N^s(z) - \delta N(z)$  (20)

(20)の  $N$  の分布に対する入射角を求め(13)の  $\delta B_{ll}$  等を求める。即ち (8)より  $\delta A_{ll}$  等を求める。これにより  $\delta B_{ll}$ ,  $\delta B_l$  の値を(11)(12)に代入し (16)(17)相当式より  $e^{-j\varphi_L}$  を消去し、 $\delta B_{ll}$ ,  $\delta B_l$  を繰り返し計算を行い、電子密度を求める。

3. むすび 位相測定にずれがある場合の推定法を述べた。具体的シミュレーション例を会場で述べる。

HF ドップラーシフトに及ぼすイオニ  
ドリフトの効果  
竹生政資, 北村泰一 (九大理)

電離層反射波のうける HF ドップラーシフトは、媒質が等方的な場合、広い条件の下で

$$\delta f = -\frac{f_0}{c} \frac{d}{dt} \int_L \mu ds = -\frac{f_0}{c} \int_L \frac{\partial \mu}{\partial t} ds \quad (1)$$

によって与えられる。ここで  $\mu$  は電離層の屈折率であるが、地球磁場  $B$  の効果を考慮しない場合には、普通、

$$\mu = 1 - \frac{f_p^2}{f_0^2} \quad f_p^2 = \frac{e^2 N}{4\pi^2 m e} \quad (2)$$

として扱われる。この場合  $\mu$  は電子密度  $N$  だけの関数であり、(1) より

$$\delta f = -\frac{f_0}{c} \int_L \frac{\partial \mu}{\partial N} \cdot \frac{dN}{dt} ds \quad (3)$$

となる。つまり  $\delta f$  は path に沿った電子密度の時間的変化によって生じる。しかし、電離層プラズマの屈折率  $\mu$  が (2) のように  $N$  だけの関数の形に書けるのはあくまでも「バックグランド」のイオンが観測系に対して静止している場合であって、もしイオンが  $U(t)$  でドリフトしている場合には、 $\mu$  は  $N$  だけでなく  $U$  にも依存し、

$$\mu = \mu(N(t), U(t)) \quad (4)$$

となる。<sup>(1)</sup> したがって、この場合  $\delta f$  は (1) より

$$\delta f = -\frac{f_0}{c} \cdot \int_L \left[ \frac{\partial \mu}{\partial N} \frac{dN}{dt} + \frac{\partial \mu}{\partial U} \frac{dU}{dt} \right] ds \quad (5)$$

の形に書かれなければならない。従来の HF ドップラーの取り扱いでは、右辺第2項から他の  $\delta f$  への寄与は常に無視されてきたが、今回の講演ではまずこのことを吟味してみたいと思う。何故このような吟味をする必要があるかというと、HF ドップラー観測においては中性大気波動による TID (travelling ionospheric disturbances) を検出することがその主な目的の一つであるが、この場合中性大気波動は先ず衝突によってイオンを動かし、その結果として電子密度の変動(つまり TID) を引き起こす。つまり、TID の場合電子密度の変動だけでなく、イオンのドリフトも明らかに存在しているのである。したがって、TID による  $\delta f$  を定量的に正しく取り扱うためには、(5) の第2項が第1項に比べて本当に無視できるかどうかはっきりさせておく必要がある。

その他に、時間的な余裕があれば、いろんなタイプの TID に伴う  $\delta f$  トースのシミュレーション(鏡面反射を仮定せず、ray tracing を忠実に実行して (1) によって  $\delta f$  を計算する) の結果も報告する予定である。

## HF ドップラーにおける冬季波動

## —フジによる移動観測—

北村泰一・竹生政資・古野慎治（九大・理）  
福西浩（極地研）

毎年11月になると活発になり、3月になるとおさまる波動活動が、HFドップラーに見られる。1980年11月25日に出航した南極観測船フジによって船上観測を行なった。この移動観測によって、次のようにして波数kを求めることができる。

いま、地上の固定局における観測周波数を $\omega_G$ 、フジにおけるそれを $\omega_F$ とすると、固定局とフジで同一現象を観測している場合には、

$$\omega_F = \omega_G + k \cdot V$$

が成り立つ。ただし、Vは反射点の移動速度である。これからkは、

$$k = (\omega_F - \omega_G) / V$$

として求められる。ただし、kは移動方向の波数である。

使用できるデータ日数は、出航後3日間(11/25-26-27)であり、それ以降はフジが日本から離れすぎ、解析するのに不適当である。前回、11/27日分のデータについて、福岡と比較して報告した。今回、調布・菅平・金沢のデータを使用して解した。図には、11/25の11:35～16:35の調布とフジのスペクトルを示してある。この時間の各観測点のスペクトル・ピークを比較して、フジと固定局で差の認められるものについて、位相速度と波長を求めて表に示してある。この表で、 $T^0$ については、フジと調布のダイナミックスペクトルのピークに差が認められるので、位相速度と波長を求めた。この表より、 $T^0$ と $T^4$ のどちらも、波が北から南へ伝播していることを示している。また、この波動の伝播方向及び位相速度を3点観測により求めると、この波は北西から南東へ向かって約160m/sの速さで伝わっていることがわかる。両者の結果を比べると、速度の大きさが異なっているようだが、周波数の計算誤差を考えると移動観測による値は約30～200m/sとなるので、両者の間に矛盾はないと考えられる。

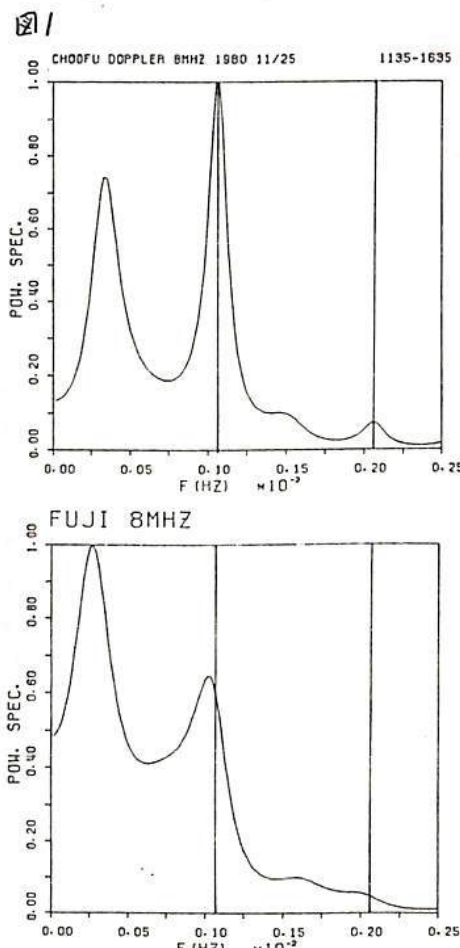
今年11月に、第2回フジ船上観測と3点観測を行ない、これらの結果をより確かなものにしたいと考えている。

あわせて、データを供与下さった電通大 奥沢隆  
金沢大 長野勇の両氏に厚く感謝の意を表します。

表1

|             | フジ   | 調布   | 菅平   | 金沢   | 位相速度<br>(m/s) | 波長 (km) |
|-------------|------|------|------|------|---------------|---------|
| $T^0$ (min) | 52.2 | 55.6 | 55.6 | 52.2 |               |         |
| $T^4$ (min) | 16.5 | 15.9 | 15.6 | 15.7 | 57            | 53      |
| $T^0$ (min) | 9.8  | *    | 9.4  | 9.9  |               |         |
| $T^4$ (min) | 8.2  | 7.9  | *    | *    | 100           | 48      |

\* ピークなし 位相速度は南向き正



## 南極観測船「ふじ」によるチャーブサウンダ実験

一之瀬 優 小川 忠彦 大瀬 正美  
(電波研, 平磯支所) (電波研)

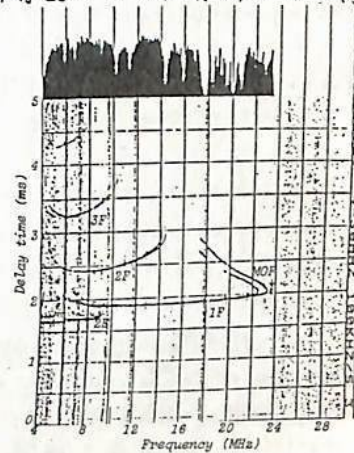
この報告は短波伝搬における安定した低緯度近距離伝搬から不安定な高緯度遠距離伝搬までの伝搬特性の連続的な変化を南極観測船「ふじ」及び平磯に設置したチャーブサウンダーによる伝搬実験で調べたものである。チャーブサウンダーは特定回線における短波の伝搬状態を即時的に調べるために開発された観測機である。

これは CW 電波の周波数を一定の割合で連続的に増加させながら発射し、これに合せて受信することによって特定回線の短波全帯域の伝搬状態を調べるものである。このチャーブサウンダー送信機を南極観測船に積載し毎時一回 100W の電波を 4 ~ 30 MHz まで連続的に変えながら発射し、これを平磯に設置したチャーブサウンダー受信機で受信して斜めイオノグラムを得た。南極観測船は 1981年11月25日東京港を出航し第1図の航路に従つてほぼ大円に沿つて南極昭和基地まで移動した。この間、実験は11月25日から12月27日まで約1箇月間続けられた。

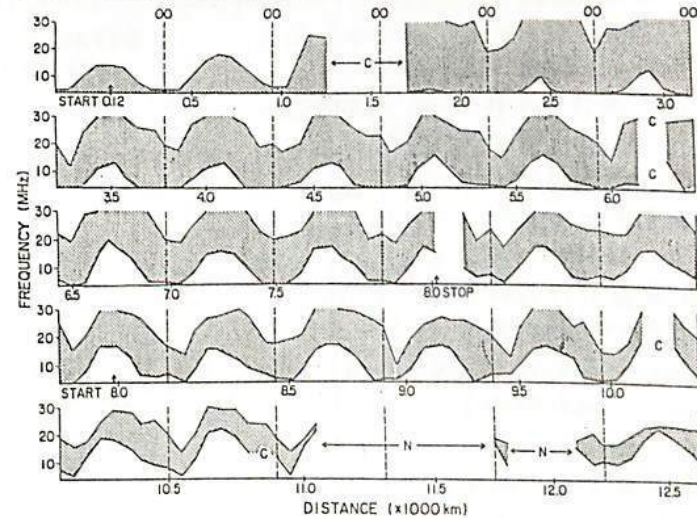
第2図は航路途中における伝搬距離約 2500 km での斜イオノグラムの例である。横軸は周波数、縦軸は伝搬時間を表わしている。伝搬時間の少ない方から順に E 層 2 回、F 層 1 回、F 層 2 回の様に各反射波が現われている。これ等の反射波の内で最も高い周波数を最高観測周波数 MOF、最も低い周波数を最低観測周波数 LOF と呼んでいて、この周波数範囲が使用可能周波数帯である。これらの斜イオノグラムから MOF と LOF を読み取り使用可能周波数帯を時刻と距離の関数で描いて第3図を得た。図から、伝搬距離約 1,500 ~ 3,000 km における中緯度回線においては F 層 1 回反射波の MOF が最も高く LOF も比較的低いので使用可能周波数帯が広く最も安定した通信状態が得られることがわかる。しかし、伝搬距離が 1,500 km 以下では MOF が低下するため、また、3,000 km 以上では F 層による 2 回以上の反射波伝搬となって徐々に MOF が低下すると共に減衰の増加に伴つて LOF も上昇するので使用可能周波数帯は狭くなる。特に 10,000 km を越える高緯度回線では強い減衰を受けて信号強度が低下すると共に F 層多回反射伝搬による散乱によつて非常に不安定な伝搬状態になる。この結果と近距離のモデル計算とは一致するが高緯度遠距離伝搬では良く合わない。



第1図 「ふじ」の航路と大円通路



第2図 距離 2,500 km の斜イオノグラム例

第3図 通信使用可能範囲の距離及び日変化  
と共に F 層多回反射伝搬による散乱によつて非常に不安定な伝搬状態になる。この結果と近距離のモデル計算とは一致するが高緯度遠距離伝搬では良く合わない。

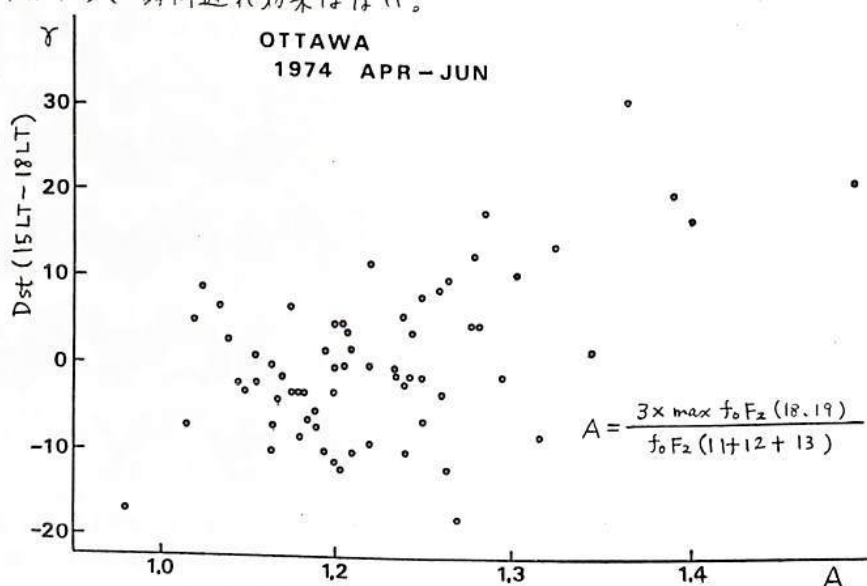
田中高史  
(電波研究所)

1序論 電離層嵐の一形態として、プラスマポーズ附近において夕方側に非常に大きな電子密度の増大が生じることが知られており、evening enhancement とか evening peak などと呼ばれている。この時同時に磁場の増加が生じ、この現象は東向きの電流領域すなわちハランク不連続面の赤道側で起つてゐることがわかっている。また evening enhancement の理論として東向き電場による電離層クルーア応答理論がある。しかししながら evening enhancement は北アメリカで顕著であることが多く、発生のし方に経度非対称性がある。さらに汎地球的磁場変動パラメータとの対応、すなわち磁気圏内のプロセスのどの段階に対応していふかに肉し、さらに研究され余地がある。

2観測 電離層のデータとして、4つ観測所(オタワ、ヤクーツク、ホバート、アルゼンチンアイランド)を選んで解析を行った。これらの観測所は緯度 $50 \sim 55^{\circ}$ にあり、evening enhancement の全球的分布を調べるために適していると思われる。解析の第1段階として、Dst インデックスを用い、非常に大きな地磁気嵐が発生した場合の evening enhancement の分布を調べたところ、次のことかわかった。ながデータは 1966 年から 1974 年にかけてのものである。(1) Dst が負に減少する時間が UT 14 時～22 時の時はオタワ、アルゼンチンアイランドに evening enhancement が発生し、UT 4 時～12 時の時はヤクーツク、ホバートに発生する。(2) アルゼンチンアイランドとヤクーツクにおいては evening enhancement はめだちにくい。これは西局での  $f_0F_2$  の日変化が夏に night time maximum を示すためである。(3) evening enhancement の発生には著しい季節非対称性があり、夏に発生する。次に第2段階として、Dst の減少の大きさに関しては考慮せず。すべての磁気擾乱レベルに対して、evening enhancement の発生を調べた。この解析では最も evening enhancement が発生する夏期間のオタワに着いて調べた。その結果は、(1) evening enhancement は Dst の 15 LT から 18 LT にかけてへ減少量と良く相関する。(2)  $K_p(6)$  とはあまり相関しない。(3) Dst の 12 LT から 15 LT にかけてへ減少量とはあまり相関しない。すなわち、時間遅れ効果はない。

### 3結論

evening enhancement は磁気圏擾乱とはほぼ一対一に対応した現象であり、経度非対称性は磁場変動のタイミングにより説明される。しかし季節非対称性は電離層内の問題が関与していると思われる。原因として磁気圏電場の増大、特に Dst の減少に伴う対流電場の増大によるドリフトが重要である。

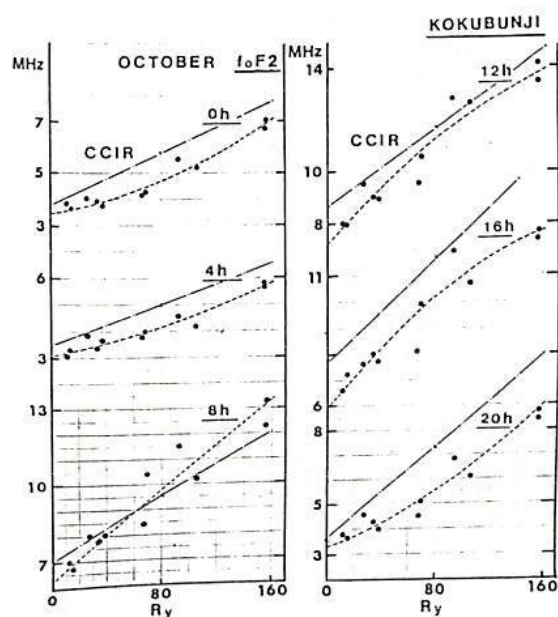


太陽黒点数と国分寺における  $f_0F2$  について

西崎 良 竹之下 裕五郎  
電波研究所

太陽黒点数と  $f_0F2$  に正相関の関係があることは既に知られていることであるが、1970年から1980年までの11年間の東京国分寺における電離層地上観測による  $f_0F2$  について太陽黒点数との関係を調べ、各月、各時間ごとに  $f_0F2$  をモデル化した。

その結果、 $f_0F2$  は季節、時刻によっては太陽黒点数の増加に従って単調に増加する場合と、太陽黒点数が増加しても飽和特性を示す場合、或いは太陽黒点数の増加以上に急激に増加する上向きの特性を示す場合がある。一例として図1に10月の地方時4時間ごとの  $f_0F2$  の月中央値と太陽黒点数(年平均値)との関係を示す。この図の0時、4時および20時では上向きの特性を示しており、8時ではほぼ直線的、また12時および16時では飽和の傾向が見られる。それぞれの係数等次のようないちがいが得られた。



$$\begin{aligned}f_{0F200} &= 9.0 \times 10^{-5} R^2 + 9.0 \times 10^{-3} R + 3.4 \quad (\text{MHz}) \\f_{0F204} &= 4.5 \times 10^{-5} R^2 + 1.0 \times 10^{-2} R + 3.1 \\f_{0F208} &= 4.5 \times 10^{-2} R + 6.2 \\f_{0F212} &= -1.2 \times 10^{-4} R^2 + 6.1 \times 10^{-2} R + 7.1 \\f_{0F216} &= -1.5 \times 10^{-4} R^2 + 6.7 \times 10^{-2} R + 5.8 \\f_{0F220} &= 1.0 \times 10^{-4} R^2 + 2.0 \times 10^{-2} R + 3.3\end{aligned}$$

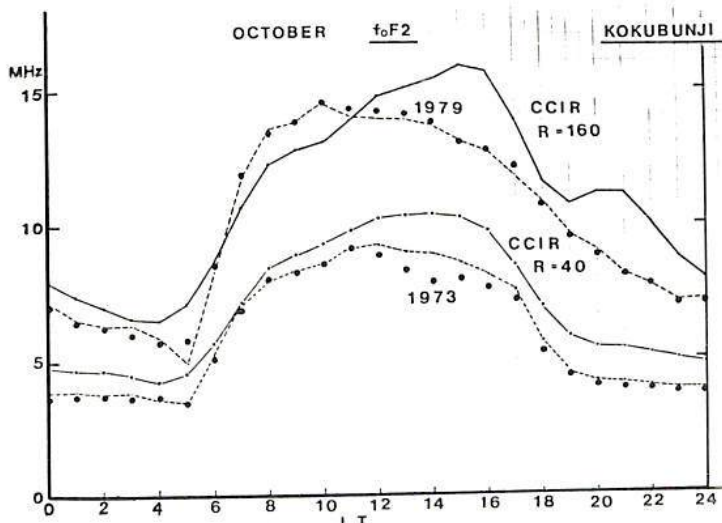
但し  $R$  は太陽黒点数(年平均値)

また各月および各時刻ごとにこのような係数を求め、この係数を用いて実測値との比較を行なった。図2に1973年と1979年の10月の  $f_0F2$  を・印で示し、太陽黒点数 38.2 ('73年) と 155.4 ('79年) について本モデル計算式で計算した結果を破線で示す。また CCIR 法によく計算結果を実線で示す。

CCIR の方法(一次式近似)では無理があり、少なくとも二次式以上の近似が必要と思われる。

今回は太陽黒点数として年平均値を用いたが、月平均値が適当か或いは移動平均値を用いた方がよいか今後更に検討したい。

まことに国分寺以外のデータについても適用範囲を拡げて行きたいと考えている。



竹田雅彦・前田 坦  
(京都大学理学部)

夕方側 M A G S A T 軌道上で観測された磁場 D 成分の赤道異常は、その特性から F 層を流れ る電流によるものと考えられる(別の講演)。ここではその原因で Rishbeth(1971)によって提唱された F-layer dynamo によるものと見え、モデル計算を行った。

用いた式は

運動方程式;

$$\Omega \frac{\partial V}{\partial \psi} = -\frac{1}{\rho} (\nabla P)_\psi + \frac{1}{\rho} B_j t$$

電流の連続;

$$\nabla \cdot J = 0$$

Ohm の法則

$$J = \Sigma (-\nabla \psi + U \times B)$$

で、Meridional plane 内で扱い、磁力線を等高線として仮定し、 $\frac{\partial \psi}{\partial \theta} = \alpha \frac{\partial V}{\partial \theta}$ ,  $\frac{\partial V}{\partial \theta} = kV$  がそれ成立するとした。

結果の一例を右に示す。 $(\alpha = -1, k = 2)$   
比較的高い高度で Meridional current が存在し  
300 km 以上にまで電流が流れることが  
わかる。

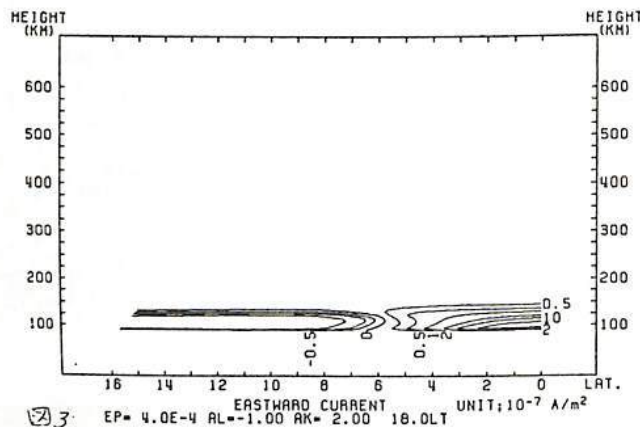
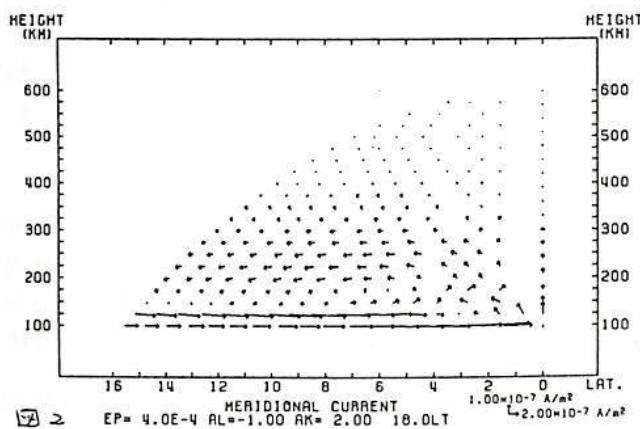
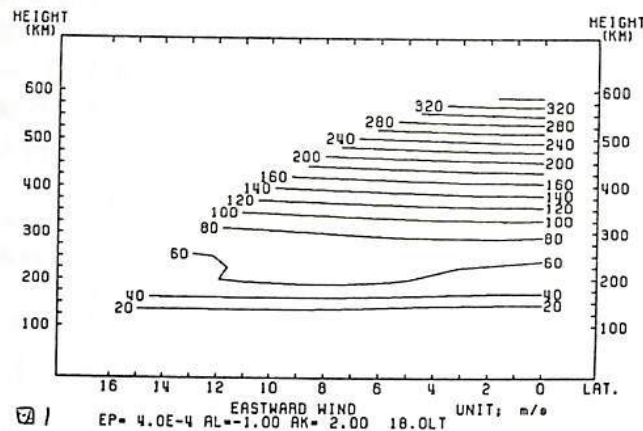
文献; Rishbeth, H., The F-layer dynamo, Planet. Space Sci., 19, 263-267, 1971.

図 1: 18hLT における東向きの風

図 2: " 子午面内電流

図 3: " 東向き電流

( $E_\theta$  は  $0.4 \text{ mV/m}$ )



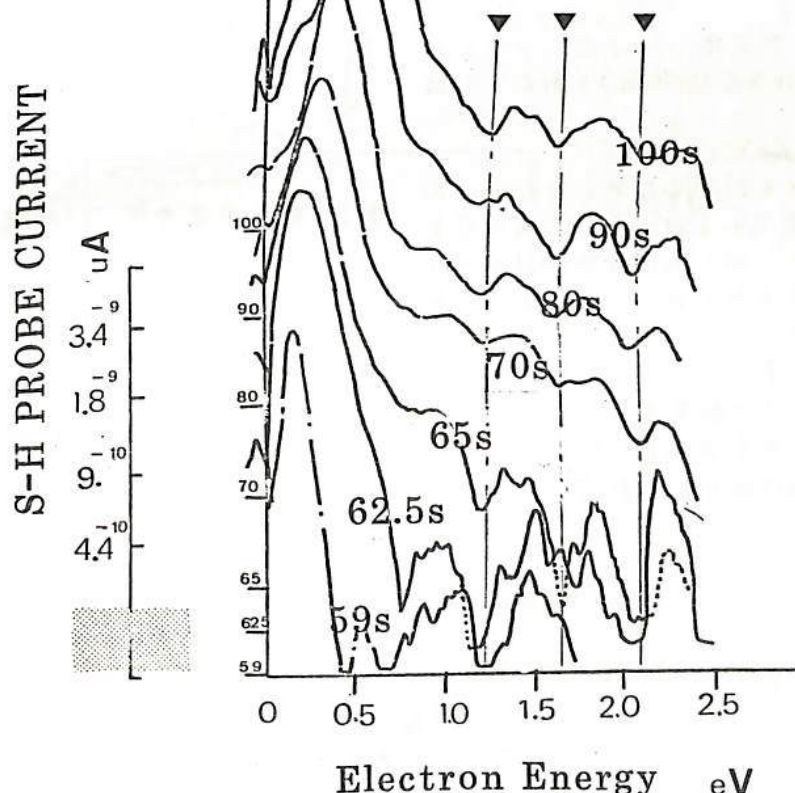
K-9M-72号機による熱的電子エネルギー  
領域の電子エネルギー分布の測定

小山孝一郎，平尾邦雄  
宇宙科学研究所

ダイナモ領域のダイナミックスとエナージティックスに関する総合研究を目的として計画されたK-9M-72号機は1982年2月13日、日本標準時間11:00に鹿児島宇宙空間観測所より発射され、搭載された観測器はそれなり満足に作動した。こゝに報告するのは搭載された測定器の一つ、熱的電子エネルギー分布測定器によって得られた結果である。

熱的電子エネルギー分布はラングミュアプローブに70mV, 2kHzの正弦波を印加し、生じたプローフ電流の中から4kHz成分を取り出す事によって得られた。図1はこのようにして得られたニ次高調波成分の生データである。本実験における初期の目的は、高度100～120km付近の熱エネルギー收支を研究する事であつたが、この他に図1が示すように励起O<sub>2</sub>分子と電子の相互作用を示していると思われるいくつかのピークが検出されている。たとえば65秒においてみられた4つのピークのうち一番高いエネルギーに見いだされたピークは高度の上昇と共に低エネルギーを持つ電子において徐々に固定していくようである。同じ測定原理によって過去にK-9M-45, K-9M-55などで

いK-9M-62号機によって実験を行ってきたが、何故今回はじめて見出されたのか、不明である。Poster Sessionでは、同時に測定を始めた2eV以上の電子エネルギー分布(何井、賀谷氏担当)の結果とのつき合せについても報告する予定である。



図の説明

59秒(88km), 62.5秒(95km), 65秒(100km), 70秒(110km), 80秒(129km), 90秒(148km), 100秒(165km)において得られたニ次高調波電流成分。点線で囲まれた特徴的なピークに注目されたい。左側のスケールは59秒のデータに対してつけられており。影を付けた部分はアンプの最大雑音レベルである。

# K-9M-72号機による地上局VLF波強度 測定値から下部電離層の衝突回数分布の解析

長野 勇 満保 正喜 深見 哲男  
(金沢大学工学部)

## 1. 序

K-9M-72号機は冬期内、満に現われる高温度層の総合観測として、今年2月13日午前11時に打ち上げられた。NEL-W/L項目では、下部電離層の低電子密度及び衝突回数を推定するため、(1)地上局17.4 kHz信号の偏波及び強度、(2)DJY 8 MHz強度、(3)DCプローブによる電子密度をそれぞれ測定した。今回、高度80km以上の(1)と(3)の同時観測データを用いて、generalized full wave計算により、電子-中性分子の衝突回数分布を推定した。更に、衝突回数値から電子密度と中性大気温度の比  $T_e/T_n$  を算出したところ、高度100kmで、それが1を越える興味ある結果を得た。

## 2. 観測結果

17.4 kHz信号の絶対強度はロケット軸に直角に突き出した直交バーアンテナによって測定された(図1)。L,R成分はそれぞれ左・右両円偏波成分を示し、Rはwhistler modeに対応している。一方、電子密度は固定バイアスプローブ電流をロケット打ち上げ時にKSCで観測されたイオノグラムの  $f_0E$  で規格して求めた(図2)。

## 3. 衝突回数の解析

$kT_e$  のエネルギーを有する電子と中性大気の衝突回数  $\lambda_m$  は、大気組成を  $N_2(80\%)$ ,  $O_2(20\%)$  とすれば

$$\lambda_m = 6.3 \times 10^5 N_n k T_e \quad (1)$$

で表わせる。ここに  $N_n$  は中性大気密度、 $k$  はボルツマン定数である。電子温度と中性温度の比を  $C (= T_e/T_n)$  とおくと(1)は

$$\lambda_m = C \cdot 6.3 \times 10^5 P \quad (2)$$

となる。ここに  $P$  は大気圧 ( $N/m^2$ ) である。

本ロケット実験では、大気圧を計測しなかつたので、大気圧として CIRA67, 30°N, Aug. モデルを用いる。(2)式の  $C$  を次のような手順で求めた。先ず、図1の高度80km以上のR成分観測値において5km毎の減衰率を読み取り、図2の電子密度分布と(2)式の衝突回数分布を用いて、generalized full wave計算を行い、その計算値と実測値が一致するよう  $C$  を求め、 $\lambda_m$  を決定した。その結果を図3に示す。なお、高度80km以下の電子密度分布及び衝突回数分布がビのやうなものであり、R成分の相対強度には影響を及ぼさない。

## 4. まとめ

地上局VLF強度とDCプローブによる電子密度測定から高度80km以上の衝突回数分布を推定した CIRAモデルの中性大気温度を基準にして、電子温度を算出したところ、高度100kmを境として  $T_e/T_n > 1$  となつた。これは、波動観測から得た、高温度層出現の傍証にならう。

おわりに、DCプローブの観測には、宇留研、向井、小山両氏に大変お世話になりました。ここにお礼を申し上げます。

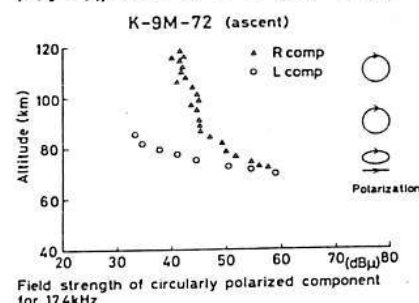


図1. 17.4 kHz信号強度分布

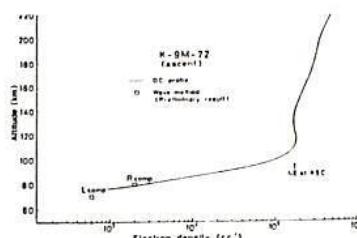


図2. 電子密度分布

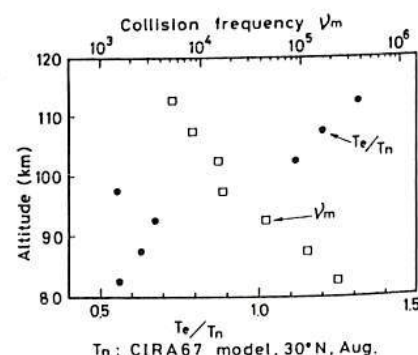


図3. 解析した衝突回数分布

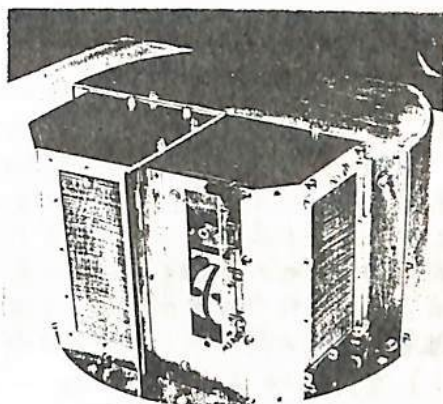
K-9M-72号機による  
高エネルギー電子の観測

賀益信幸, 松本治郎(神大工)  
向井利典, 平尾邦雄(宇宙研)

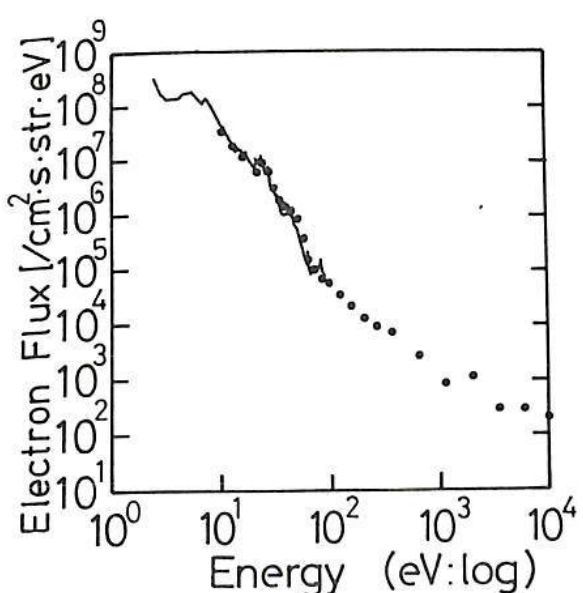
1982年2月13日11時JSTに打ち上げられたK-9M-72号機は、搭載された高エネルギー電子観測器ESE-Hは、以下の二項目を目的とした。

- 1) EXOS-C衛星搭載のために新しく開発した1/4球形電離型分析器の飛翔体実験
- 2) 同様の総合目的である冬期11時の高度105~110kmに現われる高電子温度層の解明のための10eV~10keVの電子束の観測

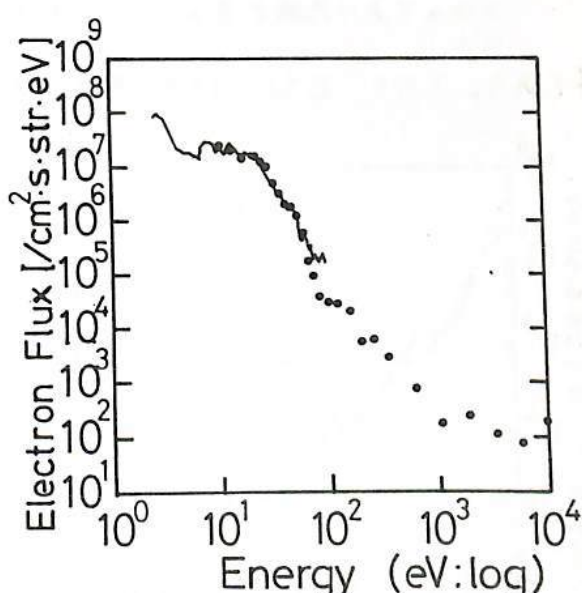
本観測器はオ1回に示す様に、新しく開発した1/4球形電離型分析器に、円形エリメータヒニ電メフ32による自然排気方式をとり、ロケット軸に対し30°, 60°, 84.3°の3ビット角を測定する。観測器は、打上げ後115秒に高圧を印加し、放電をなく順調に下図に示す様な良好なデータを得た。オ2, 3回は予備的に処理したものであるが、1~100eVの測定をおこなうたるESE-L(細線)と非常に良好一致を示し、90~30eVのprimary photoelectronのビーフが明るかである。このようにESE-Hは精度の高い観測器に完成したと言える。尚、1~10keVの降下電子束が予想より多く、この降下電子束が高電子温度層に向かうかの予測をいかでかどりかは今後の検討課題である。



右図 ESE-H



左2図 上昇時 200km ( $t=115\sim303\text{秒}$ )  
黒丸: ESE-H, 細線: ESE-L



左3図 Apogee (327km,  $t=287\sim297\text{秒}$ )  
黒丸: ESE-H, 細線: ESE-L

# K-9M-72号機による 低エネルギー電子の観測

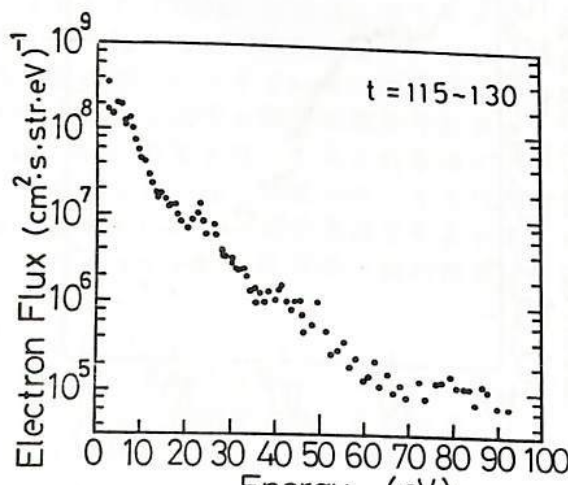
向井利典, 平尾邦雄 (宇宙研)  
賀谷信幸 (神戸大・工学部)

今年2月13日 11:00 JSTに打ち上げられたK-9M-72号機は、冬期11時以内之浦上空の高度105~110 kmに現われる高電子温度層の解明を主目的としたロケットである。そのために、0.1 eV ~ 10 keV の広いエネルギー範囲にわたる電子のエネルギー分布を測定するため、互に測定エネルギー範囲のオーバーラップする3ヶの測定器 TED(0.1~2 eV), ESE-L(1~100 eV), ESE-H(10 eV ~ 10 keV)が搭載された。これらはそれぞれ当初の予定通りに順調に作動して良好なデータが得られた。ニセでは特にその中でESE-Lによる1~100 eVの電子エネルギー分布の観測結果に主眼を置いて報告する。このエネルギー領域の電子はいわゆる電離層光電子で、測定器は従来、筆者らが開発してロケット実験で広く用いてきたものとは同一である。

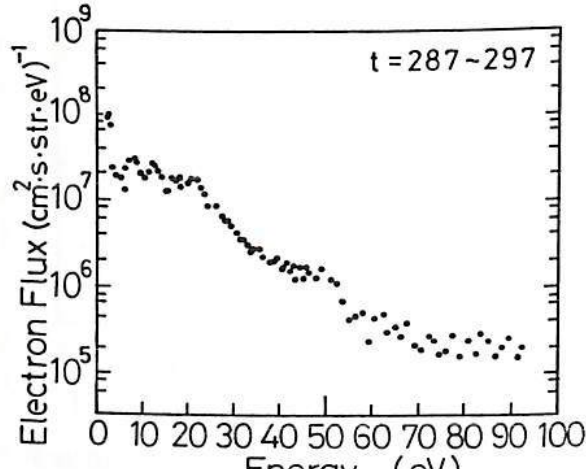
下図に得られたデータを予備的に処理した結果を示す。低エネルギー電子の観測では、測定器自体に対する種々の配慮と共に、データ処理でも①太陽紫外部による測定器電極およびロケット表面からの光電子データの除去、②ロケットによる shadowing effect の除去、③その他の background の差し引き、④ロケット電位のアラズマ電位からのずれの補正等を行つたことがある。下図は、最も影響の大きい①のみを行った結果であるが、電離層光電子の幾つかの典型的特徴を示している。すなはち、

- (1) 高度200 kmでは20~30 eVでHe II 304 Åによる primary photoelectron のピーク(24 eVと27 eV)が明らかである。また、20 eV以下では、フラックスは低エネルギーの方に急増するが、ス-3 eVにはdipが見られる。このdipはN<sub>2</sub>の共鳴振動励起によるものである。
- (2) 高度が高くなると、スペクトラムはフラットで一様になるべくが、50~60 eVでフラット入り急減が見られる。これも primary photoelectron のスペクトラムの反映である。

等である。TED, ESE-Hとの比較はポスターセッション会場で示す予定である。



(上昇時200 km)



アポジー(327 km)